

**O'ZBEKISTON RESPUBLIKASI OLIY VA O'RTA  
MAXSUS TA'LIM VAZIRLIGI**

**E.N. RASULOV,  
U.SH. BEGIMQULOV**

**KVANT FIZIKASI**

*O'zbekiston Respublikasi Oliy va o'rta maxsus ta'lim vazirligi  
tomonidan o'quv qo'llanma sifatida tavsiya etilgan*

**I qism**

**TOSHKENT – 2006**

**E. Rasulov, U. Begimqulov.** Kvant fizikasi. T., «Fan va texnologiya» 2006, 352-bet.

Mazkur o'quv qo'llanma kvant fizika va uning matematik apparati bo'lgan kvant mexanikasiga bag'ishlangan. Kitob ikki qismdan tashkil topgan bo'lib, uning birinchi qismida kvant nazariyani paydo bo'lishiga sababchi eksperimental ishlarga katta e'tibor berilgan. Kvant tushunchalar va prinsiplarning fizik mazmuni chuqur tahlil qilingan. Atom, yadro va molekula fizikasining asosiy hodisalarini tushuntirish uchun kerak bo'lgan mikrozarralar harakatini tavsiflovchi matematik apparat ham qarab chiqilgan.

Ushbu qo'llanma bakalaviriat va magistratura talabalari hamda aspirantlar uchun mo'ljallangan.

Kitob kvant nazariyani o'z taddiqot ishida qo'llamoqchi bo'lgan barcha kasb egalari va qiziquvchilar uchun ham qo'l keladi, deb o'ylaymiz.

**Taqrizchi:** A. Boydedayev, professor.

**ISBN 978-9943-10-009-1**

**© «Fan va texnologiya» nashriyoti, 2006**

## KIRISH

Sizning qo'lingizdagi ushbu o'quv qo'llanma «Kvant fizikasi» o'zbek tilida yozilgan bo'lib, undagi mavzular ilmiy-metodik jihatdan boshqa mualliflarning uslubidan tubdan farq qiladi. Kvant fizikadan o'quv qo'llanma yaratish nihoyatda murakkab va mushkul vazifadir. Chunki kvant fizikaning tushunchalari, q'oyalari, qonunlari, hatto matematikasi ham tamomila yangicha tasavvurlarga asoslangan bo'lib, u klassik fizika tasavvurlariga ziddir. Mazkur qo'llanma asosan ikkita maqsadga yo'naltirilgan:

**birinchisi**, zamontalablariga to'la javob beradigan mahoratli, yetuk fizik-pedagog kadrlarni tayyorlashga amaliy yordam bo'lsa;

**ikkinchisi**, kelgusida fizika sohasida ilmiy ishlar qilishni niyat qilgan ilmiy-mutaxassislarini yetishtirishdir.

Shuning uchun bo'lsa kerak, qo'llanmadagi mavzular yozilishida qat'iy pedagogik uslubiyot va uning ilmiy saviyasi pasaytirilmagan holda, sodda tushuntirish orqali berilgan.

Bir bobdan ikkinchi bobga o'tish ravon, uzlusiz bo'lib, oddiylikdan murakkablikka qarab borilgan. Har bir bob mantiqiy yakunlangan bo'lib, qo'yilgan masalaning fizik mohiyati ochib berilgan. Boblarning yoritilishida avvalambor, qo'yilgan masalaning klassik muammosi, keyin uni yechish uchun yangi tasavvurni naqadar zarur ekanligi, so'ng esa kvant tushunchalar orqali uning yechimi to'la bayon qilingan. Amaliyot masalalarini keltirish orqali ilmiy-texnikaning rivojlanishiga ta'sir ko'rsatishi ham yoritilgan. Har bir bobning oxirida savollar majmuasi hamda masalalar keltirilgan. Bu savollarga javob bera olgan va masalalarni yechgan talaba albatta, bobdag'i mavzu haqida to'la tushunchaga ega bo'ladi.

Birinchi bob kitobxon (talaba) tasavvurini mikroolam ichiga kirishi uchun zamin bo'lib, unda kvant fizika, kvant mexanika va boshqa atamalar ta'riflangan. Klassik fizikaning asosiy muammolari va yutuqlari keltirilgan. Ayniqsa, Plank doimiyisi, uning fizik ma'nosи va klassik fizika bilan kvant fizika orasidagi munosabatlar aniq ko'rsatilgan. Klassik fizika tasavvuri bilan kvant fizika tasavvuri orasidagi tub farqlar keltirilgan.

Ikkinchchi bobda esa issiqlik nurlanishi muammosi ustida to'xtalib, undagi muammolar va ularning yechish yo'llari, Plank formulasi haqida so'z yuritilgan. Bu bobda ham asosiy e'tibor  $\hbar$  – Plank formulasiga qaratilgan. Jonson shovqini degan mavzu kiritilib, u orqali

astrofizika, radioaloqa va lazer texnikasidagi o'ta aniqliklar haqida fikrlar berilgan.

Uchinchi bobga esa «Kvant fizikada saqlanish qonunlari» mavzusi kiritilgan bo'lib, fotoeffekt, elektron-pozitron juftligi, Kompton effekti va raman effekti kabi mavzular shu doirada tushuntirilgan. Ayniqsa, kvant mexanikadagi saqlanish qonunlarini klassik mexanikadagi va to'lqinlar mexanikasidagi saqlanish qonunlardan keskin farq qilishi korpuskular-to'lqin dualzmi vujudga kelishi juda yaxshi tushuntirilgan.  $\hbar$  – doimiylik ikkinchi bobda xususiy bir doimiyli sifatida qaralgan bo'lsa, uchinchi, to'rtinchchi va beshinchchi boblarda uni universal doimiylik ekanligi, undan keyingi boblarda esa, uni fundamental doimiylik ekanligi bilan tushuntirilgan. Xususiylikdan umumiyliglika borishning metodik usuli qo'llanilgan.

Qo'llanmaning I qismidagi oxirgi oltita bobi makrokvant fizikaga bag'ishlangan bo'lib, ularda hozirgi zamon fanining eng so'nggi yutuqlari kvant fizika doirasida tahlil qilingan. Masalan, o'ta o'quvchilik, qattiq jism fizikasining ma'lum bir masalalari, lazer, golografiya, Myossbauer effekti, mezoskopiya va fonono-atom effektlarini aytish mumkin.

Mualliflar mikroolamga (kvant fizikaga) qilinadigan sayohatingizga muvaffaqiyat tilaydilar. Sayohatingiz muvaffaqiyatli, maroqli, sarguzashти kechinmalarga boy bo'lsin. Biz yaratgan ushbu kamtarin o'quv qo'llanma doirasida keltirilgan mavzularni haqiqatan ham, astoydil egallab olsangiz, qo'yilagan savollarga javob izlasangiz, masalalarni to'g'ri yechsangiz biz o'z burchimizni ado etgan bo'lamiz.

Ushbu kitob o'sib kelayotgan avlodni, mikroolamni nihoyatda jozibador va fusunkor g'oyalari bilan tanishtiradi. Kvant olami Sizni albatta o'ziga rom etadi va uning topishmoqlarini yechishga ahd qilasiz degan fikrdamiz. Ushbu kitob yoshlarning ilmiy nufuzini oshirishda shubhasiz xizmat qiladi degan umiddamiz.

## I BOB

### Mavzu: KVANT MEXANIKA YARATILGUNCHCHA BO'LGAN DAVRDAGI KЛАSSIK FIZIKANING ASOSIY NATIJALARI VA KAMCHILIKLARI

**Reja:**

1. Klassik fizikaning yutuqlari va kamchiliklari haqida qisqacha axborot.
- 1.2. Kvant mexanika fani nimani o'rganadi?
- 1.3. Klassik nazariyani qo'llanilishi chegarasi.
- 1.4. Klassik nazariya bilan kvant nazariya orasidagi eng muhim farqlar.
- 1.5. Kvant fizikada doimiyliklar va birliklar.

## ADABIYOT

1. Д.Бом. Квантовая теория. «Наука», М., 1965.
2. Э.А.Нерсесов. Основные законы атомной и ядерной физики. Учебное пособие. М., 1988.
3. А.Б.Мигдал. Квантовая физика для больших и для маленьких. «Наука», М., 1989.
4. Э.Вихман. Квантовая физика. М., 1986.
5. П.Девис. Суперсила. «Мир», М., 1989.
6. R.Bekjonov, b.Ahmadxo'jayev. Atom fizikasi. T., «O'qituchi». 1979.

**Annotatsiya:** «yangi fizika» fanining nima sababdan vujudga kelganini bilish uchun «eski fizika»ning ijobiy natijalar va kamchiliklari haqida yetarli ma'lumotga ega bo'lish kerak. Shu sababga ko'ra bu bobda klassik fizikaning yutuqlari va kamchiliklari haqida qisqacha to'xtalib, unga yakun yasaymiz. Klassik fizika tushuntirib berolmagan eksperimentlar ro'yxatini keltiramiz.

Kvant hodisa, kvant nazariya, kvant fizika va kvant mexanika kabi tushunchalarga izoh beriladi. Shuningdek, to'lqin funksiya, Shryodinger tenglamasi, ehtimol, dualizm kabi tushunchalar ham yoritiladi. Relativistik, norelativistik, kvant nazariyani qo'llanilish chegarasi haqida so'z yuritiladi. Plank doimiyosining fizik mohiyati ochiladi. Bu bob tala-baga kvant fizika darvozasini ochadi.

«Klassik fizika» faqat uzlusiz jarayonlarni o'rganadigan fandir. biroq uzlusiz jarayonlar ichida diskret (kvant) hodisalari yashirinib yotibdi. U xuddi paranji ichiga yashiringan go'zal ayolga o'xshaydi. U har doim ham, har kimga ham o'z chehrasini ko'rsatavermaydi. Bu chehrani ko'rish uchun unga nihoyatda xushtor bo'lish kerak va paranjini ko'tarish uchun jasurlik lozim. Bunday sharafga birinchi bo'lib Maks Plank musharraf bo'ldi. Chehra jamolini ko'rgan Plank gangib, dovdirab qoldi.

Bu bob talabaga yangi tasavvur dunyosini ochadi. Uni tezda qabul qilish va unga ko'nikish nihoyatda qiyin bo'ladi.

## **I bob. KVANT MEXANIKA YARATILGUNCHА BO'LGАН DAVRDAGI KЛАSSIK FIZIKANING ASOSИY NATIJALARI VA KAMCHILИKLARI**

### **1.1. Klassik fizikaning yutuqlari va kamchiliklari haqida qisqacha axborot**

Bugundan boshlab men bilan birlgilikda siz atomlar, yadrolar va elementar zarralar fizikasini o'rganishni boshlaysiz. Bu fizikani o'rganish davomida siz tabiatni bizga hali oshkor bo'lmagan, hali yashirinib yotgan tilsimlari va hali nomalum bo'lgan hodisalariga duch kelasizki, bu hodisalarni odatda kvant hodisalari deb ataladi. Kvant hodisalari uzlukli hodisalar fizikasidir. Kvant hodisalarning qonuniyatini o'rganadigan fanni *kvant fizika* deb atashadi. Kvant fizika mikroolamga taalluqli bo'lgan zarralarni, ularni tabiatini, xossalarni, strukturasini va harakat qonunlarini uzluklik tasavvuriga tayanib o'rganadigan fandir.

1900-yil 14-dekabrda Berlin shahrida bo'lib o'tgan nemis fiziklari jamiyatining anjumanida so'zga chiqqan Maks Plank qora jismning nurlanish qonuniyatini topganligi haqida axborot berdi. Xuddi shu kunni *kvant nazariyani* tug'ilgan kuni deb atasra bo'ladi. Kvant nazariyaning hozirgi zamон matematik apparatiga *kvant mexanika* deyiladi.

Kvant mexanika hozirgi zamон nazariy fizikasining eng muhim bo'limlaridan biri bo'lib, u 1926–28-yillarda nemis olimi Verner Geyzenberg, avstriya olimi Ervin Shryodinger va ingliz fizigi Pol Dirak tomonidan yaratildi. Kvant mexikanikaning asosiy vazifasi mikrozarralarning xatti-harakati qonuniyatlarini o'rganishdir. Masalan, elektronning atomdagи harakati, proton yoki neytronning yadroda harakati va h.k.

Mutlaqo yangi tasavvurlarga asoslangan kvant nazariya tushunchalariga o'tishdan avval, birmuncha orqaga qaytamizda klassik fizikani asosiy natijalari va kamchiliklari e'tiboringizni qaratamiz. Klassik fizika sahnasidagi jarayonlarni eslash, bizga nima uchun yangi tasavvur va tushunchalarga tayangan yangi fizika zarurligini tushunishga yordam beradi.

Nyuton qonunlari yordamida yuqorida tushib kelayotgan jismni, miltiqdan otilegan o'qni va yer yo'ldoshlari, Quyosh sistemasi va boshqa barcha makroskopik harakatlarni tavsiflash imkoniyatiga ega bo'l-dik. Bundan tashqari, Nyuton mexanikasi bizga energiyani, impulsni va impuls momentini saqlanish qonunlarini berdi. Mazkur qonunlar yordamida biz moddani xarakterlovchi turli fizikaviy doimiyliklarni, masalan, «zichlik», «elastiklik moduli» kabilarni bilgan holda prujina,

richag, o'zak va q'ildiraklardan yig'ilgan murakkab mexanizmlarni (in-shootlarni) xatti-harakatini tavsiflashga qodir bo'ldik. Bu natijalar Nyuton mexanikasining ulkan yutug'i edi. Biroq klassik nazariya nima uchun zichlik, bikirlik koefitsiyenti xuddi aynan shu qiymatga ega bo'lishi, nima uchun berilgan kuchlanganlikda o'zakni sinib ketishi, nima uchun vodorod elementi faqat o'ziga xos bo'lgan kimyoviy xossalarga ega bo'lishi, nima uchun mis faqat  $1083^{\circ}\text{C}$  da, oltin  $1063^{\circ}\text{C}$  da, nikel esa  $1455^{\circ}\text{C}$ da erishi, nima uchun natriy bug'i sariq nur chiqarishi, nima uchun quyosh nurlanishi, nima uchun uran yadrosi spontan bo'linishi, nima uchun oltin kumush yaxshi o'tkazgich, oltingugurt yoki yog'och izolator, nima uchun doimiy magnit po'latdan qilinadi: qo'yingki, bunday nima uchun degan savollarni ko'plab qo'yish mumkinki, ularning birortasiga klassik fizika umuman javob berolmadi yoki berganda ham qisman javob berdi.

XIX asrda kimyo fani moddalarning atom va molekulalardan tashkil topganligi haqida ma'lumot berdi. Bu g'oya va Nyuton qonunlariga asoslangan holda issiqlikning kinetik nazariyasi yaratildi. Natijada, teplorod tushunchasi barham topdi. Maksvell va boltsman gazlarini kinetik nazariyasini rivojlantirishdi, idish ichidagi gaz tartibsiz harakatdagi molekulalardan tashkil topganligi, ular o'zaro to'qnashishi va idish devori bilan to'qnashishda ekanligini e'tirof etdilar. Matematikani qo'llab miqdoriy hisoblar qilindi. Kinetik nazariya yordamida avagadro soni chandalandi va u  $\text{Na} = 6.02 \cdot 10^{23} \text{ mol}^{-1}$  ekanligi aniqlandi. Molekular kinetik nazariya gaz, suyuq va qattiq jismlarni ko'p hodisalarini tushuntirib berdi. Bu sohadagi katta yutuqlarga qaramay, molekular kinetik nazariya gaz va qattiq jismlarni issiqlik siqimlarini tushuntirishga ojizlik qildi.

Elektr va magnitni noyob hodisalarini tinch turgan va harakatdagi zaryadlarini o'zaro ta'siri konsepsiyasidan kelib chiqqan holda tushuntish imkoniyati tug'ildi. Elektr va magnit hodisalarini to'la tavisiflaydigan tenglamalar Maksvell tomonidan yaratildi. Maksvell elektr, magnit, yorug'lik hodisalarini o'rganishda va birlashtirishda eng muhim quroq bo'ldi. Maksvell tenglamalari yordamida elektromagnit maydon mavjudligi kashf qilindi. Uzoqdan ta'sir nazariyasi barham topib, yaqindan ta'sir nazariyasi yaratildi. Maksvell o'zining yaratgan qonunlaridan kelib chiqib, elektromagnit to'lqinlarini kashf qildi va bu fikr gers tomonidan tajribada tasdiqlandi. Maksvell nazariyaidan kelib chiqqan yana bir yangi natija yorug'likni ham ma'lum to'lqin uzunlikdagi elektromagnit to'lqinlari ekanligi edi. Natijada, bir-biriga bog'liq bo'limgan deb qaralgan elektr, magnit va yorug'lik bitta konsepsiyasiga birlashdi. Maksvell qonunlari katta yutuqlarga erishganiga qaramay efir muammosini hal qila olmadi. Efir masalasi 1905-yilda A.Eynshteynni fazo-vaqt tasavvurini qayta ko'rishi natijasida barham topdi.

1890-yilda Tomson elektronni kashfi etdi. Fotoeffekt kashf qilindi. chiziqli spektrlar aniqlandi. Xullas, XIX asrni boshi juda ko'p yangi

atamalar, eksperimentlarga boy bo'ldi. 1911-yilda Ernest rezerford yadroni kashf etdi. Atomning barqarorligi haqida fikrlar bildirildi. Lekin, atom fizikasi sohasida ham muammolar ko'p edi. atomni barqarorligini rezerfordni planetar modeli tushuntirib berolmadidi. Klassik tasavvurga tayangan holda atom nurlanishida chiziqli spektrlar masalasi ham ijobjiy natijasini topmadidi. Yana bir muhim muammolardan biri bo'lgan elementning nima uchun atomlari aynan ekanligi ham muammoligicha qoldi. Shunday qilib, klassik fizika juda ulkan natijalarga erishganiga qaramay, yuqorida keltirilgan masalalarni yechishda juda ham ojiz edi. Chunki bu masalalarni yechishda boshqacha fikrlash, yangi tasavvur va yangi tushunchalarga tayanish kerak edi. Maks Plankgacha bunday yangi tushuncha va tasavvur paydo bo'limgan edi. Shuning uchun ham Plankni kvant g'oyasi fizikani boshqatdan qarab chiqishga, pirovardida esa fizikada inqilob yasashga yo'l ochdi.

Suhbatimizni oxirida klassik fizika doirasida turib, hech ham tushuntirib berib bo'limgan hodisalarni ro'yxatini keltiramiz:

1. Gaz va qattiq jismlarni solishtirma issiqlik sig'imi va uni temperaturaga bog'liqligi.
2. Qizdirilgan jismlarni nurlanishini spektr taqsimoti (absolut qora jism nurlanishi).
3. Fotoelektr effekti.
4. Barqaror atomning tuzilishi.
5. Atomlarni nurlanishi va nur yutilishi. Chiziqli spektrlar.
6. Berilgan element atomlarining aynanligi.
7. Radioaktiv yemirilish hodisasi.

XX asr davomida ochilgan Kompton effekti, elektron-pozitron anniglatasiyasi, rentgen nurlari, Devisson va Jerm'er tajribasi kabi juda ko'p yangi eksperiment natijalarini ham klassik fizika nuqtayi nazaridan tushuntirib berib bo'lindi. Bu eksperimentlar yangi tasavvurga asoslangan yangi fizika-kvant fizikasini tug'ilishiga sabab bo'ldi.

## 1.2. Kvant mexanika fani nimani o'rganadi?

Kvant mexanika mikroolamga tegishli bo'lgan zarralarning xattiharakati qonuniyatlarini va bu olamda ro'y beradigan fizikaviy hodisalar va jarayonlarni o'rganadigan fandir. Mikroolamga mansub bo'lgan zarralarning o'lchami niyoyatda kichik bo'lib, ularni *mikrozarralar* deb atashadi. O'lchami  $\sim 10^{-10}$  m ga teng bo'lgan yoki undan kichik bo'lgan zarralar *mikrozarralar* deyiladi. Masalan, foton, elektron, neytron, proton, mezon kabi zarralar mikrozarralardir.

Kvant mexanika jumlasidagi kvant so'zi uzluklilik tushunchasini xarakterlab, u o'zbekchada bo'lax, parcha yoki qism degan ma'noni anglatadi, ilmiy til bilan aytganda kvant so'zi obyektni diskretligini, ya'ni shu bo'laklardan tashkil topganligini bildiradi. Masalan, O'zbekiston Respublikasining puli fizikaviy kattalik bo'lib, u kvantlangan,

ya'ni mazkur pul bo'laklardan iborat bo'lib, uning eng kichik kvanti bir tiyindir.

Mikrozarralar oddiy (makroskopik) zarralardan mutlaqo farq qilib, ular bir vaqtning o'zida ham korpuskular, ham to'lqin tabiatga ega. Mikrozarralarning bu ikkiyoqlama xususiyati *zarralarning dualizmi* deyiladi. To'lqin xossalari ayniqsa mikrozarralarning tarqalishida namoyon bo'ladi. Korpuskular xossa esa zarralarning o'zaro ta'sir jayayoniga taalluqlidir. Masalan, yorug'lilik dualistik xarakterga ega, u ham to'lqin, ham zarradir. Mikrozarralar xuddi to'lqin kabi birdaniga fazoning hamma nuqtalarida mavjud. Shuning uchun mikrozarralar harakatini trayektoriya tushunchasi bilan tavsiflash mumkin emas. Aksincha, klassik mexanikada esa zarralarning asosiy xossasi uning trayektoriyasi mavjudligidir. Elektron, foton, proton kabi zarralar uchun trayektoriya tushunchasini umuman qo'llab bo'lmaydi. Shu sababga ko'ra mikrozarralar harakatini va u bilan bo'ladigan jarayonlarni tavsiflash uchun mutlaqo yangi tasavvur, zarrani dualistik xususiyatini inobatga oladigan mexanika va uning yangicha matematik apparatini yaratish lozim.

Oddiy mexanikaning negizini Nyuton mexanikasi tashkil qiladi, relativistik tezliklar uchun esa Eynshteyn mexanikasi ishlataladi. Bu mexanikalarning tenglamalarida asosiy tushuncha trayektoriyadan foy-dalaniladi.

Kvant mexanikani asosida elementar zarralarning ikkiyoqlama xususiyatini e'tiborga oluvchi tenglama yotishi kerak. Xuddi shunday tenglama 1926-yilda shvetsariyalik fizik Ervin Shryodinger tomonidan bиринчи bo'lib taklif qilindi. Uning relativistik varianti esa elektronlar uchun ingliz fizigi Pol Dirak tomonidan berildi. Shryodinger va Dirak tenglamalari g'alati ko'rinishdagi to'lqin tenglamalaridir. Bu tenglamalar shunday tuzilganki, ularning yechimi elementar zarralarning xossalari hisobga olgan holda ularning dualistik xarakterini ham nazar-dan qochirmaydi. Kvant mexanik to'lqin tenglamalarining yechimi oddiy ko'rinishdagi to'lqin tenglamalar yechimi kabi to'lqin funksiyalar ko'rinishda bo'ladi. Kvant mexanikada bu funksiyalarni  $\Psi$ -funksiya (*psi-funksiya*) deb atashadi. Kvant mexanikaning to'lqin tenglamasi *Shryodinger tenglamasi* deyiladi va Nyutonning ikkinchi qonuni klassik mexanikada qanday o'rin tutsa, Shryodinger tenglamasi kvant mexanikada shunday o'rin tutadi.

$\Psi$ -funksiya mikrozarranining to'lqin tabiatini aks ettiradi. Uning yordamida, masalan, elektronlarning difraksiyasi hodisasini yoki  $K^0$ -mezonlarning interferensiysi hodisalarini tavsiflash mumkin, biroq Maksvell tenglamalari yechimidan farq qilib, u kompleks ko'rinishga ega va uni aniq talqin qilib bo'lmaydi. Chunki u tarqalayotgan yorug'lilik yoki tovush ko'rinishidagi yugurma to'lqin ham emas, shuningdek, interferensiya manzarasini hosil qiluvchi turg'un to'lqin ham emas, balki u

yoki bu natijani obyekti mavjud bo'lgan imkoniyatini bajarilishini tavsiflovchi to'lqin ehtimolidir. Shu jihatdan qaraganda  $\Psi$ -funksiyaning fizik ma'nosi yo'qdir. To'lqin funksiya modulining kvadrati  $|\Psi|^2$  esa fizik ma'noga ega bo'lib, berilgan vaqt momentida fazoning berilgan nuqtasida zarraning qayd qilinishi ehtimoliga teng. To'lqin tenglama va to'lqin funksiyaning ana shu xossasi mikrozarraning korpuskular xususiyatini aks ettiradi.

Kvant mexanikaning asosiy kashfiyoti – mikroolam qonunlarini ehtimol xarakteridir. Fizikaviy hodisalarining ehtimolli tavsifi, mikroolam qonunlarini statistik xarakterga ega ekanligidan dalolat beradi. *Umuman olganda, to'lqin funksiya-fizikaviy maydon emas, balki u axborot maydonidir.* Shunday qilib, to'lqin tenglamalar faqat mikroolamda o'rinnlidir. Ularni makroolam sohasida qo'llashdan hech qanday foyda yo'q, chunki uning natijalari bu sohada oddiy mexanikaning natijalidan farq qilmaydi. Zarralarning massasi kattalashganda kvant mexanika oddiy mexanikaga aylanadi.

Oxirida shuni aytishimiz mumkinki, hozirgi zamon kvant nazarriyasi birinchidan, batamom yangicha bir qator fizik tasavvurlarga asoslanadi. Ikkinchidan, bu nazariyani amaliyotga qo'llash uchun ishlataliladigan matematik apparat ancha murakkabdir. Shuning uchun kvant fizikani o'rganish katta mehnat va chidam talab qiladi.

Xulosa. Kvant mexanika 1926–28-yillarda nemis fizigi Verner Gayzenberg, shvetsariyalik olim Ervin Shryodinger, ingliz fizik nazarriotchisi Pol Dirak tomonidan yaratildi.

1925-yilda V.Gayzenberg kvant mexanikaning matritsali ko'rinishdagi birinchi variantini yaratdi. 1932-yilda kvant mexanikani yaratishdagi xizmatlari uchun unga Nobel mukofoti berildi. 1926-yilda Lui de-Broyl g'oyalardan ruhlangan E.Shryodinger to'lqin mexanikani yaratdi. Klassik mexanikada Nyuton qonunlari qanday rol o'ynasa, Shryodinger tenglamasida atom jarayonlarini tushuntirishda shunday rol o'ynaydi. 1933-yilda Shryodinger bilan Dirak birqalikda yangi mexanika yaratganligi munosabati bilan Nobel mukofotiga sazovor bo'ldi.

1927-yilda 25 yoshli Pol Dirak kvant mexanikaning relativistik matematik apparatini yaratdi va birinchi bo'lib bu apparatni elektromagnit maydonga qo'lladi. Natijada, u yangi kvant elektrodinamika fanini paydo bo'lishiga asos soldi.

«Kvant mexanikani tushunib bo'lmaydi, unga faqat ko'nikish mumkin» degan edi kvant elektrodinamikaning asoschilaridan biri richard Feynman. Haqiqatan aniq aytilgan. Chunki klassik fizikaning trayektoriya va boshqa tushunchalariga tayanib kvant mexanikani tushunib bo'lmaydi. Bu fanning shunday sohasiki, uni mutlaqo yangi poydevorda va tamomila yangi tasavvurlar yordamida qurish kerak. Klassik fizika g'oyasida tarbiyalangan kvant nazariyaning asoschisi

Maks Plank kvant g'oyalariga ancha vaqtgacha ko'nika olmadi. Buyuk fizik A.Eynshteyn esa umrinning oxirigacha kvant mexanikaning hozirgi zamon variantini tan olmadi.

### 1.3. Klassik nazariyani qo'llanilish chegarasi

Maxsus nisbiylik nazariyasida  $c = 3 \cdot 10^8$  m/s ga teng bo'lgan yorug'lik tezligi juda muhim ahamiyatga ega. Har qanday moddiy zarra, energiya va axborot tarqalishi tezligining eng yuqori chegara-sidir. Yorug'lik tezligi  $C$  bizga juda oddiy va tabiiy bir kriteriy beradiki, uning yordamida fizik hodisani «norelativistik»mi yoki «relativistic» ekanligini yechish mumkin bo'ladi. Yorug'lik tezligiga nis-batan juda kichik tezlikda harakat qilayotgan jismlar (zarralar) ga te-gishli bo'lgan masalalarda norelativistik Nyuton mexanikasi yetarli darajada aniq natijalar beradi. Shu sababli  $v << C$  hol uchun Nyuton tenglamalari to'la ma'noda o'rinnlidir. Patto yerda eng katta tezlik deb hisoblangan reaktiv samolyotlar va kosmik raketalar tezligi ham yorug'lik tezligidan nihoyatda kichik. Quyosh sistemasidagi barcha planetalar uchun ham  $v << c$  shart o'rinnlidir. Shunday qilib makro-masshtabdagagi jarayonlar uchun  $v << c$  shart bajariladi va bu jarayonlarni Nyutonning klassik nazariysi bilan tavsiflash bizni to'la qanoatlantiradi. Biroq hozirgi zamon tezlatkichlaridan zarralar tezligini yorug'lik tezligiga yaqin tezliklargacha oshirish mumkin. Hozirgi paytda AQSH dagi Kornell universitetining elektron sinxrotronida elektronlarni eng katta tezligi olindi. Bu tezlatkichda elektronning tezligi  $v = 0,99999992 \cdot S$  ( $c = 2,99792458 \cdot 10^8$  m/s)ga yetdi. Bunday tezlikda Kornell universitetidagi elektronning massasi uning tinchlikdagi massasidan 2500 marta katta bo'ladi. Ko'rib turibsizki, hatto yerda ham Eynshteynnning relativistik effektini hisobga olish juda muhimdir.

Tabiiy bir savol tug'iladi. Yorug'lik tezligi  $c$  ga o'xshagan boshqa bir kriteriy (chegara) yo'qmikin, uning yordamida qachon kvant me-xanikadan foydalananish mumkin va qachon klassik nazariyalar bilangina cheklanish mumkin. Shunday fundamental doimiylik mavjud, uni Plank doimiysi deyiladi. Plank doimiysining qiymati

$$h = 6,626 \cdot 10^{-34} J \cdot s = 6,626 \cdot 10^{-27} erg \cdot s$$

ga teng. E'tibor bering, Plank doimiysini birligi ikkita fizikaviy kattalikni birligini ko'paytmasidan tashkil topgan. Shuning uchun uning fizikaviy birligini turli kattaliklar ko'paytmasidan quyidagicha hosil qilish mumkn:

$$(energiya) \cdot (vaqt) = (impuls) \cdot (uzunlik) = (harakat miqdori momenti)$$

bilamizki, bunday o'lchamga ega bo'lgan fizikaviy kattalikni *ta'sir* deb atashadi. U holda Plank doimiysi *elementar ta'sirdir* yoki *eng kichik harakat miqdori momentidir*. Ta'si - tushunchaini Eyler va Mopertyui kiritgan. Ularning fikricha shanday mexanik kattalik borki, u harakatni

xarakterlovi koordinata sistemasiga ham, dinamik o'zgaruvchilarning qanday berilishiga ham bog'liq emas. Bu kattalikni *mekanik sistemanning ta'siri* deyiladi. Bu kattalikni tasavvur qilish 1.23-masalada ko'riladi. Bu kriteriyani qanday qo'llash mumkin? agar bizni qiziqtitirayotgan fizik sistemadagi a'sirni xarakterlovchi biror «tabiiy» dinamik o'zgaruvchining olgan son qiymati Plank doimiysi  $h$  ga yaqin bo'lsa, u holda bu sistemaning xatti-harakati kvant mexanika doirasida tavsiflanadi. Masalan, soat mayatnigini olaylik. Ta'sir birligidagi kattalikni topish uchun, birinchi kattalik sifatida mayatnik davri  $T$  ni, ikkinchi kattalik sifatida mayatnikning kinetik energiyasini  $K$  ni olish mumkin. Agar  $T=1$  s va  $K=1$  erg bo'lsa, ularning ko'paytmasi

$$1 \text{ erg} \cdot 1 \text{s} \gg 10^{26} h,$$

ya'ni nihoyatda kattadir. Tabiiyki, bu sistemanı tavsiflash uchun kvant mexanikani qo'llash noo'rın. Yana bir misol olaylik, jism aylanayotgan bo'lsin. Uning inersiya momenti  $1 \text{ g} \cdot \text{sm}^2$  ga, burchak tezligi esa  $1 \text{ rad/s}$  ga teng deylik. U holda harakat miqdori momenti

$$1 \text{ g} \cdot \text{sm}^2/\text{s} = 1 \text{ erg} \cdot \text{s}$$

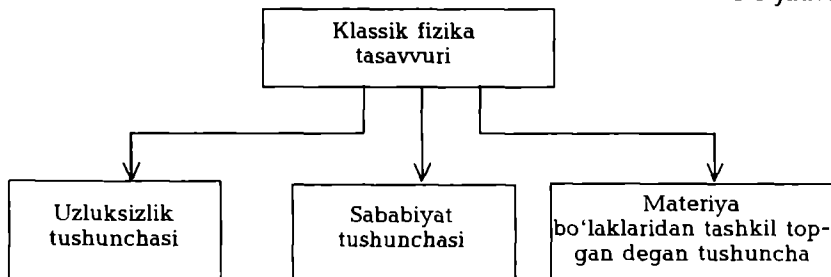
ni beradi. Bu qiymat ham  $h$  ni qiymatidan kattadir. Oxirida makroskopik garmonik ossillatorni olaylik. Ossillatorni massasi  $1 \text{ g}$  ga, maksimal tezligi  $1 \text{ sm/s}$  ga va maksimal amplitudasi  $1 \text{ sm}$  bo'lsin. Bu kattaliklarni o'zaro ko'paytmasi ham erg·s birlikni beradi va bu ko'paytmani son qiymati ham  $h$  qiymatidan nihoyatda katta.

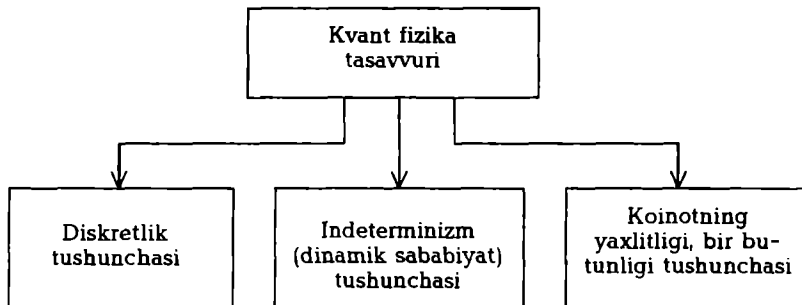
Shunday qilib, yorug'lilik tezligi  $c$  va Plank doimiysi  $h$  mos ravishda makroolamni megaolam bilan va makroolamni mikroolam bilan bog'lashda «ko'priklar» vazifasini bajaradi.

#### **1.4. Klassik nazariya bilan kvant nazariya orasidagi eng muhim farqlar**

Klassik nazariya tasavvuri bilan kvant nazariya tasavvuri orasida uchta muhim farq mavjud. Klassik fizika tasavvuri va kvant nazariya tasavvuri 1.1- va 1.2-jadvallarda keltirilgan.

*1.1-jadval*





Klassik fizikaning asosiy tushunchalari uzlusizlik, dunyoni bir-biriga bog'liq bo'limgan bo'laklarga bo'lish mumkinligi va tushunchalarni bir vaqtida bog'lanishi zarurdir. Agar bu tushunchalardan birini inkor etsak, u holda ularni hammasidan voz kechgan bo'lamiz.

1.1-1.2-jadvallarda keltirilgan chizmalardan ko'rinish turibdiki, klassik fizika bilan kvant fizika tasavvurining har biri o'zaro bir-biriga zid bo'lgan tushunchalarga asoslangan.

Klassik fizika doimo uzlusiz o'zgarib turadigan kattaliklar bilan ish ko'radi. Shuning uchun ham u trayektoriya tushunchasiga asoslangan. Unga qarama-qarshi o'laroq kvant mexanika uzlukli, diskret, kvantlangan kattaliklardan foydalaniлади. Shuning uchun kvant mexanikada trayektoriya tushunchasi umuman yo'q va u ma'noga ega emas. Klassik fizikada biror kattalikning boshlang'ich paytdagi miqdori bilan uning keyingi paytdagi miqdori orasida uzziy bog'lanish mavjud. Bu bog'lanish mexanik determinizmga asoslangan bo'lib, oqibat (natija) sababiyyatdan so'ng keladi, degan fikr beradi. Kvant nazariyaga ko'ra esa berilgan kattalikni ikkita vaqt orasidagi miqdorini bog'lash qonuniyati aniq emas, balki sodir bo'ladigan voqeaning faqat ehtimolini aytish mumkin. Shuning uchun kvant mexanikada jarayonlar indeterminizm – sababiyatsizlikka bo'ysungan bo'lib, oldindan hodisani sodir bo'lishini aniq aytib bo'lmaydi, balki ehtimollik qonunlari nuqtayi nazaridan (dinamik sababiyyat) bo'lishi yoki bo'lmasligini faraz qilish mumkin. Masalan, fotoeffekt hodisasida individual kvantni uzatish paytini va uzatish joyini oldindin aytib bo'lmaydi, lekin bu jarayonni sodir bo'lishi ehtimolini aytish mumkin. Metall sirtiga faqat bitta kvant (foton) tushgan bo'lsa, bu kvantning yutilishi yoki yutilmasligini aniq aytib bo'lmaydi. Aytib berish mumkin bo'lgan paytda ham qerda va qachon degan savolga javob berib bo'lmaydi. Biroq yorug'lik dastasidagi fotonlar soni ko'p bo'lsa, yorug'lik intensivligini bilgan holda berilgan sohada yutilgan fotonlarni o'rtacha sonini ehtimolini oldindan aytib berish mumkin.

Bundan chiqqan natija shuki, kvant qonunlari voqealarning ehti-molini boshqaradigan qonun. Voqeanning to'la namoyon bo'lishini kvant mexanika aytolmaydi. Klassik fizikada esa aksincha  $F = m \cdot \frac{d^2x}{dt^2}$  qonuniga asoslangan holda boshlang'ich shartlar berilgan bo'lsa, zar-raning istalgan paytdagi holatini differensial tenglamalar bilan xarak-terlash mumkin.

Birinchi qarashda Koinot turli-tuman fizik obyektlar: elementar zarralar, atomlar, molekulalar, o'simliklar, hayvonlar, odamlar, plane-talar, yulduzlardan tashkil topgan. Ikkinci tomondan bu murakkab sistema ko'zga ko'rinas iplar bilan bir-biriga bog'langan. Kvant fizikada barcha mavjud materiya va energiya to'rtta asosiy maydon: gravitatsiya, elektromagnit, ojiz va kuchli yadro o'zaro ta'siri yorda-mida tavsiflash mumkin. Fiziklarning eng asosiy masalasi shu o'zaro ta'sirlarni birlashtirish va olamni boshqaradigan yagona maydonni top-ishdir.

Kvant fizika Koinotni bir butun yaxlit holda tasavvur qiladi. Buni eksperimentlar tasdiqlaydi. Bu masalani yoritish murakkab va alohida vaqt talab qiladi.

### 1.5. Kvant fizikada doimiyliliklar va birliklar

Kvant fizikada eng muhim bo'lgan fizikaviy kattaliklarni ko'r-gazmali tasavvur qilish eng muhim masaladir. Mikroolamda ishlatalidigan fizikaviy kattaliklarni son qiymatlari nihoyatda kichik bo'lib, uni makroskopik birliklar sistemasida berilganda tushunishda va ishlatalishda ancha qiyinchiliklar tuhdiradi. Masalan, Plank doimiysi  $h = 6,626 \cdot 10^{-34} J \cdot s$  ni son qiymatini real ma'nosini tezda anglab olish juda qiyin.

Fizikaning qaralayotgan sohasiga qarab fizikaviy kattaliklarni biror tabiiy sistemada yozish, u yerdagi kattaliklarni ma'nosini ang-lashni yengillashtiradi. Albatta metr, sekund, kilogramm birliklari asosida tuzilgan Si sistemasi makroskopik mashtabda qulay. Biroq  $10^{-27}$  yoki  $10^{-40}$  tartibga ega bo'lgan mikroskopik mashtabdagi fizikaviy kattaliklar uchun ancha noqulay. «Ilmiy» birlik sistema deb hisoblangan santiyemetr, sekund, gramm asosidagi SgS sistemasi nisbatan «kichik» obyektlarni ifodalashda qulay. Kvant fizikani turli sohalarda o'rinni bo'lgan tabiiy birliklar sistemasini berish ancha qulayliklar tuhdiradi. 1.3-jadvalda keltirilgan ko'pgina doimiyliliklar «fundamental konstanta»lar deb atashadi. Biz bu sonlarga qarab, ularni haqiqatan ham «fundamental konstanta»lar ekanligini sezolmaymiz. Chunki bu kattaliklarni birliklari tasodifiy va erkli birliklar sistemasida olingen. 1.3-jadvalda qanday aniqlikda o'lchangan va o'lchash xatoliklarini ham keltirdik. Jadvalda keltirilgan Plank doimiysi ikkita belgilashda, ya'ni

*h* va  $\hbar$  da keltirilgan. Odatda,  $\hbar$  doimiylik bilan ishlash qulaylik tugdiradi.

**Kvant fizikada ishlataladigan fizikaviy doimiyliklar  
(SGS da)**

1.3-jadval

<i>Doimiyliklarning nomi</i>	<i>Belgilanishi</i>	<i>Qiymati</i>
1	2	3
Yorug'lik tezligi	$c$	$(2,997925 \pm 0,000001) \cdot 10^{10} \text{ sm/s}$
Plank doimiysi	$h=2\pi\hbar$ $\hbar=h/2\pi$	$(6,62559 \pm 0,00015) \cdot 10^{-27} \text{ erg s}$ $(1,05449 \pm 0,00003) \cdot 10^{-27} \text{ erg s}$
Elektron zaryadi	$e$	$(4,80298 \pm 0,00006) \cdot 10^{-10} \text{ SgSeq} =$ $= (1,60210 \pm 0,00002) \cdot 10^{-19} \text{ Kl}$
Elektron massasi	$m$	$(9,10908 \pm 0,00013) \cdot 10^{-28} \text{ g} =$ $= 0,5110034 \text{ Mev}$
Proton massasi	$M_p$	$(1,67252 \pm 0,00003) \cdot 10^{-24} \text{ g} =$ $= 938,2796 \text{ Mev}$
Boltsman doimiysi	$k$	$(1,38054 \pm 0,00006) \cdot 10^{-16} \text{ erg/K} =$ $= 8,62 \cdot 10^{-11} \text{ MeV/K}$
Avagadro soni	$N_0$	$(6,02252 \pm 0,00009) \cdot 10^{23} \text{ mol}^{-1}$
Nozik struktura doimiysi	$\alpha=e^2/\hbar c$	$\frac{1}{137,035982} \approx \frac{1}{137}$
Elektron radiusi	$r_e=e^2/mc^2$	$2,817938 \cdot 10^{-13} \text{ sm}$
Elektronning kompton to'lqin uzunligi	$r_k=\hbar/mc=r_0/\alpha$	$3,8615905 \cdot 10^{-11} \text{ sm}$
Pionning kompton to'lqin uzunligi	$r_\pi=\hbar/m_\pi c$	$1,414 \cdot 10^{-15} \text{ sm} \approx \sqrt{2} \text{ fm}$
Protonning kompton to'lqin uzunligi	$r_p=\hbar/m_p c$	$0,210 \cdot 10^{-15} \text{ sm} = 0,210 \text{ fm}$
Neytral ionning massasi	$M_n^0$	$135,0 \text{ Mev/s}^2$
Zaryadli ionning massasi	$M_n^\pm$	$139,6 \text{ Mev/s}^2$
Deytron massasi	$m_d$	$1875,625 \text{ Mev/s}^2$
Bor radiusi	$r_0=\hbar^2/e^2 m = r_0/\alpha^2$	$0,52917706 \cdot 10^{-8} \text{ sm}$
Bor magnetoni	$\mu_b=e\hbar/2m_s$	$0,57883785 \cdot 10^{-14} \text{ Mev/gs}$
Yadro agnetoni	$\mu_i=e\hbar/2m_s$	$3,1524515 \cdot 10^{-18} \text{ Mev/gs}$

Jadvalning davomi		
1	2	3
Ridberg doimiysi	$r_\infty = me^4/2\hbar^2 = mc^2\alpha/2$	13,605804 ev
Gravitassion doimiysi	$g$	$6,6732 \cdot 10^{-8} \text{ sm}^3/\text{g} \cdot \text{s}^2$
Elektronning siklotron chastotasi	$1/2\omega_e = e/2 mc$	$8,794023 \cdot 10^6 \text{ rad/s} \cdot \text{gs}$
Protonning siklotron chastotasi	$1/2\omega = e/2m,c$	$4,789378 \cdot 10^3 \text{ rad/s} \cdot \text{gs}$
Vodorodsimon atomlar uchun: $\frac{v}{c}$	$(v/c)_{eik}$	$\frac{Ze^2}{n\hbar c}$ , bunda $n = 1, 2, 3, \dots$
energiyasi	$En$	$\frac{\mu Z^2 e^4}{2(n\hbar)^2}$ , bunda $n = 1, 2, 3, \dots$
radiusi	$r_n$	$\frac{n^2 \hbar^2}{\mu Z e^2}$

Mikrofizikada energiyani o'lhash uchun elektron-volt (ev) birligi kiritilgan. U 1 volt potensial farqida e-elementar zaryad olgan energiya orqali topiladi. 1.3-jadvaldan e ni qiymatini bilsak. u holda

$$1 \text{ eV} = 1,6 \cdot 10^{-12} \text{ erg} = 1,6 \cdot 10^{-19} \text{ J.}$$

Elektron-voltdan tashqari, bu birlikni hosilalari ham ishlataladi:

$1 \text{ keV} = 10^3 \text{ eV}$ ,  $1 \text{ MeV} = 10^3 \text{ keV} = 10^6 \text{ eV}$ ,  $1 \text{ GeV} = 10^3 \text{ MeV} = 10^6 \text{ keV} = 10^9 \text{ eV}$  bunda,  $\text{keV}$  – kiloelektron-voltni,  $\text{MeV}$  – megaelektron-voltni,  $\text{GeV}$  – gigaelektron-voltni qisqa yozuvi.

Atom fizikasida energiyaning asosiy birligi  $\text{ev}$ , chunki tashqi elektronlarni atomdagи bog'lanish energiyasi shu tartibida.

Yadro fizikasida energiyaning asosiy birligi  $\text{MeV}$ , chunki yadroda zarralarning bog'lanish energiyasi  $\text{MeV}$  tartibida. Nihoyat elementar zarralar fizikasida qulay energiya birligi sifatida gigaelektron-voltni ishlatalishiadi.

$C$  va  $\hbar$  doimiyliklar relativistik kvant fizikada tez-tez uchraydi. Shu sababdan ularni o'lchamsiz va birga tenglash qulay:

$$c = \hbar = 1.$$

Bunday belgilash albatta fizikaviy o'lcham tasavvurimizga halal yetkazadi. Lekin bir narsani yoddan chiqarmaslik kerakki, bevosita taqqoslanadigan fizikaviy kattaliklar bir xil «fizik o'lcham»ga ega bo'lishi kerak. Qolgan sharoitlarda esa ularga yozilgan o'lcham fun-

damental xarakterga ishonsa bo'ladigan munosabatlarga asoslangan. Masalan, yorug'lik tezligi  $x$ -masofa bilan  $t$  vaqtini bog'lovchi fundamental doimiydir, ya'ni,  $x=ct$ , bunday yozuv bizga masofani ham, vaqtini ham bitta birlikda o'lchashga imkon beradi. Masalan, masofalarni o'lchashda astronomlar yorug'lik yilidan shundan foydalanishadi.

Agar  $c = \hbar = 1$  desak, kvant fizikadagi ko'p formulalar oddiy, aniq va ixcham ko'rinishga ega bo'ladi. Lekin, ushbu kitobda bunday birlikdan foydalansak, boshqa kitoblarni o'qishda ancha qiyinchiliklar tug'iladi. Shu bois biz sharoitga qarab, ayniqsa masalalar yechishda SGS va Si dan ham foydalanamiz.

$c$  va  $\hbar$  kattaliklar orqali boshqa doimiy bo'lgan fizikaviy kattaliklar orasidagi ayrim munosabatlarni ko'rsatib o'tamiz.

$m$  ni  $c$  va  $\hbar$  bilan bog'lanishi:

$$m = (\text{massa}), \quad mc^2/\hbar = (\text{vaqt})^{-1}$$

$$mc = (\text{impuls}), \quad \hbar/mc^2 = (\text{vaqt})$$

$$mc^2 = (\text{energiya}), \quad \hbar/mc = (\text{uzunlik})$$

Siz bu kattaliklar birliklarini tekshirib ko'ring.

Shunday qilib,  $E$  energiyani  $E/\hbar$ -chastota,  $E/\hbar c$ -chiziqli to'lqin son va  $yE/c^2$  massa bilan bog'laymiz.

$$\frac{\text{energiya}}{\text{massa}} = (9,31478 \pm 0,00005) \cdot 10^8 \frac{eV}{m \cdot ab.}$$

$$\frac{\text{chastota}}{\text{energiya}} = (2,41804 \pm 0,00002) \cdot 10^{14} \frac{Gs}{eV}$$

$$\frac{\text{to'lqinsimon}}{\text{energiya}} = (8,06573 \pm 0,00008) \cdot 10^3 \frac{1}{sm \cdot eV}$$

Bu munosabatlar o'tish koeffitsiyentlar orqali topiladi.

Kimyoda energiyani kaloriya deb o'lchashadi: 1 *kal* = 4,186 *J* =  $4,186 \cdot 10^7$  *erg*. Qizig'i shundaki, bitta atom yoki bitta molekulaga to'g'ri kelgan bog'lanish energiyasi  $E$  ni molar energiya bilan bog'lanish mumkin, ya'ni

$$Emol/E = N_0 = 23050 \text{ kal/eV} = 9,6487 \cdot 10^{11} \text{ erg/eV}$$

Temperatura bilan energiyani bog'laishda boltsman doimiysi o'tish koeffitsiyentini bajaradi:

$$E = kT,$$

bunda  $k = 8,617 \cdot 10^{-5} eV/K$ .

$$\frac{1}{k} = 11605 \frac{K}{eV},$$

bunda  $k$  – boltsman doimiysi,  $T$  – temperatura,  $K$  – esa Kelvinni anglatadi. Masalan, xona temperaturasi  $20^{\circ}\text{C} = 293\text{K}$  ga to'g'ri keladi.

Bu esa, energiya birligida  $k = 293\text{K} = \frac{1}{40} \text{eV}$ . Ko'rib turibsizki energiya

va temperaturani bir xil birlikda ifodalash mumkin.

Kvant elektrodinamikasida asosan elektronlarni elektromagnit maydon bilan ta'sirini o'rganadi. Ushbu nazariyaga ko'ra quyidagi fizikaviy kattaliklar kiradi:  $m$  – elektron massasi,  $e$  – elektron zaryadi,  $c$  – yorug'lilik tezligi,  $\hbar$  – Plank doimiysi. Shu doimiyliklar yordamida kvant elektrodinimikasini ehtiyojini qondiradigan ko'pgina munosabatlarni topish mumkin:

$m$  – massa birligi,  $\hbar/mc$  – uzunlik birligi.

$mc^2$  – energiya birligi,  $\hbar/mc^2$  – vaqt birligi.

Shu birliklar kvant elektrodinamikaning *tabiiy birliklari* deyiladi. Bunda  $e$  elementar zaryad bog'lanish doimiysi sifatida rol o'ynaydi. Bu doimiylik elektronni elektromagnit maydon bilan qanchalik kuchli bog'langanligini xarakterlaydi (to'g'riroq aytganda elementar zarra o'ziga o'xshagan zarra bilan qanay kuchda bog'langanligini belgilaydi).

Bu bog'lanishni xarakterlovchi kuchni belgilovchi o'lchamsiz kattalikni quyidagicha topish mumkin. Buning uchun  $\hbar/mc$  masofada turgan ikki elektron orasidagi elektrostatik kuchni hisoblab, uni  $\alpha$  bilan belgilaymiz:

$$\alpha = \frac{e^2 / (\hbar/mc)}{mc^2} = \frac{e^2}{hc} = (7,29720 \pm 0,00003) \cdot 10^{-3} \approx \frac{1}{137}$$

$\alpha$  – doimiylik atom fizikasida fundamental rol o'ynaydi va nozik struktura doimiysi deyiladi: tabiiy birliklarda  $u \propto e^2$ .

$\alpha$  ni son qiymatining kichikligi elektromagnit o'zaro ta'sirini kuchsiz ekanligini xarakterlaydi. Haqiqatan ham  $\hbar/mc$  masofada turgan ikki elektronning elektrostatik energiyasi ularning tinchlikdagi energiyasidan ancha kamdir.

Nozik struktura doimiysi tibiatdag'i fundamental konstantalardan biri bo'lib u emperik konstanta bo'lib, hozircha nazariy yo'lda hisoblanmagan.  $\alpha$  ni ifodasiga elektronning massasi kirmagan, shu bois  $\alpha$  doimiylik elektr magnit maydonning  $e$  zaryadga ega bo'lgan zaryadi bilan bog'lovchi konstantadir.

Atom fizikasida  $m$ ,  $\hbar$ ,  $c$  va  $e$  fundamental kattaliklarni bog'lanishidan foydalanimiz turli xil ifodalar tuzish mumkin va ular 1.4-jadvalda keltirilgan.

Ionlashtirish energiyasiga ekvivalent bo'lgan to'lqin son *ridberg doimiysi* deyiladi.  $R_{\infty}$  elektronni atomdan yulib olish uchun kerak

bo'lgan energiya, odatda, uni atomning asosiy holatidagi energiyasi ham deyiladi. Bu masalalarga keyingi boblarda mafassal to'xtalamiz. Elektronning orbitadagi harakati

$$v = \sqrt{\frac{e^2}{mc}} = \alpha \cdot c$$

uchun ifoda (tezlikni tabiiy birligida) elektronning tezligi yorug'lik tezligidan  $137$  marta kichik ekanligi, bu esa o'z navbatida atom masalasi norelativistik xarakterga ega ekanligini ko'rsatadi.

#### 1.4-jadval

Fizikaviy doimiyliklar	
Elektronning tinchlikdagi energiyasi	$mc^2 = (0,511006 \pm 0,000002) \text{ MeV}$
Elektronning Kompton to'lqin uzunligi	$\lambda_e = \hbar/mc = (3,86144 \pm 0,00003) \cdot 10^{-13} \text{ m}$
Birinchi bor radiusi	$r_0 = \hbar^2/me^2 = \alpha^{-1} \cdot \lambda_e = (5,29167 \pm 0,0002) \cdot 10^{-11} \text{ m}$
Vodorod atomi uchun ionlashtirish potensiali (proton massasi cheksiz katta deb hisoblanadi)	$R_\infty = 1/2 \cdot \alpha^2 \cdot mc^2 = (13,6053 \pm 0,00013) \text{ ev}$
Ridberg doimiysi (proton massasi cheksiz katta deb hisoblanadi)	$R'_\infty = \alpha/(4\pi r_0) = r_\infty/hc = (1097,3731 \pm 1,0) \text{ m}^{-1}$

Elektronning kinetik va potensial energiyasi:

$$K = \frac{mv^2}{2}, \quad \frac{m(\alpha c)^2}{2} = R_\infty, \quad U = -\frac{e^2}{r_0} = E - K = -2R_\infty = -2K$$

bunda,  $E$  – to'la energiya.

Bundan vodorod atomi kuchsiz bog'langan sistema ekanligi kelib chiqadi. Shuningdek,

$$r_0 = \frac{\lambda_e}{\alpha} = \frac{4\pi^2 \hbar^2}{me^2}, \quad R_\infty = \frac{\alpha^2 mc^2}{2} = \frac{e^2}{2r_0} = \frac{e^4 m}{8\pi^2 \hbar^2}$$

kabi qiziq bog'lanishlarni hosil qilamiz. Qizig'i shundaki,  $R_\infty$  ni soni  $\hbar/m$  va ye kabi uchta fundamental doimiyliklardan tashkil topgan. Xuddi shu kabi

$$13,6 eV = \frac{\alpha \cdot mc^2}{2}, \quad 0,53 \cdot 10^{-10} \text{ m} = \frac{1}{\alpha} \frac{2\pi\hbar}{mc}$$

ifodalasa bo'ladi.

Mavzu poyonida shuni aytamizki, fundamental doimiyliklar Ko-inotni va Dunyoni tuzilishida muhim ahamiyatga ega bo'lib, ularni kelib chiqishi sabablarini ko'plab fiziklar katta qiziqish bilan izla-moqdalar.

### **SAVOLLAR**

1. Kvant hodisalari deganda nimani tushunasiz?
2. Kvant nazariya, kvant mexanika va kvant fizikani ta'riflang.
3. Klassik fizikaning asosiy kamchiliklarini so'zlab bering.
4. Kvant nazariya va kvant mexanika qachon va kimlar tomoni-dan yaratilgan?
5. Klassik fizika tasavvurida turib tushuntirib berib bo'lmaydigan eksperimentlarni sanab o'ting.
6. Shryodinger tenglamasi va to'lqin funksiyani izohlang.
7. Yorug'lik tezligi va Plank doimiysi qanday kriteriya?
8. Plank doimiysining fizik ma'nosini ayting.
9. Klassik fizika qanday tushunchalarga asoslangan?
10. Kvant fizika qanday tushunchalarga asoslangan?
11. Kvant deganda nimani tushunasiz?
12. Uzlusizlik, sababiyat va dunyoning yaxlitligi haqida o'z tasav-vuringiz qanday?
13. Bu bobni o'qigandan so'ng sizda dunyo haqida qanday tasavvur hosil bo'ldi?
  14. To'lqin fizika nima uchun fizik ma'noga ega emas?
  15.  $|\psi|^2$  nimani aks ettiradi va uning fizik ma'nosini bormi?
  16.  $\psi$  va  $|\psi|^2$  kattaliklar hodisalarini qaysi tomonidan tavsiflaydi?
  17. Ehtimol va statistik fizika kvant mexanikada qanday rol o'yinaydi?
18. Nima uchun kvant mexanikani avval to'lqin mexanika deb atashgan?
19. Zarralar dualizmi deganda nimani tushunasiz?
20. Dirak, Shryodinger va Gayzenberglarning kvant mexanikalari nimasi bilan bir-biridan farq qiladi?

### **MASALALAR**

- 1.1. ZARRA (jism) sekundiga 3000 km tezlik bilan harakat qila-yapti. Bu tezlikni relativistik tezlik deb atasa bo'ladimi? Harakatdag'i zarraning massasi uni tinchlikdagi massasidan necha foizga ortadi?
- 1.2.  $v = 250000$  km/c bo'lsa massani tezlikka bog'liqlik o'zgarishini toping. Harakatdag'i jism massasi dastlabki massaga nisbatan qancha marta ortadi? Bu tezlikni relativistik tezlik deb atasa bo'la-dimi?
- 1.3. Relativistik massa tinchlikdagi massasidan 10 marta katta bo'lishi uchun jism qanday tezlik bilan harakat qilishi kerak?

1.4.  $m = 2000 \cdot m_0$  bo'lsa jismning tezligi qanday bo'ladi? Harakat-dagi jism tezligini c ga nisbatini yozing.  $c = 300000 \text{ km/s}$  – yorug'lik tezligi.

1.5. Yadro sohasidagi injenerlar energiyasi 50 MeV bo'lgan Elektron va protonlarni olish uchun mos ravishda sinxrotron va fazatron loyihasini tuzdilar. Aytingchi, bu loyihada relativistik effekt inobatga olinganmi? Bu tezlatgichlarda Elektron va protonlarning tezligi qanday qiymatga erishadi? Massalar o'zgaradimi? Elektronning tinchlikdagi massasi  $E_0 = (m_0c^2) = 0,511 \text{ MeV}$ , protonning tinchlikdagi massasi  $E_{op} = (m_0c^2)p = 938,3 \text{ MeV}$ .

1.6. Nima uchun siklotronda protonlarning energiyasini 20 MeV dan deyarli oshirib bo'lmaydi? Nima uchun siklotronda elektronlar tezlatilmaydi?

1.7. Meyrenda (Jenevaga yaqin) qurilgan gigant tezlatgichda protonlarning energiyasi 28 GeV ga teng. Protonning relativistik massasi uning tinchlikdaga massasidan necha marta katta? Tezligi qanday?

1.8. 1967-yilda Serpuxovda (Moskvaga yaqin) qurilgan sinxrofazatronda protonlarning energiyasi 6000 MeVga teng. Protonning relativistik massasini toping. Protonning tezligini yorug'lik tezligi bilan solishtiring.

1.9. Plank doimiysi ham yorug'lik tezligi kabi fundamental doimiylik bo'lib, u quyidan klassik fizikaning qo'llanilishi chegarasini xarakterlaydi. Plank doimiysini fizik o'lchamiga qarab uning fizik ma'nosi haqida nima deyish mumkin?

1.10. Ko'z oldingizga klassik fizika nuqtayi nazaridan eng kichik bo'lgan soat mayatnigini keltiring. Mayatnik davri 1 s. U olgan energiya esa 1 J bo'lsin.  $\hbar$  – kriteriyani qo'llab qaysi nazariya ishlatalishini ayting.

1.11. Ultrachentrifuga probirkasidagi suyuqlikda molekula aylanish o'qidan 0,1m masofada turibdi. Agar sentrifuga aylanish chastotasi 1000 ayl/s ga teng bo'lsa, molekulani impuls momentini toping va uni  $\hbar$  ni qiymati bilan qiyoslang. Molekulaning massasini  $m_M = 2 \cdot 10^{-22} \text{ kg}$  deb hisoblang.

1.12. Aylanayotgan jismning inersiya momenti 1 kg·m<sup>2</sup>, burchak tezligi 1 rad/s bo'lsin. Ta'sir o'lchamini tuzing va uni Plank doimiysi bilan solishtiring.

1.13. Kichik makroskopik garmonik ossillatorni tezligi 1 sm/s, maksimal amplitudasi 1 sm va maksimal impulsi 1 g·sm/s. Ta'sir o'lchamini tuzing va uni Plank doimiysi bilan solishtiring.

1.14. Vodorod atomida elektron  $v = 2,19 \cdot 10^6 \text{ m/s}$  tezlik bilan orbitada aylanayapti. Elektron bilan proton orasidagi masofa  $0,53 \cdot 10^{-8} \text{ m}$ . Berilgan kattaliklardan ta'sir o'lchamini hosil qiling va uni elementar kvant ta'siri bilan solishtiring.

1.15. Ikki atomli molekulaning inersiya momenti  $i = 1,414 \cdot 10^{-40}$   $\text{g} \cdot \text{sm}^2$ . Kinetik energiyasi  $K = 0,01$  eV bo'lsa, ikki atomli molekulaning aylanish moment impulsini toping va uni  $\hbar$  bilan taqqoslang.

1.16.  $m$ ,  $c$ ,  $\hbar$  doimiyliklar kvant elektrodinamikaning tabiiy birliklari deyiladi. Shu doimiyliklardan foydalaniib, massa birligi, energiya birligi, uzunlik birligi va vaqt birligi uchun ifodalar tuzing.

1.17. Nima uchun  $e$  – elementar zaryadni bog'lanish konstantasi deyiladi?

1.18. 1.17-masala asosida o'lchamsiz bog'lanish konstantasini xarakterlovchi ifoda tuzing va uni tushuntiring.

1.19. Nima uchun nozik struktura doimiysi tabiatning fundamental doimiysi deyiladi? Uni nazariy hisoblash mumkinmi?

1.20.  $\alpha = e^2/\hbar c$  formulada  $m$  massa ishtirok etmagan. Bu nimani anglatadi?

1.21.  $m$ ,  $\hbar$ ,  $e$  fundamental doimiyliklar yordamida bor radiusi va ionlashtirish radiusini toping.

1.22. Mikroolamda, ya'ni atom masshtabida mexanik kattaliklarni o'lchash jarayonida qanday kattalik koordinata sistemasiga va dinamik o'zgaruvchilarning kattaligiga bog'liq emas.

1.23. Ta'sir deganda nimani tushunasiz? Elementar ta'sir degandachi?

1.24. Kvant nazariya poydevori qanday fizikaviy kattalikka asoslangan?

## **II BOB**

### **Mavzu: KVANT FIZIKANING VUJUDGA KELISHI (ISSIQLIK NURLANISHI)**

**Reja:**

- 2.1. Issiqlik nurlanishi muammosi. Absolut qora jism.
- 2.2. Kirxgof masalasi.
- 2.3. Issiqlik nurlanishining klassik nazariyasi. Stefan-boltsman qonuni.
- 2.4. Vin formulasi. Vin siljishi. Vin funksiyasi.
- 2.5. Reley-Jins formulasi. Ultrabinafsha halokat.
- 2.6. Issiqlik nurlanishining kvant nazariyasi. Plank formulasi.
- 2.7. Plank formulasi – issiqlik nurlanishining umumiy formulasi.
- 2.8. Issiqlik (Jonson) shovqini.
- 2.9. Issiqlik shovqinining quvvati.
- 2.10. Kvant shovqini.

## **ADABIYOT**

1. А.Н.Матвеев. Атомная физика. «Высшая школа», М., 1989.
2. Д.И.Блохинцев. Основы квантовой механики. «Высшая школа», М., 1961.
3. Шифф. Квантовая механика. «ИЛ», М., 1959.
4. Е.В.Шполский. Atom fizikasi. I Tom. Т., «O'qituchi», 1970.
5. Фейнман, Лейтон, Сендс. Фейнмановские лекции по физике. IX том. Квантовая механика. «Мир», М., 1966.
6. Р.Бекjonov, В.Ахмадхояев. Atom fizikasi. Т., «O'qituchi», 1979.
7. M.Planck. Ann.d. Phys. 1901. v4. p.553 (original ish).
8. Slusher R. et.all. Phys. Rev. Lett. v55. p.2409. 1985.
9. Shaby R. et.all. Phys. Rev. Lett. v55. p.691. 1986.
10. Wu L. et.all. Phys. Rev. Lett. v57. p.2540. 1986.

**Annotatsiya (mavzu bayoni):** II bob 10 ta paragrafdan iborat. Bu bobda klassik fizika nazariyasining asosiy muammosi bo'lgan issiqlik nurlanishi jarayoni ancha mufassal yoritiladi. Absolut qora jismning nurlanishini nazariy jihatdan tushuntirishda klassik fizikaning deyarli barcha asosiy bo'limlari qo'llaniladi. Klassik fizikaning termodinamika,

elektrodinamika va statistika fizikasi kabi yirix bo'limlarining qonunlarini «bira yo'la» qo'llanilishi ham issiqlik nurlanishi muammosini yecha olmadi. Bu esa muammoni naqadar murakkab ekanligini va uni yechish uchun yangi g'oya izlash va yangi tasavvur naqadar zarur ekanligi ochiq ravshan bo'lib qoladi. Bu yo'lida izlanishlar yangi Kvant nazariyani paydo bo'lishi, pirovardida uning matematik apparati Kvant mexanika fanini vujudga kelishiga sabab bo'ldi. Kvant hodisalarini tushun-tiruvchi kvant fizikani naqadar zarur ekanligi ayon bo'ldi va bu fan barcha fanlarni rivojlanishiga katta turki bo'ldi. Bu bobda biz hech qaysi darsliklarga kiritilmagan Jonson shovqini va Kvant shovqini kabi mavzularni kiritdik. Bu mavzularni kiritilishdan asosiy maqsad, Kvant fizikani g'oyalarini amaliyot sohasidagi masalalarni yechishda naqadar kerak ekanligi va ularni misollar bilan ko'rsatishga harakat qildik. Bu masalani yoritishda astrofizika va radioaloqani hozirgi zamon muammolarini va uning yechish yo'llarini bayon qildik. Astrofizika, radiotexnika va nozik asboblar texnikasini rivojlanishida kvant g'oyaning qo'llash zarur ekanligi va usiz bu sohalarda rivojlanish bo'imasligini ko'rsatishga harakat qildik. Bu paragraflarning mavzusi butunlay yangicha bo'lib, biz unda Plank g'oyasi va formulasining jozibasini yanada ochib berishga intildik. Bu mavzular orqali kvant g'oyani amaliyot bilan uzviy bog'langanligini talabaga yetkizishga va u orqali talabada kvant fizikaga havas qilish hamda uning go'zalligi va qiziqarlilikani uning ongiga yetkazishga va bu yo'lida ishlashga chorlashga harakat qildik.

### **Mavzu qahramonlari**

1. Gustav Kirxgof. 1860-yilda Kirxgofning universal funksiyasini bergen. Issiqlik nurlanishining qonunlarini izlash yo'lida ishlagan.
2. Shilgelm Vin (1864–1928). 1883-yilda Vinning strukturaviy formulasini, vin siljishi va 1896-yili Vin formulasini berdi. 1911-yilda issiqlik nurlanishi qonunlarini kashf etganligi munosabati bilan Nobel mukofotiga sazovor bo'ldi.
3. Yoozef Stefan. 1879-yilda energetik yorituvchanlik formulasini berdi.
4. Lyudvig Boltsman. 1884-yilda energetik yorituvchanlik formulasini nazariy jihatdan keltirib chiqardi.
5. J.U.Reley (1842–1911). Reley-Jins formulasining mualliflaridan biri. Muhim gazlarning zichligi masalasini yechishdagi ishlari va argon elementini kashf etganligi uchun 1900-yilda Nobel mukofoti oldi.
6. D.D.Jins (1877–1946). Reley-Jins formulasini nazariy jihatdan isbotladi.
7. M.Plank. 1900-yilda issiqlik nurlanishini kvant nazariyasini yaratdi. Elementar ta'sir (Plank doimiysi) kashf etishi munosabati bilan

va fizikaning rivojlanishida katta hissa qo'shganligini inobatga olib unga 1918-yilda Nobel mukofoti berilgan.

8. Dj.b.Jonson. 1939-yilda Jonson shovqinini (issiqlik shovqini) kashf etdi.

9. Garold Friis. 1928-yilda 20 Mgts chastotali priyomnik yaratdi va Jonson shovqinini eksperimental kashf qildi.

10. Karl Yan. Kosmik radioshowqinni kashf etib radioastronomiya fanini rivojlanishiga yo'l ochdi.

11. A.Penzias, R.Vilson. Kosmosdan kelayotgan rilekt nurlanishlarni kashf qilganligi uchun Nobel mukofotiga sazovor bo'ldi.

## **II bob. KVANT FIZIKANING VUJUDGA KELISHI (ISSIQLIK NURLANISHI)**

### **2.1. Issiqlik nurlanishi muammosi. Absolut qora jism**

Kvant nazariyani yaratilishi muvozanatli issiqlik nurlanishini to'la tavsiflash borasidagi olib borilgan izlanishlar bilan bevosita bog'liq. Muvozanatlari nurlanishni o'rganish kvant nazariyaning paydo bo'lishida eng asosiy o'rinni tutadi desak biz yanglismagan bo'lamiz. Bunga sabab shundaki, XX asr oxirigacha absolut (mutlaq) qora jismning issiqlik nurlanishi borasida olingen eksperimental natijalarni klassik nazariya jihatidan tushuntirishlarni barchasi inqirozga uchradi.

Jismning issiqlik nurlanishi luminessensiya nurlanishning barcha ko'rinishlaridan (masalan, xemiluminestsentsiya, elektroluminestsentsiya, katodluminestsentsiya, fotoluminestsentsiya va h.k.) mutlaqo farq qiladi. Issiqlik nurlanishi o'zini nurlayotgan jismlar bilan Termodinamik muvozanat holatida bo'laoladigan yagona nurlanishdir. Shunga ko'ra ham issiqlik nurlanishi fizikasini o'rganish termodinamika va optika kabi bo'limlarni yagona nuqtayi nazardan tatbiq etish kerakligini taqozo qiladi. Bu esa o'z navbatida statistik mexanika va elektromagnit nazariyalarini ham tatbiq etishga olib keldi. Boshqacha aytganda issiqlik nurlanishini o'rganish Klassik fizikaning barcha bo'limlarini ishga soldi, ishga solganda ham bu muammoga umumiy jihatdan yondashishni talab qildi. Klassik fizika doirasidagi barcha vositalarni ishga solinishiga qaramay issiqlik nurlanishi muammosi hal qilinmadi. Shu bois ham Klassik fizika birinchi bor jiddiy mag'lubiyatga uchradi va uning vositalari bilan issiqlik nurlanishi muammosini tushuntirib bo'lmaslik aniq bo'lib qoldi. Shu sababga ko'ra issiqlik nurlanishini to'la tavsiflash uchun yangi tasavvur, yangi g'oya kerak ekanligi ravshan bo'lib qoldi.

Issiqlik nurlanishi muammosini o'rganish Klassik fizikani jiddiy kamchiliklarga ega ekanini ko'rsatdi va bu borada izlanishlar o'z navbatida fizikada buyuk burilishga to'g'riroq aytganda fizikani buyuk inqilobiga olib keldi. Bu masalani yaxshi anglash uchun absolut qora Jism muammosini batafsilroq ko'rib chiqamiz. O'ziga tushayotgan barcha to'lqin uzunlikdagi nurlanishlarni batamom yutib oladigan jismga *absolut qora jism* deyiladi. Absolut qora jismga yaqin bo'lgan jismlar qorakuya ( $\alpha=0,95$ , bunda  $\alpha$  – issiqlik yutilish koeffitsiyenti), palladiy kuyasi ( $\alpha=0,91+0,98$ ) yoki qora o'pqon ( $\alpha=0,99$ ) deb atalgan astronomik obyektni ko'rsatishi mumkin.

Eksperimentator yaratgan absolut qora jism – bu tor tirkishli kovakdir ( $\alpha \approx 1$ ). Ideal silliq sirt bilan o'ralgan bo'shliq kovak deyiladi.

Issiqlik nurlanishing xarakteri haqida tushuncha hosil qilish uchun turli temperaturagacha qizdirilgan jismlarni yopiq kovak ichiga joylashtiraylik. Kovak ichidagi turli temperaturada bo'lgan jismlarning nurlanishi kovakning silliq devoridan ko'p bor qaytadi. Tajriba ko'rsatdiki, pirovardida ozmi-ko'pmi vaqt o'tgandan so'ng, sistemada issiqlik muvozanati barqarorlashadi va barcha jismlar (kovak devori ham) bir xil temperaturaga ega bo'lib qoladi. Kovak ichida mutlaq vakuum bo'lganda ham elektromagnit to'lqinlar chiqarilishi va yutilishi hisobiga jismlar bir-biri bilan o'zaro energiya almashib issiqlik muvozanatiga kelishi mumkin. Termodinamik issiqlik muvozanatida kovak-dagi nurlanishing makroskopik holati vaqt bo'yicha o'zgarmaydi. Muayyan temperaturaga ega bo'lgan jismlar bilan ushbu nurlanishing termodinamik muvozanati *Muvozanatlari nurlanish* yoki *qora nurlanish* deb ataladi.

Muvozanatlari nurlanishing energiya zichligi va uning spektrial tarkibi kovakning o'lchami va shakliga, shuningdek, uning ichida joylashgan jismlarning xossalari bog'liq emas. Muvozanatlari nurlanishing xossalari faqat *temperaturaga* bog'liq. Shu sababdan ham to'g'ridan-to'g'ri nurlanishing o'zini temperaturasi haqida gapirish mumkin va bu temperatura muvozanatlari nurlanish temperaturasi bilan xarakterlanadi. *Muvozanatlari nurlanish bir jinsli, izotrop va qutblanmagandir, chunki u fazoning har bir nuqtasida bir xil zichlikka va bir xil spektrial tarkibga ega. Shuning uchun elektromagnit maydon kuchlanishi ham hamma yo'naliishlarda bir xil ehtimollikka ega bo'ladi.*

Ideal silliq devorga ega bo'lgan bo'm-bo'sh kovakda nur yutilishi va chiqarilishi sodir bo'lmaydi. Biroq qandaydir yo'l bilan bu kovakka nurlanish kirgizsak, uning yo'naliishi kovak devorida ko'p bor qaytish hisobiga o'zgaradi. Ammo, uning spektrial tarkibi esa o'zgarmay qolaveradi. Bunday nurlanish nomuvozanatlari va beqarordir. Mazkur nurlanishni muvozanatlari qilish uchun kovak ichiga hech bo'limganda juda kichik biror jismni kiritish kifoya (masalan, ko'mir ushohi). Ana shu ushoqcha kovak ichidagi nurlanishni muvozanatlari nurlanish qilishga yordam qiladi va bu faqat biror vaqt o'tishini talab qiladi. Muvozanatlari nurlanish hosil qilish uchun ketgan vaqt faqat ushoqning xossasiga bog'liqdir.

Muvozanatlari nurlanishing eksperimental o'rganish uchun muayyan temperaturada kovak devoriga tor teshik ochish kifoya. Kovakda muvozanatlari temperatura bo'lgani uchun tirkishdan tashqariga chiqayotgan nurlanishing spektrial tarkibi kovak ichidagi kabitdir. Muvozanatlari holatdan u faqat bir tomonga yo'naliishi bilan, ya'ni noizotropligi bilan farq qiladi.

Kovak ichida temperaturaning ortishi tirkishdan chiqayotgan nurlanishing ortishiga sabab bo'ladi. Natijada, nurlanishing tarkibi

o'zgaradi va uning maksimumi qisqa to'lqinlar sohasi tomon siliydi (2.2-rasm). Bu o'zgarish muvozanatlari nurlanishning hajmi zichligi uga ta'sir ko'rsatadi va temperatura ortganda uning spektrial taqsimlanishiga ta'sir ko'satadi. To'lqin uzunliklar yoki chastotalar bo'yicha energiyani taqsimlanishini xarakterlash uchun *Nurlanishning spektrial zichligi u, yoki u, degan tushunchalar kiritiladi*.  $\lambda$  dan to  $\lambda + d\lambda$  intervalida birlik hajmdagi nurlanish energiyasi  $u_\lambda d\lambda$ ,  $v+ dv$  chastotalar intervalida birlik hajmdagi nurlanish energiyasi  $uvdv$  kabi belgilanadi. Nurlanishning spektrial tarkibi bir xil bo'lganligi uchun

$$u_\lambda d\lambda = u_v dv \quad (2.1)$$

tenglik o'rinnlidir. U holda Muvozanatlari nurlanishning hajmi zichligi

$$U = \int_0^\infty u_\lambda d\lambda = \int_0^\infty u_v dv \quad (2.2)$$

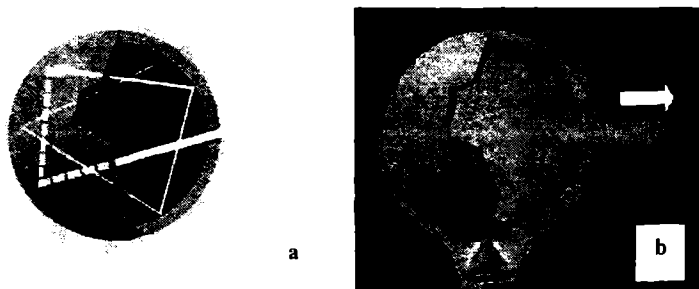
Muvozanatlari nurlanish holatida nurlanishning spektrial zichligi ( $u_v$  yoki  $u_\lambda$ ) faqat *chastotaga* (yoki *to'lqin uzunlikka*) va *temperaturaga* bog'liq. issiqlik nurlanishi naziriyasining asosiy maqsadi  $u_v(T)$  yoki  $u_\lambda(T)$  funksiyaning ko'rinishini topishdir.

## 2.2. Kirxgof masalasi

Qattiq, suyuq va gaz holatidagi barcha jismlar nurlanadi. Jism zaralarining tartibsiz issiqlik harakatida uning atom va molekulalarining uyg'onishi hisobiga, boshqacha aytganda, jismning ichki energiyasi hisobiga nurlanish energiyasi vujudga keladi. Jismning faqat temperaturasiga bog'liq bo'lgan nurlanish *issiqlik nurlanishi* deb ataladi. Har xil jismlarning issiqlik nurlanishining xossasi jismning tabiatiga bog'liq bo'lmay, balki faqat uning temperaturasi bilan aniqlanadi. Masalan, yonayotgan gaz alangasiga kiritilgan metall o'zak kvars o'zakka nisbatan ravshanroq, o'z navbatida esa, alanga uchquni esa ulardan ham ravshanroq nur sochadi. Muayyan temperaturadagi jismning issiqlik nurlanishi uning nurlanish qobiliyati bilan aniqlanadi. Birlik yuza sirtidan birlik vaqt ichida chiqayotgan nurlanish energiyasiga *jismning nur chiqarish qobiliyati* deyiladi va  $r$  bilan belgilanadi.

Barcha jismlar o'ziga kelib-Tushayotgan nurlanishni yutish qobiliyatiga ham ega. Yutish jarayonida nurlanish energiyasi jismning ichki energiyasiga aylanadi. Tajribadan ma'lumki, bir jism nurlanishni ko'proq yutsa, boshqasi kamroq yutadi. Shu bois har qanday jism yutish qobiliyati deb atalgan kattalik bilan xarakterlanadi. Tushayotgan nurlanishning qanday ulushini (qismini) yutilishini xarakterlaydigan kattalik *jismning yutish qobiliyati* deyiladi va  $a$  harfi bilan belgilanadi. Yutish qibiliyati jismning tabiatiga uning sirtining holatiga (silliq yoki g'adir-budir) va shu jismga tushayotgan nurlanishning to'lqin uzunligiga bog'liq. Jism mutlaq qora bo'lganda u o'ziga tushayotgan barcha

nurlanishni yutadi. Bunday absolut qora jism uchun yutish qobiliyati 1 ga teng, ya'ni  $a=1$ . absolut qora bo'limgan barcha jismalar uchun  $a<1$ ; ideal silliq sirt ko'zgu uchun  $a=0$ . 2.1-rasmda absolut qora jismning nur chiqarish qobiliyati va yutish qobiliyati tasvirlangan.



2.1-rasm. Absolut qora jism xossasi: a) yutish qobiliyati katta bo'lgan jism; b) nur chiqarish qobiliyati katta bo'lgan jism.

Muayyan temperaturada har qanday jismning nur chiqarish qobilayatini yutish qobiliyatiga nisbati jismning tabiatiga bog'liq emas va bu nisbat absolut qora Jismning nur chiqrishi qibiliyatiga teng, ya'ni

$$\frac{r_1}{a_1} = \frac{r_2}{a_2} = \dots = \frac{r_{\text{qora}}}{a_{\text{qora}}} = r_{\text{qora}}$$

chunki absolut qora jism uchun  $a=1$ . Bunda  $r_1, r_2, \dots, a_1, a_2, \dots$  - turli jismalarning nur chiqarish va nur yutish qobiliyati. Shu munosabatga binoan Jismning yutish qobiliyati qancha katta bo'lsa uning nur chiqarish qibiliyati ham shuncha katta ekanligi kelib chiqadi. Muayyan temperaturada absolut qora jism eng ko'p nur chiqarish qibiliyatiga ega. Muvozanatli nurlanishda esa, har qanday jismning birlik yuzasidan birlik vaqt ichida chiqarayotgan nurlanish energiyasi absolut qora jism nurlanish energiyasiga tengdir. Haqiqatan ham jism o'ziga tushayotgan nurlanish energiyasi  $I$  ni  $aI$  qismini yutishi, qolgan  $(1-a)I$  qismi esa qaytishi va bunga  $aI$  yutish energiyasiga teng bo'lgan r-nurlanish energiyasini qo'shsak

$$(1-a) \cdot I + r = (1-a) \cdot I + aI = I = r_{\text{qora}}$$

tenglikka ega bo'lamiz.

Shu sababdan ham kovak ichidagi nurlanish ham xuddi absolut qora jism chiqarayotgan nurlanish kabi bo'ladi va uni o'rganish uchun kovakda kichik tirqish ochish kifoya. Issiqlik nurlanishi masalasi bilan ayniqsa nemis olimi Kirxgof qiziqdi va uning ustida ko'p ishladi. Yuqorida keltirilgan munosabat spektrial nur chiqarish qibiliyati  $r_v$  va nur yutish qobiliyati  $a_v$  uchun ham o'rinnlidir.

1859-yilda gustav Kirxgof qiziq bir qonunni topdi. Issiqlik muvozanati paytida jismning nurlanish qobiliyatini uning yutilish qobiliyatiga nisbati chastota va temperaturaga bog'liq bo'lgan universal funksiya ekan. Bu universal funksiyani odatda, Kirxgof funksiyasi deb ataladi. Agar jismning nurlanish qobiliyatini  $r_v$  va yutish  $a_v$  desak, u holda

$$\frac{r_v}{a_v} = c \frac{u_v}{4} \quad (2.3)$$

ifoda o'rinnlidir (bunda  $s$  – yorug'lik tezligi).

(2.3) formuladagi  $r_v$  va  $a_v$  kattaliklarni har biri bir jismdan ikkinchi jismga o'tganda keskin o'zgarishi mumkin. Ammo ular hosil qilgan munosabat  $\frac{r_v}{a_v}$  esa o'zgarmas qolaveradi. Kirxgof qonuning asl maz-

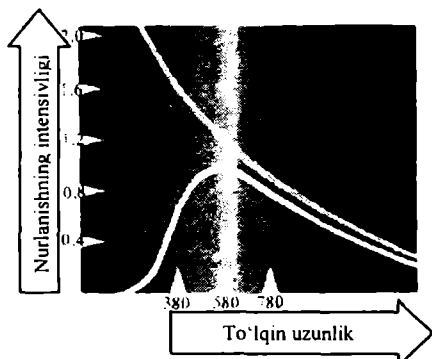
muni shundadir. Kirxgof qonuniga ko'ra qora jism *nurlanishing intensivligi devorning materialiga bog'liq emas, faqat chastota va temperaturaga bog'liq*. Shu munosabat bilan Kirxgof fiziklar oldiga ikki masalani hal qilish vazifasini qo'ydi:

1. Nurlanish energiyasining to'la zichligi  $U$  ni temperaturaga bog'liq bo'lish.

2. Muvozanatli nurlanish energiyasining spektrial zichligi (tar-kibi)  $u(\lambda, T)$  yoki  $u(v, T)$  ko'rinishini topish, ya'ni

$$u(\lambda, T)dv = F(v, T)dv. \quad (2.4)$$

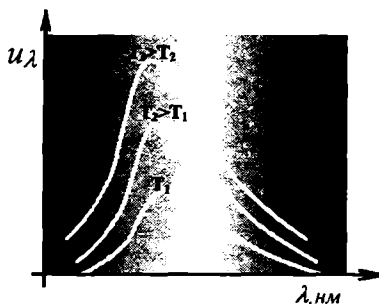
(2.4) formuladagi  $F(v, T)$  – adabiyotda *Kirxgof funksiyasi* yoki *universal funksiya* deb yuritiladi.



2.2-pasm. Absolut qopa jism nurlanishing intensivligini to'lqin uzunlikka bog'liqligi. Bunda  $T = 5250\text{K}$  (yashil chiziq). Peley-Jins metodi bilan olingan egilib (sapiq chiziq) Bin fomulasi bilan olingan egrilik (binafsha), Plank fomulasi bilan hisoblangan egrilik eksperimental egrilik ustiga tushadi. Bu yerda  $\lambda_{\max} = 580 \text{ nm}$ .

Birinchi masala 20-yillardan keyin, ikkinchi masalani yechish uchun 45 yildan ko'proq vaqt kerak bo'ldi. Krixgofni qo'yanik ikki masalasini eskperimentatorlar muvaffaqiyatli yechdilar. 2.2-rasmda

$T = 5250\text{K}$  temperatura uchun nurlanish intensivligining to'lqin uzunliklar bo'yicha taqsimoti tasvirlangan. 2.3-rasmida esa turli temperaturalar uchun intensivligini (nurlanish energiyasining zichligini) to'lqin uzunliklar uchun taqsimoti keltirilgan. Bu masalani nazariy jihatdan



2.3-pasm. Nurlanish intensivligini to'lqin uzunlikka bog'liqlik taqsimoti tupli temperaturalarda keltirilgan.

yechish katta qiyinchiliklarga duch keldi. Bu masalalarni yechishga juda ko'p fiziklar urindilar. Birinchi masalani yozef Stefan (1879-yil) va Lyudvig boltsman (1884-yil) muvaffaqiyatli hal qildilar. Ikkinci masalani nemis olimi Vilgelm Vin (1893-yil), Reley va Jins (1900-yil) qisman yechdilar. Klassik fizika pozitsiyasida turib bu masalani hal etishdag'i barcha urinishlar «bekor ketdi». Bu masalani yangi tasavvur bilan qurollangan Maks Plank yechishga muyassar bo'ldi. Uning kiritgan yangi g'oyasi issiqlik nurlanishini to'la tushuntirib berdi. Sha natijada fizikada, yuqorida aytganimizdek, buyuk burilish ro'y berdi. Bu hol 14-dekabr 1900-yil bo'lib, XX asr kvant fizika asni bo'lib goldi.

### 2.3. Issiqlik nurlanishining klassik nazariyasi. Stefan-boltsman qonuni

Birlik sirdan birlik vaqtida chiqayotgan barcha to'lqin uzunlikdag'i nurlanishlarning to'la energiyasi, ya'ni energetik yorituvchanlik (ravshanlik)

$$R = \int_0^{\infty} r_{\lambda} d\lambda = \int_0^{\infty} r_v dv \quad (2.5)$$

bilan aniqlanadi.

$r_v$  – chiqarish qobiliyati faqatgina jism larning issiqlik nurlanishiga xos bo'lib, luminessensiya nurlanishi bundan matlaqo mustasnodir. Qralayotgan jism uchun  $r_v$  faqat temperaturaga bog'liq. Jismning chiqarish qobiliyati atrofdagi muhitga ham jism bilan nurlanishni muvozanatliliga ham bog'liq emas. Eksperimental ma'lumotlarni tahlil qilgan Stefan 1879-yilda energetik yorituvchanlikni issiqlik nurlovchi jism absolut temperaturasi  $T$  ni to'rtinchchi darajasiga proporsional ekanligini aniqladi:

$$R = \int_0^{\infty} r_v dv = \sigma T^4 \quad (2.6)$$

(2.6) formulani Stefan empirik yo'l bilan topgan bo'lsa, 1884-yilda boltsman termodinamik mulohazalaridan hamda Maksvell elektrodi-namikasining qonunlaridan foydalaniб nazariy yo'l bilan topdi. Shu boisdan ham (2.6) munosabatdagi energetik yorituvchanlik  $r$  Ni termodinamik temperaturaga bog'lanish formulasini Stefan-boltsman qonuni deb yuritiladi.  $\sigma$  – Stefan-boltsman doimiysi bo'lib, uning son qiymati

$$\sigma = 5,6 \cdot 10^{-8} \frac{Bm}{m^2 K^4}$$

ga teng. Stefan-boltsman qonuni faqat absolut qora jismlarning nurlanishi uchun o'rinli, lekin qora bo'lmagan jismlar uchun (2.6) formula o'rinli bo'lmay, uning oddiy analitik ifodasi yo'q.

Umuman olganda, qora bo'lmagan jismlar uchun Stefan-boltsman qonunini quyidagicha yozish mumkin.

$$R = \epsilon \sigma T^4 \quad (2.7)$$

Bunda  $\epsilon \leq 1$  nurlatgichning issiqlik nurlanish koefitsiyenti yoki qisqacha nurlanish koefitsiyenti deb ataladi. Gohida uni qoralik koefitsiyenti ham deyiladi.

#### **2.4. Shin formulasi. Shin siljishi. Shin funksiyasi**

Muvozanatlari nurlanishni nazariy o'rganishdagi keyingi qadamni 1893-yilda nemis fizigi Vilgelm Vin qo'ydi. Kirxgofni (2.4) formulasini u bir o'zgaruvchilik ko'rinishiga keltirishga muvaffaq bo'ldi, ya'ni

$$u_v dv = v^3 F\left(\frac{v}{T}\right) dv. \quad (2.8)$$

(2.8) formulani Vinning strukturaviy formulasi deyiladi.  $T$  temperatura birlik chastotaga (yoki to'lqin uzunlikka) to'g'ri kelgan nurlanish energiyasini topish formulasini strukturaviy formula deyiladi. Termodinamik mulohazalardan va yorug'lik chastotasini o'zgarishini ifodalovchi Dopler effektini inobatga olib topilgan (2.8) formula Krixgof masalasini to'la yechimini bermadi. Bu masalani yechishda Vinning xizmati shundaki, u ikki o'zgaruvchili funksiyani bir o'zgaruvchili funksiya ko'rinishiga keltirdi. Bu esa termodinamik nurlanish xossalari haqida yetarlicha ma'lumot olish imkoniyatini berdi. Vinning strukturaviy formulasini temperatura  $T$  ni o'zgarishi bilan energiyaning spektrial zichligining maksimumini siljishini ko'rsatadi. (2.8) formulani nurlanishning to'lqin uzunliklari uchun yozamiz:

$$u_\lambda d\lambda = \lambda^{-5} \phi(\lambda, T) d\lambda. \quad (2.9)$$

Spektrial zichlikning maksimumini siljishini (2.9) formuladan oson topish mumkin. Buning uchun (2.9) formulani differensiallash va hosisasini 0 ga tenglash kerak. Natijada,

$$-5\varphi(\lambda_{\max}, T) + \lambda_{\max} T \varphi'(\lambda_{\max}, T) = 0$$

bundan

$$\lambda_{\max} T = c_0 \quad (2.10)$$

kelib chiqadi (bunda  $s_0 = 2,9 \cdot 10^{-3} m \cdot K$ ).

(2.10) formula *Vinning siljish qonuni* deb yuritiladi. Muvozanatli (qora) nurlanish uchun nurlanish energiyasining spektrial zichligining eng katta qiymatiga to'g'ri kelgan to'lqin uzunlik  $\lambda_{\max}$  termodinamik temperatura  $T$  ga teskari proporsionaldir. Bu ifoda eksperimentda o'lchangan nurlanish energiyasi zichligini  $\lambda$  ga bog'liq taqsimotdagi maksimumga to'la o'rinali bo'lib (2.3-rasm), nurlanish intensivligini to'lqin uzunlikka bog'liq taqsimotini turli temperatura uchun o'lchangan natijalarini to'la aks ettiradi.

Bu formula texnikada va astrofizikada juda katta ahamiyatga ega, chunki u spektrial tahlil asosida quyosh, yulduzlarning temperaturasini o'lchash imkoniyatini ochdi. Masalan, relikt (qoldiq) nurlanish (koi-notning issiqlik nurlanishi) ustida A.Penziyes va R.Vilson tomonidan kosmosda qilingan tajribalar  $T=3K$  ekanligini aniqladi. Bu esa «Buyuk portlash» nazariyasidan olingan natijalarni tasdiqladi.

Shinning ikkinchi xizmati shundaki, (2.8) formulani integrallash orqali bevosita Stefan-boltsman formulasini aks ettiruvchi ifodani olish mumkin:

$$R = \int_0^{\infty} u_v dv = \int_0^{\infty} v^3 F\left(\frac{v}{T}\right) dv$$

agar  $\frac{v}{T} = x$  desak,  $dx = \frac{dv}{T}$  va  $dv = T dx$  U holda

$$R = T^4 \int_0^{\infty} x^3 F(x) dx \quad (2.11)$$

- ifodaga ega bo'lamiz. (2.11) ifodadagi  $\int_0^{\infty} x^3 F(x) dx$  sonni xarakter-

laydi va uni  $\sigma$  desak,  $R = \sigma T^4$  formulaga keltiramiz.

1886-yilda Vin eksperimental natijalarni yana bir bor tahlil etib

$$f\left(\frac{v}{T}\right) \sim \exp\left(-\frac{av}{T}\right) \quad (2.12)$$

qonuniyatni topdi ( $a$  – biror koeffitsiyent).

Shin formulasining hozirgi zamон ko'rinishi quyidagicha:

$$u_v(T) = \frac{8hv^3}{c^3} \exp\left[-\frac{hv}{kT}\right] \quad (2.13)$$

bunda,  $\hbar$  – Plank doimiysi,  $\omega = 2\pi\nu$  – burchak chastota,  $k$  – boltsman doimiysi,  $c$  – yorug'lik tezligi.

Shin formulasini tekshirish uchun eksperimentatorlar nurlanish intensivligini to'lqin uzunlikka (chastotaga) bog'liqlik taqsimatini o'l-chadilar va u 2.2-rasmdagi kabi uzuksiz qo'ng'irosimmon ko'ri-nishdagi egrilikka ega.  $\lambda$  ning biror qiymatida U maksimumga ega va muayyan temperaturada to'lqin uzunlikning eng kichik va eng katta qiyatlari uchun nolga intiladi. 2.2-rasmdagi ko'rsatilgan egrilikni (uni Kirxgof funksiyasi deb atasak) katta chastotalarga to'g'ri kelgan qismini Vin funksiyasi to'g'ri aks ettiradi. Qisqa chastotalarga to'g'ri kelgan intensivlikni, shuningdek,  $\lambda_{max}$ ga to'g'ri kelgan intensivlikni U qanoatlanitmeydi.

Lyummer va Pringsgeym 1899-yilda qilgan tajribalar Vinning sil-jish qonunini to'la tasdiqladi. Shunday qilib Vin formularsi eksperimental egrilikni katta chastotalarga to'g'ri kelgan qismini to'la aks ettirib, Krixgof masalasini to'la yecha olmadi. Shunga qaramay U kiritgan tushuncha va qonunlar issiqlik nurlanish fizikasini anglashda va amaliyotda juda muhim rol o'ynadiki, u 1903-yilda Nobel mukofotiga sazovor bo'lди. Vin formularsi quyosh nurlanishi spektrini katta chastotalar qismiga to'g'ri kelgan issiqlik nurlanishi intensivligini ham yaxshi tushuntirib berdi.

## 2.5. Reley-Jins formulasi. Ultrabinafsha halokat

Kirxgof qo'ygan masalani Vin qisman yechdi. U topgan (2.13) formula 2.2-rasmda yeltirilgan spektrial zichlikni kichik to'lqin uzunliklar ( $0, \lambda_{max}$ ) sohasiga to'g'ri kelgan qismini yaxshi tushuntirib berdi. Biroq  $\lambda_{max}$  ga teng va undan katta bo'lgan to'lqin uzunlikka ega bo'l-gan sohasi ( $\lambda \geq \lambda_{max}$ ) uchun olingan nurlanish energiyasi natijalarini tu-shuntirib bera olmadи.

Klassik statistika mexanikasi va Maksvell elektrodinamikasi qonunlariga muvofiq (termodinamika, optika va elektrodinamika g'oya-lari birlashmasi) ravishda Kirxgofni ikkinchi masalasini hal qilishda dastavval D.U.Reley (1842–1911), sal keyinroq D.D.Jins (1877–1941) kirishdi. Ular bu masalani yechishda klassik statistika fizikasining energiyaning teng taqsimlanishi teoremasiga asoslanishdi. Reley va Jins yopiq kovak ichki devori ossillatorlar (atomlar) majmuasidan tashkil topgan va ushbu ossillatorlar bilan kovak ichidagi nurlanishlar orasida energiya almashuvlari vujudga kelishi mumkin dedilar. U holda muvo-zanatlari nurlanish sharoitida kovak ichida turhun to'lqinlar to'plami (sistemasи) yoki tebranish turlari (moddalari) hosil bo'ladi. Har bir turg'un to'lqin tebranish moddasi (turi) deyiladi. Energiyaning teng taqsimlanishi teoremasiga binoan elektromagnit nurlanishning har bir erkinlik darajasi o'rtacha  $kT$  energiyaga ega bo'ladi ( $k$ -boltsman

döimiysi). Bu teoremaga ko'ra adiabatik qobiq ichidagi nurlanish energiyasining to'la qiymatini aniqlash shu hajmdagi elektromagnit tebranishlar erkinlik darajasining to'la sonini topish masalasiga keladi.

Agar kovakni  $I$  o'lchamga ega bo'lgan kub shaklidagi quti deb qarasak, u holda to'la moddalar soni  $dN_{\omega \cdot la}$

$$\frac{dN_{\omega \cdot la}}{I^3} = \frac{8\pi v^2}{C^3} dv \quad (2.14)$$

formula yordamida topiladi (bunda  $I^3$ -kub hajmi).

Har bir chastotaga turg'un to'lqinni tebranish muddasi desak, u holda (2.14) formulaga binoan moddalar soni kovakdag'i nurlanishni tavsiflovchi elektromagnit tebranishlarning erkinlik darjasini soniga teng bo'ladi. Bitta erkinlik darajasiga to'g'ri kelgan nurlanishning  $\langle E \rangle$  desak, u holda kovak ichidagi nurlanish energiyaining zichligi

$$u_v(T) = \frac{dN_{\omega \cdot la}}{I^3} \langle E \rangle = \frac{8\pi v^2}{C^3} \langle E \rangle \quad (2.15)$$

ga teng bo'ladi. (2.15) formuladan ko'rindik,  $u_v(T)$  ni bilish uchun har bir tebranish muddasining o'rtacha energiyasi  $\langle E \rangle$  ni topish kerak bo'ladi. (2.15) Spektrial taqsimot chastotalarga bog'liq ko'rinishda yoziladi. Kerak bo'lgan hollarda  $v=c/\lambda$  formula yordamida (2.15) formulani to'lqin uzunliklariga bog'liq formula shaklida yozish mumkin.

Klassik statistikaga ko'ra muvozanatlari nurlanishda har bitta erkinlik darajasiga o'rtacha  $\frac{1}{2}kT$  ga teng bo'lgan kinetik energiya to'g'ri keladi. Xususiy chastota bilan tebranayotgan ossillator uchun kinetik energiya bilan potensial energiyaning o'rtacha qiymati bir-biriga teng. Bundan chiqadiki, kovakdag'i issiqlik tebranishning har bir modasiga to'g'ri kelgan o'rtacha energiya

$$\langle E \rangle = \langle E_k \rangle + \langle E_p \rangle = 2 \cdot \langle E_i \rangle = K.T \quad (2.16)$$

Shunday qilib (2.16) ifoda ossillatorni klassik o'rtacha energiyasini xarakterlaydi. (2.16) formulani (2.15) ga qo'ysak, u holda

$$u_v(T) = \frac{8\pi v^2}{C^3} kT \quad (2.17)$$

tenglikni hosil qilamiz.

(2.17) formulani *Reley-Jins formulasi* deyiladi.

Bu formula 1900-yilda Reley tomonidan taklif qilingan. Sal keyinroq Jins bu formulani nazariy jihatdan mufassal asosladidi. (2.18) formula spektr bo'yicha issiqlik nurlanishining taqsimotini xarakterlaydi va kichik (qisqa) chastotalar sohasida eksperiment natijalari bilan yaxshi mos tushadi. Yuqori chastotalarda Reley-Jins formulasi bilan hisoblangan nurlanish energiyasi zichligining qiymatlari eksperimentda

olingen qiyatlarga nisbatan ancha katta.  $v \rightarrow \infty$  da  $u_v(T)$  ham cheksizga intiladi. Shuningdek, nurlanishning to'la zichligi

$$U = \int_0^{\infty} u_v(T) dv = \infty \quad (2.18)$$

bo'ladi. (2.18) formula eksperiment natijalariga tamomila zid. Shu sababdan ham P.Erenfest bu holni «ultrabinafscha halokati» deb atadi. Reley-Jins formulasi spektrni barcha qismini to'la tavsiflab bera olmadidi. U ham vin formulasi kabi Kirxgof masalasini bir qismini, ya'ni vin yecha olmagan qismini yechdi. 2.2-rasmda keltirilgan spektrning  $\lambda > \lambda_{\max}$  qismiga to'g'ri kelgan nurlanish energiyasini yaxshi tushuntirib berdi, ammo  $\lambda \leq \lambda_{\max}$  sohasiga to'g'ri kelgan nurlanish intensivligini tushuntirib bera olmadidi. Reley-Jinsning (2.17) formulasi darajali funksiya ko'rinishida bo'lib, u Vin formulasi (2.8) bilan mos tushadi. Bu formulalar bevosita termodinamika natijalaridan kelib chiqqani uchun konkret modelga bog'liq emas. Haqiqatan ham, (2.8) formuladagi noaniq

$$\text{bo'lgan } F\left(\frac{v}{T}\right) \text{ funksiyasi o'mniga } F\left(\frac{v}{T}\right) = \frac{kT}{2\pi^3 c^3 v} \text{ ni qo'ysak, (2.17)}$$

formula (2.8) formula bilan mos tushadi.

Shunday qilib biz klassik fizikaning barcha imkoniyatlarini hisobga olgan holda issiqlik nurlanishi masalasini yechishga va tushuntirishga harakat qildik, biroq uning uddasidan chiqa olmadik. Klassik fizika doirasida olingen har bir tenglama eksperiment natijalarining faqat bir tomonini tasdiqladi va issiqlik nurlanishi muammosini to'la tushuntirib beradigan nazariyani yaratish imkonи bo'lmasdi. Qo'shimcha yangi g'oya jalg qilmasdan turib issiqlik nurlanishini tavsiflab bo'lmaslik aniq ravshan bo'lib qoldi. Bu esa klassik fizikani kamchiliklardan xoli emasligini va ojiz ekanligini yaqqol ko'rsatdi.

## 2.6. issiqlik nurlanishining kvant nazariyasi. Plank formulasi

Klassik fizika doirasidagi barcha tadbirlar, urinishlar issiqlik nurlanishini to'la tavsiflashda behuda, bejiz ketdi. Klassik fizika boshi berk ko'chaga kirib qoldi. Fan yangi g'oya va yangi tushunchalarga tashna va chanqoq edi. Bu chanqoqlikni Plank qondirdi.

1900-yilda Plankni  $u_v(T)$  – spektrial zichlik uchun topgan formulasi tajribada olingen natijalar bilan barcha chastotalarda mos tushdi. U formulani nazariy keltirib chiqarish uchun klassik fizika tasavvuriga mutlaqo zid bo'lgan gipoteza kerak edi. Plank ossillator energiyasi har qanday qiyatlar ham olavermaydi, balki bir-biridan farq qiladigan aniq diskret qiyatlar qabul qiladi, degan g'oyani o'taga tashladi. Ossillator bir holatdan ikkinchi holatga o'tganda yutilgan yoki chiqarilgan nurlanishning energiyasi kvantlangan va u chekli aniq qiyatlar

oladi, deb qaradi. Bunday mulohaza yuritilganda  $T$  temperaturada bo'lgan muvozanatli nurlanish sharoitida diskret energetik spektrga ega bo'lgan sistema uchun  $\langle E \rangle$  ni qiymatini (2.16) formula bilan aniqlab bo'lmaydi. Bu holda ossillatorlar sonini energiya bo'yicha taqsimlanishi uchun boltsman taqsimotini qo'llasa bo'ladi. Ossillatorni *yen* energiyali holatda bo'lishi ehtimoli

$$P_n \sim \exp\left[-\frac{E_n}{kT}\right]$$

bo'lgani uchun o'rtacha energiya

$$\langle E \rangle = \sum_n E_n P_n = \frac{\sum_n E_n \exp\left[-\frac{E_n}{kT}\right]}{\sum_n \exp\left[-\frac{E_n}{kT}\right]} \quad (2.19)$$

formula bilan topiladi.

Plank fikriga ko'ra  $E_n$  energiyani qiymatini aniqlash uchun yana bir gipoteza kerak. Plankning faraziga ko'ra garmonik ossillator ekvidistant (bir xil oraliq) energetik spektrga ega. Shu sababdan  $n$ -tartibili holat energiyasi *yen* eng kichik energiya ulushiga butun karrali bo'lishi kerak, ya'ni

$$E_n = nE_1, \quad n = 0, 1, 2, \dots \quad (2.19)$$

(hozirgi zamон kvant mexanikasi garmonik ossillatorning energetik sathlarining qiymatlari uchun  $E_n = \left(n + \frac{1}{2}\right)h\nu$  formulani beradi).

U holda (2.19) formulani mahrajidagi ifodani cheksiz geometrik progressiyaning yig'indisi sifatida yozish mumkin bo'ladi. Cheksiz geometrik progressiyasini  $S(\alpha)$  (bunda  $\alpha = \frac{1}{kT}$ ) desak,

$$S(\alpha) = \sum_{n=0}^{\infty} \exp(-\alpha nE_1) = [1 - \exp(-\alpha E_1)]^{-1} \quad (2.20)$$

(2.18) formulaning suratida turgan yihindi teskari ishora bilan Olingan  $\frac{dS(\alpha)}{d\alpha}$  hosilaga teng:

$$\sum_{n=0}^{\infty} nE_1 \exp(-\alpha nE_1) = -\frac{d}{d\alpha} \sum_{n=0}^{\infty} \exp(-\alpha nE_1) = \frac{\exp(-\alpha E_1)E_1}{[1 - \exp(-\alpha E_1)]^2} \quad (2.21)$$

(2.20) va (2.21) ni (2.19) ga qo'ysak

$$\langle E \rangle = \frac{E_1}{\exp(\alpha E_1) - 1}, \quad \left( \alpha = \frac{1}{kT} \right) \quad (2.22)$$

ga ega bo'lamiz.

(2.22) ni (2.15) ga qo'ysak, nurlanish energiyasining zichligi uchun quyidagi formulani olamiz:

$$u_{\nu}(T) = \frac{4\pi\nu^2}{c^3} \cdot \frac{E_1}{\exp\left(\frac{E_1}{kT}\right) - 1} \quad (2.23)$$

(2.23) formulada  $E_1$  noma'lum. Qora jism nurlanish spektrini to'g'ri tavsiflash uchun (2.23) formuladagi  $E_1$  ni quyidagi ko'rinishda olamiz:

$$E_1 = h\nu. \quad (2.24)$$

(2.24) formulani (2.23) ga qo'yib, Plankning formulasini hosil qilamiz:

$$u_{\nu}(T) = \frac{4\pi h\nu^3}{c^3} \cdot \frac{1}{\exp\left(\frac{h\nu}{kT}\right) - 1} \quad (2.25)$$

## 2.7. Plank formulasi – issiqlik nurlanishining umumiyligi

(2.25) ko'rinishda yozilgan Plank formulasi 2.2-rasmdagi kabi eksperimental nurlanish energiya zichligining chastotalar bo'yicha taqsimotini to'la tushuntirib berdi. Turli temperaturalarda o'lchangan eksperimental natijalarni (2.3-rasm) ham Plank formulasi to'la tavsiflaydi. Qizig'i shundaki  $h$  ning qiymati hamma hollar uchun bir xil, ya'ni  $h=6,626 \cdot 10^{-34} J \cdot s$ . boshqacha aytganda barcha chastotalar va barcha temperaturalar uchun Plank formulasi eksperimental natijalar bilan to'la va juda aniq mos tushadi. Shunday qilib, Kirxgofning ikkinchi masalasini to'la yechgan Plank yangi tasavvur bilan sug'orilgan Kvant fizikaga asos soldi.

Plank formulasidan foydalanib issiqlik nurlanishiga tegishli bo'lган barcha formulalarni keltirib chiqarish mumkin. Masalan, kichik chastotalar va yuqori temperaturalar uchun  $\frac{h\nu}{kT} \ll 1$  Bu holda (2.25)

formuladagi mahrajni Teylor qatoriga yoyish mumkin va uni faqat chiziqli hadi bilan chegaralasak, u holda Plank formulasidan Reley-Jins formulasiga o'tamiz, ya'ni

$$u_{\nu}(T) = \frac{4\pi\nu^2}{c^3} \cdot \frac{h\nu}{1 + \frac{h\nu}{kT} - 1} = \frac{4\pi\nu^2}{c^3} \frac{kT}{h\nu}.$$

Yuqori va past temperaturalar uchun  $\frac{h\nu}{kT} \gg 1$ , bu holda (2.25) formulaning mahrajidagi ifodada turgan bir soni eksponenta qiymatidan

juda ham kichik va shu sababli uni e'tiborga olmasa ham bo'ladi. Natijada, Plank formulasidan Vin formulasi kelib chiqadi.

$$u_{\nu}(T) = \frac{4\pi h\nu^3}{c^3} \cdot \exp\left(-\frac{h\nu}{kT}\right)$$

2.2-rasmga e'tibor bering. Vin formulasi bilan Reley-Jins formulasi o'rini bo'lgan ikki chegara orasida keng soha bo'lib, bu sohada spektrial taqsimot egriligining maksimumi yotibdi. Temperatura ko'tarilganda Vin siljishi qonuniga (2.10) ko'ra u qisqa to'lqinlar sohasiga (2.3-rasm) siljiydi. Plank formulasi (2.25) ni chastotalar bo'yicha differensiallab, so'ng hosilasini nolga tenglasak, transendent tenglama olamiz. U orqali

$$c_0 = 1,265 \frac{\hbar}{k} \frac{c}{\nu} \quad (2.26)$$

Qiymatni olamiz (bunda  $\hbar = \frac{h}{2\pi} = 1,05 \cdot 10^{-34} J \cdot s$ , c – yorug'lik tezligi,  $k$ -boltsman doimiysi).

Agar Plank formulasi (2.25) ni chastotalar bo'yicha integrallasak, Stefan-Boltsman qonunini olamiz. Bu holda  $\sigma$ -doimiylikning nazariy ifodasi

$$\sigma = \frac{\pi^2 \cdot k^4}{60 c^2 \hbar^3} \quad (2.27)$$

(2.26) va (2.27) formulalardagi  $c_0$  va  $\sigma$  koeffitsiyentlar  $c$ ,  $\hbar$  va  $k$  kabi fundamental konstantalar bilan bog'langan.  $c_0$  va  $\sigma$  larni tajribadan aniqlab, ular asosida  $\hbar$  va  $k$  larni hisoblash mumkin. Plank Stefan-Boltsman formulasi (2.7) va siljish qonuni (2.10) dan foydalanib  $\hbar$  va  $k$  ning qiymatlarini hisobladi. Faradey soni  $F=N_e e$  dan foydalanib elektronni zaryadini hisoblashga muvaffaq bo'ldi. Tomson hisoblagan  $e$  ning qiymati  $6,5 \cdot 10^{-10} SGSE(q)$  ga teng edi. Plankning hisoblagan zaryadi  $e=4,69 \cdot 10^{-10} SGSE(q)$ . Ko'rib turibsizki, Plankning topgan zaryadining qiymati hozirgi vaqtida hisoblangan zaryadning qiymatiga juda yaqin.

## 2.8. Issiqlik (Jonson) shovqini

Qizigan har qanday jism chiqarayotgan elektromagnit nurlanish *issiqlik nurlanishi* deb ataladi. Ana shunday nurlanishlar Quyosh ener-giyasini bizga, ya'ni yerga ham olib keladi.

Issiqlik nurlanishi radioaloqa va o'ta sezgir elektr asboblari yasash texnikasida halal beruvchi effekt hisoblanadi. Radioaloqa sohasida bu halal beruvchi nurlanishlar *shovqin* deb yuritiladi. Undan umuman qutilishning iloji yo'q. Shuning uchun radioinjener-mutaxassislar

shovqin quvvatini energiyasini imkonli boricha kamaytirishga harakat qilishadi.

Signallarni olis masofalarga uzatishda va kuchsiz signallarni qabul qilishda qurilmaning (peredatchik (uzatgich) va priyomnik (qabul qilgich)) quvvatini oshirish kerak bo'ladi, bu esa o'z navbatida shovqinlar bilan hisoblashishga injenerlarni majbur qiladi. Radioaloqa amaliyotidan yaxshi ma'lumki, yuqori chastotalarda tekislanishi va ularning sathi kamayishi kuzatilgan. Yuqori chastotalarda, ayniqsa, santimetr va millimetrik (1000 Mgt) to'lqinlar sohasida atmosfera razryadlari ham, sanoat korxonalarining shovqinlari ham signalga ta'sir etmasligi ayon bo'lib qoldi.

Shovqinlarning intensivligini hisoblash va ularning quvvatini kamaytirish yo'llarini izlash radiotexnika va astrofizika sohalaridagi eng katta muammolardan biri. Bu muammolarni hal etishda Plank formulasini tahlil qilish nihoyatda o'rinnlidir.

Tebranishning biror turi (moddasi) uchun to'hri kelgan o'rta-cha energiya Plank formulasini (2.22) ga ko'ra

$$\langle E \rangle = \frac{h\nu}{\exp\left(\frac{h\nu}{kT}\right) - 1} \quad (2.28)$$

formula bilan topiladi.

(2.28) formuladan ko'ramizki,  $\frac{h\nu}{kT}$  ni juda kichik qiymatlarida

$\langle E \rangle \approx kT$  bo'lib u Reley-Jins formulasini bilan xarakterlanadi. Bundan ko'rindiki, kichik chastotalarda tebranishning har bir turiga to'g'ri kelgan o'rtacha energiya faqat temperaturaga bog'liq bo'ladi va shovqin quvvati temperatura bilan xarakterlanadi.

$\frac{h\nu}{kT}$  ni qiymati bir

sonidan kattalashib borgani sari, ya'ni tebranishning muayyan turining chastotasi ortgan sari o'rtacha energiya  $\langle E \rangle$  ning qiymati kamayib boradi. Xuddi shu sababga ko'ra ham yopiq kovak ichidagi elektromagnit nurlanishlarning to'la energiyasi chekli qiymatga ega bo'ladi. Avvalgi banddan yodingizda qolgan bo'lsa, Reley-Jins formulasiga ko'ra to'la energiya cheksizga intilardi. Shunday qilib (2.28) ifoda bilan xarakterlanuvchi issiqlik nurlanishining o'rtacha energiyasi ikkinchi tomonidan issiqlik shovqinini energiyasini ham xarakterlaydi. Biroq yuqori chastotalarda ham shovqinini tamomila yo'qotib bo'lmaydi.

1928-yilda Garold Friis 20 Mgt chastotaga mo'ljallangan priyomnik yasadi va uning yordamida bиринчи bo'lib fundamental, hech qanday yo'l bilan yo'qotib bo'lmaydigan issiqlik shovqinlarini kashf etdi. Keyinchalik mazkur issiqlik shovqinini Jonson shovqini deb atay boslashdi. Shu priyomnik yordamida Karl An Kosmik radioshowqinini

kashf etdi va bu kashfiyot radioastronomiya fanini vujudga kelishiga va rivojlanishiga sabab bo'ldi.

20 Mgments va undan yuqori chastotalarda priyomnik antennasiga kelib tushayotgan shovqinlar Jonson issiqlik shovqini sathida bo'lib, bu shovqinni Koinot o'zining barcha obyektlari bilan hosil qiladi.

*Jonson issiqlik shovqini har qanday qizigan jism chiqarayotgan elektromagnit nurlanishlarining radiochastota qismiga to'g'ri kelgan nurlanishdir.*

Temperaturasi absolut temperaturadan yuqori bo'lgan har bir jism ana shunday nurlanish tarqatishi mumkin. Maks Plank 1900-yilda kashf qilgan formulasi ham, kvant sohasida qilgan ishlari ham bevosita qizigan jismlarning nurlanishiga bog'liqdir. *Jonson shovqini radioaloqa imkoniyatlarining prinsipial chegaralovchi fundamental kvant effektdir.*

Modda molekulalari atomlardan tashkil topgan. Barcha atomlar esa, elektr zaryadlangan zarralar – elektron va protonlardan iborat. Modda atomlari tebranma harakatda bo'lganda (odatda, biz uni issiqlik deymiz) ular har xil chastotaga ega bo'lgan elektromagnit nurlanishni xaotik (tartibsiz) ravishda tarqatadi. Kvant nazariya termini bilan aytganda atomlar har xil energiyaga ega bo'lgan kvantlar sochadi. Ana shu kvantlar fundamental, prinsipial yo'qotib bo'lmaydigan elektromagnit shovqinlarini hosil qiladi va bu shovqinlar radiotexnikada, hatto eng yuksak chastotalarda ham yo'qolmaydi.

Temperaturasi  $T$  ga teng bo'lgan elektromagnit nurlanishlaridan tashkil topgan kovakka antenna o'rnataylik. Antennaga elektromagnit energiyaning qancha miqdori o'tadi va undan qanchasi radiopriyomnikka keladi? *Jonson shovqinining quvvati antennaning tabiatiga bog'liq emas. U faqat  $T$  temperaturaga va  $v$  chastotalar polasasi deb atalgan oraliqqa bog'liq.* Bizning radiopriyomnigimiz o'tkazadigan chastotalar oralihi *chastotalar polasasi* deyiladi. Priyomnikka yoki boshqa o'lchov asbobga kelib tushayotgan issiqlik nurlanishi quvvati

$$P = \left[ \frac{hv}{\exp\left(\frac{hv}{kT}\right) - 1} \right] B, \text{ BM} \quad (2.29)$$

Qabul qilingan nurlanishning quvvati Jonson issiqlik shovqini ning quvvatiga teng bo'lib, u ham (2.29) formula bilan aniqlanadi (bunda  $v$  – signal chastotasi,  $T$  – antenna yo'naltirilgan «qora buyum»-ning temperaturasi,  $k$  – boltsman doimiysi,  $h$  – Plank doimiysi va  $v$  – chastotalar polasasi).

O'ta sezgir va o'ta yuksak chastotaga ega bo'lgan priyomnik oddiy nurlayotgan jismlarning radioto'lqinlarini intensivligini o'lchash imkonini beradi. Antennani qayoqqa yo'naltirmang, u turli buyumlar-

dan kelayotgan issiqlik nurlanishlarni, ya'ni Jonson shovqinini qabul qiladi. Agar antenna ko'zguga yo'naltirilgan bo'lsa, u holda qabul qilinayotgan signal ko'zgudan qaytayotgan barcha signallardir. Demak, priyomnikka kelib tushayotgan issiqlik shovqini bu buyumlardan ko'zguga kelib tushayotgan nurlanishning temperaturasini bilan xarakterlanadi. Boshqacha aytganda ko'zguning o'zining temperaturasini emas, balki bu shovqin ko'zguga kelib tushayotgan nurlanishlarning temperurasini xarakterlaydi.

Antenna yo'nalishiga shisha bo'lagini qo'ysak, u holda antennaga kelib tushayotgan shovqin shisha ichidan o'tayotgan ko'zguda ko'rinayotgan buyumlarning temperurasini bilan belgilanadi.

Daraxt, buta kabi ayrim buyumlar o'ta yuqori chastota ( $O'YuCh$ ) daipozonidagi radioto'lqinlarni deyarli to'la yutishi mumkin. Agar shunday buyumga biz antennani yo'naltirsak, u holda priyomnik  $O'YuCh$  yoki shovqinni qabul qiladi. Bu shovqinning intensivligi faqat buyumning o'zining temperurasiga bog'liq bo'lib, uning atrofidagi temperaturaga bog'liq emas. Bu esa bizga buyumlarni, kosmik obyektlarni temperurasini bevosita o'lhash imkoniyatini beradi.

*Issiqlik shovqini tabiatning mutlaqo universal hodisasiidir.* Issiqlik shovqini 1939-yilda J.b.Jonson tomonidan elektr qarshilikni uchlardagi kuchlanganlik fluktuatsiyasini temperaturaga bog'liqligini tekshirishda kashf etdi. Kvant fizika tasavvuridan kelib chiqib shuni aytish mumkinki, kvant mexanikaning qonunlari radioaloqa imkoniyatlarini principial chegaralaydi va bu chegara *Jonson shovqini* yoki *issiqlik shovqini* deb ataladi. Tebranishning har bir turining energiyasi diskret qiymatga ega degan Plank g'oyasini e'tiborga olgan holda priyomnik qabul qilayotgan shovqin uni albatta e'tiborga olish zarur. Yuqorida mulohazalardan kvant effektlar aloqa texnikasida faqat qiyinchiliklar tuhdiradi degan fikr tug'ilishi mumkin. Lekin bu unchalik emas. Kvant effektlarini yaxshi bilish orqali ular yordamida eng kichik shovqin beradigan kuchaytirgichlar qurish imkoniyati tuhuldii. Bunday kuchaytirgichlar sifatida mazer yoki lazerlarni misol qilish mumkin. Ideal shovqinining temperurasini

$$T_n = \frac{h\nu}{k \ln 2} \quad (2.30)$$

formula bilan topiladi.

Real priyomnikni shovqin temperurasini  $T_n$ , unda uning chiqishidagi shovqin quvvati

$$P_0 = G \cdot \left( \frac{h\nu}{\exp\left(\frac{h\nu}{kTn}\right) - 1} \right) \cdot B \quad (2.31)$$

Formula bilan aniqlanadi (bunda  $G$  – kuchaytirgichning quvvat kuchaytirgich koeffitsiyenti).

## 2.9. Issiqlik shovqinining quvvati

Issiqlik shovqinining quvvati qanday qiymatlar qabul qiladi. Hozir ana shu masalaga sizning diqqatingizni jalb qilamiz. Bizning ichtiyorimizda o'ta yo'naltirilgan antennasi va o'tkazish polasisi  $20 \text{ Mgs}$  (1 sekundda  $20 \text{ mln. ta tebranish}$ ) ga ega bo'lgan O'YuCh – priyomnik bo'lsin (bunday chastotalar polasasiga ko'pgina radialokatsion-priyomniklar, televizion dasturlarni retranslatsiya qilishda ishlatalidagi O'YuCh – sistemalar ega). O'YuCh – priyomnikni antennasini yerdagи jismlarga ham, kosmik obyektlarga ham yo'naltirish mumkin. Antenna o'zi yo'nalgalan obyektdan kelayotgan issiqlik elektromagnit tebranishlarini qayd qiladi va O'YuCh – priyomnik yordamida uning quvvati aniqlanadi. So'ng Jonson shovqini quvvatini aniqlovchi (2.29) formula yordamida obyektni temperaturasi hisoblanadi.

O'YuCh – priyomnik antennasini zenit tomon yo'naltiraylik. O'l-chashlar ko'rsatadiki, zenitdan kelayotgan issiqlik shovqinining quvvati  $2,70 \cdot 10^{-15} \text{ vt}$  ga teng bo'lib, unga mos kelgan temperatura (2.29) formula bilan hisoblaganda  $10 \text{ K}$  ga to'g'ri keladi. Priyomnikning antennasini daraxtlar to'plamiga yo'naltiraylik. Agar daraxtning temperaturasi  $293 \text{ K}$  ( $20^\circ\text{C}$ ) ga teng bo'lsa, u holda bizning priyomnikdagи issiqlik shovqinining quvvati  $2,70 \cdot 10^{-13} \text{ vt}$  ga yaqin bo'ladi. Endi O'YuCh – priyomnik antennasini quyosh tomon qarataylik, u holda antenna qabul qilgan issiqlik shovqinining quvvati  $1,6 \cdot 10^{-12} \text{ vt}$  atrofida bo'ladi. Bu quvvatga mos temperatura  $600 \text{ K}$  bo'lib, u quyosh temperaturasini xarakterlaydi. Mabodo, biz o'lchashni  $100 \text{ Mgs}$  priyomnik bilan qaytarganimizda qabul qilin-gan issiqlik shovqinining signal-larinining temperaturasi  $1 \text{ mln. K}$  ga to'hri keladi. Bunday katta farqni bo'lishini quyidagicha tushuntirish mumkin. Quyosh toj deb atalgan juda issiq gaz qobig'i bilan o'rangan. Toj yorug'lik to'lqinlarini va O'YuCh diapozondagi radioto'lqin uchun shaffofdir. U bu nurlanish-larni deyarli yutmeydi va ularni nurlamaydi. Biroq toj katta to'lqin uzunlikdagи radioto'lqinlar uchun shaffof emas, ya'ni ular toj tomonidan yutiladi va nurlanadi. Toj o'zining ostki qatlamidagi sirdan ancha issiq bo'lish hodisasi hozirgi paytdagi quyosh fizikasi fanining sirlaridan biridir. Uqorida keltirilgan misollardan ko'ramizki, O'YuCh shovqinining quvvati juda kichkina qiymatga yega. Hatto quyoshdan kelayotgan shovqin quvvati ham juda kichik. Covqin – issiq jism tarqatayotgan elektromagnit to'lqinlari, shuningdek, quyosh tarqa-tayotgan ravshan yorug'lik ham elektromagnit to'lqinlaridir. O'YuCh qabul qilayotgan issiqlik shovqinining quvvatini kichikligiga sabab bu

bizning priyomnikni chastotalar polasasini quyoshdan kelayotgan elektromagnit spektr (yorug'lik va issiqlik) juda kichkina oralig'idir. Haqiqatan ham ko'zga ko'rindigan yorug'lik elektromagnit nurlanishlarining chastotalar polasasining o'zi  $2,5 \cdot 10^8$  Mgs ga teng bo'lib, u bizning priyomnigmizning chastotalar polasasidan 10 mln. marta katadir.

Obykt atrofidan kelayotgan signallarning issiqlik shovqinidan tashqari O'YUCh asboblarni ishlashiga halal beruvchi boshqa shovqinlar ham bordir. Bu shovqinlardan biri priyomnikning o'zini hosil qilgan shovqinidir. Bu shovqinni odatda «*instrumental shovqin*» deb ham atashadi. Shu sababdan yuqori chastotalar radiotexnikasining bosh masalalaridan yana bittasi bu shovqin ham kamaytiradigan O'YuCh – priyomniklarni yaratishdir. Yuksak chastotali mazerlarni yaratilishi bu masalani hal qildi.

Ideal chiziqli kuchaytirgichning shovqin temperaturasi 4170 Mgs chastotada ishlovchi mazer uchun

$$T_n = \frac{hv}{k \ln 2} = \frac{6,62 \cdot 10^{34} J \cdot c \cdot 4,17 \cdot 10^9 Gs}{1,38 \cdot 10^{-23} J/K \cdot 0,693} = 0,228 K.$$

real ishlovchi mazerning shovqin temperaturasi 3,5 K ga teng bo'lib, u ideal chiziqli kuchaytirgichning temperaturasi (0,228K) dan 12 marta katta. Bu eng kichik issiqlik shovqinidir. Mazer shovqinnining temperaturasi eng yaxshi hisoblangan yugurma to'lqin lampalarida qilingan chiziqli kuchaytirgichlar shovqini temperaturasi (600 K) dan ancha kichkinadir.

## 2.10. Kvant shovqini

Lazer texnikasining taraqqiy qilishi va mukammallahishi tufayli optikaviy o'lhashlarning aniqligi va sezgirligi misli ko'rilmagan darajada oshdi. Hozirgi paytda nihoyatda barqaror ishlovchi yorug'lik manbalari mavjud. Ularnig aniqligini 30 mln. Yilda faqat 1 sekundga yangilishadigan soatga qiyoslash mumkin. Interferension metodlar yordamida proton o'lchamidan uncha katta bo'lмаган mexanikaviy ko'chishlarni o'lhash mumkin. Lazer nurining yutilishi asosida muhitda bo'lgan bir qancha molekulalar sonini ham o'lhash mumkin. Bunday o'lhashlarning aniqlik chegarasiga faqat yorug'lik manbayining shovqini, ya'ni o'rtacha biror qiymatga nisbatan yorug'lik to'lqinining intensivligi fazasi va chastotasining tasodifiy fluktuatsiyalari chek qo'yishi mumkin. Ana shunday fluktuatsiyalar o'lhashlarini qayta takrorlash jarayonida topilgan qiymatlar orasida tafovutlar vujudga keltirishi kuzatilgan.

Ko'p hollarda bunday shovqinni paydo bo'lishiga asbobning o'zi, ya'ni yorug'lik manbayining nomukammalligi (undagi mexanik vibratsiyalar, issiqlik tebranishi va h.k.) sababchidir. Shunga o'xshash bo'l-

gan sabablarni mustasno etish natijasida o'lhash aniqligi sohasida ko'zga ko'rilmagan yutuqlarga erishildi. Biroq «asbob» sabab bo'lgan shovqinni yo'qotilishi bilan yana boshqa kvant hodisalarini prinsipial ehtimollik xarakteri paydo qiladigan yangi to'siq paydo bo'ldi. Sezgirlikning bu chegarasi *kvant shovqini* deyilib, uning sababchisi *fizikaviy qonunlarning o'zidir*. Qiziji shundaki, tadqiqotchilar kvant shovqinni juda chuqur o'rganib, uni chetlab o'tish yo'llarini topdilar. Masalan, gravitatsion to'lqinlarni o'lhash masalasini yechishda bu juda katta ahamiyatga ega. Galaktikada o'ta yangi yulduz portlashi natijasida hosil bo'lgan gravitatsion to'lqinlar yer tevaragida ham nihoyatda kichik ko'chishlar yuzaga keltiradi. Dastlab bir-biridan 1000 m narida turgan ikki nuqta orasidagi masofa taxminan  $10^{-15}$  m ga o'zgaradi. bunday juda kichik o'zgarishni o'lhash uchun barcha shovqinlarni – mexanik vibratsiya, seysmik, issiqlik va kvant shovqinni yo'qotish kerak bo'ladi.

1985-yilda amerika tadqiqotchilari kvant shovqinni kamaytirish yo'lini topdilar. Buning uchun ular turli to'lqin uzunlikka, turli yo'naliishga va bir qancha intensivlikka ega bo'lgan lazer nurlari bilan nochiziqli optikaviy muhitlarni o'zaro ta'siri asosidagi ko'p to'lqinli parametrik ko'chish metodidan foydalandilar. Slasher rahbarligidagi guruh (bell laboratoriyasining firmasi) birinchi bo'lib aktiv muhit sifatida natriy atomlari dastasidan foydalanib kvant shovqinnini kamaytirish yo'lini topdi. Livenson rahbarligidagi guruh (ibM firmasi) 114 M li optik tolanning nochiziqli xossalari aso-sida shovqinni kamaytirishga erishdilar. Ostin universitetining Kimbl boshchiligidagi guruh esa 1986-yilda nochiziqli kristalдан foydalanib kvant shovqinnini 50 %ga kamaytirishga muvaffaq bo'lildilar. Hozirgi paytda «fotonlar-egizaklar» generatori yordamida kvant shovqinnini kamaytirish choralar izlanmoqda.

## **SAVOLLAR**

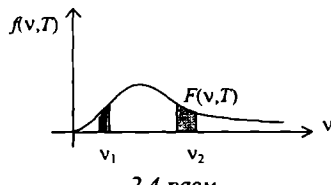
1. Issiqlik nurlanishi nima va uning muammosini aytинг.
2. Absolut qora jism deb nimaga aytildi? Misollar keltiring.
3. Eskperimentator qanday qilib absolut qora jism tayyor-laydi?
4. Nur chiqarish qobiliyatiga va nur yutish deb nimaga aytildi?
5. Muvozanatlri nurlanish deganda nimani tushunasiz?
6. Kirxgofning universal funksiyasi qanday funksiya?
7. Kirxgof masalasini tushuntiring.
8. Nurlanishning to'la zichligi bilan nurlanishning spektrial tar-kibi haqida so'zlang.
9. Stefan-boltsman qanday qonun topdi?
10. Stefan-boltsman formulasi absolut qora bo'lмаган jismlar uchun o'rinnimi?

11. Vin qanday masalani yechishga qo'l urdi?
12. Shinning strukturaviy formulasini yozing va tushuntiring.
13. Vinning siljish qonunini yozing va tushuntiring.
14. Shinnig formulasasi (funksiyasi) yozing va tushuntiring.
15. Shinnig taqsimot funksiyasi eksperimental nurlanish energiya-sining spektrial zichligini tavsiflaydimi?
16. Reley-Jins qanday mulohazalar asosida issiqlik nurlanishi ener-giyasi spektrial zichligi formulasini berdi?
17. Ultrabinafsha halokati nima?
18. Issiqlik tebranishi moddasi (turi) deganda nimani tushunasiz?
19. Plankning kvant g'oyasini asosiy mohiyati nima?
20. Plank formulasini yozing va tushuntiring.
21. Nima uchun Plank formulasasi issiqlik nurlanishining universal formulasi deyiladi?
22. Plank formulasasi dan Vin formulasini keltirib chiqarish mumkin-mi? Qanday qilib?
23. Plank formulasidan Stefan-boltsman formulasini keltirib chiqarish mumkinmi? Qanday qilib?
24. Plank formulasidan Reley-Jins formulasini keltirib chiqarish mumkinmi? Qanday qilib?
25. Plank formulasidan Stefan-boltsman doimiysi  $\sigma$  ni topish mumkinmi? Qanday qilib?
26. Plank doimiysisidan Vin siljishini keltirib chiqaring.
27. Plank formulasidan Plank doimiysi qanday topiladi?
28. Plank formulasidan boltsman doimiysini topish mumkinmi? Qan-day qilib?
29. Plank formulasidan Avagadro sonini topish mumkinmi? Qan-day qilib?
30. Plank formulasidan elektron zaryadini hisoblash mumkinmi? Plank buni qanday bajargan?
31. Shovqin va issiqlik shovqini (Jonson shovqinni) tariflang.
32. Nima uchun Plank formulasini Jonson shovqinni formulasi deb ham qarash mumkin?
33. Jonson shovqinni radioastronomiya, radioaloqa va o'ta sezgir asboblar yaratilishi haqidagi fikringizni aytинг.
34. Issiqlik nurlanishi uchun o'rtacha energiyani topish formulasini yozing.
35. Jonson shovqinni quvvati qanday ifodalanadi?
36. Jonson shovqinni quvvatini klassik va kvant formulalari orasidagi farqi qanday?
37. Issiqlik shovqinini quvvatiga doir astrofizikadan quyoshga oid misollar keltiring.
38. Issiqlik shovqini kvant chegarami?
39. UVCH larda Jonson shovqinnining o'rnini so'zlang?
40. Garold Friis qanday asbob yaratdi?

41. Kosmik shovqinlarni kim ochgan?
42. Karl Yan qanday fanga asos soldi?
43. Relikt nurlanishni issiqlik shovqini desa bo'ladimi?
44. Penzias va Vilson qanday ishlari uchun Nobel mukofotiga sa-zavor bo'ldilar?
45. Priyomnikning o'zini shovqini deganda nimani tushunasiz?
46. Ideal chiziqli kuchaytirgich qanday asbob?
47. Shovqin temperaturasi qanday formula bilan ifodalanadi?
48. Issiqlik shovqinini kamaytirishda Mazerning roli haqida gapiring?
49. Nima uchun optik nurlanish diapozonidagi shovqinlar radio diapozonidagi shovqinlarning o'rtacha energiyasidan kam bo'ladi? buni Plank formulasidan tushuntirish mumkinmi?
50. Vinga, Releyga va Plankka qanday ishlari uchun Nobel mukofoti berildi va qaysi yillarda?
51. Kvant shovqini va uni kamaytirish yo'llari haqida so'zlang?
52. Nima uchun kvant tushunchani yangi tushuncha deymiz?
53. Plank doimiyini fizika fanida tutgan o'mi qanday?
54. Nima uchun Plank g'oyasi kvant fizikani yaratilishiga asos bo'ldi?
55. Issiqlik nurlanishi mavzusi haqidagi fikringiz va olgan taassurotlaringiz?

### MASALALAR

- 2.1. Jismning issiqlik nurlanishi deb nimaga aytildi? Issiqlik nurlanishi luminetsensiya nurlanishidan nimasi bilan farq qiladi?
- 2.2. Jismning energetik yorituvchanligi  $R$  ga, nurlanish (chiqarish) qobiliyati  $r_v(T)$  ga va yutish qobiliyati  $a_v(T)$  ga ta'rif bering va ularning birliklarini Si da yozing.
- 2.3. Jismning nurlanish qobiliyati  $r_v = r_0 \exp(-\alpha v)$  qonun bilan tavsiflanadi, bunda  $r_0$  va  $\alpha$  – doimiy sonlar. Jismning energetik yorituvchanligini toping.
- 2.4. Agar jismning yutish qobiliyati ma'lum bo'lsa, u holda uning chiqarish qobiliyati nimaga teng?
- 2.5. Agar jism o'z nurlanishi bilan issiqlik muvozanatida bo'lsa, chiqarish va yutish qobiliyati nimaga teng? a) ideal qaytaruvchi sirt uchun; b) absolut qora jism uchun.
- 2.6. 2.4-rasmida Kirxgof funksiyasi tasvirlangan. Grafikda yuzalari teng bo'lgan ikkita uchastka ajratilgan.  $v_1$  va  $v_2$  chastotalarda absolut qora jism uchun: a)  $r_v(T)$  – chiqarish qobiliyati; b)  $\Delta r_v(T)$  energetik yorituvchanlik bir xilmi?



2.4-rasm.

2.7. Jism uchastkasi sirtining  $\Delta S$  yuzasidan  $\Delta t$  vaqt ichida  $2\pi$  fazoviy burchakda  $\Delta y E$  energiya nurlanadi. Energetik yorituvchanlik  $r$  ni toping.

2.8. Yopiq kovakda spektral hajm zichligi  $u(v, T)$  bo'lgan nurlanish mavjud. Kovak devorining yutish qobiliyati  $a_{vT}$  bo'lsa, chiqarish qobiliyati  $r_{vT}$  ni va kovak devorining energetik yorituvchanligi  $r$  ni hisoblang.

$$2.9. f(v, T) = v^3 F\left(\frac{v}{T}\right) V \text{in funksiyasidan foydalanib: a) } f(v, T) \text{ mak-}$$

simumiga to'g'ri kelgan  $v_{max}$  chastotani; b)  $f(v, T)$  maksimumiga to'hri kelgan egrilik balandligini  $T^3$  ga proporsional ekanligini; v) absolut qora jism uchun energetik yorituvchanlik  $r$  ni  $T^4$  ga proporsional ekanligini ko'rsating.

2.10. «Buyuk portlash»dan so'ng koinot kengaya boshladi va oqibatda vujudga kelgan elektromagnit nurlanish soviy boshladi. Hozirgi paytda relikt nurlanish nomi bilan mashhur bo'lgan bu issiqlik nurlanishining maksimumiga to'hri kelgan to'lqin uzunlik  $\lambda_{max} = 1,07 \cdot 10^{-3} m$ . Relikt nurlanishning temperaturasini toping.

2.11. Penzias va Wilson koinotning muvozanatlari relikt nurlanishi temperaturasi  $T=3K$  ekanligini aniqladilar (ishu ishlari uchun Nobel mukofotiga sazovor bo'lishgan). Relikt nurlanishning to'lqin uzunligini va bosimini toping.

2.12. 1989-yilda Amerikada cObE (SOsmic background Explorer – Kosmik fan tadqiqotchisi) deb atalgan sun'iy yo'ldosh uchirildi. Bu yo'ldoshga o'matilgan apparatura yordamida relikt nurlanishi zichligini chastota bo'yicha taqsimlanish o'lchandi. O'lchangan spektr yordamida relikt nurlanishning temperaturasi  $T=2,735K$  ekanligi aniqlandi. Relikt nurlanishning temperaturasiga to'g'ri kelgan to'lqin uzunlikni, chastotani va energiyani hisoblang. Olingan natijalarни izohlang.

2.13. Koinotning o'tmishi haqida relikt nurlanish muhim malumot beradi. Koinot nurlanishning temperaturasi  $T=2,735K$  va to'lqin uzunligi  $0,106 \cdot 10^{-3} M$  bo'lsa, birlik hajmga nechta foton to'g'ri keladi.

2.14. Koinotda moddaning o'rtaча zichligi  $3 \cdot 10^{-28} kg/m^3$  (asosan vodorod)  $1sm^3$  hajmda nechta proton bor va uni relikt fotonlar soni bilan taqqoslang.

2.15. Relikt nurlanish energiyasini zichligini nazariy hisoblang.

2.16. Yopiq kovakda yotgan muvozanatlari issiqlik nurlanish mumkin bo'lgan barcha chastotalarga ega bo'lgan turg'un to'lqinlar majmuasidan iborat.  $T$  temperaturani  $E_n = nhv$  energiyaga ega bo'lgan moddaning  $r_n$  ehtimolini toping.  $r_n$  ni n ga bog'liq grafigini chizing ( $n$  –butun son).

2.17. 2.16. masala natijasidan foydalanim v chastotaga ega bo'lgan turg'un to'lqinning o'rtacha energiyasini toping. Javobni  $\alpha = h\nu/(kT) - \alpha$  parametr orqali ifodalang.

2.18. Plank formulasidan foydalanim yuqori va past temperaturalar kriteriyasini ta'riflang. Shu temperaturalar uchun chegaraviy ifodalarni toping.

2.19. Yopiq kovak ichida muvozanatli  $T$  temperaturada issiqlik nurlanishi mavjud. Chastotasi  $v$  ga teng bo'lgan normal modda uchun fotonlarning o'rtacha konsentratsiyasini toping.

2.20. Chastotalar shkalasida berilgan nurlanish energiyasi zichligi  $u_v(T)$  ni to'lqin uzunliklar shkalasida berilgan  $u_\lambda(T)$  ga o'tkazing.

$$2.21. \text{Issiqlik nurlanishi uchun Vin funksiyasi } u_\omega(T) = A\omega^3 e^{-\frac{\alpha\omega}{kT}}$$

bunda  $a = 7,64 \cdot 10^{-12} \text{ K.s}$ . Agar  $T = 2000K$  bo'lsa, a) nurlanishing eng ehtimolli chastotasi; b) eng ehtimolli nurlanish to'lqin uzunligini; v) nurlanishing o'rtacha chastotasini; g) nurlanishing o'rtacha to'lqin uzunligini toping.

2.22. Plank formulasini eksperimental egrilik bilan taqqoslanib, Plank doimiysi  $h$  aniqlangan.  $h$  ga asoslanib Plank Boltzman doimiysisini qanday hisoblagan?

2.23. Plank o'zining funksiyasidan foydalanim, Avagadro sonini qanday hisoblagan?

2.24. Plank o'z formulasidan foydalanim, elektronning zaryadini hisobladi. Plank topgan elektron zaryadi qiymatini Tomson topgan elektronning zaryad qiymati va hozirgi zamondan elektron zaryadining qiymati bilan taqqoslang.

2.25. Quyosh sirtining temperaturasi  $6000 K$  Nurlanish zichligining maksimumiga to'g'ri kelgan yashil nuring to'lqin uzunligi  $\lambda_{max} = 5 \cdot 10^{-7} m$ . Plank formulasidan foydalanim,  $h$  ni hisoblang.

2.26. Plank formulasini, foydalanim, Stefan-Boltzman doimiysisini toping va uni hisoblang.

2.27. Plank formulasini qanaqa taqsimot funksiyasiga asoslangan va bu taqsimot funksiyasi ko'rinishini chizing.

2.28.  $20 Mgs$  polasadan o'ta yuksak chastotali ( $O'YuCh$ ) signal qabul qilishi kerak. Uzatkichning (peredatchik) va uning atrofidagi temperaturasi  $20^\circ C$  ( $293K$ ). Agar issiqlik shovqininining ko'vvati  $8 \cdot 10^{-13} Vt$  bo'lsa, signalning chastotasini toping.

2.29. 2.28. masala shartidan foydalanim Reley-Jins formulasidan issiqlik shovqininini qiymatini hisoblang.

2.30. O'YuCh-priyomnigining antennasi Zenitga (qutb yulduzi tomon) yo'naltirilgan va kelayotgan signal shovqini  $2,73 \cdot 10^{-15} Vt$  ekanligi aniqlandi. Koinotning shu nuqtasining (Zenit) temperaturasi necha kelvinga teng?

2.31. O'YuCh-priyomnigining antennasi butazorga yo'naltirilgan va kelayotgan signal shovqining quvvati  $8 \cdot 10^{-13} Vt$  ekanligi aniqlandi. Butazorning temperaturasini hisoblang.

2.32. Quyoshdan kelayotgan issiqlik shovqinining quvvati  $1,6 \cdot 10^{-12} Vt$  va temperaturasi  $6000 K$  O'YuCh-priyomnikining polasasi kengligi qanday bo'lgan?

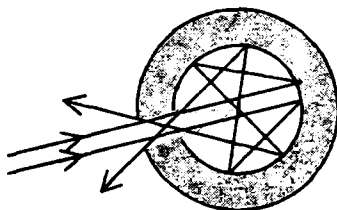
2.33. Issiqlik shovqinining o'rtacha energiyasi va quvvati radiochastotalar diapazondami yoki optik diapazondami, ya'ni qaysi birida xam bo'ladi?

2.34. Mazer va O'YuCh-priyomnik orasida qanday fizik mavjud? Qaysi birida Jonson shovqini kichik bo'ladi va nima uchun?

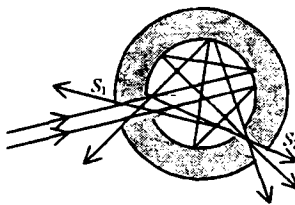
2.35. Mazerning shovqin temperaturasi  $3,5 K$  ga teng. Chastotalar polasasi  $25 Mgts$  bo'lsa, mazer shovqinning quvvati va o'rtacha energiyasini toping.

2.36. Jonson shovqinini lazer va mazer uchun taqqoslang.

2.37. Issiqlik fotopriyomnigi bo'sh kovakli kameradan iborat bo'lib, uning ichki sirtining yuzasi  $S = 2 \cdot 10^{-4} m^2$ , tirkishining yuzasi esa  $10^{-6} m^2$  (2.5-rasm). Kameraning ichki qismi yorug'likni juda kichkina qismini yutadi (yutish koefitsiyenti  $a = 0,01$ ), qolgan qismi esa sochiladi. Bu sharoitda kamera ichida yorug'lik nurlanishi barcha yo'nalishlar bo'yicha tekis taqsimlanadi. Kameraning tirkishiga tushayotgan yorug'lik oqimining qancha qismi qayta shu tirkishdan chiqib ketadi.



2.5-rasm.



2.6-rasm.

2.38. Ichki yuzasi  $S = 5 \cdot 10^{-4} m^2$  (2.6-rasm) bo'lgan Kovakning tirkishiga yorug'lik oqimi tushyapti. Kovakning ichki devorida Nurlanishning oz miqdori yutiladi. Qolgan qismi esa sochiladi va kovakda muvozanatlari nurlanish hosil bo'ladi. Ikkinchchi tirkishdan (tirkish kesimlarining yuzi  $S_1 = S_2 = S = 2 mm^2$ ) tushayotgan yorug'lik oqimining  $n = 1/5$  qismi chiqib ketadi. Kovak devorining yutish koefitsiyentini toping.

### **III BOB**

#### **Mavzu: YORUG'LIKNING KVANT NAZARIYASI. EYNSHTEYNNING SAQLANISH QONUNLARI**

**Reja:**

- 3.1. Yorug'lik tabiati. Eynshteynning fotonlar nazariyasi.
- 3.2. Yorug'lik kvanti uchun saqlanish qonunlari.
- 3.3. Fotonlar. Elektron-pozitron juftligi.
- 3.4. Elektron-pozitron juftligining tug'ilishi.
- 3.5. Fotonlarning yutilishi.
- 3.6. Juftlikning annigilatsiyasi (yo'qolishi).
- 3.7. Rentgen nuri va uning kvant tabiati.

### **ADABIYOTLAR**

1. А.Н.Матвеев. Атомная физика. «Высшая школа», М., 1989.
2. Д.И.Блохинцев. Основы квантовой механики. «Высшая школа», М., 1961.
3. Г.Бете. Кvantовая механика. М., 1965.
4. А.А. Соколов, И.М.Тернов. Кvantовая механика. М., 1962.
4. Э.В.Шпольский. Атомная физика. Том 1, М., 1963.
5. W.C.Rntgen. Ber line eine neue Art von Strahlen-med.Phys. Ges, Wurzburg. 1895, S.137, 1986, 511 (оригинал).

**Annotatsiya (masalaning qo'yilishi):** Absolut qora jismning nurlanish jarayonini kvant nazariyasining yaratilishi va uni tajribada to'la tasdiqlanishi klassik fizikaning xulosalari noto'g'ri va shubhali ekanligini ko'rsatdi. Uzluksiz o'zgaruvchi fizikaviy kattaliklar o'tniga uzlukli, diskret o'zgaruvchi kattaliklar kiritilishi fizika fanida katta burilish yasadi. Bu esa o'z navbatida, elektrordinamikaning poydevori bo'lgan uzluksizlik prinsipiiga zid kelmagan yorug'likning to'lqin nazariyasini ham katta shubha ostiga oldi.

Haqiqatan tabiiy savol tug'iladi, agarda nurlanish energiyasi uzluklilik prinsipiiga amal qilsa, nima uchun yorug'likning o'zi bu prinsipga amal qilmasligi kerak.

Nurlanish energiyasi zichligini chastota bo'yicha taqsimotini chur-qur tahlil qilgan Eynshteyn yorug'likni ham zarralardan tashkil topganligi, ular  $hv$  energiyaga ega bo'lgan va yorug'lik tezligida harakat

qiluvchi-fotonlardan iborat ekan dedi. Fotoeffekt, kompton effekt, positron-elektron juftligini tug'ilishi va rentgen nurlarining moddalariga ta'siri kabi hodisalar kvant nazariyadagi energiyaning va impulsning saqlanish qonunlari asosida to'la tushuntirildi.

Bu mavzuni o'qigan talaba Plankni, kvant g'oyasi bilan Eynshteynning kvant g'oyasi orasidagi farqni to'la ko'ra bilishi, saqlanish qonunlarini qo'yilgan masalalarga tatbiq eta olishi kerak. Yorug'likning uzlukliligi va kvant tabiatini haqida to'g'ri tasavvur paydo bo'lishi kerak.

### **Mavzu qahramoni**

1. Albert Eynshteyn (1879–1955) Germaniyaning Ulm shahrida tug'ilgan. 1914–33-yillarda Germaniyada ishlagan. So'ng umrining oxirigacha Amerikada yashagan. 300 dan ortiq ilmiy asar yozgan. XX asrning genial fizigi. 1921-yilda nazariy fizikada va ayniqsa, fotoelektrik effekti hodisasini kashf etgani uchun Nobel mukofotiga sazovor bo'lgan.

2. Karl Devid Anderson. AQSh ning Nyu-York shahrida 1905-yilda tug'ilgan. Rentgen nurlanishi, gamma nurlanishi va kosmik nurlarni tekshirishdagi katta xizmatlari uchun 1936-yilda Sh.F.Gess bilan birgalikda Nobel mukofitiga sazovor bo'lgan.

3. Vilgelm Konrad Rentgen. 1901-yilda o'zining nomi bilan ataladigan rentgen nurlarini kashf etganligi uchun Nobel mukofoti berilgan.

**III bob. YORUGLIKNING KVANT NAZARIASI.  
EYNSHTEYNNING SAQLANISH QONUNLARI**

**3.1. Yorug'likning tabiat. Eynshteynning fotonlar nazariyası**

Ossillatorlarni kvantlash haqidagi Plank g'oyasi absolut qora jismning nurlanish muammosini to'la-to'kis hal qildi va jismrlarning nurlanish energiyasini yutish va chiqarish jarayoni uzlukli ravishda yuz berishini ko'rsatdi. Klassik fizika tasavvurida yechib bo'lmaydigan masala hal qilindi, bu esa fan tarixida buyuk burilish edi. Lekin Plank o'z g'oyasini elektromagnit nurlanishiga qo'llanadi. Nurlanishning tarqalish jarayonlari, yorug'likning tabiat haqidagi muammolar hali ham klassik nazariya qonuniyatasi asosida tushuntirilar edi. Uzlukli kattaliklar tushunchasi, ya'ni Plank g'oyasi elektrodinamika nazariyasiga hali kirib kelgani yo'q edi.

1905-yilda albert Eynshteyn Plank ossillatorini kvantlash g'oyasini yanada olg'a surib, elektromagnit nurlanishga tatbiq edi. Plank formulasini energiya bo'yicha o'rtacha taqsimot beradi. Nurlanish energiyasi zichligini fluktuatsiyani chuqur tahlil qilgan Eynshteyn kvant xususiyat umuman yorug'likka tegishli xususiyat degan xulosaga xeldi. Eynshteynning yorug'lik kvantlari haqidagi yangi gipotezasiga ko'ra, monoxromatik yorug'lik dastasi  $hv$  energiyaga va yorug'lik tezligida harakat qiluvchi kvantlardan-korpuskula-fotonlardan iboratdir. (Foton atamasi 1926-yilda D.Luis tomonidan kiritilgan. 1927-yilda elektronlar va fotonlar mavzusiga bag'ishlangan Solveyev kongressida yorug'lik zarrasiga rasmiy ravishda foton ismi beriladi). Enshteyn gipotezasiga ko'ra Plank ossillatori yorug'lik kvantini chiqarish yoki yutish hisobiga o'z energiyasini o'zgartiradi. Foton zarra bo'lganligi sababli u

energiya  $E$  ga ega bo'lishi bilan birga  $p = \frac{E}{c}$  impulsga ega bo'lishi

zarurligini Eynshteyn anglatdi.  $K$  – to'lqin vektori tushunchasini kiritaylik. To'lqin vektorning komponentlari

$$k_x = \frac{2\pi}{\lambda} \cos \alpha, \quad k_y = \frac{2\pi}{\lambda} \cos \beta, \quad k_z = \frac{2\pi}{\lambda} \cos \gamma$$

ga teng, bunda  $\lambda$  – to'lqin uzunlik,  $\cos \alpha, \cos \beta, \cos \gamma$  yorug'lik to'lqiniga normal bo'lgan yo'naltiruvchi kosinuslar. Bu holda yorug'lik impulsini vektor ko'rinishda yozish mumkin:

$$\vec{p} = \hbar \vec{k}$$

Shunday qilib Eynshteynning foton nazariyasiga ko'ra ikkita formula hosil qilamiz:

$$E = \hbar v = \hbar \omega, \quad (3.1)$$

$$\vec{p} = \hbar \vec{k} \quad (3.2.)$$

(3.1) va (3.2.) formulalarda  $\hbar = \frac{h}{2\pi}$  bo'ladi.

(3.1) va (3.2.) formulalar yorug'likni *kvant nazariyasining asosiy tenglamalari* deyiladi. Bu tenglamalar yorug'lik kvanti energiyasi  $E$  va impulsi  $\vec{p}$  ni yassi monoxromatik to'lqinning chastotasi va to'lqin uzunligi bilan bog'laydi. Shunday qilib, yorug'lik tabiatiga aniqlik kiritildi. *Elektromagnit maydonning kvantlari* – bu *fotonlardir*. *Fotonning tinchlikdagi massasi nolga teng. Fotoning tinchlikdagi massasi degan tushuncha ma'noga ega emas, ya'ni foton faqat harakatda mavjuddir.*

### 3.2. Yorug'lik kvanti uchun saqlanish qonunlari

Yorug'likning kvant nazariyasiga ko'ra, yorug'likni (elektromagnit nurlanishni)  $\hbar \omega$  energiyaga va  $\hbar \vec{k}$  impulsiga ega bo'lgan zarralardan (fotonlardan) tashkil topgan gaz sifatida tasavvur qilish mumkin. Lekin yorug'likning kvant nazariyasining ma'nosи yanada chuqurroq bo'lib, yorug'likning moddalar bilan o'zaro ta'sirini energiya va impuls saqlash qonunlari orqali ifodalashdir. Yorug'lik va mikrosistemalar (elektron, atom, molekula va h.k.) orasida bo'ladigan energiya va impuls almashuvi bir kvantni paydo bo'lishi va ikkinchi boshqa yorug'lik kvantini yo'qolishi hisobiga bo'ladi. Bu fikr yorug'lik bilan o'zaro ta'sirda bo'lgan sistemalar uchun energiya va impulsning saqlanish qonunlarini formulasini yozishga imkoniyat beradi. Natijada, klassik fizikada jismlarning to'qnashish jarayonlari uchun yoziladigan saqlash qonunlariga o'xshagan saqlash qonunlarini foton va mikrosistemalar uchun ham yoza bo'ladi va bu o'z navbatida mikromasshtabda fizikaviy kattaliklarning miqdorini hisoblash matematikasini beradi.

Foton bilan elektronning to'qnashishi (o'zaro ta'sir) jarayoni uchun energiya va impulsning saqlanish qonunlarini ko'raylik.

Foton va elektrondan tashkil topgan sistemani to'qnashguncha bo'lgan energiyasi va impulsini  $E$  va  $\vec{p}$ , to'qnashish sodir bo'lgandan so'ng sistemaning energiyasi va impulsini  $E_1$  va  $\vec{p}_1$  deylik.  $\hbar \omega$  va  $\hbar \vec{k}$

yorug'lik kvantining to'qnashguncha energiyasi va impulsi, to'qnashish ro'y bergandan keyin yorug'lik kvantining energiyasi va impulsi va  $\hbar\vec{k}$ , bo'lsin.

Endi «to'qnashish» so'ziga aniq ma'no beramiz. Foton va elektronning o'zaro ta'siri natijasida chastotasi  $\omega$  va  $\vec{k}$  yo'nalishdagi elektromagnit to'lqinning energiyasi va impulsi mos ravishda  $\hbar\omega$  va  $\hbar\vec{k}$  ga (yorug'lik kvanti yo'qoldi) kamaydi,  $\omega$ , chastotaga va  $\vec{k}$ , yo'nalishdagi boshqa elektromagnit to'lqining energiyasi va impulsi  $\hbar\omega_1$  va  $\hbar\vec{k}_1$  ga ortdi (yorug'lik kvanti paydo bo'ldi). Bu holni matematika nuqtayi nazaridan quyidagicha yozish mumkin:

$$\hbar\omega + E = \hbar\omega_1 + E_1 \quad (3.3)$$

$$\hbar\vec{k} + \vec{p} = \hbar\vec{k}_1 + \vec{p}_1 \quad (3.4)$$

(3.3) va (3.4) formulalar fotonlar bilan mikrozarralarning o'zaro ta'sirini xarakterlaydigan saqlanish qonunlaridir. Kvant nazarイヤada ushbu energiya va impulsning saqlanish qonunlari yorug'lik va modalar orasidagi bo'ladigan jarayonlarni miqdoriy hisoblashga imkon beradigan universal tenglamalardir.

Yorug'likni yutilishi, nurlanishi va sochilishi kabi uchta asosiy jarayonni (3.3) va (3.4) tenglamalar qamrab olgan. Shu jarayonlarni ko'raylik:

1. *Utilish jarayoni.* Agar  $\omega_1 = 0$  bo'lsa, u holda  $\vec{k}_1 = 0$ . Bu holda (3.3) va (3.4) tenglamalarni quyidagicha yozish mumkin:  $\hbar\omega + E_0 = E_1$ ,  $\hbar\vec{k} = \vec{p}$ , bunda  $E_0$  – elektronni bog'lanish energiyasi. Natijada,  $\hbar\omega$  yorug'lik kvanti yutiladi. Fotoeffekt hodisasi bunga yaqqol misol bo'ladi (keyingi bobda fotoeffektni ko'ramiz).

2. *Nurlanish (chiqarish) jarayoni.* Agar  $\omega = 0$  bo'lsa  $\vec{k} = 0$ , u holda (3.3) va (3.4) tenglamalar  $\hbar\omega$  kvantga teng nurlanishni xarakterlaydi.

3. *Sochilish jarayoni.* Agar  $\omega$  va  $\omega_1$  chastotalar noldan farqli bo'lsa (3.3) va (3.4) tenglamalar yorug'likning, sochilishini xarakterlaydi; bu holda  $\hbar\omega$  va  $\hbar\vec{k}$  mos ravishda  $\hbar\omega_1$  va  $\hbar\vec{k}_1$  ga teng bo'lgan boshqa kvantga aylanadi. Kompton effekti bunga misol bo'ladi.

(3.3) va (3.4) ko'rinishdagi energiya va impulsining saqlanish qonunini klassik fizika tasavvurida turib talqin qilib bo'lmaydi. Bu tenglamalar matematik ko'rinishi jihatidan klassik fizikadagi energiya va impulsning saqlanish qonunlariga o'xshagan bo'lsa ham, ularning

fizik ma'nosи yorug'likni to'lqin tasavvuriga ham, korpuskular tasavvurga ham ziddir.

Mexanikada qo'llaniladigan energiyada saqlanish qonunida kinetik energiyaning qiymati v tezlik bilan ( $\omega$  chastota bilan emas) belgilanadi. Mexanik to'qnashishda, to'qnashgandan so'ng zarralarning tezligi o'zgaradi, bizning (3.3) da tezlik o'zgarmaydi. To'lqin nazarriyaga ko'ra, to'lqin maydonining energiyasi to'lqinni  $\omega$  chastotasi bilan emas, balki shu maydonni hosil qiluvchi To'lqin amplitudasi bilan aniqlanadi. Lekin ikkinchi tomondan chastota bilan amplitudani bir-biriga bog'laydigan formulani biz bilmaymiz. Ko'rib turibsizki, yuzaki mulohazalar ham (3.3) va (3.4) qonuniyatlarning klassik qonuniyatlarga zid ekanligini ko'rsatadi. (3.3) va (3.4) saqlanish qonunlari yorug'likni ikkiyoqlama xususiyati to'lqin va korpuskular xossalarni inobatga olgan tenglamalar bo'lib, uning tasavvuri klassik fizikaning tasavvuriga nisbatan boyroqdir.

Hozirgi zamon elektromagnit maydonining kvant nazariyasi yorug'likni shu ikki tomoni, ya'ni *yorug'likning dualizm xarakterini* hisobga oladi.

### 3.3. Fotonlar

Foton tom ma'noda relativistik zarra; u doimo yorug'lik tezligida harakat qiladi. Shuning uchun fotonning massasi, impulsi va energiyasi maxsus nisbiylik nazariyasining formulalari yordamida hisoblanishi kerak. Maxsus nisbiylik nazariyasiga ko'ra, istalgan zarraning massasi

$$m = \frac{m_0}{\sqrt{1 - \frac{v^2}{c^2}}} \quad (3.5)$$

formula bilan topiladi. Foton uchun  $v = c$ , bu holda (3.5) formulaning mahraji nolga aylanadi. Bundan chiqadiki, fotonning tinchlikdag'i massasi nolga teng bo'lishi yoki uning energiyasi  $E = mc^2$  cheksizga teng bo'lishi kerak edi. Shu sababga ko'ra ham foton doim harakatda, u hech qachon tinch holatda bo'lmaydi.  $m_0 = 0$  da fotonning impulsi

$$E^2 = p^2 c^2 + m_0^2 c^4 \quad (3.6)$$

formulaga ko'ra,

$$p = \frac{E}{c} \quad (3.7)$$

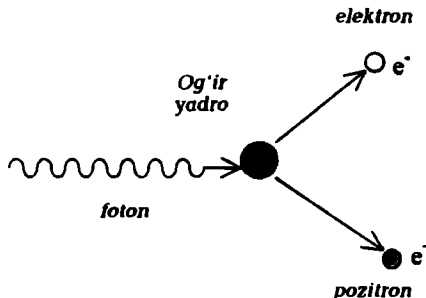
bilan aniqlanadi.

$E = h\nu$  bo'lgani uchun fotonning impulsi to'lqin uzunlik bilan

$$p = \frac{h\nu}{c} = \frac{h}{\lambda} \quad (3.8)$$

munosabat orqali bog'langan.

Foton energiyaga ega bo'lgani uchun, bu energiya massaga aylanishi mumkin. Bu hodisa pozitron va elektron tug'ilishi jarayonida (3.1-rasm) ro'y beradi.



**3.1-pasm.** Juftlikning tug'ilishi: fotonning yo'qolib elektron va pozitronning paydo bo'lishi.

### 3.4. Elektron-pozitron juftligining tug'ilishi

Pol Dirak 1928-yilda elektronning relativistik to'lqin tenglamasi kutilayotgan yechimga nisbatan ikki marta ko'p yechim berishini aniqladi. Dirak bu yechimlarning yarmisi manfiy energiyaga ega bo'lgan elektronlar uchun tegishli degan fikri berdi. Kvant nazariyaga binoan mikrosistemada diskret o'tishlar mavjud bo'lganligi uchun manfiy energiyaga ega bo'lgan holatlarni inkor etish noo'rin edi. Dirak ana shu «noo'rin yechim»ni musbat zaryad  $e^+$  ga ega bo'lgan zarralarga tegishli deb atadi. Keyinroq bu zarraga *pozitron* degan nom berildi.

1932-yilda Karl Anderson bu zarrani izini (trekni) kosmik nurlarni o'rGANAYOTGAN paytda Vilson kamerasida kuzatdi. Elektron va pozitron zaryadlarining absolut qiymatlari teng bo'lib, *pozitron zaryadining ishorasi musbat, elektron zaryadining ishorasi esa manfiydir*. Shuning uchun pozitronni antielektron deb ham atashadi.

Radioaktiv yadrolarning yemirilishida pozitron paydo bo'lishi kuzatilgan. Masalan, fosforning radioaktiv izotopi  $^{30}\text{P}$  ni yemirilishida pozitronlarni paydo bo'lishi kuzatilgan. Katta energiyaga ega bo'lgan  $\gamma$  (gamma) nurlar moddadan o'tganda ham pozitron paydo bo'ladi. Yadroning elektr maydonidan o'tayegan  $\gamma$ -kvant ham elektron-pozitron juftligi tug'iladi.

Energiyaning saqlanish qonuniga muvofiq tushayotgan fotonning eng kichik energiyasi

$$\hbar v_{\min} = m_0^- c^2 + m_0^+ c^2 = 2m_0 c^2 \quad (3.9)$$

yoki

$$\hbar v_{\min} = 1,02 M_e B$$

bu formulada fotonning to'lqin uzunligi

$$\lambda_{\max} = \frac{c}{v_{\min}} = 0,0122 \cdot 10^{-10} m = 0,0122 \text{ \AA}$$

ga teng ekanini topamiz. Bu holda yuksak energiyaga ega bo'lgan *gamma-kvant* hosil bo'ladi.

Bir jinsli magnit maydonda elektron-pozitron juftligini paydo bo'lishi uchun energiyaning saqlanish qonunining quyidagicha yozish mumkin:

$$\hbar v + M_0 c^2 = (m_0^- c^2 + K^-) + (m_0^+ c^2 + K^+) + (M_0 c^2 + K_s) \quad (3.10)$$

bunda  $\hbar v$  - tushayotgan foton energiyasi  $M_0 s^2$  - yadroning tinchlikdagi energiyasi,  $(m_0^- c^2 + K^-)$  - elektronning umumiy energiyasi,  $(m_0^+ c^2 + K^+)$  - pozitronning umumiy energiyasi,  $(M_0 c^2 + K_s)$  - yadroning umumiy energiyasi.  $K^+$  va  $K^-$  - mos ravishda pozitron va elektronning kinetik energiyasi,  $m_0^- c^2$  - elektronning tinchlikdagi energiyasi,  $m_0^+ c^2$  - pozitronning tinchlikdagi energiyasi va  $K_s$  - yadroning kinetik energiyasi.

Elektron va pozitron zarralariga nisbatan yadroning massasi ancha katta va u kichik tezlikka ega bo'lganligi uchun  $K_s = 0$  deb olamiz, u holda (3.10) tenglama

$$\hbar v + M_0 c^2 = (m_0^- c^2 + K^-) + (m_0^+ c^2 + K^+) \quad (3.11)$$

ko'rinishga keladi.

Bir jinsli magnit maydonda paydo bo'lgan elektron va pozitron doiraviy orbitalar bo'yicha bir-biriga teskari yo'nalishda harakat qildilar. Tajribada magnit maydon induksiyasi  $v$  ni qiymati ma'lum bo'lgani uchun Vilson kamerasida paydo bo'lgan zarralar traektoriyasining egrilik radiusini ( $r=r=r^+$ ) o'lchash mumkin. Natijada, elektron-pozitron juftligining har bir zarrasining impulsini

$$p = mv = eBr \quad (3.12)$$

formula yordamida topamiz (bunda  $e$ -elektron yoki pozitronning zaryadi). Zarralarning umumiy energiyasi (3.6) ga ko'ra

$$E = \sqrt{E_0^2 + p^2 c^2} \quad (3.13)$$

bo'lgani uchun elektron yoki pozitronning energiyasi

$$E = \sqrt{(m_0 c^2)^2 + (eBrc)^2} \quad (3.14)$$

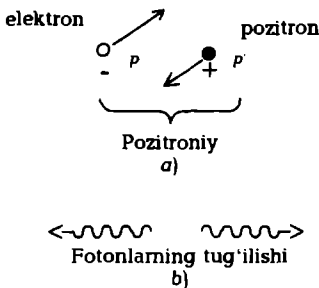
Pozitron elektronga nisbatan antizarradir.

1955-yilda Chemberlen, Segre, Vigend va Ipsilantis (AQSH) proton-antiproton tug'ilishini eksperimental kuzatdilar. Xuddi shu yili neytron-antineytron juftligi hosil bo'lishi eksperimentda tasdiqlandi.

1936-yilda pozitronni kashf etganligi munosabati bilan K.D.Ander-songa Nobel mukofoti berildi.

### 3.5. Juftlikning annigilatsiyasi (yo'qolishi)

Elektron-pozitron juftligini hosil bo'lishiga teskari bo'lgan jarayon *juftlikning annigilya-tsiyasi* deb ataladi. Annigilatsiya jarayonida zarralardan biri o'zining antizarrisasi (pozitron) bilan birlashib gamma-nurga aylanadi. Falsafiy tilda aytganda «modda yo'qolib» 22 maydon «hosil bo'ladi», materianing sifatli o'zgarishi ro'y beradi. Juftlikning hosil bo'lishi jarayonida paydo bo'lgan pozitronning yashash vaqtida qisqa, shunga qaramay elektron bilan to'qnashishi jarayonida kinetik energiyasining ko'p qismini yo'qotgan pozitron elektron bilan bog'lanib, pozitroniy atomi hosil qilishi mumkin.



**3.2-pasm. Juftlikning tug'ilishi:** fotonning yo'qolib, elektron va pozitronning paydo bo'lishi.

fotonning energiyasiga aylanadi. Juftlikning annigilatsiyasida ham juftlikning tug'ilishidagi o'xshab impuls momenti saqlanishi kerak. Moddani pozitronlar bilan nurlantirganda annigilatsiya jarayoni ro'y beradi.

Moddalarni pozitron bilan nurlantirganda annigilatsiya hodisasi sodir bo'ladi. Annigilatsiya jarayoni uchun

$$e^+ + e^- = n\gamma \quad (3.15)$$

reaksiyani yozish mumkin (bunda  $\gamma$ -foton,  $n$ -fotonlar soni). Annigilatsiya paytida ikkitadan ortiq ( $n \geq 2$ ) foton hosil bo'ladi, chunki bitta foton uchun energiya va impulsning saqlanish qonuni bajarilmaydi.

Elektron va pozitron to'qnashish momentida tinch turgan bo'lsalar, u holda sistemaning dastlabki holatdagi impulsi nolga teng. Impulsning saqlanish qonuniga ko'ra, sistemaning to'qnashgandan keyingi holtining impulsi ham nolga teng bo'lishi kerak. Yagona foton uchun impulsning saqlanish qonuni bajarilmaydi. Shunga ko'ra ikkala foton ham bir xil miqdordagi impulsga ega bo'lishi, yo'nalishlari esa bir-biriga qarama-qarshi bo'lishi kerak. Bu shartdan bu fotonlarning ener-giyalari ham, chastotalari ham tengligi kelib chiqadi.

Energiyaning saqlanish qonuniga binoan

$$m_0^- c^2 + m_0^+ c^2 = 2h\nu_{\min}$$

bundan

$$2m_0^- c^2 = 2h\nu_{\min} = \frac{2hc}{\lambda_{\max}} \quad (3.16)$$

yoki

$$\lambda_{\max} = \frac{hc}{m_0} = 0,0243 \text{ \AA}^\circ$$

Annilatsiya natijasida hosil bo'lgan fotonning to'lqin uzunligi  $\lambda_{\max} = 0,0243 \text{ \AA}$  bo'lib, u kompton to'lqin uzunligiga teng. Fotonning bunday to'lqin uzunligiga to'g'ri kelgan foton energiyasi

$$mc^2 = 0,511 M_e B$$

ga teng. Bu energiya eksperimentda kuzatiladi.

Agar pozitron va elektron o'zaro ta'sirga kirdi, kinetik ener-giyalarga ega bo'lsalar, u holda (3.16) formula quyidagi shakl oladi:

$$(m_0^- c^2 + K^-) + (m_0^+ c^2 + K^+) = 2h\nu \quad (3.11)$$

Keyingi boblarda Eynshteynning saqlanish qonunlarini fotoeffekt va kompton effektlari uchun tatbiq etamiz va yana bir bor yorug'likni kvantlardan tashkil topgan tasavvurni nihoyatda to'g'ri ekanligi va bu hodisalarda ham  $h$  sonini ishtirok etishi bu sonni fundamental ekan-ligidan darak berishi haqida to'xtalamiz.

### 3.6. Fotonlarning yutilishi

Elektromagnit nurlanishining intensivligini

$$I = N h \nu \quad (3.18)$$

formuladan topish mumkin. bunda  $N = \frac{n}{S_\perp \cdot v}$  fotonlar oqimi ( $n$  – foton-

lar soni,  $S_\perp$  – nurlanish yo'liga perpendikular qo'yilgan yuza,  $t$  – vaqt);  $h\nu$  – fotonning energiyasi.

Moddadan o'tayotgan nur dastasining sochilishi va yutilishi hisobiga nurlanish intensivligi kamayadi. Muhit o'ziga tushayotgan nurlanish intensivligini qanchaga kamaytirish xususiyatini xarakterlash uchun *yutish koefitsiyenti* μ kiritiladi. 3.3-rasmda yutish koefitsiyenti μ ga teng bo'lgan moddaning yutuvchi qatlamiga  $N_0$  ta fotondn iborat nurlanish dastasi tushayotgan bo'lsin. Moddaning  $dx$  qalilligida o'tayotgan dasta oqimining o'zgarishi

$$dN = N_0 e^{-\mu x} \quad (3.19)$$

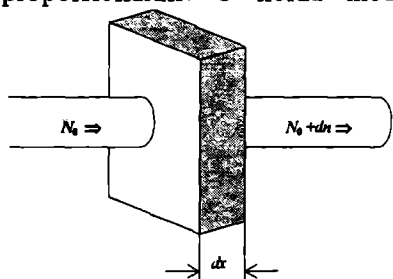
ga teng. Bunda  $N_0$  – tushayotgan oqim,  $\mu$  – yutish koefitsiyenti. Muayyan chastotadagi nurlanish uchun oqim intensivlikka to'g'ri proporsionaldir. U holda modda qatlamidan o'tayotgan nurlanish intensivligi

$$I = I_0 e^{-\mu x} \quad (3.20)$$

bunda  $I_0 = N_0 h v$ .

*Yutish koefitsiyenti μ moddaning tabiatiga hamda tushayotgan nurlanishning chastotasiga proporsional.*

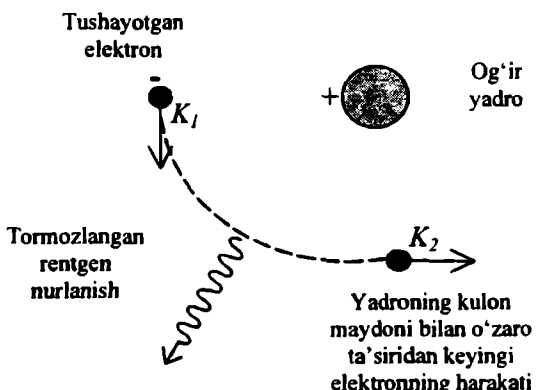
Umuman olganda nurlanishning moddalar bilan o'zaro ta'siri uchta effekt: fotoeffekt, kompton-effekt va juftlikni tug'ilishi jarayoni bilan xarakterlanadi.



3.3-rasm. Fotonlarning moddada yutilishi.

### 3.7. Rentgen nuri va uning kvant tabiatи

Juda katta tezlikda harakat qilayotgan elektronlar og'ir yadrolar bilan to'qnashish jarayonida hosil bo'lgan juda qisqa to'lqin uzunlikka ega bo'lgan elektromagnit nurlanishga *rentgen nurlari* deyiladi. Elektromagnit to'lqinlar shkalasida Rentgen nurining to'lqin uzunligi  $1 \cdot 10^{-11}$ - $5 \cdot 10^{-9}$  sohaga, energiyasi esa  $2 \cdot 10^{-14}$ - $4 \cdot 10^{-17}$  J ga to'g'ri keladi. Bu nur 1895-yilda Vilgelm Rentgen tomonidan kashf etilgan. Rentgen trubkasini katodidan chiqayotgan termoelektronlar tezlantiruvchi potensial ayirma yordamida katta tezliklarga tezlashtiriladi. So'ng u anti katod bilan to'qnashish jarayonida tormozlanadi. Yadroni kulon maydoni bilan o'zaro ta'sirda bo'lgan elektronlarning tormozlanish jarayoni 3.4-rasmida keltirilgan. Bu jarayonda vujudga kelgan nurlanishni klassik elektromagnit nazariya doirasida tavsirlash mumkin. Katta tezlikda harakat qilayotgan elektronlar tormozlanganda kinetik energiyasini yo'qotadi va bu energiya fotonning energiyasiga aylanadi.



3.4-rasm. Rentgen nurlashining hosil bo'lishi.

$$hv = K_1 - K_2 \quad (3.21)$$

bunda  $hv$  – foton energiyai,  $K_1$  va  $K_2$  – mos ravishda tormozlanguncha va tormozlangandan so'nggi elektronlarning kinetik energiyasi. Bu ifodada tepki yadroning energiyasi e'tiborga olinmagan.

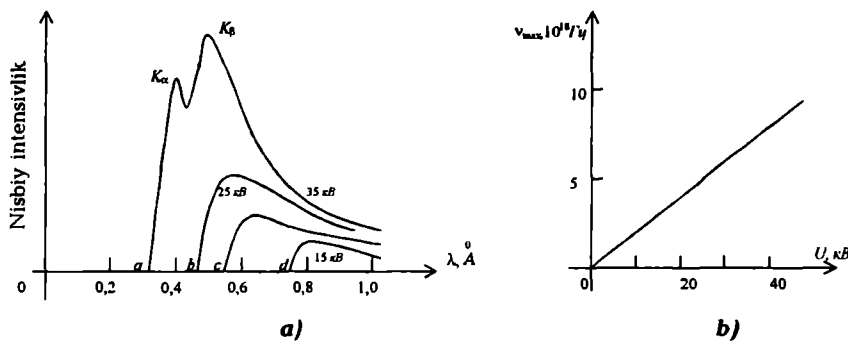
Energiyaning saqlanish qonuniga binoan, elektronning maksimal kinetik energiyasi

$$\frac{1}{2}mv_{\max}^2 = eU_A = hv = h\frac{c}{\lambda} \quad (3.22)$$

formula bilan aniqlanadi (bunda  $v$  va  $\lambda$  – rentgen nurlarining chas-totasi va to'lqin uzunligi,  $U_A$  – antikatoddagi tezlantiruvchi potensial).

Katta tezlikda harakat qilayotgan elektronlarning tormozlanishi natijasida vujudga kelgan nurlanishga *tormozlangan nurlanish* deyiladi. Katta tezlatkichlarda ham katta tezlikka tezlantirilgan zarralar tormozlangan nurlanish hosil qiladi.

Elektromagnit nazariya va kvant mexanikaga bu muammoni quyidagicha tushuntirish mumkin. Elektromagnit nazariyaga binoan, elektronlarning tormozlanishi jarayonining har bir to'qnashishida *uzluksiz nurlanish* paydo bo'ladi. Kvant fizikaning o'qtirishiga ko'ra esa  $hv$  energiyaga ega bo'lgan bitta foton hosil bo'ladi va u har bir to'qnashish akti uchun turlichadir. Kumush uchun uzluksiz rentgen spektri 3.5-rasmida keltirilgan. 3.5a-rasmida kumushning uzluksiz spektriga qo'yilgan keskin chiziqlar ham ko'satilgan. Muayyan potensial uchun tormozlanish uzluksiz spektrining intensivligi antikatodning fizikaviy xarakteristikalariga bog'liq. Ammo spektrning  $a$ ,  $b$ ,  $c$ ,  $d$  nuqtalardagi qisqa to'lqin chegarasi antikatod moddasiga bog'liq emas.



3.5-rasm. Rentgen spektri.

3.5b-rasmda maksimal chegaraviy chastota  $\nu_{\max}$  ni tezlantiruvchi potensial  $U$  ga bog'liq ifodasi ko'rsatilgan bo'lib, u to'g'ri chiziqdan iborat, ya'ni

$$\frac{\nu_{\max}}{U} = \left( \frac{c}{\lambda_{\min}} \right) \frac{1}{U} \text{ const} \quad (3.23)$$

Eskperimental ma'lumotlardan olingan chastotalarni qiymatini klassik nazariya tushuntira olmaydi. Antikatod moddasining atomlarining kulon maydoni ta'sirida tez harakat qilayotgan elektronlarning sochilishi tufayli uning traektoriyasi o'zgaradi (3.4-rasm). Plankning gipotezasiga ko'ra esa elektronlarning tez harakati tufayli sodir bo'lgan kvant nurlanish  $h\nu$  energiya ko'rinishida sochilishi kerak. Biroq har bir kvantning maksimal energiyasi antikatodga urilayotgan tez elektronlarning energiyasidan katta bo'lmasligi kerak.

$$h\nu_{\max} = K_{\max} = eU \quad (3.24)$$

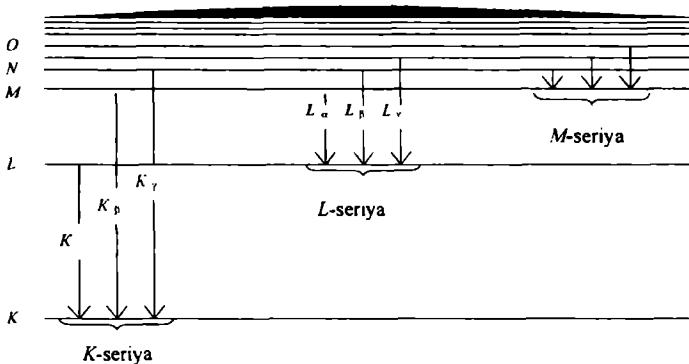
$U$  holda

$$\frac{h\nu}{\lambda_{\min}} = eU \quad (3.24)$$

Formula o'rinci bo'ladi. Tezlantiruvchi potensial ayirmanning energiyasi  $U$  ning qiymati bir necha ming voltlarda bo'lib, uning 98 % energiyasi antikatodlarning ichki energiyasiga aylanadi. Natijada, antikatodning temperaturasini ortadi.

3.5-rasmdan ko'rindiki, chegaraviy chastotalarning qiymatini aniq topish mumkin. Uni bilgan holda unga mos kelgan to'lqin uzunliklarni bilib rentgen spektridan Plank doimiyisini hisoblash mumkin. Hozirgi paytda bu usul Plank doimiyisini topishni eng yaxshi yo'li hisoblanadi.

Muayyan antikatod uchun intensivlik tezlanuvchi potensial bilan aniqlansa ham, xarakteristik chiziqli spektr antikatodning moddasiga bog'liq. Atomda elektronlar yadro, atrofida ketma-ket joylashgan qobiqlar to'plamini hosil qiladi. Yadro bilan mustahkam bog'langan elektronlar  $K$ -qobiqnini, keyin esa  $L$ ,  $M$ ,  $N$ , qobiqlarga joylashadi. Tez harakatdagi elektronlar  $K$  qobiqdan urib chiqargandan so'ng,  $L$  qobiqdagi elektron  $K$  qobiqdagi «bo'sh joy»ga (vakansiyaga) o'tadi va natijada, rentgen nurlanishi hosil bo'ladi. Bu nurlanish antikatod moddasini xarakterlagani uchun spektrda  $K_{\alpha}$ -s beradi. Agar  $K$  qobiq-dagi vakansiyaga  $L$  elektron kelib tushsa, u holda u ham elektron yo'qotadi va hosil bo'lgan rentgen nurlanishi spektrini chizihi  $K_{\beta}$ -chizig'ini beradi. Shunday qilib,  $L$ ,  $M$ ,  $N$ , qobiqlardan  $K$  qobiqqa elektronning o'tish jarayonida  $K_{\alpha}, K_{\beta}, K_{\gamma}, \dots$  chiziqlar hosil bo'ladi va bu chiziqlar to'plamini  $K$ -seriya deb atashadi. Agar tushayotgan elektron  $L$  qobiqdagi elektronlarni urib tushirsa va bu yerdagi vakantsiyaga  $M$ -,  $N$ -,  $O$ -, qobiqlardagi elektronlar hisobiga to'ldirilsa  $L$ -seriya hosil bo'ladi va h.k. 3.6-rasmda bu o'tishlar va seriyalar chizmatik ko'ri-nishda tasvirlangan.



3.6-rasm. Chegaraviy chastotaning qiymatini aniq topish.

Rentgen trubkasiga qo'yilgan tezlatuvchi potensial ayirmanning asta sekin oshirsak, hosil bo'lgan tormozlanish uzluksiz spektrni potensial ayirmanning biror «kritik» qiymatida kuzatish mumkin. Bu holda  $K$ ,  $L$ ,  $M$ ,  $N$ , qobiqlardan elektronlarni urib chiqarish uchun tushayotgan elektronlarning energiyasi yetarlicha bo'ladi. Shunday qilib,  $K$ -seriyaga o'tish mumkin bo'lishi uchun termoelektronlarning energiyasi  $U_{\kappa}$  potensial qiymatiga erishishi kerak, ya'ni

$$eU_{\kappa} \geq E_k \quad (3.25)$$

bunda  $E_k - K$  elektronni atomdan uzoqlashtirish uchun kerak bo'lgan energiya.

*K*-seriyaga tegishli rentgen nurlari «qattiq» rentgen nurlari, *L*-, *M*-*N*-seriyaga ega bo'lgan nurlarni «yumshoq» rentgen nurlari deyiladi.

Betatron elektronlarni tezlanadirigan tezlatkich bo'lib, u rentgen va gamma-nurlar manbayidir. Betatronda elektronlar yorug'lik tezligiga yaqin tezliklargacha tezlanriladi. Masalan, 300 MeV energiyaga ega bo'lgan tezlatkichda elektron tezligi 99,97% gacha tezlanriladi va bu holda elektronning massasi tinchlikdagi massasiga nisbatan 40 baravar katta bo'ladi.

Rentgen nurlanishining yana bir tabiiy manbayi Quyush toji va boshqa astronomik obyektlardir. Masalan, chayon, buzoq, yulduz turkumlari va qisqichbaqa ko'rinishdagi tumanliklarda rentgen manbalari mavjud ekanligi eksperimentda tasdiqlandi. Kosmik rentgen nurlarni o'rganishda yangi fan rentgen astronomiyasi paydo bo'ldi.

Elektromagnit to'lqinlar shkalasining spektrida rentgen nurlanishining asosiy diapazoni jadvalda keltirilgin.

<i>Fizikaviy kattaliklar</i>	<i>Kattaliklarning qiymati</i>
Vakuumda to'lqin uzunlik	$5 \text{ nm} - 10^{-2} \text{ nm}$
Chastotasi	$6 \cdot 10^{16} \text{ gts} - 3 \cdot 10^{19} \text{ gts}$
Polosa kengligi	$2994 \cdot 10^4 \text{ Tgts}$
Oktava	9
Kvant energiyasi	$3,96 \cdot 10^{-17} \text{ J} - 1,98 \cdot 10^{-14} \text{ J}$ yoki $247,5 \text{ eV} - 1,24 \cdot 10^5 \text{ eV}$

100 kev energiyadan kichik bo'lgan tormozlanish nurlanishi *rentgen nurlari*, 100 kev dan katta bo'lgani esa *gamma-nurlanish* deyiladi. Qattiq rentgen nurlanish bilan yumshoq gamma-nurlanish orasida keskin chegara yo'q.

### SAVOLLAR

1. Yorug'likni klassik va kvant tabiatini va tafovutlari nimadan iborat?
2. Eynshteyn gipotezasi bilan Plank gipotezasining tub farqi nima?
3. Yorug'lik kvant nazariyasini asosiy tenglamalarini yozing va tushuntiring.
4. Kvant va foton nima? Nimasidan ular bir-biridan farq qiladi?
5. Nima uchun yorug'lik bilan muddaning o'zaro ta'siri uchun saqlanish qonunlarini yozish mumkin?

6. Foton bilan elektron uchun saqlanish qonunlarini yozing.
7. Yorug'lik kvantini yutilishi, chiqishi va sochilishi uchun enerjiya va impulsning saqlanish qonunlarini yozing va tushuntiring.
8. Oddiy mekanikadagi saqlanish qonunlari kvant nazariyadagi saqlanish qonunlaridan farqi bormi?
9. To'lqin mekanikadagi saqlanish qonunlari bilan kvant nazariyadagi saqlanish qonunlari orasidagi farq nimadan iborat?
10. Yorug'lik duolizmi nuqtayi nazaridan saqlanish qonunlarini qanday tushunasiz?
11. Fotonni massasi, impulsi, energiyasi haqida batafsil ma'lumot bering.
12. Pozitron va elektron haqida so'zlang.
13. Pozitron-elektron juftligini tug'ilishi va anniglatsiyasi haqida gapiring.
14. Anniglatsiya reaksiyasini yozing.
15. Anniglatsiya reaksiyasi uchun energiyaning saqlanish qonunini yozing va tushuntiring.
16. Pozitron-elektron anniglatsiyasi jarayonida nechta foton ajraladi? Tug'ilgan fotonning to'lqin uzunligi va energiyasi haqida so'zlang.
17. Bu ma'ruzadan siz qanday taassurot oldingiz?
18. Rentgen nurlarini ta'siflang.
19. Tormozlanish nurlanishi deb nimaga aytildi?
20. Rentgen nurlanishi uchun energiyaning saqlanish qonunini yozing.
21. Tormozlanish uzluksiz spektrining intensivligi nimaga bog'liq?
22. Rentgen spektrini qisqa to'lqinli chegaralari nimaga bog'liq?
23. Rentgen spektrini klassik elektrodinamika nuqtayi nazaridan qanday tushuntirsa bo'ladi?
24. Rentgen spektrini kvant fizika nuqtayi nazaridan qanday tushuntirsa bo'ladi?
25. Rentgen spektrida Plank doimiysini topsa bo'ladimi va qanday?
26. K-, L-, M-seriyalarni izohlang?
27. Kritik potensial nimani anglatadi va u nimaga bog'liq bo'ladi?
28. Shu bobdan olgan taassurotlaringizni bayon eting.

### **MASALALAR**

- 3.1. Infragizilnurlanishning to'lqin uzunliklar bo'yicha quiy chegarasi  $0,1 \text{ mm}$ , yuqori chegarasi  $770 \text{ nm}$  (chastotalar bo'yicha  $3 \cdot 10^{12} \text{ gts} - 4 \cdot 10^{14} \text{ gts}$ ) bo'lsa, kvantlar energiyasini joul va elektronovolt birligida hisoblang.
- 3.2. Ko'zga ko'rindigan nurlanish (yorug'lik)ni to'lqin uzunliklar diapazoni  $770 \text{ nm} - 380 \text{ nm}$ . Yorug'lik kvantlarining energetik diapanonini joul va elektronovolt birligida hisoblang.

3.3. Ultrabinafsha nurlanishining to'lqin uzunliklar diapazoni  $380\text{ nm}$  –  $5\text{ nm}$  (tebranish chastotasi  $8 \cdot 10^{14}\text{ gts}$  –  $6 \cdot 10^{16}\text{ gts}$ ). Ultrabinafsha kvantlarining energetik diapazonini joul va elektronovolt birligida hisoblang.

3.4. Rentgen nurlanishining to'lqin uzunliklar diapazoni  $5\text{ nm}$  –  $10^{-2}\text{ nm}$ . Rentgen kvantlarining energetik diapazonini joul va elektronovolt birligida hisoblang.

3.5. Gamma-nurlanishining to'lqin uzunliklar diapazoni  $0,137\text{ nm}$  –  $10^{-13}\text{ nm}$ . gamma kvantlarining energetik diapazonini joul va elektronovolt birligida hisoblang.

3.6. Odam badani mo'tadil temperaturada ( $36,7^\circ\text{C}$ ) katta to'plam-dagi chastotada infraqizilnurlar chiqaradi. Infracizlnur energiyasining maksimumi  $\lambda \approx 9,5\text{ mkm}$  ga to'g'ri keladi. Eng katta energiyani hisoblang.

3.7. Qaysi temperaturadan boshlab barcha qizigan jismlar chiqar-gan nurlanish infraqizilnur hisoblanadi?

3.8. Infracizilnurlanishni qabul qiluvchi asboblarni sanab ko'rsating.

3.9. Qizil va binafsha nurlanish fotonlarining energiyasi mos ravishda  $2,6 \cdot 10^{-19}\text{ J}$  va  $5,3 \cdot 10^{-19}\text{ J}$  ga teng. Shu energiyadagi fotonlar moddaga tushganda uning temperaturasini hisoblang.

3.10. Zangori nurlanish chastotasi  $7,5 \cdot 10^{14}\text{ gts}$ . Bu foton atomga qanday energiya beradi? Bu energiya atomni ionlashtirishga qurbi yetadimi?

3.11. O'simliklarning yashil bargi fotosintezda to'lqin uzunligi  $\lambda = 670\text{ nm}$  bo'lgan qizil nurlanishni intensiv yutadi. Teskari kimyoviy reaksiyada  $\text{SO}_2$  ni bitta molekulasi  $4,9\text{ ev}$  energiya ajratadi. Fotosintezni foydali ish koeffitsiyentini toping. Bitta suv molekulasi bilan bitta uglekislota ( $\text{SO}_2$ ) molekulasi bilan birikishi uchun nechta qizil foton kerak.

3.12. Yer sirtiga tushayotgan quyosh nurlanishi oqimining zichligi  $E = 1,4 \cdot 10^{13}\text{ J/m}^2\text{-s}$ . Agar nurlanish atmosferada to'la yutilsa yorug'lik bosimini hisoblang.

3.13. Optik kvant generatori (lazer) nurlanishi linzalar yordamida kichkina sirt ustida to'plandi. Natijada, sirtda hosil bo'lgan energiya zichligi  $6 \cdot 10^8\text{ J/sm}^2$ . Lazer nurlanishining hosil qilgan bosimini toping.

3.14. O'ta sezgir fotoplyonkaga tushayotgan har foton unda qora doh hosil qiladi. To'lqin uzunligi  $\lambda = 5 \cdot 10^{-7}\text{ m}$  bo'lgan nurlanish ta'sirida  $10 \times 10\text{ sm}$  o'lchamda uchta fotosurat olindi. Plank formulasi  $E = h\nu$  dan foydalanib har bir hol uchun (3.7-rasm) fotoplastinkanining yoritilanini toping. Fotoapparat zatvorining ishlash davomiyligi (dil-telnost)  $10^{-9}\text{ s}$ .

3.15. Kvant olami uchun energiya impulsning saqlanish qonunlarini yozing va ularni klassik fizikadagi saqlanish qonunlaridan farqini tushuntiring.



*a)*

*b)*

*d)*

**3.7-rasm.**

3.16. 3.15-masala natijasidan energiya impulsning saqlanish qonunlarini yorug'lik bilan bo'ladigan uchta jarayon uchun: yutish, chiqarish va sochilishiga tadbiq qiling.

3.17. Metall sirtiga tushgan foton to'la yutildi. Natijada,  $E$  energiyaga ega bo'lgan elektron metall sirtidan chiqib ketdi. Bu jarayon saqlanish qonunini yozing.

3.18. Yadro-nishonning kuchli elektr maydonida elektron harakat qilayapti. Ushbu sistemaning to'la energiyasi va to'la impulsni saqlanishi uchun elektron o'z energiyasi va impulsining bir qismini yadroga berishi kerak. Shu hol uchun saqlanish qonunlarini yozing.

3.19.  $\omega$ -chastotaga ega bo'lgan foton massasi  $m$  bo'lgan tinch turgan elektron bilan to'qnashdi. To'qnashish sodir bo'lgandan so'ng  $\omega'$  chastotali foton dastlabki fotonning harakat yo'nalishiga  $\theta$  burchak ostida, elektron-tepki esa  $\phi$  burchak ostida harakat qildi. Bu hol uchun energiya va impulsning saqlanish qonunlarini yozing.

3.20.  $e^- + e^- = \gamma$  jarayon uchun saqlanish qonunini yozing. Hosil bo'lgan gamma-kvantlarining energiyasi va to'lqin uzunligini toping. Bunda  $n$ -fotonlar soni.

3.21. Tiliy ( $Z=69$ ) spektrining  $K_{\alpha}$  chizihining to'lqin uzunligi  $\lambda = 0,246 \text{ \AA}$ . Shu chiziqa mos keluvchi fotonning energiyasini elektronning tinchlikdagi massasi bilan taqqoslang.

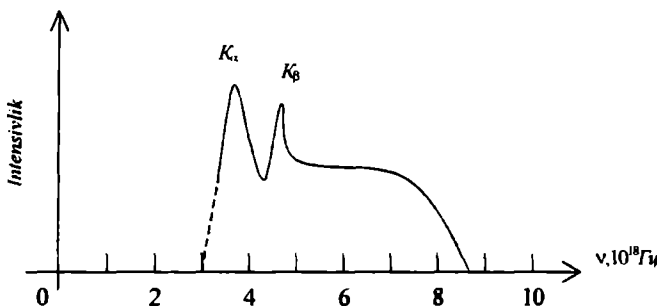
3.22. 3.8-rasmida keltirilgan egrilikdan foydalananib abssissa o'qining  $s$  nuqtasini kesib o'tuvchi egrilikning tezlatuvchi potensialini toping.

3.23.  $\lambda = 1 \text{ \AA}$  to'lqin uzunlikka ega bo'lgan qisqa to'lqinlar uchun rentgen trubkasiga qo'yilgan kuchlanishni toping.

3.24. Metalldan qilingan antikatodni bombardimon qilayotgan elektronlarning energiyasi 40 kev bo'lsa, rentgen nurlanishining maksimal energiyasini hisoblang. Agar tezlatuvchi potensial farqi 20 keV bo'lsa, nurlanishning maksimal chastotasini toping.

3.25. 3.5-rasmidagi (*a*, *b*, *d*, *e*) nuqtalar uchun uyq'otuvchi elektronning maksimal kinetik energiyasini toping.

3.26. 3.8-rasmidagi egrilik uchun  $K$  qobiqdan elektronni uzoqlashtirish uchun 30 keV energiya kerak bo'lsa,  $L$  qobiqdan uzoqlashtirish uchun qanday energiya kerak? Antikatodga tushayotgan elektronlarning maksimal kinetik energiyasini hisoblang.



**3.8-rasm.**

3.27. 3.5-rasmdagi (a, b, d, e) nuqtalar uchun  $h$ -doimiylikni hisoblash mumkinmi?

3.28. Yorug'likni elektromagnit maydonga ega ekanligini isbotlang.

## **IV BOB**

### **Mavzu: YORUG'LIK KVANTI – FOTONNING YUTILISHI. FOTOEFFEKT**

**Reja:**

- 4.1. Fotoeffekt muammosi**
- 4.2. Elektronlar emissiyasi. F.Lenard tajribalari**
- 4.3. Fotoelektronlar uchun Eynshteyn tenglamasi**
- 4.4. Milliken tajribasi va Plank doimiysini aniqlash**
- 4.5. Fotoeffekt nazariyasi. Ko'pfotonli fotoeffekt**

### **ADABIYOTLAR**

1. А.Н.Матвеев. Атомная физика. "Высшая школа", М., 1989.
2. Д.И.Блохинцев. Основы квантовой механики. "Высшая школа" М., 1961.
3. Г.Бете. Квантовая механика. М., 1965.
4. А.А. Соколов, И.М.Тернов. Квантовая механика. М., 1962.
5. У.И.Франкфурт, А.М.Френк. Физика наших дней. "Наука" М., 1971.
6. R.Векjonov, B.Axmadxo'jayev. Atom fizikasi. "O'qituvchi" Т., 1979.
7. Einstein A. Eber einen die Erzengung und Verwendung des Lichtes betreffenden heuvis tischen Gesichtspunkt-Ann. d. Phys. 1905. v. 17, p. 137 (original).
8. R.A.Milliken - Phys. Rev. 1916, v. 7, p. 135 (original).

**Annotatsiya (masalaning qo'yilishi):** Fotoelektron hodisa korpuskulayar xarakterga ega bo'lib, yorug'likning to'lqin tabiatini inkor qiladi. Shu bilan u butun klassik fizikaga qarshi chiqadi. Bu bobni o'tishdan asosiy maqsad fotoeffektini klassik va kvant nazariya asosidan kelib chiqqan holda taqqoslash, kvant fizikani mohiyatini ochishdir. Bu tajriba Plank g'oyasini tasdiqlovchi dastlabki eksperimentlardan biridir. Kichkina energiya sohalari ( $1\text{eV}-10\text{eV}$ ) uchun yorug'lik nurlanishini kvantlanishini ko'rsatish, Lenard tajribalari, Eynshteyn tajribasi va Milliken tajribalari orqali fotoeffektini kvant xarakterga ega ekanligini tekshirish va tasdiqlash bu bobning asosiy maqsadi edi. Shuningdek, yana bir maqsad talabalarga eksperimentdan

bevosita Plank doimiysiini topish mumkinligini ko'rsatish va Plank doimiysiini universal doimiylilik ekanligini o'qdirish edi.

### **Mavzu qahramonlari**

1. Lenard Filipp. Katod nurlanishini o'rganishdagi ishlari uchun 1905-yilda Nobel mukofotiga sazovor bo'lgan.
2. Jozef Jon Tomson (1856-1940). 1906-yilda o'tkazuvchanlik hodisalari uchun Nobel mukofotiga sazovor bo'lgan. 1897-yilda Tomson elektronning zaryadini birinchi bo'lib o'chagan.
3. Albert Eynshteyn (1879-1955) Germaniyaning Ulm shahrida tug'ilgan. 1914-33-yillarda Germaniyada ishlagan. So'ng umrining oxirigacha Amerikada yashagan. 300 dan ortiq ilmiy asar yozgan. XX asrning genial fizigi. 1921-yilda nazariy fizikada va ayniqsa, fotoelektrik effekti hodisasini kashf etgani uchun Nobel mukofotiga sazovor bo'lgan.
4. Robert Endrus Milliken (1868-1953). Amerikada Illinoys shtatidagi Morrison shahrida tug'ilgan. Aberlin kollejini bitirgan. 1910-yilda elektron zaryadini aniqlagan. 1923-yilda Nobel mukofotiga sazovor bo'lgan.

## **IV bob. YORUG'LIK KVANTI – FOTONNING YUTILISHI. FOTOEFFEKT**

### **4.1. Fotoeffekt muammosi**

Yorug'likning korpuskulyar tabiatini bevosita tasdiqlovchi eksperimentlardan biri fotoeffektidir. *Yorug'lik nurlanishi ta'sirida metall sirtidan elektronlarning ajralib chiqishi fotoelektron hodisa yoki fotoeffekt deb ataladi.* Fotoeffekt eksperimenti qonuniyatlarini klassik fizika tarafida turib tushuntirib bo'lmaydi. Klassik nazariya bu hodisani tushuntirishda mutlaqo ojizlik qiladi.

Xo'sh, nima uchun klassik nazariya fotoeffekt jarayonini tushuntirishga qurbi yetmaydi, axir uning nuqtai nazaridan ham bu hodisa joizku. Birinchi qaraganda fotoeffektini to'lqin nazariya asosida sifatli tushuntirish mumkinga o'xshab ko'rindi. Maksvellning elektromagnit to'lqinlari nazariyasiga binoan issiqlik nurlanish inson ko'ziga ko'rindigan sohadagi to'lqin uzunlikka ega bo'lgan elektromagnit nurlanish – yorug'likdir va uning strukturasi elektr va magnit maydonlardan tuzilgan. Nurlanish elektr maydoni amplitudasining kvadrati yorug'lik intensivligini xarakterlaydi. Shunday ekan, tushayotgan elektromagnit nurlanishining amplitudasi metall sirtidagi elektronlarni tebranishga majbur qiladi, agar elektronning xususiy tebranishi davri bilan tushayotgan to'lqinning tebranish davri mos kelganda rezonans ro'y beradi, elektronning tebranish amplitudasi keskin ortib ketadi va oqibatda u metall sirtini tashlab tashqariga chiqib ketadi. Darvoqe, bunday manzara o'rinci bo'lsa, u holda metall sirtidan ajralgan elektronlarning kinetik energiyasi tushayotgan yorug'likning intensivligiga bog'liq bo'lishi kerak. Tushayotgan yorug'likning intensivligi ortsasida mos holda metall sirtidan ajralayotgan elektronlarning kinetik energiyasi ham ortishi kerak.

Afsuski, juda ko'p sonda qilingan tajribalar natijasi shuni ko'rsatadi, fotoeffektda metall sirtidan ajralgan elektronlarning kinetik energiyasi tushayotgan yorug'likning intensivligiga mutlaqo bog'liq emas; metall sirtini bir vattli lampochka yoki 1000 vattli lampochkaning monoxromatik nurlanishi bilan yoritamizmi, unga baribir, uning sirtidan chiqayotgan elektronlarining kinetik energiyasi o'zgarishsiz qolaveradi; yorug'lik intensivligining ortishi faqat sirtidan chiqayotgan elektronlar sonining ortishiga olib keladi, xalos.

Metall sirtidan ajralayotgan elektronlarning kinetik energiyasi tushayotgan yorug'lik nurlanishi intensivligiga bog'liq bo'lmasligi juda

ham ajablanarli hol edi. Eskperiment – oliv hakam. Eskperimentning mazkur natijasi fotoeffektning bиринчи muammosi edi va u to'g'ridan-to'g'ri yorug'lik to'lqin nazariyasini rad etardi. Shu sababdan, bu natija klassik fizikaning ham muammosi edi.

Klassik nazariyaga ko'ra, metall sirtiga tushayotgan yorug'lik nurlanishining intensivligi juda kuchsiz bo'lsa, u holda metall sirtidan umuman elektronlar ajralmasligi yoki kechikib ajralishi kerak. Bu fikrni tushuntirish uchun quyidagi misolni olaylik. Kaliy metallining sirti oqim zichligi  $D=10^{-5} \text{ Vt/m}^2$  bo'lgan yorug'lik nurlanishi bilan yoritilgan bo'lsin. Kaliy atomidan elektronlarni ajratish uchun  $3,6 \cdot 10^{-19} \text{ Vt}\cdot\text{s}$  ga teng bo'lgan energiya zarur. Bu energiyani metall sirti yig'ilishi uchun, kaliyni uzuksiz taxminiyl 6 kun yoritish kerak. Boshqacha aytganda, metall sirtini 6 kun yorug'lik bilan yoritilgandan so'ng, elektronlar ajralaboshlashi kerak. Eskperiment natijalari bu qarashga tamomila zid edi. Darhaqiqat, yorug'likning intensivligi juda ham kuchsiz bo'lganda ham, ya'ni  $v > v_0$  ( $v_0$ -chegaraviy chastota) chastotalarda tushayotgan nurlanish shu zahotiyoy ( $\sim 10^{-7} \text{ s}$ ) metall sirtidan elektronlarni urib chiqaradi. Eskperiment – oliv hakam. Fotoeffekt – oniy jarayon. Elektron metall sirtidan oniy chiqadi. Fotoeffektning bu qonuniyati klassik fizikaning ikkinchi muammosi edi.

Metall sirtidan ajralib chiqayotgan elektronlarning tushayotgan nurlanishning faqat chastotasiga bog'liq bo'lishi klassik fizika uchun uchinchi muammo edi. Chunki klassik fizika arsenalida energiyaning chastotaga bog'liqligi haqida birorta ham g'oya yo'q edi.

Fotoeffektning bu uch muammosi klassik fizika nazariyasini shubha ostiga oldi. Klassik fizika tasavvuri doirasida turib fotoelektron hodisani tushuntirishning mutlaqo iloji yo'q edi. Bu hodisani tushuntirish uchun yangi tasavvur, yangi g'oya, yangi tushunchalar kerak.

Fotoeffekt hodisasini Plank gipotezasiga asoslanib tushuntirish mumkin ekanligiga bиринчи bo'lib A.Eynshteynning aqli etdi. Uchinchi bobda aytigan fikrlarga asoslangan holda Eynshteyn fotoelektron hodisasini tamomila tushuntirib berdi. Yorug'likning foton nazariyasi fotoeffektini korpuskulyar hodisa ekanligini, hozirgi zamon tili bilan aytganda kvant hodisa ekanligini tasdiqladi. Kvant fizikani o'rganishda fotoeffekt jarayoni muhim o'rinn tutadi. Shuning uchun ham quyida bu effekt haqida biz batafsilroq to'xtalamiz.

#### **4.2. Elektronlar emissiyasi. F.Lenard tajribalari**

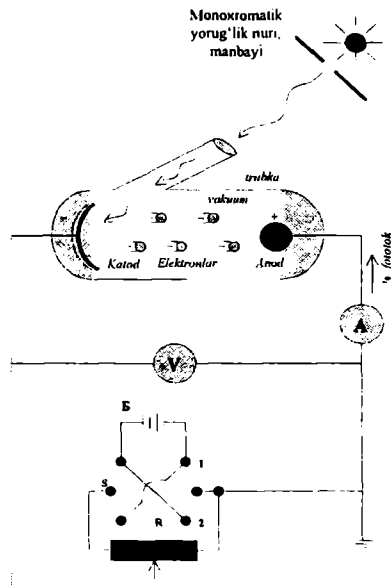
Metall sirtidan elektronlarni ajralib chiqishini To'rt xil yo'l bilan amalga oshirish mumkin:

1. Termoelektron emissiya – qizdirish orqali metall sirtidan elektronlarning ajralishi;

2. Ikkilamchi emissiya – yuqori energiyaga ega bo'lgan zarralar ta'sirida modda sirtidan elektronlarning ajralishi;
3. Avtoelektron emissiya – kuchli elektr maydon ta'sirida metall sirtidan elektronlarning ajralishi;
4. Fotoelektron effekt – elektromagnit nurlanishi ta'sirida metall sirtidan elektronlarning ajralishi.

Fotoeffekt hodisasini 1887-yilda Genrix Gers tomonidan tasodifan kashf etilgan. Gersning bu kashfiyoti juda ko'p fiziklarda qiziqish uyg'otdi. Dastlab fotoeffektni 1888-90-yillarda rus olimi Aleksandr Grigorevich Stoletov o'rgandi va u topgan qonunlar adabiyotda fotoeffekt uchun Stoletov qonunlari deb yuritiladi. Bu hodisani Gertsning shogirdi Filipp Lenard juda chuqur o'rgandi va unga katod nuridagi izlanishlari uchun 1905-yilda Nobel mukofoti berildi.

4.1-rasmda fotoeffekt tajribasining chizmasi keltirilgan. Chizmada *S* – monokromatik yorug'lik manbai, *K* – katod, metall plastinka bo'lib u emitter vazifasini o'taydi, *A* – anod plastinka esa kollektor (yihuvchi) vazifasini bajaradi, *G* – galvanometr va *V* – voltmetr qurilmadagi mos ravishda kuchsiz fototok va kuchlanishni o'lchaydi. *R* – potensiometr manba kuchlanishini o'zgartirishiga xizmat qiladi. Nihoyat *B* – batareya.



4.1-rasm. Fotoelektron effekti tajpibasining chizmasi.

Fotoeffektini eksperimental o'rgangan F.Lenard quyidagi faktlarni o'rnatdi:

1. Kaliy yoki volframdan tayyorlangan  $K$  – metall plastinkaga  $v \geq 10^{15} \text{Gs}$  chastotaga ega bo'lgan yorug'lik nurlanishi tushganda, undan manfiy zaryadlangan zarralar ajralib chiqadi va ular  $A$  – musbat elektrod tomon harakat qiladilar;

2. Zarralar emissiyasi bo'lishi uchun trubkada yuqori vakuum bo'lishi zarur. Yuqori vakuumni bo'lishi zaryad tushuvchilar sifatida gaz ionlari bo'lishini ham mustasno etadi;

3.  $K$  va  $A$  orasidagi sohaga qo'yilgan magnit maydon, zaryad tashuvchilarining ishorasi manfiy ekanligini bildiradi;

4. Eksperimental yo'l bilan olingan  $\frac{e}{m}$  munosabat, zaryad tashuvchilar uchun

$$\frac{e}{m} = \frac{1,60 \cdot 10^{-19} K_A}{9,10 \cdot 10^{-31} kT} = 1,76 \cdot 10^{11} \frac{K_A}{kT} \quad (4.1)$$

ga teng ekanligi va bu qiymat Milliken va Tomson tomonidan elektron uchun topilgan munosabatga mos ekanligini aniqladi.

Eksperiment natijalaridan zaryad tashuvchilarini fotoelektronlar ekanligi kelib chiqadi. Bu faktlarni o'rnatgandan so'ng F.Lenard tajribani quyidagicha davom ettirdi.  $K$  – metall sirtiga intensivligi doimiy  $I_1$  ga teng bo'lgan monoxromatik yorug'lik nurlanishini yubordi. Nurlanish ta'sirida  $K$ -metall sirtidan ajralib chiqqan elektronlarni  $A$ -anodga yetib borishini yaxshi ta'minlash uchun  $K$  va  $a$  elektronlar oralig'iga tezltuvchi elektr maydon berdi.  $a$ -anodga yetib borgan elektronlar sonini (ya'ni,  $i_t$ -fototokni)  $A$  va  $K$  elektrodlararo orasidagi tezlatuvchi potensial ayirmaga ( $V$ ) bog'liq grafigini tuzdi. Fototok-kuchlanish voltamper xarakteristikasi 4.2a-rasmida keltirilgan. 4.2a-rasmdan ko'ramizki  $V=0$  bo'lganda ham, fotoelementdan  $i_t$ -fototok mavjud. Bu degani chekli boshlang'ich tezlikka ega bo'lgan muayyan elektronlar soni mavjud.  $V>0$  da, ya'ni potensial ayrimaning ortishi bilan  $i_t$ -fototok ham ortib boradi.  $V$  ning ma'lum qiymatidan boshlab, potensial ayirma ortsasida ham fototok qiymati o'zgarishsiz qoladi. Bundan chiqadiki,  $V$  ni ma'lum bir qiymatidan boshlab,  $K$ -metall sirtidan chiqayotgan fotoelektronlar soni o'zgarmay qoladi va shuning uchun bu uchastkani *to'yinish fototoki* deb yuritiladi. *Monoxromatik yorug'lik tushayotganda to'yinish fototoki birlik vaqtida birlik yuzadan chiqayotgan fotoelektronlar soni spektrial tarkibi o'zgarmas bo'lgan yorug'lik oqimiga (intensivligiga) to'g'ri proporsional (Stoletov qonuni), ya'ni*

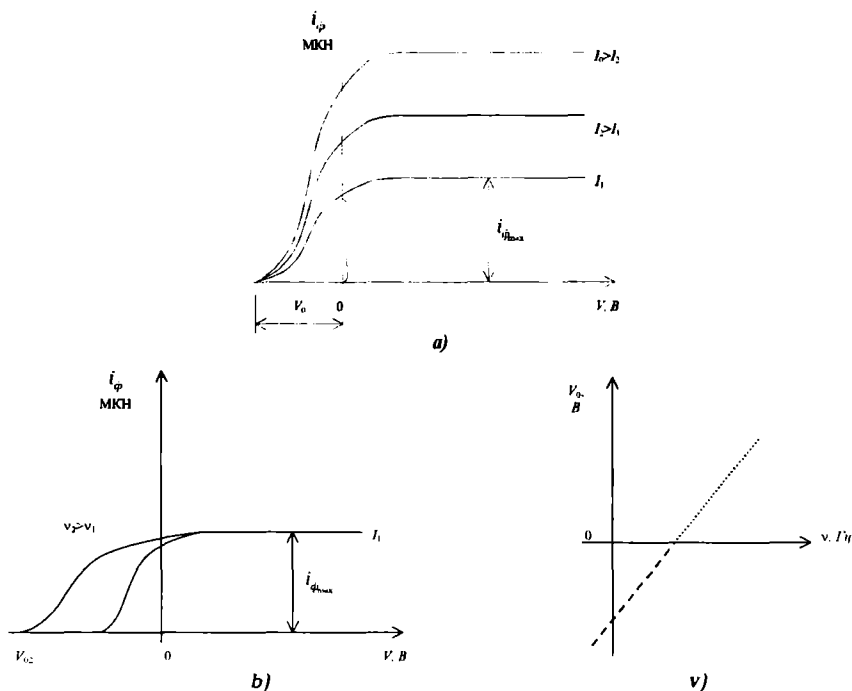
$$i_t = kF \quad (4.2)$$

(bu erda.  $i_t$ -fototok,  $k$ -proporschionallik koefitsienti,  $F$ -tushayotgan yorug'lik oqimi). Shuningdek, grafikdan ko'ramizki (4.2a-rasm) tusha-

yotgan yorug'likning intensivligi ortgan sari (4.2a-rasmida  $I_1 > I_2 > I_3$ ) to'yingan fototok (chiqayotgan elektronlar soni) ham ortib boradi. Lexin elektronlarning kinetik energiyasi o'zgarmay qoladi. Enda bu holni chuqurroq ko'raylik.  $K$  va  $a$  plastinkalar orasiga manfiy potensial ayirma beraylik, ya'ni  $V = -V_0$  bo'lsin.  $A$ -anodga manfiy potensial qo'yilgani uchun  $K$  bilan  $A$  elektrodlar orasidagi elektr maydon fotoelektronlarning anodga tomon harakatiga to'sqinlik qiladi, ya'ni u *to'xtatuvchi potensial* vazifasini bajaradi. Energiyasi katta bo'lgan fotoelektronlargina to'xtatuvchi potensialni engib  $A$  ga etib kelishi mumkin. To'xtatuvchi potensialning ma'lum bir qiymatida  $A$  ga yetib keluvchi fotoelektronlar qolmaydi va fototok nolga teng bo'ladi (4.2 rasm). Shu sababdan ham to'xtatuvchi potensialning bu qiymati fotoelektronlarning maksimal kinetik energiyasining o'chovi sifatida muhim rol o'ynaydi.  $A$ -elektrodga yetib kelgan fotoelektronlarning maksimal kinetik energiyasi  $V_0$  ning qiymati bilan quyidagicha bog'langan:

$$K_{\max} = eV_0, \quad (4.3)$$

bu yerda,  $e$ -elektron zaryadi.



4.2-rasm. Fototokning potensial ayirmaga bog'liqlik grafigi.

4.2-rasmdagi grafiklardan ko'ramizki, mazkur chastotada yorug'lik intensivligining  $i_1$ ,  $i_2$ ,  $i_3$  qiymatlari uchun  $V_0$  ning qiymati o'zgarishsiz qolgan. To'xtatuvchi potensial  $V_0$  ni qiymati o'zgarishsiz qolgani uchun (4.3) ifodaga binoan fotoelektronning maksimal kinetik energiyasi  $K_{max}$  ham o'zgarishsiz qoladi. To'xtatuvchi potensial tushayotgan mono-xromatik yorug'lik nurlanishi intensivligiga bog'liq emas. (4.3) formulaliga muvofiq fotoelektronlarning  $K_{max}$  – maksimal kinetik energiyasi, metall sirtiga tushayotgan mono-xromatik yorug'lik nurlanishining intensivligiga bog'liq emas degan xulosa kelib chiqadi. Tushayotgan yorug'lik intensivligini o'zgarishi, faqat metall sirtidan chiqayotgan elektronlarning sonini o'zgartiradi. Bu eksperimental faktlar klassik fizikaning tasavvuriga tamomila zid edi.

Biroq yorug'lik intensivligini o'zgarishsiz qoldirib, yorug'lik chastotasini (rangini) o'zgartirsaq ahvol tamomila boshqacha bo'ladi. Bu holda metall sirtidan chiqayotgan fotoelektronning soni o'zgarmaydi ( $I_{\phi max} = \text{const}$ ) va aksincha tushayotgan nurlanishning chastotasiga mos ravishda fotoelektronlarning maksimal kinetik energiyasi o'zgaradi (4.2b-rasm). 4.2b-rasmdan ko'ramizki To'yinish toki yorug'lik intensivligiga bog'liq, chastotaga bog'liq emas. To'xtatuvchi potensialning absolyut qiymati, tushayotgan yorug'likning chastotasiga bog'liq. Tushayotgan yorug'likning chastotasiga mos ravishda to'xtatuvchi potensialning  $v_0$  qiymati o'zgaradi va bu bog'lanish chiziqlidir. Shunday qilib, to'xtatuvchi potensialning qiymati tushayotgan yorug'likning chastotasiga bog'liq. Tushayotgan yorug'likning katta chastotasiga to'xtatuvchi potensialni katta qiymati to'g'ri keladi.  $V_0$  bilan  $V$  ni chiziqli bog'lanish o'z navbatida metall sirtidan chiqayotgan metal-larning maksimal kinetik energiyasini (4.3) ifoda ko'rinishidagi bog'-lanishiga olib keladi. Demak, metall sirtidan chiqayotgan fotoelektronlarning maksimal kinetik energiyasi (tezligi) tushayotgan nurning chastotasiga bog'liq va nurlanishi intensivligiga bog'liq emas. Eksperimentning bu xulosasi klassik nazariya prinsipiغا mutlaqo ziddir.

Nihoyat,  $v_0$  to'xtatuvchi potensialning chastotaga bog'liqlik grafigi to'g'ri chiziqdan iborat bo'lib, u 4.2v-rasmda tasvirlangan. Fotoeffekt yuz beradigan eng kichik yorug'lik chastotasi  $v_0$  ga fotoeffektning qizil chegarasi deyiladi. Qizil chegara emitter (K-katod) materialiga bog'liq. Keyinroq ko'ramizki 4.2v-rasmdagi ordinata o'qida joylashgan A-kattalik fotoeffektning chiqish ishi deyiladi va uning kattaligi ham emitter materialiga bog'liq. 4.1-jadvalda ayrim metallar uchun chiqish ishi a ni qiymatlari keltirilgan. A kattalik elektronni metall-vakuum sirti bilan bog'lanish energiyasini xarakterlaydi. Grafikni to'hri chiziqdandan iborat bo'lishi fotoelektronlarning maksimal kinetik energiyasi fotoelektron chiqaruvchi plastinkaning (emitterni) materialiga bog'liq emasligini ko'rsatadi.

## 4.1-jadval

metall	$A, eV$	metall	$A, eV$	metall	$A, eV$
Alyuminiy	3,74	Vismut	4,62	Molibden	4,27
Kaliy	2,15	Volfram	4,50	Natriy	2,27
Nikel	4,84	Oltin	4,52	Kumush	4,28
Bariy	2,29	Temir	4,36	Titan	3,92
Kobalt	4,25	Litiy	2,39	Seziy	1,89
Platina	5,29	Mis	4,47	Rux	3,74

## 4.3. Fotoelektronlar uchun Eynshteyn tenglamasi

Yuqoridagi mulohazalardan ko'rdikki, fotoeffekt jarayonini klassik fizika nuqtai nazarida turib tushuntirishning umuman imkonini yo'q. Bu effekt yangi g'oya, yangi tushuncha talab qilar edi. Yangi g'oyani 1905-yilda A.Eynshteyn Plank gipotezasiga va o'zining yorug'likning fotonlar nazariyasiga asoslanib berdi. III bobda aytganimizdek, Eynshteyn taklifiga ko'ra, yorug'lik zarralardan tashkil topgan. Shu sababli, metall elektronlari bilan o'zaro ta'sir jarayonida elektromagnit maydon  $h\nu$  energiya ulushlari tarzida yutiladi. Foton va elektron to'qnashuvida o'yin yakkama-yakka bo'ladi. Har foton bitta elektron tomonidan yutiladi va har bir elektronga faqat bitta foton to'hri keladi. Bu jarayon III bobda keltirilgan zarralar to'qnashuvi qonuniga mos keladi va ular uchun saqlanish qonunlari yaxshi bajariladi. III bobdag'i energiyaning saqlanish qonuni (3.3) ga ko'ra

$$h\nu + E = h\nu_1 + E_1.$$

bu ifodani fotoeffekt uchun yozamiz, ya'ni

$$h\nu - A = 0 + K_{\max} \quad (4.4)$$

(bu yerda,  $E = -A$  chiqish ishi,  $h\nu_1 = 0$ , chunki foton yutiladi,  $E_1 = K_{\max}$  - metall sirtidan chiqayotgan elektronlarning maksimal kinetik energiyasi,  $h\nu$ -tushayotgan yorug'likning nurlanish energiyasi).

(4.4) ni qulay shaklda yozaylik:

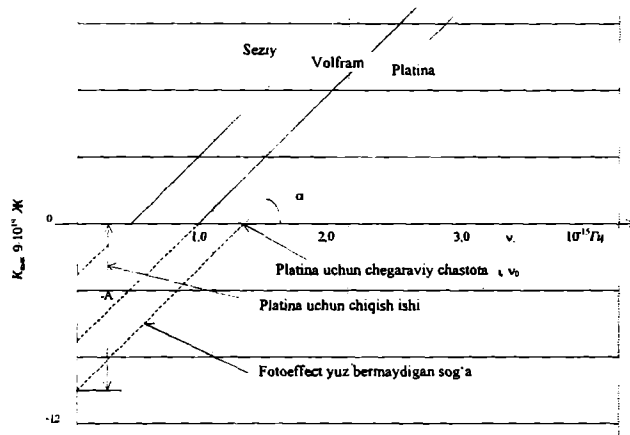
$$K_{\max} = ev_0 = h\nu - A. \quad (4.5)$$

(4.5) tenglamaga fotoeffekt uchun Eynshteyn tenglamasi deyiladi.

Shunday qilib, yorug'likni to'lqin tabiatidan fotoeffekt qonunlarini tushuntirib berib bo'lmaydi. Yorug'likni  $h\nu$ -energiyaga teng bo'lgan fotonlar oqimidan iborat deb qarasak, hammasi joyiga tushadi, barcha qiyinchiliklar yo'qoladi. Boshqacha aytganda, fotoeffekt korpuskulyar hodisadir. Foton zarra metall sirtida yutiladi va barcha energiyasini bitta elektronga beradi va bu energiya elektronning metall bilan bo'lgan bog'lanish energiyasidan katta bo'lsa elektron metall sirtini tashlab chiqib ketadi.

(4.5) tenglama  $y = kx + b$  funksiyaga o'xshagan chiziqli funksiyadir. 4.3-rasmida uchta turli metall uchun  $K_{\max}$  ni v ga bog'liq grafiklari

keltirilgan. Bu to'g'ri chiziqlar bir-biriga parallel va bir-birining ustiga tushmaydi. To'g'ri chiziqni absissa o'qi bilan hosil qilgan burchagining tangensi Plank doimiysi h ga tengdir. Ordinata o'qini kesib o'tgan to'hri chiziq hosil qilgan kesma -A chiqish ishidir. Metall sirtidan elektronni uzib chiqarish uchun kerak bo'lgan eng kichik energiya chiqish ishi deyiladi. Chiqish ishi metall turiga va metall sirtining holatiga bog'liq. Turli metallar uchun chiqish ishi har xil. Shu sababli, (4.5) formulaga binoan barcha to'g'ri chiziqlar parallel va abchissa o'qiga bir xil og'gan, ya'ni h bir xil.



4.3-rasm. Metall siptidan ajpalgan fotoelektronlarning tushayotgan yorug'lik chastotasiga bog'liqlik grafigi.

$K_{\max} = 0$  da  $\nu = \nu_0$ . Bu yerda,  $\nu_0$ -chejaraviy chastota, ya'ni metall sirtidan elektronlarni urib chiqarish uchun kerak bo'lgan eng minimal chastota. Yuqorida aytganimizdek, bu chastota fotoeffektning qizil chegarasi deyiladi.  $K_{\max} = 0$  da

$$h\nu_0 = A \quad (4.6)$$

(4.6) formuladan metallarni chiqish ishini aniqlashda foydalaniлади.

Elektronlarning chiqish ishini boshqa tajribalardan, masalan, termoelektron emissiya hodisasidan ham

$$i = aT^2 e^{-\frac{A}{kT}} \quad (4.7)$$

topish mumkin (bu yerda,  $I$ -tok zichligi,  $T$ -absolyut temperatura,  $a$ -proporsionallik koefisienti,  $k$ -bolsman doimiysi,  $h$ -Plank doimiysi,  $A$ -chiqish ishi).

Quyidagi jadvalda termoemissiya va fotoeffekt tajribasi yordamida topilgan chiqish ishining qiymatlari o'zaro taqqoslangan.

*Ayrim metallar uchun chiqish ishi -a (eV)*

*Jadval*

Metall	Mo	Rh	Pd	Pt
Termoemissiya	4,14-4,17	4,58	4,99	6,27
Fotoeffekt	4,15	4,57	4,96	6,30

(4.5) tenglamani (4.6) ni e'tiborga olgan holda

$$K_{\max} = h\nu - h\nu_0 \quad (4.8)$$

ko'rinishga keltirish mumkin.

$$\nu < \nu_0 \text{ chastotada yoki } \lambda > \lambda_0 \text{ to'lqin uzunlikda } (\lambda_0 = \frac{c}{V_0}) \text{ -to'lqin}$$

uzunlik chegarasi) tushayotgan nurlanishning energiyasi kichik. Shuning uchun (4.8) formulaga ko'ra, metall sirtidan elektronni uzib chiqarishga uning kuchi etmaydi. Demak, fotoeffekt sodir bo'lmaydi. 4.3-rasmdagi kabi eksperimentda o'lchangan  $K_{\max}$  ni  $\nu$  ga bog'liqlik grafigini ekstrapolyatsiya qilish orqali grafikdan A ni qiymatini bevosita topish mumkin.

#### 4.4. Milliken tajribasi va Plank doimiysini aniqlash

1914-yilda Robert Endrus Milliken fotoeffekt uchun Eynshteyn tenglamasini tekshirish maqsadida eksperimentda har bir metallga  $K_{\max}$  ni  $\nu$  ga bog'liqlik qiymatini topib ushbu funksiyaning grafigini chizdi. Sal keyinroq fotoeffekt hodisasidan bevosita Plank doimiysi  $h$  ni topdi. Keyingi o'lchashlarga ko'ra

$$h = 6,626176 \cdot 10^{-34} \text{ J} \cdot \text{s}$$

ga teng.

Elektr zaryadlari va fotoeffekt izlanishlaridagi ijobiy ishlari uchun R.E.Milliken 1923-yilda Nobel mukofotiga sazovor bo'ldi.

Fotoeffektga qisqacha xulosa yasaymiz:

1. Metall sirtidan chiqayotgan elektronlar soni tushayotgan nurlanishning intensivligiga to'g'ri proporsional;

2. Fotoelektronlarning maksimal kinetik energiyasi tushayotgan nurlanishning chastotasiga bog'liq, lekin uning intensivligiga bog'liq emas;

3.  $K_{\max}$  bilan  $\nu$  orasidagi bog'lanish chiziqli funksiya va u (4.5) formula bilan xarakterlanadi;

4.  $V_0$ -to'xtatuvchi potensial A-chiqish ishiga bog'liq;

5.  $V_0$ -cheagaraviy chastota mavjud bo'lib, bu chastotadan kichik chastotalarda fotoeffekt sodir bo'lmaydi. Bu xulosa faqat bir fotonli fotoeffektlar uchun o'rinci;

6.  $V \geq V_0$  chastotalarda tushayotgan yorug'likning intensivligiga juda kuchsiz bo'sha ham metall sirtidan atomlar kechikmasdan shu zahotiyoy qiziqadi.

#### 4.5. Fotoeffekt nazariyasi. Ko'pfotonli fotoeffekt

Tashqi fotoeffektda yuz beradigan jarayonni uchta bosqichga bo'lish mumkin: fotonning elektron tomonidan yutilishi, elektronning metall sirtiga harakati va oxiri metall-vakuum hosil qilgan potensial to'siqni yengib, metall sirtini tashlab chiqib ketishi. Fotoeffektni kvant nazariyasi nig'oyatda murakkab, shu sababli u haqida to'xtalmaymiz. Fotoeffekt nazariyasi bilan magistraturaga o'tganingizda tanishasiz deb umid qilamiz. Bitta fotonli fotoeffektda har bir foton bitta elektron tomonidan yutiladi va har bir elektron bitta foton yutadi deb qaraladi. O'ta zichlikdagi yorug'lik oqimlarini nurlaydigan lazerlarning paydo bo'lishi ikki fotonli va uch fotonli fotoeffektlarni o'rganishga ham yo'l ochdi. Masalan, ikki fotonli fotoeffektda elektron muhit bilan o'zaro ta'sirda energiyasini yo'qtoguncha ikkita fotonni yutib olishi mumkin. Bu holda fotoeffekt sodir bo'lishi uchun

$$hv = \frac{E_0 - E_f}{2}, \text{ ya'ni } v = \frac{\nu_k}{2} \quad (4.9)$$

formula o'rinnlidir. bunda  $E_F$ -Fermiy energiyasi. Absolyut nol temperaturada elektronlarning eng katta energiyasi  $E_F$  ga teng. Metall sirtida elektronni uzish uchun kerak bo'lган minimal kinetik energiya

$$hv = E_0 - E_f, \lambda_k = \frac{c}{\nu_k} \text{-fotoeffektni qizil chegarasini belgilaydi. } T > 0 \text{ da}$$

elektronlarning energiyasi Fermi sathidan katta bo'lishi mumkin. Shunga ko'ra, faqat  $T=0$  da qizil chegara mavjud, temperatura oshganda  $\lambda > \lambda_k$ , demak, fototok mavjud. Shunday qilib fotoeffekt ham absolyut qora jism nurlanishi kabi fizikada buyuk burilish yasashda o'zining hissasini qo'shdi. Biz uzlusizlik jarayonidan uzluk-lilik jarayoniga qadam tashladik. Bu esa o'z navbatida, kvant fizikasi deb atalgan katta yangi sohani paydo bo'lishiga zamin yasadi.

Fotoeffekt hodisasida ham  $h$ -doimiyligini paydo bo'lishi va uni qiymati absolyut qora jism uchun yozilgan Plank formulasidagi  $h$  ga tengligi uni universalligidan darak berardi. O'z navbatida  $h$  ni biror bir formulada uchrashishi hodisani kvant xususiyatga ega ekanligiga asosiy ishora edi.

#### SAVOLLAR

1. Fotoeffektni ta'riflang.
2. Klassik fizika nuqtai nazaridan fotoeffekt o'rinnimi?

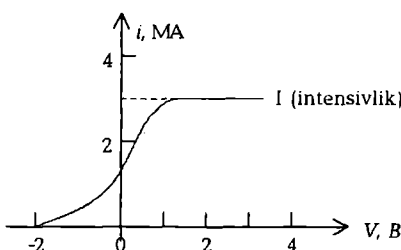
3. Klassik to'lqin nazariya fotoeffekt jarayonini nima uchun tushuntira olmadи?
4. Metall sirtidan chiqayotgan elektronlar soni nimaga bog'liq?
5. Metall sirtidan chiqayotgan elektronlarning maksimal kinetik energiyasi nimaga bog'liq?
6. Fotoeffektda metall sirtidan chiqayotgan elektronlar kechikib chiqadimi?
7. Fotoeffekt qurilmasini chizing va tushuntiring.
8. Fotoeffekt uchun Stoletov qonunini aytинг.
9. Lenard tajribalarini tushuntiring.
10. To'xtatuvchi potensial qanaqa potensial?
11. Elektronlarning maksimal kinetik energiyasini to'xtatuvchi potensialga bog'liqlik formulasini yozing va tushuntiring.
12. To'yinish tokini ta'riflang va u nimaga bog'liq?
13. To'xtatuvchi potensial nimaga bog'liq?
14. To'xtatuvchi potensial tushayotgan yorug'lik nurla-nishining intensivligiga bog'liqmi?
15. To'xtatuvchi potensial tushayotgan yorug'lik chastotasiga bog'liqmi?
16. Fotoeffektni qizil chegarasini ta'riflang.
17. Fotoeffektni qizil chegarasi qanday topiladi va metall xususiyatiga bog'liqmi?
18. Chiqish ishini ta'riflang va u nimaga bog'liq?
19. Chiqish ishi va fotoeffektni qizil chegarasi eksperimentda qanday topiladi?
20. Metall sirtidan chiqayotgan elektronlarning maksimal kinetik energiyasi metallning xususiyatiga bog'liqmi?
21. Plank doimiysi fotoeffektdan qanday topiladi?
22. Fotoeffekt uchun Eynshteyn formulasini yozing va tushuntiring.
23. Fotoeffekt uchun energiyaning saqlanish qonunini yozing va tushuntiring.
24. Fotoeffekt to'lqin hodisami yoki korpuskulyar hodisami?
25. R.Milliken fotoeffektda qanday qilgan ishlari uchun qadrlandi?
26. Fotoeffekt nazariyasi qanday nazariya?
27. Ko'pfotonli fotoeffekt deganda nimani tushunasiz?
28. Ikki fotonli fotoeffektni tushuntiring.
29. Ikki fotonli fotoeffekt uchun Eynshteyn tenglamasini yozing va tushuntiring.
30. Fotoeffekt haqida umumiy tasavvuringizni so'zlab bering.

### **MASALALAR**

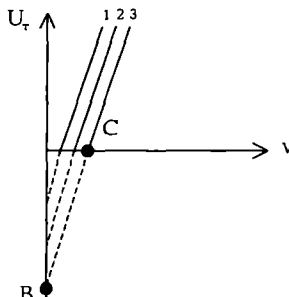
4.1. 4.4-rasmda yorug'lik nuri ta'sirida birlik vaqt ichida metall sirtidan ajralayotgan elektronlarning volt-amper xarakteristikasi tasvir-

langan. Grafikdan foydalanim metall sirtidan chiqayotgan elektronlarning sonini va maksimal kinetik energiyasini toping.

4.2. 4.5-rasmda UT-to'xtatuvchi potensialni metall sirtga tushayotgan yorug'likning chastotasiga bog'liqlik chizmasi tasvirlangan. Qanday shartlarga ko'ra bu to'g'ri chiziqlar bir-biridan farq qiladi? Ushbu grafikdan qanday fundamental doimiylikni aniqlasa bo'ladi? Fotoeffekt uchun qizil chegara va chiqish ishi nuqtalarini chiziqlardan birortasiga ko'rsating. V va S nuqtalar nimani anglatadi?



4.4-rasm.



4.5-rasm.

4.3. Metallda elektronning chiqish ishi A ga teng. Metall sirtidan chiqayotgan elektronlarning maksimal kinetik energiyasi  $K_{\max}$  ni tushayotgan yorug'likni  $\omega$  chastotasiga bog'liqligini tasvirlang.

4.4. Quyidagi hollarda fotoeffektning volt-amper xarak-teristikasi qanday o'zgaradi: Agarda a) tushayotgan yorug'lik nurlanishi spektrial tarkibi o'zgarmagan holda uning to'la yorug'lik oqimi ikki marta ortsa; b) fotonlar oqimi o'zgarmay qolgan holda tushayotgan yorug'likning chastotasi ikki marta ortsa; v) fotonlar oqimi o'zgarmagan holda monoxromatik nurning chastotasi ikki marta kamaysa.

4.5. Agar oltin uchun chiqish ishi  $A = 4,58 \text{ eV}$  va alyuminiy uchun  $a = 3,7 \text{ eV}$  bo'lsa,

a) fotoeffektning qizil chegara to'lqin uzunligini toping;

b) nurlanishning to'lqin uzunligi  $270 \text{ nm}$  bo'lsa, oltin va alyuminiy sirtidan chiqayotgan elektronlarning maksimal kinetik energiyasi va tezligini toping.

4.6. Saqlanish qonunlaridan foydalangan holda erkin elektronni fotonni yuta olmasligini ko'rsating.

4.7. Quyidagi jadvalda simob spektrining bosh chiziqlariga to'g'ri kelgan nurlanishning to'lqinlari uchun tajribada keltirilgan to'xtatuvchi potensiallari qiymatini keltiring:

To'lqin uzunlik - $\lambda, m(10^{-6})$	0,5460	0,4920	0,4360	0,4050	0,3690	0,3130
To'xtatuvchi potensial - $V$	0,40	0,60	0,90	1,20	1,50	2,10

Jadvaldagи qiymatlarga asoslanib grafik chizing. Plank doimiysini toping. Bu tajribada ishlatilgan metallning chiqish ishini toping.

4.8. To'lqin uzunligi  $\lambda_1 = 0,1849 \cdot 10^{-6} m$  bo'lgan simob spektrini ultrabinafsha nuri ta'sirida rux metallidan chiqayotgan elektron uchun to'xtatuvchi potensial  $2,42V$  ga teng. Shu spektrning  $\lambda_2 = 0,2537 \cdot 10^{-10} m$  to'lqin uzunlikka ega bo'lgan fotoelektronlari uchun to'xtatuvchi potensial nimaga teng?

4.9. Natriy metali sirtidan fotoelektronlarni urib chiqarish uchun kerak bo'lgan maksimal to'lqin uzunlik  $0,5450 \cdot 10^{-6} m$ . a) agar tushayotgan nurlanishning to'lqin uzunligi  $0,2000 \cdot 10^{-6} m$  bo'lsa, chiqayotgan elektronlarning maksimal tezligini toping. b) tushayotgan nuring to'lqin uzunligi  $0,2000 \cdot 10^{-6} m$  bo'lsa, natriy sirtidan chiqayotgan fotoelektronlar uchun to'xtatuvchi potensialni toping.

4.10. Ikki fotonli fotoeffektda berilgan metall uchun qizil chegara to'lqin uzunligi  $\lambda_0 = 580 nm$ .  $\lambda = 650 nm$  to'lqin uzunlikda uch fotonli fotoeffektda metall sirtidan chiqayotgan elektronlarning maksimal kinetik energiyasini toping.

## V BOB

### **Mavzu: YORUG'LIK KVANTI – FOTONNING MODDALARDA SOCHILISHI. KOMPTON EFFEKTI. RAMAN EFFEKTI**

**Reja:**

- 5.1. Yorug'likning kogerent va nokogerent sochilishi.
- 5.2. Kompton effekti haqida.
- 5.3. Kompton tajribasi va natijalari.
- 5.4. Siljimagan va siljigan komponentalarini paydo bo'lish sabablari.
- 5.5. Kompton tajribasining klassik nazariysi.
- 5.6. Kompton tajribasining kvant nazariyasi. Kompton formulasi.
- 5.7. Terki elektronlar.
- 5.8. Bote va Vilson tajribasi. Bote va Geyger tajribasi.
- 5.9. Nurlanishni moddadan o'tishi.
- 5.10. Yorug'likning kombinatsion sochilishi.
- 5.11. Yorug'likning kombinatsion sochilisbining klassik nazariysi.
- 5.12. Yorug'likning kombinatsion sochilishining kvant nazariysi.

## ADABIYOTLAR

1. А.Н.Матвеев «Атомная физика», М., Высшая школа. 1989 г.
2. Д.И.Блохинцев «Основы квантовой механики», М., Высшая школа, 1961 г.
3. Г.Бете «Квантовая механика», М., 1965 г.
4. А.А. Соколов, Ю.Лоскутов. И.М.Тернов «Квантовая механика», М., 1962 г.
5. Э.В.Шпольский «Атомная физика», Том 1, М., 1963 г.
6. А.Н.Compton. Phys. Rev. 1923. №22, p. 405 (original ish).

**Masalaning qo'yilishi.** O'tgan boblarda nurlanish va yutilish jaryonlarida yorug'likni kvant tabiatga ega ekanligini ko'rdik. Bu bobda yorug'lik, umuman elektromagnit nurlanish sochilish jaryonlarida ham o'zining diskretlik xossasini namoyon qilishini Kompton effekti va yorug'likning kombinatsion sochilishi kabi eksperimentlarni tahlil qilish orqali ko'rsatamiz. Bu bilan elektromagnit shkalaning barcha soha-

sigi to'g'ri keluvchi elektromagnit to'lqinlarning nurlanish, yutilish va sochilish jarayonlarida kvant xarakterga ega ekanligi va bu jarayonlarning hammasida Plank doimiysi  $6,62 \cdot 10^{-34}$  J·s ga teng bo'lib, o'zgarmas qolishi, uni universal doimiylik ekanligidan dalolat berishini ko'r-satamiz.

Katta energiyaga ega bo'lgan elektromagnit nurlanishlari (rentgen nurlari) kvant nazariyaga bo'ysunadimi?  $E = h\nu$  munosabat bajariladi,  $h$ -doimiylik o'rinni va energiya va impulsning saqlanish qonunlari qanday rol o'ynaydi degan savollarga Kompton effekti va uning tahlili javob beradi.

Plank va Eynshteynning kvant gipotezalari katta energiya sohalar-dagi nurlanishlar uchun ham o'rinni ekanligi, energiyani kvantlanishi, impulsni kvantlanishi, nurlanishning zarralari fotonlar ekanligi va kvant nazariyani keng energiya sohasi uchun ham o'rinni ekanligini ko'rsatadi. Bu diapazonda ham Plank doimiyligini formulalarda ishtirok etishi, uni universal doimiylik deb atashga haqli ekanligimizga asos bo'ladi.

Bu bobda biz yorug'likning kombinatsion sochilishi, ya'ni yorug'-likning molekulalarda sochilishi mavzusini kiritishni ma'qul topdik. Chunki yorug'likning kombinatsion sochilishi va Kompton effekti kabi nokogerent sochilish fizikasiga bo'ysunadi va ikkinchidan bu mavzuning bu bobda o'tish orqali biz elektromagnit nurlanishni nafaqat atomda, shu bilan birga molekulada sochilishida ham kvantlanishini namoyon bo'lishini ko'rsatamiz. Natijada talaba elektromagnit nurlanishi haqiqatan ham kvant tabiatga ega ekanligiga to'la ishonadi, deb umid qilamiz.

**Mavzu qahramoni:** Artur Kolli Kompton (1892-1962), AQSHda Ogayo shtatining Vuster shahrida tug'ilgan. Chikago, Prinston, Vel-lengton universitetlarida ishlagan. 1923-yilda foton impulsiga ega deb rentgen nurlarini moddada sochilishini to'g'ri tushuntirib bergen. Kompton effekti kashf etilgani uchun Vilson bilan birgalikda 1927-yilda Nobel mukofotiga sazovor bo'lgan.

## V bob. YORUG'LIK KVANTI - FOTONNING MODDALARDA SOCHILISHI. KOMPTON EFFEKTI. RAMAN EFFEKTI

### 5.1. Yorug'likning kogerent va nokogerent sochilishi

O'tgan boblarda biz yorug'likni nurlanish (absolyut qora jism nurlanishi misolida) va yutilish jarayonlarida (fotoeffekt, elektron-pozitron juftligining tug'ilishi) kvant xususiyatga ega ekanligini ko'rsatdik. Bu bobda yorug'likni umuman elektromagnit nurlanishni sochilish jarayonlarida ham kvant xususiyatga ega bo'lishini fotonlarning elektronda sochilishi (Kompton effekti) va yorug'likni molekulalarda sochilishi (Raman effekti yoki yorug'likning kombinatsion sochilishi) kabi eksperimentlar natijasini tahlil etish orqali namoyish qilamiz.

Tarqalayotgan yorug'lik to'lqinining elektr maydoni modda atomlari va molekulalari tarkibiga kiruvchi elektronlarni qo'zhatib, uyoq-buyoqqa silkitib, harakatga keltiradi. Tebranayotgan elektronlar o'z navbatida hamma tomonga nur tarqatuvchi ikkilamchi sferik to'lqinlarning manbalari bo'lib qoladi va natijada *yorug'likning kombinatsion sochilishi* degan hodisa yuz beradi. Lekin, bir jinsli va shaffof (tiniq) muhitlardi yassi to'lqin tevarak-atrofga sochilmasdan to'g'ri chiziq bo'ylab tarqaladi. Ikkilamchi barcha to'lqinlar yihindisini to'g'ri chiziq bo'ylab bunday tarqalishiga sabab ularning *kogerent* ekanligi bilan bog'liqdir. Ikkilamchi barcha to'lqinlarning natijaviy to'lqini bitta to'g'ri chiziq bo'ylab tarqaluvchi to'lqin hosil qilishlari uchun, ikkilamchi barcha manba elementlarini hajmi bir xil va ularning har biridagi atom-nurlatichchlarni soni ham bir xil bo'lishi kerak. Bunday shartni bajarilishi uchun muhitni ideal bir jinsli va tiniq bo'lishi talab qilinadi. Makroskopik nuqtai nazardan yorug'likni sochilishini ro'y berishiga sabab muhitni nojins ekanligidir. Muhitni bir jinsligi ozgina buzilgan bo'lsa, u holda sochilgan nurlanishning ulishi ham tushayotgan nurlanishga nisbatan ancha kam bo'ladi. Yuqori sifatga ega bo'lgan shisha yoki iflosliklardan yaxshi tozalangan suvgaga tushayotgan parallel nurlarga yon tomonga o'tib qaraganimizda ularni ko'rmaymiz, chunki yorug'lik deyarli yon tomonga sochilmaydi. Shunday qilib, sochilish muhitning *bir jinsli bo'Imagan sohasida* ro'y beradi, agar sohaning o'lchami tushayotgan yorug'lik to'lqinining to'lqin uzunligiga yaqin bo'lsa, sochilish yanada kuchayadi.

Tajribalardan yaxshi ma'lumki, hattoki har xil aralashmalardan juda ham yaxshi tozalangan qattiq, suyuq va gaz jismlarda ham yorug'likning sochilishi yuz beradi. Albatta, sof jismlardagi yorug'-

likning sochilishi kuchsiz, lekin shunga qaramay u printsipial juda ham muhim ahamiyatga ega bo'lgan hodisadir. Nima uchun ideal sof deb hisoblangan moddalarda ham yorug'lik sochilishi yuz beradi va ularda qanday qilib optikaviy nojinsliklar hosil bo'ladi?

Ideal sof muhitning optik nojinsligini fizikaviy sabablarini 1908-yilda M. O. Smoluxovskiy ko'rsatgan. Muhit molekulalarining tartibsiz issiqlik harakati tufayli unda *zichlik fluktuatsiyalari* vujudga keladi va oqibatda sindirish koeffitsienti fluktuatsiyasi ham sodir bo'ladi. Zichlik fluktuatsiyasida yorug'likning sochilishi *molekulyar* yoki *reley sochilishi* deyiladi. Muhitning qisilishi yuqori bo'lgan holatlarda zichlik fluktuatsiyasi, ayniqsa, shunda kuchli bo'ladi. Bunday kritik nuqtalarda yorug'likning sochilishi ham intensiv bo'ladi. Masalan, efir bilan to'l-dirilgan shisha ampulasi kritik holatga etganda ekranda mutlaqo qora dog' hosil bo'ladi.

Yorug'likni molekulalarda sochilishi nazariyasini 1910-yilda A.Eynshteyn bergen. Biz bu nazariya ustida bu erda to'xtalmaymiz.

Reley sochilishining xarakterli xususiyati shundaki, bunda sochilgan nurning chastotasi muhitga tushayotgan nurlanishning chastotasiga teng bo'ladi. Sochilishning bunday turini birinchi bo'lib reley aniqlagani uchun uni *reley sochilishi* deyiladi va bu sochilish kogerent tarzda yuz beradi. Shu sababli ham reley sochilishi – *yorug'likning kogerent sochilishidir*. Biroq ko'p atomli molekulalardan tashkil topgan muhitda yorug'lik sochilishi yuz bersa, u holda sochilgan nurlanish spektrida qo'shimcha chiziqlar-*yo'ldoshlar* (satelitlar) paydo bo'lishi eksperimentlarda kuzatilgan. Reley siljishini spektr chizihi bilan bir qatorda unga nisbatan siljigan va xira chiziqlar paydo bo'ladi. Ushbu hodisa *kombinatsion* yoki *siljigan sochilish* deb ataladi. Ayrim adabiyotlarda kombinatsion sochilishi Raman effekti deb ham yuritiladi. Kombinatsion sochilishda molekulalarning boshlang'ich va oxirgi holatlari bilan turli kombinatsiyada bo'ladi va sochilish jarayoni nokogerent bo'ladi.

Kogerent sochilishda tushayotgan nurlanish energiyaning yutilishi va ikkilamchi nurlanishning paydo bo'lishi orasida yorug'lik fazasini o'zgartiruvchi hech qanday jarayon bo'lmaydi. Nokogerent sochilishda esa, aksincha, yutilishi va sochilishi oralig'ida faza o'zgarishi sodir bo'ladi. Shuning uchun ham yorug'likning kombinatsion sochilishi nokogerent sochilishdir.

Kompton effekti, lyuminestsensiya va boshqa ko'plab hodisalarda ham nokogerent sochilish jarayoni ro'y beradi. Bu bobda Kompton effekti va Raman effekti, keyingi boblardan birida esa lyuminetsensiya hodisisi bilan tanishamiz.

Kompton effekti va Raman effektidagi nokogerent sochilish jarayonlarining mexanizmi, mohiyati va fizikaviy sabablarini faqat kvant fizika tassavuri doirasidagina turib tushuntirish mumkin. Bu hodisalarni xvant tahlili yana bir bor elektromagnit nurlanishi sochilish

jarayonlarida ham diskret xarakterda ekanligini isbotlaydi. Demak, yuqoridagi gaplardan biz elektromagnit to'lqlinlari nurlanish, yutilish va sochilish jarayonlarida kvantlanish xususiyatiga ega degan tushunchaga kelamiz. Quyida Kompton effekti bilan tanishamiz.

### **5.2. Kompton effekti haqida**

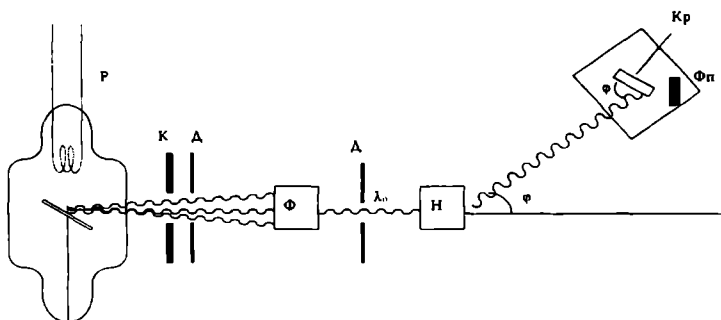
Elektromagnit nurlanishni korpuskulyar xususiyatga ega ekanligini tasdiqlovchi hodisalardan yana biri Kompton tajribasidir. Mazkur tajribada fotonlar bilan elektronlarning o'zaro to'qnashuvi katta energiyalarda o'rGANildi. Kompton turli yo'nalishda sochilgan rentgen nurlarini o'lhash bilan bir qatorda sochilgan nurning to'lqin uzunligini o'lhashga muvaffaq bo'ldi.

Eskperimentning natijalari energiya va impulsning saqlanishi qonunlari fotonlar va elektronlar uchun o'rinli ekanligini to'la tasdiqladi, chunki bu tajribada foton impulsi ham o'lchangan edi. Shu bilan birga bu tajriba fotonning energiyasi va impulsini chastotaga bog'liqlik formulasini naqadar to'g'ri ekanligini ham isbotladi. Kompton formulasida  $\hbar$  doimiylikni paydo bo'lishi esa foton-elektron to'qnashuvi kvant xarakterga ega ekanligini ko'rsatdi.  $\hbar$  ni elektromagnit spektri shkalasini barcha sohalarida ro'y beradigan hodisalarida ishtirok etishi uning universal doimiylik ekanligidan xabar beradi.  $\hbar$  ni issiqlik nurlanishi jarayonida, fotoeffekt va Kompton effektida paydo bo'lishi, albatta, oddiy hol emas edi. bu mikroolamdag'i barcha jarayonlar kvant hodisalar ekanligini ko'rsatar va ularni tushuntirish uchun kvant nazariya yaratilishi kerak ekanligini taqozo etadi.

### **5.3. Kompton tajribasi va natijalari**

1922-23-yillarda Artur Kompton rentgen nurlarining bir qator moddalarda sochilishini kuzatdi va o'rgandi. Kompton turli yo'nalishda sochilgan Rentgen nurlarini o'rganish bilan bir qatorda ularning to'lqin uzunliklarini ham o'lchadi.

Komptonning energetik qurilmasi 5.1-rasmda keltirilgan. rentgen trubkasi-ri ni katodidan chiqqan elektronlar katod va anod (antikatod) orasiga qo'yilgan 50 kV potensial ayirma yordamida tezlashtiriladi. Antikatod - AK ga kelib tushgan elektronlar unda tormozlanadi (to'xtab qoladi). Klassik elektromagnit nazariyaga binoan elektronlarning tormozlanishi natijasida elektromagnit nurlanish hosil bo'ladi (bu nurlanish 1895-yilda birinchi bo'lib Konrad Rentgen tomonidan kuzatilgani uchun rentgen nuri deb ataladi). Antikatod molibdenden qilingan bo'lib, undan chiqqan rentgen nurlarining to'lqin uzunligi  $0,46\text{\AA}$  ga teng bo'lib, molibdenning  $K_{\alpha}$  - chizihi deyiladi va uning energiyasi taxminan 20 kV dir.



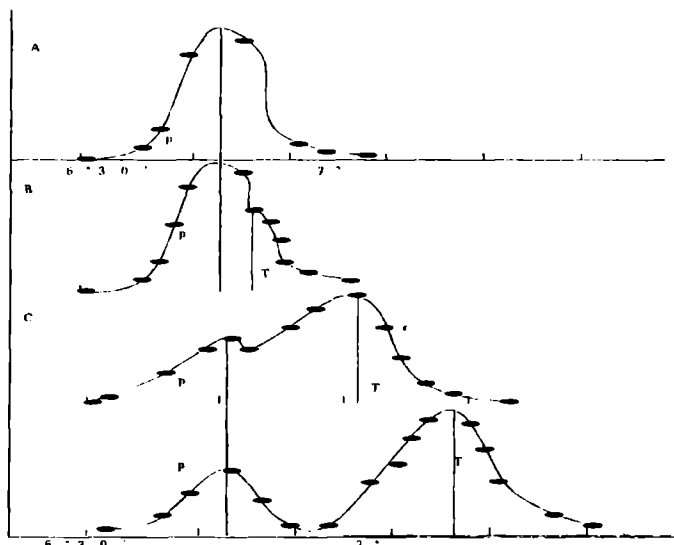
5.1-rasm. Kompton effektining kuzatish qurilmasi.

*r*-trubkani shisha qobig'idan o'tgan rentgen nurlari kollimator (*K*), diafragma (*D*) va filtr (*F*) yordamida tozalanadi va sochuvchi modda – grafitga (nishon) yo'naltiriladi. *K* – kollimator bir xil to'lqin uzunlikka ega bo'lgan birlamchi rentgen nurlarni o'z tirqishidan o'tkazadi, *D* – diafragma esa keraksiz nurlarni nishonga o'tkazmaydi. *F* – filtrdan o'tgan nurlarni bir xil to'lqin uzunlik  $\lambda_0$  ka ega bo'lgani uchun deyarli monoxromatik nurlar hisoblanadi. Grafitdan sochilgan nurlar spektrometrda qayd qilinadi. Spektrografni asosiy elementlari tajriba vaqtida tebranuvchi *K<sub>T</sub>* – kristalldan va *FP* – fotoplastinka dan iborat. Spektrometr birlamchi nurga nisbatan  $\theta$  burchak ostida joylashtirilgan. Trubkani siljitiish yoki burish orqali sochilish burchagini o'zgartirish mumkin. Grafitdan  $\theta$  burchak ostida sochilgan rentgen nurlari spektrometning *K* – plastinkasiga kelib tushadi va uni tebratadi. *K* – plastinkadan qaytgan nurlar *FP* da qayd qilinadi. Plastinkadagi qorayish chiziqlarini o'rniga qarab  $\phi$  – siljish burchagi aniqlanadi. Kristalldan rentgen nurlarining sochilishi *Bregg Vulf formulasi* deyiladi, ya'ni

$$2dsin\phi = n\lambda, \quad n = 1, 2, 3, \dots \quad (5.1)$$

bunda *d* – kristall doimiysi, *n* – qaytgan nurlar maksimumlarining tartibi,  $\phi$  – siljish burchagi. Shunday qilib fotoplastinkadagi qorayish chiziqlarning o'rniga qarab  $\phi$  va (5.1) formula yordamida sochilgan nuring to'lqin uzunligi  $\lambda$  hisoblanadi.  $\theta$  – burchakni o'zgartirish bilan Kompton turli yo'nalishdag'i grafitdan sochilgan rentgen nurlarini o'lchadi. Sochilgan rentgen nurlarning intensivligi ionizatsion kamerasida aniqlanadi.

Mazkur eksperimentda turli  $\theta$  burchakda o'lchangan sochilgan rentgen nurlarining  $\phi$  ga bog'liqlik grafigi 5.2-rasmda tasvirlangan.



5.2-rasm. Sochilgan rentgen nurlarining spektri.

5.2.-rasmda grafitda sochilgan rentgen nurlarining spektri  $\varphi$  ( $\varphi$  burchak bilan  $\theta$  burchak orasida bog'lanish mavjud) burchak bo'yicha tasvirlangan. Absissa o'qida  $\varphi$  burchakning qiymatlari keltirilgan. Ordinata o'qi esa sochilish spektrining intensivligini xarakterlaydi. 5.2-rasmda tasvirlangan grafiklardagi sochilish spektrining intensivligi ikkita maksimumdan iborat. Ordinata o'qiga yaqin bo'lgan nur spektrining maksimumi *siljimagan komponenta* deyiladi, chunki barcha siljish burchaklari uchun u bitta siljish burchagi, ya'ni bitta to'lqin uzunlikka ega. Odatda, bu komponentaga *birlamchi nurlanish spektri* ham deyiladi. O'ng tomonda joylashgan maksimumni sochilgan spektrining *siljigan komponentasi* deyiladi, chunki u sochilish burchaklari mos ravishda o'zgradи.

Sochilgan rentgen nurlanishida sochilayotgan nurlanishning to'lqin uzunligidan farqli bo'lgan to'lqin uzunlikdagi nurlanishning hosil bo'lishi Kompton effekti degan nomni oladi.

5.2-rasmidagi A grafik to'lqin uzunligi  $\lambda_0 = 0,71\text{\AA}$  ( $E \approx 20 \text{ keV}$ ) ga teng bo'lgan birlamchi nurlanishni xarakterlaydi. V, S, D grafiklarda esa  $\theta = 45^\circ, 90^\circ$  va  $135^\circ$  dan sochilish burchaklari uchun sochilish spektrining intensivligini xarakterlaydi.

5.2-rasmidagi grafiklarni manzarasiga qarab kompton tajribasiga quyidagi natijalar berish mumkin:

1. Sochilish spektrida  $\lambda_0$  to'lqin uzunlikka ega bo'lgan birlamchi nurlar bilan bir qatorda  $\lambda$ -to'lqin uzunlikka ega bo'lgan ikkilamchi rentgen nurlari mavjud. Bu to'lqin uzunliklar bir-biridan farq qiladi va bu farq juda ham kam.

2.  $\lambda$ -to'lqin uzunlik doimo  $\lambda_0$  to'lqin uzunlikdan katta, ya'ni  $\lambda > \lambda_0$  aksincha,  $\omega < \omega_0$ .

3. Sochilish burchagi  $\theta$ ni ortishi bilan siljimagan komponentaning intensivligi kamayadi, aksincha, siljigan komponentaning intensivli esa oshadi.

4. Siljigan nuring to'lqin uzunligi sochilish burchagi  $\theta$  ga bog'-liq, biroq sochuvchi moddaning tabiatiga bog'liq emas.

Kompton effektini tavsiflovchi formula quyidagi ko'rinishga ega:

$$\Delta\lambda = \lambda - \lambda_0 = 0,048 \cdot 10^{-10} \sin^2 \frac{\theta}{2} \quad (5.2)$$

Qiziji shundaki litiy elementida qilingan tajribada sochilgan nurlanish spektrida faqat bitta maksimum, ya'ni faqat siljish komponentasi kuzatiladi. Og'ir element misda qilingan tajriba esa siljigan komponentaning intensivligi siljimagan komponentaning intensivligidan deyarli katta emas.

Siljigan va siljimagan komponentalarning mavjud bo'lishini fizik sabablari haqida to'xtalamiz.

#### 5.4. Siljimagan va siljigan komponentalarni paydo bo'lish sabablari

Siljimagan komponenta paydo bo'lish sabablari. Sochilish spektridagi siljimagan komponentani paydo bo'lishi tabiatli nishon atomlaridagi ichki elektronlarning o'z yadrosi bilan bog'lanishiga bog'liq.

Kompton tajribasida fotonlarning bir qismi atomlarning ichiga kirib borishi va ular bilan ichki elektronlar to'qnashuvi ro'y berishi mumkin. Ichki elektronlar o'z yadrosi bilan nig'oyatda kuchli bog'-langani uchun fotonlar ularni tebrata olmaydi. Bu to'qnashuv erkin elektron bilan emas, balki atom bilan to'qnashuvga baravar. Shuning uchun ham sochilish jarayoni butun nishon bo'ylab ro'y beradi. Atomning (yadroning) massasi elektron massasidan minglab marta katta bo'lgani uchun to'lqin uzunlikni o'zgarishi sezilmaydi. Shu sababdan ham sochilgan nurlanishda siljimagan komponenta mavjuddir. Yorug'-lik nurlanishi diapazonida Kompton effektining ro'y bermasligining sababi ham shu yo'lida tushuntiriladi. Yorug'lik nuring energiyasi atomning tashqi elektronning bog'lanish energiyasidan ancha kam bo'lgani uchun uni elektron bilan to'knashuvida fotonning to'lqin uzunligining o'zgarishi sezilmaydi.  $\gamma$ -kvantlarning energiyasi nig'oyatda katta bo'lganda sochilish jarayonida faqat siljigan komponentalar paydo bo'ladi.

Siljigan komponentaning hosil bo'lishi.  $\Delta\lambda$  yoki ikkilamchi nuring to'lqin uzunligi moddaning tabiatiga bog'liq emas. Bu tasdiq rentgen nurlari nishonning atomlarida emas, balki uning elektronlarida sochilishidan darak beradi.

Engil elementlar (grafit, litiy va h.k) atomlarida tashqi qobiqdagi elektronlar o'z yadrosi bilan kuchsiz bog'langan va uning kattaligi taxminan  $10 \text{ eV}$  atrofida. Bu energiya unga tushayotgan rentgen nurini energiyasi ( $\sim 20 \text{ keV}$ ) dan  $10^3$  tartibida kichkina. Shuning uchun bu sharoitda rentgen nurlari nishondagi tinch turgan erkin elektronlar bilan o'zaro ta'sirda bo'ladi deb qarash mumkin. Elektronning tinchlikdagi energiyasi  $m_e c^2 = 0,511 \text{ meV}$ , bu esa o'z navbatida o'ziga tushayotgan Rentgen nurining energiyasidan nig'oyatda katta, bu holda elektronlarning nishondagi harakati norelativistik harakat bo'ladi va sochilishni ham norelativistik deb qarash mumkin.

Shunday qilib, engil atomlardagi sochilish jarayonini erkin elektronlardagi sochilish deb qarash mumkin va Kompton formulasiga ko'ra, sochilgan nurlanishda ikkinchi komponenta paydo bo'ladi. Uning to'lqin uzunligi (5.2) formulaga muvofiq sochilish burchagi 0 ga ham bog'liq.

### **5.5. Kompton tajribasining klassik nazariyasi**

Maksvellning elektrodinamik qonunlariga binoan rentgen nurlari – bu elektromagnit to'lqinlaridir. Bu holda kompton tajribasini quyidagicha yoritish mumkin.  $\omega_0$  chastotaga ega bo'lgan elektromagnit to'lqinlarining elektr maydoni sochuvchi moddaning elektronlariga ta'sir etib, ularni shu chastotada tebratadi. Moddadagi elektronlar ozod elektronlar bo'lgani uchun, tebranish natijasida tezlanish oladi. Elektrodinamika qonuniga ko'ra, tezlangan zaryad o'zidan nur chiqarishi lozim. Shuning uchun elektron tushayotgan nur chastotasidagi ikkilamchi rentgen nurlarini chiqaradi. Ularning chastotalari bir xil bo'lgani uchun ikkilamchi nuring sochilish spektri birlamchi nuring sochilish spektrining ustiga tushadi. Boshqacha aytganda, sochilish spektrini siljigan komponentasi vujudga kelmaydi, sochilgan nuring to'lqin uzunligi esa sochilish burchagi 0 ga bog'liq emas. Klassik fizikani bu xulosasi kompton tajribasining 4-xulosasiga mutlaqo ziddir.

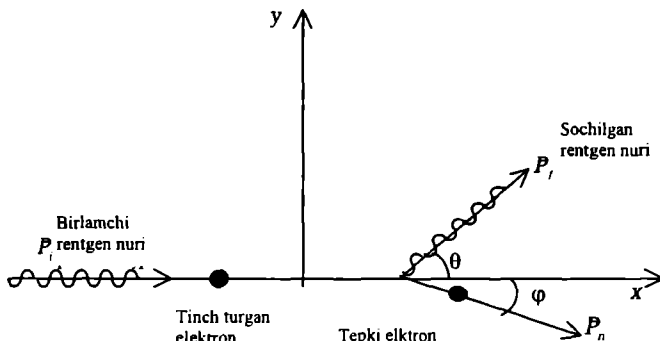
Demak, klassik fizika tasavvurida turib Kompton effektini tushuntirib bo'lmaydi.

### **5.6. Kompton tajribasining kvant nazariyasi**

Yorug'likning foton nazariyasiga tayangan va J.Jensning matematik hisoblaridan ilhomlangan Kompton 1923-yilda *rentgen nurlari bu tayinli impulsiga ega bo'lgan fotonlar oqimidir* degan ilhor g'oyani

ilgari surdi. Fotonlar, boshqa zarralarga o'xshash deb unga impulsni va energiyani saqlanish qonunlarini tatbiq etish mumkin. Rentgen nurlarining to'lqin uzunligini siljishi bu fotonlarning elektronlardagi elastik sochilishi deb atadi. Shuning uchun ham bu hodisani kompton effekti deb atashadi.

Fotonlar nazariyasiga ko'ra, yadroning kuchli elektromagnit maydonida harakat qilayotgan elektron foton bilan o'zaro ta'sirda bo'lganida o'zining energiyasi va impulsini bir qismini yadroga uzatishi mumkin. Energiya va impulsning saqlanish qonuniga binoan sistemaning to'la energiyasi va impulsi saqlanadi. Foton nazariyasiga asoslangan foton va elektron to'qnashuvi grafigi 5.3-rasmida tasvirlangan.



5.3-rasm. Rentgen nuraning elektronda sochilishi.

Avval qisqacha fotonning yadroning Kulon maydonida sochilishi haqida bir muncha fikr bildiramiz. Klassik elektromagnit nazariyasini xulosasiga ko'ra, to'hri chiziqli tekis harakat qilayotgan elektron o'zidan nur chiqarmaydi. Foton chiqarguncha bo'lgan sistemada elektron tinch turgan bo'lsin. Bu sistemada elektronning energiyasi  $E=mc^2$ , bir yoki bir nechta foton chiqargandan so'ng elektronning energiyasi yana  $mc^2$  ga teng bo'lib qolishi kerak. Lekin buning aslo iloji yo'q. Chunki elektron energiyaning qandaydir bir ulishini fotonlardan olib ketishi kerakku, bundan chiqadiki energiyaning saqlanish qonuni buziladi. Bu esa mumkin emas. Demak, tinch turgan elektronning nurlanishi mumkin emas.

Agar endi ushbu elektron yadro-nishonning kuchli elektr maydonida harakat qilayotgan bo'lsa manzara tamomila boshqacha bo'ladi. Bu holda sistemaning to'la energiyasi va impulsining saqlanishi uchun elektron o'zining energiyasi va impulsini bir qismini yadroga berishi kerak bo'ladi. Shu hol uchun saqlanish qonunlarini ko'raylik. Massasi

*m* va dastlabki impulsi  $\vec{p}_i$  bo'lgan elektron massasi  $M$  ga teng bo'lgan tinch turgan yadro bilan to'qnashsin. To'qnashish jarayoni sodir bo'lgandan so'ng elektron va yadroning impulslari  $\vec{p}_f$  va  $\vec{p}_n$  ga teng bo'ladi. Natijada impulsi  $\vec{p}$  ga va chastotasi  $\omega = \frac{\rho c}{\hbar}$  ga teng bo'lgan foton paydo bo'ladi.

Bu jarayon uchun saqlanish qonunlarni quyidagicha yozish mumkin.

$$E_i + M c^2 = E_f + E_n + \hbar \omega \quad (5.3)$$

$$\vec{p}_i = \vec{p}_f + \vec{p}_n + \vec{p} \quad (5.4)$$

Bunda  $E_i$  va  $E_f$  – elektronning to'qnashguncha va to'qnashish sodir bo'lgandan keyingi energiyasi.  $E_n$  – yadroning energiyasi. Shunday qilib, saqlash qonunlari 4 ta tenglamadan va 9 ta o'zgaruvchidan iborat. 3 ta impuls vektor kattalik bo'lgani uchun 9 ta tashkil etuvchilardan (o'zgaruvchi) iborat tenglamasini echish kerak. Ushbu vektorlarni har birining skalyar qiymatini topish uchun (5.3) va (5.4) tenglamalarni echishga to'g'ri keladi. Bu masala matematik jihatdan ancha murakkab bo'lgani uchun uning ustida alohida to'xtamaymiz, balki oddiy holni ko'rarmiz.

Kompton effektini hisobi elektron bilan foton to'qnashish chizmasi 5.3-rasmida ko'rsatilgan.

Chastotasi  $\omega$  ga teng bo'lgan foton massasi  $m$  bo'lgan tinch turgan elektron bilan to'qnashsin. To'qnashish sodir bo'lgandan so'ng chastotasi  $\omega'$  foton hosil bo'ladi va u dastlabki foton yo'naliishiga nisbatan  $\theta$  burchak bilan harakat qiladi. To'qnashishdan so'ng elektronning olgan energiyasi  $E_e$  va impulsi  $\vec{p}_e$  bo'lsin.

Energiya va impulsning saqlanishi uchun barcha hodisa bitta tekislikda (masalan, 5.3-rasmagi tekislik) ro'y bersin. Bu hol uchun saqlanish qonunlari

$$\left\{ \begin{array}{l} \hbar \omega + m_e c^2 = \hbar \omega_1 + m c^2, \\ \vec{p} - \vec{p}' = \vec{p}_e \end{array} \right. \quad (5.5)$$

$$\left\{ \begin{array}{l} \hbar \omega + m_e c^2 = \hbar \omega_1 + m c^2, \\ \vec{p} - \vec{p}' = \vec{p}_e \end{array} \right. \quad (5.6)$$

kabi bo'ladi. Bunda,  $m_e c^2$  – elektronning tinchlikdagi massasi.

$$m c^2 = \frac{m_0 c^2}{\sqrt{1 - \frac{v^2}{c^2}}} \quad \text{– to'qnashgandan so'ng elektronni olgan to'la}$$

energiyası.  $k = \frac{\omega}{c}$ ,  $k_1 = \frac{\omega_1}{c}$  ekanligini e'tiborga olib (5.5) va (5.6)lar ustida quyidagi algebraik almashtirish qilamiz. (5.5) ifodaning kvadratga

oshirib va barcha hadlarini  $s^2$  ga bo'lib, so'ng (5.6) ifodani kvadratini undan ayiramiz.

$$\frac{1}{c^2} (\hbar\omega + m_e c^2 - \hbar\omega')^2 - (\bar{p} - \bar{p}')^2 = \frac{E_e^2}{c^2} - p_e^2 = m^2 c^2 \quad (5.7)$$

bunda

$$p = \frac{\hbar\omega}{c}, \quad p' = \frac{\hbar\omega'}{c}$$

va

$$\bar{p} \cdot \bar{p}' = pp' \cos\theta \quad (5.8)$$

(5.7) va (5.8) larga ko'ra  $\omega'$  quyidagicha topiladi:

$$\omega' = \frac{\omega}{1 + \left(\frac{\hbar\omega}{mc^2}\right)(1 - \cos\theta)} \quad (5.9)$$

(5.9) ifodani to'lqin uzunliklar ko'rinishida yozamiz. Bilamizki,

$$\lambda = \frac{2\pi c}{\omega}, \quad \lambda' = \frac{2\pi c}{\omega'} \quad (5.10)$$

Demak,

$$\lambda' = \lambda + 2\pi \left( \frac{\hbar}{m_e c} \right) (1 - \cos\theta)$$

yoki

$$\Delta\lambda = \lambda' - \lambda = \frac{h}{m_e c} (1 - \cos\theta) = 2\lambda_k \sin^2 \frac{\theta}{2} \quad (5.11)$$

bunda

$$\lambda_k = \frac{h}{m_e c} = 0,024 \cdot 10^{-10} \text{ m} = 0,024 \text{ \AA} \quad (5.12)$$

(5.11) formulaga *Kompton formulasi* deyiladi.  $\lambda_k$  – massasi  $m$  ga teng bo'lgan zarraning *Kompton to'lqin uzunligi* deyiladi.

(5.11) formulaning natijasi, eksperiment natijalari bilan tamoman mos tushadi va yorug'lik fotonlardan tashkil topganligi haqidagi tasavvurni tasdiqlaydi.

(5.11) ga ko'ra sochilgan nuring to'lqin uzunligi tushayotgan nuring to'lqin uzunligidan doimo katta ekanligi va eksperiment natijalarining (1) va (2) xulosalarga to'g'ri keladi. (5.11) dan ko'rinda chastotaning nisbiy uzgarishi juda kam.

Elektron uchun

$$\frac{\hbar\omega}{m_e c^2} = \frac{\hbar\omega}{0,5 \text{ M}\Omega\text{B}}$$

Yorug'lik nurining kichik energiya qiymatlarida Kompton effekti umuman ro'y bermaydi. Bu effekt qattiq rentgen nurlari sohasida ro'y

beradi.  $\theta = \frac{\pi}{2}$  da Kompton to'lqin siljishi eng katta bo'ladi. Kompton

tajribasi  $\Delta\lambda = \frac{1h}{mc} \sin^2 \frac{\theta}{2}$  formulani o'rinli ekanini tasdiqlaydi.  $E = h\nu$ ,

$\vec{p} = \hbar\vec{k}$  va  $m = \frac{h\nu}{c}$ , energiya, impuls va massani kvantlashini na-

moyish etdi. Individual jarayonlarda energiyani saqlanish qonuni va impulsni saqlash qonunlari o'rinni ekanligini ko'rsatdi. Haqiqatan ham elektron tepkili fotoeffekt hodisasida keyingi o'lchashlar energiya va impulsni saqlanish qonunlarini to'la bajarilishni tasdiqladi. 1923-yilda Bote, Vilson tajribada birinchi marta elektron tepkini kuzatdilar. 2 yildan so'ng 1925-yil Bote va Geyger sochilgan foton bilan elektron tepkini bir vaqtda paydo bo'lishini ko'rsatdilar. 1927-yilda Bles elektron tepki qiymatini tajribada tekshirdi.

Kompton effekti yorug'lik kvant nazariyasini to'la tasdiqladi. Lekin, boshqa tajribadan bilamizki yorug'lik to'lqin xususiyatga ham egadir. Kompton tajribasida yorug'likning ham kvant va ham to'lqin xususiyatlari paydo bo'ladi.

Yorug'lik real fizikaviy obyekt bo'lib, uni na to'lqin va zarra deyish mumkin. Yorug'likni to'lqin va zarralik xususiyati yorug'lik dualizmi deyiladiki, ularni bir vaqtning o'zida ko'rish mumkin emas. Bu xususiyatlarni faqatgina alohida, alohida ko'rish mumkin. buning uchun faqat eksperimental sharoit yaratish kerak. Bu fakt Borning to'ldirish printsiplida mujassamlangan.

Yorug'lik to'hrisidagi umumiy nuqtai nazaridan fikr yuritganimizda biz dualizm tushunchasiga kelamiz. Umuman qaraganda, to'lqin va zarra bir fizikaviy mohiyatning ikki shaklidir.

### 5.7. Tepki elektronlar

Fotonlar bilan elektronlar to'qnashuvida sochilishning har bir elementar aktida fotonlarning «turtki»sidan energiya olgan elektronlar hosil bo'ladi. Sochilish jarayonida elektronning kinetik energiyasining o'zgarishini hisoblaylik. Energiyaning saqlanish qonuniga ko'ra elektronning kinetik energiyasining o'zgarishi fotonning to'qnashgandan so'ng va to'qnashguncha bo'lgan energiyalari farqiga teng bo'lishi kerak, ya'ni

$$E_k = h\nu - h\nu' = h\Delta\nu \quad (5.15)$$

$E_k$  ni fotonning dastlabki energiyasiga nisbati

$$\frac{E_k}{hv} = \frac{\Delta v}{v} \quad (5.16)$$

biroq

$$\Delta v = v - v' = \frac{c}{\lambda} - \frac{c}{\lambda + \Delta \lambda} = \frac{c}{\lambda} \cdot \frac{\Delta \lambda}{\lambda + \Delta \lambda} = v \frac{\Delta \lambda}{\lambda + \Delta \lambda} \quad (5.17)$$

bundan

$$\frac{\Delta v}{v} = \frac{\Delta \lambda}{\lambda + \Delta \lambda} \quad (5.18)$$

(5.16) formulaga ko'ra

$$\frac{E_k}{hv} = \frac{\Delta v}{v} = \frac{2\lambda_k \sin^2 \frac{\theta}{2}}{\lambda + 2\lambda_k \sin^2 \frac{\theta}{2}} \quad (5.19)$$

bu formuladan birlamchi foton energiyasining qancha ulushini elektron tepki olishi mumkinligini hisoblaylik. Agar  $\lambda = 10\lambda_k = 0,24\text{\AA}$  (qattiq rentgen nurlari) va  $\theta = 90^\circ$  bo'lsa,

$$\frac{E_k}{hv} = \frac{1}{11}$$

bo'ladi.

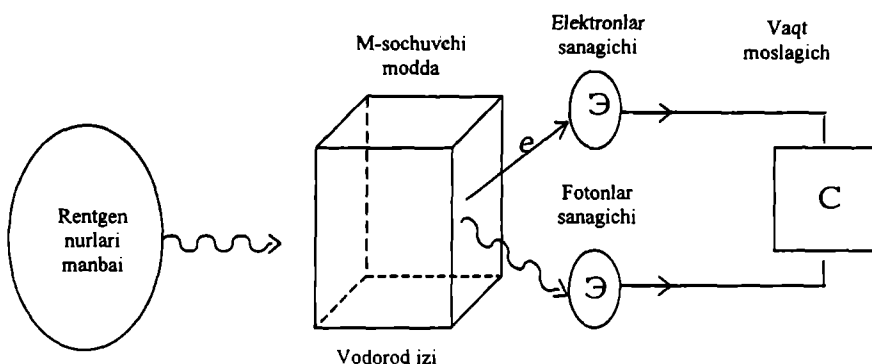
Agar  $\lambda = \lambda_k = 0,024\text{\AA}$  ( $\gamma$ -nurlar) uchun  $\theta = 90^\circ$  bo'lsa unda  $\frac{E_k}{hv} = \frac{1}{2}$

bo'ladi. Shunday qilib, uncha qattiq bo'lмаган rentgen nurlari uchun elektron fotonning uncha ko'p bo'lмаган energiyasining oladi. bu esa o'z navbatida tepki elektronlarni fotoelektronlardan farqlanishga imkon beradi. Tepki elektronlar dastlabki fotonlar yo'nalishida harakat qiladilar. Kompton nazariyasi asosida tepki elektronni hosil bo'lishi Wilson kamerasida kuzatilgan.

### 5.8. Bote va Wilson tajribasi. Bote va Geyger tajribasi

Kompton tajribalarida foton bilan elektron orasidagi to'qnashishning individual akti kuzatilmadi, balki elektronlar bilan fotonlar to'qnashishining umumiy natijasi kuzatildi.

1923-yilda Bote va Wilson foton bilan elektronni to'qnashishining individual aktida tepki elektronni kuzatishga muvaffaq bo'ldi. 1925-yilda Bote va Geyger tepki elektron va sochilgan fotonni bir vaqtda paydo bo'lishini kuzatdilar. Foton (F) va elektron (E) sanagichlar sochuvchi modda (M) ga nisbatan simmetrik qo'yiladi. Manbadan chiqqan ingichka rentgen nurlari dastasi sochuvchi modda-vodorod gazida sochiladi. Vodorod gazi rentgen nurlarini kam yutadi va yetarli darajada kuchli sochadi. 5.4-rasmda ushbu tajribaning chizmasi chizilgan.



5.4-rasm. Bote va geyger tajribasi.

(E) va (F) sanagichlar vaqt moslagichi chizmasiga (схема совпадений) ulangan bo'lib, u sanagichlarga elektron va fotonni bir vaqtda kelganligini qayd qiladi. Shunday qilib, bu tajriba sanagichlarga elektron va fotonni bir vaqtda kelib tushishini qayd qiladi. Sanagichlarda foton va elektronni bir vaqtda qayd qilinishi ehtimoli korrelyatsiya bo'lgan holdagi foton va elektronlarni qayd qilinishi ehtimolidan anchakatta. Bu tajriba foton va elektronni individual to'qnashishini isbot etdi. 1925-yilda Kompton va Saymon qilgan tajribalarida tepki elektron bilan sochilgan fotonlar hosil qilgan burchaklar orasidagi munoabat saqlanish qonunlari talabiga ko'ra bajariladimi yoki yo'qmi ekanligini tekshirdilar. Buning uchun ular Vilson kamerasidan foydalandilar. Vilson kamerasida tepki elektron iz (trex) qoldiradi. Sochilgan fotonlar esa hech qanday iz qoldirmadi. Sochilgan foton yo'liga boshqa atom qo'yilgan taqdirda undan fotoelektronlar chiqishi kuzatildi va u ham kamerada yaxshi iz qoldirdi. Shunday qilib, tepki elektron bilan sochilgan fotonlar orasida hosil bo'lgan burchakni to'la tahlil qilinishi saqlanish qonunlarini juda yaxshi bajarilishini tasdiqladi. 1927-yilda Bles tepki elektron energiyasini o'lchadi va uning miqdori ham Kompton nazariyasi bilan to'la mosligini tasdiqladi.

Xullas, Kompton effekti va Kompton nazariyasi elektromagnit nurlanishni kvant nazariyasini to'la tasdiqladi. Biroq boshqa tajribalar dan yaxshi bilamizki, yorug'lik to'lqin xususiyatga ham ega. Qizig'i shundaki, Kompton tajribasida qandaydir ma'noda nurlanishni kvant va to'lqin xususiyatlari namoyon bo'ladi. Yorug'lik real fizikaviy obyekt bo'lib, uni na to'lqin va na zarra deyish mumkin.

Yorug'likning bir-biriga qarama-qarshi bo'lgan to'lqin va zarra xususiyatini yorug'lik dualizmi deyiladi va ularni bir vaqtda kuzatish mumkin emas. Bu xususiyatlarni faqat alohida-alohida o'rGANISH mum-

kin. Buning uchun, albatta eksperimental sharoit yaratish kerak. Yorug'likni umumiylahili uchun esa ikkala xususiyatni ham e'tiborga olish kerakki, xuddi ana shu mulohaza *Borning to'ldirish prinsipida yaxshi mujassamlashgan*. Umuman qaraganda to'lqin zarra bir fizikaviy mohiyatning ikki shaklidir.

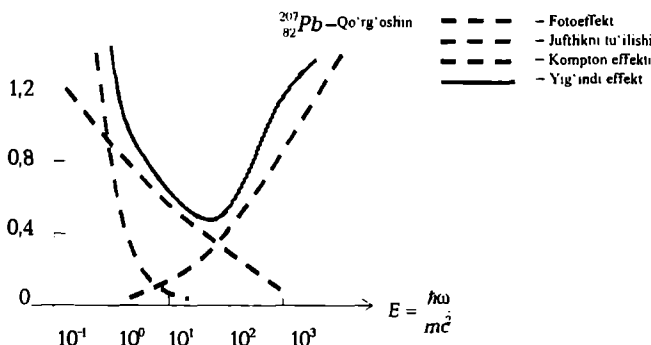
Yorug'likni elektronnda sochilish tajribasi Plank doimisi  $\hbar$  ni elektromagnit shkalasining yuksak chastotalaridagi elektromagnit to'lqinlariga ham o'rinni ekanligi ushbu kattalikni *universal doimiylik* ekanligidan dalolat beradi.

### 5.9. Nurlanishning moddadan o'tishi

Fotonlar bilan moddalar orasida bo'ladigan o'zaro ta'sirni uchta jarayonga bo'lish mumkin:

1. Fotoelektron effekt.
2. Kompton effekti.
3. Elektron-pozitron juftligining tuzilishi.

Mazkur uchchala effektni tavsiflovchi to'la nazariya juda murakkab va kvant elektrodinamika uslubiyotini qo'llashni talab qiladi. Shu sababdan biz bu nazariya haqida to'xtalmasdan, faqat qiqacha quyidagi natijalarni beramiz. Fotoeffektda fotonlar atomda tamomila yutiladi, natijada atom o'z qobiqlari biridan elektron chiqaradi. Kompton effektda esa foton atom elektron tomonidan sochiladi. Elektron-pozitron juftligining tug'ilishida esa foton elektron-pozitron juftlikka aylanadi, ya'ni foton yo'qolib, uning o'rniga zarralar hosil bo'ladi. Bu uchchala effekt 5.5-rasmda keltirilgan. Past energiyalarda ( $eV$ ) fotoeffekt hukmronlik oqiladi, Kompton effekti esa nig'oyatda kuchsiz holda namoyon bo'ladi. Elektron-pozitron juftligi umuman tuzilmaydi.



5.5-rasm.  $^{207}\text{Pb}$  – elementda fotoeffekt, kompton effekti, juftlikning tuzilishi va ig'indi effekt.

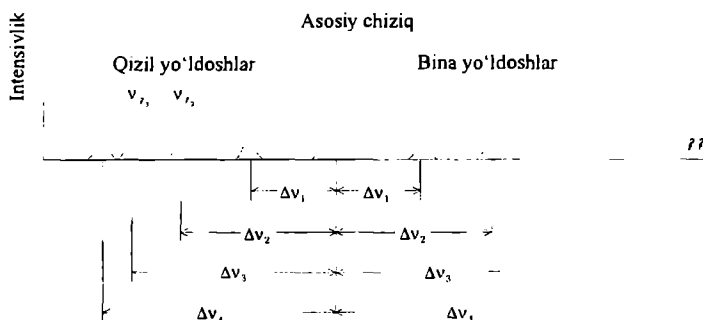
$2m_e c^2$  ga teng energiyadan boshlab juftlik tuzilishiga imkon yaratiladi va u hukmon jarayon bo'lib qoladi. Fotoeffekt va juftlik tuzilishida foton tamomila yo'qoladi. Kompton sochilishida esa foton yo'qolmaydi. Faqat energiyasinin bir qismini yo'qotadi. 5.5-rasmda uchchala effektni moddaning yutilish koeffitsienti  $\mu$  ga nisbatan mu-nosbati qo'rg'oshin misolida taqqoslanadi.

### 5.10. Yorug'likning kombinatsion sochilishi

Kombinatsion yoki siljigan sochilish hodisasi hind olimlari Raman va Krishnan tomonidan 1928-yilda e'lon qilingan va ba'zan bu hodisani adabiyotda Raman effekti deb ham yuritishadi. Bu hodisa haqidagi maqolani xuddi shu yil, lekin hind olimlaridan sal keyinroq rus olimlari Mandelshtam va Landsberglar ham e'lon qilishadi.

Raman va Krishnan bu hosisani yorug'likni suyuqliklarda sochilishi jarayonida, Mandelshtam va Landsberg esa yorug'likni kristallda sochilish jarayonini eksperimental o'rganish vaqtida kuzatishgan. Kombinatsion sochilish jarayonida kuzatilgan siljigan chiziqlarni *Raman chiziqlari* ( $v_r$ ) deb atashadi.

Mandelshtam va Landsberg kvars va island shpatida yorug'lik sochi-lishini eksperimental o'rganib quyidagi fikrni bildirishdi. Sochilish jarayonida simob lampasidan tushayotgan yorug'likning har bir asosiy chizihi atrofida bir qancha yo'ldoshlar (satellitlar) paydo bo'ladi. Yo'ldoshlar, asosiy chiziqdan chap (qizil) tomonga ham va unga simmetrik ravishda o'ng (binafsha) tomonga ham siljigan (5.6-rasm). Asosiy chiziqdan chap tomonda siljigan qizil yo'ldosh (satellit) chiziqlarni *Stoks chiziqlari* ( $v_{r,s} < v_0$ ), o'ng tomondagi binafsha yo'ldosh (satellit) esa *antistoks chiziqlari* ( $v_{r,a} > v_0$ ) deyiladi.



5.6-rasm. Yorug'likning kombinatsion sochilishida yo'ldoshlarning (satellitlarning) paydo bo'lishi chizmasi

Yo'ldoshlarning barchasini guruhlarga ajratish mumkin. Har bir guruhda yo'ldosh chastotasi bilan asosiy chiziqqa to'g'ri keluvchi chastotalar orasidagi oraliq, ya'ni chastotalar farqi  $\Delta v$ , ( $5.6$ -rasm) doimiydir. Bu qonuniyatdan har bir shunday guruhning  $\Delta v$ , chastotasi kristallning xususiy chastotasiga mos keladi degan fikrga kelamiz. Kvars uchun 5 ta yo'ldosh guruhi, island shpati uchun faqat ikkita yo'ldosh guruhi kuzatilgan. Temperatura ortishiga mos ravishda binafsha yo'ldoshlarning intensivligi qizil yo'ldoshlarning intensivligiga nisbatan ortganligi ham eksperimentda aniqlangan.

### 5.11. Yorug'likning kombinatsion sochilishining klassik nazariyasi

Kombinatsion sochilish hodisasi klassik nazariya nuqtai nazaridan quyidagicha tushuntiriladi. Ushbu hodisada yo'ldoshlarning paydo bo'lish sabablari yorug'lik to'lqinini sochuvchi muhit molekulasi atomlarining past chastotali tebra-nishlari bilan modulyatsiyalishi orqali tushuntirish mumkin. Molekulaning qutblanishi, umuman qarganda uni tashkil qilgan atomlarning joylanishiga bog'liq. Atomlar tebranganda qutblanish  $\alpha_0$ -o'rtacha qiymat atrofida shu tebranishga mos ravishda

$$\alpha(t) = \alpha_0 + F(t)$$

formula bilan o'zgarishi mumkin.

Ushbu tebranishlarning chastotasi  $10^{12}$ - $10^{13}$  gts bo'lib, elektromagnit shkalasining infraqizil spektri sohasiga to'g'ri keladi. Boshqacha aytganda,  $\alpha(t)$  kattalikni o'zgarishi tushayotgan yorug'likning ( $\approx 10^{15}$  gts) elektr maydonining tebranishiga nisbatan sekinroq o'zgaradi. Shu sababga ko'ra ham tushayotgan yorug'lik to'lqinining monoxiromatik maydonida molekulaning dipol momentining o'zgarishi

$$p(t) = \alpha \cdot E = [\alpha_0 + F(t)] E_0 \cos\omega t$$

Qonun bo'yicha ro'y beradi, ya'ni amplitudasi modulyatsiyalangan tebranishdan iborat bo'ladi. Bu erda  $E = E_0 \cos\omega t$  – yorug'lik to'lqinining o'zgaruvchan elektr maydoni,  $E_0$  yorug'lik to'lqini elektr maydoni kuchlanganligini amplitudasi,  $\omega = 2\pi\nu$  – tushayotgan yorug'likning burchak chastotasi,  $\alpha$  – molekulaning qutbchanligi, faqat uning tuzilishi va xossasiga bog'liq bo'lgan doimiy.

Bu jarayonda sochilgan yorug'likni maydon kuchlanganligining tebranishi ham modulyatsiyalaniadi. Bu tebranishlarning eltuvchi chastotasi tushayotgan yorug'lik to'lqinining chastotasi  $\omega$  ga teng, modulyatsiya esa  $\omega$ , chasiotalarda (sochuvchi modda molekulasiagi atomlarning tebranish chastotasi) yuz beradi. Amplitudasi modulyatsiyalangan bunday tebranishlarning spektri  $\omega$ -chastotali eltuvchi chastota bilan bir qatorda  $\omega \pm \omega$ , chastotaga ega bo'lgan kombinatsion tebranish-

lar hosil bo'ladi. Boshqa so'z bilan aytganda sochilgan yorug'likning spektri shu molekula haqida axborot beradi. Bu spektrni o'rganish va tahlil etish orqali molekula strukturasi va tuzilishini bilishga muvaffaq bo'lamiz.

Klassik elektrodinamika qonuniga binoan,  $\omega = 2\pi\nu$  chastotada tebranayotgan dipol intensivligi

$$I_\nu = \frac{16\pi^4 v^4}{3c^2} \alpha^2 E_0^2$$

ga teng bo'lgan monoxromatik nur chiqaradi.

$\alpha \neq const$  hol uchun, ya'ni sochuvchi muhit molekulasing qutblanuvchanligi o'zgaruvchan bo'lsa, u holda molekulaning dipol momenti ham vaqt bo'yicha o'zgaradi. Umuman, molekula qutblanuvchanligi yadro tebranishini dipol tebranishlarida ishtirox etishi sababi bilan ham o'zgarib turishi kerak. Elektronlar bilan yadroni o'zaro bog'langanligi sababli majburiy v chastotada tebranayotgan elektronlar yadroning ham tebranishini yuzaga keltiradi. Biroq yadroning massasi elektronning massasiga nisbatan nig'oyatda katta bo'lgani uchun yadroning tebranishi juda ham kuchsiz bo'lari. bu esa molekulaning qutblanishini o'zgarishiga olib keladi. Natijada sochilgan yorug'likni chastotasi o'zgaradi va siljish *nokogerent* bo'lib qoladi.

Shunday qilib, klassik elektrodinamika sochilgan yorug'lik spektrida siljimagan chiziqning ( $\nu$ ) har ikki tomonida  $\nu_i$  masofaga simmetrik siljigan chiziqlar - yo'ldoshlarni paydo bo'lishini to'g'ri tushuntirib beradi va ularning intensivligi

$$I_{\nu_R^{S,A}} = \frac{4\pi^4}{3c^2} (\nu_R^{S,A})^4 \alpha^4 E_0^2 = \frac{4\pi^4}{3c^2} (\nu_0 \mp \nu_i)^4 \alpha^4 E_0^2$$

formula bilan hisoblanadi. Bunda  $\nu_R^{S,A}$  - raman chastotasi (stoks va antistoks chiziqlari uchun).

Xallas, klassik elektrodinamika nuqtai nazaridan stoks va anitistoks chiziqlarining intensivligi teng ekanligi kelib chiqadi. Eskperiment natijalaridan yaxshi bilamizki, ushbu chiziqlarning (yo'ldoshlarning) intensivligi teng emas, jumladan, qizil yo'l-doshlar-stoks chiziqlarining intensivligi binafsha yo'ldoshlarning intensivligidan yuqori ekanligini ko'rsatadi. Klassik fizika qizil va binafsha yo'ldoshlarning intensivliklari orasidagi ushbu miqdoriy farqni tushuntirib bera olmadi. Yorug'likning kombinatsion so-chilishidagi intensivliklarning miqdoriy muammosini faqat kvant nazariya tasavvuri asosida to'g'ri hisoblash mumkin.

### 5.12. Yorug'likning kombinatsion sochilishining kvant nazariyasи

Eskperimentda kuzatilgan intensivliklar asimmetriyasini miqdoriy jihatdan to'g'ri tushuntirib berish uchun kvant nazariya g'oyalaridan

foydalanishga to'hri keladi. Umuman ushbu energiyani kvant mexanik izohi Kramers-geyzenbergni dispersiya nazariyasiga asoslangan.

Yorug'lik sochilishi klassik nazariyasidagi molekuladagi elektro-nning (dipollarning) majburiy tebranish g'oyasi kvant fizika nazariyasida molekulaning diskret sathlari orasidagi elektron o'tishlar g'oyasiga to'g'ri keladi. Binobarin, kvant mexanika nuqtai nazaridan molekulada yorug'likning sochilishi quyidagicha talqin etiladi. Kombinatsion sochilish jarayonida chiziq-yo'ldoshlarni paydo bo'lishi moddaning molekulyar tuzilishiga bog'liq. Sochilishning bu yangi turida sochilish yorug'lik kvanti - fotonning molekula bilan bo'ladigan o'zaro ta'siriga bog'liq. Erkin elektronda sochilishga energiyasi yetma-gan optik sohadagi foton asosiy holatda bo'lgan molekula tomonidan yutiladi va molekula uyg'onib yuqoriqoq virtual sathlardan biriga juda qisqa vaqtga o'tadi. Uyg'ongan mazkur molekula tezda  $h\nu'$  kvant chiqaradi va u asosiy sathga o'tmasdan, balki tebranma yoki aylanma sathlardan biriga o'tadi. Shunday qilib, tushayotgan nurni v chastotasiga to'g'ri kelgan chiziqdandan, siljigan chiziqning chastotasi molekulaning infraqizil sohasiga to'g'ri kelgan aylanma yoki tebranma o'tishlarning chastotasi  $v_i$  ga teng bo'lib qoladi. Natijada kogerent sochilish (reley) ga mansub bo'lgan v chastotaga teng bo'lgan asosiy chiziq bilan bir qatorda sochilish spektrida  $v=v-v_i$  chastotali chiziqlar paydo bo'ladi.

Haqiqatan ham yangi holatdagi molekulaning energiyasi  $h\nu'$ , asosiy holat energiyasi  $h\nu$  dan katta bo'ladi, ya'ni

$$h\nu' = h\nu - h\nu_i$$

va

$$v' = v - v_i$$

kelib chiqadi.

Agar tushayotgan kvant  $h\nu_i$  tebranma yoki aylanma energiyaga teng bo'lgan uyg'ongan molekula bilan o'zaro ta'sirda bo'lsa, u holda molekula ushbu kvantni yutib, so'ng virtual holatdan asosiy sathga o'tishi mumkin. Ushbu hol uchun chiqarilgan energiya

$$h\nu'' = h\nu_i + h\nu$$

va

$$v'' = v_i + v$$

ga teng bo'ladi.

Shunday qilib, sochilish chastotasi tushayotgan nur chastotasi va tebranma yoki aylanma sathlar chastotasining kombinatsiyasidan iborat bo'ladi. Shuning uchun ham bu hodisani *kombinatsion sochilish* deb atashadi.

Xona temperaturasidagi sharoitda uyg'onmagan molekulalarning ulushi uyg'ongan molekulalarning ulishidan ancha katta. Shu sababga

kor'a qızıl yo'ldoshning intensivligi katta. Temperatura ortganda molekulaning aylanma va tebranma holatlarini ulistir ham ortadi va natijada binafsha yo'ldoshning nisbatan intensivligi orqadi.

Kombinatsion sochilishning spektri ko'p jihatdan yutilishning infraqizil spektri bilan o'xshash. Chunki infraqizil spektrning vujudga kelishi ham molekuladagi aylanma va tebranma sathlar orasidagi o'tishlar bilan bog'liq. Lekin ular orasida tafovut ham mavjud. Ularning kelib chiqishi turli ichki-molekulyar harakatlarga bog'liq. Kvant mexanika tili bilan aytganda, ular orasidagi tafovut tanlash qoidalari orqali ifodalanadi.

Yorug'likning kombinatsion sochilishi hodisasini klassik fizika doirasida turib tushuntirib berish mumkin, lekin uning kvant talqini yorug'likni kvant tabiatini mohiyatan tasdiqlaydi.

Molekulalar strukturasini, ichki-molekulyar va molekulalar aro kuchlarini o'rganishda, murakkab aralashmalarini tahlil qilish va u yoki bu birikmalarni indentifikasiyalash (ajratish) da kombinatsion sochilish metodikasi eng muhim anjomdir.

1962-yilda Vudberi va Ng majburiy kombinatsion sochilishni kashf etishdi. Ushbu kombinatsion sochilish jarayonida uyhotuvchi nurlanishning chastotasiga nisbatan ichki-molekulyar tebranish chastotasiga  $\omega'$ ga kelgan siljishlar ro'y beradi. Bu jarayonning bo'lish ehtimoli tushayotgan va sochilayotgan nurlanishning ehtimoliga bog'liq. Bu jarayon tushayotgan nurlanishning intensivligining biror bir qiyamtidan boshlab ro'y berishi mumkin. Spontan sochilishga nisbatan bu sochilishning intensivligi ancha katta bo'lib, 10% lar atrofida. Ushbu jarayonda ( $\omega \pm \omega'$ ) chastotadan boshqa yana ( $\omega \pm 2\omega'$ ) chastotadagi kabi yuqori tartibdagi yo'ldoshlar hosil bo'ladi va ular ham ma'lum bir tomonqa yo'nalgan bo'ladi. Bu jarayon nochiziqli effekt bo'lib, o'z-o'zini fokusirovka qilish xususiyatiga ega bo'lganligi uchun amaliyotda lazer nurlarini intensivligini oshirishda foydalanish mumkin.

## SAVOLLAR

1. Yorug'likning nurlanishini (elektromagnit) nurlanishning moddalarda sochilishini ta'riflang.
2. Kogerent va nokogerent sochilish deb nimaga aytildi?
3. Sof jismlarda zichlik fluktuatsiyasi qanday vujudga keladi?
4. Molekulyar yoki reley sochilishi deb nimaga aytildi?
5. Yorug'likning kombinatsion sochilishini kimlar topgan?
6. Yorug'likning kombinatsion sochilishini ta'riflang.
7. Nokogerent sochilishga doir hodisalarini aytib bering.
8. Kompton effektini ta'riflang.
9. Kompton effektini nima uchun nokogerent sochilishga misol deymiz?
10. Kompton tajribasini chizib, tushuntirib bering.

11. Kompton effekti yorug'likning qanday energiyasidan boshlab ro'y berishi mumkin? Nima uchun kichik energiyalarda kompton hodisasi ro'y bermaydi?
12. Nishon atomidagi elektronlarni qachon erkin elektronlar deb qarash mumkin?
13. Sochilish spektridagi siljimagan komponenta tabiatini qanday?
14. Sochilgan nurlarni to'lqin uzunligi moddaning tabiatiga bog'liq emas degani nimani aks ettiradi?
15. Siljish burchagi bilan sochilish burchagi ma'nosini tushuntiring.
16. Kompton tajribasini klassik fizika nuqtai nazaridan tushuntiring.
17. Kompton tajribasini kvant nazariya nuqtai nazaridan tushuntiring.
18. Nima uchun engil elementlarda siljish komponentasining intensivligi katta? Og'ir elementlarda qanday bo'ladi?
19. Kompton tajribasi natijalarini sanang va tushuntiring.
20. Kompton to'lqin uzunligi nima? To'lqin uzunliklar siljishi  $\theta$  ni qanday qiymatida eng katta bo'ladi?
21. Kompton effekti uchun saqlanish qonunlarini yozing va tushuntiring.
22. Kompton effektining kvant nazariyasini tasdiqlashdagi o'rnnini so'zlang.
23. Elektron tepki nima, uni Kompton tajribasida kimlar o'lcha-gan?
24. Kompton kim bo'lgan? Qanday ishlar qilgan? Nima uchun Nobel mukofoti olgan?
25. Kompton effektini fotoeffektdan farqini aytib bering.
26. Elektron tepki nima? Uni Kompton tajribasi yordamida kimlar o'lchagan?
27. Bote va Vilson tajribasini tushuntiring.
28. Bote va Geyger tajribasining chizmasini chizing va tushuntiring.
29. Kompton va Saymon tajribasi qanday tajriba?
30. Kompton effekti yordamida  $h$  ni topish mumkinmi?
31. Kompton effektidan so'ng  $h$  ga qanday ma'no berishi mumkin?
32. Nima uchun bu bobni o'qiganimizdan so'ng  $h$  ni universal doimiylilik deb atashga haqimiz bor?
33. Kombinatsion sochilish hodisaini tushuntiring.
34. Kogerent va nokogerent sochilishlar orasidagi tafovutni fizika nuqtai nazaridan tushuntiring.
35. Yorug'likning kombinatsion sochilishida chiziq-yo'l doshlar qanday paydo bo'ladi?
36. Kombinatsion sochilishning klassik nazariyasini tushuntiring.
37. Stoks va antistoks chiziqlari nimani xarakterlaydi?
38. Stoks va antistoks chiziqlari uchun intensivlik formulasini yozing.

39. Yorug'likning kombinatsion sochilishining kvant nazariyasini tushuntiring.

40. Klassik nazariya kombinatsion sochilishning nimasini tushuntirolmadi?

41. Kvant nazariya nuqtai nazaridan mavzuda keltirilgan  $v'$  va  $v''$  chastotalarni paydo bo'l shini tushuntiring.

42. Kombinatsion sochilish hodisasining amaliy ahamiyati haqida so'zlang.

43. Kompton effekti bilan kombinatsion sochilish orasidagi o'x-shashlik va farqlarini ko'rsating.

44. Bu bobni o'qib chiqqandan so'ng o'zingizni mulohazalarin-gizni aytib bering.

### **MASALALAR**

5.1. Energiya va impulsning saqlanish qonuniga binoan Kompton effektini kinematikasi quyidagi tenglamalar sistemasi bilan amiqlanadi:

$$\begin{cases} \hbar\omega + mc^2 = \hbar\omega' + \sqrt{p'^2c^2 + m^2c^4}, & (\text{energiya}) \\ \hbar\vec{k}' = \hbar\vec{k} + \vec{p}. & (\text{impuls}) \end{cases}$$

Bu tengliklarda nechta o'zgaruvchi mavjud? Bu sistemaning bir qiy-matli yechimi mavjudmi?

5.2. Yadro-nishonning kuchli elektr maydonida elektron harakat qilyapti. To'la energiya va impulsning saqlanish qonuni bajarilishi uchun elektron o'zining bir qism energiyasi va impulsini yadroga berishga majbur. Bu hoi uchun saqlanish qonunlari quyidagi ko'rinishga ega:

$$\begin{cases} E_i + Mc^2 = E_{ya} + \hbar\omega + E_f, & (\text{energiya}) \\ \vec{p}_i = \vec{p}_{ya} + \vec{p} + \vec{p}_f, & (\text{impuls}) \end{cases}$$

bunda  $M$  - yadro massasi,  $m$  va  $\vec{p}_i$  - elektron massasi va boshlang'ich impulsi.  $\vec{p}_f$  va  $\vec{p}_z$  to'qnashish sodir bo'lgandan so'ng elektronning

va yadroning impulsi.  $\vec{p}$  va  $\omega = \frac{pc}{\hbar}$  to'qnashish sodir bo'lgandan so'ng foton impulsi va chastotasi.  $E_i$  va  $E_f$  elektronning dastlabki va keyingi energiyasi.  $E_{ya}$  to'qnashish sodir bo'lgandan keyingi yadroning energiyasi. Aytingchi, saqlanish qonunlari nechta tenglama beradi va ularda nechta o'zgaruvchilar qatnashadi?

5.3. Saqlanish qonunlaridan foydalanib, tinch turgan elektron o'ziga tushayotgan fotonni yutib olishi mumkin emasligini isbot qiling.

5.4. Tepki elektronning kinetik energiyasi tushayotgan fotonning energiyasiga teng bo'ladigan jarayon bo'lishi mumkinmi?

5.5. Kompton effektida ishtirok etadigan fundamental doimiyliklar nechta? Ularning kombinatsiyasida uzunlik birligi beradigan ifoda tuzing.

5.6. Fotoeffekt va Kompton effekti uchun elektromagnit nurlanishning xarakterli to'lqin uzunligini toping va ularni asoslang.

5.7. To'lqin uzunligi  $\lambda$  ga teng bo'lgan foton tinch turgan erkin elektronda  $\theta$  burchakka sochildi. Tepki elektronni kinetik energiyasi  $K$  ni toping.

5.8. (5.7) masala shartidan foydalanib, foton energiyasini nisbatan kamayishi  $\eta$  ni hisoblang.

5.9. Kompton siljishini sochilish burchagi  $\theta$  ga bog'liqlik grafigini chizing.  $\Delta\lambda(\theta)$  funksiyani ko'tinishini kichik burchaklar sohasi  $\Delta\theta << 1$  uchun yozing.

5.10. Kompton siljishining maksimal qiymati qanday burchakka to'g'ri keladi? Elektron va proton uchun  $\Delta\lambda_{max}$  ni toping.

5.11. Elektronning Kompton to'lqin uzunligi  $\lambda_k$  ga teng bo'lgan nurlanishi kvanti to'lqin uzunligiga mos kelgan energiyani toping.

5.12. Foton tinch turgan erkin elektronda Kompton sochilganda  $\theta = \frac{\pi}{2}$  burchakka burilishida uning to'lqin uzunligi ikki marta ortishi uchun energiyasi qanday bo'lishi kerak?

5.13. Dastlab tinch turgan erkin elektronga kelib tushgan foton orqaga ( $\theta = \pi$ ) sochildi. Tepki elektronni ultrarelativistik ( $E > mc^2$ ) deb sochilgan kvantring energiyasini toping. Javobingizni izohlang.

5.14. Kompton effektining quyidagi alomatlarini tushuntiring:

1) Kompton siljishi formulasini tekshirish uchun nima uchun katta chastotadagi rentgen nurlanishidan foydalanish kerak?

2) Nima uchun siljish kattaligi modda turiga bog'liq emas?

3) Sochilgan nurlanishda siljimagan komponentaning mavjudligini izohlang.

4) Moddaning atom nomeri kichik bo'lishiga mos ravishda siljigan komponentaning intensivligini ortishini izohlang.

5) Sochilgan nurlanishning ikkala komponentasini spektrial kengayishini izohlang.

5.15. To'lqin uzunligi  $\lambda$  bo'lgan rentgen nurlanishining ingichka dastasi sochuvchi moddaga tushdi. Natijada hosil bo'lgan sochilgan nurlanishning siljish komponentasining to'lqin uzunligi  $\theta_1 = 60^\circ$  va  $\theta_2 = 120^\circ$  burchaklar uchun  $\eta = 2,0$  marta farq qilsa  $\lambda$  ni toping.

5.16. To'lqin uzunligi  $\lambda = 3,64 \text{ pm}$  bo'lgan foton tinch turgan erkin elektronda sochildi. Sochilish jarayonida tepki elektronning kinetik energiyasi tushayotgan fotonning energiyasini  $\eta = 25\%$  ni tashkil qilsa: a) sochilgan fotonning Kompton siljishi to'lqin uzunligini; b) sochilgan fotonning hosil qilgan  $\theta$  burchagini toping.

5.17. Energiyasi  $\omega$  bo'lgan foton tinch turgan erkin elektronda sochilishi tufayli  $\theta$  burchakka burildi. Tepki elektronni tushayotgan foton yo'nalishi bilan hosil qilgan  $\varphi$  burchagini toping.

5.18.  $\vec{p}$  impulsga ega bo'lgan elektronlar tushayotgan fotonlar yo'nalishiga nisbatan qanday  $\varphi$  burchak ostida uchib ketishi mumkin?

5.19. Energiyasi  $\omega = 0,46 \text{ MeV}$  bo'lgan foton tinch turgan elektronda sochilganda  $\theta = 120^\circ$  burchakka burildi. Sochilgan foton energiyasi bilan elektronga uzatilgan energiyani hisoblang.

5.20. Impulsi  $r = 60 \text{ keV/s}$  (bunda  $s$  yorug'lik tezligi) ga teng bo'lgan foton tinch turgan erkin elektronda sochilib  $\theta = 120^\circ$  burchakka burildi va bog'lanish energiyasi  $E_{boh} = 20,0 \text{ keV}$  bo'lgan molibdenden elektron urib chiqardi. Fotoelektronlarning kinetik energiyasini hisoblang.

5.21.  $\lambda$  to'lqin uzunlikka ega bo'lgan rentgen nurlari bilan modda nurlantirilganda maksimal energiyasi  $0,44 \text{ MeV}$  Kompton elektronlarining chiqishi kuzatildi.  $\lambda$  ni toping.

5.22. Foton bilan relativistik elektronni to'qnashishi natijasida foton  $\theta = 60^\circ$  burchakka sochildi, elektron esa to'xtab qoldi. Sochilgan foton uchun to'lqin uzunlikning Kompton siljishini toping; agar tushayotgan foton energiyasi tinch turgan elektron energiyasini  $\eta = 1,0$  ulishini tashkil qilsa, to'qnashguncha bo'lgan elektronning kinetik energiyasini toping.

5.23. Norelativistik v tezlik bilan harakat qilayotgan uyg'ongan atom  $\theta$  burchak ostida foton chaqardi ( $\alpha$ 'zining dastlabki yo'nalishiga nisbatan). Saqlanish qonunlaridan foydalangan holda atomning tepkisi tufayli vujudga kelgan fotonning chastotasini nisbiy siljishini toping.

5.24. Fotonning tinch turgan elektronda  $\theta = 60^\circ$  sochilishi tufayli elektron  $K = 450 \text{ keV}$  energiya olgan bo'lsa, tushayotgan fotonning energiyasini toping.

5.25. To'lqin uzunligi  $0,024 \cdot 10^{-10} \text{ m}$  bo'lgan fotonlar yordamida antikatod bombardimon qilindi. Natijada  $60^\circ$  burchak ostida sochilgan fotonlar kuzatildi. Sochilgan fotonning to'lqin uzunligi va tepki elektronning sochilishi burchagini toping.

5.26. Fotonlarning elektronlardagi sochilishi nimasi bilan ularning protondagi sochilishi bilan farq qiladi?  $90^\circ$  burchakda to'lqin uzunligi  $\lambda = 0,002 \cdot 10^{-10} \text{ m}$  bo'lgan  $\gamma$  - nur proton va elektronda sochilganda to'lqin siljishini toping.

5.27. Energiya va impuls saqlanishi qonunlarini qo'llab harakatdagli atom chiqarayotgan foton chastotasi uchun relativistik formulani tuzing.

5.28. Massasi  $M$  ga teng bo'lgan dastlab tinch turgan atom energetik o'tishda  $\omega_0$  energiyali foton chiqaradi. Chiqarilgan fotonning chastotasini toping.  $\Delta\omega/\omega_0$  ni natriyning sariq chizig'i va gafniy izotop  $^{177}_{72}\text{Hf}$  ni  $113 \text{ keV}$  li  $\gamma$  chizig'i uchun hisoblang.

## **VI BOB**

### **Mavzu: SPEKTRIAL SERIYALAR VA ENERGETIK SATHLAR**

**Reja:**

- 6.1. Spektrlar va ularning turlari.
- 6.2. Modda, molekula, atom, yadro va elementar zarralar spektri haqida umumiy tushuncha.
- 6.3. Chiziqli spektrlarning eksperimental qonuniyatları.
- 6.4. Spektrial termlar. Ritsning kombinatsion prinsipi.
- 6.5. Sathlar chizmasi va o'tishlar.
- 6.6. Yadro fizikasida termlar chizmasi.
- 6.7. Tutash, yo'l-yo'l va chiziqli spektrni kvant mexanika niqtayi nazaridan tushuntirish.
- 6.8. Nurlanish qonuniyatlarini klassik tasavvurga zidligi.
- 6.9. Luminessensiya va qutb yog'yusisi – kvant hodisalar.

## **ADABIYOTLAR**

1. Э.В. Шпольский. «Атомная физика». I том. М., 1963 г.
2. Э.Вихмон. «Квантовая физика». М., 1968 г.
3. А.Н.Матвеев. «Атомная физика». М., 1989 г.
4. Д.И.Блохинцев. «Основы квантовой механики». М., 1961 г.
5. M.Bohr. Phil. Mag. 1913. v. 26, p. 1 (оригинал).
6. H.White. Introduction to Atomic Spectra, N.Y. 1934.

**Masalaning qo'yilishi.** Spektrial seriyalarni kashf etilishi va bu seriyalarni atomning ichki holatlari bilan bevosita bog'liq ekanligini aniglash kvant fizika fanini rivojlanishiga katta turtki bo'ldi. Rittsning kombinatsion prinsipi mohiyatini chuqur tushungan Nils Bor atomda diskret energetik holatlar mavjud degan fikrni berdi va spektrial seriyalarning paydo bo'lishi atomning ichki holatlarini o'zgarishiga bog'-liq ekanligiga olib keldi. Bu esa o'z navbatida Plank doimisi atom, yadro va molekula strukturalarida ham katta rol o'ynashini ko'rsatadi. Atom, yadro, molekula va hatto elementar zarralar strukturasi ham kvant xarakterga ega ekanligidan dalolat beradi. Kvantlanishni mikrosistemlar strukturasiga ham tegishli ekanligi Plank doimisi  $\hbar$  ni nihoyatda katta ma'noga ega ekanligiga va haqiqatan ham u qandaydir universal doimiy ekanligiga asos bo'ladi. Atomning ichki qonuniyatlarini boshqarayotgan kvant qonunlarining yorqin ifodasi Rittsning kombinatsion prinsipida yotibdi.

## **VI bob. SPEKTRIAL SERIYALAR VA ENERGETIK SATHLAR**

### **6.1. Spektr va energetik sathlar. Spektrlar va ularning turlari**

Klassik fizikaning eng og'ir muammolaridan ya'na biri bu atom nurlanishining spektrini tushuntirish edi. Mazkur bobda shu haqda gaplashamiz. Elektromagnit nurlanishining intensivligini chastota bo'yicha taqsimlanishiga spektr deyiladi.

Mendeleyev davriy sistemasidagi har bir kimyoiy elementning nurlanishi faqat o'ziga xos bo'lgan spektrga ega. Bu ajoyib xossa faqat atom spektrlari sohasi bilangina cheklanib qolmay, shu bilan bir qatorda molekula, yadro va hattoki, elementar zarralarga ham taalluqlidir. Mazkur barcha sodda sistemalar juda aniq chastotaga ega bo'lgan elektromagnit nurlanishlari chiqaradi yoki yutadi.

Molekulalar radiochastotalar sohasidan tortib to infraqizil nurlar chastotalar sohasigacha bo'lgan oraliqda ( $v = 3 \cdot 10^{11} \div 3 \cdot 10^{12}$  Gs) nurlanadi. Atomlarning nurlanishi infraqizil-ultrabinafsha sohasini ( $v = 3 \cdot 10^{12} \div 3 \cdot 10^{15}$  Gs) egallaydi. Yadrolarning nurlanishi elektromagnit spektrining rentgen va gamma nurlanishlar ( $v = 3 \cdot 10^{15} \div 3 \cdot 10^{16}$  Gs) sohasiga to'g'ri keladi. Elementar zarralar spektri esa yuksak energiyadagi gamma nurlar sohasini ( $3 \cdot 10^{15}$  Gs  $< v$ ) o'z ichiga oladi. Elektromagnit spektrining bu sohalariga to'g'ri kelgan nurlanishlarning eng asosiy xarakteristikalari shu bobning oxiridagi qo'shimcha jadvalda keltirilgan.

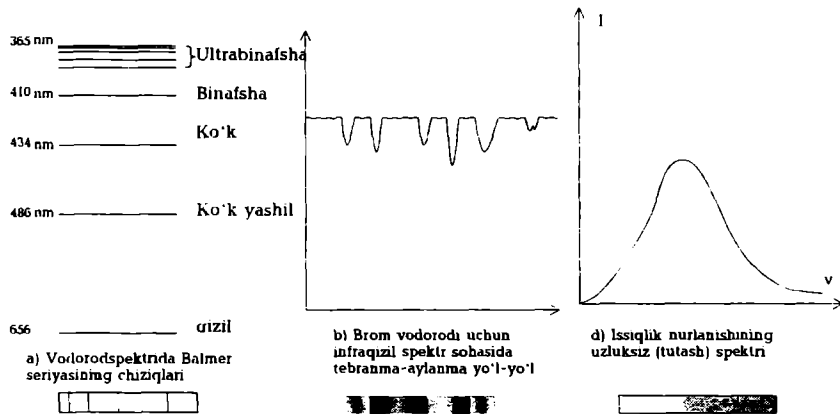
Elementlarning optik spektrlari XIX asrning o'talarida G.Kirkgof va R.Bunzen tomonidan kashf qilinadi, molekula va yadro spektrlari XX asrda kuzatildi. Elementar zarralarning spektri esa XX asrning oxirlarida kashf qilindi.

Tajribada kuzatilgan spektrlar atom, molekula, yadro va elementar zarralarda energetik sathlar mavjudligi bilan bog'liq holda tushuntiriladi. Spektrlarni o'rganishhar qanday murakkab sistemada faqat unga xarakterli bo'lgan energetik sathlar ketma-ketligi, statsionar energetik holatlar mavjud ekanligini aniqladi. Bu sathlarni o'zi esa juda ham sodda va kichik bo'lgan sistemalar-atom, yadro, molekula kabilarda kuzatildi. Haqiqatda esa bu sistemalarda diskret energetik sathlarning mavjudligi faqat kuzatilayotgan spektrlar orqali namoyon bo'ladi. Bu energetik sathlarni biz hech qachon ko'ra olmaymiz, ularni borligi haqidagi haqiqatni biz nurlanish spektri orqaligina bilamiz.

O'rganishlar, tekshirishlar shuni ko'rsatadiki, nurlanish spektrini uch turi mavjud: *chiziqli, yo'l-yo'l va tutash spektrlar*. Bu spektrlarni tabiat qanday? Nima sababdan ana shunday spektr turlari mavjud? Bu savollarga faqat kvant fizika tasavvuridagi qonunlar asosida javob berish mumkin. Quyida shu haqda to'xtalamiz.

## 6.2. Modda, molekula, atom, yadro va elementar zarralar spektri haqida umumiy tushuncha

XIX asr va XX asr davomida modda, molekula, atom, yadro va elementar zarralarning spektrlari eksperimental va nazariy jihatdan har tomonlama batafsil va juda chuqur o'rganildi. Eksperiment natijalari atom, yadro, elementar zarralarning spektri *chiziqli*, molekulalarning nurlanish spektri *yo'l-yo'l*, modda va zichligi katta bo'lgan jismalarning chiqarish spektri tutash xarakterga ega ekanligini ko'rsatdi. Spektrlarning bu turlari 6.1-rasmda keltirilgan.



6.1-rasm. Spektrning turlari.

XIX asrning ikkinchi yarmida turli atomlarning chiqarish (shuningdek, utilish) spektrlari haqida juda ko'p eksperimental ma'lumot to'plandi va barcha spektrlar chiziqlardan tashkil topganligi aniqlandi.

Siyrak gaz va metall bug'larining yakkalangan atomlari yoki ionlari guruh-guruh bo'lgan chiziqli spektrlar chiqaradi. Bunda atomning nurlanish spektri yakka-yakka chiziqlardan iborat bo'lib, bu chiziqlarning har biri aniq keskin chegaraga ega (6.1 a-rasm). Shu sababga ko'ra atomlarning spektri *chiziqli spektrlar* deb ataladi.

Har bir elementning faqat o'ziga xos bo'lgan chiziqli spektri mavjud bo'lib, uni shu elementni guvohnomasi (pasporti) deb atasa

bo'ladi. Odamlarning barmoq izlari bir-biriga o'xshaganligi kabi, bir elementning spektri ikkinchi elementning spektriga sira o'xshamaydi. Modda spektrini tahlil qilinishi esa, shu moddada mavjud bo'lgan bar-cha elementlarni sanab ko'rsatishga va ularning har birini miqdorini aniqlashga yordam beradi. Masalan, oydan keltirilgan toshning tarkibini spektrial tahlil orqali aniq aytish mumkin. Qizig'i shundaki, chiziqli spektralarni ko'rinishi atomni qanday usul bilan uyg'otishiga bog'liq emas. Atom kabi yadro va elementar zarralarning spektri ham chiziqli spektr ekanligi eksperimentlarda tasdiqlanadi. Chiziqli spektralarni nima sababdan vujudga kelishini kvant fizika nuqtayi nazaridan batafsil tushuntirib beriladi. Bu haqda keyinchalik to'xtalamiz. 6.1 a-rasmida vodorod atomi uchun Balmer seriyasi ko'rinishdagi chiziqli spektri tasvirlangan. Xuddi shunday spektrlar yadroga ham xosdir.

Molekulalarning nurlanish spektri keng yoyilgan, chegarasi uncha aniq bo'lмаган tasma (polosa)lardan iborat (6.1 b-rasm). Shu sababga ko'ra molekulalarning nurlanish spektrini yo'l-yo'l (*polosali*) spektrlar deyiladi. Yo'l-yo'l spektralarni paydo bo'lishi va tabiatini haqida ham keyinroq gaplashamiz.

Moddalarning yoki zichligi katta bo'lgan gazlarni chiqarish spektrlari esa *uzluksiz* chegarasi bo'lмаган spektr ko'rinishiga ega. Shuning uchun ham moddalarning chiqarish spektrini *tutash spektrlar* deb atashadi. Shunday spektr 6.1 v-rasmida qattiq jism nurlanishi misolida keltirilgan. Quyoshning nurlanishi spektri yoki lampaning volfram tolasini nurlanish tutash spektrdan iborat.

Spektralarni kelib chiqish tabiatini, chiziqli, yo'l-yo'l va tutash spektrlarning qonuniyatlari faqat kvant mexanika tasavvuri doirasida tu-shuntiriladi.

### **6.3. Chiziqli spektrlarning eksperimental qonuniyatları**

Kvant mexanika yaratilgunga qadar atomlarning nurlanish spektri haqida juda ko'p ma'lumotlar to'planib ko'p xossalari o'rganilgan edi. Yadro, molekula va elementar zarralarning spektrlari esa ancha keyin, ya'ni XX asrda ma'lum bo'ldi.

Atom spektrlarini juda diqqat bilan o'rganilishi tufayli, spektrni chiziqlardan tashkil topganligi va bu chiziqlarni ma'lum bir qonuniyatga bo'yungan holda guruqlar, ya'ni seriyalar hosil qilinishi aniqlandi. Birinchi bo'lib vodorod atomining spektri o'rganildi va uning ko'zga ko'rindigan barcha spektr chiziqlari ma'lum bir qonuniyatga bo'ysunishi aniqlandi. Masalan, vodorod atomining ko'zga ko'rindigan spektrini chiziqlarini Balmer tomonidan topilgan

$$\tilde{v} = R \left( \frac{1}{2^2} - \frac{1}{n^2} \right), \quad n = 3, 4, 5, \dots \quad (6.1)$$

empirik formula yordamida tushuntirish mumkin. Bunda  $\tilde{v}$  – to'lqin son,  $R$  – Ridberg doimisi.

(6.1) formulaga diqqat bilan qarang. Formuladagi  $n$ -sonni ortishi bilan ikkita bir-biriga yonma-yon qo'shni chiziqlarning to'lqin sonlari orasidagi masofa kamaya boradi va  $n \rightarrow \infty$  da qo'shni chiziqlar tutashib ketadi va

$$\tilde{v} = \frac{R}{4} \quad (6.2)$$

qiymatga ega bo'ladi.

$\overbrace{\hspace{1cm}}$	$n=\infty$
$\overbrace{\hspace{1cm}}$	$n=3$
$\overbrace{\hspace{1cm}}$	$n=2$
$\overbrace{\hspace{1cm}}$	$n=1$

6.2-rasm.

Pirovardida 6.2-rasmda ko'rsatilgan kabi, chiziqlar bir-biriga yaqinlashib chegaraviy qiymatga yetadi. Kuzatishlardan ya'na shu ma'lumki,  $n$ -ni ortishi bilan spektrning intensivligi ham qonuniy ravishda kamaya boradi.

Spektrial chiziqlarning bunday to'plamiga (guruhibiga) *spektrial seriyalar* deb ataladi.  $n \rightarrow \infty$  da chiziqlarning tutashishiga ega bo'lgan chiziqqa to'g'ri kelgan to'lqin son qiymatini *seriyaning chegarasi* deb ataladi. Masalan, 1-jadvalda Balmer seriyasi uchun chegara  $1/\tilde{v} = 3645,6\text{\AA}$  ga teng ekanligi keltirilgan.

1920-yilda Quyosh nurlanish spektriga to'g'ri kelgan 22 ta spektr chizig'ini Vud fotosuratga oldi va undan 20 ta hadi Balmer seriyasiga taalluqli ekanligi aniqlandi. Quyosh xromosferasi va protuberants spektr chizig'ida 37 had borligi hozirgi paytda aniqlangan. Vodorod atomining spektrida Balmer seriyalari bilan bir qatorda xuddi (6.1) formulaga o'xshash bo'lgan formulalar bilan aniqlanadigan boshqa seriyalar ham kuzatilgan. Ultrabinafsa spektrini chekka qismida Layman o'zining spektrial seriyasini (6.1-jadvaliga qarang) va spektrining infraqizil sohasida ya'na uchta seriya Paschen, Breket va Pfunda seriyalari kashf qilindi. Hammasi bo'lib vodorod atomi uchun beshta spektrial seriya ochilgan bo'lib, ular 6.1-jadvalda keltirilgan.

6.1-jadvaldan ko'rinishda turibdiki, barcha seriyalarni bitta umumiy formula ko'rinishida yozish mumkin, ya'ni

$$\tilde{v} = \frac{1}{\lambda} = R \left( \frac{1}{m^2} - \frac{1}{n^2} \right) \quad (6.3)$$

bunda  $m$  – har bir berilgan spektrial seriya uchun doimiy qiymatga ega ya'ni  $m = 1, 2, 3, 4, 5, \dots$ ,  $n$  esa butun son bo'lib har bir seriya

uchun  $m$  dan faqat bittaga katta. (6.3) formulaga *Balmerning umumlashgan formulası* deyiladi. Bunda  $R = 1,0973731 \cdot 10^7 m^{-1}$  – Ridberg doimisi.

6.1-jadval

Seriya	Spektr sohasi	Seriyalar formulası	Seriya chegarası
Layman seriyasi(1906)	Ultrabinafsha	$\frac{1}{\lambda} = R \left( \frac{1}{1^2} - \frac{1}{n^2} \right)$ $n = 2, 3, 4, \dots$	$911,27 \text{ } \overset{\circ}{A}$
Balmer seriyasi (1885)	Ko'zga ko'rindig'an nurlar	$\frac{1}{\lambda} = R \left( \frac{1}{2^2} - \frac{1}{n^2} \right)$ $n = 3, 4, 5, \dots$	$3645,6 \text{ } \overset{\circ}{A}$
Pashen seriyasi (1908)	Infracizil	$\frac{1}{\lambda} = R \left( \frac{1}{3^2} - \frac{1}{n^2} \right)$ $n = 4, 5, 6, \dots$	$8201,4 \text{ } \overset{\circ}{A}$
Breket seriyasi (1922)	Infracizil	$\frac{1}{\lambda} = R \left( \frac{1}{4^2} - \frac{1}{n^2} \right)$ $n = 5, 6, 7, \dots$	$14580 \text{ } \overset{\circ}{A}$
Pfund seriyasi (1924)	Infracizil	$\frac{1}{\lambda} = R \left( \frac{1}{5^2} - \frac{1}{n^2} \right)$ $n = 6, 7, 8, \dots$	$22782 \text{ } \overset{\circ}{A}$

## 6.2. Spektrial termlar. Rittsning kombinatsion prinsipi

6.1-jadvalda keltirilgan formulalarни bir-biriga taqqoslab shunga amin bo'lamizki, masalan, Pashen seriyasidagi  $\frac{R}{3^2}$  doimiy had Balmer seriyasidagi o'zgaruvchan hadning birinchi hadidir, Layman seriyasining o'zgaruvchan hadining esa ikkinchi hadidir. O'z navbatida Balmer seriyasining  $\frac{R}{2^2}$  doimiy hadi Layman seriyasidagi o'zgaruv-

chan hadning birinchisiga to'g'ri keladi. Bu fakt ayniqsa Balmerning umumlashgan formulası (6.3) da yanada yaqqol namoyon bo'ladi: vodorod spektridagi istalgan spektrial chizig'ini to'lqin sonini  $\frac{R}{m^2}$  ko'rinishdagi ikkita hadning ayirmasi sifatida yozish mumkin ( $m$  ni

ikkita butun qiymati uchun). Rittsning kombinatsion prinsipining hozirgi zamon ta'rifining ma'nosi ana shunda yotadi.

$$T(m) = \frac{R}{m^2}, \quad T(n) = \frac{R}{n^2} \quad (6.4)$$

belgilashlar kiritaylik. Bu holda spektrial chiziqlar to'lqin sonining (6.3) formulasini

$$\tilde{V} = T(m) - T(n) \quad (6.5)$$

ko'rinishda yozish mumkin.  $T(m)$  va  $T(n)$  sonlarga spektrial termlar yoki oddiy qilib *termlar* deb atashadi. Har bir chiziqning to'lqin soni ikkita term ayirmasiga teng. Har bir atom termlarning ma'lum to'plami bilan xarakterlanadi. Jumladan, berilgan seriya uchun termlar to'plami bitta o'zgarmas va boshqa bittasi o'zgaruvchan termlardan iborat bo'ladi. Termlarning o'lchov birligi  $\frac{1}{sm}$ . Shunday qilib barcha nurlanayotgan chastotalar (6.5) ko'rinishdagi spektrial termlarning kombinatsiyadan iborat deb qarash mumkin.

Shunday qilib Rittsning kombinatsion prinsipiiga ko'ra uchta term bilan bog'langan uchta spektrial chiziqni quyidagicha kombinatsiyada yozish mumkin:

$$\tilde{V}_{12} = T_1 - T_2, \quad \tilde{V}_{13} = T_1 - T_3 \text{ ea } \tilde{V}_{23} = T_2 - T_3 \quad (6.6)$$

bu holda

$$\tilde{V}_{23} = (T_1 - T_3) - (T_1 - T_2) = \tilde{V}_{13} - \tilde{V}_{12} \quad (6.7)$$

Murakkab atomlarning spektrlarini o'rganish shuni ko'rsatadiki, bu holda ham chiziqlarning nurlanish chastotasini ikkita spektrial termning ayirmasi shaklida yozish mumkin, biroq term formulasini  $T(n) = \frac{R}{n^2}$  ga nisbatan murakkabroq bo'ladi. Masalan, ishqoriy metal-larning termlari uchun

$$T(n) = \frac{R_1}{(n + \alpha)^2} \quad (6.8)$$

ni yozish mumkin. Bunda  $\alpha$  va  $R_1$ -doimiy sonlardir.

Shunday qilib atomning barcha nurlanish spektri chiziqlarini shu atomning ikkita spektrial termning ayirmasi ko'rinishida tasavvur qilish mumkin. Biroq barcha spektrial termlarining kombinatsiyasi ham atomning real spektr chiziqlariga mos bo'lavermaydi. Termlarning ayrim kombinatsiyasi man etilgandir. Termlarning qanday kombinatsiyasi mumkin va qanday kombinatsiyalari mumkin emasligini xarakterlovchi qoida *tanchash qoidasi* deyiladi. Dastlab tanlash qoidalari 'empirik topildi so'ng esa nazariy jihatdan tushuntiriladi.

#### 6.4. Spektrial chiziqlar va atomning energetik sathlari

Hozirgi zamondan nuqtayi nazaridan qaraganda spektrial termlar atomlarning energetik sathlariga mos keladi va termlar sistemasi energetik sathlar to'plamiga to'g'ri keladi. Energetik sathlar to'plami har bir atomning o'ziga xosdir. Bu g'oya Nils Borga mansub bo'lib, uni u birinchi bo'lib vodorod atomi uchun qilgan ishlarida aytgan. Chastotasi  $V$  va to'lqin soni  $\tilde{V} = \frac{V}{c}$  bo'lgan yorug'lik kvanti yoki foton

$E = hV = hc\tilde{V}$  energiyaga ega. Bu energiyani ikkita energiyani ayirmasi ko'rinishida yozish mumkin:

$$E^1 = (hc)T^1 \text{ sa } E^{11} = (hc)T^{11} \quad (6.9)$$

Bunda to'lqin son ikkita  $T^1$  va  $T^{11}$  termlar farqi ekanligi hisobga olingan. Shunday qilib termlarni energiya, to'lqin son yoki chastota orqali ifodalash mumkin, chunki bu kattaliklar bir-biri bilan  $h$  va  $c$  doimiyatlari yordamida o'zaro chiziqli bog'langan. Shu sababga ko'ra ham spektrial termlar jadvalini energetik sathlarning jadvali ham deb hisoblash mumkin. Ifodalashning bu uslubi termlarni oddiy kombinatsiyasigina bo'lmay, balki chuqur fizik ma'noga egadir.

Demak, atomning ichki harakatini boshqarayotgan kvant qonunlarini qandaydir yorqin ifodasi Rittsni kombinatsion prinsipida yotibdi.

Yuqoridaagi fikrlarga asoslanib yorug'lik kvanti (fotonning) energiyasini va fotonning to'lqin sonini

$$hc\tilde{V} = E_n - E_m, \quad \tilde{V} = \frac{E_n}{hc} - \frac{E_m}{hc} \quad (6.10)$$

ko'rinishda yozamiz.

Agar  $T(n) = -\frac{E_n}{hc}$  bo'lsa, u holda  $\tilde{V} = T(m) - T(n)$  bo'ladi.

Bu yerdagi minus ishora shartli ma'noga ega, biz bilamizki elektron atomda bog'langan holda bo'lganda, uning potensial energiyasi doimo manfiy. Termlar uchun esa musbat ishora qulaydir. (6.10) ifodani Ridberg doimiysi orqali yozsak, u holda atomning energiyasini ham

$$E_n = -\frac{Rhc}{n^2} \quad (6.11)$$

shaklda yozish mumkin bo'ladi.

(6.11) formulada  $h$  va  $c$  fundamental doimiyliklar,  $n$  – butun son.  $R$  – empirik doimiylik. (6.11) formula to'la fizik ma'noga ega bo'lishi uchun  $R$  sonini ham universal doimiyliklar yordamida ifodalash lozimdir.

## 6.5. Sathlar chizmasi va o'tishlar

Atom (molekula, yadro, elementar zarra) ning tajribada kuzatilgan barcha spektr chiziqlarini tushuntirish uchun odatda termlar sistemasi yoki energetik sathlar chiziladi (yasaladi). Energetik sathlarning har biriga mos ravishda  $E_0, E_1, E_2, \dots$  kabi qiymatlar qo'yiladi. Termlar sistemasidagi har ikkita energetik sath oraliq'iga to'g'ri kelgan o'tishga javob beruvchi spektr chizig'i ko'rsatiladi.

Sathlar sistemasi ko'pincha grafikda termlar chizmasi ko'rinishida tasvirlanadi. Shunday sathlar sistemasiidan biri, misol tariqasida 6.3-rasmda ko'rsatilgan.

Beshta energetik sath va ular orasidagi o'tishlar tasvirlangan. Mumkin bo'lgan o'tishlar chastotasi quyidagilardan iborat:

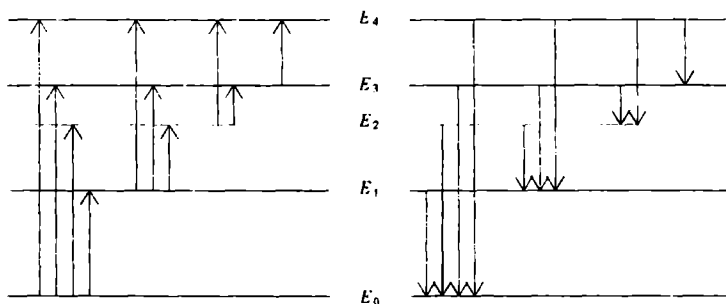
$$\nu_{40} = \frac{E_4 - E_0}{h}, \quad \nu_{41} = \frac{E_4 - E_1}{h},$$

$$\nu_{30} = \frac{E_3 - E_0}{h}, \quad \nu_{31} = \frac{E_3 - E_1}{h}$$

$$\nu_{20} = \frac{E_2 - E_0}{h}, \quad \nu_{21} = \frac{E_2 - E_1}{h},$$

$$\nu_{10} = \frac{E_1 - E_0}{h}, \quad \nu_{42} = \frac{E_4 - E_2}{h},$$

$$\nu_{32} = \frac{E_3 - E_2}{h}, \quad \nu_{43} = \frac{E_4 - E_3}{h}$$



6.3-rasm. Sathlar chizmasi.

Energiya sistemasidagi beshta sath 6.3-rasmda gorizontal chiziqlar bilan ko'rsatilgan. Turli sathlarni tutashtiruvchi vertikal chiziqlar, mumkin bo'lgan o'tishlarni xarakterlaydi. O'tishning yo'nalishi (yutish va chiqarish) 6-rasmda yo'nalish belgisi bilan ko'rsatilgan. O'nta

o'tishning chastotalari rasm uchun yozuvda keltirilgan. Odatda, sathlar orasidagi masofa chiziqli masshtabda olinadi va bu holda o'tishlar chastotasi mos keluvchi energetik sathlarni tutashtiruvchi vertikal chiziqning uzunligiga proporsional bo'ladi. Rasmdan ko'rinib turibdiki, uncha ko'p bo'lmasagan energetik sathlar soniga nisbatan o'tishlar soni ancha ko'p bo'ladi. Haqiqatan ham  $n$  ta sathdan ikki juft sathlar hosil qilish soni  $n(n - 1)/2$  ga teng. Bir narsani eslatib o'tishimiz kerakki, tajribada har doyim ham ikki juft energetik sathga to'g'ri keluvchi spektrial chiziqlni ko'rish mumkin bo'lmasligi ham mumkin. Shu jihatdan qaraganda 6.1-rasm noto'g'ri chizilgan.

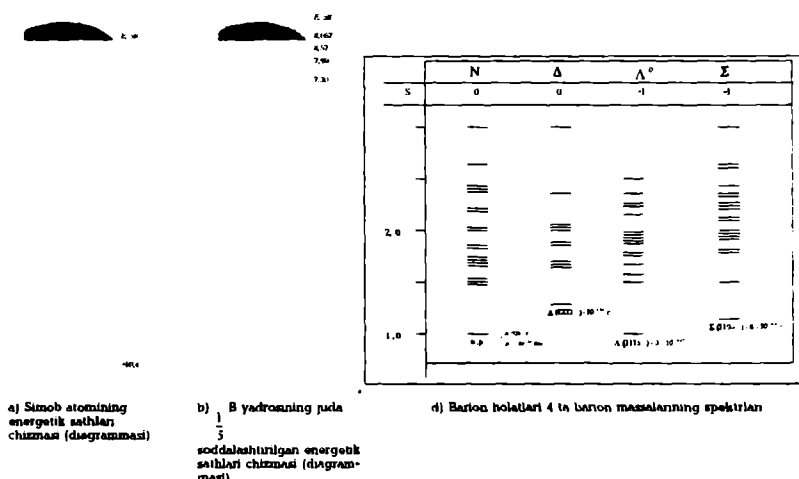
Sathlar sistemasini yaratilishi biz uchun juda tartibsiz bo'lib ko'ringan spektrlarni tartibga keltirish imkonini berdi.

6.3-rasmga qaytaylik. Faraz qilaylik, bu rasmda atom sathlarini chizmasi (diagrammasi) tasvirlangan bo'sin. Mazkur holda sathlar orasidagi masofa elektron-volt (eV) tartibidagi energiya birligi bilan xarakterlanadi. Agarda 6.3-rasmdagi sathlar chizmasi yadroning energetik sathlari bo'lsa, u holda sathlar orasidagi masofa mega elektron-volt ( $MeV$ ) bilan xarakterlanadi. Shuningdek, 6.3-rasmdagi diagramma elementar zarra sathlarini xarakterlasa, u holda sathlar orasidagi masofa gegaelektron-volt ( $GeV$ ) bilan belgilanadi. 6.4-rasmda atom, yadro va elementar zarralar uchun misol tariqasida energetik sathlar diagrammasi keltirilgan. Simob atomining spektri 6.4 a-rasmda,  ${}^{11}_5 B$ -yadrosining energetik sathlari, 6.4-b rasmda va barionlarning massa spektri. 6.4-v rasmda tasvirlangan. Ko'rib turibsizki, eksperimentda olingan spektrlar mazkur obyektlar uchun chiziqli spektrdir. 6.4 v-rasmdan proton (nuklon) spektrini protonni uchta kvarkdan tashkil topgan degan fikrni chizmada juda yaxshi tushuntirish mumkin.

Endi faraz qilaylik, biz atomning yutilish spektrini o'rganayotgan bo'laylik. Yorug'lik manbayi sifatida uzlusiz spektrial taqsimlanish tasavvuridan foydalanaylik. Bu holda monoatomli gaz qatlamidan yorug'lik o'tishi tufayli, spektrial chiziqlar paydo bo'ladi. Agar gaz yetarli darajada sovuq bo'lsa (masalan, xona haroratida), u holda 6.3-rasmdagi  $V_{30}$ ,  $V_{21}$  va  $V_{10}$  spektrial chiziqlarni ko'rish mumkin, qolganlari esa ko'rinmaydi. Bu xolni tushuntirish juda oson: gazning deyarli juda ko'p molekulalari asosiy holatda va biz faqat asosiy holatdan yuqoriq energetik holatlariga o'ta oladigan o'tishlarga to'g'ri kelgan chiziqlarni ko'ramiz. Temperatura oshganda uyg'ongan holatlarni ko'rish ehtimoli ham oshadi. Agar gaz  $T$ -temperaturada bo'lsa,  $n$ -uyg'ongan holatdagi atomlar sonini asosiy holat atomlar soniga nisbati

$$\frac{N_n}{N_0} = \exp\left[-\frac{E_n - E_0}{kT}\right]$$

ko'rinishda bo'ladi.



6.4-rasm. Atom, yadro va elementar zarralar energetik satqlar diagrammasi.

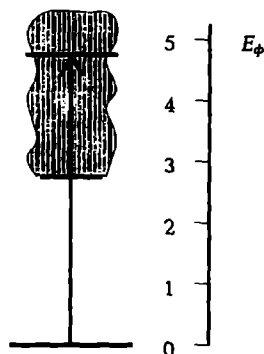
$$Xona temperaturasida kT = \frac{1}{40} eV \text{ va bu munosabat juda ham kichik.}$$

Shu sababli sovuq gaz nur chiqarmaydi. Nur chiqarish uchun biror yo'l bilan uning atomlarini uyg'otish kerak bo'ladi. Tashqi ta'sir orqali, masalan, elektr razryadi ta'sirida atomni uyg'otsak, u holda atomlar gazning chiqarish spektrida term chizmasida ko'rsatilgan barcha spektral chiziqlarni kuzatish mumkin bo'ladi. 6.3-rasmda ko'rsatilgan sathlar chizmasi yordamida fluoresensiya hodisasini tushunish mumkin. Asosiy holatda turgan atom  $E_4 - E_0$  energiyaga ega bo'lgan fotonni yutib  $E_4$  energiyali sathga o'tadi. Bu sathdan energiyasi kichik bo'lgan barcha sathlarga o'tish mumkin, nati-jada, 6.3-rasmda keltirilgan chastotadagi fotonlarning kuzatish imkoniyati tug'iladi. Bu hodisani Stoks qoidasi tushuntiradi: yorug'lik fluoresensiysi jarayonida hosil bo'lgan nur chastotasi uyg'ongan yorug'likning chastotasidan katta bo'la olmaydi.

## 6.6. Yadro fizikasida termlar chizmasi

Yadro fizikasidagi termlar chizmasiga yana bitta misol, ya'ni deytron chizmasini olaylik (6.5-rasm). Deytronning uyg'ongan holati yo'q. Uning bog'lanish energiyasi  $E_b = -2,23 \text{ MeV}$   $E_{bog}$  energiyasidan yu-

qorida energiyaning uzlusiz spektri boshlanadi.  $E_{bog}$  dan katta enerjyalarda deytron endi deytron emas, balki proton va neytronidan tashkil topgan sistemadir, bu sistemada proton va neytron bir-biridan ajralgan.



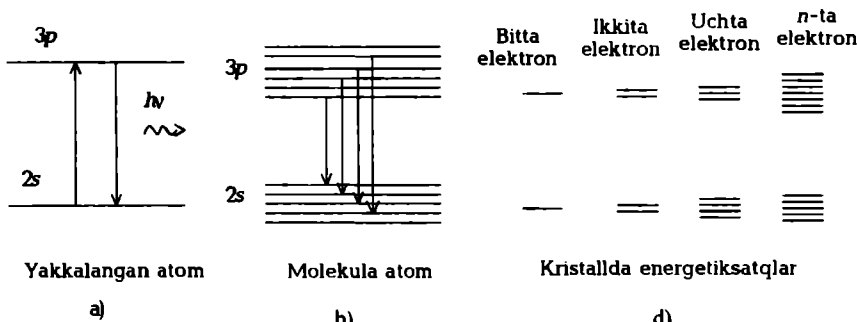
**6.5-rasm.** Proton va neytron sistemasining energetik sathlari, yo'nalishli vertikal chiziq deytronning fotoparchalanishini xarakterlaydi.

Rasmdagagi vertikal chiziq deytronning fotoparchalanishni tasvirlaydi.  $E_\phi > E_{bog}$  bo'lган foton deytronni dissotsiyalaydi ya'ni parchalaydi, natijada, proton va neytronning umumiyligi energiyasi  $E_t - E_{bog}$  teng bo'ladi. Bu jarayon eksperimental yaxshi o'rganilgan. Keyingi ma'rularda ham atom va yadroni energetik sathlari haqida to'xtalamiz.

### **6.7. Tutash, yo'l-yo'l va chiziqli spektrlarni kvant mexanika nuqtayi nazaridan tushuntirish**

Yuqorida aytdikki atomning nurlanish spektri yakkalangan atomlarning energetik sathlariga bog'liq. Bu sathlar bir-biridan yetarlicha uzoqda joylashgan bo'lib, bu sathlar orasida o'tishlar ro'y berganda atom chiziqli spektr chiqaradi (6.6 a-rasm). Energetik sathlar va ular orasidagi o'tish jarayonlari fizikasini keyingi bobda Bor postulatlariga tayangan holda alohida ko'ramiz. Kvant mexanikada atom holatining bir energetik sathi  $E$ , dan nisbatan ikkinchi energetik sath  $E_f$  ga o'tishda chiqaradigan nurlanish chastotasi  $\nu = (E_t - E_f)/\hbar$  ga teng degan Bor postulatidan foydalaniladi. Asosiy holatdagi atomda elektronlar eng past energetik sathni egallagan bo'ladi. Atomning uyg'o-

tilgan holatida esa bitta yoki bir necha elektron nisbatan yuqori energetik sathda bo'ladi va shuning uchun undan past sathlar shuncha elektronlarga to'ldirilmagan bo'ladi. Elektronlarning past sathlarga qaytib o'tishi nurlanish chiqarish bilan yuz beradi.



6.6-rasm.

Kvant mexanikasida yorug'lik «sekin-asta» nurlanishi mumkin emas.

Nurlanish to'la holda bir zumda yuz beradi. Boshlang'ich va so'nggi kvant holatlari o'rtaida hech qanday oraliq holatga o'rin yo'q. Shu sababdan ham uning nurlanish spektri chiziqli bo'ladi.

Molekulaning nurlanish spektri butunlay boshqacha ko'rinishiga ega. Molekula tashkil topganda atomlarning tashqi elektronlarini energetik sathlari o'zgarib ketadi, chunki molekulada atomlar bir-biri bilan o'zaro ta'sirda bo'ladi. Bundan tashqari, qo'shimcha energetik sathlar paydo bo'ladi. Bunga sabab birinchidan atomlarni bir-biriga nisbatan tebranishi bo'lsa, ikkinchi sabab molekulani yaxlit formada aylanishidir. Tebranish va aylanish harakatining energetik sathlari kvantlangan. Biroq bu energetik sathlar orasidagi masofa juda yaqin, ayniqsa aylanish sathlari orasidagi masofa juda kichik,  $\sim 10^{-3}$  eV. Nati-jada, atomning har bir sathi tebranish va aylanish xarakterlariga mos keluvchi bir qancha sathlarga parchalanadi (6.6 b-rasm). Shunday qilib molekulaning energetik sathini uch turga ajratish mumkin: elektronlar energetik sathlariga, tebranish va aylanish energetik sathlariga.

Bir-biriga juda yaqin joylashgan bunday energetik sathlar orasida o'tishlar jarayoni bo'lganda bir-biriga juda yaqin bo'lgan juda ko'p spektrial chiziqlar hosil bo'ladi. Haqiqatda bu chiziqlarni bir-biridan ajratish qiyin, shuning uchun ham yo'l-yo'l spektrlar deyiladi. Har bir molekula faqat o'ziga xos bo'lgan ana shunday spektrga ega. Agar modda kattik (yoki suyuq) holatda yotgan bo'lsa u holda, ularni tashqi elektronlari yoki molekulalari bir-birlarini qoplaydilar. Ularni energetik sathlari o'zgaradi va o'zaro ta'sir tufayli yoyilib, energetik zona-

lar hosil qiladi (6.6 d-rasm). Qattiq jismlarda atomlar soni juda ko'p, shu sababli zonalarda joylashgan chiziqlar ham juda zich va deyarli uzlusiz. Bu esa ularni spektri tutash ekanligi aniqlandi. Kristall zonalarda ushbu sathlar orasidagi masofa juda kichik. Masalan, zona kengligi eV masshtabida 1 eV ga teng desak zona sathlari orasidagi masofa taxminan  $10^{-N}$  eV ga teng bo'ladi. Chunki 1 moldagi atomlar soni  $N=6 \cdot 10^{23}$  ta desak, u holda sathlar orasidagi masofa  $\sim 10^{-23}$  ga teng.

## **6.8 Nurlanish qonuniyatlarini klassik tasavvurga zidligi**

Klassik nazariya nuqtayi nazariya asosida moddiy jismlarning barqarorligini tushutirish mumkin emas. Juda ko'p qilingan eksperimentlardan yaxshi bilamizki, barcha jismlar musbat va manfiy zaryadlardan tashkil topgan. Musbat va manfiy zaryadlar chekli hajmga ega bo'lgan atom ichiga joylangan. Irmshou teoremasiga binoan atom barqaror bo'lishi uchun ushbu musbat va manfiy zaryadlar dinamik muvozanatda bo'lishi darkor. Zaryadlar chekli hajmda joylashganliklari sababli ular tezlanishli harakatda bo'ladilar. Klassik elektrodinamika nazariyasiga ko'ra tezlanishli harakatda bo'lgan zaryad o'zidan elektromagnit nur chiqarishi kerak. O'z navbatida elektromagnit nur energiyani bir qismini o'zi bilan olib ketadi, natijada, atomlar uzlusiz ravishda o'z energiyasini yo'qotadilar va bu atomni bir zumda parchalanib ketishiga olib keladi. Bundan chiqadiki, atomning statsionar holati bo'lishi mumkin emas va pirovardida barqaror jismlar ham bo'lmasligi kerak. Siz yaxshi bilasizki jismlar barqaror. Ular mavjud va yuqoridagi nuqtayi nazar eksperiment natijalariga zid.

Bir daqiqa yuqoridagi ziddiyatdan ko'z yumaylik-da va atomni nurlash uchun ketgan energiyasi qanday-dir yo'l bilan kompensatsiya bo'лади deb faraz qilaylik. Hatto shunday faraz qilganda ham klassik fizika pozitsiyasida turib chiziqli spektrlarni qonuniyatlarini tushuntirishni iloji yo'q. Yuqorida aytganimizdek, klassik nazariyaga ko'ra nurlanish – tezlangan zaryadning mahsuli. Agar ushbu jarayonni davriy deb qaraydigan bo'lsak u holda nurlanish chastotalarini aniqlash uchun zaryadlar harakatini Fure qatoriga yoyish kerak. Zaryadlar harakati Fure qatori bilan tasvirlanganda asosiy chastota bilan bir qatorda unga karrali bo'lgan chastotadagi obertonlar hosil bo'ladi. Bundan chiqadiki, seriya bir-biridan bir xil masofada bo'lgan ana shu chastotali chiziqlar to'plamidan tashkil topgan bo'lishi kerak. Afsuski, eksperimentda bir-biridan bir xil masofada yotgan spektr chiziqlaridan iborat to'plam kuzatilmaydi. Endi, qaralayotgan seriyaning har xil chiziqlarini turli asosiy chastotalarga tegishli deb taxmin qilaylik. Bu holda barcha seriyalarning asosiy chastotalaridan chiziqlar qatorini tuzish mumkin. Bu chiziqlar ham bir-biridan bir xil masofada yotishi kerak. Qizig'i shundaki, bunday chiziqlardan tuzilgan qator ham

eksperimentda kuzatilmaydi. Xususan, chiziqlarning quyuqlanishini tushuntirish mumkin emas. Masalan, Layman seriyasida n ni kattalashirganimizda spektr chastotasi chegaraviy chastotaga yaqinlashadi:

$$\omega_{\text{a},1} = R \cdot qo'shi chiziqlar orasidagi masofa far qi ham kamayadi.$$

Klassik nazariya nurlanish chastotasini ushbu i ham tushuntirib beraolmaydi.

Shunday qilib, atomlarning nurlanishini eksperimental qonuniyatlar nurlanishning klassik nazariyasiga tamomila zid. Nurlanish spektrini to'g'ri tushuntirish uchun yangi tushuncha va yangi tasavvur ega bo'lgan yangi nazariya yaratilishiga zaruriyat tug'ildi. Rittsning kombinatsion prinsipi zaminida Borning kvant modeli yuzaga keldiki, ular orqali atom ichida bo'layotgan jarayonlarni boshqarayotgan qonunlar kashf qilindi. Rittsning kombinatsion prinsipi va Borning kvant nazariysi zaminida kvant asrining darvozasi ochildi.

### 6.9. Luminestsensiya va qutb yog'dusi - kvant hodisalar

Nokogerent sochilishga misol tariqasida, energetik sathlar va elektron o'tishlarni yaxshi tushunish maqsadida luminestsensiya hodisasini ko'rish mumkin.

Nima uchun turli jismlar va muhitlar nur chiqaradi? Bunga sabablar ko'p. Birinchidan, yorug'likni jism yoki muhitda qaytishi va sochilishi tufayli ushbu jism va muhit yorug'likni aks ettirib turishi mumkin. Masalan, oy yoki kunduzgi osmon. Ikkinchidan, yuqori temperatura larda jism yoki muhit o'zidan nur chiqarishi mumkin. Masalan. Quyosh, elektr lampochkasining qizdirilgan tolasi, gulxan alangasi va hokazo. Uchinchidan, qizdirish bilan bog'liq bo'lмагan holda jism yoki muhit o'zidan «sovuv nur» chiqarishi mumkin. Jism yoki muhitni «sovuv nur» chiqarishiga *luminestsensiya* deyiladi. Kunduzgi yorug'lik manbayi yordamida televizorni nurlayotgan ekraniga qaraganimizda dengizning shu'lalanishi luminestsensiyaga misol bo'lishi mumkin. Qutb yog'dusi ham luminestsensiya hodi-sasidir.

Luminestsensiya nurlanishi bilan issiqlik nurlanishining tabiatи bir xil – ikkalasi ham bir xil elektromagnit tabiatga ega. Lekin luminestsensiya nurlanish issiqlik nurlanishidan keskin farq qiladi. Issiqlik nurlanishi muvozanatlari nurlanish bo'lsa luminestsensiya nurlanishi nomuvozanatlari nurlanishdir. Luminestsensiya bo'lishi uchun jism (muhit) dastlab vaqt davomida energiya yig'ishi kerak bo'ladi. G'amlangan ushbu energiyani *uyg'onish energiyasi* deyiladi. So'ng bu energiyani jism (muhit) qayta nurlaydi, ya'ni luminestsensiya nuri vujudga keladi. Luminestsensiyanuvchi moddaning atom yoki molekulasi xuddi issiqlik manbayining nurlanishiga o'xshab, tashqaridan olgan energiyani o'zida yutib uyg'ongan energetik holatlariga o'tadi. Biroq, ushbu yutilgan energiya molekulalarning faqat bir qismini uyg'otadi va yutil-

gan energiya boshqa molekulalarga uzatilmaydi. Shu sababdan ham bu hodisa muvozanatlari issiqlik nurlanishidan farq qilib *nomuvozanatli nurlanish* deb ataladi. Uyg'ongan jism (muhit) shu zahotiyoy  $10^{-8}$  –  $10^{-6}$  vaqt ichida nurlashi mumkin. Jismning energetik uyg'onishi bilan nurlashi bir vaqt ichida ro'y bersa, bunday nurlanishni *fluorestensiya* deyiladi. Luminestsensiya uyg'onish energiyasiga tashqi energiya berishdan to'xtalgandan so'ng ham davom etsa *fosforestsensiya* deyiladi. Televizor ekranida biz florestsensiya, soat tsiferblatini nurlashi yoki yo'l ko'rsatkichlarini nurlashi fosforestsensiyaga misol bo'la oladi. Qutb yog'dusining luminestsensiyasi ham florestsensiyasidir. Luminestsensiyani turli yo'llar bilan hosil qilish mumkin. Ulardan ayrimlarini ko'ramiz: fotoluminestsensiya (yorug'lik ta'sirida modda zarralarini uyg'otilishi), xemiluminestsensiya (ayrim kimyoviy reaktsiyalarini energetik uyg'otish hisobiga), elektroluminestsensiya (gazlarda elektr maydon ta'sirida elektr razryadini hosil bo'lishi hisobiga), katodoluminestsensiya (luminestsensiyaga moyil moddani elektron dasta yordamida bombardimon qilishdagi energiya hisobiga). Masalan, televizor trubkasidagi luminestsensiya katoddan chiqayotgan elektronlar dastasi yordamida ekranga surtilgan modda zarralarini uyg'otishi tufayli yuz beradi. qutb yog'dusi luminestsensiyasi ham katodoluminestsensiyaga misol bo'ladi. Ushbu luminestsensiya bizni atmosferamizga kirib kehayotgan elektron oqimi tufayli yuzaga keladi, chunki bizning atmosferamiz atom, molekula va ionlardan tashkil topgan bo'lib, bu holda ular ekran vazifasini bajaradi.

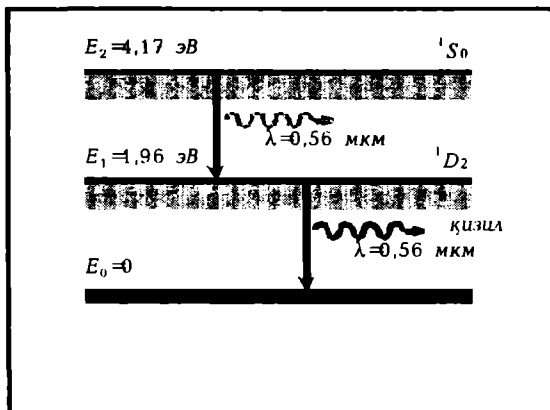
Luminestsensiyalaruvchi modda ham biror temperaturaga ega. U ham atrofdagi moddalar kabi issiqlik ham nurlaydi. Luminestsensiya – jismning issiqlik nurlanishi tepasidagi ortiqcha nurlanishdir. Luminestsensiya nurlanishi to'xtaganda faqat issiqlik nurlanishi qoladi. Luminestsensiya hodisasi uyg'ongan holatdan asosiy holatga o'tish jarayonida yuz beradi va bu paytda u qo'shni molekulalardan energiya olmaydi. Luminestsensiya to'xtagandan so'ng sistema muvozanat holatga o'tadi va shu temperaturaga mos issiqlik nurlanishi vujudga keladi.

Luminestsensiya hodisasi – kvant hodisa. Luminestsensiya o'zining davomiyligi bilan boshqa optik hodisalardan farq qiladi. Luminestsensiya lotincha lumen (limints – yorug'lik) so'zidan olingan bo'lib, yorug'likni xarakterlaydi.

Luminestsensiya fizikasi kvant fizika yaratilishi tufayli tushunarli bo'ladi. Tashqi energiya ta'sirida luminestsensiyalaruvchi moddalarning uyg'ongan mikrozarralar (atom, ion, molekula) energiya kvantlanadi va aniq bir diskret qiymatlarga ega bo'ladi. Mikrozarralarning turiga qarab ushbu energiyalarni qiymatlari ham turlicha bo'ladi. Mikrozarralar energiyasi eng kichik bo'lgandagi sathni *asosisy sath* deyiladi. Uyg'onish energiyasi esa mikrozarralarni uyg'ongan holatlaridan biriga o'tishida ro'y beradi. Bu sathdan sakrash yoki bir qancha sak-

rash orqali mikrozarra asosiy holatiga o'tadi va natijada, luminestsensiya nurlanishiga mos keluvchi foton chiqaradi.

Luminestsensiya hodisasiga bir misol keltiramiz. Yer atmosferasining yuqori qatlamlarida ham kislород atomlar mavjud bo'lib, ularni quyosh shamolining elektronlari bombardimon qiladilar. Oqibatda kislород atomlari uyg'onadi. So'ng  $^1S_0$  sathdan  $^1D_2$  sathga o'tish orqali luminestsensiyalanadi. Shu hodisa uchun energetik sathlar va elektron o'tishlar 6.7-rasmda keltrilgan.



6.7-rasm. Luministsensiya hodisasida  
 $S_0 \rightarrow D_2$  va  $D_2 \rightarrow S$  o'tishlar.

Rasmda  $^1S_0$  cathdan  $^1D_2$  sathga o'tish va keyingi sathdan asosiy sathga o'tish tasvirlangan.  $^1S_0$  cath energiyasi 4,17 eV ga,  $^1D_2$  sathning energiyasi esa 1,96 eV ga teng. Birinchi o'tishda ( $^1S_0 \rightarrow ^1D_2$ ) kislород atomi 0,56 mkm to'lqin uzunlikdagi yashil nur chiqaradi,  $^1D_2$  sathdan asosiy sathga o'tishda u 0,63 mkm dagi qizil nur chiqaradi. Üncha qiyin bo'lмаган shu hisobni ko'raylik. Borning chastotalar qoidasi deb atalgan postulatiga ko'ra nurlanish chastotasi

$$\nu = \frac{\epsilon}{h} = \frac{E_2 - E_1}{h}, \quad (6.12)$$

bunda  $\epsilon$  – foton energiyasi, bundan

$$\lambda = \frac{c}{\nu} = \frac{ch}{E_2 - E_1} \quad (6.13)$$

kelib chiqadi.

(6.13) formulaga 6.7-rasmdagi energetik sathlar energiyasini son qiyamatlarini qo'yamiz:

$$\lambda_1 = \frac{3 \cdot 10^8 \text{ m} / \text{s} \cdot 6,62 \cdot 10^{-34} \text{ j} \cdot \text{s}}{(4,17 - 1,96) \text{ eV} \cdot 1,6 \cdot 10^{-19} \text{ j/eV}} = \frac{1,98 \cdot 10^{-25}}{13,54 \cdot 10^{-19}} \text{ m} = 0,56 \cdot 10^{-6} \text{ m} = 0,56 \text{ mkm}$$

Ikkinchi o'tish ( $E_1 \rightarrow E_0$ ):

$$\lambda_2 = \frac{ch}{E_1 - E_0} = \frac{1,98 \cdot 10^{-25} \text{ jm}}{1,96 \text{ eV} \cdot 1,6 \cdot 10^{-19} \text{ j/eV}} = 0,63 \text{ mkm}.$$

Luminestsensiya nurining to'lqin uzunligi yutilgan yorug'likni (stoks qonuni) to'lqin uzunligadan katta. Bu xulosa luminestsensiyaning har bir akti uchun yozilgan energiyaning saqlanish qonunidan kelib chiqadi. Luminestsensiyalaruvchi molekulaning yutgan foton energiyasini

$$\epsilon_1 = h\nu_1 = \frac{hc}{\lambda_1}$$

desak, u holda molekula chiqargan fotonning energiyasi

$$\epsilon_2 = h\nu_2 = \frac{hc}{\lambda_2}.$$

Ularga mos kelgan to'lqin uzunliklar  $\lambda_1 = \frac{hc}{\epsilon_1}$  va  $\lambda_2 = \frac{hc}{\epsilon_2}$  for-

mulalar yordamida topiladi. Yutilgan foton energiyasini bir qismi luminestsensiyaga moyil moddani molekulasini uyg'oitishga sarflanadi. Qolgan qismi esa jismning ichki energiyasini (molekulalar-ning tartib-siz kinetik energiyasini) o'zgartirishga sarflanadi. Shuning uchun

$$\epsilon_1 = \epsilon_2 + E$$

bo'ladi.  $\epsilon_1 > \epsilon_2$  bo'lgani uchun  $\nu_1 > \nu_2$  yoki  $\lambda_2 > \lambda_1$ . Bu esa stoks qonunidir.  $E=0$  da yutilgan va chiqarilgan fotonlarning energiyasi teng, ya'ni  $\epsilon_1 = \epsilon_2$ . Shuning uchun  $\lambda_2 = \lambda_1$ . Bu holni *rezonansning nurlanishi* deyiladi. Rezonansning nurlanishini natriy lampasi yordamida natriy bug'larini luminestsensiyalanishida kuzatish mumkin. Agar luminestsensiya energiyasini  $E_1$ , yutilgan energiyani  $E_0$  desak, u holda ularning nisbati

$$\eta = \frac{E_1}{E_0} < 1$$

ni *luminestsensiyaning energetik chiqishi* deyiladi. Agar chiqarilgan fotonlar sonini  $n_1$ , yutilgan fotonlar sonini  $n_0$  desak, u holda

$$\eta = \frac{n_1 \epsilon_1}{n_0 \epsilon_0}$$

nisbatni olamiz. Bunda  $E_1 = n_1 \epsilon_1$ ,  $E_0 = n_0 \epsilon_0$  bo'lgani uchun lumenestsensiyani kavnt chiqishi

$$B = \frac{n_1}{n_0}$$

Bu formulaga luminestensiya *kvant chiqishi* deyiladi.

Qutb yog'dusi ikki xil ko'rinishda bo'ladi. Kosmosdan kelayotgan elektron oqimi ta'sirida vujudga kelgan qutb yog'dusiga *elektronli yog'du* deyiladi. Agar yog'du protonlar oqimi ta'sirida ta'sir bo'lsa, u holda *protonli yog'du* deyiladi. Elektronli yog'duni ulishi ancha katta, protonli yog'du esa ancha kuchsiz bo'lganligi uchun biz bu bandda asosan elektronli qutub yog'du haqida to'xtalamiz. Elektronli qutb yog'dusi *yoy, nurli, tasmali* va *lentali* shakllarda bo'lib, aniq strukturaga ega. Protonli qutb yog'dusi esa asosan *diffuziyiali dog'* ko'rinishda namoyon bo'ladi. Elektronli qutb yog'dusining kelib chiqishi mexanizmi quyidagicha: Quyosh shamoli olib kelayotgan elektronlar oqimi yerga yetib kelganda uning magnit maydoni bilan o'zaro ta'sirda bo'la boshlaydi. Yerning geomagnit maydoni elektronlarni «ushlab» qoladi va so'ng bu elektronlar maydonning kuch chiziqlari atrofida spiral traektoriyada harakat qila boshlaydilar. Yerning qutblari tomon chiziqlar quyuqlashib boradi. Kuch chiziqlari atrofida buralib harakat qilayotgan elektronlar ham qutb tomon intiladilar. Biroq mazkur elektronlar yer sirtiga yetib kelolmaydi. Chunki yerning sirtiga tomon kuch chiziqlar bo'y lab harakat qilayotgan elektronlar yerning kuchli va nojins magnit maydoniga duch keladilar. Nojins magnit maydon zaryadlangan zarralarni kuchsiz magnit maydon tomon itqitib tashlaydi. Shunday qilib yer atmosferasiga tushayotgan elektronlarga geomagnit maydon ta'sir etadi va ularni atmosferani yuqori qatlamlariga uloqtiradi. Natijada, yerdan 100 km balandlikkacha tushagan elektronlar yerning geomagnit maydonidan aks yetib orqaga shu kuch chiziqlari bo'y lab atmosferaning yuqori qatlari tomon harakat qiladi. So'ng ushbu elektronlar kuch chiziqlari bo'yicha yerning boshqa yarim shariga qarab harakat qilib, yana yer sirtiga tusha boshlaydilar. Bu harakat yangi aks (qaytishgacha) yetishgacha davom yetadi. Yuqorigi aytilgan mulohazalarni 6.8-rasmida ko'ra tushuntirish mumkin.

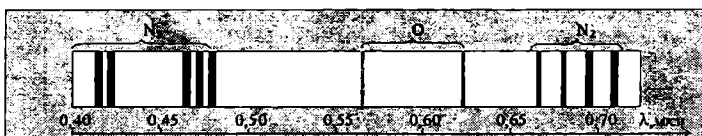
Qizil rang bilan yerni shimoliy qutb tomonidagi yer sirtiga yaqinlashayotgan bitta elektronning traektoriyasi tasvirlangan, yashil chiziq bilan esa uni (elektronni) orqaga, ya'ni shimoliy qutbdan janubiy qu'tbga qarab harakat qilayotgani ko'rsatilgan. Magnit maydon ta'sirida «ushlanib» qolgan elektronning kuch chiziqlari bo'y lab sperial harakatini bu tavsifi albatta sodda ko'rinishda yoritilgan. Haqiqatda esa bu yerda murakkab jarayon bo'lib biz uni ustida alohida bahs yuritmaymiz. Faqatgina bir narsa ustida to'xtalamiz. Yuqoridagi mulohazalardan biz geomagnit maydonda harakat qilayotgan elektronlar

atmosferamizning atomlari va molekulalari bilan bo'ladigan to'qnashishini e'tiborga olmadik. Albatta, yer yuzidan 100 km balandlikda atmosfera juda ham siyrak. Shuning uchun bu to'qnashishni e'tiborga olmasa ham bo'lib ko'rindi. Lekin aslo unday emas. Chunki to'qnashish mavjud. Bu to'qnashish tufayli atmosfera atomlari va molekulalari ionlashadi va uyg'onadi.

Natijada, qutb yog'dusi deb atalgan hodisa paydo bo'ladi. Qutb yog'dularini paydo bo'lishida kosmos elektronlarini *kislород* va *azot* molekulalari bilan to'qnashishi rol o'yaydi. To'qnashish atom va molekulalar uyg'onadilar yoki ionlashadilar. Birinchi holda atom (molekula) ni uyg'ongan holatga o'tishi natijasida mikrozarralar (atom, molekula, ion)ning elektron qobig'ida o'zgarishlar ro'y beradi. Ikkinci holda esa mikrozarralarning elektron qobig'i qisman buziladi; mikrozarra elektronini yo'qotadi va atomar yoki molekular ionga aylanadi. Uyg'ongan mikrozarra asosiy holatga o'tadi, ion esa elektron bilan rekombinatsiyalanadi. Ikkala holda ham uyg'onish energiyasini olib ketuvchi foton hosil bo'ladi va bu nurlash luminestensiyali nurlanish bo'ladi. Qutblarda kuzatiladigan qutb yog'dusi jarayoni ana shundaydir.

6.9-rasmida qutb yog'dusi spektri tasvirlangan. Ionlashgan azot molekulalari rekombinatsiya spektrning zangori va binafsha tasmalarini nurlaydi. Uyg'ongan kislород atomlari esa yashil ( $\lambda = 0,56 \text{ mkm}$ ) va qizil ( $0,63 \text{ mkm}$ ) chiziqlarni chiqaradi. Uyg'ongan azot molekulalari qizil nurlarni chiqaradi. Azotning zangori chizig'i va kislорodning yashil chizig'i juda intensiv nurlanish hosil qilgani uchun qutb yog'dusi asosan zangori – yashil rangda tovlaniadi.

6.9-rasmida qutb yog'dusi spektri tasvirlangan. Ionlashgan azot molekulalari rekombinatsiya spektrning zangori va binafsha tasmalarini nurlaydi. Uyg'ongan kislород atomlari esa yashil ( $\lambda = 0,56 \text{ mkm}$ ) va qizil ( $0,63 \text{ mkm}$ ) chiziqlarni chiqaradi. Uyg'ongan azot molekulalari qizil nurlarni chiqaradi. Azotning zangori chizig'i va kislорodning yashil chizig'i juda intensiv nurlanish hosil qilgani uchun qutb yog'dusi asosan zangori – yashil rangda tovlaniadi.



6.9-rasm. Qutb yog'dusi spektri.

Nima uchun kislород spektridagi qizil chiziqning intensivligi zangori chiziq intensivligiga nisbatan kuchsiz? Esingizda bo'lsa kerak, 6.7-rasmida kislорodning energetik sathlari va o'tishlarini ko'rsatgan

edik. Hamma gap shundaki kislorod atomining  ${}^1S_0$  va  ${}^1D_2$  sathlarida atomning yashash vaqtı turlichadir. Berilgan holatda bir atom «uzoqroq», ikkinchisi «qisqaroq» yashashi mumkin. Bir xil atomlardan tashkil topgan sistema uchun – yashash vaqt o'rtacha kattalikdir. Kislorodni  ${}^1S_0$  sathida atomning yashash vaqtı 0,7 s bo'lsa,  ${}^1D_2$  sathida atomning yashash vaqtı 100 s dir. Ko'rib turibsizki farq ancha katta.  ${}^1D_2$  holatda bo'lgan kislorod atomi asosiy holatga o'tguncha uzoq «yashaydi». Atom ushbu holatdan asosiy holatga o'tguncha bo'lgan vaqt oralig'ida unga boshqa biror atom yoki biror erkin elektron kelib urilishi mumkin; bu to'qnashish tufayli bizning atom zarraning ortiqcha energiyasini olib asosiy holatga o'tishi mumkin. Natijada, bu holda 0,63 mkm to'lqin uzunlikka ega bo'lgan foton chiqmasligi mumkin.  ${}^1S_0$  sathdan  ${}^1D_2$  sathga o'tishda kislorodning barcha atomlari ishtirok etishi mumkin, aksincha,  ${}^1D_2$  sathdan asosiy sathga o'tishda esa faqat ayrim atomlargina rol o'ynashi mumkin. Shuning uchun ham qizil nur-lanish intensivligi yashil nuring intensivligiga nisbatan ancha kamdir.

Hozirgi kunda qutb yog'dusining ko'p mexanizmlari tushunarli. Shunga qaramay biz bilmagan sirlar ham ko'p. Masalan, nima uchun magnitosferaning dumi elektronlarni tezlantiradi va fokuslaydi? Nima uchun tovlanish zonasasi oval shaklda, nima uchun qutb yog'dusi ayrim hollarda qasr-qusir shovqinlar bilan bo'ladi? Hurmatli o'quvchi, balki bu muammolarni siz hal qilasiz degan umiddamiz. Yer yuzida bo'ladigan magnit bo'ronlarini Quyosh faoliyatiga bog'liqligi ham va ularni qutb yog'dusiga ta'sirini boshqa kitoblardan o'qirmsiz. Dengizlarining shu'lalanishi, tirik organizmlarning shu'lalanishi ham luminesentsiya hodisasi bilan tushuntiriladi. Dengizning shu'lalanishi tirik organizmlarning nurlanishidir. Hozirgi paytda nurlovchi tirik organizmlarni 800 ko'p holi aniqlangan. Bakteriyalardan tortib to ayrim baliqlargacha o'zidan nur chiqaradi. Quriqlikda esa har xil hasharotlardan (qo'ng'iz, chivin va b.) tortib to ayrim qushlargacha o'zidan nur chaqaradi. Bu nurlanishning mexanizmlari ham luminesentsiya hodiasi bilan tushuntiriladi.

### Qo'shimcha jadvallar

#### 1. Infragizil nurlanish diapazoni

DIAPAZONNING ASOSIY XARAKTERISTIKASI	
FIZIK KATTALIKLAR	KATTALIKLAR QIYMATLARI
Vakuumdagi to'lqin chiziqlar	0,1 mm – 770 nm
Chastota	$3 \cdot 10^{12} \text{ sek}^{-1}$ – $4 \cdot 10^{14} \text{ s}^{-1}$
Chastotalar polosasi kengligi	$-4 \cdot 10^{14} \text{ s}^{-1}$
Oktava	-7
Kvant energiyasi	$1,98 \cdot 10^{-21} – 2,64 \cdot 10^{-19} \text{ g}$ yoki $1,24 \cdot 10^{-2} – 1,65 \text{ eV}$

## 2. Ko'zga ko'rnatadigan nurlanish (yorug'lik)

DIAPAZONNING ASOSIY XARAKTERISTIKASI	
FIZIK KATTALIKLAR	KATTALIKLAR QIYMATLARI
Vakuumdagi to'lqin chiziqlar	0,770 – 0,380 nm
Chastota	$4 \cdot 10^{14} s^{-1}$ – $8 \cdot 10^{14} s$
Chastotalar polosasi kengligi	$4 \cdot 10^{14} s^{-1}$
Oktava	-1
Kvant energiyasi	$2,64 \cdot 10^{-19}$ – $5,28 \cdot 10^{-19} G$ yoki 1,65 – 3

## 3. Ultrabinafsha nurlanish

DIAPAZONNING ASOSIY XARAKTERISTIKASI	
FIZIK KATTALIKLAR	KATTALIKLAR QIYMATLARI
Vakuumdagi to'lqin chiziqlar	380 nm – 5 nm
Chastota	$8 \cdot 10^{14}$ – $6 \cdot 10^{16} s^{-1}$
Chastotalar polosasi kengligi	59200 T s <sup>-1</sup>
Oktava	-6
Kaant energiyasi	$5,28 \cdot 10^{-19}$ – $3,98 \cdot 10^{-17} G$ yoki 3,3 – 247,5 ev

## 4. Ritm nurlanish

DIAPAZONNING ASOSIY XARAKTERISTIKASI	
FIZIK KATTALIKLAR	KATTALIKLAR QIYMATLARI
Vakuumdagi to'lqin chiziqlar	5 nm – $10^{-2}$ nm
Chastota	$6 \cdot 10^{18}$ – $3 \cdot 10^{19} s^{-1}$
Chastotalar polosasi kengligi	$2994 \cdot 10^4 T s^{-1}$
Oktava	9
Kvant energiyasi	$3,96 \cdot 10^{-14}$ – $1,98 \cdot 10^{-14} G$ yoki 247,5 – $1,24 \cdot 10^5$ ev

## 5. Gamma – nurlanish

DIAPAZONNING ASOSIY XARAKTERISTIKASI	
FIZIK KATTALIKLAR	KATTALIKLAR QIYMATLARI
Vakuumdagи to'lqin chiziqlar	$0,137 \text{ nm} - 10^{-13} \text{ nm}$
Chastota	$2 \cdot 10^{18} - 3 \cdot 10^{30} \text{ s}^{-1}$
Chastotalar polosasi kengligi	$-3 \cdot 10^{18} \text{ T s}^{-1}$
Oktava	
Kvant energiyasi	$1,45 \cdot 10^{-15} - 1,98 \cdot 10^{-2} \text{ J}$ yoki $\sim 9,03 \cdot 10^3 - 1,14 \cdot 10^{16} \text{ ev}$

## SAVOLLAR

- Spektr nima?
- Spektr turlari haqida so'zlang va tushuntiring.
- Spektrial seriyalar va seriya chegarasi nima?
- Qanday spektrial seriyalarni bilasiz?
- Umumlashgan Balmer seriyasining formulasini yozing.
- Rittsning kombinatsion prinsipi nima va undan kelib chiqadigan muhim fizik natija nima?
- Termlar nima?
- Energetik sathlar, termlar va o'tishlar haqida nima deysiz?
- Sathlar va o'tishlar diagrammasini chizing.
- Atom, yadro, elementar zarralar spektri qanday va nima asosida tushuntirish mumkin?
  - Molekula spektri va uning kelib chiqishi haqida so'zlang.
  - Maddalarni spektri qanaqa?
  - Atom energiyasini Ridberg doimisi orqali yozing.
  - Luminestsensiya qanday jarayon?
  - Luminestsensiya bilan issiqlik nurlanishi hodisasining o'xshash tomonlari va farqini ko'rsating.
    - Nima uchun luminestsensiya jarayonini nokogerent jarayon deymiz?
      - Luminestsensiya hodisasini boshqa nokogerent jarayonlardan farqi nimada?
      - Nima uchun turli jismlar va muhitlar nur chiqaradi?
      - Luminestsensiya turlari va ularning kelib chiqishini tushuntiring.
      - Fosforestsensiya va fluorescentsensiya luminestsensiyalarini farqlarini aytинг.
        - Katodoluminestsensiyanı tushuntiring va misollar keltiring.
        - Xemiluminestsensiya deb nimaga aytildi?
        - Fotoluminestsensiya qanday hosil bo'ladi?

- Qutb yog'dusini nima uchun luminestsensiya deb ataymiz?
- Qutb yog'dusi luminestsensiyasining turlarini ayting.
- Luminestsensiya qanday hodisa? Kvantlimi yoki uzlusizmi?
- Quyoshdan kelayotgan elektronlar shamoli ta'sirida bizning atmosferada ro'y beradigan luminestsensiyanı tushuntiring.
- Luminestsensiyaning energetik chiqishi deb nimaga aytildi?
- Luminestsensiyaning kvant chiqishi deb nimaga aytildi?
- Qutb yog'dusi qanday paydo bo'ladi?
- Tirik organizmlar luminestsensiyasini tushuntiring.
- Nima uchun tirik organizmlar o'zidan nur chiqaradi?

### **MASALALAR**

6.1. Layman, Balmer, Pashen, Breket va Pfunda seriyalari uchun seriya chegarasiga ( $n \rightarrow \infty$ ) mos kelgan to'lqin uzunliklarni hisoblang va ularni ma'nosini tushuntiring.

6.2. Vodorod to'ldirilgan razryad trubkasidan chiqqan yorug'lik 1 mm da 590 ta shtrixi bo'lgan difraksion panjaraga perpendikular kelib tushdi. Bunda Balmer seriyasidagi  $H_{\alpha}$  – chiziqni og'ish burchagi  $\theta = 23^\circ$ .  $H_{\alpha}$  – chiziqni (Balmer seriyasidagi qizil chiziq) to'lqin uzunligini hisoblang.

6.3. Atom spektrlari tahlil qilinganda ko'pincha to'lqin uzunlik emas, balki to'lqin son  $\tilde{v}$  ishlatiladi:  $\tilde{v} = \frac{1}{\lambda}$ . To'lqin sonning fizik ma'nosini ayting. Layman seriyasining uchta chizig'i uchun to'lqin sonni hisoblang.

6.4. Layman seriyasining uchta chizig'i uchun to'lqin uzunliklarni hisoblang.

6.5. Vodorod atomining energetik sathlari  $En = \frac{2\pi\hbar c^2}{n^2} R$  ( $R$ - Ridberg doimiysi) ifoda bilan tavsiflanishini ko'rsating.

6.6. Pashen seriyasidagi uchta chiziq uchun to'lqin uzunliklarni hisoblang. Pashen seriyasidagi spektrial chiziqlar spektrning qaysi qismiga tegishli.

6.7. Layman seriyasi uchun kuzatilgan chiziqlarning to'lqin uzunligi  $n=2$  uchun  $\lambda = 1215,7\text{\AA}$ ,  $n=3$  uchun  $\lambda = 1026,0\text{\AA}$ ,  $n=4$  uchun  $\lambda = 972,4\text{\AA}$ . Layman formulasidan foydalanib, shu to'lqin uzunliklarni 0,01 aniqlikda hisoblang va taqqoslang.

6.8. Balmer seriyasi uchun eksperimentda kuzatilgan chiziqlarning to'lqin uzunliklari  $n=3$  uchun  $\lambda = 6562,8473\text{\AA}$ ,  $n=4$  uchun  $\lambda = 4862,7110\text{\AA}$ ,  $n=5$  uchun  $\lambda = 4340,497\text{\AA}$ . Balmer formulasidan foydalanib ularni 0,001 aniqlikda nazariy hisoblang va taqqoslang.

6.9. Pashen seriyasi uchun eksperimentda kuzatilgan chiziqlarning to'lqin uzunliklari  $n=4$  uchun  $\lambda=18751,3\text{\AA}$ ,  $n=5$  uchun  $\lambda=12817,6\text{\AA}$ ,  $n=7$  uchun  $\lambda=10049,8\text{\AA}$  bo'lsa, ularni Pashin formulasidan foydalanib 0,1 aniqlikda solishtiring.

6.10. Balmer seriyasi uchun  $\tilde{v}_1=82558,31\text{\AA}^{-1}$  va  $\tilde{v}_2=97491,36\text{\AA}^{-1}$  Rittsning kombinatsion prinsipidan foydalanib  $\tilde{v}_3$  ni toping.

6.11. Vodorod atomi energiyasini Ridberg doimiysi  $R$  orqali ifodaling.

$$6.12. h\nu = 13,6 \left( \frac{1}{n_1^2} - \frac{1}{n_2^2} \right)^3 \quad \text{ev} \quad n_1=2 \quad \text{uchun yorug'likni to'lqin}$$

uzunlikni Balmerni birinchi o'zgaruvchi hadi uchun toping. Bu chiziqni ko'rish mumkinmi?

6.13. Rittsning kombinatsion prinsipini tushuntiring. Vodorod atomi uchun term qanday ko'inishida yoziladi?

6.14. Bor nazariyasi Ridberg doimiysini Plank doimiysi bilan empirik bog'laydi. Uning ifodasini tuzing.

6.15.  $e$ ,  $m$ ,  $h$  universal doimiyliklardan Ridberg doimiysini tuzing. U qanday birlikka ega? Son qiymatini toping.

6.16. Mavzuning 6.3-rasmida sathlar va o'tishlar diagrammasi tasvirlangan. quyidagi o'tishlar uchun  $\omega_{03}$ ,  $\omega_{12}$ ,  $\omega_{01}$  chastotalarga ifodasini tuzing.

6.17. Quyida atomning spektrial chiziqlari uchun o'lchangan to'lqin sonlar ( $sm^{-1}$ ) da keltirilgan.

$$\tilde{v}_1=82258,27; \tilde{v}_2=97491,28; \tilde{v}_3=102822,84; \tilde{v}_4=105290,58;$$

$$\tilde{v}_5=15232,97; \tilde{v}_6=20564,57; \tilde{v}_7=23032,31; \tilde{v}_8=5331,52;$$

$$\tilde{v}_9=7799,30; \tilde{v}_{10}=2469,0.$$

a) Ritsning kombinatsion prinsipini tasdiqlovchi hollarni (ikkita to'lqin sonlar farqi) toping;

b) hamma chiziqlar beshta termni kombinatsiyasidan hosil bo'lishini ko'rsating va term chizmasi va o'tishlari diagrammasini chizing.

6.18. Term uchun oddiy formula toping.

6.19. To'lqin uzunligi  $\lambda_1=102,60\text{ nm}$  va  $\lambda_2=97,27\text{ nm}$  bo'lgan chiziqlar Layman seriyasiga tegishli. Shu chiziqlarga to'g'ri kelgan chastotalar farqiga to'g'ri kelgan atom vodorodini spektrial chizig'ini to'lqin uzunligini toping.

6.20. 100 m qalinlikda bo'lgan dengizning yuqori qatlamicidagi sunda luminesensiya xususiyatiga ega bo'lgan bakteriyalarning konentratsiyasi  $5 \cdot 10^4 \text{ 1/l}$ . Har bir bakteriya har sekundda  $10^4$  foton chiqaradi. Fotonning to'lqin uzunligi  $3,5\text{ mkm}$ . Yuzasi  $1\text{ km}^2$  va qalinligi 100 m bo'lgan suv qatlamida mavjud bo'lgan bakteriyalarni barchasini hosil qilgan yorug'likning quvvatini toping.

## **VII BOB**

### **Mavzu: ATOMNING BARQARORLIGI. BOR MODELI VA UNING QO'LLANILISHI**

**Reja:**

- 7.1. Atomning klassik nazariyasi. Rezefordning planetar modeli.
- 7.2. Vodorod atomi uchun yadro modeli.
- 7.3. Bor postulatlari.
- 7.4. Bor modeli va energetik holatlar.
- 7.5. Ridberg doimiyligi va spektral seriyalar.
- 7.6. Borning moslik prinsipi.

### **ADABIYOTLAR**

1. А.Н.Матвеев Атомная физика, М., Высшая школа, 1989.
2. Д.И.Блохинцев Основы квантовой механики, У 1961.
3. А.А.Соколов, Ю.М.Лоскутов, И.У.Тернов Квантовая механика, М., 1962.
4. Э.А.Нерсесов Основные законы атомной и ядерной физики, М.,1988.
5. N.Bohr - Phil. Mg., 1913. v. 26, p. 1 (оригинал).

**Masalaning qo'yilishi.** O'tgan mavzularda biz asosan yorug'likni kvant nazariyasi haqida suhabat yuritdik. Endi atomning ham energetik holatlarini kvantlanganligini ko'rsatishga vaqt keldi. Bu mavzuda atomning dastlabki modellari haqida so'z boradi. Asosan Rezeford modeli va Bor modeli haqida batafsil to'xtalamiz. Bor nazariyasi asosida yorug'likni kvant nazariyasi, spektral chiziqlar xususiyati va Rezeford modeli umumylashtiriladi. Bor nazariyasi asosida yuqorida keltirilgan muammolar oson tushuntiriladi.

Bu mavzuni o'tishdan asosiy maqsad atomlarning, umuman olganda mikrodunyo sistemalarini kvantlanganligini ko'rsatish; atomdagи tezliklar, radiuslar, harakat miqdori momentlar va energiyalarni diskret, xarakterda ekanligini ko'rsatish va ularni miqdori qiymatlarini topadigan formulalarini berish. Talabaning dunyo tug'risidagi kvant tasavvuri boyitish bosh maqsaddir.

**Mavzu qahramonlari**

➤ Jozef Jon Tomson (1856 – 1940). 24 yoshida Manchester va Kembridj universitetlarini bitirgan va Kaventdsh laboratoriyasiga rahbarlik qilgan. 1897-yilda elektronni kashf etdi, atomning birinchi modelini yaratdi, magnit va elektrmaydonga harakat qilayotgan elektronlarning harakati uchun nazariya yaratdi, 1906-yilda o'tkazgichlarga oid ishlari uchun Nobel mukofotiga sazovor bo'ldi.

➤ Ernest Rezerford (1871 – 1937). Yadro fizika fanining asoschisi. 1895-yilda Yangizelandiya universitetida o'qigan, 1895-yilda Angliyaga qaytib Manchester universitetida ishlagan. 1898-yil Kanadada ishlagan. 1899-yilda alfa va betta-nurlarni ochgan. 1907-yilda Angliyaga qaytib Manchester universitetida ishlagan. 1911-yilda atomni planetar modelini yaratgan. 1908-yilda Rezerford Nobel mukofoti bilan taqdirlangan.

## **VII bob. ATOMNING BARQARORLIGI. BOR MODELI VA UNING QO'LLANILISHI**

### **7.1. Atomning klassik nazariysi. Rezerfordning planetar modeli**

**Atomning klassik nazariysi.** Rezerfordning planetar modeli. Klassik fizika tasavvurida turib tushuntirib berib bo'lmaydigan muammolardan yana biri atomning barqarorligi masalasi bo'lib, u o'z navbatida atom tuzilishiga bog'liq. Atomning barqarorligi haqidagi masalani hal qilish uni tarkibi va ichki strukturasini bilishga taqaladi. Nurlanish jarayonida chiziqli spektrlarni paydo bo'lishini atomga dahl-dorligi o'sha davr fiziklari uchun ayon edi. Shuning uchun atomning elementar zarra bo'lmay, murakkab tuzilishga ega ekanligiga ular shubha qilmas edilar. Shu bilan birga atom tarkibiga elektron ham taalluqli degan fikrga ishonar edilar. Shunga qaramay atom tuzilishi haqida aniq bir nazariya yo'q edi.

Atom nazariyasini yaratish uchun, atomni fizik sistema sifatida tasavvur qiladigan fizik model zarur edi. Atomning eng birinchi modeli 1903-yilda ingлиз fizigi Jozef Jon Tomson tomonidan berildi, shu yilning o'zida nemis fizigi Philipp Lenard atom uchun o'z modelini berdi. Sal keyinroq yapon olimi K.Nagaoko o'zining atom modelini taklif etdi.

J.Tomson modeliga ko'ra, atom juda kichkina sharcha bo'lib (diametri  $10^{-10} m$ ) uning butun hajmi bo'ylab bir tekisda musbat zaryadlar taqsimlangan; bu musbat elektr suyuqligining ayrim nuqtalarida elektronlar joylashgan. Elektronlarning soni shundayki, atomning yig'indi zaryadini nolqa tenglashtiradi; boshqacha aytganda atomning elektr jihatidan neytralligini ta'minlaydi. Biror sababga ko'ra, elektron o'z muvozanat holatidan chetlashganda, uni muvozanat holatiga qaytaruvchi kvazielakstik kuch hosil bo'ladi. Bu kuchning miqdori elektronning ko'chishiga proporsional. Natijada, atom ichida elektronlarning garmonik tebranishi vujudga keladi. Maksvell nazariyasiga binoan garmonik tebranishda harakat qilayotgan elektronlarning tebranish chastotasiga teng bo'lgan chastotada monoxromatik elektromagnit nurlanishi chiqaradi. Tomson o'z modeliga tayanib atomning xarakterli alomati bo'lgan ularning nurlanish spektridagi chiziqli xarakterini tu-shuntirib berdi. Tomson modeliga esolanib G.A.Lorents dispersiyasini elektron nazariyasini yaratdi. Bu nazariya normal va anomal dispersi-

yalarni to'g'ri tushuntirib berdi. Keyinroq Tomson modeliga o'xshagan yadroning proton-elektron modeli yaratildi. O'z davrida Tomson modeli fizikada katta e'tiborga ega bo'ldi, biroq u ko'pga cho'zilmadi.

Lenard modeliga ko'ra har xil modda atomlari har xil sondagi yagona tashkil etuvchilardan iborat. Lenard modeli ham muvaffaqiyat qozonmadi.

Yapon olimi Nagaokoga taalluqli atom modeliga ko'ra atom katta massali musbat zaryad atrofida aniq oraliqlardagi aylana bo'ylab elektron joylashgan ko'rinishga ega. Bu model atomning planetar modeliga o'xshagan bo'lib, faqat uning dinamikasi yo'q edi.

Demak, atom fizikasi oldidagi muammo aslida neytral atom ichki tuzilishida musbat va manfiy zarralarning mavjudligi va ularning atom ichida taqsimlanishini xarakterlashini talab qiladi.

Nihoyat 1911-yilda buyuk ingliz fizigi Ernest Rezerford o'zining shogirdlari G.Geyger va E.Marsden bilan birqalikda alfa zarralarni yupqa metall zarlarida sochilishini eksperimental o'rganib, yuqorida aytilgan barcha modellarni asosizligini ko'rsatdi va ko'p o'tmay atomning planetar modelini yaratdi. Hozirgi paytda bu model atomning yadro modeli ham deb yuritiladi. Rezerfordning planetar modelini yaratilishi atom fizikasini o'rganishda va yadro fizikasi fanini vujudga kelishida katta burilish yasadi.

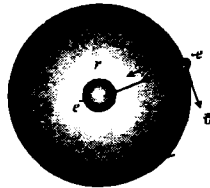
Rezerford modeliga ko'ra atom markazida juda kichik massiv yadro joylashgan bo'lib, uning zaryadi  $+Ze$  ga teng. Atomning deyarli barcha massasi yadroda mujassamlashgan bo'lib, uning atrofida doiraviy yoki elliptik orbitalarda elektronlar harakat qiladilar. Atomning diametri  $\sim 10^{-10} \text{ m}$  atrofida bo'lib, u yadroning o'lchamidan ( $\sim 10^{-15} \text{ m}$ ) 100000 marta katta. Elektron bilan yadro oraliq'i ulkan vakuum bo'shilig'idan iborat bo'lib, atomning ichi ulkan kosmosdan iborat. Atomning Rezerford modeli ko'p jihatdan Quyosh sistemasining tuzilishiga o'xshagan bo'lgani uchun ko'pincha atomning planetar modeli deb ham atashadi. Atomning planetar modeli o'z mohiyati jihatidan dinamik model bo'lib, yuqorida sanab o'tilgan barcha statik modellardan farq qiladi.

## 7.2. Vodorod atomi uchun yadro modeli

Oddiylik uchun, faraz qilaylik. Massasi  $m$  va zaryadi  $-e$  bo'lgan elektron zaryadi  $+e$  bo'lgan proton (yadro) atrofida doiraviy orbita bo'ylab tekis harakat qilayotgan bo'lsin. Protonning massasi elektronning massasidan 1836 marta katta bo'lgani uchun birinchi qarashda protonning harakatini e'tiborga olmaymiz. 7.1-rasmida proton atrofida doiraviy orbita bo'ylab aylanayotgan elektronning chizmasi tasvirlangan.

Elektronning orbitada tutib turuvchi kuch – bu proton bilan elektron orasidagi Kulon tortilish kuchidir. Bu kuch

$$F_k = \frac{1}{4\pi\epsilon_0} \cdot \frac{e^2}{r^2}, \quad (7.1)$$



7.1-rasm.

bunda  $r$  – elektronning doiraviy orbitasining radiusi. Nyutonning ikkinchi qonuniga binoan elektron tezlanish oladi, ya'ni

$$\frac{1}{4\pi\epsilon_0} \cdot \frac{e^2}{r^2} = \frac{mv^2}{r}, \quad (7.2)$$

bunda  $a_r$  – markazga intilma tezlanish.

(7.2) tenglamadan elektronni kinetik energiyasi

$$K = \frac{1}{2} mv^2 = \frac{1}{8\pi\epsilon_0} \cdot \frac{e^2}{r} \quad (7.3)$$

ekanligini topamiz.

Sistemaning potensial energiyasi (7.1) ga ko'ra

$$U = -\frac{1}{4\pi\epsilon_0} \cdot \frac{e^2}{r}. \quad (7.4)$$

(7.4) ifodadagi «minus» ishorasi berilgan sistemada itarilish kuchini emas, balki elektronni protonga tortilish kuchini xarakterlaydi:

Sistemaning to'la energiyasi

$$E = K + U = -\frac{1}{8\pi\epsilon_0} \cdot \frac{e^2}{r}, \quad (7.5)$$

bunda, «minus» ishora sistemani bog'langanligini anglatadi.

Vodorod atomi uchun  $E$ -elektronning bog'lanish energiyasi bo'lib, u atomidan elektronni butunlay chiqarib yuborish uchun kerak bo'lган eng kichik energiyani xarakterlaydi. Uni atomni ionlashtirish energiyasi deb ham atashadi. Vodorod atomi uchun bog'lanish energiyasi 13,53 eV ga tengligi eksperimentdan ma'lum. Bu miqdorni (7.5) tenglamaga qo'ysak, orbita radiusi  $r$  ni topish mumkin bo'ladi. Hisob  $r = 0,53 \cdot 10^{-10} m = 0,53 \text{\AA}$  ekanligini ko'rsatadi. Bu kattalikni Bor radiusi deyiladi, uning qiymati, boshqa eksperimental metodlar yordamida olingan qiymatlar bilan yaxshi mos tushadi.

Elektronni orbita bo'ylab aylanish chastotasi  $f$  – chiziqli  $v$  bilan bog'langan, ya'ni

$$v = \omega r = 2\pi f r. \quad (7.6)$$

bu ifodani (7.3) ga qo'ysak  $m(2\pi f r)^2 = \frac{1}{4\pi\epsilon_0} \cdot \frac{e^2}{r}$ , bundan elektronning orbita bo'ylab aylanish chastotasi

$$f = \frac{1}{2\pi} \sqrt{\frac{e^2}{4\pi\epsilon_0 m r^3}} \quad (7.7)$$

ga teng.

(7.7) munosabatga  $e$ ,  $m$  va  $r$  ni qiymatlarini qo'yib  $f \approx 6,7 \cdot 10^{15}$  Gs ekanligini topamiz. Rezefordning planetar modeli negizida atom tuzilishini tushuntirishda ma'lum yutuqlarga erishilganiga qaramay, bir qator juda muhim masalalar turardiki, ularni klassik nazariya pozitsiyasida turib umuman tushuntirib bo'limas edi.

Klassik elektrodinamika qonunlariga ko'ra:

1. Tezlanishli harakat qilayotgan har qanday zaryadlangan zarra, uzlusiz ravishda elektromagnit nurlanishi kerak.

2. Mazkur nurlanishning chastotasi  $-v$ , yadro atrofida aylanayotgan zarraning aylanish chastotasi  $f$  ga teng bo'lishi kerak, ya'ni  $v = f$

Ushbu modelga ko'ra atomning to'la energiyasi vaqt o'tishi bilan kamayishi, aylanish chastotasi esa uzlusiz o'sishi kerak. Oddiy hisobga ko'ra  $10^{-3}$  s vaqt ichida elektron yadroga tushib qolishi kerak bo'ladi.

Ikkinchini tomonidan, haqiqatan ham bu model to'g'ri bo'lsa, vodorod atomining optik spektri ham uzlusiz bo'lishi kerak, afsuski bunday emas, chunki bu xulosa eksperiment natijalariga ziddir.

Ikkala xulosa ham eksperiment natijalariga mutlaqo zid: atom barqaror sistema, atom spektrlari uzlukli, chiziqlidir.

Ko'rib turibsizki, vodorodning planetar modeli atomning barqarorligi va chiziqli spektrlar muammosini umuman hal qila olmadi. Shu sababgan ko'ra undan voz kechishga to'g'ri keldi.

### 7.3. Bor postulatlari

Daniyalik Nils Bor o'z oldiga juda katta vazifani qo'ydi. U bir yo'la uchta vazifani hal qilishga kirishdi. Spektroskopiyadagi chiziqli spektrlarni, yorug'likni kvantlardan tuzilganligini va Rezefordni yadro modelini bir nuqtayi nazardan tushuntira bera oladigan nazariya yaratishni maqsad qildi. Turlicha bo'lgan tajriba natijalarni yagona ilmiy nuqtayi nazardan tushuntirish uchun klassik fizikani kuchi etmas edi. Bu masalani hal etish uchun yangicha fikr, yangicha tasavvur kerak edi. Buni anglagan Bor tez orada o'zining postulatlarini berdi.

1911-yilda Nils Bor Kopengagenda doktorlik unvoniga sazovor bo'ldi. O'z ilmiy ishlarini davom ettirish maqsadida u Angliyaga keldi. Uning ilmiy ishlariga J.Tomson va Ernest Rezerford rahbarlik qildi. Bor Rezerfordni planetar m-odelini darrov qabul qildi va tez orada atomning yangi modelini yaratdi. Bu modelni asosi sifatida quyidagi postulatlarni asos qilib oldi. Planetar modelni tuzatish uchun Bor postulatlari:

1. Elektron vodorod atomi-ning protoni atrofida Kulon kuchlari ta'sirida va Nyutonning ikkinchi qonuniga mos ravishda doiraviy orbitada tekis harakat qiladi.

2. Atomda elektron istalgan orbitalarda ham harakat qilavermaydi. Mumkin bo'lgan orbitalardan faqat elektronning impuls momenti

$$L = m \vartheta r = n \frac{\hbar}{2\pi} = n\hbar, \quad n = 1, 2, 3, \dots \quad (7.8)$$

shartiga bo'yusungan orbitalargina ruxsat etilgandir, bunda  $\hbar = 1,05 \cdot 10^{-34}$  j.s.

3. Ruxsat etilgan orbitada harakat qilayotgan elektron uchun, atom o'zidan energiya chiqarmaydi.

4. Energiyasi  $E_i$  bo'lgan orbitadan energiyasi  $E_f$  bo'lgan orbitaga elektron o'tganda ( $E_i > E_f$ ) atom chastotasi

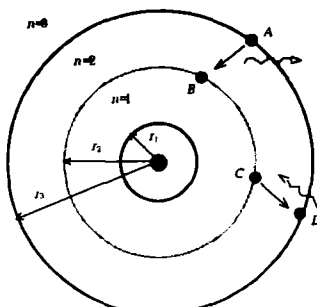
$$\nu = \frac{E_i - E_f}{h} \quad (7.9)$$

ga teng bo'lgan foton chiqaradi. Masalan, 7.2-rasmda elektron  $n = 3$  orbitadan  $n = 2$  orbitaga (AB o'tish) o'tganda  $\nu = \frac{E_3 - E_2}{h}$  chastotaga ega bo'lgan foton chiqaradi.

Bu chiqarish spektrini diskretligini xarakterlaydi. Aksincha elektron  $n = 2$  orbitadan  $n = 3$  orbitaga o'tganda (CD o'tish) atomi  $h\nu = E_3 - E_2$  energiyaga ega bo'lgan fotonni yutadi. Yutilish spektri suunday tushuntiriladi.

#### 7.4. Bor modeli va energetik holatlar

Bor o'zining modelini yaratishda Rezerford modelini asos qilib oldi. Berning birinchu postulati bu Rezerfordni modeli bo'lib, sistema-



7.2-rasm.

ning to'la energiyasi planetar modeldan olingan natijaga teng:

$$E = -\frac{1}{8\pi\varepsilon_0} \cdot \frac{e^2}{r} \quad \text{Borning ikkinchi postulati, klassik tasavvurga batomom}$$

zid bo'lib, impuls momenti  $L = mvr = n\hbar$ ,  $n = 1, 2, 3$ , bo'lishidir.

Klassik fizikada impuls momentini spektri uzlusiz xarakterga ega ya'ni  $L$  istalgan qiymatni qabul qilishi mumkin. (7.8) tenglamadan ko'rindiki, impuls momenti kvantlangan va uning qiymati faqat  $1\hbar, 2\hbar, 3\hbar, \dots$  qiymatlarnigina olishi mumkin. Bu postulatni statsionar orbitalarni kvantlash sharti deb ham atashadi.

Borning uchunchi postulatiga binoan (7.8) jarayoni qanoatlantiradigan impuls momentiga ega bo'lgan kvant holatida yotgan atom nur chiqarmaydi. Bu postulat elektromagnit nazariyasiga ziddir. O'zidan nur chiqarmaydigan atomning bu holatlarini statsionar (turg'un) holatlar deyiladi.  $n=1$  qiymatga mos bo'lgan energiyaning eng kichik qiymati to'g'ri kelgan holat asosiy yoki normal holat deyiladi. Atom asosan asosiy energetik holatda bo'ladi.  $n=2, 3, 4, \dots$  qiymatlarga mos kelgan energetik holatlarni atomning uyg'ongan holatlari deyiladi. Nima uchun atom statsionar holatda bo'lganda, u energiya chiqarmasligini Bor modeli tushuntirib bera olmaydi. Bu postulat sifatida qabul qilingan. Bundan tashqari elektronni yadro atrofida orbita bo'ylab harakatlanishini ham eksperimentda kuzatib bo'lmaydi. Bu qiyinchiliklarni yechimi kvant yoki to'lqin mexanika doirasida hal qilinadi.

(7.8) tenglamadan elektronning chiziqli tezligi.

$$v = \frac{n\hbar}{mr} \quad (7.10)$$

ni topamiz. Bu chiziqli tezlikni (7.3) tenglamaga qo'ysak, elektronning kinetik energiyasi  $\frac{1}{2}m(\frac{n\hbar}{mr})^2 = \frac{1}{8\pi\varepsilon_0} \cdot \frac{e^2}{r}$  ga teng bo'ladi va bundan,

statsionar orbitanining radiusi

$$r = r_n = \frac{4\pi\varepsilon_0\hbar^2}{me^2} \cdot n^2, \quad n = 1, 2, 3, \dots \quad (7.11)$$

ni topamiz.

Asosiy holat ( $n = 1$ ) uchun

$$r_1 = \frac{4\pi\varepsilon_0\hbar^2}{me^2} = 0,53 \text{ \AA}^0 \quad (7.12)$$

tenglik o'rinali bo'ladi.

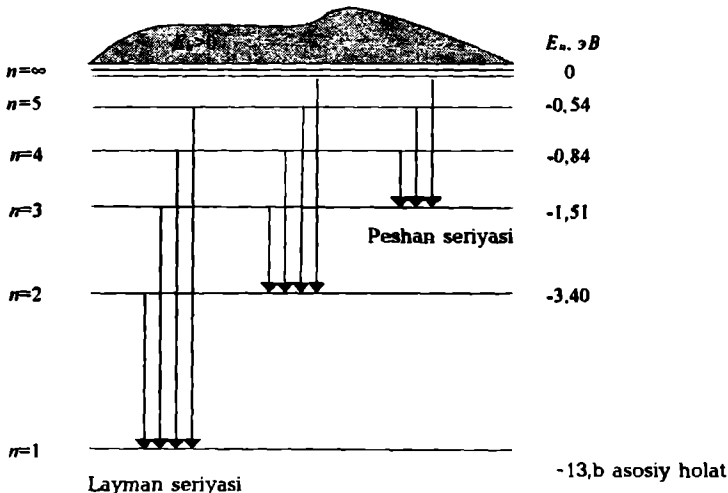
Ko'rib turibsizki, bu natija planetar model (7.5) tenglamasidan olingan atom radiusiga teng.  $r_1$  ni Bor radiusi deyiladi. (7.11) formuladan

$$r_n = n^2 r_1 \quad (7.13)$$

Statcionar orbitalarning radiusi butun sonlar (orbita raqamlari) kvadratiga proporsional bo'lib, ular kvantlangan.  $n$ -ni bosh kvant soni deyiladi. Orbitalarning radiusi  $r_1, 4r_1, 9r_1, \dots$  mos ravishda birinchi Bor radiusdan oson topiladi.

Statcionar orbitalarda harakat qilayotgan elektronlarning tezligini topish uchun (7.11) ni (7.10) ga qo'yamiz. Vodorod atomining birinchi orbitasida harakat qilayotgan elektron tezligi  $\sim 10^6 \frac{M}{c}$  ga tengdir.

Bundan chiqadiki atom fizikasida Nyuton mexanikasini munosabatlarini qo'llasa bo'ladi.



7.3-rasm.

Borning uchinchi postulatidan atom energiyasini kvantlanishi kelib chiqadi (7.5) tenglamadagi  $r$  ni o'rniiga (7.11) ni keltirib qo'ysak

$$E = E_n = -\frac{m e^4}{32 \pi^2 \epsilon_0^2 \hbar^2} \left( \frac{1}{n^2} \right) \quad (7.14)$$

bo'ladi. «Minus» ishora sistemani bog'langanligini ko'rsatadi. Shunday qilib (7.14) tenglama atomning energiyasini kvantlanishini xarakterlaydi. Ruxsat etilgan energiyalar qiymati (7.14) formula yordamida aniqlanadi. (14) tenglamaga massa va zaryadni qiymatlarini qo'yib ( $m = 9,4 \cdot 10^{-31} \text{ kg}$ ,  $e = 1,6 \cdot 10^{-19} \text{ C}$ ).

$$E_n = \frac{13,6}{n^2} eV, \quad n = 1, 2, 3, \dots \quad (7.15)$$

ni olamiz.

Vodorod atomi uchun eng kichik energiya  $n = 1$  ga to'g'ri keladi, ya'ni  $E_1 = -13,6$  eV. (7.15) dan ko'rindaniki, sathni raqami ortishi bilan yoki orbita radiusini ortishi bilan atom energiyasi ortadi (energiyaning absolut qiymati kamayadi).  $n = \infty$  ga mos kelgan energiyaning maksimal qiymati  $E_\infty = 0$

Atom energiyasini kvantlanishini energetik sathlar ko'rinishida tasvir etish qulay 7.3-rasmida vodorod atomi uchun energetik sathlarni diagrammasi keltirilgan. Gorizontal chiziqlar yordamida vodorod atomining ruxsat etilgan holatlarini energiya qiymatlari berilgan.  $n$  ni ortishi bilan va  $n = \infty$  kelishi bilan energetik holatlar bir-biriga yaqinlashib boradilar va oxirida qo'shilib ketadilar. Pirovardida  $n = \infty$  da uzlusiz spektr hosil bo'ladi. Bu natija klassik planetar model va moslik prinsipi bilan mos tushadi.  $n = \infty$  da energiyalarni qo'shilgan joyida  $E > 0$  bo'ladi. Sistema endi bog'lanmagan bo'lib, elektron ozod bo'ladi.

(7.15) dan ko'ramizki, atom asosiy holatda bo'lganda, undan elektronni uzib olish uchun zarur bo'lgan energiya 13,6 eV ga teng. Demak,  $E_{\text{bog.}} -$  bog'lanish energiyasi,  $E_{\text{ion}} -$  ionizatsiya energiyasi asosiy holatdagi vodorod atomi uchun  $E_{\text{bog.}} = E_{\text{ion}} = 13,6$  ev.

Energetik sathlarni diagrammasidagi quyidagi muhim ta'riflar kelib chiqadi.  $E_{uy}$  – uyg'onish energiyasi deb atomni asosiy holatdan uyg'ongan holatlaridan biriga o'tish uchun atomga beriladigan energiyani tushuniladi. Masalan,  $E_{uy} = -3,40$  ev - (-13,6 eV) = 10,2 eV  $n=2$  mos kelgan birinchi uyg'onish holatining uyg'onish energiyasidir.

$E_{ion}$  – ionlashtirish energiyasi deb asosiy holatda yotgan atomdan elektronni uzib olish tushuniladi. 7.3-rasmdan  $E_{ion} = 13,6$  eV.

$E_{\text{bog.}}$  – berilgan holat uchun bog'lanish energiyasi bo'lib, berilgan uyg'ongan holatdan elektronni uzoqlashtirish energiyasi tushuniladi. Masalan,  $n=2$  holat uchun  $E_{\text{bog.}} = 3,4$  eV.

Bor modeli vodorod atomi va vodorodsimon atomlar spektrini juda yaxshi tushuntirib berdi.

### 7.5. Ridberg doimiyligi va spektrial seriyalar

Borning to'rtinchi postulatiga ko'ra elektron energiyasi  $E_i$  bo'lgan dastlabki  $n_i$  holatdan energiyasi  $E_f$  bo'lgan boshqa  $n_f$  holatga o't-

ganda, atom o'zidan foton chiqaradi. Bor formulasiga ko'ra fotonning chastotasi

$$v = \frac{E_i - E_f}{\hbar} = \frac{E_i - E_f}{2\pi\hbar}, \quad E_i > E_f \quad (7.16)$$

formula bilan topiladi. Eneagiya uchun yozilgan (7.14) formuladan foy-dalanib, (7.16) ni qo'yidagicha yozamiz:

$$v = \frac{c}{\lambda} = \frac{me^4}{64\pi^3\hbar^3\varepsilon_0^2} \left( \frac{1}{n_f^2} - \frac{1}{n_i^2} \right) \quad (7.17)$$

bu tenglamadan nurlangan fotonning to'lqin uzunligi

$$\frac{1}{\lambda} = \frac{me^4}{64\pi^3\hbar^3\varepsilon_0^2 c} \left( \frac{1}{n_f^2} - \frac{1}{n_i^2} \right) \quad (7.18)$$

ga teng. (7.18) tenglama oldingi bobda tanishgan spektrial seriyalarining formulasiga o'xshash. Agar  $n_i = n$  va  $n_f = 1$  desak, (7.18) tenglama Layman seriyasini ifodalovchi Laymannning empirik formulasiga; agar  $n_f = 2$  desak Balmer seriyasiga va h.k. ga keladi. Bundan chiqadiki, nazariy jihatdan

$$R = \frac{me^4}{64\pi^3\hbar^3\varepsilon_0^2 c} \quad (7.19)$$

ifoda Ridberg doimiyligiga teng bo'lishi kerak. (7.18) ni

$$\frac{1}{\lambda} = R = \left( \frac{1}{n_f^2} - \frac{1}{n_i^2} \right) \quad (7.20)$$

urinishda yozsak spektrial seriyalar uchun yozilgan formulalarni hosil qilamiz. (7.19) ifodaga kattaliklarni barcha son qiymatlarini qo'ysak  $R = 1,0974 \cdot 10^7 \text{ m}^{-1}$  ga teng va eksperimentdan olingan empirik  $R$  ga tengdir.

Sathlar energiyasini quyidagi ko'rinishda yozib  $n_i$  va  $n_f$ -stasionar sathlar orasidagi o'tish jarayonida hisoblab foton energiyasini elektronovoltda

$$E_i - E_f = 13,6 \left( \frac{1}{n_f^2} - \frac{1}{n_i^2} \right) \quad (7.21)$$

ifodalash mumkin.

(7.4) rasmida  $n = 2, 3, 4, \dots$  holatlardan  $n = 1$  asosida holatga o'tish  $n = 3, 4, 5, \dots$  holatlardan  $n = 2$  holatga o'tish va  $n = 4, 5, 6, \dots$  holatlardan  $n = 3$  holatga tasvirlangan. Manfiy energiyaga ega bo'lgan holatlar

orasidagi o'tishlar spektr hosil qiladi. Musbat energiyani ( $E>0$ ) holat bilan ( $E<0$ ) manfiy energiyali holatlar orasidagi o'tishda uzulksiz spektr hosil bo'ladi.

### Vodorod atomi uchun Bor nazariyasidan kelib chiqqan asosiy formulalar

7.1-jadval

Kattaliklar	Birligi	Vodorod atomi
Orbita radiusi	$M$	$r_n = \frac{4\pi\epsilon_0\hbar^2}{me^2} n, n = 1,2,3,\dots$
To'la energiya	$eV$	$E_n = -\frac{me^4}{32\pi^2\epsilon_0^2\hbar^2} \cdot \frac{1}{n^2} = -\frac{13,6}{n^2}$
Ridberg doimisi	$m^{-1}$	$R = -\frac{me^4}{64\pi^3\epsilon_0^2\hbar^3 c}$
To'lqin son (uzunlik)	$m^{-1}$	$\frac{1}{\lambda} = R \left( \frac{1}{n_f^2} - \frac{1}{n_i^2} \right)$
Chastota	$Gs$	$v = Rc \left( \frac{1}{n_f^2} - \frac{1}{n_i^2} \right)$
Kvant energiyasi	$eV$	$\epsilon = E_i - E_f = v = 13,6 \left( \frac{1}{n_f^2} - \frac{1}{n_i^2} \right)$

### 7.6. Bor modeli va moslik prinsipi

1920-yilda Bor moslik prinsipi g'oyasini berdi. Bu prinsipga ko'ra fizikada yaratilgan har qanday yangi nazariya pirovardida ma'lum bir yaqinlashishlarda klassik fizikada tasdiqlangan unga mos nazariyaga kelishi kerak.

Borning moslik prinsipini katta kvant sonlari uchun qo'llaymiz. Katta kvant sonlarda nurlangan fotonlarning chastotasi klassik planetar modelidagi elektronlarning yadro atrofidan aylanishining teng bo'lishini ko'rib chiqamiz.

Klassik nazariyaga ko'ra orbitada elektronning aylanish chastotasi

$$f = \frac{1}{2\pi} \sqrt{\frac{e^2}{4\pi\epsilon_0 mr^3}} \quad \text{Bor modeliga binoan statsionar orbitalarning radiusi}$$

$r_n = \frac{4\pi\epsilon_0 n^2 \hbar^2}{me^2}$ . Bu kattalikni chastotalar formulasiga qo'ysak:

$$f = \frac{me^4}{64\pi^2\epsilon_0^2\hbar^3} \cdot \frac{2}{n^3} \quad (7.22)$$

ni olamiz. Borga ko'ra elektron  $n_i$  holatdan  $n_f$  holatga o'tganda nurlangan foton chastotasi

$$v = \frac{me^4}{64\pi^3\hbar^3\epsilon_0^2} \left( \frac{1}{n_f^2} - \frac{1}{n_i^2} \right) \quad (7.23)$$

Bu ifodani quyidagicha yozamiz:

$$v = \frac{me^4}{64\pi^3\hbar^3\epsilon_0^2} \frac{(n_i^2 - n_f^2)}{n_f^2 n_i^2} \quad (7.24)$$

$n_i$  va  $n_f$  ni bir-biriga juda yaqin va juda katta qiymatlarida

$$\begin{aligned} n_i - n_f &= \Delta n \\ n_i + n_f &= 2n_f = 2n \\ n_f^2 n_i^2 &= n^4 \end{aligned} \quad (7.25)$$

ni yozish mumkin. (7.25) tenglamalarni hisobga olib (7.24) ni quyida-gicha yozish mumkin:

$$v = \frac{me^4}{64\pi^3\hbar^3\epsilon_0^2} \cdot \frac{2\Delta n}{n^3} \quad (7.26)$$

$\Delta n = 1$  bo'lganda (7.26) ifoda bilan mos tushadi  $\Delta n = 2, 3, 4, \dots$  da asosiy chastotani garmonikalarini olamiz.

Shunday qilib katta kvant sonlarda  $f = v$  bo'lib, elektronning yadro atrofida aylanish chastotasi, nurlanish chastotasi teng bo'ladi. Mikrodunyo uchun bo'lgan Bor modeli  $n$  ni katta qiymatlarida makrodunyoni natijalarini beradi. Bundan chiqadiki, Bor modelini makrodunyo masalasiga qo'llasak ham bo'ladi. Bu jihatdan moslik prinsipini falsafiy ma'nosi chuqur ma'noga egadir.

## **SAVOLLAR**

1. Atomnnig qanday klassik modellarini bilasiz?
2. Atomni barqarorligi deganda nimani tushunasiz?
3. Atomning Tomson modeliga ko'ra chiziqli spektrni tushuntirsa bo'ladimi?
4. Nagaoko modeli Tomson va planetar modeldan nimasi bilan farq qiladi?
5. Atom uchun Rezerford modelini tushuntiring?
6. Rezerford modelidan kelib chiqib vodorod atomi uchun to'la energiya, kinetik energiya. Potensial energiya, orbita radiusi formulalarini yozing.
7. Chiziqli chastota formulasini yozing.
8. Planetar modelni kamchiliklari haqida gapirib bering.
9. Bor postulatlarini aytib bering.
10. Chiqarish va yutilish spektri uchun Bor postulatini tushuntiring.
11. Borni ikkinchi postulatidan foydalanib, elektronning orbitadan tezligi, energiyasi, orbita radiusi formulalarini yozing.
12. Asosiy va uyg'ongan energetik holatlar haqida gapiring.
13. Uyg'ongan holatlar uchun orbita radiusini Bor radiusi orqali yozing.
14. Uyg'ongan holatlar uchun orbita energiyasini asosiy holat energiyasi orqali yozing.
15. Vodorod atomi uchun energetik diagramma tuzing.
16. Uyg'onish energiyasi, bog'lanish energiyasi, ionlash energiyasini tushuntiring.
17.  $n=3$  uchun uyg'onish energiyasiga hisoblang va uni tushuntiring.
18. Ridberg doimiyligini Bor modelidan kelib chiqib yozing.
19. O'tish jarayonida hosil bo'lgan foton energiyasini energetik holatlar orqali elektrovolt birligida yozing.
20. 7.3-rasmga ko'ra qachon uzlusiz spektr va qachon diskret spektr hosil bo'lishini tushuntiring.
21. Borning moslik prinsipiiga ta'rif bering.
22. Borni moslik prinsipidan kelib chiqib  $v=f$  ekanligini ko'rsating.
23. Borni moslik prinsipiiga qanday falsafiy qarash yotadi.
24. Bu ma'ruzadan so'ng sizda olam haqida qanday tasavvur paydo bo'ldi.

## **Masalalar**

- 7.1. Vodorod atomida proton atrofida aylanayotgan elektron uchun Rezerfordning planetar modelini qo'llang va quyidagi kattaliklarni toping:

- elektronning burchak chastotasini;
  - uning chiziqli tezligini;
  - markazga intilma tezlanishini;
  - markazga intilma kuchni;
  - uning kinetik energiyasini ( $eV$ );
  - atomning potensial energiyasini ( $eV$ );
  - to'la energiyani;
  - atomning ionlashtirish energiyasini ( $eV$ );
  - elektron bilan proton orasidagi Kulon kuchini;
  - elektron bilan proton orasidagi gravitatsion kuchini;
  - kulon kuchi bilan gravitatsion tortish kuchini taqqoslang.
- Hisoblangan ma'lumotlarga ko'ra o'z fikringizni bildiring.

7.2. 7.1-masala shartiga Bor modelini qo'llang va Borning kvant-lash shartidan foydalanib quyidagi kattaliklarni toping:

- $n$ -doiraviy orbitani  $r_n$  – radiusini;
- $n$ - orbitada aylanayotgan elektronning  $u_n$  – tezligini;
- elektronning  $K_n$  – kinetik energiyasini;
- atomning potensial  $U_n$  – energiyasini;
- elektronning  $E_n$  – to'la energiyasini toping.

Olingan ifodalarni  $\alpha$  – nozik struktura doimiysi orqali yozing. Bor modelidan olingan natijalarini Rezerford modelidan olingan natijalar bilan taqqoslang. Bu modellar orasidagi asosiy farq nimada?

7.3. Fundamental fizikaviy doimiyliklar to'plamidan va kattaliklarni birligi nuqtayi nazardan zaryadi ze ga teng bo'lgan vodorodsimon ionlar uchun elektronning tezligi, energiyasi va orbita radiusi uchun ifodalar tuzing. Olingan natijalarini 7.2-masala natijalari bilan taqqoslang.

7.4. Vodorod atomining asosiy va uyg'ongan energetik sathlari ( $n = 1, 2, 3, 4, 5$ ) uchun orbita radiuslari, elektronning chiziqli tezliklari va elektronning to'la energiyalarini hisoblang. Vodorod atomi uchun energetik sathlar diagrammasini mashtabda chizing.

7.5. Klassik elektrodinamikaning qonunlariga binoan elektron qaysi bir Bor orbitalaridan (birinchi yoki ikkinchi) kuchliroq nurlanadi? Necha marta ko'p?

7.6. Vodorod atomi uchun mashtabda energetik sathlarni chizing va unda Layman, Pashen, Balmer seriyasini beruvchi o'tishlarni ko'rsating. Seriyani bosh chizig'i va seriyani chegaralovchi qisqa to'lqlingarga javob beruvchi o'tishlarni ko'rsating.

7.7. 7.6-masaladagi vodorod atomining energetik sathlar diagrammasidan foydalanim Layman seriyasining dastlabki uchta chizig'i uchun to'lqin uzunliklarni va chastotalarni mos ravishda hisoblang. Bu nurlanishlar elektromagnit spektrlari shkalasining qaysi sohasiga to'g'ri keladi? Bizning ko'zimizga ular ko'rindimi?

7.8. 7.6-masaladagi vodorod atomining energetik sathlar diagrammasidan foydalanib Balmer seriyasining dastlabki uchta chizig'i uchun to'lqin uzunliklarni va chastotalarni mos ravishda hisoblang. Bu nurlanishlar elektromagnit spektrlari shkalasining qaysi sohasiga to'g'ri keladi? Bizning ko'zimizga ular ko'rindimi? Nima uchun?

7.9. 7.6-masaladagi vodorod atomining energetik sathlar diagrammasidan foydalanib Pashen seriyasining dastlabki uchta chizig'i uchun to'lqin uzunliklarni va chastotalarni mos ravishda hisoblang. Bu nurlanishlar elektromagnit spektrlari shkalasining qaysi sohasiga to'g'ri keladi? Bizning ko'zimizga ular ko'rindimi? Nima uchun?

$$7.10. \text{ Vodorod atomining sathlari uchun } E_n = -\frac{2\pi\hbar c^2}{n^2} \cdot R$$

(bunda R - Ridberg doimiysi) ifoda o'rini ekanligini ko'rsating.

7.11. Vodorod atomida elektron  $n=5$  holatdan  $n=1$  holatga o'tganda chiqqan foton energiyasi va impulsini toping. Shuning tepki atomining tezligi va impulsini hisoblang.

7.12. Vodorod atomi uchun keltirilgan energetik sathlar diagrammasidan foydalanib berilgan holatlar uchun  $E_{uyg}$ -uyg'onish energiyasi,  $E_{bog}$ -bog'lanish energiyasi,  $E_{ion}$ -ionlashtirish energiyasi kabi tushunchalarga izoh bering. Har qanday  $n$  uchun  $E_{ion} = E_{uyg} + E_{bog}$  o'rini ekanligini ko'rsating.  $n=4$  uchun uyg'onish energiyasini hisoblang.

7.13. Balmer formulasidan foydalanib ( $n+1$ ) – Bor orbitasidan  $n$  – Bor orbitasiga o'tishdagi nurlanish chastotasi  $\nu_{n+1}, \nu_n$  uchun  $n \rightarrow \infty$  da n-nchi Bor orbitasidagi elektronning aylanish chastotasini  $\omega_n$  ga intilishini ko'rsating.

7.14. Vodorod atomi spektridagi rezonans chiziqning to'lqin uzunligi  $\lambda_r = 121,5 \text{ nm}$ , Balmer seriyasining to'lqin uzunligi  $\lambda_\infty = 360 \text{ nm}$  bo'lsa, vodorod atomining ionlashtirish potensialini toping.

$$7.15. \text{ Nuqtaviy zaryad nurlanishining quvvati } W = \left( \frac{1}{6\pi\varepsilon_0} \right) c^2 \cdot |\vec{v}|^2 / c^3$$

formula bilan ifodalanadi. Elektronning orbital radiusi  $r_0 = 10^{-10} \text{ m}$  bo'lsa, klassik nazariyaga asoslanib atomning yashash vaqtini chama-lang.

7.16. Vodorod atomida elektron bog'lanish energiyasi  $0,54 \text{ eV}$  bo'lgan holatdan uyg'onish energiyasi  $10,2 \text{ eV}$  holatga o'tdi. Bu holatlarga mos keluvchi kvant sonlarini toping; o'tish jarayonida hosil bo'lgan fotonning to'lqin uzunligini toping; bu chiziq qaysi spektrial seriyaga tegishli?

7.17. Birinchi, ikkinchi va uchinchi Bor orbitalari uchun vodorod atomida elektronning to'la energiyasini elektronovoltlarda hisoblang.

Chiqqan natijadan foydalanim vodorodning uyg'ongan atomi uchun birinchi kritik potentsialni hisoblang.

7.18. Energiyasi  $12,1 \text{ eV}$  bo'lgan foton asosiy holatda yotgan atom tomonidan yutildi. Uyg'ongan atom holati uchun kvant sonini toping.

7.19. Umumiy massa markazi atrofida aylanayotgan elektron bilan pozitronidan tashkil topgan sistemani pozitroniy deyiladi. Pozitronning massasi elektronning massasiga teng. Pozitroniy asosiy holatda bo'lganda elektron bilan pozitron orasidagi masofani toping. Ionlashtirish potentsialini toping.

7.20. Mezoatom (Vodorodsimon atom bo'lib, elektronning o'rniiga  $\mu$ -mezon yadro atrofida aylanadi) uchun birinchi Bor radiusi, bog'lanish energiyasi, asosiy holat va birinchi uyg'onish holati potentsialini toping. Myuonning tinchlikdagi massasi  $m_\mu = 207 m_e$ .

7.21. Radiusi  $0,53 \cdot 10^{-10} \text{ bo'lgan}$  orbitada proton atrofida harakat qilayotgan elektron klassik elektrodinamika formulasiga binoan nurlanishi tufayli energiya yo'qotadi va yadroga tushib qoladi. Elektronning yadroga tushib qolish vaqtini hisoblang.

7.22. Bor nazariyasidan foydalanim vodorod atomi uchun Ridberg doimiysi formulasini keltirib chiqaring.

7.23. Uyg'ongan vodorod atomining radiusi  $1,0 \text{ mm}$  ga teng bo'ldi deylik. Radiusi bunday bo'lgan orbita uchun kvant soni nechaga teng? Bu orbitadagi elektronning energiyasi-chi?

7.24. Bor atomi uchun norelativistik formulalar o'rinnimi? Mulo-hazangizni asosiy holatda yotgan vodorod atomidagi elektron tezligini yorug'lik tezligi  $c$  – ulushida tasdiqlang.

7.25. Atomdagagi holatlarni va xossalarni tavsiflash uchun norelativistik kvant mexanika asoslari yetarlimi? Javobingizni tasdiqlang.

7.26. Yarim klassik nazariya asosida vodorod atomida bog'lanish energiyasini chamalang va uni Ridberg doimiysi orqali ifodalang. Proton og'irligini cheksiz deb hisoblang.

7.27. Vodorod atomining asosiy holati uchun ionlashtirish energiyasi va asosiy holat energiyasi deganda nimani tushunasiz? Ularni miqdori nimaga teng?

7.28. Bor orbitasida harakat qilayotgan elektron tezligini nozik struktura doimiysi  $\alpha$  va yorug'lik tezligi  $c$  orqali yozing.

7.29. Bor orbitasida harakat qilayotgan elektronning kinetik energiyasi  $K$  ni va potentsial energiyani Ridberg doimiysi orqali ifodalang. Proton og'irligini cheksiz deb hisoblang.

7.30. Balmer seriyasini dastlabki  $N=20$  chizig'ini ajratuvchi spek-trial asbobning eng kichik ajrata olish qobiliyatি  $\Delta\lambda/\lambda$  ni hisoblang.

7.31. Bor radiusi va Ridberg doimiysini  $m$ ,  $h$ , va  $e$  – fundamental doimiyliklar orqali yozing.

7.32. Qo'shni energetik sathlar orasidagi masofani ( $E_i$ ) xarakter-lovchi nozik struktura ifodasini yozing va uni izohlang.

7.33. Avvalgi masala natijasidan foydalaniib  $E_f$  ni nozik struktura doimiysi  $\alpha$  va Ridberg doimiysi orqali ifodalang. Nima uchun bunday ifodalash qulay?

7.34.  $E_f = 0$  bo'lishi uchun 7.32-masalada qaysi kattalik cheksizga intilishi kerak? Nima uchun  $E_f$  ni energetik sathlarining asosiy strukturasi uchun relativistik tuzatish deb ataladi?

7.35.  $n$  ning juda katta qiymatlarda ikkita qo'shni orbitalarning ( $n$  va  $(n-1)$  kvant sonlari bilan) radiuslari orasidagi farq

$$\Delta r = r_n - r_{n-1} \approx \frac{2r_n}{n}$$

munosabatni qanoatlantirishini ko'rsating.

7.36. Borning moslik prinsipi o'rinli bo'lishi uchun qanday shartlar bajarilishi kerak? Bu shartlar bir-biriga ekvivalentmi?

7.37.  $n$  ning juda katta qiymatlari uchun elektron  $n$  sathdan  $n-1$  sathga o'tganda vodorod atomidan chiqayotgan yorug'lik chastotasi

$$\nu = \frac{v}{2\pi r_n}$$

ga teng ekanligini ko'rsating. Bunda  $v$  – nurlanish chastotasi,  $v$  – elektron tezligi,  $r_n$  – orbita radiusi.

7.38. Bor nazariyasiga binoan hisoblangan nurlanish chastotasi  $\nu$  moslik prinsipiga ko'ra elektronning orbita bo'ylab aylanish chastotasi f ga teng ekanligini ko'rsating. Nima uchun bu holda chastotalar moslik prinsipiga bo'ysunadi.

7.39. Moslik prinsipi klassik nazariya bilan kvant nazariya orasida «ko'prik» vazifasini o'tay oladimi? Javobingizni izohlang.

7.40. Moslik prinsip mazmuni nimada?

## **VIII BOB**

### **Mavzu: VODORODSIMON ATOMLAR UCHUN BOR MODELI. BOR NAZARIYASINING EKSPERIMENTAL TASDIG'I**

Reja:

- 8.1. Vodorodsimon atomlar. Pikering seriyasi.**
- 8.2. Yadro harakatiga tuzatish.**
- 8.3. Elastik va noelastik sochilish**
- 8.4. Frank-Gerts tajribasi.**

### **ADABIYOTLAR**

1. Д.И.Блокинцев. Основы квантовой физики. М.: «Высшая школа», 1961.
2. А.Н. Матвеев. Атомная физика. М.: «Высшая школа», 1989.
3. А.А.Соколов, Ю.М.Лоскутов, И.М.Тернов. Квантовая механика. М.: -1962.
4. Э.В.Шпольский. Атомная физика. М.: - 1960.
5. Г.Герцберг. Атомные спектры и строение атомов. М.: «ИЛ», 1949.
6. Г.Герцберг. Спектры и строение двух атомных молекул. М.: «ИЛ», - 1949.
7. М.В.Волькенштейн. Строение молекул. М.: «Наука», 1967.
8. N.Bohr - Phil. Mag., 1913. v. 26, p. 1 (оригинал).

**Masalaning qo'yilishi:** Bor nazariyasining yaratilishi atom tuzilishini o'rganishda eng katta qadam bo'ldi. U vodorod atomi tuzilishi, chiziqli spektrlarni juda yaxshi tushuntirib berdi. Lekin shu chiziqlarning intensivligini hisoblash yo'lini ko'rsatmadni. Bor nazariyasi vodorod atomidan keyin kelgan geliy atomini tushuntirishga qurbi etmadni. Birorq Bor nazariyasi vodorodsimon atomlar spektrini to'g'ri tushuntira oldi. Shu sababli bu mavzuda bir karrali ionlashgan geliy atomi Bor nazariyasi doirasida tahlil qilinadi. Shu bilan birga bu mavzuda yadro harakatini inobatga olgan Bor nazariyasiga ham e'tibor berildi. So'ngra Frank-Gerts tajribasi orqali atomning statsionar holatlari haqiqatdan ham mavjud ekanligi haqida so'z yuritiladi.

Bu mavzuni o'tishdan asosiy maqsad Bor modelini vodorodsimon atomlarga ta'tbiq etish orqali Bor nazariyasining muvaffaqiyatini ko'r-

satisfish; vodorod atomida yadro (proton) ning harakatini e'tiborga olib Bor nazariyasiga tuzatish kiritish; statsionar energetik holatlarining mavjudligini eksperimental tasdiqlash.

**Mavzu qahramonlari:**

1. Nils Xendrik David Bor (1886–1962) Kopengagenda fiziologiya professori oиласида туг'илган. 1911-yilda doktorlik dissertatsiyasini yoqilagan, 1914-yilda Bor Manchester universitetida o'qituvchilik qilgan. 1920-yilda Bor Berlinga kelgan, Plank va Gerts bilan tanishgan. 1922-yilda Bor elementlarning davriy sistemasini nazariy asoslagan. Borning nazaryasi bo'yicha 71-element Gafniy ochilgan. 1927-yilda to'ldiruvchi prinsipini yaratgan. Yadro fizikasini rivojlanishida Bor katta xissa qo'shdi. 1938-yilda yadroning tomchi modeli va tarkibiy modelini berdi. 1939-yilda yadroning bo'linish nazariyasini yaratdi. 1943-yilda hokimiyatga Gitler kelgandan so'ng Daniyadan Shvetsiyaga, so'ng Angliyaga qochishga majbur bo'ldi. Yadro bombasi yaratilishida qatnashdi. 1922-yilda atom strukturasi va nurlanishdagi izlashlari uchun Nobel mukofotiga sazovor bo'ldi.

2. G.K.Yuri detyriy atomini kashf etganligi uchun 1934-yilda kimyo fani bo'yicha Nobel mukofotiga sazovor bo'lgan.

3. Jeyms Frank (1882–1964) Gamburgda (Olmoniya) tug'ilgan. Geydelberg universitetida 1901–1902 yilda, so'ng 1906-yilda Berlin universitetini bitirgan. 1920–1933 yillarda Gettingen shahridagi Fizika institutida direktorlik qilgan. 1925-yilda Gerts bilan birgalikda energetik sathlarni eksperimental kashf etgani uchun Nobel mukofotiga sazovor bo'lgan.

4. Gustav Lyudvig Gerts (1887–1975) – Olmoniyaning Gamburg shahrida tug'ilgan. «Fillips» firmasining fizika laboratoriyasida ishlagan. «Simens» firmasining ilmiy tadqiqot laboratoriyasiga rahbarlik qilgan. Leypsigdagi fizika institutida rektor bo'lgan. 1925-yilda Frank bilan birgalikda atomni diskret sathlarini eksperimental tasdiqlagani uchun Nobel mukofoti olgan.

## VIII bob. VODORODSIMON ATOMLAR UCHUN BOR MODELI. BOR NAZARIYASINING EKSPERIMENTAL TASDIG'I

### 8.1. Vodorodsimon atomlar. Pikering seriyasi

Bor nazariyasi atom tuzilishi nazariyasiini rivojlantirishda katta qadam bo'ldi. Yuqorida ko'rdikki, Bor nazariyasi vodorod atomining spektrial chiziqlari chastotalarini to'g'ri tavsiflab bera oldi. Davriy sistemaning vodorod atomidan keyin joylashgan geliy atomi uchun Bor nazariyasingning kuchi o'tmadidi. Lekin Bor nazariyasini vodorodsimon atomlarga muvoffaqiyat bilan qo'llash mumkin.

Zaryadi Ze ga teng yadro va bitta elektronidan tashkil topgan atomlar *vodorodsimon atomlar* deb ataladi. Masalan, bir karrali ionlashgan geliy atomi  $He^+$  ( $z=2$ ), ikki karrali ionlashgan litiy atomi  $Li^{++}$  ( $z=3$ ) yoki uch karrali ionlashgan berilliyligi atomi  $Be^{+++}$  vodorodsimon atomlardir.

Vodorodsimon atom uchun Nyutonning ikkinchi qonuniga ko'ra

$$\frac{1}{4\pi\epsilon_0} \cdot \frac{Ze^2}{r^2} = \frac{mv^2}{r} \quad (8.1)$$

Ikkinchi muhim tenglama Bor nazariyasiga asosan

$$L = mvR = n\hbar \quad (8.2)$$

bo'ladi. 8.1-jadvalda vodorod atomi va vodorodsimon atom uchun xarakterli tenglamalari keltirilgan. Bu tenglamalarda vodorod atomi uchun yozilgan  $e^2$  kattalik vodorodsimon atomlar uchun  $Ze^2$  kattalikka almashtirilgan.

Jadvaldan ko'ramizki  $n$ -kvant sonining berilgan qiymati uchun vodorodsimon atomlarning elektron orbitalarining radiusi vodorod atomining elektron orbitasi radiusidan z marta kichik,  $E_n$  energiyadan mos qiymatlari esa (absolyut qiymatiga ko'ra)  $z^2$  marta katta. Masalan, bir karra ionlashgan geliy atomi  $He^+$  ( $z=2$ ) uchun: asosiy holat energiyasi  $E_1 = -\frac{13,6}{1^2} \cdot 2^2 = -54,4 \text{ eV}$  ( $n=1$ ). Birinchi uyg'onish holati

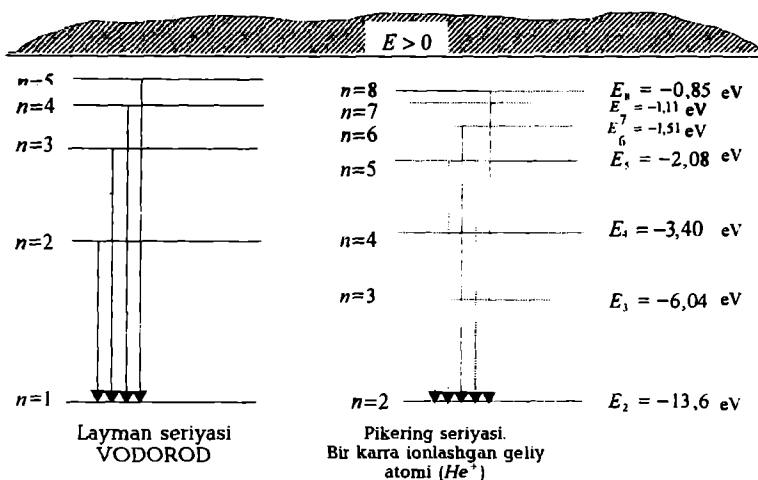
(n=2) uchun  $E_2 = -\frac{13,6}{2^2} \cdot 2^2 = -13,6 \text{ eV}$  Ikkinchi uyg'onish holati

(n=3) uchun  $E_3 = -\frac{13,6}{3^2} \cdot 2^2 = -6,04 \text{ eV}$  Qizig'i shundaki n=2,4,6 va

h.k.ga to'g'ri kelgan energetik sathlarning energiya qiymati vodorod atomining n=1,2,3 va h.k. holatdan energetik qiymatlariga teng. Bunda chiqadiki  $He^+$  atomida elektron n=4 sathdan n=2 sathga o'tganda chiqilgan fotonning to'lqin uzunligi vodorod atomida elektron n=2 sathdan n=1 sathga o'tganda chiqargan fotonning to'lqin uzunligiga teng bo'ladi. Bu o'tishlar 8.1-rasmda ko'rsatilgan rasmdan ko'rib turibsizki vodorod atomi uchun berilgan Layman seriyalarining (n=1 ga o'tish) ko'p chiziqlari  $He^+$  atomidagi Pikering seriyasidagi (n=2 sathga o'tish) o'tish chiziqlariga mos keladi. Bu voqeа ko'p tadqiqotchi spektroskopistlarni ko'p chalg'itgan. 8.1-jadvaldan ko'rasizki  $He^+$  uchun Ridberg doimiyligi ham vodorodning Ridbergidan  $Z^2$  marta katta,  $\gamma$  holda  $n_i \rightarrow n_f$  o'tish to'lqin son  $\tilde{\nu} = \frac{1}{\lambda}$  ham  $Z^2$  marta kattadir.

8.1-jadval

Vodorod atomi	Vodorodsimon atomlar	Yadro harakatiga tuzatish
$r_n = \frac{4\pi\epsilon_0\hbar^2}{me^2} \cdot n^2, \text{ m}$	$r_n = \frac{4\pi\epsilon_0\hbar^2}{mze^2} \cdot n^2, \text{ m}$	$r_n = \frac{4\pi\epsilon_0\hbar^2}{\mu e^2} \cdot n^2, \text{ m}$
$E_n = -\frac{me^4}{32\pi^2\epsilon_0^2\hbar^2} \cdot \frac{1}{n^2} = -\frac{13,6}{n^2}$	$E_n = -\frac{mz^2e^4}{32\pi^2\epsilon_0^2\hbar^2} \cdot \frac{1}{n^2} = -\frac{13,6z^2}{n^2}$	$E_n = -\frac{\mu e^4}{32\pi^2\epsilon_0^2\hbar^2} \cdot \frac{1}{n^2} \text{ eV}$
$R = \frac{me^4}{64\pi^3\epsilon_0^2\hbar^3 c}, \text{ m}^{-1}$	$R = \frac{me^4 z^2}{64\pi^3\epsilon_0^2\hbar^3 c} = Rz^2, \text{ m}^{-1}$	$R_\mu = -\frac{\mu e^4}{64\pi^1\epsilon_0^2\hbar^1 c}, \text{ m}^{-1}$
$\frac{1}{\lambda} = R \left( \frac{1}{n_f^2} - \frac{1}{n_i^2} \right), \text{ m}^{-1}$	$\frac{1}{\lambda} = Rz^2 \left( \frac{1}{n_f^2} - \frac{1}{n_i^2} \right) m^{-1}$	$\frac{1}{\lambda} = R_\mu \left( \frac{1}{n_f^2} - \frac{1}{n_i^2} \right), \text{ m}^{-1}$
$\nu = Rc \cdot \left( \frac{1}{n_f^2} - \frac{1}{n_i^2} \right), \text{ gs}$	$\nu = Rcz^2 \cdot \left( \frac{1}{n_f^2} - \frac{1}{n_i^2} \right), \text{ gs}$	$\nu = R_\mu \cdot c \left( \frac{1}{n_f^2} - \frac{1}{n_i^2} \right), \text{ m}^{-1}$



8.1-rasm.

## 8.2. Yadro harakatiga tuzatish

Bor nazariyasida massiv yadroni qo'zg'almas deb faraz qildik. Vodorod atomining aniq modelida yadroning harakati ham inobotga olinadi. Massasi  $m$  bo'lgan elektron va massasi  $M$  bo'lgan proton massa markazi k deb atalgan nuqta atrofida aylanadilar (8.2-rasm)  $r_e$  va  $r_n$  – elektron va yadroni mos ravishda massa markazigacha bo'lgan masofalar. 8.2-rasmga ko'ra

$$r = r_e + r_n \quad (8.3)$$

Massa markazi ta'rifiga binoan

$$Mr_n = mr_e \quad (8.4)$$

(8.3) va (8.4) ni  $r_e$  va  $r_n$  ga nisbatan echsak

$$r_e = \left( \frac{M}{M+m} \right) r \quad (8.5)$$

$$r_n = \left( \frac{m}{M+m} \right) r \quad (8.6)$$

lar kelib chiqadi. Borni ikkinchi postulatiga muvofiq, massa markaziga nisbatan to'la impuls momenti

$$L = M\vartheta_n r_n + m\vartheta_e r_e = n\hbar \quad (8.7)$$

ga teng. Bunda  $V_n = \omega r_n$  va  $V_e = \omega r_e$  yadro va elektronning chiziqli tezliklari. (8.7) ni

$$L = M\omega r_n^2 + m\omega r_e^2 = n\hbar \quad (8.8)$$

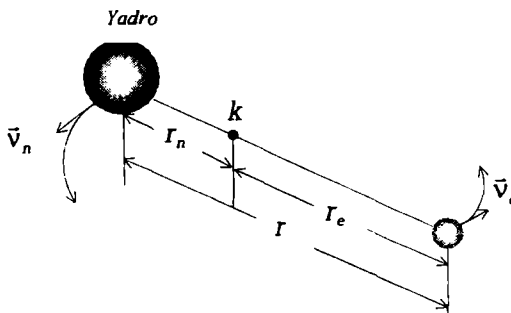
ko'rinishda yozamiz. (8.8) ga (8.5) va (8.8)ni olib kelib qo'ysak

$$\mu \omega r^2 = n\hbar \quad (8.9)$$

formulaga ega bo'lamiz. Bunda

$$\mu = \frac{mM}{m+M} \quad (8.10)$$

larni olamiz.  $\mu$  – keltirilgan massa deyiladi.



8.2-rasm. Yadroning harakati.

(8.9) formuladagi  $\omega$  ni o'rniga  $\frac{V}{r}$  ni qo'ysak, u holda statsionar holatlар uchun

$$L = \mu \omega r^2 = n\hbar \quad (8.11)$$

o'rinli bo'ladi. Bu formula (7.8) formulaga o'xshash bo'lib, faqat elektronning massasi o'rniga keltirilgan massa  $\mu$  yozilgan.

Vodorod atomining potensial energiyasi

$$U = -\frac{1}{4\pi\epsilon_0} \frac{e^2}{r}$$

ga teng, kinetik energiyasi esa

$$K = \frac{1}{2} m v_e^2 + \frac{1}{2} M V_n^2 = \frac{\omega^2}{2} (m r_e^2 + M r_n^2)$$

ko'rinishga ega bo'ladi. Ushbu formulada biroz almashtirishlar qilib

$$K = \frac{1}{2} \mu \omega^2 r^2 \quad (8.12)$$

ko'rinishdagi tenglamaga ega bo'lamiz.

Enda (7.2) formulani yadro harakatini e'tiborga olgan holda yozamiz:

$$\frac{1}{4\pi\epsilon_0} \frac{e^2}{r^2} = m \frac{v_e^2}{r_e} = m \omega^2 r_e$$

Bu formulaga (8.5) dagi  $r_e$  ni qo'ysak,

$$\frac{1}{4\pi\epsilon_0} \frac{e^2}{r^2} = \frac{Mm}{M+m} \omega^2 r$$

va uni

$$\frac{1}{4\pi\epsilon_0} \frac{e^2}{r^2} = \mu \omega^2 r \quad (8.13)$$

ko'rinishga keltiramiz.  $\omega$  ni o'rniga (8.9) ifodani qo'ysak

$$\frac{1}{4\pi\epsilon_0} \frac{e^2}{r} = \mu \frac{n^2 \hbar^2}{\mu^2 r^4} r$$

ni olamiz va bundan

$$r_n = r = \frac{4\pi\epsilon_0 n^2 \hbar^2}{\mu e^2} \quad (8.14)$$

ni topamiz.

(8.14) formula (7.11) formulaning xuddi o'zi bo'lib, unda (8.14) dagi  $m$  ni o'rniga faqat  $\mu$  yozilgan. Yadro harakatiga tuzatish inobatga olinganda vodorod atomining statsionar orbitalarining radiusi (8.14) formula bilan topiladi.

Yadro harakatiga tuzatish kiritganda elektronning kinetik energiyasi (8.12) bo'lgani uchun vodorod atomining to'la energiyasi

$$E_n = - \frac{\mu e^2}{32\pi^2 \epsilon_0^2 \hbar^2} \frac{1}{n^2} \cdot \text{eV} \quad (8.15)$$

formula bilan aniqlanadi.

Xuddi shunga o'xshagan ifodalarni Ridberg doimisi va elektron o'tishda chiqqan fotonning chastotasi va to'lqin uzunligiga ham yozish mumkin:

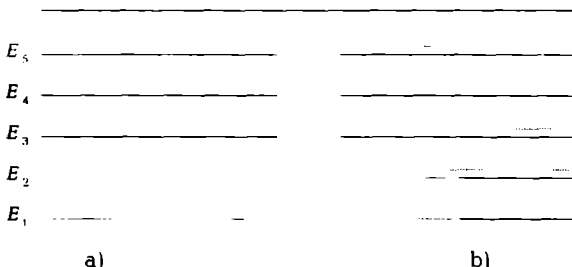
$$R_\mu = - \frac{\mu e^4}{64\pi^3 \epsilon_0^2 \hbar^3 c}, \quad m^{-1} \quad (8.16)$$

$$v = \frac{\mu e^4}{64\pi^3 \epsilon_0^2 h^3} \left( \frac{1}{n_f^2} - \frac{1}{n_i^2} \right), \quad \text{Gs} \quad (8.17)$$

$$v = \frac{\mu e^4}{64\pi^2 \epsilon_0^2 \hbar^3 c} \left( \frac{1}{n_i^2} - \frac{1}{N^2} \right), \text{ m}^{-1} \quad (8.18)$$

Vodorod atomi uchun yadro harakatiga tuzatish kiritilgan formulalar 8.1-jadvalda keltirilgan.

Yadro harakatini tuzatishni hisobga olgan tenglamalar 1 jadvalda keltirilgan. Yadroni harakatiga tuzatish keltirilgan va yadroni harakatiga tuzatish keltira olmagan energetik sathlar 8.3-rasmida tasvirlangan.



8.3-rasm

Yadroning harakatini hisobga olgan energetik sathlar  $E_\infty = 0$  (8.3, b-rasm) tomonga ozgina siljigan. Amerika fizigi G.K.Yuri  $R_{\mu\nu} > R_\mu$  dan foydalaniib devteriyni kashf etdi.

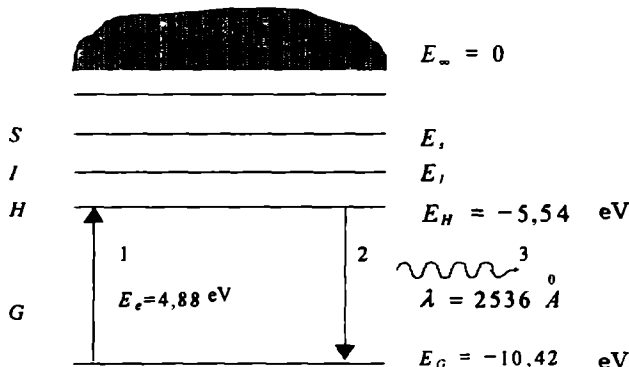
1934-yilda deyteriyini kashf etdi. 1934-yilda deyteriyini kashf etdi.

### **8.3. Elastik va noelastik to‘qnashish**

Bor nazariyasida postulat sifatida berilgan diskret statsionar (turg'un) holatlarning mavjudligini bevosita tasdiqlovchi eksperiment Jems Frank va Gustav Gerts tajribasi bo'ldi. Bu tajribaning xulosalarini yaxshi tushunish maqsadida qisqa ravishda atomning uyg'onishi va «optik» sathlar orasida elektron o'tishlar masalasini ko'rib chiqamiz.

Shuni eslatish lozimki, boshlang'ich kinetik energiyaning o'zgarishiqa qarab, to'qnashishlar elastik va noelastik turga ajraladi. Agar

ikki zarraning to'qnashish jarayonida ularning boshlang'ich kinetik energiyalarining yig'indisi to'qnashish sodir bo'lgandan keyingi kinetik energiyalarini yig'indisiga teng bo'lsa, garchi jarayondan keyin energiya boshqacha taqsimlangan bo'lsa ham, bu jarayonni elastik to'qnashish deyiladi.



8.4-rasm. Simob atomining spektri.

Aks holda, agar to'qnashish jarayoni boshlang'ich kinetik energiyaning bir qismi to'qnashuvchi zarralardan birining ichki energiyasini o'zgartirishga sarf bo'lsa, bunday jarayon noelastik jarayon deb yuritaladi.

Simob atomi  $^{202}_{80}Hg$  kabi og'ir atomlarning ichki qobiqlarida joylangan elektron yadroning elektrostatik tortishi bilan qattiq bog'langan. Shuning uchun ularni atomdan «uzib» olish uchun katta energiya kerak. Bu elektronlarni bog'lanish energiyasi bir necha ming elektron voltga etadi. Tashqi (valentli) elektronlari esa yadro bilan kuchsiz bog'langan. Ularning bog'lanish energiyasi birqancha elektron voltga teng. Frank Gerts tajribasida faqat tashqi (valentli) elektronlar "qatnashadi". Simob atomining elektroni uchun mos bo'lgan shunday sathlar 8.3-rasmda keltirilgan. Bu energetik sathlarni optik sathlar deb ataladi, chunki ular orasidagi istalgan o'tishda to'lqin uzunligi ko'zga ko'ringan sohaga fotonlarning chiqishi yoki yutilishi ko'riladi.

Rasmdan ko'ramizki asosiy holatdagi (G) valentli elektronning energiyasi  $E_G = -10,42 \text{ eV}$ . Boshqa energetik holatlar H, I, S va ha-kozo uyg'ongan holatlarni aks etiradi. Birinchi uyg'ongan holat (H) energiyasi:  $E_H = -5,54 \text{ eV}$ . Asosiy holatda birinchi uyg'ongan holatga elektronni o'tishi uchun zarur bo'lgan energiya (8.3-rasmda 1-

chiziq) teng:  $E_e = E_H - E_G = -5,54 \text{ eV} - (-10,42 \text{ eV}) = 4,88 \text{ eV}$ ; bu energiya simob atomining birinchi kritik potensiyali deb ataladi. Qandaydir sabablar ta'sirida simob atomi birinchi uyg'ongan holatga o'tgan bo'lsa, elektron juda qisqa paytda ( $\approx 10^{-8} \text{ c}$ ) yana asosiy holatiga (2-chiziq) qaytadi. Bu o'tish jarayonida energiyasi  $E_e = 4,88 \text{ eV}$  ga,

to'lqin uzunligi  $\lambda = \frac{hc}{E_e} = 2536 \cdot 10^{-10} \text{ m}$  ga teng bo'lgan foton nurla-

nadi (3-to'lqinsimon chiziq). Rasmdan ko'riamizki simob atomining ionizatsiya energiyasi  $10,42 \text{ eV}$  ga teng.

Past bosimda bo'lgan simob bug'idan sekin harakatlanayotgan elektronlar dastasi o'tayotgan bo'lsin. Agar elektronlarning kinetik energiyasi  $4,88 \text{ eV}$  dan kam bo'lsa, u holda bu elektronlarning simob atomi bilan to'qnashishi elastik bo'ladi, chunki elektronni ilgarilanma harakatining kinetik energiyasi o'zgarmaydi.

Elektronlarning kinetik energiyasini bir qismini yo'qotishi

$$\Delta K = \frac{4mM}{(m+M)^2} K \approx \frac{4m}{M} K \quad (8.19)$$

formula bilan aniqlanadi. Bunda,  $m$ -elektron massasi,  $M$ -simob atomining massasi,  $K = \frac{1}{2}mv^2$  elektronning dastlabki energiyasi.

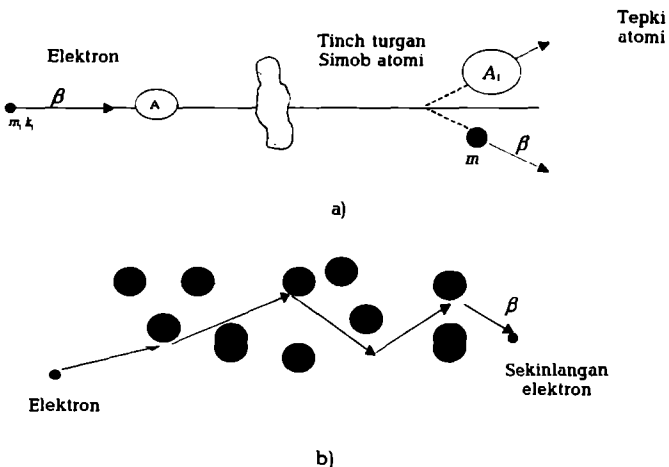
$m \ll M$  bo'lgani uchun  $\Delta K$  yo'qotish energiyasi juda kam.  $\Delta K$  ni miqdori shunchalik kamki, elektron to'la to'xtaguncha juda ko'p to'qnashuvlarga uchraydi va uning traektoriyasi egri-bugri bo'ladi (8.5b-rasmga qarang).

Agar elektronning kinetik energiyasi  $E_H - E_G = 4,88 \text{ eV}$  dan katta bo'lsa, u holda noelastik sochilish hosil bo'lishi mumkin, natijada elektron kinetik energiyasining bir qismi simob atomiga o'tadi va mazkur atom asosiy holatdan  $E_H$  energiyaga ega bo'lgan birinchi uyg'onish holatiga o'tadi. Noelastik sochilish sodir bo'lganidan so'ng elektronni  $K_2$  kinetik energiyasi  $K_2 = K_1 - (E_H - E_G) = K_1 - 4,88 \text{ eV}$  ga teng bo'ladi.

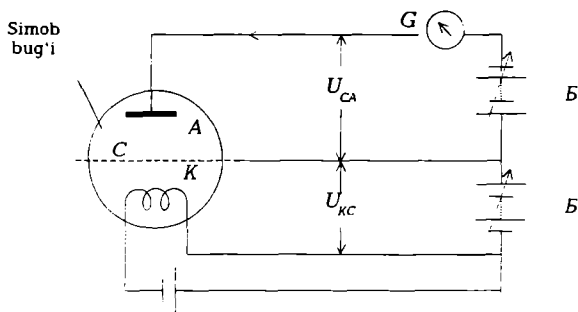
Modomiki, uyg'ongan holatdagi atomning umri juda qisqa bo'lgani ( $\approx 10^{-8} \text{ c}$ ) uchun, to'qnashishdan so'ng, darrov  $A^*$  uyg'ongan atom asosiy holatga o'tadi. Bu o'tishda energiyasi  $E_H - E_G = 4,88 \text{ eV}$  va to'lqin uzunligi  $\lambda = 2536 \text{ Å}$  ga teng bo'lgan foton hosil bo'ladi.

Agar bombardimon qilayotgan elektronning  $K_1$  energiyasi  $4,88 \text{ eV}$  dan uncha katta bo'lmasa, u holda  $K_2 < 4,88 \text{ eV}$  va noelastik sochilish

boshqa ro'y bermaydi. Bu degani, elektronni atom bilan to'qna-shishlari elastik bo'ladi. Agar  $K \gg 4,88$  eV bo'lsa, u taqdirda  $K_2 \gg 4,88$  eV va noelastik sochilish qaytariladi.



8.5-rasm. Noelastik sochilish.



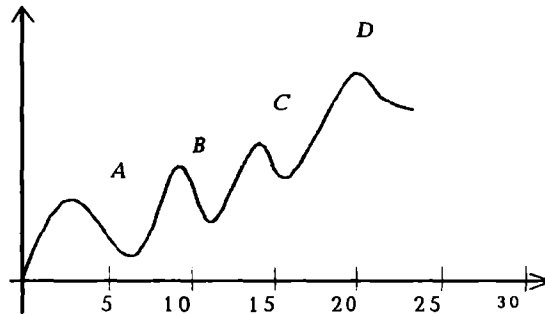
8.6-rasm. Franc-Gerts qurilmasi.

### 8.4. Frank va Gerts tajribasi

Yuqorida ko'rib o'tilgan to'qnashish mexanizmi 1913 yilda Frank va Gerts tajribalarida tekshirildi.

8.5-rasmda tajriba qurilmasining chizmasi tasvirlangan. K – katod, S – o'r va A – anoddan iborat trubka ichiga  $150^{\circ}\text{C}$  temperaturadagi past bosimli simob bug'i kirgizilgan. Katod bilan to'r orasidagi tezlan-tiruvchi  $V_{kc}$  – potensial farqni 0 dan 60 V gacha o'zgartirish mumkin. Anod bilan to'r orasidagi maydonni sekinlantiruvchi (to'xtatish poten-siali) potensial farq  $V_{CA} = 0,5 \text{ eV}$ . Anod tokini o'lchash uchun juda sezgir ( $\approx 10^{-9} \text{ A}$ ) galvanometr anod zanjiriga ketma-ket ulangan.

Anod toki  $i_G$  ni tezlashtiruvchi potensial  $V_{kc}$  ga bog'liqlik grafigi 8.7-rasmda tasvirlangan. Anod tokining boshlang'ich qismi istalgan elektron lampaning volt-amper xarakteristikasiga xos ko'rinishga ega. Lekin rasmda ko'rib turibmizki  $V_c = 4,9 \text{ V}$  da tok keskin pasaygan, so'ngra yana monoton o'sgan.  $V_c$  ning 4,9 V dan katta qiymatlarda tokning sustroq sakrashi kuzatilgan. Rasmdagi  $i_G$  va  $V_{kc}$  ni bunday bog'lanishning quyidagicha tushuntirish mumkin. Katoddan uchib chiqayotgan elektronning harakatini ko'raylik. Energiyasi 4,88 eV dan sal katta energiyaga ega bo'lgan elektronlar simob atomi bilan uchrashganda noelastik sochiladilar.



8.7-rasm.

Natijada elektronlarning energiyasi nihoyatda kamayib ketadi va to'xtatuvchi maydondan ( $\approx 0,5 \text{ V}$ ) o'ta olmaydilar va anodga yetib bormaydilar. Pirovardida anod toki keskin kamayib ketadi. Agar tez-

lantiruvchi potensial V ni yana 4,9 V ga oshirsak, elektronlar yana bitta noelastik sochilishga duchor bo'ladilar va bu holda o'zlarini energiyasini batomom yo'qotishlari mumkin. Buni ikkinchi keskin pasayish ( $V_c \approx 15$  V) tushuntiradi. Bu pasayish birinchi pasayishiga nisbatan keskinroq bo'ladi. Shuday qilib, uchinchi keskin pasayish uchunchi noelastik to'qnashishni xarakterlaydi va hakozo. Birinchi uyg'onish potensiali rezonans potensial deb ataladi va u atomning eng past energetik sathdan (asosiy holatdan) unga qo'shni yuqorigi energetik sathga (birinchi uyg'onish holatiga) o'tishga mos keladi. Bu tajribani spektrial tahlili shuni ko'rsatadiki, simob bug'ini chiqarish chizig'ining to'lqin uzunligi  $2536 \text{ \AA}$  ga teng, ya'ni bu to'lqin uzunlik simob atomining birinchi uyg'ongan holatidan asosiy holatga o'tishdagi fotonning to'lqin uzunligiga teng. Energetik birlikda, bu sathlar orasidaga farq 4,9 eV ga to'g'ri keladi. Shunday qilib, Frank va Gerts tajribasi atomlarda diskret statsionar energetik holatlar mavjudligini bevosita isbotladi. Bu ajoyib qilingan tajriba uchun D.Frank va Gerts 1925-yilda fizika bo'yicha Nobel mukofotiga sazovor bo'ldilar.

## SAVOLLAR

- Vodordsimon atomlar deb nimaga aytildi?
- Vodorodsimon atomlar uchun  $r_n$ ,  $E_n$ ,  $R$  va  $\frac{1}{\lambda}$  formulalarini yozing va tushuntiring.
- $He^+$  atomi uchun  $r_n$ ,  $E_n$ ,  $R$  va  $\frac{1}{\lambda}$  larni yozing.
- $He^+$  atomi uchun Ridberg doimiyligini son qiymatini toping.
- $He^+$  atomi uchun  $n = 1, 2, 3, \dots, 8$  ga energetik sathlar hisoblang.  $H$  va  $H^+$  uchun energetik sathlarni chizing.
- $H$  va  $He^+$  energetik sathlarini taqqoslang va o'z fikringizni bering.
- $L^{2+}$  atomi uchun energetik sathlarni chizing. Ridberg doimiylikni hisoblang.
- Bir karrali ionlashgan  $He^+$  atomi uchun ikkinchi kritik potensialini hisoblang. Bu uyg'ongan holatlardan asosiy holatga o'tganda chiqqan fotonlarning to'lqin uzunligini hisoblang.
- Keltirilgan massa formulasini yozing va tushuntiring.
- Yadro harakatiga tuzatish deganda nimani tushunasiz?
- Yadroning harakatini hisobga olgan holda impuls momentini formulasini yozing.

➤ Yadroning harakatiga tuzatish kiritgandagi  $r_n$ ,  $E_n$ ,  $R$  va  $\frac{1}{\lambda}$  ni yozing.

➤ Yadroni tuzatish hisobga olgan energetik sathlar diagrammasini chizing va uni tuzatish hisobga olmagan holdan energetik diagramma bilan taqqoslang.

➤ Deyterini kashf qilishda Yuri nimaga e'tiborini qaratdi?

➤ Elastik va noelastik sochilish deb nimaga aytildi?

➤  $^{252}_{80}He$  simob atomi uchun energetik sathi diagrammasini chizing.

➤ Birinchi uyg'ongan holat uchun uyg'onish energiyasi qanchaga teng?

➤ Birinchi kritik potensial deb nimaga aytildi?

➤ Elastik sochilish uchun kinetik energiyani bir qismi yo'qolishi qanday topiladi?

➤ Noelastik sochilish uchun reaksiya chizmasini chizing va tushuntiring.

➤ Frank va Gertsni eksperimental qurilmasini chizing va tushuntiring.

➤ Frank va Gerts tajribasida olgan volt-amper xarakteristikasini chizing va tushuntiring.

➤ Frank va Gertsga nima uchun Nobel mukofoti berildi va qachon?

## MASALALAR

➤ Ma'ruzadagi 8.1-jadvaldan foydalanib (yadro harakatiga tuzatishni e'tiborga olmang) bir karrali ionlashgan  $He^+$  atomi uchun Ridberg doimiysini toping.  $n = 1, 2, 3, 4, 5, 6, 7, 8$  lar uchun orbita radiuslari  $r_n$ ni va statsionar energetik sathlar –  $E_n$ ni hisoblang.  $He^+$  va vodorod atomi uchun energetik sathlar diagrammasini chizing va ularni taqqoslang.

➤ 8.1 masalani shartini ikki karrali ionlashgan  $Li^{2+}$  – litiy atomi uchun qo'llang.  $Li^{2+}$  – uchun energetik sathlar diagrammasini chizing. Uni  $He^+$  va H lar diagrammasi bilan solishtiring. Olgan tasavvuringizni tushuntiring.

➤ Bor nazariyasidan foydalanib  $He^+$  ionining  $n = 1, 2, 3$  orbitalari uchun radiusni, elektronning aylanish chastotasi, chiziqli tezligini, sistemaning to'la energiyasini, impuls momentini va v/c ni hisoblang.

➤  $Li^{2+}$  – ioni uchun Borni kvantlash qoidasidan foydalanib  $n = 1, 2, 3$  orbitalalar uchun quydagi kattaliklarini toping:

1. Orbita radiusini.

2. Burchak chastotasini.
3. Elektronning chiziqli tezligini.
4. Sistemaning to'la energiyasini.
5. Harakat miqdori momentini.
6.  $v/c$  nisbatni hisoblang.

$Li^{2+}$  ioni uchun noreyativistik kvant mexanika qonunlarini qo'llasa bo'ladimi?

➤  $\alpha = \frac{v_1}{c}$  ( $v_1$  – K orbita ( $n=1$ ) dagi elektronning chiziqli tezligi)

munosabat nozik struktura doimiysi deyiladi. Bu qiymat vodorod atomi,  $He^+$  va  $Li^{2+}$  – ioni uchun nimasi bilan farq qiladi.

➤ Bir karrali  $He^+$  atomi uchun birinchi va ikkinchi kritik potensiallari hisoblang. Bu uyg'onish holatlaridan  $He^+$  ioni asosiy holatiga o'tganda chiqqan nurlanishning chastotasi va to'lqin uzunliklari va energiyasini hisoblang.

➤ Bir karrali ionlashgan geliy atomida balmer seriyalariga mos keluvchi spektrni dastlabki ikki chizig'ini to'lqin uzunligini toping.

➤ Bir karrali ionlashgan geliy atomini yadrosidan elektronni batamom uzib olish uchun qanday energiya kerak? a) agar elektron asosiy holatda bo'lsa; b)  $n=3$  bilan xarakterlanuvchi holda bo'lsa.

➤ Yadro harakatiga tuzatishni inobatga olib, ma'ruzadagi 8.1, jadvaldan foydalanib  $He^+$  uchun Ridberg doimiysini toping. Dastlabki  $n=1,2,3$  holatlar uchun orbita radiusi  $R_n$ , to'la energiyasi  $E_n$  ni hisoblang. Energiyalar diagrammasini chizing va uni yadroga tuzatish hisobga olmagandagi energetik diagramma bilan solishtiring.

➤  $He^+$  va  $Li^{2+}$  – ionlari uchun keltirilgan massalarni hisoblang va ular uchun  $R_\mu/R$  nimaga teng? Tuzatish kiritilgan va kiritilmagan holdagi sathlar momentini tushuntiring.

➤ Deyteriy yadrosi  $^2D$  – vodorodni og'ir izotopi proton va neytrondan tashkil topgan deyteriyni keltirilgan massasini hisoblang. Deyteriy uchun Ridberg doimiysi  $R_{\mu D}$  ni vodorod uchun Ridberg doimiysi  $R_\mu$  bilan solishtiring.  $R_{\mu D}$  bilan  $R_\mu$  orasidagi farq qaysi izotopni ochilishiga sabab bo'ldi va uni kim kashf qildi?

➤ Simob atomining valentli elektronining asosiy holatdagi (G) energiyasi  $E_G = -10,2$  eV. Birinchi uyg'onish holati (N) ni energiyasi  $E_H = -5,54$  eV. Simob atomi uchun birinchi kritik potentsialni toping. Bu kritik potensial uchun nurlanish fotonining to'lqin uzunligini hisoblang.

➤ Sekin harakatlanuvchi elektronlar simob bug'idan o'tgan paytda kinetik energiyaning bir qismini atomlarga berdilar. Elektronlar yo'qotgan energiya qanday formula bilan ifodalanadi?

➤ Elektronlar simob atomlarida noelastik sochilish jarayonida  $K_2$  energiyaga ega bo'ldi. Bu energiya elektronning  $K_1$  energiyasiga nisbatan qanday topiladi?

➤ Frank-Gerts tajriba qurilmasida simob bug'i o'rniغا vodorod gazi olindi. Agar atomlar faqat birinchi kritik potensialga mos kelgan energiyani oldi deb faraz qilsak, u holda: 1) anod toki egriligini dastlabki tushuviga to'g'ri kelgan tezlantiruvchi potensialni; 2) trubkadan chiqayotgan nurlanishni to'lqin uzunligi va energiyasini hisoblang.

➤ Pozitroniy atomi uchun:

➤ Keltirilgan massani;

➤ Ridberg doimiysini;

➤ Balmer seriyasidagi bir qancha chiziqlar to'lqin uzunligi va seriya chegarasini hisoblang.

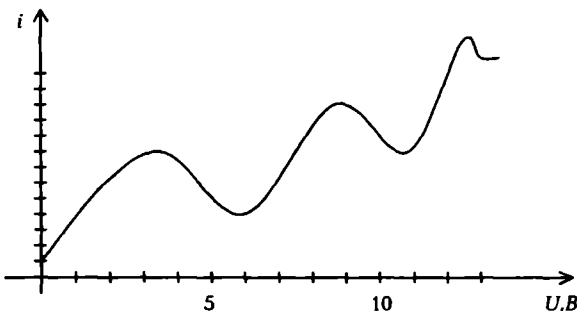
➤ Zaryadi Ze bo'lgan vodorodsimon yadroning massasi M chekli ekanligini hisobga olsak, Balmer formulasi qanday o'zgaradi?

➤ Manfiy zaryadli myuonlar atomlar tomonidan yutilib mezoatom hosil qilishi mumkin. Bor nazariyasi doirasida – vodorod mezoatom uchun: 1) birinchi orbita radiusi  $r_1$  ni; 2) asosiy holatdagi bog'lanish energiyasi  $E_{bog'}$  ni toping.  $m_\mu = 207 m_e$ .

➤ Engil vodorod va deyteriy uchun quyidagi farqlarni toping:

- asosiy holatda bo'lgan elektronlarning bog'lanish energiyalari;
- Balmer seriyasining bosh chiziqlarining to'lqin uzunliklarini;
- birinchi kritik potensiallarni.

➤ Elektronlar bilan simob bug'ining atomlari to'qnashishini o'rganishda Frank-Gerts 8.8-rasmdagi volt-amper xaracteristikasini olishdi. Grafikdan foydalaniib, simob atomining birinchi kritik potensialini va simob atomlari nurlanishining to'lqin uzunligini toping.



8.8-rasm.

➤  $0,5 \cdot 10^{-10} m$  radiusli orbitada proton atrofida harakat qilayotgan elektron nurlanish hisobiga o'z energiyasini yo'qotib, yadroga tushib qolishi mumkin. Klassik nazariyaga binoan nurlanishga yo'qotgan en-

ergiyasi  $-\frac{dE}{dt} = \delta_0 \left( \frac{2e^2}{3c^3} \right) \bar{a}^2$  formulaga bo'yunsa, u holda elektronni yadroga tushib qolishi vaqtini chamlang. Bunda  $a$  elektronning tezlanishi.  $\delta_a = 1$ (SGS) va  $\delta_a = \frac{1}{4\pi\epsilon_0}$  (SI) da.

➤ Vodorod yadrosining harakatiga tuzatishni hisobga olib va Borning kvant shartidan foydalanib, quyidagilarni toping:

- elektron bilan yadro orasidagi mumkin bo'lgan masofani;
- elektronning bog'lanish energiyasini;
- bog'lanish energiyasi va Ridberg doimiysi yadroni harakatiga tuzatish e'tiborga olinmaganiga nisbatan qancha foizga farq qiladi?

➤ Vodorodning nurlanish spektrida  $\lambda_1 = 486,1320 \text{ nm}$  chiziq yonida  $\lambda_2 = 485,9975 \text{ nm}$  chiziq kuzatildi. Bu chiziqni vodorodning izotopiga tegishli ekanligini ko'rsating.

➤ Turli izotoplarni yadro massalarining farqi spektr nurlanishdagi chiziqlarning surilishiga olib keladi. Chiziqlarning bu siljishi izotopik siljish deyiladi. Deyteriy uchun izotopik siljishni toping.

➤  $He^+$  atomi uchun Pikering seriyasining formulasini yozing.  $Li^{++}$  va  $Be^{+++}$  uchun seriya formulalari qanday ko'rinishga ega?

## IX BOB

### **Mavzu: ZARRALARING TO'LQIN XOSSALARI. DE-BROYL TO'LQINLARI**

**Reja:**

- 9.1. To'lqin-zarra ziddiyati. Yorug'lik dualizmi. De-Broyl gipotezasi.
- 9.2. Mikrozarralar dualizmi. De-Broyl g'oyasi.
- 9.3. De-Broyl formulalari. De-Broyl to'lqini.
- 9.4. De-Broyl nazariyasining eksperimental tasdig'i. Devisson-Jermer tajribasi. Boshqa tajribalar ro'yxati.
- 9.5. De-Broylning atom uchun to'lqin modeli va Bor nazariyasi.
- 9.6. Borning to'ldirish prinsipi.

## ADABIYOTLAR

1. А.А.Соколов, Ю.М.Лоскутов, И.М.Тернов. Квантовая механика. М.: 1962.
2. Энрико Ферми. Квантовая механика.
3. Д.И.Блохинцев. Основы квантовой механики М.: «Высшая школа», 1961.
4. А.Б. Мигдал. Квантовая физика для больших и маленьких. М.: 1989.
5. А.Н. Матвеев. Атомная физика. М.: «Высшая школа», 1939.
6. Л.Де-Бройль. Волны и кванты УФН. 1967, т. 178.
7. Л.Де-Бройль. По тропам науки. М.: «ИЛ», 1962.
8. Л.Де-Бройль. Революция в физике. М.: «Атомиздат», 1965.
9. De-Brogile L.V. Ondes et quente C.R., 1923, v.177, p.507 (оригинал).
10. De-Brogile L.V., A.Tentative Theory of light quanta Phil. Mag., 1924, v.47, p.446 (оригинал).
11. C.J.Davisson, L.H.Germer. Diffraction of electrons by a crystal of nuclei - Phys. Rev., 1927, v.30, p.705 (оригинал).
12. G.P.Thomson. Experiments of the diffraction of cathode rays Proc. Roy. Soc., London, 1928, v.117A (оригинал).
13. 1.Estermann, O.Stern. Beugung von Molekularstrahlen Zs. f. Phys., 1930, v.61, p.95 (оригинал).

**Masalaning qo'yilishi:** Yorug'likning korpuskulyar-to'lqin ziddiyatidan kelib chiqib, harakatdagi barcha zarralarning to'lqin tabiatiga ega ekanligini De-Broyl gipotezasi, g'oyasi, nazariyasi asosida tushuntirish orqali talaba miyasiga singdirish. Devisson-Jermer va boshqa ko'p tajribalarda zarralarning to'lqin tabiatini haqiqatan ham tasdiqlanishini ko'rsatish.

Bu mavzuni o'tishdan asosiy maqsad foton kabi, tinchlikdagi masassi nol bo'lmanan barcha zarralar dualizmga bo'ysunishini ko'rsatish; De-Broyl to'lqini tabiatni universal formulasi ekanligini, Plank doimisi  $h$  ni fundamental doimiy ekanligini isbotlash. De-Broyl to'lqini amplitudasini fizik ma'nosini anglash naqadar qiyin ekanligini uqdirish.

**Mavzu qahramonlari:** Viktor Lui de-Broyl (1892-1986) fransuz fizigi. Despe shahrida tug'ilgan. Kvant mexanikaning asoschilaridan biri. 1913-yilda Parij universitetining filologiya fakultetini bitirgan. Fizikani akasi Morisdan o'rgangan. 31 yoshida moddalarning korpuskular-to'lqin nazariyasini yaratdi. De-Broyl to'lqin funksiyalari yoki de Broyl to'lqinlari fizikada uning nomi bilan bevosita bog'langan. Klassik va kvant mexanikaning ko'p sohalarida, fizika tarixi va fizika uslubiyati ustida ko'plab maqolalar yozgan. 1929 yilda moddalarning to'lqin xususiyati nazariyasini uchun Nobel mukofoti bilan taqdirlangan.

K.I.Devisson – 1937-yilda elektronning De-Broyl to'lqin uzunligini eksperimental tasdiqlagani uchun Nobel mukofotiga sazovor bo'lgan.

L.Jermer K.I.Devisson bilan birgalikda 1937-yilda elektronning De-Broyl to'lqin uzunligini eksperimental tasdiqlagani uchun Nobel mukofotiga sazovor bo'lgan.

G.R.Tomson – 1937-yilda elektronning De-Broyl to'lqin uzunligini eksperimental tasdiqlagani uchun Nobel mukofotiga sazovor bo'lgan.

## IX bob. ZARRALARNING TO'LQIN XOSSALARI. DE-BROYL TO'LQINLARI

### 9.1. To'lqin-zarra ziddiyati. Yorug'lik dualizmi. De-Broyl gipotezasi.

Optika bo'limidan bilamizki, ko'pgina optikaviy hodisalarni to'lqin nuqtai nazarida turib tushuntirish oson. Masalan, interferensiya yoki difraksiya kabi hodisalar bu nazariyadan juda yaxshi tushuntiriladi. Biroq issiqlik nurlanish, fotoeffekt va Kompton effekt hodisalarni tahlilidan ko'rdikki, yorug'lik korpuskulyar xususiyatiga ega. Shunday qilib, yorug'likni ikki xil xususiyatga ega bo'lishi eksperimental dalildir. To'lqin va zarralik xususiyati esa bir-biriga zid va bir-biriga qarama-qarshi bo'lgan tushunchadir. Yorug'likni bu ikki xususiyatini bir vaqtida kuzatish mumkin emas. Yorug'likni ana shu ikki yoqlama xususiyatini to'lqin-zarra dualizmi deyiladi. Bundan kelib chiqadiki, yorug'likni to'la tavsiflaydigan nazariya, yorug'likning to'lqin va zarralik xususiyatini inobatga olishi zarur, qisqacha aytganda, yorug'lik nazariyasi korpuskular-to'lqin shaklda bo'lishi kerak.

Plank yorug'lik zarralari (fotonlar) ning energiyasini yorug'likni to'lqin xususiyatini xarakterlovchi kattalik-chastota bilan bog'ladi:

$$E = h\nu \quad (9.1)$$

bunda  $V$  – chastota,  $h$  – Plank doimisi.

Ushbu nergiyani maxsus nisbiylik nazariyasidagi

$$E = m_0 c^2 + mc^2 \quad (9.2)$$

munosabatdan ham topish mumkin.

Fotonning tinchlikdag'i energiyasi

$$E_0 = m_0 c^2 = 0 \quad (9.3)$$

bo'lgani uchun to'la energiya faqat fotonlarning kinetik energiyasi

$K = mc^2$  ga teng bo'ladi, ya'ni

$$E = mc^2 \quad (9.4)$$

munosabat bilan topiladi. Biroq klassik fizika nazariyasida energiyani chastota bilan bog'lovchi birorta ham formula yo'q. Bu hodisa klassik fizika uchun juda katta echib bulmaydigan muammo edi. Bu muammoni hal etish uchun Lui de Broyl har bir foton to'lqin jarayoni bilan uzviy bog'langan bo'lishi kerak degan gipotezani ilgari surdi. Uning bu gipotezasi fotonning to'lqin xususiyatiga oid bo'lgan interferensi-

yani tushuntirdi. Ikkinci tomondan yorug'lik to'lqinlarining impulsiga ega ekanligini Eynshteynning yorug'lik fotonlar nazariyasidan kelib chiqadi degan fikrini A.Kompton tajribada tasdiqladi. Shunday qilib, (9.1) va (9.3) munosabatlardan  $E = mc \cdot c = p \cdot c$  yoki

$$hv = pc \quad (9.5)$$

ni olamiz, bunda  $p = mc$  – foton impulsi bo'lib

$$p = \frac{hv}{c} \quad (9.6)$$

formula hosil bo'ladi.

(9.6) formula fotonning korpuskulyar xususiyatini xarakterlovchi impulsni fotonning to'lqin xususiyatini ifodalovchi kattalik-chastota (yoki to'lqin uzunlik) bilan bog'laydi. Demak, (9.6) formulada fotonning bir-biriga zid bo'lgan ikki yoqlama xususiyati bo'lgan korpusku-lyar-to'lqin xususiyati mujassamlangandir.

## 9.2. Mikrozarralar dualizmi. De-Broyl g'oyasi

Yorug'lik dualizmini chuqur anglagan de-Broyl foton kabi, tinchlikdagi massasi nolga teng bo'lmasigan boshqa mikrozarralar ham to'lqin tabiatiga ega bo'lishi kerak degan g'oyani dadil ilgari surdi.

1924-yili de-Broyl «Kvantlarga doir izlanishlar» deb atalgan doktorlik himoyasida, shunday fikrni berdi: «agar yorug'lik nuri ko'p holarda o'zining korpuskulyarlik xususiyatini namoyon etar ekan, nima uchun elektron ham to'lqin xususiyatiga ega bo'lmasligi kerak». Bu fikrni keyin yanada rivojlantirib, o'zining «Fizikada inqilob» kitobida to'lqin xarakterga ega bo'lgan yangi mexanika yaratish kerak dedi. Haqiqatan ham dastlabki paytda kvant mexanika fani to'lqin mexanika deb atalgan. Natijada de-Broylning zarralar dualizmi degan gipotezasi vujudga keldi. Shunday qilib, de-Broyl mikrozarralar dualizmini nazariyasini ishlab chiqdi va bu nazariyaning miqdoriy munosabatini topdi.

De-Broyl g'oyasiga binoan (9.6) formulani harakatdagi istalgan zarraga qo'llash imkonini bo'ldi. Elektron aniq impulsiga

$$p = mv = \frac{h}{\lambda} \quad (9.7)$$

ga ega bo'lishi mumkin, bunda  $m$ -elektronning relativistik massasi,  $v$  – elektronning tezligi (9.7) munosabatdan ko'rinish turibdiki elektronga  $v$  – chastotaga ega bo'lgan to'lqingga xarakteristika berdik. (9.7) tenglikdan elektronning to'lqin uzunligi

$$\lambda = \frac{h}{mv} = \frac{h}{p} \quad (9.8)$$

ga teng. Shunday qilib, de-Broyl qipotezasiga binoan elektron to'lqin xossaga ega va uning to'lqin uzunligi (9.8) munosabatdan topiladi.

Kvant mexanikada  $V$  – chiziqli chastota o'rniga, odatda burchak chastota  $\omega = 2\pi V$  ishlataladi. Shunga ko'ra  $h$ -ni o'rniga Pol Dirak tomonidan kiritilgan  $\hbar$  (xash chiziqli) doimiylik

$$\hbar = \frac{h}{2\pi} = 1.05 \cdot 10^{-34} \text{ J}\cdot\text{s} \quad (9.9)$$

ni olamiz. (9.9) ni e'tiborga olsak, u holda (9.8) formulani

$$\lambda = \frac{2\pi\hbar}{p} \quad (9.10)$$

ko'rinishda yozish mumkin bo'ladi.

(9.9) va (9.10) ifodalardagi  $\lambda$  – to'lqin uzunlik de Broyl to'lqin uzunligi deyiladi.

Harakatdagi zarralar uchun (9.10) munosabatdan bir qator foydali munosabatlar keltirib chiqarish mumkin.

Maxsus nisbiylik nazariyasiga ko'ra relativistik impuls

$$p = \frac{1}{c} \sqrt{E^2 - E_0^2} \quad (9.11)$$

formula bilan aniqlanadi. (9.11) ifodani (9.8) ga qo'yjak

$$\lambda = \frac{hc}{\sqrt{E^2 - E_0^2}} = \frac{hc}{\sqrt{m^2 c^4 - m_0^2 c^4}},$$

bundan

$$\lambda = \frac{h}{m_0 c \sqrt{\frac{1}{1 - v^2/c^2} - 1}} = \frac{h \sqrt{1 - v^2/c^2}}{m_0 v}, \quad v \ll c \text{ da } \lambda = \frac{h}{mv}$$

ni hosil qilamiz.

Xuddi shuningdek, uni zarraning kinetik energiyasi  $K$  bilan bog'lasak,  $K = E - mc^2$  bo'lgani uchun

$$\lambda = \frac{2\pi\hbar}{\sqrt{2mK}} = \sqrt{\frac{150,4 \text{ eV}}{K}} \text{ A} \quad (9.12)$$

ifodani topamiz.

Norelativistik elektronlar uchun

$$v = \sqrt{2 \frac{e}{m} U_{tez}} \quad (9.13)$$

Bo'lgani uchun

$$\lambda = \frac{h}{mv} = \frac{h}{\sqrt{2meU_{tez}}} = \frac{12,25}{\sqrt{U_{tez}} B} \text{ Å} \quad (9.14)$$

munosabatni eksperimentator-fiziklar qo'llaydi.  $U_{tez}$  -tezlantiruvchi potensial. Elektronlar 150 V ga teng potensial ayirma bilan tezlantirilganda de-Broyl to'lqin uzunligi  $1 \text{ Å}$  bo'ladi. Bu to'lqin uzunlik yumshoq rentgen to'lqin uzunliklariga to'g'ri keladi.

Agar elektronlar dastasi to'lqin xususiyatiga ega bo'lsa, u kristall-dan rentgen nurlari kabi qaytishi kerak. Bregg-Vulfnii

$$2d \sin \phi = n\lambda, \quad n = 1, 2, 3, \dots \quad (9.15)$$

formulasiga ko'ra tezlantiruvchi potensial

$$\sqrt{U_{tez}} = \frac{nh}{\sqrt{2me \cdot 2d \sin \phi}} = nD, \quad n = 1, 2, 3, \dots \quad (9.16)$$

Konkret tajribada D-o'zgarmas son.

Devisson-Jermer tajribasida D uchun olingen formula yaxshi bajarilishi aniqlandi. Bu tajriba de-Broyl munosabatini nihoyatda to'g'ri ekanligini tasdiqladi. Zaralarning to'lqin xossasi haqidagi g'oya kvant mexanika negizini tashkil qiladi. Korpuskular-to'lqin dualizmi universal xarakterga ega ekanligi, qarama-qarshiliklar bir butunligi qonuniga mosdir. Zarra va to'lqin ko'p jihatdan bir-biridan farq qiladilar. Masalan, monoxromatik to'lqin fazoda cheksiz, zarra esa aksincha, fazoning biror qismida joylashgan. Bu qarama-qarshilik doimo bordir.

*Misol.* Konkret zarralar uchun de-Broyl to'lqin uzunligini hisoblaylik. Avval makroskopik jism uchun de-Broyl to'lqin uzunligini hisoblaylik.

Futbol koptogining massasi  $m = 0,16 \text{ kg}$  bo'lsin va futbolchi bu to'pni tegpanda uning tezligi  $v = 50 \text{ m/s}$  yetsin. Harakatdagi koptok bilan bog'langan to'lqinning de-Broyl to'lqin uzunligini toping.

Yechish:

$$\lambda_1 = \frac{h}{p_1} = \frac{6,62 \cdot 10^{-34} \text{ J} \cdot \text{s}}{0,16 \text{ kg} \cdot 50 \text{ m/s}} = 9,46 \cdot 10^{-33}$$

$\lambda$ -shunday kichik sonki, uni hech qanday tajribadan aniqlab bo'lmaydi.

Endi mikro dunyo zarrasini olaylik. Elektronning tezligi koptok tezligiday bo'lsin, u holda

$$\lambda_2 = \frac{h}{p_2} = \frac{6,62 \cdot 10^{-34} \text{ J} \cdot \text{s}}{9,1 \cdot 10^{-31} \text{ kg} \cdot 50 \text{ m/s}} = 1,15 \cdot 10^5 \text{ Å}$$

Elektron bilan bog'langan bu to'lqin uzunlikni tajribada engil o'lchash mumkin.

### 9.3. De-Broyl formulasi. De-Broyl to'lqinlari

De-Broyl gipotezasiga tayanib yozilgan yuqorida keltirilgan formulalar

$$E = \hbar v = \hbar \omega \quad (9.17)$$

$$\vec{p} = \frac{\hbar}{\lambda} = h \vec{k} \quad (9.18)$$

ni *de-Broyl formulalari* deyiladi.

Zarra bilan bog'langan to'lqin uzunlik

$$\lambda = \frac{2\pi}{k} = \frac{2\pi\hbar}{p} \quad (9.19)$$

ga teng bo'ladi. (9.19) formulaga *de-Broyl to'lqin uzunligi* deyiladi.

Optikadan bilamizki to'lqinlarning eng soddasi – bu yugurma yassi monoxromatik to'lqinlardir. Chastotasi  $\omega$  ga teng bo'lgan yassi monoxromatik to'lqin

$$\psi(r, t) \sim \exp[-i(\omega t - \vec{k}\vec{r})] \quad (9.20)$$

ko'rinishga ega.

(9.20) ifodaga (9.17) va (9.18) larni qo'ysak, harakatdagi zarralar uchun

$$\psi(r, t) = A \exp\left[-\frac{i}{\hbar}(Et - \vec{p} \cdot \vec{r})\right] \quad (9.21)$$

funksiyani olamiz. (9.21) funksiyani *de-Broyl to'lqini* deyiladi.

Bu to'lqin funksiyani fizik xususiyatini tushuntirish oson ish emas va butun kvant mexanikani o'rganish davomida uni izohlab boramiz.

Optikada  $\psi(r, t)$  – funksiya istalgan  $t$  – paytda fazoning istalgan nuqtasida tebranayotgan  $\psi$  – kattalikni oniy qiymatini beradi. Bunda  $\vec{r}$  – radius vektor,  $\vec{k}$  – to'lqin vektor,  $\omega$  – burchak chastota,  $A$  – tebranish amplitudasi,  $\vec{p}$  – impuls,  $E$  – energiya.

To'lqin vektor  $|\vec{k}| = \frac{2\pi}{\lambda}$  bo'lib, u  $2\pi$  uzunlik birligiga qancha

to'lqin uzunliklar soni to'g'ri kelishini xarakterlaydi, yo'nalishi esa to'lqinning tarqalishini yo'nalishini xarakterlaydi. Agar to'lqin z yo'nalishda harakat qilayotgan bo'lsa, u holda

$$\vec{k} \cdot \vec{r} = k_z \cdot z = k \cdot z \quad (9.22)$$

skalyar ko'paytmani olish mumkin. To'lqin vektor, to'lqin uzunlik bilan bevosita bog'langan bo'lib, u to'lqin jarayonning *fazodagi davrligi* bilan bog'langan.

T Siklik (burchak) chastota

$$\omega = \frac{2\pi}{T} = 2\pi\nu \quad (9.23)$$

ko'rinishda bo'lib, u to'lqin jarayonning *vaqtadagi davriyilagini* xarakterlaydi. Endi bu kattaliklar bilan de-Broyl kattaliklari qanday bog'-langanligini ko'ramiz. To'lqin vektorming yo'nalishi harakatda bo'lgan zarra bilan bog'langan to'lqinning yo'nalishini xarakterlagani uchun zarra yo'nalishi sifatida zarra impulsining yo'nalishini olamiz. Natijada

$\vec{k}$  va  $\vec{p}$  ni bog'lovchi  $\vec{p} = \hbar\vec{k}$  yoki  $\vec{k} = \frac{\vec{p}}{\hbar}$  munosabatni olamiz. De-

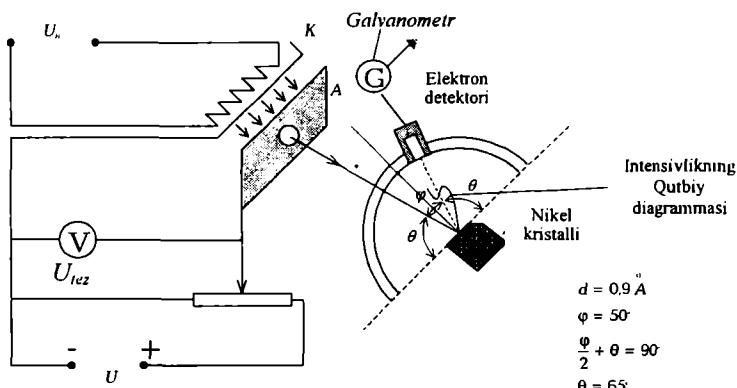
Broyl to'lqinning asosiy xarakteristikalaridan biri bo'lgan to'lqin vektor zarra impulsi bilan bog'langan.  $\vec{k}$  va  $\vec{p}$  ni bog'lovchi koeffitsient vazifasini  $\hbar$  - Plank doimiysi bajaradi. Demak, (9.18) munosabat zarralarni kvant tabiatga ega ekanligini ko'rsatadi. Kvant fizikada tezlik emas, balki impuls asosiy rol o'yaydi. De-Broyl to'lqinida chastota bilan energiya ham  $\hbar$  doyimiylik orqali bog'langan, ya'ni,  $\omega = E/\hbar$ . Bu formula fotonning to'la energiyasini chastotaga bog'lanishini xarakterlaydi. Bu formula hozirgi zamon fizikasida universal munosabat deb yuritiladi. Chunki de-Broyl g'oyasidan so'ng bu munosabat faqat fotonlar uchungina xos bo'lmay, balki harakatdagi barcha mikrozaralar uchun ham o'rnlidir.

De-Broyl to'lqinining amplitudasini fizik ma'nosini anglash juda qiyin. Dastlabki paytda uning ma'nosini de-Broylning o'zi ham, kvant mexanikani yaratganlar ham bilmaganlar. Uning asl ma'nosni astasekin, qadamma-qadam kvant mexanikaning rivojlanishi bilan oydinlasha bordi. Uning anglash yo'lidagi birinchi qadamni Born qo'ydi. To'lqin funksiyasining statistik izohidan so'ng, de-Broyl to'lqini bu ehtimol to'lqini ekanligi ma'lum bo'lди. De-Broyl to'lqini amplitudasining kvadrati berilgan vaqtida va fazoning berilgan nuqtasida zararanning qayd qilish ehtimolini berish mumkin. Keyingi mavzularda shu haqda suxbatni davom ettiramiz.

#### 9.4. De-Broyl nazariyasining eksperimental tasdig'i. Devisson va Jermer tajribasi

1925-yilda «Bell telefon» laboratoriyasining hodimlari Dj.Devisson va K.X.Kunsman elektronlarning kristalda sochilish jarayonida ikkilamchi elektronlar chiqishi hodisasini o'rGANISHDI. So'ng bu hodisani o'rGANISHNI Devisson va Jermer davom ettirdi. Bu tajribada nikel kristaliga tushirilgan elektronlar dastasi ta'siri natijasida, ikkilamchi elektronlarning chiqishi kuzatildi. Bir kuni tasodifan nikel oksidlanadi. Oksidlanishni yo'qotish uchun nikel plastinkasi qattiq qizdiriladi.

So'ng tajribani bu kristall nishon bilan qayta bajarishganda natija butunlay boshqacha chiqdi. Plastinka uzoq qizdirilishi tufayli mayda kristallar o'mnini yirik monokristallar egallagan edi. Ikkilamchi elektronlarning chiqishi oldingi tajribadagilar kabi istalgan burchakda bo'ldi, biroq ayrim burchaklarda sochilgan elektronlarning soni keskin ko'payib ketdi. Devisson va Jermer kristall sirtiga tushayotgan elektronlar energiyasi  $K = 54 \text{ eV}$  va sochilish burchagi  $\varphi = 50^\circ$  bo'lganda ikkilamchi elektronlarning soni eng ko'p bo'lishini kuzatdilar.

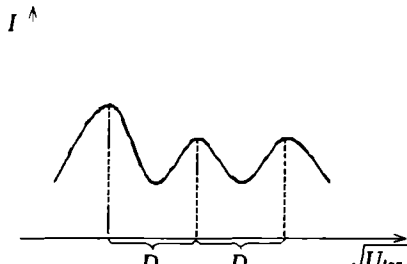


9.1-rasm. Devisson va Jermer tajribasi.

Devisson va Jermer elektronlarning to'lqin uzunligini aniqlash uchun rentgen spektrometri g'oyasidan foydalandilar. Tajriba chizmasi 9.1-rasmida keltirilgan. Rentgen trubkasi elektron to'pi bilan almashtirildi.  $K$ -katod, u  $U_n$ -nakal kuchlanishi yordamida qizdiriladi. Katoddan uchib chiqqan elektronlar dastasi o'z navbatida tezlanuvchi potensial  $U_{tez}$  bilan tezlanirildi. Tezlanirish kuchlanishini miqdori P-potensiometr yordamida bajariladi. Potensiometr yordamida to'pdan chiqqan elektronlarning tezligi boshqariladi. Elektronlar kristall sirtiga tushgandan so'ng, ma'lum burchaklarda qaytadilar. Qaytgan nurlar elektron detektori (Faradey silindri) bilan qayd qilinadi va  $I$  tok miqdori galvanometr ( $G$ ) yordamida o'lchanadi. Elektron to'pi, kristall va Faradey silindri vakuumga joylashtirilgan.

Tajriba quyidagicha olib borildi. Kristallga tushayotgan elektron nurlarining tezligi tezlanuvchi kuchlanish yordamida o'zgartiriladi va unga mos ravishda Faradey silindridagi tok galvanometr bilan o'lchanadi. Bu holda kristall sirtiga tushayotgan elektronlarining bur-

chagi o'zgarmay qoladi. Faradey silindrida olingen natija 9.2-rasmda tasvirlangan. 9.2-rasmdan ko'rinaliki egrilik bir-biridan baravar uzoqlikda yotuvchi maksimumlarga ega. Qurilmaning elektr chizmasi diodning volt-amper xarakteristikasiga o'xshash monoton bo'lishi kerak edi. Biroq unday emasligi 9.2-rasmdan ko'riniib turibdi. Shu sa-babli, Devisson-Jermer tajribasining natijalarini tushuntirish uchun de-Broyl g'oyasini jalb qilish kerak bo'ldi.



9.2-rasm.

Tajribalarning birida elektronlar dastasining energiyasi  $K = 54$  eV bo'lganda sochilgan (qaytgan) elektronlarning intensivligini maksimumi  $\varphi = 50^\circ$  da ro'y berdi (9.1-rasm). Elektronlarning impulsi  $p = \sqrt{2m_0 K}$  ni bilgan holda erkin elektronning de-Broyl to'lqin uzunligini quyidagi formuladan topamiz.

$$\lambda = \frac{h}{p} = \frac{6,62 \cdot 10^{-34} \text{ j.s}}{\sqrt{2 \cdot 9,11 \cdot 10^{-34} \text{ kg} \cdot 54 \cdot 1,6 \cdot 10^{-19} \text{ J}}} \cdot 10^{10} \frac{\text{\AA}}{\text{m}} = 1,67 \text{\AA}$$

Bu elektron bilan bog'langan to'lqinning de-Broyl to'lqin uzunligidir. Ikkinchisi tomondan kristall tekisligida to'lqin difraksiyasini hodisasiiga asoslangan holda Bragg metodi yordamida davri  $d = 0,91 \text{\AA}$  ga teng bo'lgan nikel kristalida ro'y bergan elektronlar difraksiyasini birinchi tartibdagi maksimumi ( $n=1$ ) uchun

$$\lambda = 2d \sin \theta = 2 \cdot 0,91 \cdot \sin 65^\circ = 1,65 \text{\AA}.$$

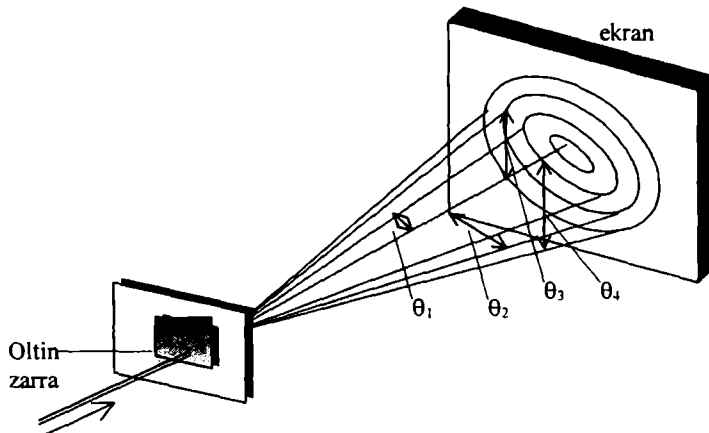
$$\text{Bunda } \varphi = 50^\circ, \frac{\varphi}{2} + \theta = 90^\circ \text{ Shuning uchun } \theta = 65^\circ$$

Ko'rib turibsizki, ikkala natija bir-biriga mos tushadi. Bu esa o'z navbatida elektronlar zarralik hossasi bilan bir qatorda to'lqin xususiyati ham namoyon bo'lislini ko'rsatadi.

1927-yilda Dj.Tomson va uning talabalari tomonidan bajarilgan tajriba ham elektronning to'lqin hususiyatiga ega ekanligini yaqqol ko'rsatdi.

$\sim 10^4$ eV energiyaga ega bo'lgan elektronlar dastasi  $10^{-5}$  sm qalilidagi oltin zariga yo'naltirildi. Tomson ekranda qator difraksiyon xalqalarni ko'rди.  $\theta_1, \theta_2, \theta_3$  va h.k. sochilish burchagiga to'g'ri kelgan difraksiyalar.

$n\lambda = d \sin \theta$  ( $n=1, 2, 3, \dots$ ) shart orqali aniqlanadi (9.3-rasm).  $\theta$  tushayotgan elektronlar bilan qaytgan elektronlar orasidagi burchak.



9.3-rasm.

Quyida, zarralarning to'lqin tabiatini tasdiqlagan tajribalarning ro'yxatini keltiramiz:

1. Oddiy optikaviy difraksiyon panjara yordamida nemis olimi Rupp 1929-yilda juda kichik sirpanish burchaklarida ro'y bergen elektron difraksiyasida elektronning to'lqin uzunligini o'chadi.

2. Vodorod molekulasini kristalda sochilishdagi difraksiyasini 1931-yilda Djonson amalgaga oshirdi.

3. Gelyi atomi dastasini ftorli litiy kristalda sochilishini eksperimental amalgaga oshirgan Estermen, Frish va Shtern 1938-yilda gelyi atomini to'lqin hususiyatiga ega ekanligini tasdiqladilar.

Bu tajribalar zarralarning haqiqatan ham to'lqin xossaga ega ekanligiga nuqta qo'ydi.

## 9.5. De-Broylning atom uchun to'lqin modeli va Bor nazariyasи

Nima uchun atomlarda o'ziga nur yutmaydigan va o'zidan nur chiqarmaydigan statsionar orbitalarning bo'lishlari kerak ekanligini Bor nazariyasи tushuntirib bermaydi? Lekin bu muammoni de-Broyl g'oyasi asosida osongina hal qilish mumkin. De-Broyl gipotezasiga ko'ra  $m$ -massa va  $v$ -tezlikka ega bo'lgan elektronga munosib kelgan

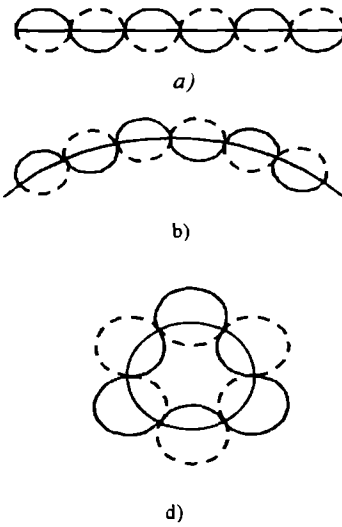
to'lqin uzunlik  $\lambda = \frac{h}{mv}$  formula bilan hisoblanadi. Bu formulaga

asoslangan holda de-Broyl atomdagи har bir elektronga turg'un to'lqin loyiқ keladi degan fikrni ilgari surdi.

Agar biz rubob, dutor, g'ijjak kabi musiqa asboblaridan birining torini chertsak, u holda unda har xil uzunlikka ega bo'lgan ko'p sondagi to'lqinlar uyg'onadi. Uyg'on-gan bu to'lqinlarning ko'pchiligi tor oxiridan qaytishi va duch kelgan to'lqinlar bilan interferensiylanishi (qo'shilishi) tufayli juda tez vaqtida so'nadi. Faqatgina torning oxirlarida (ulangan joylari) tuguni bo'lgan to'lqinlar uzoq vaqt davomida so'nmaydi. Mazkur to'lqinlar turg'un to'lqinlar bo'lib, ularni odatda, torning tebranish modalari yoki rezonansli garmonikalar deb yuritishadi. Bor nazariyasiga muvofiq, elektron doiraviy orbitalarda harakat qiladilar. De-Broyl esa bu elektronlarga yopiq turg'un to'lqinlarini munosib ko'radi. Bu masalani yaxshi tushunish uchun ma'lum bir chiziqqa qo'yilgan turg'un to'lqinni ko'raylik. 9.4-a-rasmida bu to'g'ri chiziqqa uchta to'lqin uzunlik qo'yilgan. Bu chiziqni 9.4b-rasmdagi kabi buraylik va so'ng bu chiziqni doiraviy orbita hosil qiladigan qilib tutashtiraylik. Natijada 9.4v-rasmdagi chizmani hosil qilamiz. Doirani Bor orbitasi desak, u holda unga joylangan yopiq turg'un to'lqinni *de-Broylning yopiq doiraviy to'lqini* deyiladi va u elektronning shaklini tavsiflaydi.

$r_n$  radiusga ega bo'lgan Borning doiraviy orbitasining  $2\pi r_n$  ga teng va unga  $n$ -butun karrali to'lqin uzunlik joylashadi, ya'ni

$$2\pi r_n = n \cdot \lambda, \quad n = 1, 2, 3, \dots \quad (9.24)$$



9.4-rasm.

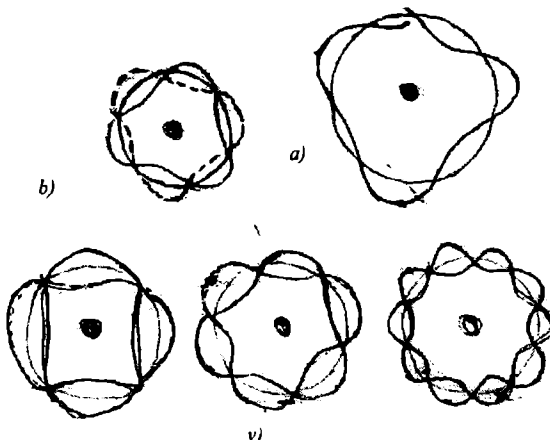
Bu formulaga  $\lambda$  ning ifodasini qo'yamiz:

$$2\pi r_n = \frac{n\hbar}{mv}, \quad n = 1, 2, 3, \dots$$

va bundan

$$L = mv r_n = \frac{n\hbar}{2\pi} \quad (9.25)$$

ni hosil qilamiz.



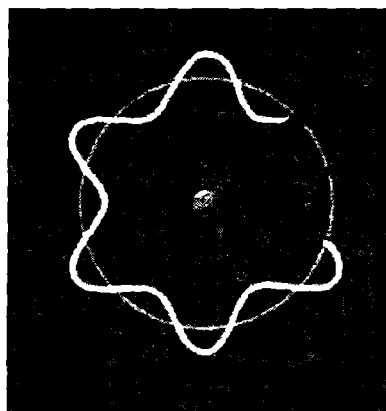
9.5-rasm.

Ko'rib turibsizki, biz Borning 3-postulatini keltirib chiqardik: Statsionar orbitadagi elektronning harakat miqdori momenti kvantlangan. Shunday qilib, yuqoridagi shart diskret orbitalar va sathlar bo'lishi mumkin ekanligini asosladи. De-Broyl gipotezasi Bor modelidagi orbita va holatlarning kvantlanishini to'g'ri tushuntirib berdi va bunga sabab elektron to'lqin xususiyatga ega ekanligi va unga mos har xil rezonansli turg'un to'lqinlar hosil bo'lishi ekanligini ko'rsatdi.

9.5a-rasmda o'z-o'zi bilan bekilmagan (uzilgan) turg'un to'lqin tasvirlangan. Bu to'lqin o'z-o'zida tutashmagani uchun, o'z-o'zi bilan interferensiyalanib, tez vaqtida so'nadi. 9.5b-rasmda esa aksincha, yopiq doiraviy turg'un to'lqin orbitaga joylashgan. Bu to'lqin barqarordir. 9.5v-rasmda  $n=2$ ,  $n=3$  va  $n=5$  ta to'lqin uzunlikka ega bo'lgan turg'un to'lqinlar orbitalarga joylanganligi tasvirlangan (bunda  $n$  - to'lqin uzunliklar soni). Doiraviy orbitaga faqat butun sondagi to'lqin uzunliklar soni joylangandagina so'nmas, barqaror yopiq turg'un to'lqinlar hosil bo'ladi. 9.6-rasmda elektron turg'un to'lqin

ko'rinishida tasvirlangan. Bunda elektron sharchaga o'xshab orbitada harakat qilmaydi. Balki doiraviy turg'un to'lqin ko'rinishdagi shaklga ega bo'ladi.

Shunday qilib, doiraviy yopiq to'lqin elektron to'lqinin amplitudasini xarakterlaydi va yuqoridagi rasmlarda bu to'lqin amplitudasi doiraviy orbita bo'ylab qanday taqsimlanishini xarakaterlaydi. Turg'un to'lqin qonuniyatidan kvantlanish muqarrar bo'lib, buning ustiga bunday yopiq doiraviy chiziq o'zidan hech qachon energiya chiqarlamaydi. Bunday qarash, albatta, nur chiqarmaydigan statsionar orbitalarning mavjud ekanligiga shubha qoldirmaydi va shubhasiz Bor nazarriyasi bilan elektrodinamika orasida vujudga kelgan ziddiyatni bartaraf qiladi. Lekin shunga qaramay de-Broyl modeli ham vaqtinchcha edi. Chunki «doira ko'rinishga burilgan to'lqin» bir o'lchamli fazo obyekti bo'lib, undan uch o'lchamli fazoviy obyektdagi jarayonlarni tushuntirib berishini kutish mumkin emas. Bu masalani Shryodinger hal qiladi va bu nazariya ustida keyinroq to'xtalib o'tamiz. De-Broyl atom modeli Bor postulati bilan elektrodinamika ziddiyatini bartaraf qilish bilan bir qatorda bitta atomda zarra-to'lqin dualizmi shu obyektning o'zida, ya'nii mohiyatda ekanligini yana bir bor anglatdi.



9.6-rasm.

### **9.6. Borning to'ldirish prinsipi**

Yuqorida keltirilgan tajriba natijalari zarralarning haqiqatan ham to'lqin tabiatiga ega ekanligini to'la tasdiqladi, lekin shu bilan birga bir qator yangi savollar hosil bo'ldi.

Masalan, fotonlar, elektronlar o'zlarining to'lqin va zarra tabiatini namoyon qilar ekanlar, u vaqtida demak zarralar bilan to'lqinlar orasida hech qanday farq yo'qdir. Biroq to'lqin nazariyani faqat o'ziga asoslanib, fotoeffekt, Kompton sochilishi kabi eksperiment natijalarini tushuntirib bo'lmaydi. Shu bilan birga zarralarni yorug'lik tezligidagi tezlik bilan harakat qila olmasligi ham muammoligicha qoladi. To'lqin zarra ziddiyatini bartaraf qilish maqsadida Niels Bor o'zining to'ldirish prinsipini taklif qildi.

Bitta eksperimentning o'zida bir vaqtida to'lqin xossa ham, korpuskulyar xossa ham hech qachon namoyon bo'imasligi eksperimental fakt bo'lib, bu to'ldirish prinsipining asosini hosil qiladi. Har bir holda,

u nima, nurlanish bo'ladimi yoki elektronlar dastasi bo'ladimi baribir, hodisani to'la tavsiflash uchun to'lqin modelni ham korpuskulyar modelni ham qo'llash zarur, albatta, bu modellarni o'zining qo'llaniladigan sohasi mavjud.

### **SAVOLLAR**

1. Yorug'lik dualizmi va de-Broyl gipotezasining mazmuni nima?
2. Zarralar dualizmi va de-Broyl g'oyasining mazmunini tushuntiring.
3. Fotonning to'lqin va korpuskulyar xususiyatini inobatga oluvchi formulani tushuntiring.
4. Elektronlar uchun dualizmni xarakterlovchi formulani yo-zing va tushuntiring.
5. De-Broyl to'lqin uzunligi uchun turli ko'rinishdagi formulalarini yozing.
6. De-Broyl formulalarini yozing.
7. De-Broyl to'lqini funksiyasini yozing va tushuntiring.
8.  $\vec{k}$  va  $\omega$  larni fizik ma'nosini tushuntiring.
9. Nima uchun kvant mexanikada tezlik emas, balki impuls tu-shunchasi ishlataladi?
10. Devisson-Jermer qurilmasini chizing va tushuntiring.
11. Energiyaga, tezlikka, tezlantiruvchi kuchlanishga bog'liq bo'l-gan formulalarini yozing.
12. Tushish burchagi bilan sochilish burchak munosabati formu-lasini yozing.
13. Devisson va Jermer olgan natijalarni to'lqin zarral dualizmi asosida tushuntiring.
14. Vulf-Bregg formulasini tushuntiring.
15. Zarralarning to'lqin tabiatini xarakterlovchi eksperimentlardan bir nechtasini keltiring.
16. Borning to'ldirish prinsipi haqida so'zlang.
17. De-Broyl to'lqininining hozirgi zamon fizikasida tutgan o'rni.
18. De-Broyl to'lqin amplitudasining fizik ma'nosи.

### **MASALALAR**

8. 1,00 keV kinetik energiya bilan harakat qilayotgan elektron va proton uchun de-Broyl to'lqin uzunligini hisoblang.
9. Tezlantiruvchi potensial  $V$  ni (voltlarda) norelyativistik hol uchun de-Broyl to'lqin uzunligi bilan bog'lang.
10. Tezlantiruvchi potensial  $V$  ni qiymati 10 V va 1000 V bo'lganda elektron va protonlarning de-Broyl to'lqin uzunligi nimaga teng?
11. Relyativistik effektni hisobga olgan de-Broyl to'lqin uzunligini tezlantiruvchi potensialga bog'liq formulasini keltirib chiqaring.

12. 1,00 MeV kinetik energiya bilan harakat qilayotgan elektron va proton uchun de-Broyl to'lqin uzunligini hisoblang.
13. Tezlantiruvchi potensial  $10^6$  V,  $10^8$  V va  $10^9$  V bo'lganda elektron va protonlarning to'lqin uzunligini hisoblang.
14. Agar elektron va rentgen fotonining to'lqin uzunligi  $1,00\text{\AA}$  bo'lsa, ularning impulsi va energiyasini hisoblang.
15. Potensial ayirmasi  $5,00 \cdot 10^6$  V ga ega bo'lgan Van-der-Graaf generatorida litiy atomining yadrosi tezlantirildi. Bu yadroning tezligi va to'lqin uzunligini toping.
16. O'zbekiston Fanlar Akademiyasi Yadro fizikasi instituti qoshidagi siklotronda protonlarning maksimal energiyasi 20 MeV ga teng. Protonning tezligi va to'lqin uzunligini hisoblang.
17. To'lqin uzunligi  $0,042\text{\AA}$  ga teng bo'lgan relyativistik elektronning massasini toping. Agar fotonning to'lqin uzunligi  $0,042\text{\AA}$  bo'lsa, fotonning effektiv massasi qanchaga teng?
18. Massasi  $0,33\text{ kg}$  bo'lgan koptok qattiq tepilganda  $50\text{ m/s}$  tezlik oldi. Koptok bilan bog'langan de-Broyl to'lqin uzunligini hisoblang. Shunday to'lqin uzunlikka ega bo'lgan elektronning de-Broyl to'lqin uzunligi qanchaga teng bo'ladi? Bu to'lqin uzunliklarni solish-tiring va mulohazangizni aytинг.
19. Massasi  $m$  bo'lgan relyativistik zarraning de-Broyl to'lqin uzunligini uning tezligi  $v$  va kinetik energiyasi  $K$  orqali ifodalang.
20. De-Broyl to'lqin uzunligi  $\lambda$  ni kinetik energiyaga bog'liqligini quyidagi hollar uchun yozing: a) ultrarelyativistik zarra uchun ( $K > mc^2$ ); b) norelativistik zarra uchun ( $K < mc^2$ ).
21. 9.13-masala natijasidan foydalaniб, de-Broyl to'lqin uzunligini  $m$  massaga bog'liqligini o'lchamsiz munosabatda taxminiy grafigini chizing: a)  $\frac{mc^2}{K}$ ; b)  $\frac{K}{mc^2}$  grafikda ultrarelyativistik va norelativistik zarra uchun chegaraviy nuqtalarni belgilang:
22. Bir xil tezlikka ega bo'lgan elektron va proton uchun ularning to'lqin uzunliklarini taqqoslang.
23. Serpuxovadagi sinxotronda olingan protonning energiyasi  $K = 70\text{ GeV}$ , reaktordan olingan o'ta sovuq neytronlarning energiyasi esa  $K = 10^{-9}\text{ eV}$  ga teng. Ularning to'lqin uzunliklarini toping va taqqoslang.
24.  $T = 300\text{ K}$  temperaturada issiqlik muvozanatida bo'lgan issiqlik neytronlarining de-Broyl to'lqin uzunligini toping. Bu neytronlar bilan qanday tajribalar o'tkazsa bo'ladi?
25. Atomning chiziqli o'lchami  $r = 10^{-10}\text{ m}$ , yadroniki esa  $r = 10^{-15}\text{ m}$ . Bu obyektlarning ichki struturasini eksperimental o'rGANISH uchun elektron tezlatgichdan chiqayotgan elektronlarning kinetik energiyasi  $K$  qanday bo'lishi kerak?

26. Tirqishi  $b = 2,0 \text{ mkm}$  bo'lgan diafragmaga perpendikulyar yo'nalishda monoenergetik elektron tushmoqda. Ekranda tirqishdan  $l = 0,5 \text{ m}$  masofa narida hosil bo'lgan difraksion maksimumning kengligi  $\Delta x = 0,36 \text{ mm}$  bo'lsa, elektronlarning tezligini toping.

27. Kinetik energiyasi  $K = 180 \text{ eV}$  bo'lgan elektronlar dastasi nikel monokristall sirtiga normal tushayapti. Normal bilan sirti orasidagi  $55^\circ$  burchak ostida qaytgan nurning 4-tartibli maksimumi kuza-tildi. Shu qaytgan nurga asoslanib, metalldagi tekisliklar orasidagi masofani toping.

28. Devisson va Jermer tajribasida elektronlar dastasining kinetik energiyasi  $K = 54 \text{ eV}$ . Nikel kristalida sochilgan mazkur elektronlarning maksimumi  $\varphi = 50^\circ$  ga to'g'ri kelsa, de-Broyl to'lqin uzunligini toping. Bu to'lqin uzunlikni Vulf-Bregg formulasi bilan hisoblang va ularni solishiring. Nikel kristalining doimiysi  $d = 0,91\text{\AA}$ .

$$29. \lambda = \frac{h}{\sqrt{2mK}} \text{ formuladagi doimiyliklarga son qiymatini qo'yib}$$

de-Broyl to'lqin uzunligini hisoblang va uni tushuntiring.

30. Elektron mikroskopdan chiqayotgan elektronlar dastasining energiyasi  $50 \text{ KeV}$ . Elektronning de-Broyl to'lqin uzunligini toping. Ushbu elektron mikroskopning ajrata olish qobiliyatini toping.

31. Xona temperaturasida gazsimon geliy atomlarining  $T$  temperaturadagi o'rtacha energiyasi  $E_k = \frac{3}{2} kT$  ga teng bo'lsa, geliy atomlarining o'rtacha tezligini va de-Broyl to'lqin uzunliklarini hisoblang. Bu to'lqin uzunlikning qiymatini gaz atomlari orasidagi o'rtacha masofa bilan taqqoslang.

32. Suyuq geliyning zichligi  $0,15 \text{ g/sm}^3$  geliyning suyultirish temperaturasi atmosfera bosimida eng kichik mumkin bo'lgan temperatura. De-Broyl to'lqin uzunligini  $0,01 \text{ K}$  temperaturada hisoblang va uni molekulalari orasidagi masofa bilan taqqoslang.

## X BOB

### **Mavzu: TO'LQIN PAKET. GEYZENBERGNING NOANIQLIK MUNOSABATI**

**Reja:**

- 10.1. To'lqin-paket g'oyasi.
- 10.2. Gruppaviy va fazaviy tezlik va ularning fizik ma'nosи.
- 10.3. To'lqin-paketning yoyilishi. To'lqin-paket g'oyasining kam-chiliklari.
- 10.4. Impuls va koordinata uchun noaniqlik munosabati.
- 10.5. Energiya va vaqt uchun noaniqlik munosabati.
- 10.6. Energetik sathlar kengligi va noaniqlik munosabati.
- 10.7. Noaniqlik munosabatini tasdiqlovchi aqliy tajribalar.
- 10.8. Geyzenbergning noaniqlik prinsipi va Borning to'ldirish prinsipi.
- 10.9. Noaniqlik munosabatini boshqa fanlarga qo'llash va uning falsafasi.

## ADABIYOTLAR

- А.А.Соколов, Ю.М.Лоскутов, И.М.Тернов. Квантовая механика. М.: 1962.
- Энрико Ферми. Квантовая механика.
- Д.И.Блохинцев. Основы квантовой механики. М.: «Высшая школа», 1961.
- А.Б. Мигдал. Квантовая физика для больших и маленьких. М.: 1989.
- А.Н. Матвеев. Атомная физика. М.: «Высшая школа», 1939.
- Л.Де-Бройль. Волны и кванты. УФН. 1967, т.178.
- Л.Де-Бройль. По тропам науки. М.: «ИЛ», 1962.
- Л.Де-Бройль. Революция в физике. М.: «Атомиздат», 1965.
- De-Brogile L.V. Ondes et quente C.R., 1923, v. 177, p. 507 (оригинал).
- De-Brogile L.V., A.Tentative Theory of light quanta Phil. Mag.: 1924, v. 47, p. 446 (оригинал).
- W.Heisenberg. Bber quantentheretische Umdertung kinematischer und mechanisher Beziehungen. Zs. f. Phys. 1925 v. 33, p. 879 (оригинал).

➤ W.Heisenberg. Bber den anschavlichen Inhebit der quanten-theretischen Kinematik unt mechanik/ Zs. f. Phys. 1927 v.43, p.172 (оригинал).

**Masalaning qo'yilishi:** Mazkur bobda zarra-to'lqin ziddiyatini bartaraf qilish uchun taqdim qilingan to'lqin-paket g'oyasi haqida so'z boradi. To'lqin-paket va og'uvchisi, fazaviy va gruppaviy tezlik kabi tushunchalar ta'riflanadi.

Garchand to'lqin-paket g'oyasi kvant fizikaning rivojlanishiga ma'lum bir ma'noda hissa qo'shgan bo'lsa ham, biroq zarra to'lqinlar majmuasidan iborat degan qarashning asossiz ekanligi to'lqin-paketni bir lahzada yoyilishi misoli orqali tasdiqlanadi. To'lqin-paket g'oyasi zarra-to'lqin ziddiyati muammosini echib berolmadidi. Shunga qaramay ushbu g'oya radiofizikada elektromagnit to'lqinlarining muhitda tarqalish masalalarini hal qilishda muhim ahamiyat kasb etadi. Shu bilan bir qatorda bu g'oya negizida Geyzenbergning noaniqlik munosabati kabi fundamental bir prinsip kashf qilindiki, bu prinsip tabiatning eng asosiy munosabatlaridan biri hisoblanadi. Ushbu bobda Geyzenbergning noaniqlik munosabatining ma'nosi turli aqliy masalar orqali o'quvchi ongiga yetkazishga harakat qilinadi.

**X bob. TO'LQIN PAKET.  
GEYZENBERGNING NOANIQLIK MUNOSABATI**

**10.1. To'lqin-paket g'oyasi**

Mikroobyektlarni korpuskular-to'lqin xususiyati, ya'ni dualizm tadqiqotchilarni mushkil ahvolga solib qo'ydi. Chunki zarra-to'lqin antagonistik ziddiyat bo'lib, ulardan birining mavjud bo'lishi ikkinchisining bo'lishi inkor etadi. Haqiqatan ham, zarra deganda biz vaqtning biror paytida fazoning biror joyida aniq bir o'rinni oлган obyektni tasavvur qilamiz; garmonik to'lqinlarning esa na boshi va na cheki bor, ular hamma vaqt va hamma joyda nozir. Shu boisdan kvant fizikaning yaratilishi va taraqqiyotini ilk bosqichida zarra-to'lqin ziddiyatini bartaraf qilish uchun anchagina urinishlar bo'ldi. Natijada zarra-to'lqin dualizmini faqat bir tomonini ijobjiy olib, ikkinchi tomonini inkor etuvchi qarashlar paydo bo'ldi. Obyektni faqat zarralik xususiyatini e'tirof qilib, to'lqin xususiyatini esa inkor qiluvchi olimlar dunyoda faqat zarralar mavjud, to'lqin esa ularni tavsiflash uchun kerak, xalos, dedilar. Ikkinci qarashdagi olimlar esa, aksincha, yo'l tutib obyektni zarralik xususiyatini unutib, dunyoda faqat to'lqinlar mavjud degan g'oyani ilgari surdilar. Ana shunday g'oyani ilg'or targ'ibotchilari kvant fizikaning asoschilaridan Ervin Shryodinger, hamda Lui de-Broylni o'zi ham edi. Masalan, Shryodinger elektronni juda ko'p sondagi de-Broyl to'lqin funksiyalarini superpozitsiyasidan tashkil topgan obyekt deb qaradi.

Zaryadlangan zarra bilan bog'liq bo'lgan elektr maydon zarraning o'zida mujassamlashmagan, balki uning atrofidagi fazoga yoyilgan. Bu holda elektr maydon va zaryadlangan zarrani bir-biriga bog'liq bo'lmanan obyektlar sifatida bir-biridan alohida holda qaray olmaymiz, chunki ular bir hodisaning ikki tomonidir. Shunga qiyos qilib, moddiy obyekt bo'lgan zarrani ham to'lqin sifatida qabul qilish mumkin. Zarrani korpuskulyar xususiyatini namoyon etish uchun ushbu holda to'lqin-paket degan tushuncha kiritildi.

Fazoda turli to'lqin uzunlikka ega bo'lgan juda ko'p to'lqinlar yig'indisidan hosil bo'lgan va ma'lum bir amplitudaga ega bo'lgan to'lqin-majmua *to'lqin-paket* deyiladi. To'lqin-paket ichida joylashgan monoxromatik de-Broyl to'lqinlarining bir-birlari bilan o'zarो interferensiyalanishi tufayli fazoning chekli sohasida amplituda kattalashib, uning atrofida esa uning qiymati nolga tenglashhib, zarra bilan assotsiralanadigan to'lqin guruhi hosil bo'ladi. Ko'p sondagi ana shunday

to'lqinlarni qo'shish orqali, umuman olganda har qanday mikrozarranning chiziqli o'lchamini hosil qilish mumkin. To'lqinlar superpozitsiyasidan hosil bo'lgan mazkur to'lqin guruhining og'uvchisini tezligi, uni tashkil etgan to'lqinlarning tezligidan farq qiladi. Odatda, to'lqin guruhini ana shu og'uvchisini moddiy zarra sifatida talqin etilib, *to'lqin-paket* deyiladi. Shunday qilib, ko'p sondagi to'lqinlarni tanlab qo'shishdan hosil bo'lgan to'lqin-paketni moddiy zarra deb qarash mumkin bo'ladi.

To'lqin-paket tushunchasini tasavvur etish uchun quyidagi oddiy bir misolni ko'raylik. Chastotasi  $\omega_1$  va  $\omega_2$ , to'lqin sonlari  $k_1$  va  $k_2$  bo'lgan ikki to'lqin uchun to'lqin funksiyalarni quyidagicha yozish mumkin:

$$\psi_1 = A \cos(\omega_1 t - k_1 x) \quad (10.1)$$

$$\psi_2 = A \cos(\omega_2 t - k_2 x) \quad (10.2)$$

Superpozitsiya prinsipidan foydalanib (10.1) va (10.2) funksiyalarni qo'shib, natijani quyidagicha yozish mumkin:

$$\psi = \psi_1 + \psi_2 = A \cos(\omega_1 t - k_1 x) + A \cos(\omega_2 t - k_2 x). \quad (10.3)$$

(10.3) funksiyani boshqacha ko'rinishda ham yozish mumkin. Buning uchun esa ikkita tushuncha kiritamiz: «o'rtacha burchak chastota» -  $\omega_{o,r}$  va «moduyalsiya burchak chastotasi» -  $\omega_{mod}$ :

$$\omega_{o,r} \equiv \frac{1}{2} (\omega_1 + \omega_2), \quad \omega_{mod} \equiv \frac{1}{2} (\omega_1 - \omega_2), \quad (10.4)$$

shuningdek,

$$k_{o,r} \equiv \frac{1}{2} (k_1 + k_2), \quad k_{mod} \equiv \frac{1}{2} (k_1 - k_2). \quad (10.5)$$

Chastotalar va to'lqin sonlarning yig'indisi va ayirmasini quyida-gicha ifodalaymiz.

$$\begin{aligned} \omega_1 &= \omega_{o,r} + \omega_{mod}, & \omega_2 &= \omega_{o,r} - \omega_{mod}, \\ k_1 &= k_{o,r} + k_{mod}, & k_2 &= k_{o,r} - k_{mod}, \end{aligned} \quad (10.6)$$

(10.6) tengliklarni (10.3) ga qo'yysak,

$$\begin{aligned} \psi &= A \cos[(\omega_{o,r} t + \omega_{mod} t) - (k_{o,r} x + k_{mod} x)] - \\ &- A \cos[(\omega_{o,r} t - \omega_{mod} t) - (k_{o,r} x - k_{mod} x)] = \\ &= [2A \cos(\omega_{mod} t - k_{mod} x)] \cos(\omega_{o,r} t - k_{o,r} x). \end{aligned}$$

Demak,

$$\psi = A_{mod}(t) \cos(\omega_{o,r} t - k_{o,r} x), \quad (10.7)$$

bunda

$$A_{mod}(t) = 2A \cos(\omega_{mod} t - k_{mod} x). \quad (10.8)$$

(10.7) va (10.8) ifodalar  $\omega_o$ , tezlikda va  $A_{mod}$  amplituda bilan harakat qilayotgan tebranishlarni ifodalaydi. (10.3) ko'rinishdagi ikkita to'lqin superpozitsiyasini (10.7) va (10.8) ko'rinishda yozish qulay, agarida  $\omega_1$  va  $\omega_2$  (shuningdek,  $k_1$  va  $k_2$ ) chastotalarni qiymati bir-biriga juda yaqin bo'lsa. Bu holda modulyatsiya chastotasi o'rtacha chastotadan ancha kichik bo'lib, quyidagi shart o'rini bo'ladi:

$$\begin{aligned} \omega_1 &= \omega_2 \approx \omega & \omega_{mod} &<< \omega_{o,r} \\ k_1 &\approx k_2 \approx k & k_{mod} &<< k_{o,r} \end{aligned} \quad (10.9)$$

Bu shart bajarilganda  $A_{mod}(t)$  modulyatsiya amplitudasi  $\cos\omega_{o,r}t$  tebranishining bir qancha "tez" o'zgarishiga nisbatan sekinroq o'zgaradi. Shuning (10.7) ifoda  $\omega_o$ , chastota bilan deyarli davriy tebranadi.  $A_{mod}$  - doimiy bo'lgani uchun tebranish  $\omega_o$ , chastota bilan bo'ladi.  $\omega_1$  chastota  $\omega_2$  chastotadan juda kichik songa farq qilsa, u holdda (10.7) ifoda  $\psi_1 + \psi_2$  to'lqinlar superpozitsiyasini xarakterlaydi va deyarli monoxromatik tebranish deyiladi. Misol uchun  $\omega_1$  va  $\omega_2$  chastotada tebranayotgan kamertonning o'rtacha chastotasi ularning har birining chastotasidan 6% ga farq qilsa, qulqoq va miya tebranishni (10.3) ifoda ko'rinishida qabul qiladi, ya'ni bizning qulog'imiz bu tebranishlarni (notalarini) ajratadi. Agar  $\omega_2 = 1.06\omega_1$  bo'lsa,  $\omega_2$  chastota  $\omega_1$  chastotadan yarim tonga balandroq eshtiladi. Agar  $\omega_1$  va  $\omega_2$  lar bir-biridan faqat 10 gertsga farq qilsa, qulqoq bu ikki notani farq qilolmaydi. Ana shu holda qulog'imiz ikkala kamertondan kelayotgan tebranish tovushlarini (10.7) ifoda ko'rinishida qabul qiladi, bu holda  $A_{mod}$  amplituda juda sekin o'zgaradi va tovush  $\omega_o$ , chastota bilan tarqaladi. Natijada ikkala to'lqin superpozitsiyasining zarbi (bieniya) yoki to'lqin guruh hosil bo'ladi. 10.1, a) rasmida ikkita shunday to'lqinlarning superpozitsiyasi tasvirlangan va ular to'lqin-paket hosil qiladi.

Shunday qilib, ikkita to'lqin superpozitsiyasini ifodalovchi (10.7) tenglamani ochiqroq ko'rinishda yozamiz.

$$\psi = \psi_1 + \psi_2 = A_{mod} \cos \left[ \left( \frac{\omega_1 + \omega_2}{2} \right) t - \left( \frac{k_1 + k_2}{2} \right) x \right]. \quad (10.10)$$

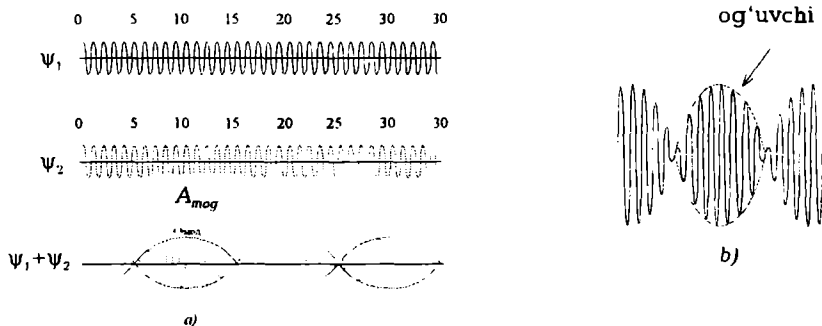
Natijaviy amplituda

$$A_{mod} = 2A \cos \left[ \left( \frac{\omega_1 + \omega_2}{2} \right) t - \left( \frac{k_1 + k_2}{2} \right) x \right]. \quad (10.11)$$

To'lqin-paket vujudga kelishi uchun  $\omega_1 \approx \omega_2$  va  $k_1 \approx k_2$  shartlar bajarilishi kerak.

Chastotalari bir-biriga juda yaqin bo'lgan juda ko'p sondagi  $\psi_1, \psi_2, \psi_3, \dots, \psi_n$  to'lqinlarni qo'shganda hosil bo'lgan to'lqin-paket

aniq shaklga ega bo'ladi va uning uzunligi  $\Delta x$  gacha qisqaradi. Bu hol 10.1, b) rasmdagi shaklda tasvirlangan.



10.1-rasm. To'lqin-paket hosil bo'lishi.

## 10.2. Gruppaviy va fazaviy tezlik va ularning fizik ma'nosi

To'lqin-paketni tashkil qilgan har bir to'lqinning xususiy tezligi bo'lib, u *fazaviy tezlik* deyiladi. Superpozitsiya tufayli hosil bo'lgan yig'indi-to'lqinni og'uvchisining tezligi boshqa tezlikda harakat qilgани учун *gruppaviy tezlik* deyiladi.

De-Broyl g'oyasiga binoan  $E$ -energiya  $\vec{p}$  impulsiga ega bo'lgan erkin harakat qilayotgan zarra

$$\psi(r, t) = A \exp\left[-\frac{i}{\hbar}(Et - \vec{p}\vec{r})\right] \quad (10.12)$$

to'lqin funksiya bilan tavsiflanadi.

(10.12) funksiya  $OX$  o'qi bo'yicha tarqalgan to'lqin uchun

$$\psi(r, t) = A \exp\left[-\frac{i}{\hbar}(Et - px)\right] \quad (10.13)$$

ko'rinishda yozsak bo'ladi.

(10.13) formuladagi doimiy faza

$$\frac{Et - px}{\hbar} = \varphi_0 = \text{const} \quad (10.14)$$

koordinata  $x$  vaqt o'tishi bilan o'zgaradi. Doimiy faza sirtini ko'chishini xarakterlovchi  $\frac{dx}{dt}$  hosila to'lqinning fazaviy tezligini xarakterlaydi, ya'ni

Yoki

$$v_f = v \cdot \lambda = \frac{dx}{dt} = \frac{E}{p} = \frac{mc^2}{mv} = \frac{c^2}{v} \quad (10.15)$$

$$V_f = v \cdot \lambda = \frac{2\pi\omega}{2\pi k} = \frac{\omega}{k} \quad (10.16)$$

bunda  $\omega = 2\pi v$  - burchak chastota,  $k = \frac{2\pi}{\lambda}$  - to'lqin son.

(10.15) formuladagi  $v$  va  $\lambda$  ni de-Broyl chastotasi va to'lqin uzunligi deyish mumkin.

(10.15) munosabatga ko'ra moddiy zarra uchun de-Broyl to'lqining fazaviy tezligi har doim yorug'lik tezligidan katta bo'ladi, chunki  $v < c$ . Bu olingan natija bizni ajablantirmsa kerak, chunki tajribada bu kattalik o'lchanmaydi; bu tezlik signalni tezligini ham, energiya ko'chishini tezligini ham xarakterlamaydi. Boshqacha aytganda, fazaviy tezlik fizikaviy ma'noga ega bo'lmay, u nisbiylik nazariyasini aks ettirmaydi. Nisbiylik nazariyasiga ko'ra, modda tezligi hech vaqt yorug'lik tezligidan katta bo'lmaydi. To'lqinning fazaviy tezligi, umuman, zarra massasi va energiyasini ko'chirib o'tilishini xarakterlamaydi.

To'lqin-paket g'oyasining yoqimli tomoni shundaki uning og'uvchisining tezligi, ya'ni gruppaviy tezlik  $v_{gr}$  zarra harakatining tezligiga tengdir.

Zarra tezligi

$$v = \frac{dE}{dp} \quad (10.17)$$

munosabatdan topish mumkin.

To'lqin nazariyasiga binoan, to'lqin-paket og'uvchisining tezligi

$$v_{gr} = \frac{d\omega}{dk} \quad (10.18)$$

formula orqali topiladi. (10.18) munosabatni

$$v_{gr} = \frac{dv}{d\left(\frac{1}{\lambda}\right)} = -\lambda^2 \frac{dv}{d\lambda} \quad (10.19)$$

ko'rinishda yozamiz.

$\lambda = h/p$  munosabatdan foydalanim

$$d\lambda = -\frac{hdp}{p^2} \quad (10.20)$$

formulani olamiz.

$E^2 = E_0^2 + p^2 c^2$  formulani differensiallasak

$$dE = -\frac{pc^2}{E} dp \quad (10.21)$$

$v = \frac{E}{\hbar}$  ni differensiallasak

$$dv = \frac{dE}{\hbar} = \frac{pc^2}{Eh} dp \quad (10.22)$$

ifodalar hosil bo'ladi.

(10.20) va (10.22) ifodalarni (10.18) ga qo'ysak

$$v_{gr} = -\lambda^2 \frac{dv}{d\lambda} = \frac{pc^2}{E} \quad (10.23)$$

yoki

$$v_{gr} = \frac{mv^2}{mc^2} = v \quad (10.24)$$

hosil bo'ladi.

(10.24) formuladan quyidagi xulosaga kelamiz;

Gruppaviy tezlik zarra tezligiga teng, yoki boshqacha aytganda, de-Broyl to'lqinlari zarra bilan birga harakat qiladilar.

To'lqinning gruppaviy tezligi (de-Broyl to'lqinidan tashkil topgan to'lqin-paket og'uvchisining tezligi) (10.19) ni fazaviy tezlik  $v_i$  bilan bog'laylik. Buning uchun  $v$  ni o'mniga  $v_i/\lambda$  ni qo'ysak:

$$v_{gr} = \frac{d\left(\frac{v_f}{\lambda}\right)}{d\left(\frac{1}{\lambda}\right)}, \quad (10.25)$$

shakl almashtirsak

$$v_{gr} = v_f - \lambda \frac{dv_f}{d\lambda} \quad (10.26)$$

munosabatni hosil qilamiz. (10.26) formula gruppaviy tezlik bilan fazaviy tezlikni bog'laydi. Agar to'lqinlar dispersiyasi bo'lмаган muhitda tarqalsa, ya'ni

$$v_f = const \quad (10.27)$$

bo'lsa

$$v_{gr} = v_f. \quad (10.28)$$

Demak, dispersiyasi bo'limgan muhitda to'lqinning gruppaviy tezligi doimo uning fazaviy tezligiga tengdir.

Fotonning gruppaviy tezligi haqida nima deyish mumkin? Uning gruppaviy tezligi zarralarning gruppaviy tezligiga tengmi?

Bilamizki, fotonlar energiyasi  $E=rs$ . Bu ifodani (10.23) ga qo'ysak

$$v_{gr} = -\lambda^2 \frac{dv}{d\lambda} = \frac{pc^2}{E}$$

yoki

$$v_{gr} = c \quad (10.29)$$

Shunday qilib, fotonlarning gruppaviy tezligi ham yorug'lik tezligiga teng. (10.28) ni ham e'tiborga olsak

$$v_f = v_{gr} = c \quad (10.30)$$

Demak, yorug'lik to'lqinining fazaviy tezligi ham, gruppaviy tezligi ham yorug'lik to'lqinining o'ziga teng degan xulosaga kelamiz.

### **10.3. To'lqin-paketning yoyilishi. To'lqin-paket g'oyasining kamchiliklari**

To'lqin-paket modelining e'tiborli tomoni shundaki, birinchidan, uning gruppaviy tezligi zarra tezligi bilan mos tushadi. Ikkinchidan, impulslar intervali kengligini tanlash bilan har qanday kichik kenglikka ega bo'lgan fazoviy uzunlikni hosil qilishi mumkin.

Lekin shunga qaramay E.Shryodinger taklif etgan to'lqin-paket modelidan voz kechishga to'g'ri keladi. Asosiy e'tirozlardan biri shundaki (10.10) tenglamani keltirib chiqarishda de-Broyl to'lqinlarining barcha alomatlari hisobga olinmagan. Haqiqatan ham (10.15) formulaga binoan, paketni barpo qiluvchi monoxromatik to'lqinlarning fazaviy tezligi impulsiga bog'liq. Shunga ko'ra ham hatto vakuumda turli to'lqinlarning doimiy fazasining sirti turli tezlikda ko'chishi kerak, ya'ni

$$v_f = \frac{E}{p} = \frac{c(p^2 + m^2 c^2)}{p} \quad (10.31)$$

Optikadan bilamizki to'lqinlarda dispersiya degan hodisa mavjud. To'lqinlar dispersiyaga muvofiq, paketda tez harakat qilayotgan to'lqinlar ildamlab ketadi, lekin sekin harakat qilayotgan to'lqinlar esa orqada qolib ketadi. Natijada paketni barpo qiluvchi to'lqinlar orasidan fazaviy munosabat buziladi va vaqt o'tishi bilan paket yoyilib ketadi. Bunday ko'rinishdagи zarrani to'lqin-paketga aylantirish uni beqaror bo'lismiga olib keladi. Aslida bunday emas, chunki zarra barqaror sistemadir.

To'lqin-paketni yoyilib ketish vaqtini chamlash mumkin. Biz uni keltirib chiqarib o'tirmasdan tayyor formulasini yozib qo'ya qolamiz.

To'lqin-paketni yoyilish vaqtini

$$\tau = \frac{2\pi\hbar m}{(\Delta p)^2} \quad (10.32,a)$$

yoki

$$\tau = \frac{m(\Delta x)2}{2\pi\hbar} \quad (10.32,b)$$

formula bilan ifodalanadi. Bunda  $\Delta x$  - paketnining chiziqli o'lchami,  $\Delta p$  - impuls. Masalan,  $m=1g$  va o'lchami  $\Delta x=0,1\text{ sm}$  bo'lgan makrozar-rani ifodalovchi to'lqin-paketni yoyilish vaqtini  $\tau=10^{25}\text{s}$ , ya'ni to'lqin-paket deyarli yoyilmaydi.

Massasi  $m=10^{-31}\text{kg}$  va o'lchami  $\Delta x=10^{-13}\text{sm}$  bo'lgan elektron uchun  $\tau=10^{-26}\text{s}$ , ya'ni bir zumda elektron yoyilib ketadi. Shunday qilib, Shryodinger elektroni barqaror sistema hosil qilmaydi va bu eksperimental fakt natijalariga ziddir. Shuningdek, ko'p elektronlarning harakatini tavsiflovchi monoxromatik to'lqinni to'lqin-paketga almashtir-sak, u dispersiya hodisalarini tushuntirib beraolmaydi.

#### 10.4. Impuls va koordinata uchun noaniqlik munosabati

Zarraning to'lqin-paket sifatida tasavvur qilish noto'g'ri ekanligini oldingi bandda qayd qildik. Bunday xulosa chiziqli tenglamalar bilan tavsiflanadigan to'lqinlar uchun o'rnilidir. Chiziqli bo'limgan to'lqinlar uchun vaziyat tamomila boshqacha. Chiziqli bo'limgan to'lqinlar uchun yagona to'lqinlar - solitonlar bo'lishi mumkinki, ular fazoning juda kichik qismida mujassamlashgan bo'lib, shaklni ham, o'lchamni ham o'zgartirmasdan tarqalishi mumkin. Solitonlar fizikasi juda qiziq bo'lib, uning natijalari kvant fizikaning ko'p masalalarini echishda hozirda keng qo'llaniladi. Hozirgi paytda solitonlar uchun bir o'lchamli va ikki o'lchamli tenglamalar topilgan. Agar uch o'lchamli fazo uchun tenglama topilsa, solitonni bemalol zarra deb atasa bo'ladi. Hozirgi paytda bu yo'lida yetarli darajada qanoatlantiruvchi natijalar olinmagan.

Zarra-to'lqin ziddiyatini bartaraf qilish uchun 1927-yilda nemis fizigi Werner Geyzenberg qiziq g'oya berdi. Bu g'oyani *noaniqlik prinsipi* yoki *noaniqlik munosabati* deb atashadi. Noaniqlik prinsipi, umuman ma'lum o'zgaruvchi fizikaviy kattaliklar juftligi bir vaqtida o'lchash masalasiga taalluqli bo'lib, o'lchashning fundamental chegarasini ifodelaydi. Mikrozarranning, masalan, elektronning impulsini va koordinatasini bir vaqtida o'lchash bilan bog'liq bo'lgan noaniqlikni ko'raylik.

10.2-rasmda  $v$ -tezlik bilan harakatlanayotgan zarra tasvirlangan. Zarra  $v_{gr} = v$  tezlik bilan harakatlanayotgan to'lqin-paket ichida mujas-samlashagan. (10.19) va (10.20) tenglamalardan foydalanib gruppaviy tezlik uchun quyidagi ifodani hosil qilamiz:

$$v_{gn} = \frac{h\bar{v}}{dp}. \quad (10.33)$$

10.2-rasm va (10.33) tenglamadan kelib chiqib

$$v_{gr} = \frac{\Delta x}{\Delta t} = h \frac{\Delta v}{\Delta p}$$

yoki

$$\Delta p \Delta x = h \Delta v \Delta t \quad (10.34)$$

ifodani yozamiz.

Agar to'lqin chastotasini o'lchash so'ralayotgan bo'lsa, u holda uni o'lchash uchun kerak bo'lgan eng kichik vaqt tayinli nuqatadan to'la to'lqin uzunlikni o'tishi uchun ketgan vaqt intervali  $\Delta t$  ni bilish kerak bo'ladi. Bitta to'la davr uchun mos kelgan bu vaqt intervali chastota bilan quyida-gicha bog'langan

$$\Delta t \geq \frac{1}{\Delta v} \quad (10.35)$$

va

$$\Delta v \Delta t \geq 1 \quad (10.36)$$

ekanligini hisobga olsak (10.34) dan

$$\Delta p \cdot \Delta x \geq h \quad (10.37)$$

munosabatni olamiz.

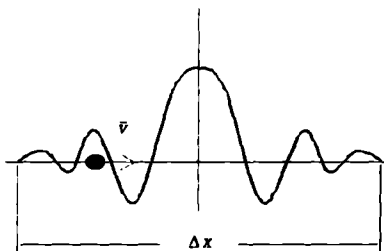
(10.37) munosabat koordinata va impuls uchun yozilgan Geyzenbergning noaniqlik munosabati deb ataladi. Bu munosabatga ko'ra zarra koordinatasini qancha aniqroq bilmoxchi bo'lsak, zarra impulsining shu o'qidagi proeksiyasi shuncha noaniqlashadi. Shuning uchun ham (10.37) munosabatni

$$\Delta p_x \cdot \Delta x \geq h \quad (10.38)$$

ko'rinishda yozish o'rnlidir.

Zarraning koordinatasi va impulsini bir vaqtda aniqlash yo'lida vujudga kelgan koordinata-impuls noaniqligi mikrozarranning to'lqin funksiyasi, ya'ni o'zi haqiqatan ham  $\Delta r$  va  $\Delta x$  sohada yoyilganligi sababli yuzaga keladi.

Noaniqlik prinsipini uch o'lchamli fazoga quyidagicha yozamiz:



10.2-rasm.

$$\begin{aligned}\Delta x \cdot \Delta p_x &\geq h \\ \Delta y \cdot \Delta p_y &\geq h \\ \Delta z \cdot \Delta p_z &\geq h\end{aligned}\tag{10.39}$$

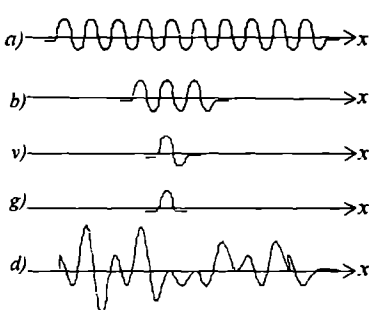
$r_x$  va  $x$  kabi juft kattaliklar uchun  $\Delta x$  noaniqlik va  $\Delta p_x$  noaniqlikga ega bo'lgani uchun ularni *qo'shma kattaliklar* deyiladi.

10.3-rasmda koordinata-impuls uchun noaniqlik munosabati turli hollar uchun ko'rsatilgan.

Koordinatani aniq bilish uchun to'lqin kuchasi qisqa bo'lishi talab qilinadi (kucha deganda  $\tau$  bilan ajratilgan ikkita vaqt momenti orasidagi jarayonning qismi tushuniladi).

10.3-rasmda chekli uzunlikka ega bo'lgan turli to'rtta to'lqin kucha tasvirlangan. Barcha grafiklarda «haqiqiy» bo'lмаган ikkala tomonidan chegaralangan sinusoidalar tasvirlangan. Koordinatani yoki impulsni aniqlash uchun  $-\infty$  dan  $+\infty$  gacha yoyilgan sinusoida bo'lishi kerak. Biroq bu ikki talab bir-birini istisno etadi.

10.3, a) rasmida holat yomon aniqlangan. Chunki to'lqin kuchasida to'la tebranishlar soni qancha ko'p bo'lsa, to'lqin uzunlikni shunchalik aniq topish mumkin, ya'ni



10.3-rasm.

$$\frac{1}{n} - \frac{\Delta \lambda}{\lambda} = \frac{\Delta p}{p}; \tag{10.40}$$

bunda  $\Delta \lambda$  impulsdagи noaniqlik ( $\lambda = \frac{2\pi}{p}$ ). Holatni noaniqligini chamlash uchun to'lqin kuchasi uzunligini olishimiz mumkin. Agar u  $n$  ta to'lqinlardan iborat bo'lsa, u holda

$$\Delta x \sim n\lambda = \frac{2\pi n}{p} \tag{10.41}$$

(10.40) va (10.41) dan

$$\Delta x \cdot \Delta p \sim h$$

kelib chiqadi.

10.3, b) rasmida holat yaxshiroq, impuls esa yomonroq aniqlangan; 10.3, v) rasmida holat yaxshi aniqlangan, impuls esa yomon; 10.3, g) rasmida esa holat juda yaxshi aniqlangan, impuls esa juda yomon aniqlangan. d) ko'rinishdagi to'lqin tsugda holat ham, impuls ham juda yomon aniqlangan. Shu sababli, noaniqlik munosabati

$$\Delta x \cdot \Delta p \geq \hbar \quad (10.42)$$

shaklda yozish kerak.

Noaniqlik munosabatini yaxshi tushunish uchun masalalar bo'limidagi misollarni echish kerak bo'ladi.

Noaniqlik munosabati tabiat qonunini ifodalab, sababiyat qonuniga zid kelmaydi. Maxsus nisbiylik nazariyasini esa sababiyat va natija orasidagi mutlaq farqqa tayanadi. Bu holat indeterminizm atamasi bilan yaxshiroq oshkorlashadi. Bu nuqtai nazardan qaraganda Nyuton klasik mehanikasi deterministik xarakterga ega. Zarraga ta'sir qilgan kuchni va impulsiga qo'yilgan boshlang'ich shartlarni bilsak, vaqtning keyingi istalgan momentlari uchun uning holatini absolyut aytib berish mumkin. Mikrodunyo esa mohiyati jihatdan indeterminitdir. Moddalar tabiatining ikkiyoqlama xususiyati mantiqiy natijasi noaniqlik muammosidir. Noaniqlik prinsipini chuqur anglash uchun aqlish tajribalaridan foydalanish kerak bo'ladi.

### 10.5. Energiya va vaqt uchun noaniqlik munosabati

Koordinata va impuls uchun yozilgan noaniqlik munosabatiga o'xshash munosabatni energiya va vaqt uchun ham yozish mumkin. Buning uchun (10.36) formula va Plank formulasidan foydalanamiz, ya'ni

$$\Delta v \cdot \Delta t \geq 1 \quad (10.42)$$

va

$$\Delta E = \hbar \Delta v \quad (10.43)$$

(10.43) ni (10.36) ga qo'sak

$$\Delta \left( \frac{E}{h} \right) \Delta t \geq 1$$

bundan

$$\Delta E \cdot \Delta t \geq \hbar, \quad (10.44)$$

bunda  $\Delta E$  energiyani aniqlashdagi noaniqlik (xatolik),  $\Delta t$  vaqtning aniqlashdagi noaniqlik. (10.44) munosabat energiya va vaqt uchun Geyzenbergning noaniqlik munosabati deyiladi. Uni quyidagicha ta'riflaymiz: agar energiyani aniqlashdagi xatolik  $\Delta E$  bo'lsa va shu vaqtga o'lchanan vaqtning xatoligi  $\Delta t$  bo'lsa, u holda o'lchanning bu ikki xatoligini ko'paytmasi tartibi jihatdan Plank doimiysi  $\hbar$  ni qiymatidan hech qachon kichik bo'lmaydi. Boshqacha aytganda, (10.44) tengsizlikni shunday tushunish mumkin:  $\Delta E$  noaniqlik bilan  $E$  energiyani qayd qilish uchun kerak bo'lgan  $\Delta t$  vaqtning qiymati  $\hbar/\Delta E$  kattalikdan katta bo'lishi kerak.

Ikkita elektron orasidagi elektromagnit o'zaro ta'sir vositachi fotonlar orqali beriladi. Bitta elektron foton chiqaradi, ikkinchi elek-

tron ushbu fotonni yutadi. Foton almashuvi yoki elektromagnit maydon kvantlari almashuvi natijasida ikkita zaryadlangan zarra orasida elektromagnit o'zaro ta'sir paydo bo'ladi. Shunday o'zaro ta'sir pozitroniy ( $e^+$ ,  $e^-$ ) uchun ham o'rinnimi? Fotonlar almashuvi jarayonida ikkita zarraning massa markazi sistema koordinatasida tavsiflanadi. To'qnashish elastik bo'lgani uchun, bu sanoq sistemasiida energiyalar o'zgarishsiz qoladi, ya'ni  $E_1^i = E_1$ ,  $E_2^i = E_2$ . Foton chiqarilgunga qadar bo'lgan to'la energiya  $E = E_1 + E_2$ . Foton chiqarilgandan so'ng energiya va uni yutgunga qadar bo'lgan to'la energiya  $E = E_1 + E_2 + E_r$ . Demak, energiya saqlanmaydi. (10.44) Geyzenberg noaniqlik munosabatiga binoan,  $\Delta t$  vaqtida energiya saqlanishini hisobga olmasa ham bo'ladi. Shunday qilib,  $\Delta E$  noaniqlik oraliq'ida energiya saqlanmasligi kuzatib bo'lmaydigan faktdir. Energiyani saqlanmaslik holati  $T$  vaqt intervalida

$$T \leq \frac{\hbar}{\Delta E} \Delta E \cdot \Delta t \geq \hbar \quad (10.45)$$

tengsizlik bilan ifodalanadi.

Energiyasi  $\Delta E = \hbar\omega$  bo'lgan foton  $T$  vaqt davomida yashasa, uni kuzatib bo'lmaydi, ya'ni

$$T = \frac{\hbar}{\hbar\omega} = \frac{1}{\omega}. \quad (10.46)$$

Kuzatib bo'lmaydigan foton  $T$  dan kichik vaqt ichida mavjud bo'lgani uchun u

$$r = cT = \frac{c}{\omega} \quad (10.47)$$

masofani o'tishi mumkin.

$\omega$  chastota juda kichik bo'lgani uchun foton beradigan elektromagnit o'zaro ta'sir masofasi juda katta. Haqiqatan ham Kulon kuchlari masofaga  $1/r^2$  kabi bog'liq bo'lgani uchun bu kuch cheksiz katta masofalar uchun ham o'rinnidir. Almashuv fotonini kuzatib bo'lmaslik sababi tufayli uni *virtual foton* deb atashadi.

(10.44) munosabat matematik ko'rinishi jihatdan (10.37) munosabatga o'xshagan bo'lsa ham fizik ma'nosi jihatdan undan tamomila farq qiladi. Bunga quyidagi sabablarni ko'rsatish mumkin. Birinchidan, eksperimentda, odatda, holatning to'la energiyasi emas, balki sistemaning bir holatdan ikkinchi holatga o'tishidagi energiya farqi o'lchanadi. Ikkinchidan, vaqt uzlusiz o'sadi, shuning uchun biror  $t$ -vaqt momentiga nisbatan  $\Delta t$  tarqoqlikni o'lchaydigan "o'rtacha nuqta" yo'q. Bu ikki xil bir-biri bilan uzviy bog'langani uchun (10.44) ni (10.37) kabi talqin etib bo'lmaydi.

(10.44) da qo'zg'almas "o'rtacha nuqta"ni yo'qligi tufayli davomiyligini ma'noga egadir. Ikkinchini tomonidan  $\Delta E$  energiya tarqoqligidan ikkita holat energiyasi farqining tarqoqligi  $\Delta(E-E')$  degan tushunchaga o'tish tengsizlikni o'ng tomonidagi ifodani ikki marta ko'paytirishi mumkin, chunki  $\Delta E$  va  $\Delta E'$  larning ishoralari erkli bo'lishi mumkin. Shuning uchun

$$\Delta(E - E')\Delta t \geq \hbar \quad (10.48)$$

munosabat o'rini bo'ladi. Bu munosabatda  $\Delta t$  deganda E energiyadagi sistemani  $E'$  energetik holatga o'tishidagi vaqt oraliq'i deb tushunmoq kerak. Shu narsaga e'tibor bering: bu bir holatdan ikkinchi holatga o'tishni o'zining davomiyligi (muddati) emas, balki voqeа sodir bo'lishidagi vaqt oraliq'ining davomiyligidir.  $\Delta(E-E')$  kattalik deganda energiya o'tishdagi olingan tarqoqlikni tushunamiz.

Bu fikrni atom nurlanishi misolida tushuntirishga harakat qilamiz.

Atomda elektron bir holatdan boshqa holatga o'tgan yorug'lik kvanti nurlanadi. Biroq bilamizki, nurlanish spektrining chiziqlari tabiiy kenglikka ega. Bu degani nurlangan kvantlar energiya aniq bir qiymatga ega emas, balki qandaydir energetik tarqoqlik mavjud va bu tarqoqlik atom bir-holatdan ikkinchi holatga o'tgan jarayondagi energiya farqi tarqoqligi qiymatiga mos keladi. Bu tarqoqlik (10.48) formulada  $\Delta(E-E')$  kattalik bilan berilgan. Shunday qilib, nurlanish chiziq'ining tabiiy kengligini bilgan holda  $\Delta(E-E')$  ni topish mumkin. So'ng esa (10.48) formula yordamida o'tishga nisbatan uyg'ongan holat uchun atomning yashash vaqtini hisoblanadi:

$$\Delta t = \tau \approx \frac{\hbar}{\Delta(E - E')} \quad (10.49)$$

(10.49) formuladan birlik vaqt ichida sistemani bir holatdan ikkinchi holatga o'tish ehtimoli  $R$  aniqlanadi:

$$P = \frac{1}{\tau} \approx \frac{\Delta(E - E')}{\hbar} \quad (10.50)$$

Energiya-vaqt uchun berilgan noaniqlik munosabatidan shuni anglash mumkinki, bu munosabatning mavjudligi o'chash vositalariga emas, balki kvant sistemalarining o'zining ichki xususiyatlariga bog'liqidir. Noaniqlik munosabati bu zarralarning ham to'lqin, ham korpuskulyar xususiyatiga ega ekanligini tasdiqlovchi matematik ifodadir. Shu sababdan ham bu munosabat obyektiv qonuniyatni ifodalovchi formuladir.

*Misol.* Uyg'ongan holatdagi atomning yashash vaqtini  $\tau = 10^{-8}s$ . Energiyanı aniqlashdagi xatolikni toping.

*Yechish.* (10.44) munosabatga ko'ra ( $\Delta t = \tau$ )

$$\Delta E \geq \frac{\hbar}{\Delta t} = \frac{6,62 \cdot 10^{-34} \text{ Js}}{2\pi \cdot 10^{-8} \text{ s}} = 1,0 \cdot 10^{-26} \text{ J}$$

yoki

$$\Delta E \geq 6,5 \cdot 10^{-8} \text{ eV}$$

Energiyaning bu qiymati uyg'ongan atomning energetik sathini kengligi deyiladi.

Odatda, sath kengligi  $\Gamma = \Delta E$  bilan belgilanadi.

Mikroolamda ham sistemaning holatini tasvirlovchi ko'pgina kat-taliklar absolyut aniqlik bilan aniqlanishi mumkin. Ana shunday kat-taliklardan biri zarra elektr zaryadining ishorasidir. Eksperimental yo'l bilan qaralayotgan zarrani elektr zaryadi musbat yoki manfiy ekanligini absolyut aniq bilish mumkin.

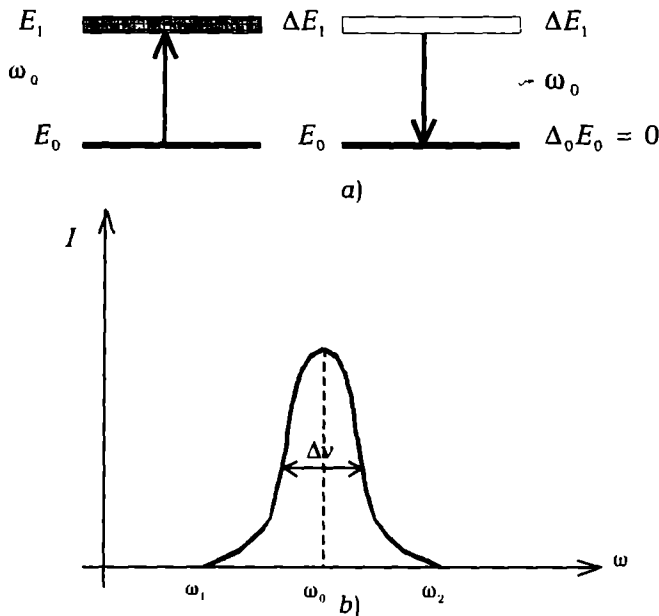
### 10.6. Energetik sathlar kengligi va noaniqlik munosabati

Yuqorida biz energetik sathlar kengligi haqida gapirdik. Atom, yadro va elementar zarralar fizikasida sath kengligi fundamental tu-shunchadir, zero u haqida batafsilroq gapirishga to'g'ri keladi.

Dastlab asosiy holatda yotgan atom  $\omega_0$  - chastotaga ega bo'lgan fotonni yutsin. Agar bu foton chastotasi atomni asosiy holatidan biron uyg'ongan holatga o'tishdagi energiyasiga to'g'ri kelsa, ushbu atom fotonni yutadi va uyg'onadi. So'ng u o'zining dastlabki asosiy holatiga o'tadi va  $\omega_0$  chastotali foton chiqaradi (10.4, a) rasm). Ushbu foton istalgan yo'naliishga ega bo'lishi mumkin, bu degani atom  $\omega_0$  - chastotaga ega bo'lgan fotonni sochadi. Endi faraz qilaylik, atomga tushayotgan nurlanish chastotasi  $\omega_0$  chastotadan biroz farq qilsin. Bu holda atom yorug'likni sochadimi? Ha. Tajribadan ko'rindaniki, agar  $\omega$ -chastotaga  $\omega_0$  ga nisbatan biroz o'zgarsa, atomni effektiv sochishi ham o'zgaradi: avval u asta-sekin o'sa boradi va  $\omega = \omega_0$  da keskin maksimumga ega bo'ladi, so'ng chastotaning ortishi bilan 10.4, b) rasmdagi kabi keskin kamayadi. Ayrim hollarda  $\omega \neq \omega_0$  da ham holat o'zgarishlari ro'y beradi. Agar  $\omega \neq \omega_0$  chastotadagi foton atomga tushsa, sochilgan nurlanishning chastotasi qanday bo'ladi? O'tishlar sxemasi ko'ra bu chastota  $\omega_0$  ga teng bo'lishi kerak, biroz tajriba buni tasdiqlamaydi: energiyaning saqlanish qonuniga binoan chiqarilgan fotonning chastotasi ham  $\omega$  ga teng bo'ladi. Rezonansli fluoressensiya hodisasi buni to'la tasdiqlaydi. Atom, molekula va yadrolar energetik sathlarini rezonansli fluoressensiya hodisasiga binoan talqin etib juda muhim xulosaga kelamiz: energetik sathlar farqi rezonanslidir. Shu sababdan ham biz energetik sathlar energiyasini o'lchash imkoniyatiga egamiz.

Atomni asosiy holatdan uyg'onish holatiga o'tishiga sababchi bo'lgan foton chastotasini o'lchab sath energiyasini hisoblash mumkin.

Boshqacha aytganda, atomni rezonansga keltiradigan chastotani topish kerak. Bunday bir qiymatga ega bo'lgan yagona chastota yo'q; atom uncha katta bo'lmaygan chastotalar intervaliga sado beradi. Albatta, sath energiyasini aniqlaydigan chastota 10.4, b) rasmdagi rezonans egriliginin maksimumiga to'g'ri keladi. Shunday qilib, quyidagi xulosaga kelamiz:  $\omega_0$  - chastotaga juda ham yaqin bo'lgan barcha chastotalarga atom sado beradi va atomni yutilish spektri mutlaq ingichka bo'lmaydi; balki u chekli kenglikka ega (10.4-rasm -  $\Delta E_1$ ). Bu eksperimental faktdir. Xuddi shunga o'xshab atomning chiqarish spektri chiziqlari ham chekli kenglikka ega. Chiqarish spektri chizig'i kengligi yutish spektri chizg'i kengligiga tengdir (10.4-rasm). Chiziqlar kengligi mutlaqo atomning ichki xususiyatidir.



10.4-rasm.

Chiqarish va yutilish spektri chiziqlari chekli kenglikka ega bo'lsa, u holda ular orqali aniqlanuvchi energetik sathlar holati ham aniq qiymatga ega emas. Boshqacha aytganda, uyg'ongan holatlar energiyasi muayyan aniq bir qiymatga ega emas. Bu eksperimental fakt energiyani saqlanish qonunu va fotonlarning mavjud ekanligini ham tasdiqlaydi. Asosiy holatdan tepada yotgan barcha energetik sathlar chekli kenglikka ega.

Faraz qilaylik, atomni asosiy holatdan uyg'onish holatiga o't-gandagi yutilish spektri chizig'ini kuzatish orqali uyg'ongan holat energiyasini aniqlamoqchimiz. Agar atomning sadosi  $\omega_0$  chastotada maksimal bo'lsa, u holda uyg'ongan holatning o'rtacha energiyasi

$$E = E_0 + \hbar\omega_0$$

deyish mumkin, bunda  $E_0$  - asosiy holat energiyasi.

Spektrial chiziqning kengligi  $\Delta\omega$  bo'lsa (uni eksperimentda o'l-chash mumkin), u holda uyg'ongan sath kengligi

$$E = \hbar\Delta\omega$$

energiyaga teng bo'ladi. Agar uyg'ongan energiya chekli kenglikka ega degan tushunchani anglasak, u holda «o'rtacha energiya» atamasini ishlatalishga hojat qolmaydi. Rezonans egrilikni (10.4b-rasm) kengligi, odatda, maksimal qiymatni yarmida olinadi, ya'ni

$$\Delta\omega = \frac{1}{\tau}. \quad (10.51)$$

Bundan uyg'ongan energiya holati kengligi  $\Delta E = \hbar\Delta\omega$  bo'lgani uchun

$$\Delta E = \frac{\hbar}{\tau}$$

formulani yozish mumkin bo'ladi. Shunday qilib, energetik sathdagi  $\Delta E$  noaniqlik holatni o'rtacha yashash vaqt bilan bog'lanadi. Holat qancha uzoq yashasa, uning energiyasi shuncha aniq aniqlanadi, ya'ni  $\Delta E$  kichik bo'ladi.

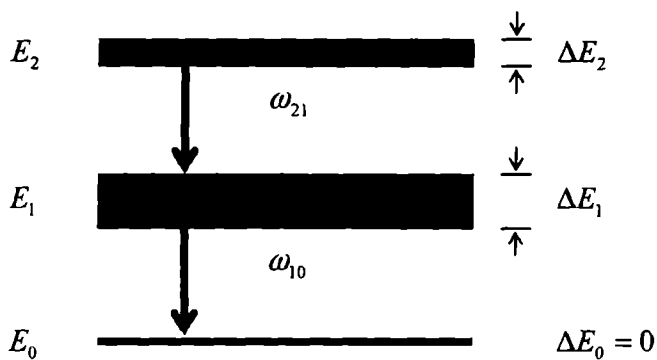
Ikkita uyg'ongan holatlar orasidagi o'tishlar uchun chiqarish chizig'inining kengligini ko'raylik. Bu holat 10.5-rasmdagi chizmada tasvirlangan. Sath kengligi, odatda, chizmada gorizontal chiziqlar kengligi balan xarakterlanadi.

Ikkita o'tishdan iborat kaskadda (shalolada) ikkinchi holatdan bir-inchi holatga o'tish, so'ng ikkinchi holatdan asosiy holatga o'tish 10.5-rasmda tasvirlangan.  $\omega_{10}$  - chastotali chiziq kengligi ikkinchi o'tishda

$$\Delta\omega_{10} = \frac{\Delta E_1}{\hbar}$$

Atomning ushbu kaskad o'tishida chiqarilgan nurlanishlar uchun ikki chastota yig'indisining noaniqligi qiziqtiradi. Bu yig'in-di  $\omega_{20} = \omega_{21} + \omega_{10}$  deb belgilaylik. U holda  $\Delta\omega_{20} = \frac{\Delta E_2}{\hbar}$ . Bu natija energiya saqlanish qonunidan kelib chiqadi.

O'tishda to'la energiya ajralishidagi noaniqlik, ikkinchi uyg'on-gan holat noaniqligiga teng bo'lishi kerak.



10.5-rasm. Uyg'ongan holatlar uchun o'tishlar.

Bundan chiqadiki  $\omega_{21}$  - chastotada chiziq kengligi birinchi o'tishda

$$\Delta\omega_{21} = \frac{\Delta E_2 + \Delta E_1}{\hbar} \quad (10.52)$$

bilan aniqlanadi.

Agar birinchi uyg'ongan holat katta kenglikka ega bo'lsa, u holda chiqarish chizig'ining kengligi ham katta bo'ladi, hatto ikkinchi uyg'ongan holat kengligi kichik bo'lsa ham.

Birinchi uyg'ongan sath kengligi ikkita chiqarilgan fotonni mumkin bo'lgan barcha energiyasini aniqlashga noaniqlik kiritadi. Shunday qilib, chiqarish chizig'ining kengligi ikkala sath kengligiga ham bog'liq bo'ladi.

$\Delta\omega = \frac{1}{\tau}$  munosabatga qayta murojaat qilaylik. Chastota to'lqin

uzunlikka teskari proporsional bo'lgani uchun nisbiy to'lqin uzunlik noaniqligi, chastotani aniqlashdagi nisbiy noaniqlikka teng.

$$\frac{\Delta\lambda}{\lambda} = \frac{\Delta\omega}{\omega} = \frac{1}{\omega\tau} \quad (10.53)$$

Atomdagи optik o'tishlar uchun  $\omega\tau$  - juda katta.  $v = \frac{\omega}{2\pi}$  chastota

$5 \cdot 10^{14}$  gts tartibda,  $\tau$  ni tartibi  $10^{-7} - 10^{-8}$  s. Shunday qilib, to'lqin uzunligi (chastotani) nisbiy noaniqligi

$$\frac{\Delta\lambda}{\lambda} \sim 10^{-7}.$$

Bu juda kichik sondir. Demak, spektrial chiziqlarning spektrial chizig'i *chiziqning tabiiy kengligi* deyiladi; u atomning ichki xususiyatidir. Uyg'ongan holatning o'rtacha yashash vaqtiga  $\tau$ , bu shunday vaqtka u uyg'ongan holatni foton chiqarishi uchun ketgan zaruriy vaqt. U sistemaning nurlanish vaqtidagi tebranish sonini xarakterlaydi. Uni o'lchamsiz birlikda quyidagicha yozish mumkin:

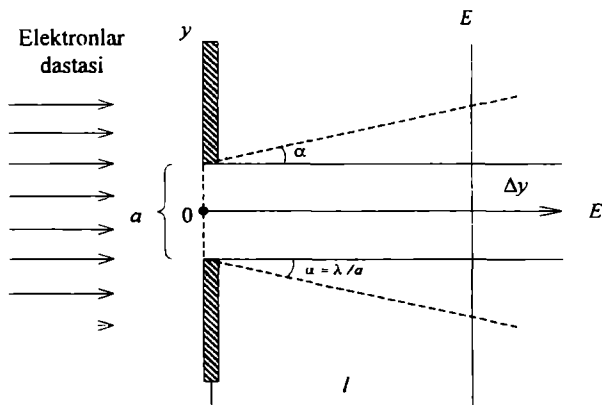
$$\omega\tau = \frac{1}{\alpha} \left( \frac{I_0 \omega}{c} \right)^2 \quad (10.54)$$

Bunda  $\frac{1}{\alpha} = 137$ .

### 10.7. Noaniqlik munosabatini tasdiqlovchi aqliy tajribalar

Moddalarning ikki yoqlama tabiatini tufayli noaniqlik munosabati paydo bo'ladi u dualizmning mantiqiy natijasidir. Noaniqlik munosabatini yaxshi anglash uchun bir qancha aqliy tajribalarni qilish o'rnilidir.

**1. Bir tirkishli teshik.** Noaniqlik munosabatini ko'rgazmali ko'rsatish uchun bir tirkishli ekrandan o'tadigan elektronlarning traektoriyasini qanday aniqlik bilan o'lchashni ko'raylik (10.6-rasm).



10.6-rasm.

$OX$  o'qi bo'ylab moduli bir xil bo'lgan elektronlar  $\vec{p}_x$  impuls bilan tirkishli ekranga parallel tushayotgan bo'lsin. Bu holda

$$p_x = p \quad (10.55)$$

$$p_y = p_z = 0$$

Difraksiya natijasida yassi to'lqin o'rniga

$$\alpha \approx \sin \alpha = \lambda/a \quad (10.56)$$

burchakda tarqaluvchi sochuvchi to'lqinlar hosil bo'ladi. Bunda  $\alpha$  tirqish kengligi  $\lambda << a$ .

Tirqishda elektron impulsining  $p_y = p_z$  tashkil etuvchilari nolga teng. Tirqishdan so'ng  $p_y \neq 0$  bo'ladi. Uning qiymati to'la aniq bo'limgani uchun

$$-ps\sin\alpha \leq \Delta p_y \leq ps\sin\alpha$$

oraliqda yotadi.

$$\sin \alpha \approx \alpha \text{ bo'lgani uchun}$$

$$\alpha \approx \frac{\lambda}{a} \text{ va } p \cdot \lambda \approx h.$$

Demak,

$$\Delta p_y \approx \frac{h}{a}. \quad (10.57)$$

$\Delta p_y$  - kattalik impulsni  $u$  - tashkil etuvchini topishdagi noaniqlik deyiladi. Tirqishgacha  $u$  o'qi bo'yicha elektronning holati mutlaqo noma'lum edi;  $u$  bir xil ehtimol bilan yassi to'lqinning istalgan nuqtasida aniqlanishi mumkin. Elektron tirqishdan o'tgandan so'ng uning holati  $u$  - o'qi bo'yicha ancha aniq bo'lib qoladi; tirqish orqasida elektron  $a$  tartibdagi kenglik sohasida tirqishlardagi nisbati simmetrik ravishda mujassamlashadi. Ya'ni lokallashadi. Elektronning  $u$  - koordinatasi tirqishining o'zida  $\Delta u=a$ . Tirqishdan yiroqlashgan sari  $u$  ortadi, chunki difraksiya oqibatida dasta kengayadi:  $\Delta u>a$ . Shuning uchun

$$\Delta y \cdot \Delta p_y \geq h. \quad (10.58)$$

Masalan, 10.6-rasmda  $L=1m$ , elektron energiyasi 150 eV bo'lsa, elektronlarning to'lqin uzunligi  $\lambda=1\text{\AA}$ .

$$\Delta y \sim a + L \quad \alpha \sim \frac{L}{pa} \quad \text{bo'lsa} \quad \Delta y \approx a + \frac{\lambda L}{a}.$$

Agar  $a$  juda kichik bo'lsa,  $\frac{\lambda L}{a}$  had difraksiya tufayli hosil bo'ladi

va  $u$  juda katta, agar  $a$  juda katta bo'lsa, birinchi had ham katta bo'ladi.  $\Delta u$  - kattalik minimum bo'lishi uchun optimal  $a_0$  ni topamiz,

$$a_0 = \sqrt{\lambda l}, \Delta y_{\min} = 2a_0 = 2\sqrt{\lambda l}.$$

Bu tenglikka muvofiq ekrandagi dog' o'lchami  $0.02 \text{ mm}$  ga teng. Mikroskopik nuqtai nazardan qaraganda ikkita ekran orasidagi elektron traektoriyasi yetarli darajada ingichka.

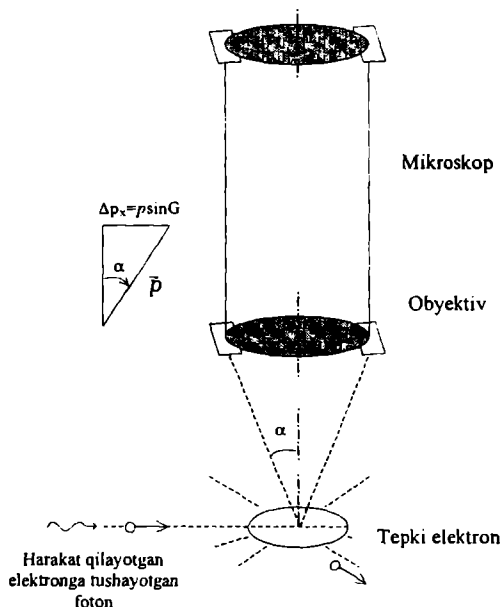
**2. Geyzenberg mikroskopi.** Zarra koordinatasini saqlash uchun «Geyzenberg mikroskopi» deb atalmish aqliy eksperimentdan foy-dalanamiz.

Hayoliy mukammal mikroskop yordamida bir vaqtning o'zida elektronning koordinatasi va impulsini aniqlashga urinib ko'ramiz.

Geometrik optikadan bilamizki mikroskopning ajratish qobiliyati

$$\Delta x = \frac{\lambda}{2 \sin \alpha} \quad (10.59)$$

aniqlik bilan topiladi.  $\alpha$  - burchak  $10.7$ -rasmida ko'rsatilgan.



10.7-rasm.

Agar ikki nuqta orasidagi masofa  $\Delta x$  dan kichik bo'lsa, kuza-tayotgan odam uni bitta ko'radi. Demak,  $\Delta x$  - kattalik harakat qilayotgan elektronning koordinatasini aniqlashdagi eng kichik xatodir. (10.59) dan ko'rinadiki, tushayotgan yorug'likni to'lqin uzunligi  $\lambda$  ki-

chik bo'lsa,  $\Delta x$  ham kichik va demak, katta aniqlikda elektronning holatini aniqlash mumkin. Tushayotgan foton elektron bilan Kompton effekt mexanizmi orqali ta'sirlashadi. Elektronni ko'rish uchun sochilgan foton  $2\alpha$  burchak ostida tushishi kerak.

Demak,  $x$  o'qi yo'nalishida foton impulsining proeksiyasi

$$\Delta p_x \approx p \sin \alpha \quad (10.60)$$

Noaniqlik bilan aniqlanishi kerak. Bunda  $p = \frac{h}{\lambda}$  tushayotgan foton impulsi.

Impulsning saqlanish qonuniga binoan, (10.60) tenglama tepki elektronning impulsini topishdagi eng kichik noaniqlik bo'ladi. (10.59) va (10.60) munosabatlarni chap va o'ng qismlarini mos ravishda ko'paytirsak va  $p = \frac{h}{\lambda}$  ekanligini hisobga olgan holda tepki elektron uchun

$$\Delta p_x \Delta x \geq (p \sin \alpha) \left( \frac{\lambda}{2 \sin \alpha} \right)$$

yoki

$$\Delta p_x \Delta x \geq \frac{h}{2}$$

formulani olamiz. Uni boshqacharoq ko'rinishda yozsak

$$\Delta p_x \Delta x \geq \hbar \quad (10.61)$$

$$\text{bunda } \hbar = \frac{h}{2\pi}.$$

Misol. Massasi  $2 \cdot 10^{-27} \text{ kg}$  bo'lgan vodorod molekulasi koordinatasini topishdagi noaniqlik  $10^{-10} \text{ m}$  tartibda bo'lsin. Impulsnı topishdagi noaniqliknı toping.

Bu masalani yechish uchun

$$\Delta p_x \geq \frac{\hbar}{\Delta x}$$

dan foydalananamiz.

$$\Delta p_x \geq \frac{1,05 \cdot 10^{-34} \text{ J} \cdot \text{s}}{10^{-10} \text{ m}} \approx 1,05 \cdot 10^{-24} \text{ kg} \cdot \text{m/s}$$

Agar molekula  $2000 \text{ m/s}$  tezlik bilan harakat qilayotgan bo'lsa (xona temperaturasida issiqlik harakat tezligi), uning impulsini

$$p = mv = 2 \cdot 10^{-27} \text{ kg} \cdot 2 \cdot 10^3 \text{ m/s} = 4 \cdot 10^{-24} \text{ kg m/s}.$$

**Unda nisbiy noaniqlik (xatolik)**

$$\frac{\Delta p_x}{p_x} = \frac{1,05 \cdot 10^{-24}}{4 \cdot 10^{-24}} = 0,25.$$

Demak, molekulaning impulsini boshlang'ich impulsni qiyamatiga nisbatan 25% dan katta aniqlikda topish mumkin emas.

Lekin massasi  $0,05 \text{ kg}$  bo'lgan o'q  $1000 \text{ m/s}$  tezlik bilan o'tayotgan bo'lsa va uning holati  $1 \text{ mm}$  aniqlikda aniqlangan bo'lsa, u holda impuls noaniqligi

$$\Delta p_x \geq \frac{1,05 \cdot 10^{-34} j \cdot s}{10^{-3} m} \approx 1,05 \cdot 10^{-31} \text{ kg} \cdot \text{m/s},$$

u holda

$$p_x = 0,05 \text{ kg} \cdot 1000 \text{ m/s} = 50 \text{ kg} \cdot \text{m/s}.$$

Nisbiy xato

$$\frac{\Delta p_x}{p_x} = \frac{1,05 \cdot 10^{-31}}{50} = 0,02 \cdot 10^{-31} = 2 \cdot 10^{-33}.$$

Bu son shunchalik kichikki hech qanday asbob yordamida bu katalikni qayd qilib bo'lmaydi.

**3. Vodorod atomining bog'lanish energiyasini chamalash.** Noaniqlik munosabati yordamida vodorod atomining bog'lanish energiyasini hisoblaylik. SGS sistemasida noaniqlik munosabati

$$\Delta x \cdot \Delta p \geq \hbar. \quad (10.62)$$

Klassik ifodaga ko'ra protonning elektromagnit maydonida elektronning to'la energiyasi

$$E = \frac{p^2}{2m} - \frac{e^2}{r}. \quad (10.63)$$

Bu ifoda kvant mexanikada ham ma'noga ega.  $r$  — o'zgaruvchi elektron to'lqinning impulsini,  $r$  — o'zgaruvchi esa to'lqinning biror «holati koordinatasi»ni ifodalaydi. (10.63) da birinchi had doimo mustbat, ikkinchi had manfiy. Sistema asosiy holatda maksimal energiyaga ega va manfiy bo'lishi kerak. Aks holda sistema bog'lanmagan bo'ladi. Klassik nazariyaga ko'ra orbita radiusini kichkina qilib, bog'lanish energiyasini ham xohlaganimizcha kichkina qilishimiz mumkin. Bunday holat uchun koordinata noaniqligi ham kichik va kvant mexanika nazariyasi prinsipiiga ko'ra bu holda impuls noaniqligi juda katta bo'lishi kerak.  $r$  va  $r$  ni tanlash yo'li bilan to'la energiya qiyamatining eng kichik qiyamatini topish mumkin.

$$r \cdot p \sim \hbar,$$

$$r \cdot p = \hbar.$$

$E = \frac{p^2}{2m} - \frac{e^2 p}{\hbar}$  - to'la energiya minimum bo'lishi uchun

$$\left(\frac{\partial E}{\partial p}\right)_{p=p_0} = \frac{p_0}{m} - \frac{e^2}{\hbar} = 0$$

$$I_0 = \frac{\hbar}{p_0} \text{ deb}, \quad p_0 = \frac{e^2 m}{\hbar}, \quad r_0 = \frac{\hbar^2}{e^2 m}$$

Demak,

$$E = \frac{p_0^2}{2m} - \frac{e^2 p_0}{\hbar} = -\frac{e^2 m}{2\hbar^2} = -R_\infty.$$

Ko'rib turibsizki, ionlashtirish energiyasi hosil qildik.

### 10.8. Geyzenbergning noaniqlik prinsipi va Borning to'ldirish prinsipi

1927-yilda Bor va Geyzenberg o'zaro kuchli bahslardan so'ng ajralishdi va biroz vaqt o'tgandan so'ng yana uchrashishdi. Uchrashevga ularning har biri o'zining yangi g'oyalari bilan kelgan edilar. Geyzenberg bu paytda noaniqlik munosabatini keltirib chiqargan edi. Bor esa to'ldirish prinsipi g'oyasini o'ylab topgan edi. To'ldirish prinsipi miqdoriy jihatdan noaniqlik munosabatini xarakterlaydi. Geyzenberg noaniqlik munosabatini keltirib chiqarishda aqliy eksperimentdan, ya'ni yuqorida biz ko'rgan «Geyzenbergning aqliy microskopiyadan foydalangan edi. Geyzenberg munosabatiga o'xshagan munosabatni energiya va vaqt uchun Bor ham ko'rsatdi. Bu masalani echishda Bor ham aqliy tajribadan foydalanib, ya'ni tirkishdan o'tayotgan elektronlarni misol qila oldi. Umumiy to'ldirish prinsipining xususiy holi bu noaniqlik prinsipidir. To'ldirish printsipi bir-biriga zid bo'lган to'lqin va korpuskulyar xususiyatni kelishtirishga harakat qiladi. Kvant mexanika bu tushunchalarni sintez qilishga harakat qiladi va qilinayotgan tajribani natijasini oldindan aytib berishga harakat qiladi.

To'ldirish prinsipini tirik organizmlarda va psixologiyada ham qo'llash mumkin. Masalan, «fikr» va «hissiyot» uchun ham to'ldirish munosabati mavjud.

Hodisaning fizik manzarasi va uni matematik tavsiflash ham to'l-dirishdir. Hodisaning fizik manzarasini yaratishda detallarini e'tiborga olmaslik matematikadan uzoqlashishga olib keladi va aksincha, hodisani matematik aniq tavsiflash esa hodisani ravshan tushunishini qiyinlashtiradi.

«Haqiqat» tushunchasini nima to'ldiradi degan savolga Bor: «ravshanlik», - degan edi.

**SAVOLLAR**

1. To'lqin-paket g'oyasi nima uchun paydo bo'ldi?
2. To'lqin-paket g'oyasini ta'riflang.
3. To'lqin-paket hosil qilish uchun qanday chastotaga ega bo'lgan to'lqinlarni qo'shish kerak.
4. O'rtacha burchak chastota va modulyatsiya burchak chastota degan tushunchalarni izohlang.
5. Modulyatsiya amplitudasi ifodasini yozing va tushuntiring.
6. Ikkita chastota bir-biriga yaqin bo'lgan to'lqin funksiyalar qo'shilishida hosil bo'lgan ifodani yozing.
7. Fazaviy tezlik nima, uning fizik ma'nosi bormi?
8. Gruppaviy tezlik formulasini yozing va tushuntiring.
9. Nima uchun gruppaviy tezlikni zarra tezligi deb ham atashadi?
10. To'lqin-paket og'uvchisi deganda nimani tushunasiz?
11. To'lqin-paket g'oyasi kamchiliklarini ko'rsating.
12. To'lqin-paket yoyilishi formulasini yozing va izohlang.
13. Nima uchun to'lqin-paket tushunchasi barbod bo'ldi?
14. Noaniqlik munosabatini ta'riflang.
15. Noaniqlik munosabatini kim bergan?
16.  $\Delta p_x \Delta x \geq h$  munosabatni tushuntiring.
17.  $\Delta E \Delta t \geq h$  munosabatni tushuntiring.
18.  $\Delta v \Delta t \geq 1$  munosabatni tushuntiring.
19. Noaniqlik munosabati sababiyat qonuniga zid keladimi?
20. Virtual foton degan tushunchani izohlang.
21. Nurlanish spektrinng chiziqlari tabiiy kenglikka ega degan tushunchani tushuntiring.
22. Atomning yashash vaqtini deganda nimani tushunasiz?
23. Energetik sathlar kengligi deganda nimani tushunasiz?
24. Atomning chiqarish spektri chizig'ining kengligi uning yutish spektri chizig'i kengligiga tengmi?
25. Noaniqlik munosabatini tasdiqlovchi aqliy tajribalardan birini keltiring.
26. Geyzenberg «mikroskopi» aqliy tajribasi yordamida noaniqlik munosabatini tushuntiring.
27. Vodorod atomining bog'lanish energiyasini noaniqlik munosabati yordamidan kelib chiqib tushuntiring.

**MASALALAR**

1.  $\omega_1, \omega_2$  chastotaga ega bo'lgan ikkita kamerton tebranishidan hosil bo'lgan tovush to'lqinlari qulog'ingiz nag'orasiga kelib urildi. Bu to'lqinlar yig'indisi uchun ifoda yozing. Miya to'lqinlarni qanday qabul qiladi?

2. «O'rtacha» burchak chastota  $\langle\omega_o\rangle$  va «modulyatsiya» burchak chastotasi  $\langle\omega_{mod}\rangle$  uchun ifodalarni yozing.

3. Chastotalari  $\omega_1$  va  $\omega_2$  bo'lgan to'lqinlar superpozitsiyasini to'lqin-paket ko'rinishida yozing va undagi kattaliklarni tushuntiring.

4. 10.3-masaladan olingan to'lqin-paketni nima uchun deyarli monoxromatik davriy tebranish deyiladi?

5. Tovush chastotalari  $v_1$  va  $v_2$  bir-biridan qanchaga farq qilganda, ular hosil qilgan to'lqinlar superpozitsiyasi «deyarli garmonik» to'lqin hosil qiladi?

6. Chastotalari  $\omega_1 \approx \omega_2$  va to'lqin sonlari  $k_1 = k_2$  bo'lgan ikkita to'lqin superpozitsiyasini yozing. Natijaviy to'lqin uchun modulyatsiya amplitudasini yozing.

7. Chastotalari bir-biriga juda yaqin bo'lgan de-Broyl to'lqinlaridan to'lqin-paket tuzing.

8. 10.7-masalada hosil qilingan to'lqin-paket uchun integralni eching.

9. 10.8-masalani natijasidan foydalanib to'lqin-paketning gruppaviy tezligi va koordinatasini toping.

10. Erkin harakatda bo'lgan mikrozarra uchun unga mos kelgan to'lqin-paketning gruppaviy tezligi, mikrozarraning o'zining tezligiga teng bo'lishini ko'rsating.

11. Gruppaviy tezlikni fazaviy tezlik bilan bog'lanish formulasini ko'rsating.

12. Fotonlarning gruppaviy tezligini toping.

13. De-Broyl to'lqinin fazaviy tezligini toping.

14.  $v$  relyativistik tezlik bilan harakat qilayotgan erkin zarraning

$$\text{fazaviy tezligi } v_f = \frac{c^2}{v} \text{ ekanligini ko'rsating.}$$

15. Zarraning gruppaviy tezligi uchun  $v_{gr} = \frac{1}{\hbar} \frac{dE}{dk}$  munosabat o'rinni ekanligini ko'rsating. Bu yerda,  $K$  to'lqin son.

16. Agar  $v_{gr} = \frac{dE}{dp}$  bo'lsa,  $v_{gr} = v_f + k \frac{dE}{dk}$  ekanligini ko'rsating.

17.  $v_{gr} = -\lambda^2 \frac{dv}{d\lambda}$  munosabatdan  $v_{gr} = -v_f \frac{d \ln \lambda}{d \ln p}$  munosabatni toping.

18. Quyidagi hollar uchun to'lqin-paketning yoyilish vaqtini hisoblang:

a) massasi  $m = 10^{-6} \text{ kg}$  va o'lchamai  $\Delta X = 10^{-3} \text{ m}$  bo'lgan macroskopik zarra uchun;

b)  $m = 0,9 \cdot 10^{-6} \text{ kg}$  va  $\Delta X = 2,8 \cdot 10^{-15} \text{ m}$  bo'lgan mikroskopik zarra-  
elektron uchun. Olingan natijalardan qanday mulohaza yuritasiz?

19. Agar dielektrik uchun  $h = 1 + \frac{k^2}{(\omega - \omega_0)^2 + p}$  va  $\omega_0 = 10^{16} \text{ Gs}$ ,

$b = 10^{12}$  va  $K = 10^{16}$  bo'lsa:

a)  $\omega = 10^{15} \text{ Gs}$  uchun fazaviy va gruppaviy tezlikni hisoblang;

b)  $\Delta X = 10^{-2} \text{ sm}$  bo'lsa paketni yoyilish kengligini toping;

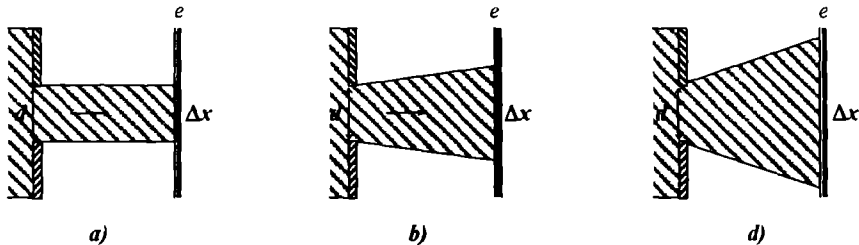
v) shu hisobni  $\omega = 10^{16}$  va  $10^{14} \text{ Gs}$  uchun bajaring.

20.  $v_{gr} = h \frac{dv}{dp}$  va  $v_{gr} = \frac{\Delta X}{\Delta t}$  bo'lsa Geyzenbergning koordinata

va impuls chuun noaniqlik munosabatini keltirib chiqaring va talqin eting.

21. 10.3-rasmda to'lqin tsugalar (cheklangan garmonik to'lqin) tasvirlangan. Sizningcha bu garmonikada zarralarning koordinatasi va impulsi qanday aniqlikda berilgan? Fikringizni izohlang.

22. 10.8-rasmda dasta kengligini to'siq tirqishining kengligiga bog'liqliklari tasvirlangan. Ekranda qaysi holda dog' holati eng kichik bo'ladi?



10.8-rasm.

23.  $\lambda = 11 \text{ mkm}$  de-Broyl to'lqin uzunligiga ega bo'lgan elektron oqimi kengligi  $d = 0,1 \text{ mm}$  tirqishli to'siqga perpendikulyar (normal) tushayapti. Noaniqlik munosabatidan foydalanib, tirqshdan o'tgan elektronlar dastasi uchun burchak kengligini graduslarda toping.

24. O'lchami  $l = 1,0 \text{ mkm}$  bo'lgan sohada elektron lokallashgan (mujassamlashgan). Elektronning o'rtacha kinetik energiyasi  $K = 4,0 \text{ eV}$ .

Noaniqlik munosabatidan foydalanib: a)  $\frac{\Delta v}{v}$ ; b)  $\Delta K$  larni toping.

25. Kengligi  $d$  tirqishga ega bo'lgan to'siqqa normal ravishda  $K$  energiyali elektronlar tushyapti. Ekranda Fraunhofer difraksiyasi ro'y berishi uchun  $K$  ni qanoatlantiruvchi shartni ta'riflang. Agar  $d = 10 \text{ mkm}$ ,  $I = 1,0 \text{ m}$  bo'lsa, energiyaning son qiymatini chamlang.

26. Tirqish kengligi  $d = 1,0 \text{ mkm}$  bo'lgan tor tirqishdan o'tgan monoenergetik elektronlarning kinetik energiyasi  $K = 1,0 \text{ eV}$  bo'lsa. burchak sochilishi  $\Delta\theta$  ni hisoblang.

27. Vaqtni biror momentida erkin elektron  $\Delta x = 0,10 \text{ nm}$  sohada lokallashgan.  $t = 1,0 \text{ s}$  vaqt o'tgandan so'ng ushbu elektronning lokallashgan sohasini kengligini toping.

28.  $I = 0,1 \text{ nm}$  sohada lokallashgan elektron uchun uning minimal energiyasini hisoblang.

29.  $I = 1,0 \text{ mkm}$  sohada lokallashgan elektronning kinetik energiyasi  $K = 10 \text{ eV}$  bo'lsa, elektronning nisbiy tezlik noaniqligini toping.

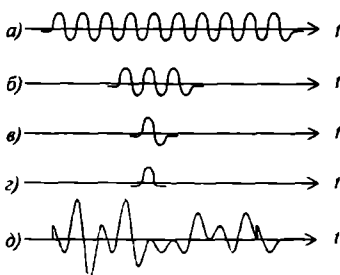
30.  $I$  o'lchamli sohada massasi  $m$  bo'lgan elektron lokallashgan. Agar nisbiy noaniqlik 0,01 bo'lsa, elektronning kinetik energiyasini toping.

31. Vilson kamerasida hosil bo'lgan zarralarning to'g'ri chiziqli traektoriyasining o'lchami  $d = 1 \text{ mkm}$  bo'lgan tumanning juda kichik tomchilar zanjiridan tuzilgan. Agar elektronning kinetik energiyasi  $K = 1 \text{ keV}$  bo'lsa, elektronning qoldirgan izidan harakatning klassik qonunlaridan og'ishini kuzatish mumkinmi?

32. Kineskopda tezlantruvchi potensial  $U = 10 \text{ kV}$ . ekran bilan elektron to'pi orasidagi masofa  $0,2 \text{ m}$ . Agarda elektronlar dastasining ekranda qoldirgan izining diametri  $d = 0,5 \text{ mm}$  bo'lsa, u holda elektron koordinatasi noaniqligini hisoblang.

33. Energiya va vaqt uchun noaniqlik munosabatini  $\Delta v \Delta t \geq 1$  munosabatdan toping.

34. Quyidagi 10.9 rasmdagi chizmalarda to'lqin kuchalari tasvirlangan. Noaniqlik munosabatidan foydalanib, vaqt va energiya uchun rasmdagi har bir chizmani izohlang.



10.9-rasm.

35. To'lqin kuchaning uzunligi  $\Delta x$  va  $n$  ta to'lqindan tashkil topgan.  $n$  ni  $\frac{\Delta p}{p}$  bilan bog'lang.

36.  $\tau = 10^{-8} \text{ s}$  vaqt ichida atom  $\lambda = 0,58 \text{ mkm}$  to'lqin uzunlikka ega bo'lgan foton chiqardi.  $\Delta x$  noaniqlik va nisbiy noaniqlikni toping.

37.  $v = 1,2 \text{ km/s}$  tezlikda harakat qilayotgan vodorod atomlarining parallel dastasi tor

tirqishli to'siqqa normal tushmoqda. Tirqishli to'siqdan  $l=1 \text{ m}$  masofada ekran qo'yildi. Ekranda hosil bo'lgan tasvir ('dog') ning eng kichik kengligini toping.

38. Erkin harakat etayotgan norelyativistik zarra kinetik energiyasining noaniqligi  $1,6 \cdot 10^{-4}$ . Koordinata noaniqligini de-Broyl to'lqin uzunligiga nisbatan necha marta kattaligini toping.

39. Noaniqlik munosabatidan foydalanib, vodorod atomi asosiy holatda yotganda elektronning bog'lanish energiyasini toping. Elektron yadrodan qancha masofada yotadi?

40. Geliy atomida mumkin bo'lgan eng kichik energiyani chamlang. Elektron yadrodan qancha masofada yotadi?

41. "Geyzenberg mikroskopi"dan foydalanib, noaniqlik munosabatini tuzing.

42.  $X$  o'qi yo'nalishida harakat qilayotgan protonning tezligi  $10^6 \text{ m/s}$  aniqlik bilan o'lchanadi. Uning koordinatasi qanday aniqlik bilan o'lchanadi: a)  $x$  o'qi bo'yicha; u)  $u$  o'qi bo'yicha. Bu masalani pozitron uchun ham yeching.

43.  $\Delta L \Delta \phi \geq \hbar$  munosabatni keltirib chiqaring. Bunda  $\Delta L$  - harakat miqdori momenti noaniqligi,  $\Delta \phi$  - burchak noaniqligi.

44. Odatda,  $h$  doimiysi eng kichik elementar ta'sir deyiladi. Shu doimiylikni  $r$  va  $x$  o'qqa nisbatan ifodalang.

## **XI BOB**

### **Mavzu: TO'LQIN FUNKSIYANING STATISTIK TALQINI VA EHTIMOLIYAT**

**Reja:**

- 11.1. De-Broyl to'lqinining statistik izohi.**
- 11.2. Individual elektronning to'lqin xususiyati va ehtimolyat.**
- 11.3. Mikrozarra o'rning ehtimoli (mikrozarra o'rni qaydilinish ehtimoli).**
- 11.4. Ehtimolyat to'lqinlari uchun superpozitsiya prinsipi (holatlar uchun superpozitsiya prinsipi).**
- 11.5. Mikrozarra impulsining ehtimoli.**
- 11.6. Kvant nazariyaning xususiyatlari.**

## **ADABIYOTLAR**

- Д.Бом. Квантовая теория. М., 1962.
- А.Н.Матвеев. Атомная физика. М.: «Высшая школа» 1989.
- Р.Бекжонов, С.Ахмадхўжаев. Атом физикаси. Т., 1979.
- Э.Вихман. А.Б. Мигдал. Квантовая физика. М., 1986.
- M.Born. Quantemechanik der Stossvorgänge. Zs. f. Phys. 1926, v. 308, p. 803 (original ish.).

**Masalaning qo'yilishi.** Bu bobda to'lqin funksiyani fizik maydon emasligi, balki ehtimol maydoni ekanligi ukdiriladi. To'lqin funksiyaning statistik izohini berilishi kvant mexanikani yaratilishida eng asosiy o'rinni tutadi. De-Broyl to'lqinini ehtimol to'lqini ekanligi va kvant fizikada faqat mexanik kattaliklarning o'rtacha qiymati muhim rol o'ynashi haqida mufassal to'xtalamiz.

**Mavzu qahramoni.** Maks Born (1882 – 1970). 1907-yilda Gettingen universitetini tamomlagan. Gettingen fizik maktabining asoschisi, bu maktabdan V.Pauli, P.Iordan, M.Delbryuk, Yu.Vigner va V.Geyzenberglar yetishib chiqqan. 1926-yilda Born kvant mexanikani yaratishda operator-matrtsalarini yaratdi. Born va Iordan Geyzenbergning matritsali mexanikasini poyoniga yetkazishgan. 1927-yilda Born to'lqin funksiyaning fizik maydon emas, balki ehtimol maydoni ekanligini statistik izoh asosida tushuntirib berdi. 1954-yilda Nobel mukofotiga sazovor bo'ldi.

## XI bob. TO'LQIN FUNKSIYANING STATISTIK TALQINI VA EHTIMOLYAT

### 11.1. De-Broyl to'lqinning statistik izohi

Zarralarning korpuskular-to'lqin dualizmini bartaraf etish uchun E.Shryodinger tomonidan taklif qilingan to'lqin-paket g'oyasi muvafqaqiyat qozonmadi. De-Broyl to'lqinlarini bu g'oya nuqtayi nazaridan izohlashdan voz kechishga to'g'ri keldi. Asosiy e'tiroz bunda shundaki to'lqin-paket formulasi

$$\psi(x, t) = A \frac{\sin\left[\left(\frac{dE}{dp} t - x\right) \frac{\Delta p}{2\hbar}\right]}{\left(\frac{dE}{dp} t - x\right) \frac{\Delta p}{2\hbar}} \exp\left[-\frac{i}{\hbar} (Et - px)\right] \quad (11.1)$$

ni keltirib chiqarishda ushbu to'lqinlarning asosiy alomati e'tiborga olinmagan edi. (11.1) ifoda ikki ko'paytuvchining ko'paytmasidan tashkil topgan. Ko'paytuvchilardan biri bo'lgan  $\exp\left[-\frac{i}{\hbar} (Et - px)\right]$

ifoda to'lqin-paket markaziga to'g'ri keluvchi energiya va impulsiga ega bo'lgan yugurma monoxromatik de-Broyl to'lqin ko'rinishiga ega. Natijaviy to'lqin amplitudasi esa

$$\frac{\sin\left[\left(\frac{dE}{dp} t - x\right) \frac{\Delta p}{2\hbar}\right]}{\left(\frac{dE}{dp} t - x\right) \frac{\Delta p}{2\hbar}} \equiv \frac{\sin\xi}{\xi} \quad (11.2)$$

ko'rinishdagi ko'paytuvchi bilan xarakterlanadi. Bunda

$$\xi = \left(\frac{dE}{dp} t - x\right) \frac{\Delta p}{2\hbar}. \quad (11.3)$$

(11.3) ifodada  $\xi$  kattalik kichik  $\Delta r$  proporsional bo'lgani uchun  $t$  vaqtda  $x$  koordinata bilan u juda sekin o'zgaradi. Shu boisdan ham  $A \frac{\sin\xi}{\xi}$  ifodani natijaviy to'lqinning amplitudasi deb qarasa bo'ladi.

Darvoqe, oldingi bobda keltirilgan to'lqinning fazaviy tezligi

$$u_\phi = \frac{E}{p} = \frac{c\sqrt{p^2 + m^2 c^2}}{p}. \quad (11.4)$$

formulasidan ko'ramizki, to'lqin-paketni tuzuvchi monoxromatik to'lqinlarning fazaviy tezligi impulsga bog'liq. Shunga ko'ra turli to'lqinlar hosil qilgan doimiy faza sirti hatto vakuumda ham turli tezliklar bilan ko'chadi. Bu jarayon optika bo'limidagi to'lqinlar dispersiyasi hodisasining xuddi o'zidir. Oqibatda, paketdagagi tez harakat qilayotgan to'lqinlar oldinga ildamlab ketadi, ortidagi to'lqinlar esa orqada qoladi. Provardida paketni tuzuvchi bu to'lqinlar orasidagi fazaviy munosabat buziladi va paket bir zumdayoq vaqt davomida soyilib ketadi (albatta, solitonlar deb ataladigan yakka to'lqinlar bundan mustasno). Zarralar esa barqaror obyekt bo'lib, vaqt o'tishi bilan ular o'z shaklini o'zgartirmaydilar. Shu sababdan zarrani barqaror bo'lмаган to'lqin-paket bilan «aynanlashtirish» mutlaqo noto'g'ridir.

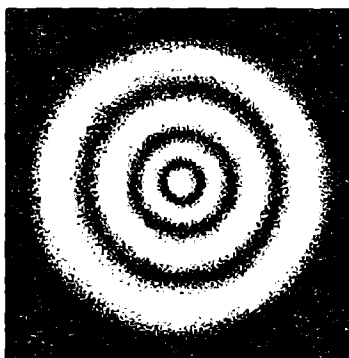
Zarrani to'lqin-paket bilan aynanlashtirishga ikkinchi yana bir e'tirozni keltiramiz. Eksperiment natijalaridan juda yaxshi ma'lumki har bir mikrozarra (foton, elektron) doimo bir butun yaxlit ko'ri-nishda o'zining atomizmini (bo'linmasligini) to'la namoyon qiladi. To'lqin-paket esa bunday xususiyatga ega emas. To'lqin-paket sirtdan qaytish, sinish hodisalarida va ayniqsa kristall ichidan o'tayotganda (Tomson tajribasi) ulushlarga bo'linib ketadi. Haqiqatan ham elektron to'lqin-paket bo'lganda edi, u holda uni qayd qiluvchi asboblar uning ulushlarini qayd qilishlari kerak edi. Lekin birorta ham eksperimentda bunday ahvol kuzatilmagan. Mikrozarralar doimo bo'linmas, yaxlit holda, ya'ni atomizm xususiyatini to'la saqlagan holda qayd qilinadilar.

Shuningdek, to'lqinlarni zarralar to'plamidan hosil qilingan muhit deb e'tirof etish ham noto'g'ridir. Tajribalar ko'rsatadiki, fotoplas-tinkada paydo bo'ladigan to'lqin manzara tushayotgan mikrozarralar dastasining intensivligiga bog'liq emas. Chunonchi, birlik hajmga to'g'ri kelgan zarralar soni juda kam bo'lsa ham to'lqin manzara sodir bo'ladi. Bunday difraksiya manzarasini hosil qilish uchun bu holda intensivlikni emas, balki ekspozitsiya muddatini (qayd qilinish vaqtini) uzaytirish kerak bo'ladi. Ushbu tajribada difraksion panjaradan o'tayotgan zarralarning umumiyligi soni rol o'ynaydi. Bu faktidan ko'rindik, yakka elektron ham difraksiyaga duchor bo'ladi. Yuqoridagi mulohazalardan shuni aytish mumkinki, to'lqin hodisalarini sodir bo'lishi faqat bir vaqtning o'zidan ko'p sondagi zarralarni ishtirot etishi bilan bog'lash noto'g'ridir. Haqiqatan ham kam sondagi elektronlarning difraktsion panjarsi ham tajribada juda yaxshi qayd qilinadi. Buning uchun elektronlarni tirkishdan birin-ketin o'tkazish kifoya. Shunday qilib, mikrozarralarni to'lqin-paket bilan tenglashtirish g'oyasidan batamom voz kechishga to'g'ri keladi.

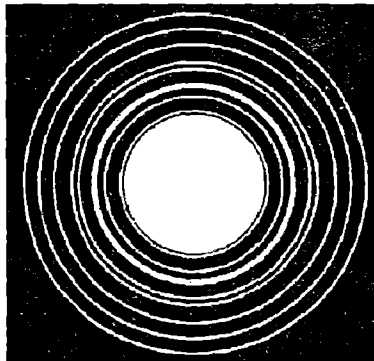
De-Broyl to'lqinining to'g'ri talqinini 1926-yilda Maks Born berdi. Uning g'oyasi to'lqin funksiyaning statistik izohiga asoslangan. M.Born

g'oyasi hozirgi paytda ham nihoyatda o'rinli bo'lib, kvant mexanikaning matematik apparati ana shu izohga asoslangan. Bornning fikriga ko'ra to'lqin funksiya modulining kvadrati, ya'ni  $|\psi|^2 = \psi^* \psi$  kattalik mikrozarraning masalan, elektronni fazoning turli nuqtalarida qayd qilinishi ehtimolining zichligini xarakterlaydi. Bornning statistik izohiga ko'ra fazoning biron bir nuqtasida (joyida) zarrani kuzatish ehtimoli shu nuqtaga (joyga) kelib tushayotgan de-Broyl to'lqinlarining intensivligiga proporsionaldir. De-Broyl to'lqinini shu yo'sinda talqin etishning afzalligi shundaki u zarrani ichki strukturasiga tegmaydi, ya'ni zarraning atomizmi (yaxlitligi) saqlanib qoladi. Agar difraksion asbobdan o'tayotgan zarralar (elektronlar) soni juda ko'p bo'lsa, u holda fotoplastinkaning muayyan bir joyiga tushayotgan zarralar (elektronlar) soni ham shu joyga kelib tushayotgan de-Broyl to'lqinlarining intensivligiga proporsionaldir. Agar so'z faqat bitta zarra (elektron) ustida ketayotgan bo'lsa, u holda bu to'lqinlarning intensivligi fotoplastinkaning u yoki bu nuqtasiga zarraning (elektronning) kelib tushishi ehtimolini beradi. Shu boisdan ham bu to'lqinlarni ehtimol to'lqinlari deb atashadi: ular berilgan vaqt onida zarrani kuzatish (qayd qilinishi) ehtimolini xarakterlaydi.

Maks Bornning bu g'oyasi juda yuksak qadrlandi va 1954-yilda Nobel mukofoti bilan taqdirlandi.



a) yorug'lik difraksiyası



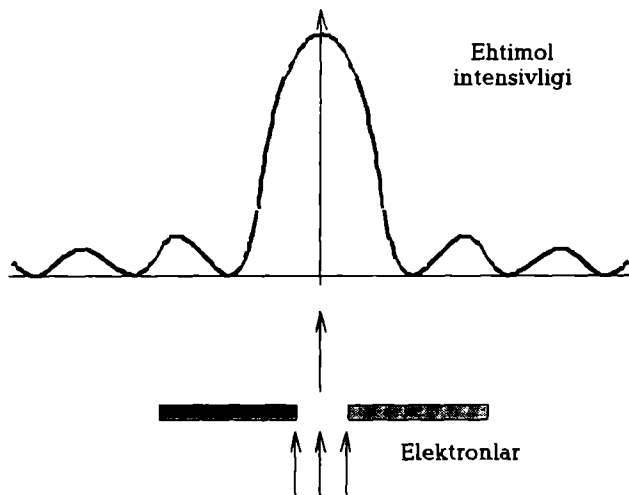
b) elektron difraksiyası

### 11. I-rasm.

De-Broyl to'lqinlari ehtimolini ma'nosini yaxshi anglash uchun tajribaga murojaat qilamiz. Tajribalar juda ko'p. Biz ularidan birini bu yerda keltiramiz. Monoxromatik yorug'lik nuri kichkina doiraviy teshiqi bo'lgan to'siqqa kelib tushsin. To'siq orqasida vujudga kelgan, diafraglangan yorug'lik nurini qayd qilish uchun ekkin qo'yamiz. Ho-

sil bo'lgan difraksiyon manzara 11.1 a-rasmida tasvirlangan. Ekrandagi tasvirdan ko'ramizki markazda doiraviy ko'rinishdagi yorug' dog' hosil bo'ladi. Uning chegarasi biroz bo'yagan, undan keyin esa navbatmanavbat keluvchi qora-oq dog'dan iborat halqalar hosil bo'lgan. Rasm-dagi yorug' dog'lar ekranni shu joyiga kelib tushayotgan fotonlarni xarakterlaydi.

Endi xuddi shunday tirkishli to'siqqa yorug'lik oqimi emas, balki monoenergetik elektron tushayotgan bo'lsin. Bu holda qayd qiluvchi asbob sifatida fotoplastinkadan foydalansak, unda ham xuddi yorug'lik hosil qilgan to'lqin manzaraga o'xshagan to'lqin manzara hosil bo'l-ganini ko'ramiz, va bundan albatta ajablanamiz. 11.1 b-rasmdan ko'ramizki, fotoplastinkada elektronlar bir tekisda taqsimlanmagan: markaz-dagi doirachaga elektron ko'p tushgan, shuning uchun u yorug', qora dog' sohasiga esa birorta ham elektron tushmagan, markazdan uzoqda hosil bo'lgan ketma-ket yorug'lik halqalarga esa oz bo'lsada elektron kelib tushgan. Bu tajriba elektronlarni to'lqin xususiyatga ega ekan-ligini yaqqol namoyon qiladi. Bu tajriba asosida elektronni traektoriya-sini kuzatish va hisoblash mumkinmi? Fotoplastinkaning qaysi nuqtasiga elektronni kelib tushushini oldindan aytib berish mumkinmi, degan savol o'z-o'zidan tug'iladi. Bu savolga javob berish uchun, al-batta avval elektron dastasining intensivligini kamaytirish kerak bo'-ladi. Tajriba ko'rsatadiki, difraksiyon asbobdan juda kam sondagi elek-tronlar o'tganda ham difraksiyon manzara hosil bo'ladi.



11.2-rasm.

Bundan yana bir savol tug'iladi. Bitta elektron ham difraksiyon asbobdan o'tganda to'lqin manzara hosil qiladimi? Bu savolga javob berish uchun albatta faqat bitta elektronni difraksiyon panjaradan o'tkazish kerak bo'ladi. Biroq afsuski, bitta elektronning intensivligi nihoyatda kichik bo'lgani uchun hech qanday asbob uni qayd qila olmaydi. Bu savolga javob topish uchun elektronni difraksiyon panjaradan qayta-qayta ko'p marta o'tkazish lozim bo'ladi. Bu savolga javob berish uchun tajribani sal boshqacharoq qilsa ham bo'ladi. Bu tajribada manbadan chiqayotgan elektronlar sonini juda ham kamaytirib elektronlarni qayd qilish ekspozitsiyasini cho'zsak bo'ladi. 11.2-rasmida shu tajribani natijasi ko'rsatilgan. Difraksiyon asbobdan o'tgan har bir elektron fotoplastinkani bitta nuqtasiga kelib tushmaydi, ya'ni plastinkani qaysi nuqtasiga elektronning kelib tushishini biz oldindan aytib berolmaymiz. Bir tajriba ko'p marta takrorlangani uchun statistik qo-nuniyat paydo bo'ladi. Shuning uchun ham bu tajribada zarraning plastinkaning qaysi nuqtasiga kelib tushishi ehtimolinigina faqat aytib berish mumkin bo'ladi. Boshqacha aytganda bir elektronning fotoplastinkani u yoki bu nuqtasiga kelib tushishi ehtimoli mavjud. Bu ehtimolning taqsimlanishini funksiya taqsimoti ko'rinishida berish mumkin va uning grafigi 11.2-rasmida berilgan.

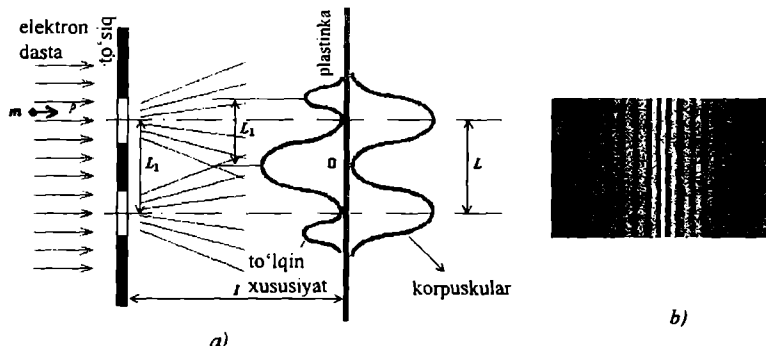
Shunday qilib, Born g'oyasidan kelib chiqib de-Broyl to'lqinlarini ehtimol zichligi sifatida talqin etiladi va bu talqin statistik izohga egadir.

### 11.2. Individual elektronning to'lqin xususiyati

Elektronning to'lqin xususiyatga ega ekanligini yana bir bor tasdiqlash maqsadida quyidagi ideallashtirilgan eksperimentni keltiramiz. Bir xil impulsga ega bo'lgan elektron dastasi ikkita bir kenglikka ega bo'lgan tirkishli to'siqqa kelib tushsin (11.3-rasm). Agar elektronlar klassik fizika qonuniga muvofiq ravishda harakat qilganlarida edi, biz to'siq orqasiga qo'yilgan fotoplastinkada ikkita aniq keskin maksimum (ikkita qoramtr tasma) ko'rgan bo'lar edik. Bu maksimumlar orasidagi masofa  $L$  ga teng bo'lib, u ikkita tirkish orasidagi masofani o'zini tasvirlaydi va ular to'siq bilan platinka orasidagi  $l$  masofaga bog'liq bo'lmasdi. Faqat, elektronlar tirkish chekalari bilan o'zaro ta'sirda bo'lgani uchun tasvir sal bo'yalgan ko'rinishda hosil bo'ladi. Afsuski, biz fotoplastinkada mutlaqo boshqa tasvirning guvohi bo'lamiz. Fotoplastinkada namoyon bo'lgan tasvir ikki tirkishdan o'tayotgan yorug'likning difraksiyon manzarasiga o'xshagan bo'lib (11.3 b-rasm) unda bir qator maksimumga ega bo'lgan seriyalarni ko'ramiz. Bu maksimumlar orasidagi  $L_1$ -masofa  $\frac{\lambda}{L}$  kattalik bilan xarakterlanadi (bunda  $l$

– to'siq bilan fotoplastinka orasidagi masofa,  $\lambda$  – elektronning de-

Broyl to'lqin uzunligi). Eng intensiv maksimum – markaziy maksimumdir. Albatta, biz sizga bir narsani eslatib o'tishimiz kerak. Bu eksperimentda difraksion manzara paydo bo'lishi uchun elektronning de-Broyl to'lqin uzunligi tirkishlar orasidagi  $L$  masofaga taxminan teng bo'lishi kerak, ya'ni  $\lambda=L$ . Agar  $\lambda \gg L$  fotoplastinkada juda keng markaziy maksimumdan iborat bo'lgan juda kuchli difraksiya hosil bo'ladi.  $\lambda \ll L$  bo'lsa, u holda difraksiya manzarasi klassik mexanika aytgan g'oyaga ko'ra bo'ladi.

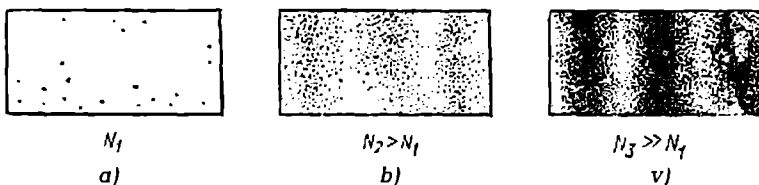


1.3-rasm.

Ikki tirkishli to'siq tajribasida difraksion manzaraning paydo bo'lishi shuni ko'rsatadiki, elektron faqat korpuskular xususiyatga ega bo'libgina qolmay, shu bilan birga u to'lqin xususiyatga ham egadir. Soha o'lchamli (bizning holda ikkita tirkish orasidagi masofa) de-Broyl to'lqin uzunligiga teng bo'lgan paytda mikrozarraning to'lqin xususiyati aniq va yaqqol namoyon bo'ladi. Agar bu sohaning o'lchami de-Broyl to'lqin uzunligiga nisbatan katta bo'lgan taqdirda mikrozarraning to'lqin xususiyati namoyon bo'lmaydi. U o'zini zarra sifatida ko'rsatadi va uning harakati klassik mexanika qonuniyatiga bo'y sunadi. Agar diafraglangan elektron dastani pufakchali kameraga yo'naltirsak, u yerda treklar (izlar) hosil bo'ladi. Bu izlar zarralarning traektoriyasiga o'xshaydi. Demak, elektron difraksiya paytida to'lqin sifatida, pufakchali kamerada esa zarra sifatida namoyon bo'ladi. Shunday qilib, mikrozarralarning korpuskular-to'lqin xususiyatini tabiatning fundamental xossasi ekanligini yana bir bor eslatib o'tamiz. Mikrozarra korpuskula ham, to'lqin ham emas. U shunday fizik obyektki – uni faqat mikroolamning maxsus qonunlari bilan tafsiflash mumkin. Mikrozarralarning korpuskular-to'lqin xususiyatini biz K.Devisson va L.Jermer va boshqa tajribalarda ham aytgan edik. Yuqoridaagi gaplaridan shunday xulosaga kelamizki, mikrozarra haqidagi barcha ma'lumotlarni o'qib, sizning qanday qo'shimcha ma'lumotlarni o'qishimiz kerak.

mot, ya'ni uning korpuskular xususiyati ham, to'lqin **xususiyati ham**  $\psi(\vec{r}, t)$  to'lqin funksiyada mujassamlashgan.

Mikrozarralarning to'lqin xususiyatga ega ekanligiga ishonchli tajribalar bo'lganligiga qaramay, individual mikrozarraning to'lqin xususiyatga ega ekanligiga jiddiy e'tirozlar ham bor edi. Ayrim fiziklar K.Devisson va L. Jermer tajribasi natijasini talqin etishar ekan, ular bu tajribadi to'siq ortida elektronlarning difraksiyala-nishiga sabab sifatida diafraglangan elektronlarning o'zaro ta'sirini dalil qiladilar. Haqiqatan ham K.Devisson va L. Jermer tajribasida elektron dastasining intensivligi anchra katta bo'lib, fotoplastinkada elektron difraksiyasini hosil bo'lishini elektronlarning bir-biri bilan o'zaro ta'siriga yo'yish mumkin edi. Bu savolga javob berish uchun L. Biberman, N. Sushkin va V. Fabrikantlarning tajribasini eslatish juda o'rinnlidir. Bu masalani to'g'ri hal etish uchun elektronlarning intensivligini kamaytirish kerak bo'ladi. Bu eksperimentatorlar 1949-yilda intensivligi K.Devisson va L. Jermer tajribasidagi elektronlarning intensivligidan 10 mln marta kam bo'lgan elektronlarni olishga muvaffaq bo'ldilar. Alovida-alohida yo'naltirilgan elektronlar yupqa metall plastinka orqali sochilib, fotoplastinkada qayd qilindi. Xuddi shunga o'xshagan tajribani venger fizigi L.Yanoshi alovida-alohida fotonlar bilan qilib ularni difraksiyasini kuzatdi.  $\psi$  – funksiyani ehtimol to'lqini ekanligiga ishonch hosil qilish uchun bu tajribani sal soddalashtirilgan holda ko'rib tahlil qilaylik.



1.4-rasm.

Ikkita tirqishga ega bo'lgan to'siqdan elektronlar birin-ketin yotgan bo'lsin. O'tayotgan elektronlar orasidagi vaqt intervali katta bo'lgani uchun ular plastikaga bir-biri bilan uchrashmasdan, to'qnashmasdan kelib tushadi va fotoplastinkaning kumush donachalarini qoraytiradi. Dastlab tirqishlardan o'tayotgan elektronlarning ekspozitsiyasini kichik olaylik. Masalan, yarim soat ekspozitsiya qilish natijasida taxminan tirqishlardan birin-ketin mingta elektron o'tgan bo'lsin. U holda fotoplastinkada xaotik bir manzara ko'rindiki, u difraktion manzaraga o'xshamaydi. 11.4 a-rasmida ana shu hol tasvirlangan. Endi ekspozitsiya vaqtini uzaytiraylik, masalan 1,5 soat bo'lsin. Bu

holda plastinkada turli quyuqlikka ega bo'lgan qandaydir tartiblikka intilayotgan qora dog'lar tasvirini ko'ramiz (11.4 b-rasm) taxminan 3 soatlari ekspozitsiyadan so'ng fotoplastinkada 11.4 v-rasmida ko'rsatilgan manzarani ko'ramiz. Bu manzara xuddi tasodifiy ketma-ket otilgan tangalarni tasodifiy tushushi tufayli olingen qonuniyatga juda o'xshab ketadi. Bu tajribada elektronlar bittalab o'tkazildi va olingen tasvirni to'g'ri tushuntirish uchun elektron bir paytning o'zida ikkita tirkishdan o'tgan bo'lishi kerak degan xulosaga kelamiz. Aksincha bo'lganda biz butunlay boshqacha difraksion manzarani kuzatgan bo'lar edik. Bu manzarani to'g'ri tushuntirish uchun elektron yaxlit holda fotoplastinkaning istalgan joyiga tushishi va uning tushish ehti-

moli har xil bo'lib  $|\psi(\vec{r}, t)|^2$  ga proporsional degan fikrga kelamiz.

Ammo bu eksperimentni boshqacha tushuntirish ham mumkin-ku! Ya'ni elektron ikkita tirkishdan o'tayotganda bo'laklanib o'tadi. Bunday tushuntirishda

$$\rho(r, t) = |\psi(\vec{r}, t)|^2$$

funksiya «modda»ning fazodagi taqsimlanishi, ya'ni elektronning massasi, zaryadi ulishlarga ajralib fazoda taqsimlanishi kerak bo'ladi. Bu hol mumkin-mi axir! Bu savolga javob berish uchun 11.3-rasmdagi fotoplastinka o'rniغا sanog'ich qo'yaylik, uning o'chhami  $L_1$  dan kichik bo'lsin. Intensivligi juda ham kuchsiz bo'lgan elektron manbadan chiqayotgan elektronlar tirkishlardan birin-ketin o'tayotgan bo'lsin. Bir nechta seriyadan iborat tajriba o'tkazaylik. Har bir seriyada misol uchun 1200 ta elektron olaylik va tajriba davomida har sekundda nisbatan faqat bitta donadan elektron chiqqan va tajribada sanog'ichga kelib tushayotgan elektronlar sonini sanaylik. 1200 ta elektronni ekpozitsiya qilish vaqtiga 20 minut. Shu vaqt ichida sanog'ichga kelib tushgan elektronlarning soni  $\Delta N = 141$  m bo'lgan. U holda birinchi seriyada qilingan tajriba sanog'ichning  $\Delta V$  hajmiga tasodifan tushgan elektronlarning ehtimoli

$$\Delta p_1 = \frac{\Delta N}{N} = \frac{141}{1200} = 0,117.$$

Ikkinchchi seriyada  $\Delta V$  hajmiga tasodifan tushgan elektronlarning ehtimoli

$$\Delta p_2 = \frac{138}{1200} = 0,115.$$

Shunday seriyalardan keltirilgan ma'lumotlar 11.1-jadvalda keltirilgan.

Har bir sekundda tayyorlangan elektronlar soni 1200 ta, demak, nar seriyaga uchun ekspozitsiya vaqtiga  $1200:60 = 20$  minut. Jadvalidan ko'ramizki, birinchchi seriyada sanog'ichga kelib tushgan elektronlar soni  $\Delta N_1 = 141$  ta, ikkinchi seriyada  $\Delta N_2 = 138$  ta va hokazo. Har bir

seriyadagi har bir elektronning sanog'ichga kelib tushish vaqtini tasodifiy, lekin sanog'ich qayd qilgan elektronlarning umumiy soni esa bir-biriga juda yaqin. Bu esa xuddi statistik fizikadagi ko'p sonlarni qonuniyatga juda o'xshaydi. Shuning uchun biz o'rtacha arifmetik sonni hisoblashimiz mumkin:

$$\langle \Delta N \rangle = \frac{141 + 138 + 145 + 135 + 142}{5}.$$

Seriya	<i>Sanog'ichga elektronlarning kelib tushish vaqtini (sekund)</i>	<i>Sanog'ichga kelib tushgan ΔN elektronlarning umumiy soni</i>
1-seriya	12,1; 16; 60; 100,3; 200,4;...	141
2-seriya	1,2; 19; 32; 33; 90,4;...	138
3-seriya	17,4; 60; 62; 150; 230;...	145
4-seriya	30; 31; 90; 200; 271;...	135
5-seriya	6; 21; 37,2; 600; 140;...	142

Bundan chiqadiki  $\Delta V$  hajmga tasodifiy kelib tushayotgan elektronlarning ehtimoli

$$\Delta p = \frac{\Delta N}{N} = \frac{140,2}{1200} = 0,117 \cdot$$

Bunday ehtimollarning mavjudligi qonuniy bo'lib, elektronlarning sanog'ichga kelib tushishida statistik qonuniyat mavjudligi ayon bo'lib qoladi. Shunday qilib, tirkishdan elektron yaxlit o'tib, ularning fotoplastinkada namoyon bo'lishi ehtimol qonuniyatiga bo'ysunadi. Demak, tirkish ortidagi ehtimol maydoni tasodifiy o'zgarmay, balki  $\psi(\vec{r}, t)$  to'lqin funksiya bilan quyidagi munosabatda bog'langan holda o'zgaradi:

$$\Delta p = |\psi(\vec{r}, t)|^2 \Delta V$$

Shunday qilib, elektronning biror nuqtaga kelib tushishi tasodifiy hodisa. Biroq bu tushishning ehtimoli uni tavsiflovchi to'lqin funksiya va statistik qonunlar bilan ifodalangan aniq qonuniyatga bo'ysunadi.

Yuqoridaq tajribadan shunday xulosaga kelamizki sanog'ichning vaqtidan vaqtga o'tib ishlashi va bu ishlash paytida elektronni yaxlit holda kelib tushishishi (ulushini emas) qayd qili-nishi

$$\rho(\vec{r}, t) = |\psi(\vec{r}, t)|^2$$

elektron moddasining taqsimlanishini xarakterlamaydi. De-Broyl to'lqin funksiyasini ehtimollik xarakterga ega ekanligini namoyon etadi. Bu esa 1927-yilda nemis fizigi Maks Bornning to'lqin funksiyasiga statistik izohi, ya'ni ehtimol xarakterini to'la tasdiqlaydi.

Elektronning to'lqin funksiyaning amplitudasiga mos ravishda fazona «yo'yilgan» ya'ni bulut deb qarash mumkin. Elektron məldə b-

lan xuddi bir nuqtada mujassamlashgan bir butun (yaxlit) holda o'zaro ta'sirda bo'ladi. O'zaro ta'sirdan so'ng, albatta, u avvalgi  $\psi$  – funksiya bilan tasvirlamaydi. Uning fazoda «yojilishi» kichiklashgan, ya'ni u fotoplastinkaning qoraygan sohasidagina namoyon bo'ladi. Elektron modda bilan o'zaro ta'sirda bo'lganda bir nuqtada mujassamlashgan bir butun (yaxlit) holda o'zini namoyish qiladi.

Yuqoridagi mulohazalardan shu narsa ayon bo'ladiki, klassik obyektlarda bunday yoyilish yo'q. Mikroolamda esa elektron buluti ikki tirqishni ochiqligini sezadi va ulardan baravariga o'tadi. Bilyard shari kabi, klassik obyektlar esa bilyard stolini hamma luzasiga bir vaqtida tushmaydi. Bunga asosiy sabab shar harakatining de-Broyl to'lqin uzunligi shar o'lchamlariga nisbatan juda ham kichik ekanligi, ya'ni deyarli nolga tenglidir. Shu boisdan ham shar yoyilmadi deya olamiz va difraksion hodisa bu holda kuzatilmaydi.

### 11.3. Mikrozarra o'rnining ehtimoli (mikrozarra o'rnini qayd qilinish ehtimoli)

Shu paytgacha biz erkin harakat qilayotgan zarralar haqida va ularning harakatini de-Broyl to'lqini yoki to'lqin-paketga bog'lab o'rgandik. Real hayotda esa, mikrozarralarning holatini yassi monoxromatik to'lqinlar bilan tavsiflab bo'lmaydi. Haqiqatda esa holatlarni tavsiflovchi to'lqin funksiyalar murakkab ko'rinishga ega. Murakkab va kompleks ko'rinishga ega bo'lgan to'lqin funksiyalar yunoncha «psi» harfi ( $\psi$ ) bilan belgilanadi va zarraning psi-funksiyasi deb yuritiladi, ya'ni

$$\psi = \psi(x, y, z, t). \quad (11.2)$$

Hozirgi zamonda fizika adabiyotlarida (11.2) ni to'lqin funksiya deb ham atashadi. Psi-funksiyaning statistik talqiniga ko'ra zarra o'rnini topish ehtimoli ushbu funksiyaning intensivligi, ya'ni  $\psi$  ni kvadrati bilan aniqlanadi. Umuman qaraganda  $\psi$  kompleks ko'rinishga ega, ehtimol esa doimo musbat va haqiqiy son bo'lgani uchun intensivlikning o'lchami sifatida  $\psi^2$  emas, balki

$$|\psi|^2 = \psi \cdot \psi^* \quad (11.3)$$

kattalik olinadi. Bunda  $\psi^*$  funksiya  $\psi$  funksiyaga qo'shma funksiyaadir. (\*) kompleks qo'shma kattalikni xarakterlaydi.

Zarraning koordinatalari uzliksiz o'zgaradi. Shu sababdan  $x, y, z$  nuqta atrofida zarrani topish ehtimoli juda kichik

$$x, x+dx; y, y+dy; z, z+dz$$

sehada aniqlash o'rnlidir.  $dV=dx dy dz$  hajmda  $\psi$  ni o'zgarmas deb hisoblasak, u holda zarrani topish ehtimoli  $dV$  – hajmga proporsionaldir.

$t$  – vaqt ichida  $x, y, z$  nuqta atrofida  $dV$  – hajmda zarrani topishning elementar ehtimoli

$$dp(x, y, z, t) = |\psi(x, y, z, t)|^2 dV \quad (11.4)$$

ehtimol zichligi esa

$$\frac{dp}{dV} = |\psi(x, y, z, t)|^2 \quad (11.5)$$

formula bilan aniqlanadi.

$t$  – vaqt momentida chekli  $V$  – hajmda zarraning qayd qilinishi ehtimoli ehtimollarni qo'shish teoremasiga binoan

$$p(V, t) = \int_V dp = \int_V |\psi(x, y, z, t)|^2 dV \quad (11.6)$$

tenglik orqali topiladi.

$t$  – vaqt momentida (11.6) integralni  $-\infty$  dan  $+\infty$  gacha oraliqda integrallasak zarrani qayd qilinishi uchun to'la ehtimolni topamiz. U holda to'la ehtimol birga teng, ya'ni

$$\int_{-\infty}^{\infty} |\psi(x, y, z, t)|^2 dV = 1 \quad (11.7)$$

(11.7) formula bilan ifodalanadigan shart normallash deyiladi. Bu bu shartni qanoatlantirgan funksiyani normallangan funksiya deyiladi.

Har qanday funksiya uchun ham normallash shartini ta'riflab bo'lmaydi. Cheksiz oraliqda  $|\psi|^2$  dan olingan integral uzoqlashuvchi bo'lsa, funksiyani normallab bo'lmaydi. Lekin real eksperimental shartida hatto erkin harakat qilayotgan zarralar ham qurilmaning geometrik o'lchamlari bilan cheklangan sohada bo'ladi va zarranining tezligi ham cheklidir. Shu sababdan, fazoning cheklangan sohasida zarrani qayd qilish qonuning doimo noldan farqli va zarranining bu holatini tavsiflovchi to'lqin funksiya integrallanishi o'rinnlidir.

Agar

$$\int_{-\infty}^{\infty} |\psi|^2 dV = 0 \quad (11.7)$$

bo'lsa, bu ifoda fazoning hech qaerida zarrani yo'qligiga ishora qiladi. Fazoning har bir nuqtasida  $t$  vaqt momentida zarraning qayd qilinishi ehtimoli aniq bir qiymatga (bir qiymatli) ega bo'lishi uchun, albatta  $\psi$  – funksiya va uning hosilasi uzluksiz bo'lishi shartdir. Bornning de-Broyl to'lqini statistik izohiga ko'ra kvant mehanikaning asosiy masalasi harakatlanayotgan mikrozarralar uchun to'lqin funksiya ko'rinishini yoza olish va uni aniqlashdir.

Shunday qilib psi-funksiya modulining kvadrati, vaqtning xuddi shu momentida, fazoning xuddi shu nuqtasida zarrani qayd qilinishi ehtimoliga proporsionaldr. To'lqin funksiyaning o'zi hech qanday fiz-

kaviy ma'noga ega emas, balki uning modulining kvadrati zarraning korpuskular xususiyatini xarakterlaydi.

#### 11.4. Ehtimoliyat to'lqinlari uchun superpozitsiya prinsipi (holatlар uchun superpozitsiya prinsipi)

Turli tabiatga ega bo'lgan maydonlar va to'lqinlarning eng umumiy alomatlari superpozitsiya prinsipi bilan ifodalanadi. Superpozitsiya deganda bir-birini ustiga qo'yish (joylash, taxlash), ya'ni umuman olganda qo'shish tushuniladi. Yaxshi ma'lumki, maydonlar va to'lqinlar bir-birlarining orasidan bermalol, qarshiliksiz o'tadilar. To'lqinlar kesishgan sohada interferensiyanadi. Ma'lum bir shartlar bajarilgan-da ikkilamchi to'lqinlarning interferensiysi difraksiyani sodir qiladi.

To'lqinlarni bir-birlarining orasidan qarshiliksiz o'tishi, interferensiyanishi natijasida qo'shiluvi *superpozitsiya* deyiladi.

Superpozitsiya prinsipiiga muvofiq elektromagnit to'lqinlari, suv sirtidagi to'lqinlar, tovush to'lqinlari va boshqa to'lqinlar ham interferensiyanadi. Yuqorida ko'rdikki, tajribalarga binoan mikrozarralarning to'lqin funksiyalari ham difraksion manzara hosil qiladi va demak, ular ham interferensiyanish xususiyati egadir. Agar 1-nuqtada turgan elektr zaryadi  $\bar{E}_1(\vec{r}_1, t)$  elektr maydon, 2-nuqtada turgan boshqa elektr zaryadi  $\bar{E}_2(\vec{r}_2, t)$  elektr maydon vujudga keltirsa va ikkala manba bir vaqtida ishlasa, u holda hosil qilingan maydonlar bir-birining orasidan bermalol o'tib superponirlaydi (taxlanadi) va yig'indi superponirlangan maydon vujudga keladi:

$$\bar{E}(\vec{r}, t) = c_1 \bar{E}_1(\vec{r}_1, t) + c_2 \bar{E}_2(\vec{r}_2, t). \quad (11.9)$$

Magnit maydon ham xuddi shunday superponirlanish xususiyatiga egadir. Elektr va magnit maydonlar uchun superpozitsiya prinsipi ularning (elektr maydon to'lqinlarning) difraksiya va interferensiya hodisalarini tushuntirishda muhim ahamiyat kasb etadi. Ehtimol to'lqinlari ham interferensiya va difraksiyalanishga moyil-ku axir!? Zero superpozitsiya prinsipi ular uchun ham o'rinni. To'lqin funksiyalar uchun superpozitsiya prinsipini aniqroq ta'riflaylik: qandaydir sistema (zarra yoki zarralar to'plami)  $\psi_1, \psi_2, \psi_3, \dots, \psi_n, \dots$  funksiyalar bilan tavsi-flanuvchi har xil fizik holatlarda yotgan bo'lsa, u holda sistema superponirlangan

$$\Psi = c_1 \psi_1 + c_2 \psi_2 + \dots + c_n \psi_n + \dots = \sum_n c_n \psi_n \quad (11.10)$$

holatda ham yotishi mumkin. Bunda  $s_1, s_2, \dots$  – kompleks doimiyliklar, bu doimiyliklar shunday bo'lishi kerakki,  $\psi_1(\vec{r}_1, t), \psi_2(\vec{r}_2, t), \dots$  funksiyalar birga normalangan shartda  $\psi(\vec{r}, t)$  funksiya ham birga normalangan bo'lishi kerak.

$\psi$  – holatlar uchun yozilgan superpozitsiya prinsipi klassik mexanikadagi superpozitsiya prinsipidan nimasi bilan farq qiladi? Bitta misol olaylik.  $\vec{p}$  impulsiga ega bo'lgan holatni  $\psi_1$  funksiya bilan, –  $\vec{p}$  impulsiga ega bo'lgan holatni  $\psi_2$  funksiya bilan tavsiflaylik. U holda superponirlangan holat funksiyasi  $\psi$  ni bir-biriga qarama-qarshi yo'nalishda tezlik moduli bir xil  $\vec{v} = \frac{\vec{p}}{m}$  bo'lgan zarttaring bir vaqtgagi harakati sifatida izohlagan bo'lamiz. Klassik mexanika nuqtayi nazaridan bu mutlaqo ma'nosizdir. Agar superpozitsiyaga kiruvchi holatlar bir-biridan uzluksiz o'zgaruvchi biror fizikaviy kattalik bilan farqlansa, u holda bunday funksiyalarning superpozitsiyasini integral ko'rinishda yozish mumkin. (11.10) yig'indi o'rniغا

$$\psi = \int c(L)\psi_L dL \quad (11.10)$$

ifodani yozamiz. Bunda  $L$ -uzluksiz o'zgaruvchi fizikaviy kattalikning qiymati;  $\psi_L$  alohida holatning psi funksiyasi bo'lib, u  $L$  parametrga bog'liq;  $c(L)dL$  –  $\psi_L$  xususiy holat amplitudasi va  $c(L)$  amplituda zichligi.

Shunday qilib, superpozitsiya prinsipi murakkab to'lqinlarni oddiy monoxromatik to'lqinlarning yig'indisi ko'rinishidagi ifodaga almashtirib yozishga imkon beradi. Bu esa o'z navbatida murakkab to'lqinlarni o'rganishga qulaylik tug'diradi. Matematika nuqtayi nazaridan bunday almashtirish Fure integraliga yoki funksiyani qatorga yoyish demakdir. Chiziqli tenglamalar shunday xususiyatga egadirlar.

Murakkab to'lqinlarni monoxromatik tashkil etuvchilarini yig'indisi ko'rinishida yozish tabiatning umumiyligini qonunlaridan biri bo'lib, har qanday murakkab funksiyalarni monoxromatik to'lqinlarga yoyish, uni o'rganishda katta imkoniyat yaratadi.

Murakkab funksiyani sinus, kosinus yoki boshqa funksiyalarga yoyish mumkin. Matematika nuqtayi nazaridan har qanday yoyish o'rnlidir. Murakkab to'lqinlarni monoxromatik tashkil etuvchilariga yoyish fizika nuqtayi nazaridan ham o'rnlidar. Eksperimentda ayrim monoxromatik tashkil etuvchilarini ajratib olish mumkin. Masalan, optikada spektrial asboblar yordamida (masalan, spektrograf, difraksion panjara) murakkab nurlanishni monoxromatik tashkil etuvchilariga ajratish mumkin (oq nurning turli ranglarga ajralishi). Mikroolam fizikasida difraksion panjara vazifasini metall sirti bajaradi (Devisson va Jermer tajribasini eslang).

Shunday ko'rinishdagi superpozitsiyaga misol sifatida erkli  $\psi(x, y, z, t)$  funksiyani de-Broylning yassi to'lqini

$$\psi_{\vec{p}} = A \exp \left[ -\frac{i}{\hbar} (Et - \vec{p}\vec{r}) \right] \quad (11.12)$$

bo'yicha yoyish mumkin. (11.12) dagi funksiyaning indeksidagi  $\vec{p}$  uni  $\vec{p}$  impulsiga parametrik bog'liqligini ko'rsatadi. Bundan chiqadiki zarraning har qanday murakkab holatini tavsiflovchi to'lqin funksiyani

$$\psi(x, y, z, t) = \iiint_{-\infty}^{\infty} c(p_x, p_y, p_z, t) \psi_p(x, y, z, t) dp_x dp_y dp_z \quad (11.13)$$

ko'rinishda yozish mumkin. Bunda  $c(p_x, p_y, p_z, t)$  – de-Broyl to'lqinlarining amplituda zichligi va ular  $\vec{p}(p_x, p_y, p_z)$  impulsiga ega.

Monoxromatik bo'limgan to'lqinlarni qatorga yoki Fure integraliga matematik yoyish, umuman olganda superpozitsiya prinsipi real fizikaviy jarayonlar – to'lqinlarni spektrini o'lchashda va o'rganishda eng muhim quroldir. Fizikaviy spektrial asboblarni ishlash prinsipi superpozitsiya prinsipiga tayanadi. Shu jihatdan superpozitsiya prinsipining kvant fizikadagi o'rni nihoyatda kattadir.

### 11.5. Mikrozarra impulsining ehtimoli

Oldingi bandlarda biz de-Broyl to'lqinining statistik izohiga asoslangan holda zarra o'rnnini qayd qilinishi ehtimolini ko'rib chiqdik. Holatlar uchun superpozitsiya prinsipini qo'llash orqali statistik izohini qo'llanilish chegarasini kengaytirish mumkin. Natijada, nafaqat zarra o'rnnini qayd qilinishi ehtimoli, balki zarra impulsini u yoki bu qiyamatini topishga ham imkoniyat yaratiladi. Superpozitsiya prinsipi va to'lqin funksiyasining statistik talmiqini zarra holatini xarakterlovchi boshqa mexanik kattaliklar, masalan, energiya, harakat miqdori momenti kabilarni ham psi-funksiyalar yordamida xarakterlash mumkin bo'ladi. Bu holni keyingi boblarda ko'ramiz.

Shunday qilib, to'lqin funksiya berilgan bo'lsa, u holda sistemani xarakterlovchi har qanday fizikaviy kattalikni statistik taqsimlanishini bu funksiya to'la aniqlaydi.

Mikrozarra impulsini o'lchash uslubiyatini ko'raylik. Agar zarra klassik zarra bo'lsa, uning impulsini aniqlash uchun uning traektoriyasining xarakterini tahlil qilish, tezlik yo'nalishi va modulini bilish kerak bo'ladi. Zarra kvant xarakterga ega bo'lsa, u holda u de-Broyl to'lqiniga ega va zarra impulsini o'lchashni butunlay yangicha usuliga o'tamiz. Bu holda zarra impulsi de-Broylning

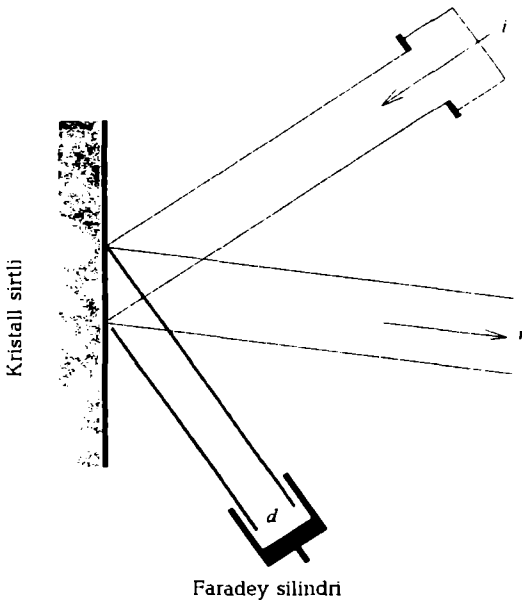
$$\vec{p} = \hbar \vec{k}, \quad |\vec{k}| = \frac{2\pi}{\lambda} \quad (11.14)$$

formulasi orqali topiladi.

(11.14) formulaga binoan zarra impulsini bilish uchun zarraning de-Broyl to'lqin uzunligini topish kerak. Optikadan yaxshi bilamizki (Devisson va Jermer tajribasidan ham) to'lqin uzunligini topish uchun

difraktsion panjaradan foydalanamiz. Difraksion panjara to'lqinni  $\vec{k}$  va  $\lambda$  bo'yicha spektrga ajratadi va demak,  $\vec{p} = \hbar\vec{k}$  impuls bo'yicha zarra impulsini sortirovka (navlarga ajratish) qiladi. Demak,  $\vec{k}$  ni aniqlovchi difraksion panjara mikrozarra impulsini u yoki bu qiymatining ehtimolini topish uchun xizmat qiluvchi asbobdir.

Devisson va Jermer tajribasiga murojaat qilaylik. 11.5-rasmda kristall sirtida elektronlar difraksiyasining chizmatik tasviri keltirilgan. Chizmada  $\psi(x, y, z, t)$  to'lqin maydonini hosil qiluvchi de-Broyl to'lqinlarining superpozitsiyasi (*i*) – tushayotgan, sirtdan qaytayotgan (*r*) va difraglangan to'lqinlardan biri (*d*) ko'rsatilgan.



11.5-rasm.

Agar diafragmani ko'ndalang o'lchami zarraning de-Broyl to'lqin uzunligidan katta bo'lsa va diafragma chekkalarida sodir bo'ladigan effektlarni e'tiborga olmasak, tushayotgan zarralar holati ma'lum bir boshlang'ich impulsga ega bo'lgan yassi de-Broyl to'lqini bilan tavsiflanadi.

Kristall sirtidan qaytayotgan zarralar dastasini ham impulsni ma'lum bir qiymatga ega bo'lgan de-Broyl to'lqinlari bilan tavsif-

lashimiz mumkin. Barcha to'lqin maydonni ayrim dastalarga tegishli bo'lgan to'lqin funksiyalarini superpozitsiyasi ko'rinishida yozamiz:

$$\psi = \sum_p c(\vec{p}, t) \psi_p. \quad (11.15)$$

(11.15) da yig'indi barcha dastalar bo'yicha olingan. Umuman qaraganda kristall sirtida elektron to'plami aniq impuls bilan xarakterlanmaydi, chunki  $\psi$  – holat turli impulsiga ega bo'lgan  $\psi$ , – holat larning superpozitsiyasidir. Shuning uchun o'lchash jarayonida biz (11.15) superpozitsiyaga tegishli bo'lgan holatlardan faqat bittasi uchun  $\vec{p}$  – impulsni aniqlashimiz mumkin. O'lchash jarayonida  $\vec{p}$  – impulsning qiymati  $r$  ga teng bo'lish imkoniyati qancha? Buni bilish uchun  $r$  – impulsiga ega bo'lgan zarralar sonini statistik hisoblash kerak bo'ladi. Shu maqsadda kristall sirtidan ma'lum bir masofada zarralar sonini hisoblovchi sanog'ich (yarim o'tkazgichli detektor yoki Faradey silindri) qo'yamiz.  $x, y, z$  koordinataga ega bo'lgan sanog'ich tirkishiga kelib tushayotgan zarralar sonining ehtimoli, to'lqin funksiyaning statistik izohiga ko'ra  $|\psi(x, y, z, t)|^2$  ga proporsional. Difraksion panjara vazifasini bajaruvchi kristall sirti to'lqin maydonni monoxromatik to'lqinlar dastasiga bo'lib tashlaydi (bu xuddi oq nurni ayrim rangli nurlarga ajratuvchi prizmaga o'xshaydi).  $\vec{p}$  – impulsiga ega bo'lgan zarralar sonini hisoblash uchun Faradey silindrini turli holatlarga qo'yish kifoya. Kristall sirti yaqinida barcha dastalarning interferensiysi tufayli to'lqin maydon murakkab xarakterga ega. Kristalldan ma'lum bir uzoqlikda dastalar bir-biridan yaxshiroq ajraladi. Agar Faradey silindri kristalldan yetarlicha uzoqroq masofaga qo'ysak, ayrim dastalar bir-biridan ajralgan bo'ladi va  $|\psi(x, y, z, t)|^2$  ni

$$|\psi(x, y, z, t)|^2 = |c(\vec{p})|^2 |\psi_p(x, y, z, t)|^2 \quad (11.16)$$

ko'rinishda yozish mumkin bo'ladi.

(11.16) ifoda faqat bitta dasta uchun yozilgan ifoda bo'lib, u shu  $\psi$ , yo'naliishida qo'yilgan Faraday silindriga tushayotgan zarralarni (elektronlarni) hisoblaydi.  $|\psi(x, y, z, t)|^2$  ga boshqa to'lqinlarning ulushi juda ham kichikdir. (11.16) formulaga (11.2) ifodani qo'ysak

$$dp(\vec{p}, t) \sim |c(\vec{p}, t)|^2 \quad (11.17)$$

hosil bo'ladi.

$\vec{p}$  – impulsiga ega bo'lgan elektronlarni barcha diafraglangan zarralar ichida qayd qilinish ehtimoli  $|c(\vec{p}, t)|^2$  ga proporsionaldir.

De-Broylning normalangan to'lqin funksiyasi

$$\psi_{\vec{p}}(x, y, z, t) = \frac{1}{\sqrt{(2\pi\hbar)^3}} \exp\left[-\frac{i}{\hbar}(Et - \vec{p}\vec{r})\right] \quad (11.18)$$

desak, u holda

$$|\psi(x, y, z, t)|^2 = \frac{|c(\vec{p})|^2}{(2\pi\hbar)^3} \quad (11.19)$$

ni hosil qilamiz. Bu holda dastadan tashqarida  $c(\vec{p}) = 0$ . Shu sababli (11.13) dan farqli ravishda (11.1) amplitudasi faqt koordinatalar funksiyasi bo'ladi.  $c(\vec{p})$  – amplituda dasta yo'nalishiga perpendikular holda juda sekin o'zgaradi. Shunday qilib, Faradey silindri  $\psi_r$  – to'lqin yo'nalishida o'rnatilgan bo'lsa, u holda Faradey silindridda elektronlarning qayd qilinishi ehtimoli  $|c(\vec{p}, t)|^2$  ga proporsionaldir. Bunday to'lqinlarga  $\vec{p}$  – impulsga ega bo'lgan elektronlargina tegishlidir.

$p_x, p_y, p_z$  bilan  $p_x + dp_x, p_y + dp_y, p_z + dp_z$  intervali orasida zarra impulsini o'lchashning elementar ehtimoli  $dp_x dp_y dp_z$  – elementar hajmga proporsionaldir. U holda (11.17) ni

$$dp(p_x, p_y, p_z, t) = |c(p_x, p_y, p_z, t)|^2 dp_x dp_y dp_z \quad (11.20)$$

ko'rinishida yozsak bo'ladi.

Impuls taqsimlanishining ehtimol zichligi

$$\frac{dp}{dp_x dp_y dp_z} = |c(p_x, p_y, p_z, t)|^2 \quad (11.21)$$

formula bilan aniqlanadi va uning uchun normalash sharti

$$\iiint_{-\infty}^{\infty} |c(p_x, p_y, p_z, t)|^2 \cdot dp_x dp_y dp_z = 1 \quad (11.22)$$

ko'rinishga ega.

Umuman olganda Fure qatoridan foydalananib,

$$\iiint_{-\infty}^{\infty} |c(p_x, p_y, p_z, t)|^2 \cdot dp_x dp_y dp_z = \iiint_{-\infty}^{\infty} |\psi(x, y, z, t)|^2 dx dy dz \quad (11.23)$$

tenglikni hosil bo'lishini isbotlash mumkin. (11.23) ifodaning chap qismi zarra impulsini istalgan qiymatini topish ehtimolini, o'ngdag'i ifoda esa fazoning istalgan nuqtasida zarra o'rmini topish ehtimolini xarakterlaydi.

## 11.6. Kvant nazariyaning xossalari

To'ldirish prinsipi va o'lchash jarayonlarni Bor talqinidan kvant nazariyaning xossalari kelib chiqadi.

1. Kvant mexanika bir qiymatli javobni karomat qilmaydi, balki faqat u yoki bu natijaning ehtimolini aytalari oladi. Tirqishli to'siqqa tu-shayotgan zarranining holatini qancha aniq bilmaylik, to'siq ortiga qo'yilgan fotoplastinkani qaysi nuqtasiga uni kelib tushishini aytib berib bo'lmaydi. Bu noaniqlik klassik determinizmga ziddir. Per Laplas yaratgan determinizm nazariyasiga ko'ra barcha zarralarning koordinatalari va impulslarini bilgan holda koinotning kelajagini oldindan aytib berish mumkin. Shunday bir qiymatli karomatni klassik elektrodinamika ham berishi mumkin. Kvant mexanikada barcha zarralarni koordinatalar va impulslarini berish mumkin emas. Faqat boshlang'ich momentda to'lqin funksiyani berish mumkin. Zarra holatini to'la tavsiflovchi funksiyadir. Koordinata va impuls bilan xarakterlanuvchi klassik holat to'lqin funksiya bilan almashadi. Kvant mexanika keyingi istalgan momentdagи to'lqin funksiyani bir qiymatli aniqlaydi. Laplas sababiyati buziladi. Kvant mexanika nuqtayi nazaridan dinamik sababiyat o'rini bo'lib qoladi. Dastlabki holatni to'la aniqlash keyingi holatni bilishga xizmat qiladi.

2. Kvant mexanikaning eng muhim kashfiyoti – mikrodunyo qonunlarining ehtimollik xarakteridir. Kvant nazariyasining tasavvuriga ko'ra hamma mikrozarralar xuddi to'lqin kabi birdaniga fazoning hamma nuqtalarida mavjud, lekin uning biror nuqtada qayd qilinishi o'z ehtimolligi bilan xarakterlanadi. Shuning uchun mikrozarralarni harakatini traektoriya tushunchasi bilan tavsiflash mumkin emas.

3. To'lqin funksiya – fizik maydon emas, balki axborot maydonidir.

4. Kvant mexanikada superpozitsiya prinsipi bajariladi.

5. To'lqin funksiya reduksiyananadi. Har bir o'lchashdan so'ng to'lqin funksiya sakrab o'zgaradi. Reduksiya so'zi ko'p holatlari zarranining bitta aniq holatiga kelishini anglatadi. 11.3-rasmdagi difraksion panjara misolida panjarani chap tomonidagi holati panjaraning o'ng tomonida yo'q qilinadi va yangi difraksion holat hosil bo'ladi; uning ko'rinishi dastlabki holat va asbob (difraksion panjara)ga bog'liq. Fotoplastinkada yana bitta o'zgarish yuz beradi: panjara va fotoplastinkada keng sohani egallagan to'lqin funksiya fotoplastinkada qisilib, fotoemulsiya donachasi o'lchamigacha lokallashadi. Bu lokallashish emulsiyaning turli donachalarida bo'lishi mukmin. Fotoplastikaga tushguncha elektronning istalgan joyda bir xil ehtimol bilan topish mumkin edi; emulsiya donachasi qoraygandan so'ng elektron holatinining noaniqligi juda ham qisqa vaqtida sakrab o'zgaradi va doncha o'lchami bilan xarakterlanadi. Bu holni *to'lqin funksiya reduksiyasi* yoki *to'lqin-paket reduksiyasi* deyiladi. Shunday qilib, mikroolamda zarra turli qiyofada yashashi mumkin: goh yassi to'lqin, goh murakkab difraktsion holatda, gohida fotoemulsiya donchasi ko'rinishida bo'ladi. O'lchash jarayonida eski holat o'rniiga yangi holat paydo bo'ladi va bu o'zgarish statistik, ehtimolyat qonuniiga bo'ysunadi. Hech qanday fizikaviy maydon bunday xususiyatga ega emas. To'lqin funksiyaning

sakrab o'zgarishi – qo'shimcha shartni boshqacha tanlash bo'lib, bizning misolimizda to'lqin funksiyani doncha qorayishi shartida qidirayapmiz. Klassik fizikada bunga quyidagi o'xshatishni olish mumkin. Agar teleskopning holatini bir yulduzdan ikkinchi yulduzga tezda o'zgartirsak, kuzatish joyini tanlash o'zgaradi, xalos, teleskop bu holda yulduzlarga hech qanday fizikaviy ta'sir ko'rsatmaydi.

6. O'Ichov asbobi bilan va tajriba o'tkazilayotgan obyekt orasidagi o'zaro ta'sir tekshiriluvchi obyektga ta'sir qiladi va o'zaro ta'sir natijasida mikrozarra boshqa kvant holatiga o'tadi.

## **SAVOLLAR**

- Nima uchun to'lqin-paket yoyilib ketadi?
- Nima uchun zarrani to'lqin-paket bilan aynanlashtirish mumkin emas?
- Zarralar to'plamini to'lqin deb qarash mumkinmi?
- To'lqin funksiyaning statistik talqinini ta'riflang.
- De-Broyl to'lqininining statik izohini kim va qachon bergen?
- To'lqin funksiyaning statistik talqini mikrozarra strukturasiga bog'liqmi?
- Ehtimol intensivligi deganda nimani tushunasiz?
- Yorug'lik difraksiyasi bilan mikrozarra difraksiyasini o'xshash deb atasa bo'ladimi?
- Ehtimol zichligini ta'riflang?
- Nima uchun ayrim fiziklar individual mikrozarraning to'lqin xususiyatini inkor qiladilar?
- Qaysi eksperiment Bornning statistik talqini bilan individual elektronning to'lqin xususiyatga ega ekanligini tasdiqladi?
- 11.2-banddag'i 11.3-rasmdag'i eksperimentdag'i korpuskulyar xususiyati bilan to'lqin xususiyat farqini tushuntiring?
- Intensivligi juda kichik bo'lgan elektronlar bilan qilingan tajriba natijasi 11.4-rasmda tasvirlangan. Uni izohlang.
- Sanog'ichga kelib tushgan elektronlar uchun ehtimol formulasini yozing va tushuntiring.
- Bornning to'lqin funksiyani statistik talqiniga ko'ra elektronni qanday tasavvur qilish mumkin?
- Superpozitsiya prinsipini ta'riflang va mohiyatini tushuntiring.
- Kvant fizikadagi superpozitsiya prinsipi klassik fizikadagi superpozitsiya prinsipidan farq qiladimi?
- Superpozitsiya prinsipini holatlar uchun yozib ko'rsating.
- Uzluksiz o'zgaruvchi parametrga bog'liq bo'lgan holatlar uchun superpozitsiya prinsipi qanday yoziladi?
- Eksperimentda superpozitsiya prinsipi qanday amalga oshiriladi?

- To'lqin funksiya kvant fizikada qanday belgilanadi?
- Zarra o'rnini qayd qilinishi ehtimoli uchun Bornning statistik talqinini qanday qo'llash mumkin?
  - Elementar ehtimol va ehtimol zichligi formulasini yozing.
  - Nima uchun to'lqin funksiya normalanadi?
  - Mikrozarra impulsi klassik va kvant fizikada qanday o'lchanadi?
  - Devisson va Jermer eksperimenti misolida superpozitsiya prinsipi va impuls ehtimolini topishni tushuntiring.
  - Impuls ehtimoli qanday formula bilan ifodalanadi?
  - 11.5-rasmda ko'rsatilgan Faradey silindri qanday fazifani bajaradi?
  - Kvant nazariyaning eng muhim xossalari ayting.
  - To'lqin funksiyani nima uchun axborot maydoni deb atashadi?
  - To'lqin funksiya fizik ma'noga egami?
  - To'lqin funksiya reduksiyasi deganda nimani tushunasiz?
  - Mikrozarralarning fazoning turli nuqtalarida bo'lish ehtimolini qanday asboblar yordamida o'rganish mumkin?
  - Ehtimol to'lqinining boshqa to'lqinlardan farqi nimada?
  - Shu bobni o'qiganingizdan so'ng sizda qanday tasavvur hosil bo'ldi?

### MASALALAR

- Zarra bir vaqtning o'zida  $\vec{p}_1$  va  $\vec{p}_2$  impuls bilan qarama-qarshi yo'nalishda harakat qilyapti. Bu hol uchun superpozitsiya prinsipini yozing. Bu zarra impulsining qiymati qanday topiladi?

$$\text{➤ 11.1-masala shartida } c_{\vec{p}_1} = -\sqrt{\frac{2}{3}} \text{ va } c_{\vec{p}_2} = \frac{i}{\sqrt{3}} \text{ ga teng bo'lsa}$$

$\vec{p}_1$  va  $\vec{p}_2$  impulslar nimaga teng?

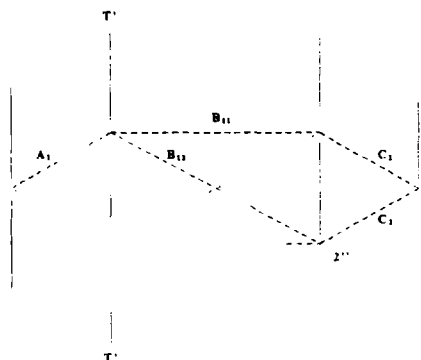
- $\psi(x,t) = A \cos(kx - \omega t)$  formula bilan tavsiflanuvchi to'lqin funksianing superpozitsiya prinsipi va to'lqin funksiya ehtimol to'lqiniga teng emasligini ko'rsating.

- De-Broyl to'lqini ehtimol zichligini xarakterlash uchun uni qanday ko'rinishda yozish kerak bo'ladi?

- Superponirlash holatida mikrozarra uchun ehtimol formulasini yozing.

- 11.5-masala yechimida  $\Delta P_i = |c_i|^2 \cdot |\psi_i(r,t)|^2 \Delta V$  formula bilan ifodalanadi. Shu ehtimolning ma'nosini tushuntiring.

- 11.5-masala yechimidagi  $\Delta P_{12}$  ehtimol interferensiyasini izohlang.
- Nima uchun  $\Delta P_{12}$  hadni interferension had deyiladi?
- Koordinataga bog'liq bo'lмаган hol uchun ikkita de-Broyl to'lqinini yozing. Shuningdek, interferension hadni ko'rinishini yozing.
- Mavzudagi 11.3-rasmda maksimumlar orasidagi masofa  $L_1$ , zarranining to'lqin uzunligi  $\lambda$  bo'lsa difraksiya burchagini toping.
- Kogerent va kogerent bo'lмаган superpozitsiyalarning farqi nimada?



11.6-rasm.

➤ 11.6-rasmda ikkita tirkishli to'siq tasvirlangan. T tirkishli ekranidan aniq impulsga ega bo'lgan zarranining o'tishi tasvirlangan. Ularning intensivligi har sekundda bitta zarra teng bo'lsin. T ekran orqasida yana 5 ta tirkishli to'siqlar joylashtirilgan. Sanog'ichning har gal bevosita tirkishlardan biriga qo'yib undan oqayotgan zarralar oqimini kuzataylik. Berilgan tirkish uchun 1 sekundda o'tgan zarralar soni  $r$  ga teng bo'lsa, biz T tirkishdan o'tayotgan zarra ehtimoli  $R$  ga proporsional deymiz. Zarralarning to'lqin uzunligi  $\lambda$  tirkish kengligiga nisbatan katta bo'lsin; hamma tirkishlar o'lchami bir xil. Bu holda tirkishda to'lqinning kompleks amplitudasi haqida so'zlasa bo'ladi. Shu tirkishlarda o'tish amplitudasi deganda nimani tushunasiz? Rasmida tasvirlangan tirkishlardagi o'tish amplitudalarini belgilang va ularni izohlang.

➤ 11.6-rasmidagi o'tish amplitudalarini bilgan holda, ular uchun o'tish ehtimollarini yozing. Nechta o'tish ehtimoli mavjud? Amplitudani A harfi bilan, ehtimolni R harfi bilan belgilab, ehtimolni har bir tirkishda amplituda orqali ifodalang va izohlang.

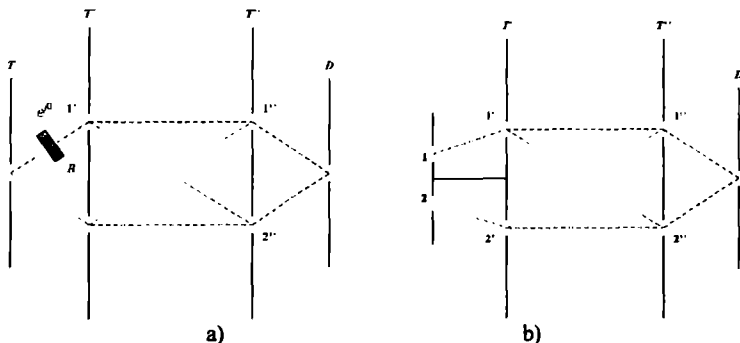
➤ 11.6-rasmdagi tirqishlarning barchasi ochiq. T tirqishdan o'tgan zarrani D tirqishga kelishdagi ehtimoli R nimaga teng (kvant mehanika nuqtayi nazaridan)?

➤ 11.14-masala klassik fizika nuqtayi nazaridan qarab ehtimolning formulasini yozing.

➤ O'tish amplitudalarini noma'lum, ehtimollar ma'lum bo'lsa  $r$  ni qanday topish mumkin?

➤ Nima uchun 11.15-masaladagi  $R$  ni topish formulasini xato deymiz? Xato nimada?

➤ 11.7-a rasmda tajriba chizmasi ko'rsatilgan T tirqish bilan 1' tirqish oralig'iga to'lqin fazoni to'xtatuvchi qurilma qo'yilgan. Fazani tutib qolganida amplituda  $A_1$  faqat  $A_1 e^{\theta}$  amplitudaga almashtiriladi.  $r(\theta)$  ni toping.



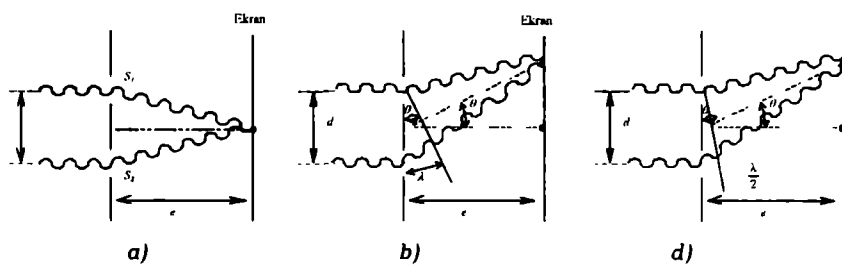
11.7-rasm.

➤ 11.7-b rasmda quyidagi asbob ko'rsatilgan 1' va 2' tirqishlarni yorituvchi ikkita sohada 1 va 2 manba ko'rsatilgan. Ikkita manbaning intensivligi bir xil. T to'siqdan o'tgan zarra D tirqishdan o'tish ehtimoli  $r$ , ni toping.

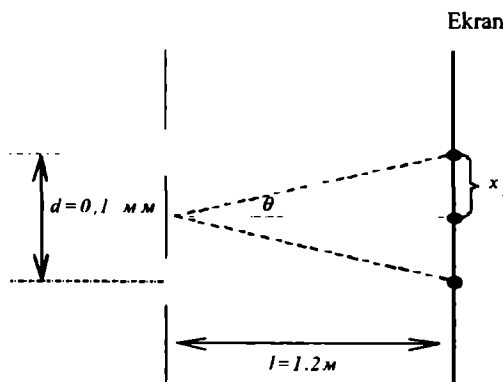
➤ Kogerent bo'limgan ikkita manba uchun kogerent bo'limgan superpozitsiya umumiy qoidasini aniqlang.

➤ 11.8-rasmda interferensiya manzaralari ko'rsatilgan. Ularni tu-shuntiring.

➤ To'lqin uzunligi  $\lambda = 50$  nm bo'lgan yorug'lik nuri tirqishlar oralig'i 0,1mm bo'lgan to'siqqa tushmoqda. Ekran to'siqdan 1,2 m uzoqlikda o'rnatilgan. Ekranda hosil bo'lgan interferensiyada polosalar qanday joylashgan?



11.8-rasm.



11.9-rasm.

## XII BOB

### Mavzu: KVANT FIZIKANING MATEMATIK APPARATI

**Reja:**

- 12.1. Koordinata va impulsning o'rtacha qiymatini topish. Operatorlar.
- 12.2. Operatorlar va ularning xossalari. Chiziqli va ermit operatorlar. Dirak qavslari.
- 12.3. Kommutativ va nokommutativ operatorlar.
- 12.4. Fizikaviy kattalikning o'rtacha qiymati va o'rtacha kvadratik og'ishini hisoblash.
- 12.5 Xususiy qiymat va xususiy funksiya. Operatorlarning diskret va tutash spektri.
- 12.6. Operatorni xususiy qiymatlari va xususiy funksiyalarining xossalari.
- 12.7. O'lchash natijalarining ehtimolini hisoblashning umumiy kvant-mexanik metodi.
- 12.8. Turli mexanik kattaliklarni bir vaqtida o'lchash sharti.
- 12.9. Koordinata va impulsning operatorlari.
- 12.10. Energiya operatori.
- 12.11. Harakat miqdori momenti operatori.

### ADABIYOTLAR

- Д.И.Блохинцев. Основы квантовой механики. М., 1961.
- А.А.Соколов, Ю.М.Лоскутов, И.М.Тернов. Квантовая механика. М., 1962.
- Л.Р.Ландау, Е.М.Лифшиц. Квантовая механика, нерелятивистическая теория. М., 1963.
- Дж. Мак-Коннел. Квантовая механика частиц. М., 1962.

**Masalaning qo'yilishi:** Bu bobda biz kvant fizikaning matematik apparati – kvant mexanika haqida qisqacha to'xtalamiz. Mikroolam jarayonlarini tasvirlovchi kattaliklar – o'rtacha qiymat, xususiy funksiya, xususiy qiymat va ularning operatorlari haqida so'z boradi. Kvant mexanikada faqat chiziqli va ermit bo'lgan operatorlarni ishlatalishi va ularning xossalari haqida ma'lumot beriladi. Shuningdek, mikrozarra koordinatasi, impulsi, impuls momenti, kinetik energiyasi va to'la energiya operatorlari haqida qiqacha ma'lumotlar keltiriladi. Kommutativ va antikommutativ operatorlar va mikroolamda ayni bir vaqt momen-tida ikkita fizikaviy kattalikni qiymatini aniq o'lchash shartlari beriladi.

**XII bob. KVANT MEXANIKANING MATEMATIK APPARATI****12.1. Koordinata va impulsning o'rtacha qiymatini topish.  
Operatorlar**

Kvant nazariyaning hozirgi zamon matematika apparatiga kvant mexanika deyiladi. Kvant mexanika oliy darajada matematiklashtirilgan fan bo'lib, bundan keyingi boblardagi materiallarni yaxshi o'zlashtirish uchun u haqda juda bo'limganda umumiylashtirish ega bo'lishimiz lozim. Biz bu bobda kvant fizikaning matematik apparati haqida zarur bo'lgan tushunchalarni beramiz.

Bir vaqtning o'zida zarranining koordinata va impulsi aniq qiymatga ega bo'lgan holatlar kvant sohada mavjud emas. Bu holat o'zini aksini nazariyada matematik apparatda ham o'z ifodasini topgan. Kvant mexanikaning matematik apparati klassik mexanikaning apparatidan tubdan farq qiladi. Biz avvalgi bobda zarrani o'rnini qayd qilinishi (topish) ehtimoli va shu holatda bo'lgan zarranining impulsining ehtimolini aniqlash yo'li bilan tanishdik. (11.4) va (11.21) formulalar bizga istalgan funksiyani  $f(x, y, z)$  va  $\phi(p_x, p_y, p_z)$  larga nisbatan o'rtacha qiymatini topishga imkon beradi. Endi fizikaviy kattaliklarni o'rtacha qiymatini topish bilan shug'ullanamiz.

Kvant mexanika mohiyati jihatdan statistik xususiyatiga ega bo'l-gani uchun fizikaviy kattaliklarni qiymatini topish juda katta ahamiyatga ega. Fizikaviy kattaliklarni o'rtacha qiymatini topish uchun avvalgi bobda keltirilgan ikkita fundamental ifodalardan foydalanamiz. Bornning statistik izohiga binoan:

$$dp(x, y, z, t) = |\psi(x, y, z, t)|^2 dV \quad (12.1)$$

$$dp(p_x, p_y, p_z, t) = |c(p_x, p_y, p_z, t)|^2 dp_x dp_y dp_z \quad (12.2)$$

va ehtimollik nazariyasidan

$$\langle r \rangle = \int r dp(x, y, z, t). \quad (12.3)$$

Bu formulularga tayanib, avval  $\psi(x, y, z, t)$  funksiya bilan xarakterlanuvchi zarra holatining  $x$  - koordinatasining o'rtacha qiymatini topamiz:

$$\begin{aligned} \langle x \rangle &= \int x dp(x, y, z, t) = \int x |\psi(x, y, z, t)|^2 dx dy dz = \\ &= \int \psi^*(x, y, z, t) x \psi(x, y, z, t) dx dy dz \end{aligned} \quad (12.4)$$

(12.4) formulani umumlashtirib, zarraning istalgan umumiy  $f(x, y, z)$  koordinatasi uchun

$$\begin{aligned}\langle f(x, y, z) \rangle &= \int f(x, y, z) |\psi(x, y, z, t)|^2 dx dy dz = \\ &= \int \psi^*(x, y, z, t) f(x, y, z) \psi(x, y, z, t) dx dy dz.\end{aligned}\quad (12.5)$$

Endi  $I_x$  – impulsni o'rtacha qiymatini topamiz:

$$\begin{aligned}\langle p_x \rangle &= \int p_x dp_x(p_x, p_y, p_z, t) = \int p_x |c(p_x, p_y, p_z, t)|^2 dp_x dp_y dp_z = \\ &= \int c^*(p_x, p_y, p_z, t) p_x c(p_x, p_y, p_z, t) dp_x dp_y dp_z\end{aligned}\quad (12.6)$$

Xuddi shu kabi erkli  $\phi(p_x, p_y, p_z)$  funksiyaning o'rtacha qiymati

$$\langle \phi(p_x, p_y, p_z) \rangle = \int c^*(p_x, p_y, p_z, t) \phi(p_x, p_y, p_z) c(p_x, p_y, p_z, t) dp_x dp_y dp_z\quad (12.7)$$

(12.5) va (12.7) formulalar ko'rinish jihatdan bir-biriga juda o'xshash, ammo struktura jihatdan ular aslo bir-biriga teng emas.  $f(x, y, z)$  funksiyaning o'rtacha qiymati berilgan  $\psi(x, y, z, t)$  funksiya orqali bevosita topiladi. Lekin impulsning o'rtacha qiymati  $\langle \phi(p_x, p_y, p_z) \rangle$  ni topish uchun  $\psi(x, y, z, t)$  ni de-Broyl to'lqinlari bo'yicha yoyilganda hosil bo'lgan  $c(p_x, p_y, p_z, t)$  koeffitsientlarni bilishga to'g'ri keladi.

Zarra impulsini ifodalovchi funksiyaning o'rtacha qiymatini to'g'ridan-to'g'ri  $\psi$  to'lqin funksiyaning o'zidan topish mumkin emasmikin? Bu savolga ijobiy javob mavjud. Fure integrallari haqidagi teoremlarga asoslanib, isbot qilib o'tirmasdan quyidagi almashtirishni bajaramiz:

$$\langle \phi(p_x, p_y, p_z) \rangle = \int \psi^*(x, y, z, t) \phi\left(-i\hbar \frac{\partial}{\partial x}, -i\hbar \frac{\partial}{\partial y}, -i\hbar \frac{\partial}{\partial z}\right) \psi(x, y, z, t) dx dy dz\quad (12.8)$$

(12.8) ifodadan ko'ramizki,  $\phi(p_x, p_y, p_z)$  impulsning o'rtacha qiymati  $\psi(x, y, z, t)$  orqali bevosita topish uchun,  $\phi$  ning argumentlarini  $\frac{\partial}{\partial x}$ ,  $\frac{\partial}{\partial y}$ ,  $\frac{\partial}{\partial z}$  differensiallarga almashtirib, so'ng ularni  $(-i\hbar)$  ga

ko'paytirib qo'yish kerak. Bu holda (12.8) formuladagi integral ostidagi ifodada differensial olish amali  $\phi$  dan keyin  $\psi$  funksiya uchun amalgalashiriladi.

Masalan, impulsning  $x$  o'qiga nisbatan o'rtacha qiymati quyip qiladi

$$\langle x \rangle = \int x \left( -i\hbar \frac{\partial}{\partial x} \right) \psi(x, y, z, t) dx dy dz =$$

$$= -i\hbar \int \psi^*(x, y, z, t) \frac{\partial \psi(x, y, z, t)}{\partial x} dx dy dz \quad (12.9)$$

Ko'rib turibsizki, endi (12.5) va (12.9) formulalarga bir xil ko'rinish berish mumkin. Buning uchun, impuls proeksiyalarini faqat differensial operatorlar yordamida yozish kifoya.

Agar

$$\hat{p}_x = -i\hbar \frac{\partial}{\partial x}, \quad \hat{p}_y = -i\hbar \frac{\partial}{\partial y}, \quad \hat{p}_z = -i\hbar \frac{\partial}{\partial z} \quad (12.10)$$

operator kirgizsak, u holda (12.8) ni

$$\langle \phi(p_x, p_y, p_z) \rangle = \int \psi^*(x, y, z, t) \phi\left(\hat{p}_x, \hat{p}_y, \hat{p}_z\right) \psi(x, y, z, t) dx dy dz \quad (12.11)$$

ko'rinishda yozsak bo'ladi.

Shundy qilib, biz muhim bir xulosaga kelamiz: zarra impulsiga bog'liq bo'lgan  $\phi(p_x, p_y, p_z)$  erkli funksiyani o'rtacha qiymati  $\psi(x, y, z, t)$  holat funksiyasi orqali topish misollarini yechish uchun  $\phi(p_x, p_y, p_z)$  funksiyani  $\phi\left(\hat{p}_x, \hat{p}_y, \hat{p}_z\right)$  ko'rinishdagi operator funksiya almashtirish kerak.

Bu natijani umumlashtirib kvant mexanikadagi istalgan fizikaviy kattalikni o'rtacha qiymatini topish formulasini yozsa bo'ladi.

Istalgan  $L$  fizikaviy kattalikning (koordinata, harakat miqdori momenti, energiya va bu kattaliklar uchun berilgan istalgan funksiya) o'rtacha qiymati

$$\langle L \rangle = \int \psi^*(x, y, z, t) \hat{L} \psi(x, y, z, t) dx dy dz \quad (12.12)$$

Bunda,  $\psi(x, y, z, t)$  – kvant sistemani holatini xarakterlovchi to'lqin funksiya;  $\hat{L}$  – fizikaviy kattalikni xarakterlovchi operator;  $\langle L \rangle$

–  $L$  kattalikning o'rtacha qiymati. (12.12) formulaga ko'ra, har qanday mexanik kattalikni o'rtacha qiymatini topish uchun, shu kattalikni operatorini bilish kerak degan juda muhim natijaga kelamiz. (12.12) formula kvant mexanikaning eng asosiy formulalaridan biridir. Operatorlar kvant mexanikada fundamental ahamiyatga ega bo'lib, bu tushuncha 1926-yilda Maks Born va Norbert Viner tomonidan kiritilgan.

## 12.2. Operatorlar va ularning xossalari. Chiziqli va ermit operatorlar. Dirak qavslari

Biror funksiyaga mos ravishda boshqa funksiyani hosil qilish qoldasi operator deyiladi. Kvant mexanikada operatorlar harf tepasiga belgi qo'yish bilan yoziladi. Masalan,

$$f = \hat{L} \varphi. \quad (12.13)$$

$\varphi$  – funksiyaga  $\hat{L}$  operator bilan ta'sir qilib,  $f$  – funksiyani yozish mumkin.

Misol uchun  $x^2$  – funksiyadan  $2x$  funksiya hosil qilish  $\frac{d}{dx}$  – differensiallash amali bilan amalgalash oshiriladi, ya'ni

$$2x = \frac{d}{dx}(x^2). \quad (12.14)$$

Biroq kvant mexanikada harqanday operatorlar ham ishlatalavermaydi. Kvant mexanikada qo'llaniladigan operatorlar faqat ikkita xossaga – chiziqli va ermit operatorlar bo'lishi kerak.

$\hat{L}$  – operator chiziqli bo'lishi uchun quyidagi shartga bo'yusunishga majbur:

$$\hat{L}(c_1\varphi_1 + c_2\varphi_2) = \hat{L}c_1\varphi_1 + \hat{L}c_2\varphi_2 = c_1 \hat{L}\varphi_1 + c_2 \hat{L}\varphi_2 = c_1 f_1 + c_2 f_2. \quad (12.14)$$

Bunda  $\varphi_1$  va  $\varphi_2$  – erkli funksiyalar;  $s_1$  va  $s_2$  – erkli o'zgarmas sonlar (doimiy sonlarni operator belgisidan tashqariga chiqarib yozish mumkin). (12.14) xossaladan ko'rib turibsizki,  $\sqrt{\phantom{x}}$  – ildiz chiziqli operator bo'la olmaydi, aksincha  $\frac{d}{dx}$  esa chiziqli operatorlardir. Kvant fizika kada operatorlarni chiziqli bo'lishi xossasi holatlarni superpozitsiya prinsipini aks etadi.

Chiziqli operator o'ziga qo'shma yoki ermit operatori bo'lishi uchun quyidagi integral tenglik bajarilishi kerak.

$$\int \varphi_1(x) \hat{L} \varphi_2(x) dx = \int \varphi_2(x) \hat{L} \varphi_1(x) dx. \quad (12.15)$$

(12.15) tenglikdagi harflar tepasidagi «yulduzcha» belgisi bu harflar o'ziga qo'shma ekanligini xarakterlaydi. Integral  $x$  – o'zgaruvchilarni barcha sohasiga nisbatan olinadi.  $\varphi_1$  va  $\varphi_2$  – ikkita erkli funksiya (ular integrallash xususiyatga ega bo'lishi va integrallash chegarasida hosilasi nolga teng bo'lishi kerak). Agar o'zgaruvchilar ko'p bo'lsa, u holda  $dx$  deganda  $dxdydz\dots$  ni tushunish kerak.

Operatorlarni ermit xossasi bevosita fizikaviy kattaliklarni haqiqiy kattalik ekanligini aks ettiradi.

(12.15) xossani  $\hat{p}_x = -i\hbar \frac{\partial}{\partial x}$  impuls operatori misolida tushuntiraylik.

$x$  Dekart koordinatasiga bog'liq bo'lgan ikkita erkli  $\varphi_1(x)$  va  $\varphi_2(x)$  funksiya berilgan bo'lsin.  $x \rightarrow \pm\infty$  da  $\varphi_1(\pm\infty) = \varphi_2(\pm\infty) = 0$ . (12.15)

formulaning chap qismidagi integral ostidagi  $\hat{L}$  ni o'miga  $\hat{p}_x$  ni qo'yamiz va bo'laklab integrallash xossasidan foydalaniib, quyidagini topamiz:

$$\begin{aligned} \int_{-\infty}^{\infty} \hat{p}_x \varphi_2 dx &= (-i\hbar) \int_{-\infty}^{\infty} \varphi_1 \frac{\partial \varphi_2}{\partial x} dx = (-i\hbar) \left[ \varphi_1(x) \varphi_2(x) \right]_{-\infty}^{\infty} - \int_{-\infty}^{\infty} \varphi_2 \frac{\partial \varphi_1}{\partial x} dx \\ &= -i\hbar \int_{-\infty}^{\infty} \varphi_2 \frac{\partial \varphi_1}{\partial x} dx = \int_{-\infty}^{\infty} \varphi_2 \hat{p}_x \varphi_1 dx \end{aligned}$$

Demak,  $\hat{p}_x$  – impuls operatori ham chiziqli, ham ermitdir. Impuls operatori haqiqiy kvant mexanik operatorordir.

Yana bir misolni ko'raylik:  $\frac{d}{dx}$  – differensial operatori ermit operatori bo'la oladimi? Bu savolga javob berish uchun (12.15) formuladan foydalananamiz.

$$\int_{-\infty}^{\infty} \varphi_1 \frac{d}{dx} \varphi_2 dx = \int_{-\infty}^{\infty} \varphi_1 d\varphi_2 = \varphi_1 \varphi_2 \Big|_{-\infty}^{\infty} - \int_{-\infty}^{\infty} \varphi_2 d\varphi_1 = - \int_{-\infty}^{\infty} \varphi_2 \frac{d}{dx} \varphi_1$$

Demak,

$$\int_{-\infty}^{\infty} \varphi_1 \frac{d}{dx} \varphi_2 dx \neq \int_{-\infty}^{\infty} \varphi_2 \frac{d}{dx} \varphi_1$$

Shunday qilib,  $\frac{d}{dx}$  – differensial operator chiziqli operator, lekin ermit emas.  $i$  – mavhum sonni kvant mexanikada o'rnini juda katta, agarda  $i \frac{d}{dx}$  operatorini olsak, u ermit operatori bo'lib qoladi. Buni o'zingiz mustaqil ravishda isbot qiling.

Odatda,  $\int \varphi_1 \hat{L} \varphi_2 dx$  va  $\int \varphi_1 \varphi_2 dx$  ifodalarni ixcham shaklda yoziladi. Buning uchun Pol Dirak kiritgan kvant qavslari  $\langle \varphi_1 | L | \varphi_2 \rangle$  va  $\langle \varphi_1 | \varphi_2 \rangle$  dan foydalilanadi. Agar funksiya birdan-bir indeks bilan xarakterlansa, Dirak qavslari faqat shu indekslar bilan ko'rsatiladi.

Masalan,

$$\int \varphi_n L \psi_m dx = \langle n | L | m \rangle. \quad (12.16)$$

Ermit xossasini Dirak qavslari orqali quyidagicha yozish mumkin:

$$\left\langle \varphi_1 | \hat{L} | \varphi_2 \right\rangle = \left( \left\langle \varphi_2 | \hat{L} | \varphi_1 \right\rangle \right)^* \quad (12.17a)$$

yoki

$$\left\langle n | \hat{L} | m \right\rangle = \left( \left\langle m | \hat{L} | n \right\rangle \right)^* \quad (12.17b)$$

$$\int \psi_m^* \psi_n dx = \langle m | n \rangle \quad (12.18)$$

shaklda yozish mumkin.

### 12.3. Kommutativ va nokommutativ operatorlar

Bizga bir nechta operatorlar berilgan bo'lsa, ular orqali boshqa murakkab operatorlarni yasash mumkin. Oddiy operatorlar yordamida boshqa murakkab operator tuzish yo'lini bir nechta algebraik qoidalar orqali ifodalash mumkin.

Ikkita, chiziqli va ermit bo'lgan  $\hat{A}$  va  $\hat{B}$  operator berilgan bo'lsin. Bu operatorlarni yig'indisi  $\hat{C}$  ni quyidagicha topamiz:

$$\hat{C} \psi = \hat{A} \psi + \hat{B} \psi. \quad (12.19)$$

Misol uchun, agar  $\hat{A} = i \frac{\partial}{\partial x}$  va  $\hat{B} = x$  bo'lsa, (12.19) qoidaga ko'ra

$$\hat{C} = i \frac{\partial}{\partial x} + x. \quad (12.20)$$

Endi operatorlarni bir-biriga ko'paytirish amalini ko'raylik.  $\hat{A}$  operatorni  $\hat{B}$ -operatororga ko'paytirganda  $\hat{C}$ -operatorni hosil bo'lishi

$$\hat{C} \psi = \hat{A} \left( \hat{B} \psi \right) \quad (12.21)$$

ko'rinishida ifodalanadi. (12.21) ga ko'ra  $\psi$ -funksiyaga avval  $\hat{B}$  operatorini ta'sir ettirib, so'ng hosil bo'lgan natijaga,  $\hat{A}$  operatorni ta'sir ettirish kerak. Simvolik jihatdan bu

$$\hat{C} = \hat{A} \hat{B} \quad (12.22)$$

ko'rnishida bo'ladi.

Misol: agar  $\hat{A} = i \frac{\partial}{\partial x}$ ,  $\hat{B} = x$  bo'lsa, u holda

$$\hat{C} \psi = \hat{A} \left( \hat{B} \psi \right) = i \frac{\partial}{\partial x} (x \psi) = i \psi + ix \frac{\partial \psi}{\partial x}$$

bundan

$$\hat{C} = i + ix \frac{\partial}{\partial x} = i \left( 1 + x \frac{\partial}{\partial x} \right).$$

Qizig'i shundaki, operatorlarning ko'paytirish amali ularni qanday tartibda ko'paytirishga bog'liq. Masalan,

$$\hat{C}' \psi = \hat{B} \left( \hat{A} \psi \right) = ix \frac{\partial \psi}{\partial x},$$

ya'ni

$$\hat{C}' = ix \frac{\partial}{\partial x}.$$

Shuning uchun agar  $\hat{A}$  va  $\hat{B}$ - operatorlar berilgan bo'lsa,  $\hat{C}$  ko'rnishidagi ko'paytmadan boshqa

$$\hat{C}' = \hat{B} \hat{A} \quad (12.23)$$

ko'paymani hosil qilish mumkin.

Yuqorida qayd qilingan qoidalar yordamida operatorlar ustida qo'shish, ayirish, ko'paytirish va bo'lish amallarini bajarish mumkin. Bu amallar xuddi oddiy algebradagi amallarga o'xshab qilinadi, biroq bir narsani unutmaslik kerak, operatorlar bilan ish ko'rganda ko'paytiruvchilarni joylashish tartibini o'zgartirmaslik kerak.

Masalan,

$$\hat{C} = \left( \hat{A} - \hat{B} \right) \left( \hat{A} + \hat{B} \right) = \hat{A}^2 + \hat{A} \hat{B} - \hat{B} \hat{A} + \hat{B}^2.$$

Lekin

$$\hat{C} \neq \hat{A}^2 - \hat{B}^2$$

deb yozish o'rinali bo'lmaydi.

Ko'paytiruvchilarni joylashish tartibini o'zgartirmasdan amallar bajaradigan algebra *nokommutativ kattaliklar algebrasi* deyiladi.

Agar  $\hat{C}$  va  $\hat{C}'$  ko'paytmalar teng bo'lsa, u holda

$$\hat{A} \hat{B} - \hat{B} \hat{A} = 0. \quad (12.24)$$

Bunda  $\hat{A}$  va  $\hat{B}$  operatorlar *kommutativ operatorlar*, aksincha *no-kommunitiv operatorlar* deyiladi.

Masalan,

$$\hat{A} \hat{B} - \hat{B} \hat{A} = \hat{F} \quad (12.25)$$

nokommunitiv bo'lgani uchun  $\hat{A}$  va  $\hat{B}$  operatorlar *nokommunitiv yoki antikommunitiv operatorlar* deyiladi.

Demak, (12.25) ni

$$\hat{A} \hat{B} \neq \hat{B} \hat{A} \quad (12.26)$$

ko'rinishda ham yozish mumkin.

Odatda,  $\hat{A}$  va  $\hat{B}$  operatorlar kommutativ bo'lsa, ularning kommutatorlarini

$$[\hat{A}, \hat{B}] = \hat{A} \hat{B} - \hat{B} \hat{A} = 0 \quad (12.27)$$

ko'rinishida ham beriladi.

Keyingi boblarda kvant mexanik operatorlarni ba'zi birlarini kommutativlik va nokommunitativlik xossalari bilan tanishamiz.

#### **12.4. Fizikaviy kattalikning o'rtacha qiymati va o'rtacha kvadratik og'ishini hisoblash**

Kvant mexanikada operatorlarni qo'llanishidan bosh maqsad har bir L mexanik kattalik uchun kvant mexanikada unga mos kelgan

chiziqli o'ziga qo'shma  $\hat{L}$  operator qo'yiladi va u simvolik ko'rinishda

$$L \rightarrow \hat{L}$$

yoziladi. U yoki bu operator qaysidir bir fizikaviy kattalikni tasvirlaydi, bu operator shu kattalikni xossalari va uning kuzatish yo'llarini

xarakterlaydi.  $\hat{L}$  – operator bilan xarakterlanadigan kvant kattalikni xossalari klassik kattalik L ni xossalariiga o'xshash bo'lsa, u holda ikkala kattalik uchun ham bir xil nom ishlataladi.

Masalan,  $L = L(\vec{p}_x, \vec{p}_y, \vec{p}_z, x, y, z)$  funksiya bilan ifodalanuvchi klassik kattalik L berilgan bo'lsa, kvant mexanikada unga mos kelgan impuls operatorni

$$\hat{L} = L\left(\hat{\vec{p}}_x, \hat{\vec{p}}_y, \hat{\vec{p}}_z, x, y, z\right)$$

ko'rinishda bo'ladi.  $\hat{L}$  – kvant operator kvant mexanikadagi  $L(p_x, p_y, p_z, x, y, z)$  kattalikni xossalalariga o'xshashdir.

Operatorlar bilan o'lchanadigan kattalik orasidagi o'zaro bog'lanish  $L$  – kattalikni o'rtacha qiymatini ifodalovchi formulalar yordamida bajariladi.

$L$  – kattalikni o'rtacha qiymati  $\langle L \rangle$  ni ifodalovchi (12.12) formulani qayta quyidagi ko'rinishda yozamiz:

$$\langle L \rangle = \int \psi^*(x) \hat{L} \psi(x) dx. \quad (12.12)$$

bunda ham  $x$  deganda barcha o'zgaruvchilar to'plami tushuniladi.  $dx$  esa  $dxdydz$  – hajmni xarakterlaydi.

(12.12) formula juda ham muhim ahamiyatga ega bo'lgani uchun uni o'lhash natijalarini statistik tahlil qilish g'oyasida izohlaymiz.

$\psi(x)$  funksiya kvant ansamblni tasvirlasa, u holda  $L$  – fizikaviy kattalik ko'p marta qayta-qayta o'lchanadigan fizikaviy kattalikdir. Bu

$L$  – kattalik ermit operatori  $\hat{L}$  ga mos qo'yiladi va (12.12) formula yordamida  $\langle L \rangle$  kattalik hisoblanadi. Ana shu qiymat o'lhash natijalarini statistik tahlilda olingan o'rtacha qiymatiga mos tushadi.

Fizikaviy kattalikning o'rtacha qiymatini tavsiflovchi ermit operatori haqiqiydir, ya'ni

$$\langle L \rangle = \langle L \rangle^* \quad (12.28)$$

Buni quyidagicha isbot qilamiz.

(12.12) formuladagi o'rtacha qiymatni ikkala tomoniga kompleks qo'shma operatsiyani qo'llab, shuningdek, (12.15) ifodadagi  $\varphi_2 = \psi$ ,  $\varphi_1 = \psi^*$  almashtirishlar qilib

$$\langle L \rangle^* = \left( \int \psi^*(x) \hat{L} \psi(x) dx \right)^* = \int \psi(x) \hat{L}^* \psi^*(x) dx = \int \psi^*(x) \hat{L} \psi(x) dx = \langle L \rangle$$

formulani hosil qilamiz.

$\psi$  holatdagi  $L$  kattalikning o'rtacha qiymati uning to'la statistik tavsifini bermaydi. Bu kattalik haqidagi aniqroq ma'lumotni uning dispersiyasi  $\langle (\Delta L)^2 \rangle$  beradi. Bu qiymat alohida o'lchangان natijalarini o'rtacha o'rta qiymatdan qanchaga og'ishganligini xarakterlaydi. Klassik mexanikada o'rtacha kattalikdan og'ishish  $\Delta L = L - \langle L \rangle$  formula bilan ifodalanadi. Unga mos operator

$$\Delta \hat{L} = \hat{L} - \langle L \rangle \quad (12.29)$$

kabi olinadi. Og'ishish kvadrati (dispersiya)  $\Delta L^2 = (L - \langle L \rangle)^2$  bo'lgani uchun unga mos kelgan operator

$$(\Delta \hat{L})^2 = (\hat{L} - \langle L \rangle)^2 \quad (12.30)$$

orqali beriladi. O'rtacha qiymatni xarakterlovchi (12.12) formulaga binoan

$$\langle (\Delta L)^2 \rangle = \int \psi^*(x) (\Delta \hat{L})^2 \psi(x) dx. \quad (12.31)$$

Shunday qilib,  $\hat{L}$ -operator ma'lum bo'lsa, u holda  $\langle (\Delta L)^2 \rangle$  ni hisoblash mumkin.  $\langle L \rangle$  - haqiqiy kattalik bo'lgani uchun  $\Delta \hat{L}$ -operator ermitdir. Shu bois (12.15) formuladan foydalanib, unda  $\varphi_1 = \psi$  va  $\varphi_2 = \Delta \hat{L} \psi$  almashtirishlar kiritib,

$$\begin{aligned} \langle (\Delta L)^2 \rangle &= \int \psi^*(x) (\Delta \hat{L})^2 \psi(x) dx = \int \psi^* \Delta \hat{L} (\Delta \hat{L} \psi) dx = \\ &= \int (\Delta \hat{L} \psi) (\Delta \hat{L} \psi^*) dx = \int (\Delta \hat{L} \psi) (\Delta \hat{L} \psi)^* dx = \int |\Delta \hat{L} \psi|^2 dx \end{aligned} \quad (12.32)$$

ifodani hosil qilamiz. Bunda  $|\Delta \hat{L} \psi|^2 \geq 0$  bo'lgani uchun (12.32) dan

$$\langle (\Delta L)^2 \rangle \geq 0 \quad (12.33)$$

ekanligi kelib chiqadi. Boshqacha aytganda, kvadratik og'ishish doimo musbat yoki nolga teng.

Shunday qilib, kvant mexanikadagi eng muhim formula bu – fizikaviy kattalikning o'rtacha qiymati yoki boshqacha aytganda, fizikaviy kattaliklarni matematikaviy kuzatishni aniqlashdir. Umuman olganda, kvant mexanikada o'rtacha qiymat (12.12) formula bilan ifodalanadi. Agar  $\langle (\Delta L)^2 \rangle = 0$  bo'lsa,  $L$ -kattalik aniq qiymatga ega bo'ladi. (12.12) formulani yozganda biz  $\psi$ -funksiyani birga normalanganligini nazarda tutgan edik. Agar  $\psi$ -funksiya normalanmagan bo'lsa, u holda o'rtacha qiymat

$$\langle L \rangle = \frac{\int \psi^*(x) \hat{L} \psi(x) dx}{\int \psi^*(x) \psi(x) dx} \quad (12.34)$$

formula bilan aniqlanadi. Ko'rib turibsizki, kvant mexanikada barcha fizikaviy kattaliklar aniq berilgan bo'lishi mumkin. Ammo hammasi bir paytda emas.

### 12.5. Xususiy qiymat va xususiy funksiya. Operatorlarning diskret va tutash spektri

Avvalgi banddag'i  $\langle L \rangle$ -o'rtacha qiymat va  $\langle (\Delta L)^2 \rangle$  o'rtacha kvadratik og'ishish formulalari alohida o'lchangan fizikaviy kattaliklarni qanday qiymatga ega bo'lishi haqida hech narsa demadi. Fizikaviy kattaliklarni xarakterlovchi  $L$  qachon bitta qiymatga ega bo'ladi? Endi ana shu hol haqida ma'lumot beramiz.  $L$  aniq birt qiymatga ega bo'lganda dispersiya  $\langle (\Delta L)^2 \rangle = 0$ . Shu bois (12.32) formulaga asosan bu holatlar uchun

$$\int \left| \Delta \hat{L} \psi_L \right|^2 dx = 0 \quad (12.35)$$

integral ostidagi ifoda doimo musbat bo'lgani uchun (12.35) dan

$$\int \left| \Delta \hat{L} \psi_L \right|^2 = 0$$

ekanligi kelib chiqadi. Agar sonning o'zi nolga teng bo'lsa, u holda kompleks sonning moduli ham nolga teng. Demak,

$$\Delta \hat{L} \psi_L = 0$$

yoki (12.13) formuladagi  $\Delta \hat{L}$  -operatorning qiymatini nazarda tutsak, qaralayotgan holat uchun  $\langle L \rangle = L$  bo'lsa, u holda

$$\hat{L} \psi_L(x) = L \psi_L(x) \quad (12.36)$$

ko'rinishdagi ifoda hosil bo'ladi. (12.36) tenglama chiziqli bo'lganligi uchun  $\hat{L}$  -operator bilan tasvirlanuvchi kattalik  $L$  yagona qiymatga ega bo'ladi. Ko'p hollarda  $\hat{L}$  -operator differential operator bo'ladi. Shuning uchun (12.36) ifoda *chiziqli bir jinsli differentzial tenglamadir*.

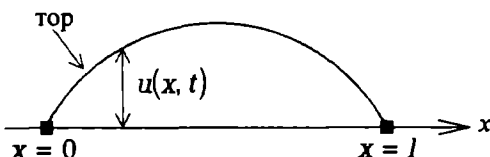
Differensial tenglamalarni yechimi bo'lishi uchun chegaraviy shartlar bo'lishi kerak.

Berilgan chegaraviy shartlarda chiziqli differensial tenglamalar ( $\hat{L}\psi = L\psi$ ) notrivial (noldan farqli) yechimga ega. Umuman olganda  $L$ -parametrning barcha qiymatlarida emas, balki tanlangan ayrim qiymatlarida, ya'ni  $L=L_1, L_2, L_3, \dots, L_n, \dots$  yechimga ega bo'lishi mumkin. Unga mos kelgan yechimlar  $\psi_1, \psi_2, \psi_3, \dots, \psi_n, \dots$  xususiy funksiyalar,  $L_1, L_2, L_3, \dots, L_n, \dots$  - qiymatlar esa xususiy qiymatlar deyiladi.

Xususiy funksiyalar va xususiy qiymatlar masalasini yaxshi tushunish maqsadida matematik fizika fanidan bitta masala keltiramiz. Erkin tebranayotgan bir jinsli tor (masalan, rubob simi) ni tenglamasi

$$\frac{\partial^2 u(x, t)}{\partial t^2} = k^2 \frac{\partial^2 u(x, t)}{\partial x^2} \quad (12.37)$$

ko'rinishda bo'ladi. Bunda,  $u(x, t)$  tor nuqtalarini  $t$ -vaqt momentida muvozanat holatdan siljishi (12.1-rasm),  $k$  - doimiy kattalik.



12.1-rasm.

Tor ikkala tomondan mahkamlangan bo'lgani uchun  $u(x, t)$  ning qiymati  $x=0$  va  $x=l$  da nolga teng:

$$u|_{x=0} = 0 \text{ va } u|_{x=l} = 0 \quad (12.38)$$

(12.38) shartlar chegaraviy shartlar deyiladi. Bundan tashqari, boshlang'ich shartlar ham berilgan bo'lishi kerak. Lekin biz qarayotgan masalada u kerak bo'lmaganligi sababli uni keltirib o'tirmadik. (12.37) tenglamaning yechimini

$$u(x, t) = X(x)T(t) \quad (12.39)$$

ko'rinishda topamiz.

(12.39) ni (12.37) ifodaga qo'ysak:

$$X \frac{\partial^2 T}{\partial t^2} = k^2 T \frac{\partial^2 X}{\partial x^2} \text{ yoki } \frac{1}{k^2} \frac{\left( \frac{\partial^2 T}{\partial t^2} \right)}{T} = \frac{\left( \frac{\partial^2 X}{\partial x^2} \right)}{X}$$

ni hosil qilamiz. Bu tenglikning chap tomonidagi ifoda faqat  $t$  ga, o'ng tomonidagi ifoda esa faqat  $x$  ga bog'liq. Bunday bo'lishi uchun tenglamani ikkala qismi ham  $x$  ga, ham  $t$  ga bog'liq bo'lmasganda, ya'ni biror qandaydir doimiy songa teng bo'lganda yuz berishi mumkin. Shu kattalik  $s$  bo'lsin. U holda

$$\frac{\partial^2 T}{\partial t^2} + k^2 c T = 0 \quad (12.40a)$$

$$\frac{\partial^2 X}{\partial x^2} + c X = 0 \quad (12.40b)$$

differensial tenglamalarni olamiz.

(12.40) tenglamani notrivial yechimlarini topamiz. (12.38) shartga ko'ra, chegaraviy shartlar

$$X|_{x=0} = X|_{x=l} = 0 \quad (12.41)$$

ko'rinishda bo'ladi.

Provardida (12.40b) tenglamani notrivial yechimini hosil qiluvchi va (12.41) chegaraviy shartni qanoatlantiruvchi  $s$  parametrni topish masalasiga kelamiz.  $s$  parametmi *qiymatlari xususiy*, unga mos kelgan yechimlarini (12.41) tenglananing *xususiy funksiyalari* deyiladi. Notrivial yechimlar  $s > 0$  da mavjud bo'lib, u holda (12.40b) ni yechimi

$$X(x) = B_1 \cos(\sqrt{c}x) + B_2 \sin(\sqrt{c}x)$$

ko'rinishda bo'lishi mumkin. (12.41) chegaraviy shartga binoan

$$X(0) = B_1 \cdot 1 + B_2 \cdot 0 = 0$$

va

$$X(l) = B_2 \sin(\sqrt{c}l) = 0.$$

Bundan

$$\sin(\sqrt{c}l) = 0, \quad l\sqrt{c} = k\pi \quad (k = 0, \pm 1, \pm 2, \dots).$$

Demak, masalani notrivial yechimlari

$$c_k = \left( \frac{k\pi}{l} \right)^2 \quad (12.42)$$

da, ya'ni  $C_k$  ni faqat «tanlangan» qiymatlarida o'rindadir.

Kvant mexanikadagi xususiy qiymatlar va xususiy funksiyalarni topish masalasi xuddi shunga o'xshash.

Haqiqatan ham (12.36) tenglama yordamida so'ralayotgan xossaga ega bo'lgan  $\psi_L$ -funksiyani topishni to'g'ri yo'lini beradi.  $\psi_L$ -funksiya bilan tavsliflanuvchi holatning o'rtacha qiymati

$$\langle L \rangle = \int \psi_L^\dagger \hat{L} \psi_L dx = \int \psi_L^\dagger L \psi_L dx = L \int |\psi_L|^2 dx = L. \quad (12.43)$$

Bu formulani keltirib chiqarishda biz (12.36) formuladan va to'lqin funksiyani normalash shartidan foydalandik. (12.36) tenglamani qanday qo'llanilishni bilish maqsadida bitta misol keltiraylik.  $p_x = p_0$  impuls bilan harakatlanayotgan zarrani to'lqin funksiyasini topish uchun quyidagicha yo'l tutamiz. (12.36) tenglamadagi  $\hat{L}$ - operator o'rniga  $\hat{p}_x = -i\hbar \frac{\partial}{\partial x}$  - impuls proeksiyasining operatorini qo'yamiz,  $L$ - parametr sifatida  $p_0$  kattalikni olamiz, ya'ni

$$-i\hbar \frac{\partial \psi_{p_0}(x)}{\partial x} = p_0 \psi_{p_0}(x). \quad (12.44)$$

(12.44) tenglamaning yechimi

$$\psi_{p_0}(x) = A \exp\left[\frac{ip_0 x}{\hbar}\right] \quad (12.45)$$

ko'rinishda bo'lib, u monoxromatik de-Broyl to'lqininining  $x$  ning musbat qiymatlari yo'nalishida harakat qilayotgan yugurma to'lqinning fazoviy qismini xarakterlaydi. Erkli yo'nalishga ega bo'lgan  $\vec{p}$  impulsga ega bo'lgan zarra uchun (12.44) tenglamani

$$-i\hbar \nabla \psi_{\vec{p}_0}(\vec{r}) = \vec{p}_0 \psi_{\vec{p}_0}(\vec{r}) \quad (12.46)$$

ko'rinishda yozamiz.  $\vec{p}_0$  impulsga ega bo'lgan erkin zarraning to'lqin funksiyasi

$$\psi_{\vec{p}_0}(\vec{r}) = A \exp\left[\frac{i\vec{p}_0 \cdot \vec{r}}{\hbar}\right] \quad (12.47)$$

bilan ifodalanadi.

Fizikaviy kattalikni mumkin bo'lgan qiymatlari to'plamiga spektr deyiladi. Spektr diskret, polosali (tasmalni yoki yo'l-yo'l) va tutash bo'lishi mumkin. Agar  $L_n$  xususiy qiymat va uning har bir qiymati  $L_1, L_2, L_3, \dots, L_n, \dots$  ga mos ravishda  $\psi_1, \psi_2, \psi_3, \dots, \psi_n, \dots$  xususiy funksiyalar mos kelsa, spektr diskret deyiladi, ya'ni

$$\begin{array}{ccc} \psi_1 & \psi_2 & \psi_n \\ \Downarrow & \Downarrow & \Downarrow \\ L_1 & L_2 & L_n \end{array}$$

Agar spektr ayrim polosalardan (tasmalardan) tashkil topgan bo'lsa, ya'ni  $L$  ni mumkin bo'lgan qiymatlari  $L_1 \leq L \leq L_2, L_3 \leq L \leq L_4$  va umuman olganda  $L_n \leq L \leq L_{n+1}$ , sohada yotsa, u holda bu spektrga polosali.

(yo'l-yo'l) spektr deyiladi. Agar spektrdagи L ning barcha qiymatlari o'rinni bo'lsa, u holda tutash spektr hosil bo'ladi.

$$\begin{array}{ccccccc} \Psi_1, & \Psi_2, & & \Psi_{n-1}, & \Psi_n, & \underbrace{\Psi_{n-1}, \dots, \Psi_{n+1}}_{\hat{L}_{n+1}}, & \dots \\ \Downarrow & \Downarrow & & \Downarrow & & \Downarrow & \\ L_1, & L_2, & & L_{n-1}, & L_n, & & \end{array}$$

Spektrning mumkin bo'lgan qiymatlari diskret ko'rinishga ega bo'lsa, u holda bu kattalik kvantlangan qiymatlarga ega bo'ladi.

## 12.6. Operatordi xususiy qiymatlari va xususiy funksiyalarining xossalari

Diqqatingizni ermit operatorlarining xususiy funksiyalarini asosiy alomatlariga jalb qilamiz. Avval diskret spektr uchun ko'raylik. Fizikkaviy kattalikni diskret spektr uchun xususiy qiymatlar va xususiy funksiyalar tenglamasi quyidagicha yoziladi:

$$\hat{L} \psi_n = L_n \psi_n. \quad (12.48)$$

Bu formuladagi  $n$ -indeks  $\hat{L}$ -operatordi xususiy qiymatlar va xususiy funksiyalarini ketma-ketligini xarakterlaydi. Matematikadan yaxshi bilamizki, erkli  $\varphi_1$  va  $\varphi_2$  funksiyalar ortogonal bo'lishi uchun

$$\int \varphi_1(x) \varphi_2(x) dx = 0 \quad (12.49)$$

shart bajarilishi kerak.

$L_n$  va  $L_m$  - xususiy qiymatlarga tegishli bo'lgan  $\hat{L}$ -operatordi  $\psi_n$  va  $\psi_m$  - xususiy funksiyalari ham o'zaro ortogonaldir:

$$\int \psi_n(x) \psi_m(x) dx = 0. \quad (12.50)$$

Bunda,  $m \neq n$ ,  $\psi_n$  va  $\psi_m$  funksiyalar xususiy bo'lgani uchun, ular

$$\hat{L} \psi_n = L_n \psi_n \quad (12.51a)$$

va

$$\hat{L} \psi_m = L_m \psi_m \quad (12.51b)$$

tengliklarning yechimidir.

(12.51a) tenglamaning kompleks qo'shmasi

$$\hat{L} \psi_m = L_m \psi_m. \quad (12.52)$$

Eslatamizki,  $L_m = \dot{L}_m$ .

(12.51b) ni chapdan  $\psi_n$  ga, (12.52) ni esa chapdan  $\psi_m$  ga ko'paytiramiz, so'ngra birinchidan ikkinchisini ayiramiz:

$$\psi_n \hat{L} \psi_m - \psi_m \hat{L} \psi_n dx = (L_m - L_n) \int \psi_n \psi_m dx. \quad (12.53)$$

Barcha o'zgaruvchilar sohasida (12.53) formuladagi ikkala tomonni ham integrallasak,

$$\int \psi_n \hat{L} \psi_m dx - \int \psi_m \hat{L} \psi_n dx = (L_m - L_n) \int \psi_n \psi_m dx \quad (12.54)$$

hosil bo'ladi.  $\hat{L}$ -operator ermit bo'lgani sababli (12.54) tenglikni chap qismi nolga teng (bunga ishonch hosil qilish uchun (12.15) formuladagi  $\varphi_1 = \psi_n$  va  $\varphi_2 = \psi_m$  deb yozish kerak).

Demak,

$$(L_m - L_n) \int \psi_n \psi_m dx = 0. \quad (12.55)$$

Bundan chiqadiki,  $L_m \neq L_n$  bo'lgani uchun ham (12.50) shart o'rinnlidir.

**To'lqin funksiyani normalash.** Odatda, xususiy to'lqin funksiyalar erkin ko'paytma ko'rinishdagi aniqlikda topiladi. Bu ko'paytmani aniqlab olish uchun xususiy to'lqin funksiyalar birga normallanadi, ya'ni

$$\int \psi_n(x) dx = \int \psi_n^*(x) \psi_n(x) dx = 1 \quad (12.56)$$

(12.50) va (12.56) xossalarni bitta yagona formula ko'rinishida yozish mumkin:

$$\int \psi_n^*(x) \psi_m dx = \delta_{nm}. \quad (12.57)$$

Bunda,  $\delta_{nm}$  – Kronekerning delta-simvoli deyiladi:

$$\delta_{nm} = \begin{cases} 1, & \text{agar } n = m \text{ bolsa,} \\ 0, & \text{agar } n \neq m \text{ bolsa.} \end{cases} \quad (12.58)$$

(12.57) shartni qanoatlanuvchi funksiyaga ortogonal va normallangan funksiya yoki qisqacha ortonormalangan funksiya deyiladi.

Xususiy qiymatlarning uzluksiz (tutash) spektri. Agar  $\hat{L}$ -operatorini xususiy qiymatlari uzluksiz bo'lsa, u holda yuqoridagi teoremani bu hol uchun bevosita ishlatalib bo'lmaydi. Ammo bu holda ham ermit operatorining xususiy qiymatlari haqiqiy bo'ladi. Shuning xususiy funksiyalar va xususiy qiymatlar uchun

$$\hat{L} \psi_L(x) = L \psi_L(x) \quad (12.59)$$

tenglamani yozsak bo'ladi. Bunda  $\psi_L(x)$  funksiya  $L$  parametrga bog'liq. Uzluksiz spektr uchun (12.50) ortogonallik sharti o'rini, ya'ni

$$\int \psi_L(x) \psi_{L'}(x) dx = 0, \quad L \neq L' \quad (12.60)$$

Biroq yuqorida aytganimizdek, uzlusiz spektrning xususiy funktsiyalarini diskret spektrdagи kabi birga normallab bo'lmaydi, chunki uzlusiz spektr uchun xususiy funksiya modulining kvadrati cheksizlikka teng bo'lib qoladi:

$$\int \psi_L(x) \psi_L(x) dx = \infty, \quad L = L' \quad (12.61)$$

Shuning uchun uzlusiz spektrni normallash uchun Dirakning *delta-funksiyasidan* foydalaniladi.

$$\delta(L) = \begin{cases} 0, & \text{agar } L \neq 0 \text{ bo'lsa,} \\ \infty, & \text{agar } L = 0 \text{ bo'lsa.} \end{cases} \quad (12.62)$$

**Xususiy funksiyalar sistemasining to'laligi.** Matematikada operatorlarni xususiy funksiyalar sistemasi to'la sistema hosil qilishi bilan hosil qilinadi. Bu degani istalgan  $\psi(x)$  ni berilgan o'zgaruv-chilar sohasida xususiy funksiyalari bo'yicha qatorga yoyish mumkin ekanligini bildiradi:

$$\psi(x) = \sum_n c_n \psi_n(x). \quad (12.63)$$

Bunda,  $c_n$ -doimiy, umumiyl holda kompleks bo'lib yoyishning koeffitsieyntlari, ya'ni xususiy holatlarning amplitudalari deb, qarasa bo'ladi.

$\psi_n$  funksiyani (12.57) xossaladan foydalanib,  $c_n$  yoyilish koeffitsiyentini topish mumkin. Shu maqsadda (12.63) ifodani  $\psi_m$  ga ko'paytiramiz va barcha o'zgaruvchilar sohasida integrallaymiz:

$$\int \psi_m(x) \psi(x) dx = \sum_n c_n \int \psi_m(x) \psi_n(x) dx. \quad (12.64)$$

$\psi_n$  funksiyani ortonormalash xossasiga binoan o'ng tomonidagi integral  $\delta_{nm}$ -delta simvolga teng. (12.58) ga ko'ra

$$\int \psi_m(x) \psi(x) dx = \sum_n c_n \delta_{nm} = c_m$$

Bu ifodadagi  $t$ -indekslarni  $p$ -indekslarga almashtirsak,

$$c_n = \int \psi_m(x) \psi(x) dx \quad (12.65)$$

natijaga kelamiz.

Shunday qilib, yoyilish koeffitsiyenti  $c_n$  ni topish uchun dastlabki  $\psi(x)$  funksiyani, xususiy holatini ifodalovchi biror  $\psi_n(x)$  funksiyani kompleks qo'smasiga ko'paytirib barcha o'zgaruvchilar sohasi bo'yicha integralini olish kerak. Odatda, (12.65) ifodaga *qoplanish integrali (integral perekrytya)* ham deyiladi.

Uzluksiz spektrni xususiy funksiyalari uchun (12.65) yig'indi o'rni-ga olinadi.

$$\psi(x)_n = \int c(L)\psi_L(x)dL. \quad (12.66)$$

bunda,  $c(L)$  – funksiya,  $L$  – parametr bo'yicha uzluksiz o'zgaradi.

Bu hol uchun yoyilish koeffitsiyenti  $c(L)$ :

$$c(L) = \int \psi_L(x)\psi(x)dx. \quad (12.67)$$

Istalgan funksiyani (12.63) va (12.66) ko'rinishda spektrlarning xususiy formulalari bo'yicha yoyish kvant mexanikada fundamental rol o'ynaydi. Bu ifodalar har qanday holat funksiyasi  $\psi_x$  ni  $L$  fizikaviy kattalikning muayyan qiymatini tegishli bo'lgan holatlarni superpozitsiya ko'rinishida yozish imkoniyatini beradi.

### 12.7. O'lhash natijalari ehtimolini hisoblashning umumiy kvant-mexanik metodi

Yuqorida biz  $\hat{L}$ -operator bilan ta'sirlanadigan istalgan fizikaviy kattalikni o'rtacha qiymati  $\langle L \rangle$  ni va bu kattalikni mumkin bo'lgan

$L_1, L_2, \dots, L_n$  qiymatlarini topishni ko'rsatdik. Endi o'lhash tufayli biror  $L$  kattalikning qiymati  $L=L_n$  bo'lishi ehtimolini hisoblash bilan qiziqamiz. Hisoblashning asosiy g'oyasi holatlarni superpozitsiya prin-

sipiga asoslangan.  $\hat{L}$ -operatorni xususiy funksiyalari  $\psi_p(x)$  bo'lsin. Bu funksiyalarni ortogonalligi va to'laligini inobatga olsak, u holda  $\psi$  to'lqin funksiyani quyidagi superpozitsiya (12.63) ko'rinishida yozsak bo'ladi:

$$\psi(x) = \sum_n c_n \psi_n(x).$$

Bu funksiyaning qo'shamasi

$$\psi^*(x) = \sum_m c_m \psi_m(x) \quad (12.68)$$

(t ning qiymatlari  $p$  niki kabi olinadi).

(12.63) va (12.68) qatorlarni (12.12) ga qo'yamiz:

$$\langle L \rangle = \int \psi^* \hat{L} \psi dx = \sum_n \sum_m c_m^* c_n \int \psi_m^* \hat{L} \psi_n dx. \quad (12.69)$$

$\psi_p$  funksiya  $\hat{L}$ -operatorni xususiy funksiyasi bo'lgani uchun

$$\hat{L} \psi_n = L \psi_n. \quad (12.70)$$

(12.70) tenglama va  $\psi_m$ ,  $\psi_p$  funksiyalarni ortogonallik xossasidan foydalaniib,

$$\langle L \rangle = \sum_n \sum_m c_m^* c_n \hat{L} \delta_{mn} = \sum_n c_n^* c_n L_n$$

yoki

$$\langle L \rangle = \sum_n |c_n|^2 L_n \quad (12.71)$$

natiyani olamiz. So'ng (12.67) va (12.68) ni bir-biriga ko'paytirib va barcha o'zgaruvchilar sohasi bo'yicha integrallasak,

$$1 = \int \Psi^* \Psi dx = \sum_n \sum_m c_m^* c_n \int \psi_m^* \psi_n dx = \sum_m \sum_n c_m^* c_n \delta_{mn} = \sum_n |c_n|^2$$

yoki

$$\sum_n |c_n|^2 = 1 \quad (12.72)$$

ni olamiz.

Ikkinchi tomondan  $L$ -tasodifiy kattalikni  $L_p$ -qiymatlaridan biriga teng bo'lishi ehtimolini  $p(L_n)$  desak, o'rtacha topish qoidasiga muvofiq

$$\langle L \rangle = \sum_n p(L_n) L_n \quad (12.73)$$

agar

$$\sum_n p(L_n) = 1 \quad (12.74)$$

Shartni eslasak, u holda (12.74), (12.75) va (12.73) larni taqqoslash orqali

$$p(L_n) = |c_n|^2 \quad (12.75)$$

ekanligini topamiz.

$L$ -mexanik kattalikni mumkin bo'lgan  $L_n$ -qiymatlaridan biriga teng bo'lishi ehtimoli  $\psi_p$ -xususiy holat amplitudasi modulining kvadratiga teng. Boshqacha aytganda, bu ehtimol  $|c_n|^2$ -intensivlik bilan aniqlanadi.

Xuddi shunday yo'lda uzluksiz tasodifiy kattalik qiymatini  $L$  va  $L+dL$  oraliqdagi  $dP(L)$  ehtimoli

$$\langle L \rangle = \int |c(L)|^2 dL \quad (12.76)$$

$\psi(x)$  normallash shartidan

$$1 = \int |c(L)|^2 dL \quad (12.77)$$

$$\langle L \rangle = \int L |c(L)|^2 dL \quad (12.78)$$

agar

$$\int dp(L) = 1 \quad (12.79)$$

ekanligi inobatga olinsa.

(12.76) va (12.77) va (12.70) ni taqqoslasak,

$$dp(L) = |c(L)|^2 dL \quad (12.80)$$

kelib chiqadi. (12.80) formulaning fizik ma'nosi (12.77) ifodaning fizik ma'nosi kabidir.

Yuqoridagi natijalarni xarakterlovchi bitta misol ko'raylik. Zarrani biror holatini tavsiflovchi to'lqin funksiya  $\psi(x)$  zarranining  $x$  dekart koordinatasida berilgan bo'lsin, ya'ni

$$dp(x) = |\psi(x)|^2 dx \quad (12.81)$$

$\psi(x)$  holatda berilgan funksiyada  $p_x$ -impuls bilan ifodalovchi ehti-mol taqsimlanishini topish kerak.

Superpozitsiya prinsipiiga ko'ra

$$\psi(x) = \int c(p_x) \psi_{p_x}(x) dp_x \quad (12.82)$$

bunda

$$c(p_x) = \int \psi_{p_x}(x) \psi(x) dx \quad (12.83)$$

Yuqorida bayon etilgan mulohazalarga muvofiq  $p_x$  bilan  $p_x + dp_x$  oraliqda zarra impulsini  $x$ -komponentasi o'lchash ehtimoli

$$dp(p_x) = |c(p_x)|^2 dp_x \quad (12.84)$$

ga teng. Yuqoridagi ifodalarda simmetriya mavjudligi ko'zga yaqqol tashlanadi.

Agar biz  $c(p_x)$  funksiya ko'rinishini bilsak, u holda (12.82) ifoda yordamida  $\psi(x)$  ni ham bilamiz; aksincha  $\psi(x)$  funksiya ma'lum bo'lsa, u holda (12.83) yordamida  $c(p_x)$  ni topish mumkin. Shuning uchun ham  $c(p_x)$  funksiyani argumenti  $r_x$ -impulsga teng bo'lgan psi-funksiya deb, qarsa bo'ladi. Agar zarranining holati  $\psi(x)$ -funksiya bilan berilgan bo'lsa, holat koordinata yoki  $x$ -ko'rinishda berilgan deyiladi; agar shu holat  $c(p_x)$ -funksiya bilan berilgan bo'lsa, holat impuls yoki  $r$ -ko'rinishda berilgan deyiladi. (12.82) va (12.84) formulalar mos ravishda psi-funksiyani  $r$ -ko'rinishdagi  $x$ -ko'rinishi yoki aksincha, almash-tirish formulasi deyiladi.

## 12.8. Turli mexanik kattaliklarni bir vaqtda o'lchash sharti

Klassik mexanikadagi kabi kvant mexanikada ham zarra harakatini tavsiflash uchun zarra koordinatasini, impulsini, impuls momentini,

energiya va shunga o'xshash dinamik o'zgaruvchilar ishlataladi. Kvant mexanikada sistemaning holatini xarakterlovchi to'lqin funksiya berilgan dinamik o'zgaruvchiga mos kelgan operatorning xususiy funksiysi bo'lgan taqdirdagina, ushu dinamik o'zgaruvchi muayyan bir qiymatga ega bo'lishi mumkin. Mikroolam jarayonlarida turli dinamik o'zgaruvchilarning xususiy funksiyalari ham umuman olganda turlicha bo'ladi. Shuning uchun o'lhash amaliyotida ikkita dinamik o'zgaruvchining miqdorini ayni bir vaqtida o'lhash cheklangan. Ammo ma'lum shartlar bajarilganda kvant-mexanik o'lhash jarayonlarida ham ikkita dinamik o'zgaruvchining qiymatlarini ayni bir vaqtida aniq o'lhash mumkin. Buning uchun asosiy dinamik o'zgaruvchilarga mos kelgan operatorlar o'zaro kommutativ bo'lishi zarur va yetarlidir. Agar operator kommutativ bo'lsa, u holda ularning xususiy funksiyalari ham umumiy bo'ladi.

$\hat{A}$  va  $\hat{B}$  operatorlar bo'lishi uchun  $\hat{A}\hat{B} = \hat{B}\hat{A}$  shart bajarilishi lozim. Kommutativ operatorlar

$$\hat{A}\hat{B} - \hat{B}\hat{A} = [\hat{A}, \hat{B}] = 0 \quad (12.84)$$

kabi belgilanadi.

Masalan, harakat miqdori momentining kvadrati  $\hat{L}^2$  bilan harakat miqdori momenti proeksiyasi,  $\hat{L}_x$  o'zaro kommutativ, ya'ni

$$[\hat{L}^2, \hat{L}_x] = 0$$

shuningdek,

$$[\hat{L}_x, \hat{p}_x] = 0, [\hat{L}^2, \hat{p}_x] = 0, [\hat{L}_x, \hat{x}] = 0$$

ifodalar ham kommutativ operatorlardir. Impuls momenti operatori  $\hat{L}_x$  bilan impuls operator  $\hat{p}_x$  o'zaro kommutativ bo'lgani uchun ularning xususiy qiymatlari  $L_x$  va  $p_x$  eksperimentda ayni bir vaqtida aniq o'chanadi.

$\hat{A}$  va  $\hat{B}$  operatorlar uchun  $\hat{A}\hat{B} \neq \hat{B}\hat{A}$  shart o'rini bo'lsa, ya'ni  $\hat{A}\hat{B} = -\hat{B}\hat{A}$  tenglik bajarilsa, u holda  $\hat{A}$  va  $\hat{B}$  operatorlar *antikommutativ (nokommutativ) operatorlar* deyiladi.

Antikommutativ operatorlar

$$\hat{A}\hat{B} + \hat{B}\hat{A} = \left[ \hat{A}, \hat{B} \right] = 0 \quad (12.85)$$

kabi belgilanadi.

Masalan, zarra koordinatasining operatori  $\hat{x}$  bilan harakat miqdori operatori  $\hat{p}_x$  o'zaro antikommunitativ operatorlardir, ya'ni

$$\left[ \hat{p}_x, \hat{x} \right] = -i\hbar$$

shuningdek,

$$\left[ \hat{L}_x, \hat{y} \right] = -i\hbar \hat{z}, \quad \left[ \hat{L}_x, \hat{p}_x \right] = -i\hbar \hat{p}_z, \quad \left[ \hat{L}_x, \hat{L}_y \right] = i\hbar \hat{L}_z$$

kabi nokommunitativ operatorlarni misol qilib keltirish mumkin.

Antikommunitativ operatorlar bilan xarakterlanuvchi dinamik o'zgaruvchilarni ayni bir vaqtda aniq o'lhash mumkin emas, masalan, zarra koordinatasi  $x$  bilan zarrani  $x$  o'qidagi impuls proeksiyasi  $\hat{p}_x$  ni ayni bir vaqtda aniq o'lhash mumkin emas.

### 12.9. Koordinata va impulsning operatorlari

To'lqin funksiya zarra koordinatasining funksiyasi bo'lgani uchun zarra koordinatasining operatori  $\hat{x}$ ,  $x$  soniga teng, ya'ni

$$\hat{x} = x, \quad \hat{y} = y, \quad \hat{z} = z \quad (12.86)$$

Odatda, koordinata operatorlarini belgisi  $\hat{x}$  ni qo'yilmaydi. Impuls operatorining proeksiyalari

$$\hat{P}_x = -i\hbar \frac{\partial}{\partial x}, \quad \hat{P}_y = -i\hbar \frac{\partial}{\partial y}, \quad \hat{P}_z = -i\hbar \frac{\partial}{\partial z} \quad (12.87)$$

vektor ko'rinishi esa

$$\hat{P} = -i\hbar \vec{\nabla} \quad (12.88)$$

shaklda yozildi.

Impuls operatori va koordinata operatorlari joylashtirish qoidalari bo'ysunadi. Bu qoidalarga rioya qilish hisoblashlarni os-onlashtirishga yordam beradi.  $\psi(x, y, z)$  to'lqin funksiya bo'lsin, u holda

$$x(\hat{P}, \psi) = x(-i\hbar \frac{\partial}{\partial x} \psi) = -i\hbar x \frac{\partial \psi}{\partial x} \quad (12.89)$$

$$\hat{P}_x(x\psi) = -i\hbar \frac{\partial}{\partial x}(x\psi) = -i\hbar x \frac{\partial\psi}{\partial x} - i\hbar\psi \quad (12.90)$$

(12.89) dan (12.90) ni ayirsak  $(x\hat{P}_x - \hat{P}_x x)\psi = i\hbar\psi$  yoki

$$x\hat{P}_x - \hat{P}_x x = i\hbar \quad (12.91)$$

Xuddi shunga o'xshash

$$y\hat{P}_y - \hat{P}_y y = i\hbar \quad (12.92)$$

$$z\hat{P}_z - \hat{P}_z z = i\hbar \quad (12.93)$$

ifodalarni hosil qilamiz.

(12.91), (12.93) joylashtirish qoidalariga Geyzenbergning joylash-tirish (o'mini almashtirish) munosabatlari deyladi. Shuningdek,

$$x\hat{P}_y - \hat{P}_y x = 0, \quad y\hat{P}_z - \hat{P}_z y = 0, \quad z\hat{P}_x - \hat{P}_x z = 0 \quad (12.94)$$

munosabatlarni ham oson topish mumkin.

Umuman olganda, istalgan  $F(x, y, z)$  funksiya uchun

$$F\hat{P}_x - \hat{P}_x F = i\hbar \frac{\partial F}{\partial x}, \quad F\hat{P}_y - \hat{P}_y F = i\hbar \frac{\partial F}{\partial y}, \quad F\hat{P}_z - \hat{P}_z F = i\hbar \frac{\partial F}{\partial z} \quad (12.95)$$

(12.91), (12.93) va (12.95) munosabatlardan ko'ramizki, bir vaqtida impulsni va uning qo'shma bo'lgan koordinatini aniqlash mumkin emas,  $x$  va  $\hat{P}_x$ , operatorlar nokommutativ operatorlardir. Bu munosabat noaniqlik munosabatini ham xarakterlaydi. Misol. OX o'qiga nisbatan impuls proeksiyasi operatorini xususiy qiymati va xususiy funksiyasini aniqlaylik. Impuls operatorining xususiy funksiyalarga nisbatan tenglamasi

$$\hat{P}_x\psi = P_x\psi \quad (12.96)$$

bunda,  $P_x$  – xususiy qiymat  $\hat{P}_x = -i\hbar \frac{\partial}{\partial x}$  bo'lgani uchun

$$-i\hbar \frac{\partial\psi}{\partial x} = P_x\psi \quad (12.97)$$

Integrallassak,

$$\psi_{P_x}(x) = N \exp \left[ i \frac{P_x x}{\hbar} \right]. \quad (12.98)$$

N – doimiy son. Bu yechim hamma joyda chekli bo'lgani uchun  $P_x$  – istalgan haqiqiy son bo'lishi kerak. Shu sababga ko'ra,  $P_x$  ni qiymati uzlucksiz, ya'ni

$$-\infty < P_x < +\infty \quad (12.99)$$

$\Psi_{P_x}$  ni  $\delta$ - funksiyaga nisbatan normallash natijasida  $N = \frac{1}{\sqrt{2\pi\hbar}}$  ni olamiz.  $\hat{P}_x$  ni xususiy funksiyasi

$$\Psi_{P_x}(x) = \frac{1}{\sqrt{2\pi\hbar}} e^{\frac{iP_x x}{\hbar}} \quad (12.100)$$

$$\int \Psi_{P_x}(x) \Psi_{P_x}(x) dx = \delta(P_x^1 - P_x) \quad (12.101)$$

Demak, impuls operatorining xususiy funksiyasi yassi de-Broyl to'lganidir.

### 12.10. Energiya operatori

#### 1. Kinetik energiya operatori.

Klassik mexanikada zarranning kinetik energiyasi

$$T = \frac{P^2}{2\mu} = \frac{1}{2\mu} (P_x^2 + P_y^2 + P_z^2) \quad (12.102)$$

Kinetik energiya spektori

$$\hat{T} = \frac{\hat{P}^2}{2\mu} = \frac{1}{2\mu} (\hat{P}_x^2 + \hat{P}_y^2 + \hat{P}_z^2) = -\frac{\hbar^2}{2m} \nabla^2. \quad (12.103)$$

$\mu$ -keltirilgan massa  $\nabla^2 = \frac{\partial^2}{\partial x^2} + \frac{\partial^2}{\partial y^2} + \frac{\partial^2}{\partial z^2}$  – Laplas operatori.

Kinetik energiya tenglamasi  $\hat{T}\psi = T\psi$ ,

$$\Psi_T(x, y, z) = \frac{1}{(2\pi\hbar)^{3/2}} e^{i\frac{xP_x + yP_y + zP_z}{\hbar}} \quad (12.104)$$

Qutbiy koordinata sistemasida

$$\hat{T}_r = -\frac{\hbar^2}{2\mu r^2} \frac{1}{r} \frac{\partial}{\partial r} (r^2 \frac{\partial}{\partial r}) \quad (12.105)$$

va

$$\hat{T} = \hat{T}_r + \frac{\hat{L}^2}{2\mu r^2} \quad (12.106)$$

$\hat{T}_r$  – radius vektori bog'liq kinetik energiya operatori,

$\frac{\hat{L}^2}{2\mu r^2}$  – transversal harakat ta'sir kinetik energiya operatori.

## 2.11. Mikrozarraning harakat miqdori momenti

Yuqorida aytganimizdek, impuls momenti va uning operatori:

$$\vec{L} = [\vec{r} \vec{p}] \quad (12.107)$$

$$\hat{\vec{L}} = [\hat{\vec{r}} \hat{\vec{p}}] \quad (12.108)$$

Bundan

$$\begin{aligned}\hat{L}_x &= \hat{P}_z y - \hat{P}_y z = i\hbar \left( z \frac{\partial}{\partial y} - y \frac{\partial}{\partial z} \right), \\ \hat{L}_y &= \hat{P}_z z - \hat{P}_z x = i\hbar \left( x \frac{\partial}{\partial z} - z \frac{\partial}{\partial x} \right), \\ \hat{L}_z &= \hat{P}_y x - \hat{P}_x y = i\hbar \left( y \frac{\partial}{\partial x} - x \frac{\partial}{\partial y} \right)\end{aligned} \quad (12.109)$$

va

$$\hat{L}^2 = \hat{L}_x^2 + \hat{L}_y^2 + \hat{L}_z^2 = -\hbar^2 \left\{ \left( z \frac{\partial}{\partial y} - y \frac{\partial}{\partial z} \right)^2 + \left( x \frac{\partial}{\partial z} - z \frac{\partial}{\partial x} \right)^2 + \left( y \frac{\partial}{\partial x} - x \frac{\partial}{\partial y} \right)^2 \right\} \quad (12.110)$$

Impuls momentining koordinatalari uchun joylashtirish (o'rinn almashtirish) qoidasini topamiz  $\hat{G} = \hat{L}_y \hat{L}_z - \hat{L}_z \hat{L}_y$ , kommutativligini hisoblaylik:

$$\hat{L}_y \hat{L}_z = (\hat{P}_z x - \hat{P}_x z)(\hat{P}_y y - \hat{P}_y x) = y \hat{P}_z x \hat{P}_y - z y \hat{P}_z^2 - x^2 \hat{P}_z \hat{P}_y + z \hat{P}_y x \hat{P}_z,$$

shuningdek,

$$\hat{L}_z \hat{L}_y = y \hat{P}_z \hat{P}_y x - z y \hat{P}_z^2 - x^2 \hat{P}_z \hat{P}_y + z \hat{P}_y x \hat{P}_z$$

u holda,

$$\hat{L}_y \hat{L}_z - \hat{L}_z \hat{L}_y = y \hat{P}_z (x \hat{P}_y - \hat{P}_y x) + z \hat{P}_y (\hat{P}_z x - x \hat{P}_z)$$

(14.7) ga ko'ra,

$$\hat{L}_y \hat{L}_z - \hat{L}_z \hat{L}_y = i\hbar (y \hat{P}_z - \hat{P}_y x) + \hat{P}_y z = i\hbar \hat{L}_x;$$

$$\hat{L}_y \hat{L}_z - \hat{L}_z \hat{L}_y = i\hbar \hat{L}_x$$

$$\hat{L}_z \hat{L}_x - \hat{L}_x \hat{L}_z = i\hbar \hat{L}_y$$

$$\hat{L}_x \hat{L}_y - \hat{L}_y \hat{L}_x = i\hbar L \quad (12.111)$$

Impuls momentining komponentlari nokommutativ operatorlardir. Aksincha,

$$\hat{L}_x \hat{L}^2 - \hat{L}^2 \hat{L}_x = 0; \hat{L}_y \hat{L}^2 - \hat{L}^2 \hat{L}_y = 0; \hat{L}_z \hat{L}^2 - \hat{L}^2 \hat{L}_z = 0. \quad (12.112)$$

To'la impuls momentini kvadrati va uning bitta proeksiyasini ko'paytmasi kommutativdir.

Bu qoidalardan shuni ko'ramizki, impuls momentini proeksiyalar, bo'lgan  $\hat{L}_x, \hat{L}_y, \hat{L}_z$  larni bir vaqtida o'lchash mumkin emas.

Endi impuls momenti proeksiyasini biror o'qga nisbatan yo'nalishini va mumkin bo'lgan absolut qiymatlarini aniqlaylik.

Bu masalani qutbiy koordinatalari sistemasida yechish qulay. Qutbiy koordinata sistemasida

$$x = r \sin \theta \cos \varphi; \quad y = r \sin \theta \sin \varphi; \quad z = r \cos \theta \quad (12.113)$$

bunda,  $\theta$  – radius vektor  $\vec{r}$  bilan  $z$ -o'q orasidagi burchak,  $\varphi$  – esa OX o'qida XU tekislikda hisoblanadigan burchak.

Dekart koordinata sistemasidan (12.94) qutbiy koordinata sistemasiga o'tish formulalari quyidagicha bo'ladi:

$$\begin{aligned} \hat{E} &= i \hbar (\sin \varphi \frac{\partial}{\partial \theta} + ctg \theta \cos \varphi \frac{\partial}{\partial \varphi}); \quad \hat{E} = -i \hbar (\cos \varphi \frac{\partial}{\partial \theta} - ctg \theta \sin \varphi \frac{\partial}{\partial \varphi}); \\ \hat{E} &= -i \hbar \frac{\partial}{\partial \varphi}; \quad \hat{E} = -\hbar^2 \Delta_{\theta, \varphi} \end{aligned} \quad (12.114)$$

Bunda

$$\nabla_{\theta, \varphi}^2 = \frac{1}{\sin \theta} \frac{\partial}{\partial \theta} (\sin \theta \frac{\partial}{\partial \theta}) + \frac{1}{\sin^2 \theta} \frac{\partial^2}{\partial \varphi^2} \quad (12.115)$$

$\nabla_{\theta, \varphi}^2$  – Laplas operatori (sfera uchun) deyiladi.

Operatorlar faqat  $\theta, \varphi$  burchaklarga ta'sir etgani uchun to'lqin funksiyaga

$$\psi = \psi(\theta, \varphi) \quad (12.116)$$

ko'rinishda yozish mumkin.

$\hat{E}^2$ -operatori uchun tenglama

$$\hat{E}^2 \psi = L^2 \psi \quad (12.117)$$

ko'rinishda yoziladi. Bu funksiyaga (12.115) ni olib kelib qo'ysak,  $\lambda$  deb belgilasak,

$$\frac{1}{\sin \theta} \frac{\partial}{\partial \theta} (\sin \theta \frac{\partial \psi}{\partial \theta}) + \frac{1}{\sin^2 \theta} \frac{\partial^2 \psi}{\partial \varphi^2} + \lambda \psi = 0 \quad (12.118)$$

tenglamani olamiz.

Bu tenglamaning yechimi

$$\lambda = e(e+1) \quad (12.119)$$

ko'rinishda bo'ladi. Har bir e uchun  $2e+1$  ta yechim mavjud.  $L^2$  ni xususiy qiymatlari

$$L_e^2 = \hbar^2 e(e+1); \quad e = 0, 1, 2, 3, \dots \quad (12.120)$$

ko'rinishda bo'ladi. Xususiy funksiyasi esa

$$\Psi_{e,m}(\theta, \varphi) = Y_{e,m}(\theta, \varphi); \quad m = 0, \pm 1, \pm 2, \dots, \pm e. \quad (12.121)$$

Endi

$$\hat{L}_z \psi = L_z \psi \quad (12.122)$$

ni yechaylik:  $-i\hbar \frac{\partial \psi}{\partial \varphi} = L_z \psi$  Bu teglamani yechimi  $L_z = \hbar m$ ,  $m = 0, \pm 1, \dots, \pm e$  ko'rinishda bo'ladi.

## SAVOLLAR

- Nima uchun kvant mexanikada fizikaviy kattalikni o'rtacha qiymati muhim ahamiyatga ega?
- Kvant mexanikada o'rtacha qiymat qanday topiladi?
- O'rtacha qiymat ehtimol nazariyasida qanday topiladi?
- Zarra koordinatasining o'rtacha qiymati qanday topiladi?
- Zarra impulsining o'rtacha qiymati qanday topiladi?
- Zarra impulsining o'rtacha qiymatini bevosita  $\psi(x,y,z,t)$ -to'lqin funksiyadan topish mumkinmi?
- Kvant mexanikada umuman fizikaviy kattalikni o'rtacha qiymati qanday formula bilan topiladi?
- Operatorlarni ta'riflang, ularning funksiyadan farqi nimada?
- Chiziqli operator deganda, nimani tushunasiz?
- Ermit operator deganda, nimani tushunasiz?
- Nima uchun kvant mexanikada chiziqli va ermit xossaga ega bo'lgan operatorlar ishlatalidi?
- Ermit operatorning xossasini yozing.  $\frac{\partial}{\partial x}$  differensial operator ermit bo'ladimi?
- Impuls operatorining ko'rinishini yozing. U Ermit bo'ladimi?
- Kommutativ operatorlarga izoh bering.
- Nokommutativ operatorlarga izoh bering.
- $\hat{X}$  va  $\hat{P}_x$  operatorlar kommutativ bo'ladimi?
- Xususiy funksiyaning ortogonalligi degan tushunchani izohlang.
- Normallangan xususiy funksiya deganda, nimani tushunasiz?
- Kronikerning delta-simvoli deganda, nimani tushunasiz?
- Dirakning delta-funksiyasi deganda, nimani tushunasiz?

- Operatorning xususiy qiymati va funksiyasi deganda, nimani tushunasiz?
- Operatorning xususiy qiymatlari spektri degan tushuncha ni-mani anglatadi?
  - Diskret, polosali va tutush spektrlarni izohlang.
  - O'rtacha kvadratik og'ishish (dispersiya)ni tushuntiring.
  - Normallangan to'lqin funksiya uchun o'rta qiymat formulasini yozing.
  - Xususiy funksiyalarning to'la sistemasini hosil qilish deganda nimani tushunasiz?
    - Diskret spektr uchun  $s_n$  ni topish formulasini yozing.
    - Uzluksiz spektr uchun  $s(L)$  koeffitsiyent qanday topiladi?
    - $x$ -ko'rinishda berilgan holat deganda nimani tushunisiz?
    - $r$ -ko'rinishda berilgan holat deganda nimani tushunisiz?
    - Kvant mexanikada qanday kattaliklarni bir vaqtida o'lchash mumkin emas?
    - Kommutativ bo'lgan operator formulasini yozing va tushuntiring.
    - Nokommutativ bo'lgan operator formulasini yozing va tushun-tiring.
    - $x$ -operatori va impuls operatorini yozing va tushuntiring.
    - Nima uchun  $\hat{x}$  va  $\hat{p}_x$  operatorlar kommutativ xususiyatga ega emas?
      - Energiya operatorining ko'rinishini yozing. Kinetik energiya operatorini yozing.
      - Gamilton funksiyasi bilan gamiltonian orsidagi farq nimadan iborat?
      - Gamilton operatorining ko'rinishini yozing.
      - Harakat miqdori momentining klassik va kvant ko'rinishini yozing.
        - Harakat miqdori momenti operatorini yozing.
        - Bir vaqtida harakat miqdori momenti operatorlarining kompo-nentalari kommutativ bo'ladimi?
        - Harakat miqdori momentini proeksiyalari uchun qaysi opera-torlar kommutativ bo'ladimi?
        - Bu bobdan olgan tasavvuringizni izohlang.

### **MASALALAR**

$$\hat{L} = \frac{\partial}{\partial x} \quad \text{differensial operator ermit operatori bo'la oladimi?}$$

Kompleks qo'shma operator ermit operator bo'la oladimi?

$L$ -fizikaviy kattalik  $\hat{L}$ -ermit operatori bilan tavsiflansa, uning o'rtacha qiymati haqiqiy ekanligini va bu kattalikni o'rtacha qiymati kvadrati  $\langle L^2 \rangle = \int \hat{L}|\psi|^2 dx$  ekanligini isbotlang.

Bir o'lchamli fazo uchun  $\langle p_x \rangle = \frac{i\hbar}{2} \int \left( \psi \frac{d\psi}{dx} - \psi^* \frac{d\psi}{dx} \right) dx$  ekanligini ko'rsating.

$\psi(\varphi) = A \sin^2 \varphi$  holatni  $\hat{L}_z^2$ -operator tavsiflasa, fizikaviy kattalikning o'rtacha qiymatini toping.

$\hat{A}$  va  $\hat{B}$  operatorlar ermit bo'lsa, u holda  $\hat{A} + \hat{B}$  va  $\hat{A}\hat{B} + \hat{B}\hat{A}$  operatorlarning ham ermit ekanligini isbot qiling.

$\hat{p}_x$ ,  $\hat{L}_z$ ,  $\hat{p}_x^2$  va  $\hat{H}$  operatorlarning ermit ekanligini ko'rsating.

$\hat{L}_x$ ,  $\hat{L}_y$ ,  $\hat{L}_z$  operatorlar ermit bo'lsa,  $\hat{L}^2$  operatorni ermit ekanligini ko'rsating.

$L$ -fizik kattalikning kvadratik o'rtacha qiymati musbat ekanligini ko'rsating.

$$\left[ x, \hat{p}_x \right] = i\hbar, \quad \left[ x, \hat{p}_y \right] = 0, \quad \left[ \hat{p}_x, \hat{p}_y \right] = 0 \text{ ekanligini ko'rsating.}$$

$x$  va  $\hat{p}_y$ ,  $\hat{p}_x$  va  $\hat{p}_y$ ,  $\hat{p}_x$  va  $\hat{p}_z$ -operatorlar uchun umumiy bo'lgan xususiy funksiyalarini toping.

$\hat{L}_z$  va  $\hat{L}_z^2$  operatorlarning xususiy funksiyalarini toping. Normalangan xususiy funksiyalari qanday bo'ladi?

$$\left[ x, \hat{L}_x \right] = 0, \quad \left[ y, \hat{L}_x \right] = -i\hbar z \text{ va } \left[ z, \hat{L}_x \right] = i\hbar y \text{ kombinatsiya qoidalarini tekshiring.}$$

$\left[ \hat{L}_x, \hat{p}_x \right] = 0, \quad \left[ \hat{L}_x, \hat{p}_z \right] = -i\hbar \hat{p}_z, \quad \left[ \hat{L}_x, \hat{p}_y \right] = -i\hbar \hat{p}_y \text{ kombinatsiyalarini tekshiring.}$

$$\left[ \hat{L}_x, \hat{p}_x^2 \right] = 0, \quad \left[ \hat{L}_x, \hat{p}^2 \right] = 0 \text{ va } \left[ \hat{L}_x^2, \hat{p}^2 \right] = 0 \text{ ekanligini ko'rsating.}$$

$\left[ \hat{L}_x, \hat{L}_y \right] = i\hbar \hat{L}_z$ ,  $\left[ \hat{L}_y, \hat{L}_z \right] = i\hbar \hat{L}_x$ ,  $\left[ \hat{L}_z, \hat{L}_x \right] = i\hbar \hat{L}_y$  ekanligini ko'r-sating.  $\hat{L}_x, \hat{L}_y, \hat{L}_z$  harakat miqdori momenti operatorlarining proeksiyalari.

$\hat{L}^2$ -harakat miqdori momenti kvadratining operatori bilan  $\hat{K}$  kinetik energiya operatori kommutativ ekanligini isbotlang.

Harakat miqdori momenti  $\hat{L}$  va uning proeksiyalarini dekart koordinata sistemasidan qutbiy koordinata sistemasiga o'tkazing.

$0 < x < l$  mutlaq qattiq devorga ega bo'lgan bir o'lchamli to'g'ri burchakli potensial o'radaqi zarraning o'rtacha kinetik energiyasini toping. Potensial o'radaqi zarra holati  $\psi(x) = A \sin^2\left(\frac{\pi x}{l}\right)$  va  $\psi(x) = Ax(l - x)$  funksiyalar bilan tavsiflangan.

### XIII BOB

Mavzu: VAQT BO‘YICHA HOLATNING O‘ZGARISHI

Reja:

- 13.1. Atom uchun Shryodingerning to‘lqin modeli.
  - 13.2. Shryodingerning umumiy tenglamasi.
  - 13.3. Shryodinger tenglamasini differensial va operator shakli.
  - 13.4. To‘lqin funksiyaga qo‘yiladigan talablar.
  - 13.5. Kvant mexanikada massa va elektr zaryadining saqlanish qonuni.
  - 13.6. Shryodingerning statsionar tenglamasi.
  - 13.7. Shryodinger tenglamasi va yechimining asosiy xossalari.
- Energetik sathlarni kvantlanishi.
- 13.8. Statsionar holatlar.

### ADABIYOTLAR

- 10.1. А.А.Соколов, Ю.М.Лоскутов, И.М.Тернов. Квантовая механика. М., 1962.
- 10.2. А.Н.Матвеев. Атомная физика. М., 1989.
- 10.3. R.Bekjonov, B.Ahmadxo‘jaev. Atom fizikasi. T., «O‘qituvchi», 1979.
- 10.4. М.Борн. Атомная физика. М., «Ил», 1960.
- 10.5. E.Schrodinger. Quantisierung als Eigenwert problem. Ann. d. Phys. 1926. v. 79, p. 361; v. 79, p.489; v. 80, p. 437 (оригинал).
- 10.6. Л.Шифф. Квантовая механика. М., «Ил», 1957.

**Masalaning qo‘yilishi:** Lui de-Broylning vodorod atomi to‘lqin modeli bir o‘lchamli fazo uchun o‘rinli edi. Vodorod atomiga o‘rinli bo‘lgan uch o‘lchamli to‘lqin fazo uchun to‘lqin tenglamani 1926-yilda Ervin Shryodinger ta‘riflab berdi. Geyzenbergning matritsali kvant mexanikasi bilan Shryodingerning to‘lqin mexanikasi kvant mexanikaning asosiy prinsiplarini miqdoriy jihatdan ta‘riflab berdi. Shryodinger tenglamasi kvant olamda bo‘ladigan real hodisalarni miqdoriy jihatdan asoslاب beruvchi tenglama bo‘lib, mikroolam jarayonlarini ifodalovchi asosiy tenglamadir. Shryodinger tenglamasi norelativistik jarayonlarni ifodalaydigan tenglama bo‘lib, u quyidagi narsalarni e’tiborga olmaydi:

1. Zarralar tug'ilmaydi va yo'qolmaydi deb hisoblanadi. Har qanday fizikaviy jarayonda muayyan turdag'i zarraning soni saqlanadi.
2. Zarralar tezligi yetarli darajada kichik deb xususiy nisbiylik nazariyasidan chetlanadi.

Amaliyotdan yaxshi bilamizki, zarralarni tug'ilishi va annigilatsiyasi bo'lib turadi va albatta, har qanday nazariya xususiy nisbiylik nazariyasini nazardan qochirmaslik kerak.

Bunday katta soddalashtirishlarga qaramasdan Shryodinger tenglamasi hozirgi zamон kvant mexanikasining asosiy tenglamasi bo'lib qoldi va Nyuton tenglamalari klassik fizikada qanday rol o'ynasa, u mikroolam zarralar mexanikasini tavsiflashda ham shunday o'rinn tutadi va tabiat jarayonlarini tavsiflashda fundamental tenglamalar qatoriga kiradi.

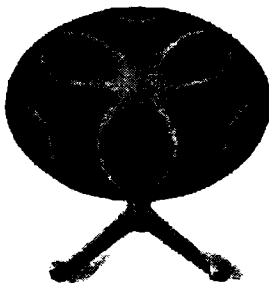
Bu bobni o'tishdan asosiy maqsad vaqt bo'yicha mikrozarra holatini o'zgarishi Shryodinger tenglamaning yaratishga olib kelishini ko'rsatish, bu tenglamasini matematik va fizik ma'nolarini ochish, vaqtga bog'liq bo'lgan va statsionar tenglamalarni matematik shakllarini ko'rsatish va tenglamaning fizik ma'nosini ochishdir.

**Mavuzu qahramoni:** E. Shryodinger (1887–1961) Avstriyada tug'ilgan. Vena universitetini tamomlagan. Yen universitetida, Shtutgart oliv texnika mакtabida, so'ng Breslau va Syurix universitetlarida ishlagan. L. de-Broyl g'oyasi asosida to'lqin mexanikani ishlab chiqqan. Ajoyib kitoblar muallifi. 1933-yilda Shryodingerga Dirak bilan birgalikda to'lqin mexanikaning yaratganligi uchun Nobel mukofoti berilgan.

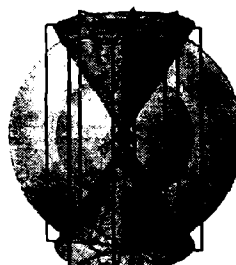
### XIII bob. VAQT BO'YICHA HOLATNING O'ZGARISHI

#### 13.1. Atom uchun Shryodingerning to'lqin modeli

Lui de-Broyl atomining to'lqin modeli bir o'lchamli mikroobjektlar uchun o'rinni edi. Chunki «aylanaga burligan» to'lqin bir o'lchamli bo'lib, u uch o'lchamli jarayonlarni tavsiflashga ojiz. De-Broyl modeli asosida uch o'lchamli model tuzish davr taqozosi bo'lib, lekin uni matematik nuqtayi nazardan hal qilish nihoyatda qiyin masala. Shunga qaramay, bu masalani avval ikki o'lchamli fazo uchun yechdilar. Masalan, membrana yoki plastinka sirtiga qum sepib tebratilganda tebranish chastotasiga mos ravishda plastinka sirtida juda ajoyib shakldagi qum uyumlari hosil bo'ladi. 13.1-rasmda ana shunday shakklardan biri tasvirlangan. Ikki o'lchamli fazo uchun ham xususiy tebranish masalasini yechish ancha murakkab. Ushbu masalani hal qilish uchun ham ikkinchini tartibli differensial tenglama tuzish zarur. Bu masalani yechishda, ayniqsa, chegaraviy shartlar nihoyatda aniq qo'yilgan bo'lishi kerak, chunki tebranish formasi unga juda ham bog'liq. Eng oddiy yo'llardan biri, bu doiraviy membrani markazdan mahkamlashdir.



13.1-rasm.

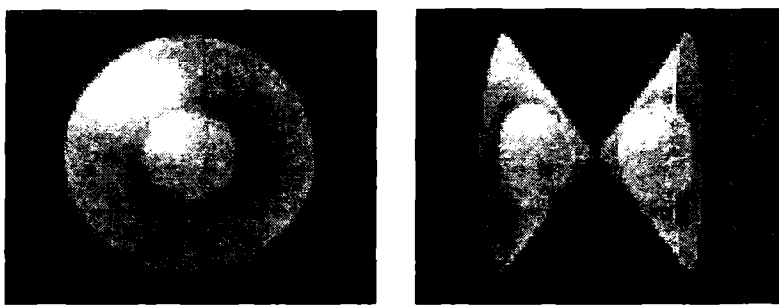


13.2-rasm.

Uch o'lchamli fazoda qanday qilib xususiy chastotalar hosil bo'ladi? Vaznsiz holatda yotgan suyuqlikdan tashkil topgan sfera yoki yirik gaz zichligi gaz bulutini olaylik va unda markazdan uzoqlashgan sari gaz zichligi kamayib borsin. Bu hol uchun tebranishlar shakli qanday hosil bo'lishi masalasini birinchi bo'lib avstraliyalik olim Ervin Shryodinger 1926-yilda yechdi.

«Kvantlanish – xususiy qiymatlar muammosi» degan risolasida bu masalaning yechimi qanday bo'lish kerak ekanligini E.Shryodinger ko'rsatib berdi.

Shryodingeriga ko'ra elektron uch o'lchamli turg'un to'-qin ko'rinishida yadro atrofida taqsimlangan. Bu to'lqinning amplitudasi  $\psi$ -funksiya bilan izohlanadi. Ushbu masalada chegaraviy shart sifatida sistemaning fazoviy chegaralangan bo'lishi va  $r$  cheksizga intilganda  $\psi(r)$  funksiyani nolga intilishi talab qilinadi. Qilingan hisobkitoblar quyidagi natijani beradi: tebranishning har bir turiga (chastotasiga) energiyani aniq bir qiymati mos keladi; tekislikdagi chiziq tugunlari o'mriga sirt tugunlari hosil bo'ladi; konsentrik tugun sferalari bilan bir qatorda turli orientatsiyaga (yo'nalishga) ega bo'lgan ikkilangan konuslar tugunlari hosil bo'ladi (13.2-rasm). Provardida ana shunday cheklangan hajmlarda turg'un  $\psi$ -to'lqin hosil bo'ladi va ushbu to'lqin kamarlari ( $o'pqonlari$ ) yorqin ko'rinishga ega. Har bir tur uchun qanday shakldagi tebranish hosil bo'lishi  $n, l, m$ , deb atalgan kvant sonlariga bog'liq. Mazkur kvant sonlari va ularning fizik ma'nosini bilan vodorod atomi uchun Shryodinger tenglamasini yechganda bevosita tanishamiz. Shryodinger atom modelidagi kvant sonlari korpuskular modelidagi elektron orbitalarni tavsiflovchi kvant sonlaridan farq qilib, endi bu sonlar sirt tugunlarining soni va ko'rinishlarini tavsiflaydi. Masalan,  $(n=1)$  ta sirt mavjud bo'lib, vodorod atomining asosiy holati, ya'ni  $1s$  holati sferik tushunchaga ega emas.  $n=1$  da birinchi Bor orbita radiusi masofasida  $\psi$  funksiya juda yaxshi ifodalangan



13.3-rasm. Vodorod atomining to'lqin modeli:  
a)  $2s$ -elektron; b)  $2p$ -elektron.

maksimumga ega, so'ngra yadrodan uzoqlashgan sari to'lqin funksiya ham kamaya boradi. Keyingi  $2s$ -holatda tebranish minimum holatidan (sfera tugunidan) o'tilgandan so'ng yana sferik tekislik hosil bo'ladi va unga to'g'i kelgan to'lqin funksiya maksimumi 13.3a-rasmida tasvirlangan. Keyinroq esa  $2r$ -holat paydo bo'ladi (13.3b-rasm). Ko'rib tutibsizki, to'lqin funksiya konussimon spektrlar ko'rinishiga ega. Butun fazo sirti esa markazning(yadroning) ikki tomonida simmetrik qismiga ega bo'lgan  $n=2$  konus sirtiariga bo'linadi.

Sintez qilinmasdan o'sha qig'iga ko'ra, atom markazida yadro joylasigan va nima yuradani elektron buluti qoplagan ko'rinishiga ega. Elektron bulutining formasi esa  $n, l, m$ , kvant sonlari bilan ifodalanganadi.

### 13.2. Shryodingerning umumiylenglama

O'tgan mavzularda biz mikrozarralarning holatini tavsiflovchi to'lqin funksiya bilan tanishdik. Natijada, fazoning har bir nuqtasida va vaqtning har bir onida zarra holatini tavsiflovchi  $\psi(x,y,z,t)$  – to'lqin funksiya aniq chekli bir qiymatga ega bo'ladi degan xulosaga keldik. Endi quyidagi savollar tug'iladi:

– Vaqt o'tishi bilan to'lqin funksiya qanday o'zgaradi?

– To'lqin funksiyaning vaqtligi o'zgarishi qanday qonuniyatga bo'yusnadi?

– To'lqin funksiyaning vaqtligi o'zgarishini ifodalovchi tenglama tuzish mumkinmi?

Shu savollarga javob izlaymiz.

Fazoning  $(x,y,z)$  nuqtasida va vaqtning  $t=0$  paytidagi zarra holatini tavsiflovchi to'lqin funksiyani  $\psi(x,y,z,0)$  deb belgilaylik. Biroz  $t$  vaqt o'tgandan so'ng zarraning holati o'zgaradi, demak, uning tavsiflovchi to'lqin funksiya ham o'zgaradi. Yangi holatning to'lqin funksiyasini  $\psi(x,y,z,t)$  deb belgilaymiz. Endi, biz  $\psi(x,y,z,0)$  va  $\psi(x,y,z,t)$  funksiyalarini bir-biri bilan o'zaro qanday bog'langan degan savol bilan qiziqamiz.

To'lqin funksiya zarraning holatini to'la tavsiflagani uchun u zarrani keyingi  $t$  vaqtida bo'ladigan holatlarini ham aniqlash kerak. Batalab kvant mexanikasida ham sababiyyat prinsipini qo'llanilishi mumkinligini ko'rsatadi. Matematika nuqtayi nazardan  $t=0$  onida berilgan  $\psi(x,y,z,0)$  to'lqin funksiyadan  $\psi(x,y,z,t)$  funksiyani bir qiymatli ravishda aniqlash mumkinligini ko'rsatadi. Yuqoridaq mulohazalarga binoan  $t=0$  ga cheksiz yaqin  $\Delta t$  vaqtida  $\psi$ -funksiyani quyidagi qatorga yoyish mumkin:

$$\psi(x, \Delta t) = \psi(x, 0) + \left( \frac{\partial \psi(x, t)}{\partial x} \right)_{t=0} \Delta t + \dots$$

To'lqin funksiyani vaqt bo'yicha o'zgarishini

$$\left. \frac{\partial \psi(x, y, z, t)}{\partial t} \right|_{t=0} = \hat{L}(x, y, z, 0) \psi(x, y, z, 0) \quad (13.1)$$

tenglama bilan ifodalash mumkin. Bunda,  $\hat{L}(x, y, z, 0)$  – biror operatsiya bo'lib, u  $\psi(x, y, z, 0)$  funksiya ustida qanday amal bajarilganda  $\left( \frac{\partial \psi}{\partial t} \right)_{t=0}$  ni hosil qilish mumkinligini anglatadi.  $t=0$  on mutlaqo erkin tanlanadigan kattalik bo'lgani uchun (13.1) ni quyidagi ko'rinishda yozish mumkin:

$$\frac{\partial \psi(x, y, z, t)}{\partial t} = \hat{L}(x, y, z, t) \psi(x, y, z, t). \quad (13.2)$$

(13.1) formuladagi  $\hat{L}$  – operatorni  $t$  – vaqtligi ko'chishli operatori deb qarash mumkin. Bu operatorni klassik fizika asosida shiqarib

bo'lmaydi, shuning uchun u kvant mexanikada postulat sifatida qabul qilinadi.

Holatning superpozitsiya prinsipiiga binoan  $\hat{L}$  – operator chiziqli bo'lishi lozim, lekin u na vaqt bo'yicha hosilaga, na integralga ega bo'lmasligi kerak.

$\hat{L}$  – operatorning ko'rinishini to'g'ri tanlash uchun to'la energiyanı saqlanish qonuni va zarra holatini tavsiflovchi de-Broyl to'lqin funksiyasidan foydalanamiz.

Erkin harakatlanayotgan zarra, masalan, elektron uchun yassi monoxromatik de-Broyl to'lqin funksiyasini

$$\psi(x, y, z, t) = A \exp\left[-\frac{i}{\hbar}(Et - p_x x - p_y y - p_z z)\right] \quad (13.3)$$

shaklda yozish mumkin.

Klassik fizikada to'la energiya kinetik va potensial energiyaning yig'indisidan iborat bo'lib, u gamilton funksiyasi bilan ifodalanadi:

$$H = E = K + U = \text{const.} \quad (13.4)$$

Kvant mexanikada to'la energiya operatori, ya'ni gamilton

$$\hat{H} = \hat{K} + \hat{U} = \text{const} \quad (13.5)$$

ko'rinishda ifodalanadi.

Erkin harakat qilayotgan zarra uchun  $U=0$ , u holda (13.4) va (13.5) lar

$$H = E = K \text{ va } \hat{H} = \hat{E} = \hat{K} \quad (13.6)$$

ko'rinishga keladi.

(13.6) ni zarraning impulsi  $\vec{p}$  orqali ifodalasak,

$$H = E = \frac{p_x^2 + p_y^2 + p_z^2}{2m}$$

va

$$H^C = E^C = \frac{P_x^{C2} + P_y^{C2} + P_z^{C2}}{2m} = -\frac{\hbar}{i} \nabla^2 \quad (13.7)$$

formulani hosil qilamiz.

De-Broyl to'lqin funksiyasini ifodalovchi (13.3) dan vaqt bo'yicha birinchi tartibli hosila, koordinatalardan ikkinchi tartibli hosila olsak, u holda (13.5) formula, ya'ni energiyani saqlanish qonuni bajarilishi kerak.

De-Broyl to'lqin funksiyasidan vaqt bo'yicha birinchi tartibli hosila

$$\frac{\partial \psi}{\partial t} = -\frac{\hbar}{i} E \psi. \quad (13.8)$$

koordinatalardan olingan ikkinchi tartibli hosila

$$\frac{\partial^2 \psi}{\partial x^2} = -\frac{p_x^2}{\hbar^2} \psi \quad (13.9)$$

$$\frac{\partial^2 \psi}{\partial y^2} = -\frac{p_y^2}{\hbar^2} \psi$$

$$\frac{\partial^2 \psi}{\partial z^2} = -\frac{p_z^2}{\hbar^2} \psi$$

ga teng bo'ladi. (13.8) va (13.9) formulalardan  $E$  va  $p_x^2$ ,  $p_y^2$ ,  $p_z^2$  larni qiymatlarini topib (13.7) formulaga ( $V=0$  hol) qo'ysak va hosil bo'lgan tenglamani ikkala tomonini  $\psi$  ga qisqartirsak,

$$-\frac{\hbar}{i} \frac{\partial \psi}{\partial t} = -\frac{\hbar^2}{2m} \left( \frac{\partial^2 \psi}{\partial x^2} + \frac{\partial^2 \psi}{\partial y^2} + \frac{\partial^2 \psi}{\partial z^2} \right) \quad (13.10)$$

ni olamiz.

Agar (13.10) ni ikkala tomonini  $\frac{i}{\hbar}$  ga ko'paytirsak,

$$\frac{\partial \psi}{\partial t} = \frac{i\hbar}{2m} \left( \frac{\partial^2 \psi}{\partial x^2} + \frac{\partial^2 \psi}{\partial y^2} + \frac{\partial^2 \psi}{\partial z^2} \right) \quad (13.11)$$

tenglama kelib chiqadi. (13.11) ifodadagi

$$\frac{\partial^2}{\partial x^2} + \frac{\partial^2}{\partial y^2} + \frac{\partial^2}{\partial z^2} = \nabla^2, \quad (13.12)$$

hadlar yig'indisi Laplasiang'a ( $\nabla^2 = \Delta$ ) teng bo'lgani uchun (13.11) ni

$$\frac{\partial \psi}{\partial t} = \frac{i\hbar}{2m} \nabla^2 \psi \quad (13.13)$$

qisqa ko'rinishda ifodalash mumkin.

(13.13) tenglamani (13.7) ga muvofiq, operator ko'rinishda yozsak,

$$\frac{\partial \psi}{\partial t} = \frac{1}{i\hbar} \hat{H} \psi \quad (13.14)$$

ekanligi kelib chiqadi.

Kvant mexanikada bu xususiy natija ( $V=0$  uchun) umumlashtirilib,  $\hat{H} = \hat{K} + \hat{V}$  hol uchun (13.14) ifoda saqlanib qoladi. Natijada, potensial maydonda harakatlanayotgan zarra uchun

$$i\hbar \frac{\partial \psi}{\partial t} = \hat{H} \psi \quad (13.15)$$

tenglamani yozsak bo'ladi (bunda,  $\hat{H} = \hat{K} + \hat{V}$  ).

(13.15) tenglamani Shryodinger tenglamasi deb atashadi. Aniqroq qilib aytganda, (13.15) formulani Shryodingerning umumiy ko'rinish-

dagi tenglamasi yoki vaqtga bog'liq bo'lgan Shryodinger tenglamasi deyiladi.

(13.15) ni operatorsiz ko'rinishda

$$i\hbar \frac{\partial \psi(r, t)}{\partial t} = -\frac{\hbar^2}{2m} \nabla^2 \psi(r, t) + U(x, y, z, t)\psi(r, t) \quad (13.16)$$

yozish mumkin.

De-Broyl g'oyalarini rivojlantirgan va klassik fizikadagi Gamilton prinsipidan foydalangan Ervin Shryodinger 1926-yilda o'zining mash-hur tenglamasini berdi. Bu tenglama kvant mexanikaning asosiy tenglamasi bo'lib, Nyutonning ikkinchi qonunini ifodalovchi holat tenglamasi klassik mexanikada qanday o'rinn tutsa, u ham kvant mexanikada xuddi shunday o'rinn tutadigan fundamental tenglamadir. Shryodinger tenglamasi fundamental tenglama bo'lgani bilan u biror-bir mohiyat-dan kelib chiqmaydi, balki u tajriba asosida topilgan tenglama bo'lib, u norelativistik kvant mexanikaning postulatidir.

Shryodinger tenglamasi beradigan natijalarni tajriba orqali quyidagicha tekshiriladi. Avval tenglama yechimi – to'lqin funksiya aniq-ланади, со'нг унинг yordamida mikrozarra harakatini ifodalovchi-energiya, impuls yoki berilgan zarraning mavjud ekanligi ehtimoli hisoblanadi. To'lqin funksiya – tajribadan aniqlanmaydi, u mikrodunyo holatini tavsiflashda yordamchi vazifasini bajaradi. Keyinchalik biz ko'ramizki, haqiqatan ham Shryodinger tenglamasi yechimining natijalari eksperimentdan olingan ma'lumotlarga muvofiq keladi. Shu jihatdan qaraganda, (13.6) tenglama norelativistik sohada mikrodunyo zarralaring qonuniyatlarini aks ettiruvchi tenglama bo'lib, u kvant dunyo-ning asosiy tenglamasi sifatida xizmat qiladi.

Shryodinger tenglamasining eng muhim alomati – bu  $\frac{\partial \psi}{\partial t}$  hosil-aning oldida mavhum bir sonning borligi.  $\frac{\partial \psi}{\partial t}$  hosila oldida mavhum

koeffitsiyentni borligi tufayli Shryodinger tenglamasi vaqt bo'yicha birinchi tartibli hosilaga ega bo'lishiga qaramasdan davriy yechim-larga ega bo'lishi mumkin. Klassik fizikada esa birinchi tartibli hosilaga ega bo'lgan tenglamalar faqat qaytmas jarayonlarni, masalan dif-fuziya, issiq o'tkazuvchanlik kabilarni ifodalaydi.

Shryodinger tenglamasidagi to'lqin funksiya ham kompleks ko'rinishga ega. Klassik fizikadagi to'lqinlar nazariyasida ham to'lqinlar kompleks ko'rinishga ega.

Masalan:

$$\phi = \text{const} \cdot \exp[i(\omega t - kx)]$$

ko'rinishadigi funksiya yordamida torning tebranishiga xos xususiyat-dir. Biroq oxirgi natijada  $\phi$  ni haqiqiy yoki mavhum qismi bilan ish ko'riladi. Zarraning siljishi (masalan, torning)

$$\phi' = \text{const} \cdot \sin(\omega t - kx)$$

nosila bilan aniqlanadi.

Klassik fizikada  $i$  soni hisobni osonlashtirish uchun xizmat qiladi. Kvant mexanikada ahvol tamomila boshqacha. Agar de-Broyl to'lqini-nning haqiqiy yoki mavhum qismini ajratsak, masalan,

$$\varphi = A \sin \left[ \frac{Et - p_x x - p_y y - p_z z}{\hbar} \right].$$

Bu holda  $\varphi^1$  funksiyaga mos kelgan vaqt bo'yicha birinchi tartibli hosilaga ega bo'lgan tenglamani topib bo'lmaydi, chunki u

$$\omega = \frac{E}{\hbar} \text{ va } \tilde{K} = \frac{\tilde{p}}{\hbar}$$

de-Broyl munosabatlari bilan mos kelmaydi.

Shryodinger tenglamasining klassik tenglamalardan yana bir muhim farqi, bu Shryodinger tenglamasida  $\hbar$  ni ishtirot qilishidir. Bu doimiylikni ishtirot etishi mikrodunyo holati kvant qonuniyatlarga bo'ysunishini anglatadi.

### 13.3. Shryodinger tenglamasini differensial va operator shakli

Shryodinger tenglamasini ikki xil shaklda yozish keng tarqalgan. Shryodinger tenglamasining differensial ko'rinishdagi yozuvni tenglama yechimi  $\psi(r)$  ni topishda qulaydir. Shryodinger tenglamasini operator shakldagi yozuvni esa kvant mexanikaning prinsi-pial masalalarini tekshirishda va Shryodinger tenglamasini umumlashtirishda qulay vositadir. Keyingi mavzularda ushbu ikkala forma haqida ham mulohazalar beriladi va ulardan keng foydalilanadi.

Shryodinger tenglamasini differensial shakli bir o'lchovli fazo uchun

$$-\frac{\hbar^2}{2m} \frac{\partial^2}{\partial x^2} \psi(x,t) + U(x,t) \psi(x,t) = i\hbar \frac{\partial \psi(x,t)}{\partial t} \quad (13.17)$$

ko'rinishda yoziladi. Korpuskular-to'lqin dualizm muammosini chuqur o'rgangan Ervin Shryodinger bu tenglamani yaratishda de-Broyl va

Plank munosabatlari  $\lambda = \frac{\hbar}{p}$ ,  $v = \frac{E}{\hbar}$  ni hamda zarraning to'la energiyasini aks etuvchi  $E = \frac{p^2}{2m} + U$  ifodani asos qilib olgan. Ushbu teng-

lama norelativistik ifodaga ega bo'lgani uchun  $E = m_0 c^2$  ifoda unga kirmaydi. Shryodinger (13.17) tenglamani yaratishda klassik tushunchalardan foydalanganligiga qaramay, uni klassik fizikaning fundamental qonuniyatlaridan keltirib chiqarib bo'lmaydi. (13.17) tenglamani *Shryodingerning umumiylig'i* (yoki vaqtga bog'liq) tenglamasi deb yuritiladi.

Shryodinger tenglamasini operator ko'rinishida yozish uchun kvant mexanikaning asosiy tenglamasi bo'lgan o'rta qiymatni topish formulasidan

$$\langle L \rangle = \int \psi^*(x) \hat{L} \psi(x) dx$$

foydalananamiz. Ushbu formuladagi  $\hat{L} \psi(x)$  ifoda uchun xususiy funksiya va qiymatlar tenglamasi

$$\hat{L} \psi(x) = L\psi(x)$$

ekanligini oldingi bobda ko'rgan edik.

Bu tenglamadagi  $\hat{L}$  ni Gamilton operatori  $\hat{H}$  ga,  $L$  ni esa energiya operatori  $\hat{E}$  ga almashtirsak,

$$\hat{H} \psi(x) = \hat{E} \psi(x) \quad (13.18)$$

ifodani olamiz. Bunda,

$$\hat{H} = -\frac{\hbar^2}{2m} \frac{\partial^2}{\partial x^2} + U \quad (13.19)$$

Gamilton operatori yoki gamiltonian,

$$\hat{E} = -\frac{\hbar}{i} \frac{\partial}{\partial t} \quad (13.20)$$

esa *energiya operatori* deyiladi.

Shunday qilib, operatorlar yordamida Shryodinger tenglamasini (13.18) shakl ko'rinishda ixcham yozish mumkin. (13.18) yozuvdag'i  $x$  deganda, barcha o'zgaruvchilar ( $x, y, z, t$ ) ni tushunamiz. Esingizga yana bir narsani tushiramizki, u ham bo'lsa, (13.18) tenglamaning chap va o'ng tomonida ishtirok etayotgan  $\psi(x)$  funksiyalarini qisqartirib bo'lmaydi. Bu tenglamaning asl ma'nosi quyidagicha:

$\psi$  – funksiyaga ta'sir etayotgan  $\hat{H}$  – operator, ushbu  $\psi$  – funksiyaga ta'sir etayotgan energiya operatori  $\hat{E}$  ga tengdir.

(13.18) tenglamani quyidagicha yozish mumkin:

$$\hat{H} \psi(x) = -\frac{\hbar}{i} \frac{\partial \psi(x)}{\partial t} \quad (13.21)$$

(13.21) umumiy tenglama erkin harakat qilayotgan zarrani tavsiyasa, ya'ni zarraga hech qanday kuch ta'sir etmasa, u holda to'la energiya  $E$  harqanday qiymatga ega bo'ladi. Natijada, (13.21) tenglama  $\psi(x, y, z, t)$  ko'rinishdagi cheksiz ko'p yechimlarga ega bo'ladi.

Agar erkin zarra cheklangan hujor hajmga tobe bo'lsa, u holda (13.21) tenglama statsionar tenglamani aks ettirada va

$$\hat{H} \psi(x) = \hat{E} \psi(x)$$

o'rniغا

$$\hat{H} \psi(x) = E \psi(x) \quad (13.22)$$

tenglamani yozish imkoniyati tug'iladi va  $\psi(x,y,z)$  funksiyada  $t$  ishtirok etmaydi. (13.22) tenglamada  $E$  – xususiy qiymat vazifasini bajaradi va u diskret qiymatlarga ega bo'ladi, odatda, bu energiyani *kvantlangan* deb ataymiz. Energiyani har bir qiymatiga mos ravishda  $\psi(x)$  funksiya to'g'ri kelgani uchun bu masalani *xususiy funksiyalar va qiymatlar masalasi* deb ham atashadi.

Shunday qilib, Shryodinger atom mashtabidagi sohada elektronlarni harakatini tavsiflovchi haqiqiy tenglamani yaratdi. U atom hodisalarini miqdoriy, aniq va mufassal hisoblaydigan nazariya bilan bizni ta'minladi. Uning nazariyasi magnetizm va nisbiylik nazariyasi bilan bog'lanmagan barcha mikroolam hodisalarini to'g'ri tushuntirib beradi. Ayniqsa, atom va yadro sohasidagi energetik sathlarni va kimyoiy bog'lanishlarni to'la tushuntirib berishi olamni o'rganishda va amaliy rivojlanishimizda juda katta odim bo'ldi. Bu jihatdan qaraganda Shryodinger tenglamasini Nyutonning ikkinchi qonuniga qiyos qilish mumkin.

### 13.4. To'lqin funksiyaga qo'yiladgan talablar

Mikroolamda yuz beradigan fizikaviy hodisalarini tavsiflashda  $\psi(r,t)$  – to'lqin funksiya juda muhim vazifani bajaradi. To'lqin funksiya o'z vazifasini yaxshi uddalashi uchun, u Shryodinger tenglamasini yechimi sifatida quyidagi talablarga rioya qilishi kerak:

1. To'lqin funksiya

$$\lambda = \frac{\hbar}{p}, \nu = \frac{E}{\hbar}, E = \frac{p^2}{2m} + U$$

kabi munosabatlar bilan mos kelishi (sig'ishishi).

2. Shryodinger tenglamasini barcha mumkin bo'lgan yechimlariga nisbatan chiziqli bo'lishi; bu degani, agar  $\psi_1(x), \psi_2(x), \dots, \psi_n(x)$  funksiyalar Shryodinger tenglamasini yechimlari bo'lsa, u holda

$$\psi(x, t) = a_1 \psi_1(x) + a_2 \psi_2(x) + \dots + a_n \psi_n(x) = \sum_{i=1}^n a_i \psi_i$$

funksiya ham mumkin bo'lgan yechim, bunda  $a_1, a_2, \dots, a_n$  – doimiyliklar. Qisqacha aytganda holatning superpozitsiya prinsipiga bo'ysunish shart.

3. To'lqin funksiyaning hosilasi, ya'ni  $\frac{\partial \psi(x, t)}{\partial x}$  – funksiya ham chiziqli bo'lishi.

4.  $\psi(x,t)$  funksiya va uning hosilasi  $\frac{\partial \psi(x,t)}{\partial x}$  ham «o'zini yaxshi tutishi», ya'ni matematik til bilan aytganda bir qiymatli, chekli va uzlusiz bo'lishi.

5.  $x \rightarrow \pm\infty$  da  $\psi(x,t)$  funksiya nolga intilishi, ya'ni  $\lim_{x \rightarrow \pm\infty} \psi(x,t) \rightarrow 0$  bajarilishi shart.

Bir qiymatilik talabiga bo'ysunuvchi to'lqin funksiya  $\psi(x,t)$  ni ba'zi xossalari ustida to'xtalamiz. Vaqtning biror onida va fazoning biror nuqtasi uchun hisoblangan  $|\psi(x,t)|^2$  vaqtning shu lahzasida fazoning mazkur nuqtasida shu to'lqin funksiyani tavsiflovchi zarraning qayd qilishi ehtimoliga proporsional. Bu esa  $|\psi(x,t)|^2$  dan butun fazo bo'yicha olingan integralni chekli bo'lishini talab qiladi, chunki zarra har qanday holda ham fazoning biror sohasida mavjud, ya'ni, boshqacha aytganda, fazoda zarra, albatta, bor. Agar fazoning elementi  $dV$  desak, quyidagi integral

$$\int_{-\infty}^{+\infty} |\psi(x,t)|^2 dV = 0$$

bo'lsa, u holda ushbu ifoda zarra hech qayerda yo'q degan ma'noni anglatadi. Aksincha, integral

$$\int_{-\infty}^{+\infty} |\psi(x,t)|^2 dV = \infty$$

ko'rinishda bo'lsa, zarra bir vaqtning o'zida fazoning hamma yerida (qismida) mavjud degan ma'noni beradi. Bu hol, albatta, haqiqatan yiroq.  $|\psi(x,t)|^2$  ning ta'rifiga ko'ra, uning qiymatlari mavhum va manifiy bo'lmasligi kerak. Shuning uchun ham  $|\psi(x,t)|^2$  dan butun fazo bo'yicha olingan integral chekli bo'lishi lozim. Bu degani, zarra berilgan vaqt momentida fazoning biror nuqtasida mavjud.

Agar  $|\psi(x,t)|^2$  ning qiymatini berilgan vaqt momentida fazoning berilgan nuqtasida  $\psi$  - funksiya tavsiflovchi zarraning qayd qilinishi ehtimoliga teng deb qarasak, u holda butun fazo bo'yicha  $|\psi|^2$  dan olingan integral

$$\int_{-\infty}^{+\infty} |\psi(x,t)|^2 dV = 1 \quad (13.23)$$

bo'lishi kerak. Matematik nuqtayi nazardan qaraganda, butun fazo bo'ylab zarranning qayd qilinishi ehtimoli birga teng, boshqacha aytganda, voqeaneing sodir bo'lishi aniqdir. (13.23) munosabatga bo'ysunuvchi to'lqin funksiya *normallangan to'lqin funksiya* deyladi. Fazoning har bir nuqtasida zarranning qayd qilinishi ehtimoli aniq bir qiymatga ega bo'lishi uchun to'lqin funksiya ham normallanuvchi, ham bir qiymatli bo'lishi zarur. Shuningdek, to'lqin funksiya va uning hosilalari  $\frac{\partial \psi}{\partial x}$ ,  $\frac{\partial \psi}{\partial y}$ ,  $\frac{\partial \psi}{\partial z}$  fazoning har bir nuqtasida uzlusiz bo'lishi shart.

Shunday qilib,  $\psi(x, y, z, t)$  – to'lqin funksiya (13.16) differensial tenglamaning yechimidir,  $|\psi(x, y, z, t)|^2$  – ifoda esa  $(x, y, z)$  nuqtada zarraning qayd qilinishi ehtimolining zichligi. Boshqacha aytganda,  $|\psi(x, y, z, t)|^2 dx dy dz$  ifoda  $dx dy dz$  hajmda zarraning qayd qilinishi ehtimolini ifodalaydi. Yuqoridagi mulohazalardan bu bandning yakunida shuni aytish kerakki, to'lqin funksiya uzlusiz, bir qiymatli va chekli bo'lishi Shryodinger tenglamasining to'g'ri yechimga olib keladi. To'lqin funksiya doimiy ko'paytuvchiga ega bo'lgan aniqlikda topiladi, ya'ni bir-biridan doimiy ko'paytuvchiga farq qilgan ikkita to'lqin funksiya faqat bitta holatni tavsiflaydi. Shu sababdan ham to'lqin funksiya birga normallanadi. Sistemaning turli holatlari orasida munosabat mavjud bo'lib, u yangi holatni hosil qilishi mumkin. Bu munosabatlarning mohiyati holatning superpozitsiya prinsipi bilan ifodalanadi. Ko'rib turibsizki, kvant nazariyada ikkita bir holatni qo'shish, provardida to'lqin funksiyani doimiy ko'paytuvchiga ko'paytirishga olib keladi va demak, yana shu holatning o'zi hosil bo'ladi.

### 13.5. Kvant mexanikada massa va elektr zaryadining saqlanish qonuni

Shryodinger tenglamasidan zarralar sonining saqlanish qonu-nini keltirib chiqarish mumkin. Zarralar sonining saqlanish qonuni

$$\frac{\partial \rho(r, t)}{\partial t} + \operatorname{div} \vec{j}(r, t) = 0 \quad (13.24)$$

uzlusiz tenglama bilan ifodalanadi. Bunda  $\rho(\vec{r}, t)$  –  $x, y, z$  nuqta zarralar sonining o'rtacha zichligi,  $\vec{j}$  – zaryadlar oqimining o'rtacha zichligi.

Bu tenglamani olish uchun Shryodinger tenglamasini quyidagi ko'rinishda yozamiz:

$$i\hbar \frac{\partial \psi}{\partial t} = -\frac{\hbar^2}{2m} \nabla^2 \psi + U\psi = 0 \quad (13.25)$$

Kompleks qo'shma funksiya uchun

$$-i\hbar \frac{\partial \psi^*}{\partial t} = -\frac{\hbar^2}{2m} \nabla^2 \psi^* + U\psi = 0 \quad (13.26)$$

tenglamani olamiz.

(13.25) tenglamani  $\psi^*$  ga, (13.26) tenglamani esa  $\psi$  ga ko'paytiramiz, so'ngra birinchi tenglamadan ikkinchi tenglamani ayiramiz:

$$i\hbar(\psi^* \frac{\partial \psi}{\partial t} + \psi \frac{\partial \psi^*}{\partial t}) = -\frac{\hbar^2}{2m}(\psi^* \nabla^2 \psi - \psi \nabla^2 \psi^*). \quad (13.27)$$

Bu tenglamani quyidagicha yozsa bo'ladi:

$$i\hbar \frac{\partial}{\partial t}(\psi \psi^*) = -\frac{\hbar^2}{2m} \operatorname{div}(\psi^* \nabla \psi^* - \psi \nabla \psi) \quad (13.28)$$

Psi-funksiyaning statistik izohiga asoslanib,  $r$  ehtimol zichligi

$$\rho = \psi \psi^* \quad (13.29)$$

Agar  $\vec{j}$  orqali

$$\vec{j} = \frac{i\hbar}{2m}(\psi \nabla \psi^* - \psi^* \nabla \psi) \quad (13.30)$$

ni belgilasak, u holda (13.28) tenglikni

$$\frac{\partial p}{\partial t} + \operatorname{div} \vec{j} = 0 \quad (13.31)$$

ko'rinishda yozish mumkin. Bundan ko'riniib turibdiki,  $\vec{j}$  – ehtimol tok vektorining zichligi. Bunda,  $p = \psi \psi^*$  – zarraning o'rtacha zichligi deb qarash mumkin. U holda  $\vec{j}$  ni 1 sekundda  $1 \text{ sm}^2$  yuzadan o'tayotgan zarralarning o'rtacha oqimi deb qarash mumkin. Shu sababdan ham (13.31) ni zarralar sonining saglanish qonuni sifatida talqin etish mumkin.

Agar (13.31) ni  $V$  – chekli hajm bo'yicha integrallasak va Gauss teoremasini qo'llasak,

$$\frac{\partial}{\partial t} \int p dv = - \int_V \operatorname{div} \vec{j} dv = - \int_S j_n ds \quad (13.32)$$

Oxirgi integral  $V$  hajjni  $S$  sirti bo'ylab olingan integral.

Butun fazo bo'ylab ( $V \rightarrow \infty$ ) integral olsak, to'lqin funksiya va  $\vec{j}$  – tok zichligi cheksiz uzoqlashgan yuzada nolga teng bo'ladi:

$$\frac{\partial}{\partial t} \int p dv = \frac{\partial}{\partial t} \int_{\infty} \psi^* \psi dv = 0 \quad (13.33)$$

ya'ni fazoning u yoki bu nuqtasida zarrani qayd qilinishining to'la ehtimoli vaqtga bog'liq bo'lmaydi. Demak, zarralar soni o'zgarmay qoladi. Shu bilan bir qatorda (13.33) tenglama vaqt o'tishi bilan to'lqin funksiyaning normallangan o'zgarmasligini ifodalaydi.

$\vec{j}$  va  $\vec{p}$  ni zarra massasi  $m$  ga ko'paytirsak,

$$\vec{p}_m = m \cdot \vec{p} = m|\psi|^2, \quad \vec{j}_m = \frac{i\hbar}{2}(\psi \nabla \psi^* - \psi^* \nabla \psi) \quad (13.34)$$

hosil bo'ladi. Bu hol  $\vec{r}_i$ -massanining o'rtacha zichligi,  $\vec{j}$  esa massanining o'rtacha tok zichligini ifoda etadi. (13.31) ga ko'ra,

$$\frac{\partial p_m}{\partial t} + di\bar{v}_m = 0 \quad (13.35)$$

cheksiz kichik sohada o'rtacha massanining o'zgarishi, shu sohani chegaralangan yuzadan kirayotgan yoki chiqayotgan massaga bog'liq.

Agar  $\vec{p}$  va  $\vec{j}$  ni zarra zaryadi  $l$  ga ko'paytirsak,

$$\frac{\partial p_l}{\partial t} + di\bar{v}_l = 0 \quad (13.36)$$

ga ega bo'lamiz. Bu tenglamalar kvant sohada massa va zaryadning saqlanish qonunini ifodalaydi.

### 13.6. Shryodingerning statsionar tenglamasi

Oldingi bandda Shryodingerni vaqtga bog'liq tenglamasini bir o'lchamli fazo uchun

$$i\hbar \frac{\partial \psi(x, t)}{\partial t} = \hat{H} \psi(x, t) \quad (13.37)$$

ko'rinishda yozsak, bunda

$$\hat{H} = -\frac{\hbar^2}{2m} \frac{\partial^2}{\partial x^2} + U(x, t)$$

Tashqi o'zgaruvchan maydonlar bo'limganda  $\hat{H}$  – gamiltonian vaqtga bog'liq bo'lmaydi va u  $\hat{H}(x)$  to'la energiya operatori bilan mos tushadi. Bu tenglamaning yechimi

$$\psi(x, t) = A \exp\left[-\frac{i}{\hbar}(Et - px)\right]$$

ko'rinishdagi to'lqin funksiyaga ega.

$x$  va  $t$  o'zgaruvchilarga ajratish usulini qo'llab yuqoridagi funksiyanini

$$\psi(x, t) = \psi(x)f(t) \quad (13.38)$$

shaklga keltiramiz. Bunda

$$\psi(x) = Ae^{\frac{i}{\hbar}px}$$

va

$$f(t) = e^{-\frac{i}{\hbar}Et}.$$

(13.38) ifodani

$$\psi(x, t) = \psi(x) \cdot e^{-\frac{iEt}{\hbar}} \quad (13.39)$$

ko'rinishda yozish mumkin.

(13.39) dan vaqt bo'yicha birinchi tartibli hosila olsak:

$$\frac{\partial \psi(x, t)}{\partial t} = -\frac{i}{\hbar} E \psi(x) e^{-\frac{iEt}{\hbar}} \quad (13.40)$$

$x$ -koordinata bo'yicha ikkinchi tartibli hosila esa

$$\frac{\partial^2 \psi(x, t)}{\partial x^2} = \frac{\partial^2 \psi(x)}{\partial x^2} e^{-\frac{iEt}{\hbar}} \quad (13.41)$$

ko'rinishdagi munosabatga olib keladi.

(13.39), (13.40) va (13.41) larni (13.37) tenglamaga qo'yamiz va natijada,

$i\hbar \left( -\frac{i}{\hbar} E \psi(x) \right) e^{-\frac{iEt}{\hbar}} = -\frac{\hbar^2}{2m} \frac{\partial^2 \psi(x, t)}{\partial x^2} e^{-\frac{iEt}{\hbar}} + U \psi(x) e^{-\frac{iEt}{\hbar}}$   
tenglik kelib chiqadi. Bu tenglikni ikkala tomonini  $\exp\left[-\frac{iEt}{\hbar}\right]$  ko'-

paytuvchiga qisqartirib va  $\frac{\partial^2}{\partial x^2}$  ni  $\frac{d^2}{dx^2}$  ga almashtirib

$$E \psi(x) = -\frac{\hbar^2}{2m} \frac{\partial^2 \psi(x, t)}{\partial x^2} + U \psi(x) \quad (13.42)$$

tenglamani hosil qilamiz. Ushbu tenglamaga *Shryodingerning vaqtga bog'liq bo'lмаган yoki statsonar tenglama* deb ataladi. Bu tenglamadagi  $\psi(x)$  funksiyani ham to'qin funksiya deb atashadi.

(13.42) tenglamani kanonik (standart) shaklda yozamiz, ya'ni

$$\frac{d^2 \psi(x, t)}{dx^2} + \frac{2m}{\hbar^2} (E - U) \psi(x) = 0. \quad (13.43)$$

Bu tenglamada  $U(x)$  – potensial funksiya oshkor ravishda vaqtga bog'liq emas deb hisoblanadi. (13.43) tenglamani o'lchamli fazoga ham juda oson yozish mumkin:

$$\nabla^2 \psi(r) + \frac{2m}{\hbar^2} (E - U) \psi(r) = 0. \quad (13.44)$$

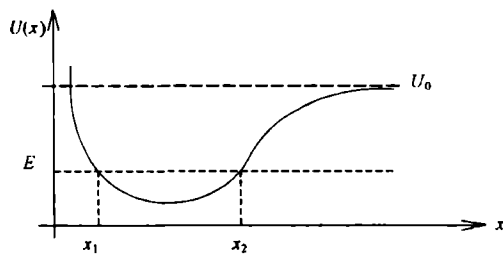
### 13.7. Shryodinger tenglamasi va yechimining asosiy xossalari. Energetik sathlarni kvantlanishi

Keyingi boblardan birida biz Shryodinger tenglamasini bir nechta fizikaviy masalaga qo'llab, hosil bo'lgan yechimlari bilan sizni mufas-

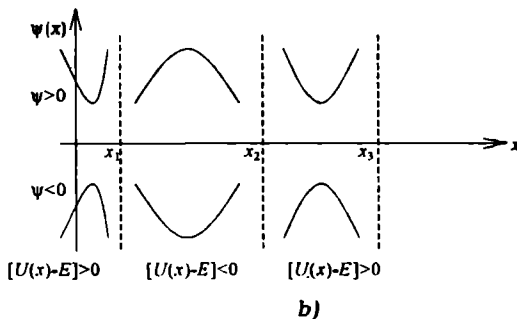
sal tanishtiramiz. Hozir esa  $U(r)$  potensial maydonning ko'rinishini aniqlashtirmsandan, Shryodinger differensial tenglamasini xususiy yechimlarining umumiyy xossalari haqida to'xtalamiz.

Uzlksiz fazoviy o'zgaruvchilarning uzlksiz funksiyalari qatnashgan differensial tenglamadan qanday qilib kvant effektlari, masalan, atomda energiyaning diskret sathlari hosil bo'ladi degan savolga javob berishga harakat qilamiz. Atomning potensial «qudug'i»ga tushib qolgan elektron energiyasi, fazoning ma'lum sohasida qolishga majbur bo'lib, u faqat aniq diskret qiymatlar qabul qilishi kerak, degan faktni biz yaxshi tushunib olishimiz kerak.

Soddalik uchun elektron bir o'lchamli fazoda  $x$  o'qi bo'yicha harakat qilsin va uning potensial energiyasi  $U(x)$  13.4-rasmida tasvirlangani kabi o'zgarsin. Bu potensial statik, ya'ni vaqt o'tishi bilan o'zgarmas. 13.4-a-rasmdagi ko'rinishga ega bo'lgan potensial egrilik kvant mechanikaning juda ko'p turli masalalarda ishlataladi. Masalan, ikki atomli molekulada atomlar orasidagi o'zaro ta'sir potensial energiyasi xuddi shunday ko'rinishga ega. Bu holda atomlar markazlari orasidagi masofa  $x$  ga teng va u  $U(x)$  funksiyaning minimumi esa molekulada atomlarning muvozanat holatini aks ettiradi.



a)



b)

13.4-rasm.

a)  $x$  o'qi bo'ylab harakatlanayotgan zarra uchun potensial o'ra;

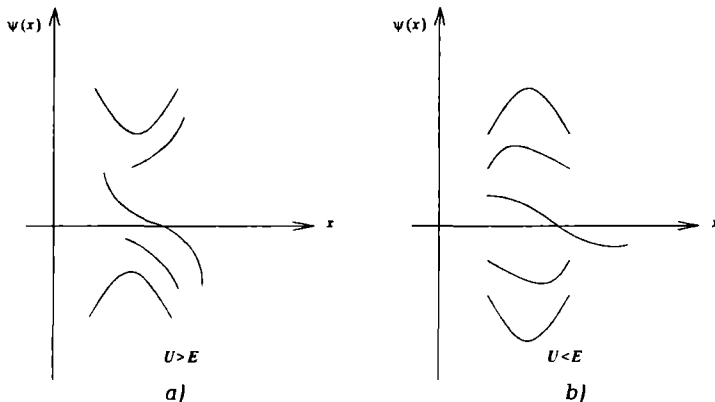
b) turli sohalarda to'lqin funksiyaning ko'rinishi.

Bu hol uchun (13.43) Shryodingerning statsionar tenglamasi o'rinli bo'lib, uni quyidagi ko'rinishda yozamiz:

$$\frac{d^2\psi(x, t)}{dx^2} = \frac{2m}{\hbar^2} [U(x) - E]\psi(x) \quad (13.45)$$

va uning yechimini (13.39) ko'rinishda izlaymiz. Bilamizki, bu funksiya aniq chastotaga, ya'ni aniq energiyaga javob beruvchi holatlarni ifodalaydi.

(13.45) tenglamadan ko'rindaniki,  $\psi(x)$  funksiyadan  $x$  bo'yicha olin-gan ikkinchi tartibli hosila doimo shu  $\psi(x)$  funksiyaning o'ziga proporsional va bunda  $(U(x) - E)$  ko'paytma proporsionallik koeffitsiyentini bajaradi. Matematik tahlildan yaxshi bilamizki,  $\psi(x)$  dan olingan ikkinchi tartibli hosila shu  $\psi(x)$  funksiya og'ishishini tezligini ifodalaydi. Agar  $U$ -potensial zarra energiyasi  $E$  dan ( $U > E$ ) katta bo'lsa, u holda  $\psi(x)$  funksiyaning og'ishish (krivizna) tezligining ishorasi,  $\psi(x)$  funksiyaning ishorasi bilan bir xil bo'ladi. Bu degani  $\psi(x)$  funksiya o'zining do'ngligi bilan  $x$  o'qiga burligan va  $e^{\pm kx}$  eksponentaning musbat yoki manfiy yo'lini ifodalaydi. 13.4a-rasmdagi chizmada  $x$  o'qining  $x_1$  nuqtadan chap tomonidagi sohada  $U > E$  bo'lgani uchun  $\psi(x)$  funksiyaning bu sohadagi ko'rinishi 13.5a-rasmdagi egrilikdan birortasiga o'xshagan bo'lishi mumkin. Mabodo,  $U < E$  bo'lsa, u holda  $\frac{d^2\psi}{dx^2}$  ning ishorasi aksincha,  $\psi(x)$  ishorasiga teskari bo'ladi. Bu holda  $\psi(x)$  egrilik o'zining botiqligi bilan doimo  $x$  o'qi tomon qaragan bo'ladi. 13.5b-rasmda shunday egriliklar keltirilgan.



13.5-rasm.  $U > E$  va  $U < E$  shartlar uchun to'lqin funksiyaning mumkin bo'lgan formalari (shakllari).

Zarra to'la energiyasining qiymati  $U$  dan kichik holda u potensial o'ra tomonidan "ushlanib" qoladi va  $x_1 \leq x < x_2$ , sohada o'mashib (lokallahib) qoladi. Bu hol uchun yuqorida aytganimizdek,  $\frac{d^2\psi}{dx^2}$  ning ishorasi  $\frac{2m}{\hbar^2} [U(x) - E]$  bilan  $\psi(x)$  funksiyaning ishoralari orqali aniqlanadi. Ox o'qni uchta intervalga bo'laylik:  $x < x_1$ ,  $x_1 \leq x \leq x_2$ ,  $x \geq x_2$ . Birinchi va uchinchi intervallar uchun  $[U(x) - E] > 0$ , ikkinchi interval uchun  $[U(x) - E] < 0$ . Demak,  $\frac{d^2\psi}{dx^2}$  va  $\psi(x)$  ni birinchi va uchinchi sohalarda  $\psi$  funksiyani grafigi  $x$  o'qiga o'ng tomoni bilan qaragan ( $\psi > 0$  va  $\psi < 0$  hollar uchun) va ikkinchi sohada botiq tomoni qaragan. 13.5-rasmda to'lqin tenglamaning yechimi bo'lgan  $\psi(x)$  funksiyaning mumkin bo'lgan ko'rinishlaridan biri tasvirlangan.

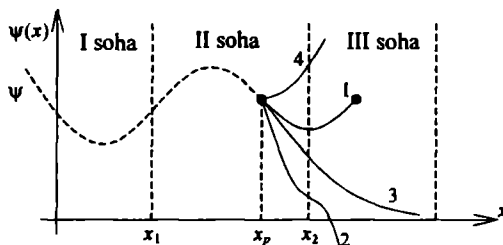
$\frac{d^2\psi}{dx^2}$  ni  $\psi(x)$  bilan bog'lovchi (13.45) tenglama har qanday differentzial tenglama kabi umumiy yechimga ega.  $x = x_0$  nuqtada  $\psi$  va uning birinchi hosilasi  $\frac{d\psi}{dx}$  ni xususiy qiymatini berilishi  $x$  ning barcha qiyatlari uchun  $\psi(x)$  ni xususiy yechimini beradi.

$x_0$  nuqtani, masalan, ikkinchi sohada tanlaylik va uning uchun  $\psi(x_0)$  va  $\left. \frac{d\psi}{dx} \right|_{x=x_0}$  ni qiyatlari ham berilgan bo'lsin (13.6-rasm).

dastlabki qiyamat  $\psi(x_0) > 0$  ni tanlaganimiz uchun, ikkinchi sohada uning botiqligi  $x$  ga qaragan (13.4b-rasm) egrilik misolida  $x$  o'qining ortishi yo'nalishida  $\psi(x)$  ning yo'lini tahlil qilamiz (13.6-rasm). III sohaga yet-guncha egrilikning botiqligi  $x$  o'qiga tomon qaragan holda bo'ladi. Sohaning chegarasi  $x = x_2$  nuqtada  $[U(x) - E]$  kattalik ishorasini o'zgartiradi,  $\psi$  funksiyaning qiymati musbatligicha qoladi,  $\frac{d^2\psi}{dx^2}$  esa nolga teng bo'ladi. Berilgan boshlang'ich shartda  $\left. \frac{d\psi}{dx} \right|_{x=x_0} < 0$  bo'lgani uchun

$\frac{d\psi}{dx}$  hosila  $x = x_2$  nuqtada eng kichik manfiy qiymatga ega bo'ladi, so'ngra u III sohada o'sa boshlaydi. Shunday qilib,  $x = x_2$  nuqtada egrilik qayrilishi ro'y beradi; III sohada egrilik manfiy og'ishishi avval

nol, so'ngra musbat bo'ladi. Og'ishning o'zgarish tezligi, ya'ni  $\frac{d^2\psi}{dx^2}$   $[U(x) - E]$  ga va  $ox$  o'qidan egrilikkacha bo'lgan masofa  $\psi(x)$  ga proporsional. Pirovardida III cohada 1-egrilik cheksiz o'sa boshlaydi.

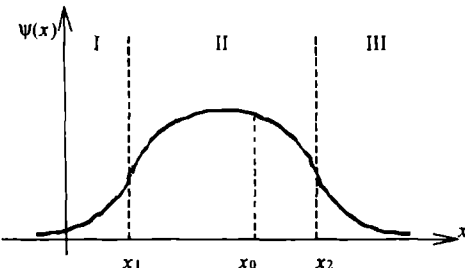


13.6-rasm.

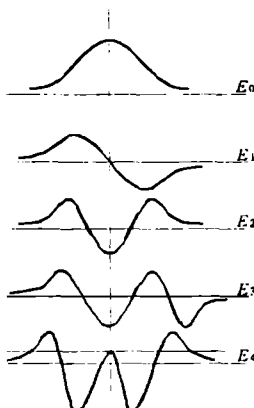
Dastlabki shartlarni boshqacha berilishida  $\psi(x)$  xatti-harakatini ikkinchi egrilik ifodalasin. Masalan, uning uchun  $\psi(x_0)$  ni qiyamatini o'zgartirmay  $\left.\frac{d\psi}{dx}\right|_{x=x_0}$  ning qiyamatini sal kamroq olamiz. Bu holda 2-egrilik III sohada  $x \rightarrow +\infty$  da  $\psi$  funksiya  $-\infty$  ga intiladi. Agar  $x = x_0$  nuqtada  $\left.\frac{d\psi}{dx}\right|_{x=x_0}$  to'g'ri tanlangan bo'lsa, u holda 3-egrilikni olishimiz mumkin. Bu hól uchun egrilik botiqligi yuqoriga qaragan va  $ox$  o'qidan yuqorida joylashgan,  $x$  ni ortishi bilan  $\psi(x)$  asimptotik nolga intiladi. Bu hol bizni qanoatlantiradigan yechimdir.

Endi shu 3-egrilikni  $x$  ni kamayishi tomon ko'rinishini tahlil qilaylik. Bunda ham  $x \rightarrow -\infty$  da  $\psi$  funksiya esa musbat yoki manfiy qiyamatga ega bo'lgan cheksizlikka ega bo'lishi lozim. Shu hollardan biri 13.6-rasmda  $\psi(x)$  uchun shtrixlar bilan ko'rsatilgan. Shunday qilib  $U(x)$  ni berilgan grafiki uchun va  $E$  ni erkli tanlaganimizda Shryodinger tenglamasi normal yechimga ega emas. Biroq  $E$  ni turlicha tanlash yo'li bilan tasodifan shunday  $E_1$  ni topish mumkinki,  $\psi(x)$ -funksiya  $x$  ning har qanday qiyamatida to'g'ri yo'l tutishi mumkin. «Hulq»i to'g'ri bo'lgan  $\psi(x)$  lardan biri 13.7-rasmda tasvirlangan. Bundan potensial o'rada bog'lanib qolgan zarra uchun yagona energiya mavjud ekan degan xulosaga kelamizmi? Yo'q. Boshqalari ham,  $E_1, E_2, E_3, \dots$  kabilari ham bo'lishi mumkin. Bu xususiy qiyatlari uchun ham,  $\psi_1, \psi_2, \psi_3, \dots$  xususiy to'lqin funksiyalarining «hulqi» ham yaxshi bo'lishi mumkin. Shunday qilib, quyidagi xulosaga kelamiz. Agar zarra potensial o'raga kirib qolgan bo'lsa, u holda uning energiyasi aniq bir qiyatlari olib diskret energetik spektr hosil qiladi. Ko'rib turibsizki, kvant fizikaning

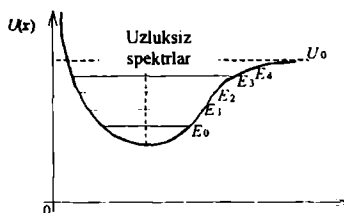
eng muhim faktini Shryodingerning differensial tenglamasi tavsiflayapti. Sizga bir narsani eslatib o'tamiz. Agar  $E > U$  bo'lsa, u holda diskret yechimlar hosil bo'lmaydi va bu holda energiya istalgan qiyamatga ega bo'ladi va natijada, uzlusiz spektr hosil bo'ladi. Masalan, shunday hol erkin elektronlar potensial o'radan sochilganda yuzberadi. 13.8-rasmda 5 ta bog'langan energetik holat uchun  $\psi(x)$  funksiyaning shakllari va 13.9-rasmda esa erkli formadagi potensial energiya uchun Shryodinger bir o'lchamli tenglamasidan energiyaning kvantlanish masalasi va shuningdek, uzlusiz spektr tasvirlangan.



13.7-rasm.



13.8-rasm.



13.9-rasm.

### 13.8. Statsionar holatlar

Shryodingerning (13.45) tenglamasi vaqt o'tishi bilan mikrozarralar harakatining holatini o'zgarmasdan qolishini tavsiflovchi tenglama va u energiya o'zgarmay qolganda bajariladi. Odadta, bunday holatni *statsionar holat* deymiz.

Statsionar holatda zarra vaqt o'tishi bilan fazoning biror nuqtasidan boshqa nuqtasiga ko'chib o'tadi va bu ko'chish qandaydir traektoriya bilan ro'y beradi, deb aytolmaymiz. Klassik fizikada zarranining harakati deganda, uni vaqt o'tishi bilan fazodagi ko'chishini tushunamiz. Kvant mexanikada zarra harakati degan tushuncha kengroq ma'nio anglatadi.

Harakat bu statsionar holatga kelish bilan bog'lanmagan, balki harakat statsionar holatning o'zgarishi bilan bog'langan. Statsionar holat tushunchasiga bunday qarash juda chuqur ma'noga ega, chunki olamda nimadir sodir bo'lar ekan, demak, nimadir o'zgaryapti. Agar hech narsa o'zgarmaganda edi, hech narsa ham sodir bo'lмаган bo'lar edi.

Agar dunyoning barcha tarkibiy qismlari statsionar holatga o'tganda edi, u holda bu o'tish Koinot hayotida juda ham buyuk voqeа sodir bo'lganda bo'lar edi. Bu voqeадан so'ng uning yashashi to'xtab qolgan bo'lar edi. Shuningdek, agar Koinot biror statsionar holatdan nostatsionar holatga o'tsa, bu ham buyuk voqeа. Koinotning yaratilishi – buyuk voqeа. 10–15 milliard yil avval «buyuk portlash» tufayli Koinot yaratilishi – bu statsionar holatdan nostatsionar holatga o'tish mahsuli. Afsuski, bu haqda hech kim hech narsa bilmaydi, chunki «buyuk portlash» gacha Koinot qanday holatda bo'lganligi haqida hech narsa ma'lum emas.

Koinot holati umuman (yaxlit) olganda statsionar emas, biroq uning tarkibiy qismlari (masalan, atomlar) statsionar holatlarda bo'lishi mumkin. Bu holatlar abadiy bo'lganda edi, ular bilan hech nima sodir bo'lmas edi. Biz ham u haqida hech narsa bilmagan edik. Ularning borligini bilish uchun esa statsionar holatni o'zgartirish kerak. Statsionar holatning o'zgarishini bilish uchun esa, avvalambor, statsionar holatlarning o'zi haqida ma'lumotga ega bo'lismiz kerak.

Statsionar holatlar fizik dunyoni tavsiflashda fundamental boshlang'ich momentdir. Statsionar holatlarning fundamental xossasi uning yaxlitligidir. Statsionar holatlarning fizik xossalardan matematik talablar kelib chiqadi va bu talablar statsionar holatni tavsiflovchi to'lqin funksiyaga qo'yiladi.

Statsionar holatning bosh xossasi orqali fotonning harakati tavsiflanadi. Foton yaxlitligi va uni qismlarga bo'lib bo'lmasligi bosh xossa oldida yotadi.

Kvant mexanika masalalarini to'g'ri tushuntirish uchun statsionar holat tushunchasi haqida alohida so'z yuritish kerak. Statsionar holatning to'lqin funksiyasi:

$$\psi(x, y, z, t) = \psi(x, y, z) \cdot e^{-\frac{iEt}{\hbar}} \quad (13.46)$$

Kvant mexanikada statsionar holat deganda, vaqtga bog'liq bo'lмаган holat emas, balki (13.46) qonun bo'yicha o'zgaradigan holat tushuniladi.

Statsionar holatning eng muhim alomati shundaki, istalgan mexanik kattalikni matematik ifodasi doimo o'zargas, uning operatori oshkor ravishda vaqtga bog'liq emas. Haqiqatan ham

$$\langle L \rangle = \int \psi^*(x, y, z, t) \hat{L} \psi(x, y, z, t) dv = \int e^{\frac{iEt}{\hbar}} \psi^*(x, y, z) \cdot \hat{L} \cdot e^{-\frac{iEt}{\hbar}} \psi(x, y, z) dv =$$

$$= e^{-\frac{IE_1}{\hbar}} e^{-\frac{IE_1}{\hbar}} \int \psi(x, y, z) \hat{L} \psi(x, y, z) dv = \int \psi(x, y, z) \hat{L} \psi(x, y, z) dv$$

Statcionar holatda elektron zichligini taqsimlanishi ham vaqtga bog'liq emas:

$$|\psi(x, y, z, t)|^2 = \psi(x, y, z)^2$$

Bundan kelib chiqadiki, yakkalangan molekulada uning taqsimlanishi o'zining erkligiga o'zgaradi. Masalan, benzolning



holatdan holatga o'tishi (yoki aksincha) kvant mexanika nuqtayi nazaridan xato tushunchadir.

### SAVOLLAR

1. Atom uchun de-Broyl modeli bilan Shryodinger modelini aytинг va ular orasidagi asosiy farqlarini tushuntiring.
2. Erkin harakat qilayotgan zarra uchun bir o'lchamli fazoda Shryodinger tenglamasini yozing va tushuntiring.
3. Potensial maydonda harakat qilayotgan zarra uchun bir o'lchamli fazoda Shryodinger tenglamasini yozing va tushuntiring.
4. Uch o'lchamli fazoda harakat qilayotgan zarra uchun Shryodinger tenglamasini yozing va tushuntiring.
5. Uch o'lchamli fazoda erkin harakat qilayotgan zarra uchun Shryodinger tenglamasini yozing va tushuntiring.
6. Shryodinger tenglamasi empirik tenglamami yoki biror nazariy usulda keltirib chiqarish mumkinmi?
7. Vaqtdagi ko'chirish operatori ko'rinishini yozing, uning klassik fizika asosidan keltirib chiqarish mumkinmi?
8. Kvant mexanikada gamiltonian qanday yoziladi?
9. To'la energiya va impuls uchun differensial spektrlarni yozing.
10. To'lg'ın funksiyaga qanday talablar qo'yiladi?
11. Uzlusiz bir qiymatli va chekli kabi matematik tushunchalarni izohlang.
12.  $\lim_{t \rightarrow \infty} \psi(x, t) \rightarrow 0$  ifodani ma'nosini tushuntiring.
13. Superpozitsiya prinsipini tushuntiring.
14.  $\int |\psi(x, t)|^2 dv = 0$  ifodaning fizik ma'nosini tushuntiring.
15.  $\int_{-\infty}^{+\infty} |\psi(x, t)|^2 dv = \infty$  ifodaning fizik ma'nosini tushuntiring.
16.  $\int_{-\infty}^{+\infty} |\psi(x, t)|^2 dv = 1$  ifodaning fizik ma'nosini tushuntiring.

17. Shryodinger tenglamasining differensial ko'rinishini izohlang.

18. Shryodinger tenglamasining operator ko'rinishida yozing va izohlang.

19. To'la energiya operatori va gamilton operatorini yozing va farqini izohlang.

20.  $i\hbar \frac{\partial \psi}{\partial t}$  ifoda oldidagi  $i$  soni nimani ifodalaydi? Jarayonni davomiy yoki qaytmas ekanligini qanday tushuntirish mumkin?

21. Klassik fizikadagi tenglamalarda  $i$  sonini qatnashishini qanday izohlash mumkin?

22. Kvant mexanikada kompleks sonni ishtirok etishi nimani anglatadi?

23. Shryodinger tenglamasining yechimi bo'lgan to'lqin funksiya de-Broyl munosabatlari va to'la energiya formulasi bilan mos kelishi kerak degan tushunchani kengroq tushuntiring.

24. Shryodingerning statsionar tenglamasini yozing.

25. Shryodingerning statsionar tenglamasida to'lqin funksiya qanday ko'rinishda yoziladi?

26. Shryodinger tenglamasidan foydalaniib, massani saqlanish qonunini yozing.

27. Shryodinger tenglamasidan foydalaniib, elektr zaryadni saqlanish qonunini yozing.

28. Uzluksiz fazoviy o'zgaruvchilar qatnashgan differensial tenglamadan energiyani kavntlanishi qanday kelib chiqadi?

29.  $\frac{\partial^2 \psi}{\partial^2 x}$  ifoda matematik nuqtayi nazardan nimani anglatadi?

30. Shryodingerning statsiornar tenglamasining umumiy xossalari ko'rsating.

31. Statsionar holat deganda, nimani tushunasiz?

32. Statsionar holatga kengroq falsafiy urg'u bering.

33. Statsionar holatni tavsiflash uchun to'lqin funksiya qanday ko'rinishda olinadi va uni tushuntiring.

34. Shu bob haqida o'z tasavvuringizni bayon qilishga harakat qiling.

### MASALALAR

13.1. Ozod zarra to'lqin funksiyasini qanoatlantiruvchi tenglamani yozing va tushuntiring.

13.2. Ehtimolni saqlanishi uchun  $\hat{H}$  operatoriga qanday talablar qo'yiladi?

13.3. Moslik prinsipiiga tayanib,  $\hat{H}$  operatorini ta'riflang.

13.4. To'lqin tenglama nimani ifodalaydi?

13.5. Ehtimol tokining umumiy tenglamasini yozing.

13.6.  $\langle H \rangle$  – o'rtacha energiya ekanligini isbotlang.

13.7. Kvant mexanikada energiyani saqlanish qonunini yozing.

13.8. Vaqtning  $t=0$  momentida erkin zarraning to'lqin funksiyasi

$$a) \psi(x,0) = \sqrt{\frac{1}{\pi\hbar}} \sin\left(\frac{xp_0}{\hbar}\right); \quad b) \psi(x,0) = \sqrt{\frac{1}{\pi\hbar}} \exp\left(\frac{ixp_0}{\hbar}\right)$$

ko'ri-nishda bo'lsa, u holda keyingi vaqt momentlari uchun to'lqin funksiyani toping.

13.9. Agar potensial energiya vaqtga bog'liq bo'lmasa, Shryodingerning vaqtga bog'liq tenglamasi statcionar yechim berishini ko'rsating.

13.10. Agar potensial energiyani sanoq boshini  $\Delta U$  ga o'zgartirsak, statcionar holatni tavsiflovchi to'la to'lqin funksiya qanday o'zgaradi?

$$13.11. \text{ Shryodinger tenglamaridan foydalanim, } \frac{d}{dt} \int \psi^* \psi d\tau = 0$$

tenglikni keltirib chiqaring.

13.12. Statcionar holatlar uchun ehtimol zichligi va tok zichligi ehtimolini vaqtga bog'liq emasligini ko'rsating.

13.13. Statcionar holatlarda istalgan fizikavki kattalikning biror qiyymatga ega bo'lishi ehtimolini vaqtga bog'liq emasligini ko'rsating.

13.14. Erkin zarra uchun Shryodingerning vaqtga bog'liq tenglamasini umumiy yechimini toping.

13.15. Erkin harakat qilayotgan zarra uzlusiz energetik spektriga ekanligini ko'rsating.

13.16. O'zining inertsiya markazi tekisligi atrofida aylanayotgan ikkita bir-biriga mustahkam bog'langan zarralardan tashkil topgan sistema *yassi rotator* deyiladi. Bu rotatorming energiya operatori

$$\hat{H} = -\frac{\hbar^2}{2I} \frac{\partial^2}{\partial \phi^2} \quad (\text{bunda, } I \text{ inersiya momenti}). \quad \text{Agar } t=0 \text{ momentda}$$

to'lqin funksiya  $\psi(\phi,0) = A \sin^2 \phi$  ko'rinishga ega bo'lsa, yassi rotator holati vaqt bo'yicha qanday o'zgaradi?

Tok zichligi ehtimoli  $\vec{j}$  ni aniqlang.

13.17.  $t=0$  momentda erkin zarrani tavsiflovchi to'lqin funksiya

$$\psi(\phi,0) = Ae^{-\frac{x^2}{a^2} + ik_0x} \quad \text{ko'rinishga ega. A koeffitsiyentni va zarra local-lashgan sohani toping. Tok zichligi ehtimoli } \vec{j} \text{ ni aniqlang.}$$

13.18. da keltirilgan funksiya uchun Fure koeffitsiyentlarini toping va  $k$  fazodagi to'lqin-paket kengligini hisoblang. Noaniqlik munosabatini tekshiring.

13.19. Zarra erkin harakat qilayotgan bo'lsa, uning energiyasi, impuls proeksiyasi, impuls momenti hamda proeksiyasi saqlanadimi?

13.20. Zarra harakat qilayotgan paytda qaysi bir mexanik kattaliklar ( $E, p_x, p_y, p_z, L_x, L_y, L_z, L^2$ ) saqlanadi: a)  $U(z) = az$  bir jinsli potensial

maydon bo'lsin; b)  $U(r)$  markaziy simmetrik potensial maydon bo'lsin;  
d)  $U(z,t) = a(t)z$  bir jinsli o'zgaruvchan maydon bo'lsin.

13.21. Massasi  $m$  va impulsi  $E$  ga teng bo'lgan erkin norelativistik zarra  $x$ -o'qi bo'yicha harakat qilyapti. Bu zarra uchun  $x$  o'qi va  $x$  o'qining teskari yo'nalishida psi-funksiya  $\psi_E(x,t)$  uchun ifodani yozing.

13.22.  $t$ -massa va  $\vec{p}$  impulsiga ega bo'lgan norelativistik erkin zarra uchun  $\psi_p(\vec{r},t)$  ifodasini yozing.  $\psi_p(\vec{r},t)$  funksiyani qanoatlan-tiruvchi differensial tenglamani xususiy funksiya va qiymatlar uchun yozing.

13.23. Zarraning holati  $\psi(x)$  funksiya bilan tasvirlanadi.  $p_1$  va  $p_2$  kuzatish nuqtalarida olingan  $\Delta V_1$  va  $\Delta V_2$  hajmlarda zarrani kuzatish ehtimolini taqqoslang.

13.24. Massasi  $t$  bo'lgan zarrani tavsiflovchi to'lqin tenglama chiziqli differensial tenglama bo'lishi kerak, degani nimani bildiradi?

## XIV BOB

### **Mavzu: DINAMIK O'ZGARUVCHILARNING VAQT BO'YICHA O'ZGARISHI**

**Reja:**

14.1. Dinamik o'zgaruvchilarning vaqt bo'yicha differensiali.

Puasson qavslari.

14.2. Kvant mexanikada harakat tenglamalari (Gamiltonning kvant tenglamalari).

14.3. Erenfest teoremlari.

14.4. Harakat integrallari (Kvant mexanikada saqlanish qonunlari).

14.5. Kvant harakat tenglamalaridan klassik tenglamalarga o'tish.

## ADABIYOTLAR

1. А.Н.Матвеев. Атомная физика. М., 1989.

2. Д.И.Блохинцев. Основы квантовой механики. М., 1961.

3. Л.Шифф. Квантовая механика. М., «Ил», 1957.

4. Э.Ферми. Лекции по квантовой механике. М., «Мир», 1965.

**Masalaning qo'yilishi:** Bu bobda fizikaviy kattaliklarni vaqt bo'yicha o'zgarishi haqida so'z boradi. Shryodinger tenglamasi juda kichik vaqt birligida o'zgaruvchi kattaliklarni hisoblashning oddiy qoidalarni beradi. Bu bob ancha matematiklashgan bo'lib, asosan juda qiziquvchan talabalar uchun yozilgan. Bu bobda Puassonning klassik va kvant qavslari, harakat tenglamalari, Erenfest teoremlari, harakat integrallari va kvant mexanikada saqlanish qonunlari kabi mavzular kiritilgan. Shuningdek, kvant mexanika tenglamalaridan klassik tenglamalarga o'tish yo'llari ko'rsatilgan.

Bu bob boshqa boblarga qaraganda ancha murakkab. Lekin bu bobdagi mavzularni diqqat bilan o'qish va bilish kvant fizikaning matematik apparati va uni matematik yechishga yordam beradi. Ayniqsa, klassik fizika bilan kvant fizika orasidagi bog'lanishni anglashga imkoniyat yaratadi.

**Mavzu qahramoni:** Erenfest Paul Sigmundovich (1880–1933) fizik nazariyotchi olim. Venada tug'ilgan va 1904-yilda Vena universitetini tamomlagan. Termodinamika, statistik fizika, yadro fizikasi va kvant nazariyasi sohalarida ilmiy ishlar qilgan. Kvant fizika sohasida o'zining *Erenfest teoremlari* bilan mashhur.

## XIV bob. DINAMIK O'ZGARUVCHILARNING VAQT BO'YICHA O'ZGARISHI

### 14.1. Dinamik o'zgaruvchilarning vaqt bo'yicha differensiali. Puasson qavslari

Umuman olganda, dinamik o'zgaruvchilarning o'rtacha qiymati vaqt o'tishi bilan o'zgaradi. 12-bobda ko'rdikki, kvant mexanikada fizikaviy kattalikning o'rtacha qiymati

$$\langle L \rangle = \int \psi^*(x, t) \hat{L} \psi(x, t) dx \quad (14.1)$$

ifoda bilan aniqlanadi. (14.1) ifodadan ikkala qismidan vaqt bo'yicha differensial olamiz. U holda

$$\frac{d}{dt} \langle L \rangle = \int \psi^*(x, t) \frac{\partial \hat{L}}{\partial t} \psi(x, t) dx + \int \frac{\partial \psi^*(x, t)}{\partial t} \hat{L} \psi(x, t) dx + \int \psi^*(x, t) \hat{L} \frac{\partial \psi(x, t)}{\partial t} dx \quad (14.2)$$

ifoda o'rini bo'ladi. (14.2) ifodadagi birinchi had  $\frac{\partial L}{\partial t}$  ning o'rtacha qiymati nolga teng.

Shryodinger tenglamasidan foydalangan holda (14.2) ifodadagi ikkinchi va uchinchi hadlarni soddalashtirib yozamiz. Shryodinger tenglamasi

$$i\hbar \frac{\partial \psi}{\partial t} = \hat{H} \psi$$

cheksiz kichik vaqt oraliq'ida o'rtacha qiymatning o'zgarishini hisoblaydi. Bu tenglamani quyidagicha yozamiz:

$$\frac{\partial \psi}{\partial t} = \frac{1}{i\hbar} \hat{H} \psi, \quad \frac{\partial \psi^*}{\partial t} = -\frac{1}{i\hbar} \hat{H}^* \psi \quad (14.3)$$

(14.3) tenglamalarni e'tiborga olgan holda (14.2) ifodani quyidagi ko'rinishga keltiramiz:

$$\frac{d}{dt} \langle L \rangle = \left\langle \frac{\partial L}{\partial t} \right\rangle - \frac{1}{i\hbar} \int \left( \hat{H} \psi \right) \left( \hat{L} \psi \right) dx + \frac{1}{i\hbar} \int \psi^* \left( \hat{L} \hat{H} \psi \right) dx. \quad (14.4)$$

$\hat{H}$ -operatorini ermitligidan foydalanim, (14.4) ifodadagi birinchi integralni quyidagicha yozamiz:

$$\int \hat{H} \psi \left( \hat{L} \psi \right) dx = \int \psi \left( \hat{H} \hat{L} \psi \right) dx. \quad (14.5)$$

(14.5) ni (14.4) ga qo'ysak,

$$\frac{d}{dt} \langle L \rangle = \left\langle \frac{\partial L}{\partial t} \right\rangle + \frac{1}{i\hbar} \int \psi \left( \hat{L} \hat{H} - \hat{H} \hat{L} \right) dx \quad (14.6)$$

ifoda hosil bo'ladi.

Quyidagicha belgilash kiritamiz:

$$\left[ \hat{H}, \hat{L} \right] = \frac{1}{i\hbar} \left( \hat{L} \hat{H} - \hat{H} \hat{L} \right). \quad (14.7)$$

(14.7) belgini (14.6) ga qo'ysak, u ixcham ko'rinishga keladi, ya'ni

$$\frac{d}{dt} \langle L \rangle = \frac{\partial L}{\partial t} + \left[ \hat{H}, \hat{L} \right] \quad (14.8)$$

va

$$\frac{d \hat{L}}{dt} = \frac{\partial \hat{L}}{\partial t} + \left[ \hat{H}, \hat{L} \right]. \quad (14.9)$$

$\left[ \hat{H}, \hat{L} \right]$  – kommutatorni *Puassonning kvant qavslari* deb atashadi.

Puassonning kvant qavslari klassik fizikadagi Puassonning qavslariga o'xshash. Klassik fizikada  $L$  dinamik o'zgaruvchidan vaqt bo'yicha olingan to'la hosila

$$\frac{dL}{dt} = \frac{\partial L}{\partial t} + \sum_i \left( \frac{\partial L}{\partial x_i} \frac{dx_i}{dt} + \frac{\partial L}{\partial p_i} \frac{dp_i}{dt} \right) \quad (14.10)$$

formula bilan beriladi. Bunda,  $x_i$  – koordinatalar,  $r_i$  – impulslar.

Gamilton tenglamalari

$$\frac{dx_i}{dt} = \frac{\partial H}{\partial p_i}, \quad \frac{dp_i}{dt} = - \frac{\partial H}{\partial x_i} \quad (14.11)$$

dan foydalanib, (14.10) ni quyidagicha yozamiz:

$$\frac{dL}{dt} = \frac{\partial L}{\partial t} + \sum_i \left( \frac{\partial H}{\partial p_i} \frac{dL}{dx_i} - \frac{\partial L}{\partial p_i} \frac{dH}{dx_i} \right) = \frac{\partial L}{\partial t} + [H, L]. \quad (14.12)$$

Bunda,  $N$ -Gamilton funksiyasi.

Klassik fizikada

$$[H, L] = \sum_i \left( \frac{\partial H}{\partial p_i} \frac{dL}{dx_i} - \frac{\partial L}{\partial p_i} \frac{dH}{dx_i} \right) \quad (14.13)$$

kattalikka *Puassonning qavslari* deyiladi.

Agar  $\hat{L}$  – operator yoki  $L$  kattalik vaqtga oshkor ravishda bog'liq bo'lmasa, u holda (14.9) va (14.12) formulalar quyidagi ko'rinishga keladi:

$$\frac{d \hat{L}}{dt} = \left[ \hat{H}, \hat{L} \right], \quad (14.14)$$

$$\frac{dL}{dt} = [H, L]. \quad (14.15)$$

## 14.2. Kvant mexanikada harakat tenglamalari (Gamiltonning kvant tenglamalari)

Bu bandda klassik harakat tenglamalariga o'xshash kvant tenglamalarni izlaymiz. Boshqacha aytganda, kvant mexanikada vaqt o'tishi bilan koordinata va impulslarni o'zgarish qonuniyatlar bilan qiziqamiz. Impuls va koordinatalar vaqtga oshkor ravishda bog'liq bo'lmasaganligi sababli, ularni (14.14) ko'rinishdagi Puassonning kvant qavslari orqali ifodalash mumkin.

Agar  $x, y, z$  koordinatalarning o'rniga  $\hat{x}, \hat{y}, \hat{z}$  operatorlarni va  $\hat{p}_x, \hat{p}_y, \hat{p}_z$  impulslerning o'rniga  $\hat{\bar{p}}_x, \hat{\bar{p}}_y, \hat{\bar{p}}_z$  operatorlarni qo'ysak, u holda  $\hat{H}$  - gamiltonianni

$$\hat{H} = \hat{H}\left(\hat{x}, \hat{y}, \hat{z}, \hat{p}_x, \hat{p}_y, \hat{p}_z, t\right) \quad (14.16)$$

operator ko'rinishda yozish mumkin.

Endi koordinata operatorlaridan vaqt bo'yicha olnган differensialarni

$$\frac{d\hat{x}}{dt}, \frac{d\hat{y}}{dt}, \frac{d\hat{z}}{dt}$$

va impuls operatorlardan vaqt bo'yicha olnган differensiallarni

$$\frac{d\hat{p}_x}{dt}, \frac{d\hat{p}_y}{dt}, \frac{d\hat{p}_z}{dt}$$

kabi belgilaymiz.

(14.14) formuladagi  $\hat{L}$ ning o'rniga galma-galdan  $\hat{x}, \hat{y}, \hat{z}, \hat{p}_x, \hat{p}_y, \hat{p}_z$  operatorlarni qo'yish orqali

$$\begin{aligned} \frac{d\hat{x}}{dt} &= \left[ \hat{H}, \hat{x} \right], & \frac{d\hat{p}_x}{dt} &= \left[ \hat{H}, \hat{p}_x \right], \\ \frac{d\hat{y}}{dt} &= \left[ \hat{H}, \hat{y} \right], \text{ va } & \frac{d\hat{p}_y}{dt} &= \left[ \hat{H}, \hat{p}_y \right], \\ \frac{d\hat{z}}{dt} &= \left[ \hat{H}, \hat{z} \right], & \frac{d\hat{p}_z}{dt} &= \left[ \hat{H}, \hat{p}_z \right] \end{aligned} \quad (14.17)$$

harakat tenglamalarni hosil qilamiz.

(14.17) tenglamalar klassik fizikadagi Gamiltonning tenglamalari (14.15) ga o'xshash bo'lgani uchun, ularni *Gamiltonning kvant tenglamalari* deylidi.

(14.17) ifodadagi tenglamalarning o'ng qismlarida (14.7) formula bilan berilgan Puassonning qavslari turibdi.

### 14.3. Erenfest teoremlari

Kvant mexanikadagi (14.17) ifodaga kiruvchi birinchi ustundagi tenglamalar tezlik bilan impulsning bog'lanishi va ikkinchi ustunga tegishli bo'lgan tenglamalar impulsning vaqt o'tishi bilan o'zgarishini ifodalaydi. Bunga ishonch hosil qilish uchun Puassonning kvant qavslarini ochish kerak bo'ladi. Endi Puasson qavslari  $\left[ \hat{H}, \hat{x} \right]$  va  $\left[ \hat{H}, \hat{p}_x \right]$  ni hisoblaylik.

Gamiltonian

$$\hat{H} = \frac{1}{2m} \left( \hat{p}_x^2 + \hat{p}_y^2 + \hat{p}_z^2 \right) + \hat{U}(\hat{x}, \hat{y}, \hat{z}, t) \quad (14.18)$$

ko'rinishda bo'lib, unda operatorlar

$$\begin{aligned} \hat{x} &= x, & \hat{p}_x &= -i\hbar \frac{\partial}{\partial x}, \\ \hat{y} &= y, & \hat{p}_y &= -i\hbar \frac{\partial}{\partial y}, \\ \hat{z} &= z, & \hat{p}_z &= -i\hbar \frac{\partial}{\partial z} \end{aligned} \quad (14.19)$$

shaklga ega.

Endi  $\frac{d\hat{x}}{dt}$  ni hisoblaylik:

$$\frac{d\hat{x}}{dt} = \left[ \hat{H}, \hat{x} \right] = \frac{1}{i\hbar} \left[ \hat{x} \hat{H} - \hat{H} \hat{x} \right] = \frac{1}{2m\hbar} \left( \hat{x} \hat{p}_x^2 + \hat{p}_x^2 \hat{x} \right). \quad (14.20)$$

$\hat{x}$  operator  $\hat{p}_y$ ,  $\hat{p}_z$  va  $\hat{U}(x, y, z, t)$  operator bilan kommutativ,

biroq  $\hat{x}$  va  $\hat{p}_x$  operatorlar nokommutativ, ya'ni:

$$\begin{aligned} \hat{p}_x^2 x &= \hat{p}_x \left( \hat{p}_x x \right) = \hat{p}_x \left( \hat{x} \hat{p}_x - i\hbar \right) = \left( \hat{p}_x \hat{x} \right) \hat{p}_x - i\hbar \hat{p}_x = \\ &= \left( \hat{x} \hat{p}_x - i\hbar \right) \hat{p}_x - i\hbar \hat{p}_x = \hat{x} \hat{p}_x^2 - 2i\hbar \hat{p}_x. \end{aligned}$$

Bu ifodani (14.20) ga qo'ysak,

$$\left[ \hat{H}, \hat{x} \right] = \frac{1}{m} \hat{p}_x \quad (14.21)$$

tenglama hosil bo'ladi. Xuddi shuningdek,  $y$  va  $z$  lar uchun

$$\left[ \hat{H}, \hat{y} \right] = \frac{1}{m} \hat{p}_y$$

$$\left[ \hat{H}, \hat{z} \right] = \frac{1}{m} \hat{p}_z$$

tengliklarni olamiz.

$$\frac{d \hat{x}}{dt} = \frac{\hat{p}_x}{m}, \quad \frac{d \hat{y}}{dt} = \frac{\hat{p}_y}{m}, \quad \frac{d \hat{z}}{dt} = \frac{\hat{p}_z}{m}. \quad (14.22)$$

Demak, tezlik operatori (koordinata operatoridan vaqt bo'yicha olingan hosila) impuls operatorini zarra massasi bo'limmasiga teng degan xulosaga kelamiz. (14.22) tenglik shuni ko'rsatadiki, kvant mexanikada tezlik operatori bilan impuls operatori orasidagi o'zaroborligi klassik mexanikadagi tezlik orasidagi bog'lanishga o'xshaydi.

Endi  $\frac{d \hat{p}_x}{dt}$  ni hisoblaylik:

$\hat{p}_x$  - operator kinetik energiya operatori bilan kommutativ. Shuning uchun

$$\left[ \hat{H}, \hat{p}_x \right] = \frac{1}{i\hbar} \left[ \hat{p}_x \hat{U} - \hat{U} \hat{p}_x \right] = - \frac{\partial \hat{U}}{\partial x}$$

yoki

$$\frac{d \hat{p}_x}{dt} = - \frac{\partial \hat{U}}{\partial x}. \quad (14.23)$$

Shuningdek,

$$\frac{d \hat{p}_y}{dt} = - \frac{\partial \hat{U}}{\partial y}, \quad \frac{d \hat{p}_z}{dt} = - \frac{\partial \hat{U}}{\partial z}$$

tengliklarni olamiz.

(14.23) formuladagi  $- \frac{\partial \hat{U}}{\partial x}$  operatori, bu kuch operatorining  $x$  o'qiga proeksiyasiga teng, ya'ni

$$- \frac{\partial \hat{U}}{\partial x} = \hat{F}_x \quad (14.24)$$

Shuningdek,

$$- \frac{\partial \hat{U}}{\partial y} = \hat{F}_y, \quad - \frac{\partial \hat{U}}{\partial z} = \hat{F}_z$$

ifodalarni olamiz.

(14.24) tenglikni inobatga olib, (14.23) ni quyidagicha yozamiz:

$$\frac{d \hat{p}_x}{dy} = \hat{F}_x, \quad \frac{d \hat{p}_y}{dy} = \hat{F}_y, \quad \frac{d \hat{p}_z}{dy} = \hat{F}_z. \quad (14.25)$$

Demak, impuls operatoridan vaqt bo'yicha olingan hosila kuch operatoriga teng.

(14.25) ifodadagi tenglamalar operator ko'rinishda yozilgan Nyuton tenglamalaridir.

(14.8) formulani, (14.22) va (14.23) hisobga olib, quyidagi formulalarni olamiz:

$$\frac{d}{dt} \langle \hat{x} \rangle = \frac{1}{m} \langle \hat{p}_x \rangle, \quad (14.26)$$

$$\frac{d}{dt} \langle \hat{p}_x \rangle = - \left\langle \frac{\partial U}{\partial x} \right\rangle = \langle \hat{F}_x \rangle \quad (14.27)$$

yoki

$$\frac{d}{dt} \int \psi \cdot \hat{x} \psi dx = \frac{1}{m} \int \psi \cdot \hat{p}_x \psi dx \quad (14.28)$$

$$\frac{d}{dt} \int \psi \cdot \hat{p}_x \psi dx = - \int \psi \cdot \frac{\partial \hat{U}}{\partial x} \psi dx \quad (14.29)$$

ifodalarga ega bo'lamiz.

Shunday qilib, o'rtacha koordinatadan vaqt bo'yicha olingan hosila o'rtacha impulsini zarra massasiga bo'linganiga teng. Shuningdek, o'rtacha impulsdan vaqt bo'yicha olingan hosila o'rtacha kuchga teng.

Kvant mexanikada zarraning koordinatalari va impulslarining o'rtacha qiymatlari, shuningdek, ularga ta'sir qiluvchi kuchlar klassik mexanikadagi xuddi shunday tenglamalarga o'xshagan. Zarralar harakat qilganida bu kattaliklarning o'rtacha qiymati, klassik mexanikadagi ana shunday kattaliklarning o'zgarishiga o'xshagan bo'ladi.

Bu tasdiqlar kvant mexanikada (14.27) va (14.28) tengliklar ko'rinishida yozilgan bo'lib, ularni *Erenfest teoremlari* deyiladi.

Agar (14.28) tenglamani ikkala qismidan vaqt bo'yicha hosila olsak va  $\langle \hat{p}_x \rangle$  dan vaqt bo'yicha olingan hosilani (14.29) tenglama yordamida istisno etsak, u holda Nyutonning harakat tenglamasiga o'xshagan kvant tenglamani hosil qilamiz.

$$m \frac{d^2}{dt^2} \langle \hat{x} \rangle = - \left\langle \frac{\partial U}{\partial x} \right\rangle = \langle \hat{F}_x \rangle, \quad m \frac{d^2}{dt^2} \langle \hat{y} \rangle = - \left\langle \frac{\partial U}{\partial y} \right\rangle = \langle \hat{F}_y \rangle, \quad m \frac{d^2}{dt^2} \langle \hat{z} \rangle = - \left\langle \frac{\partial U}{\partial z} \right\rangle = \langle \hat{F}_z \rangle. \quad (14.30)$$

(14.30) formulalar shuni ko'rsatadiki, kvant mexanikada zarra-ning o'rtacha koordinatasi bilan o'rtacha kuch orasidagi munosabat klassik mexanikadagi koordinata bilan kuch orasidagi munosabatga o'xshagan bo'ladi.

#### **14.4. Harakat integrallari (Kvant mexanikada saqlanish qonunlari)**

Kvant mexanikada saqlanish qonunlari masalasini ko'rib chiqamiz. Klassik mexanikada harakat integrali degan atama ishlataladi. Boshlang'ich shartga asosan fizikaviy kattalik va vaqt o'tishi bilan o'z qiymatini o'zgartirmay saqlab qolsa, u holda ushbu kattalikni shu nom bilan atashadi. Kvant mexanikada ham ana shunday kattaliklar borki, ularning o'rtacha qiymati vaqt o'tishi bilan o'zgarmaydi. Bundan chiqadiki, kvant mexanikada ham klassik fizikadagi o'xshash harakat integrali mavjud.

Kvant mexanikada  $L$ -kattalik harakat integrali bo'lishi uchun ikkita shartni qanoatlantirishi kerak:

a) vaqtga oshkor bog'liq bo'lmasligi;

b) gamiltonian bilan kommutativ, ya'ni  $[\hat{H}, \hat{L}] = 0$  bo'lishi zarur.

Shunday qilib, kvant mexanikada  $L$ -kattalik harakat integrali bo'lishi uchun

$$\frac{d\hat{L}}{dt} = \frac{\partial}{\partial t} \hat{L} + [\hat{H}, \hat{L}] = 0 \quad (14.31)$$

munosabat bajarilishi kerak. Agar  $L$ -kattalik  $t$  ga oshkor ravishda bog'liq bo'lmasa,

$$\frac{d\hat{L}}{dt} = [\hat{H}, \hat{L}] = 0 \quad (14.32)$$

o'rinnlidir.  $L$  harakat integrali bo'lishi uchun Puasson qavsi nolga teng bo'lishi kerak.  $\hat{L}$  - operator Gamilton operatori bilan kommutativ bo'lgan taqdirda  $L$  - kattalik vaqtga oshkor ravishda bog'liq bo'lmaydi va harakat integrali bo'lib qoladi.

(14.31) va (14.32) formulalardan

$$\frac{d}{dt} \hat{L} = 0 \quad (14.33)$$

kelib chiqadi.  $t$  - vaqt momentida biror-bir harakat integralining qiymatini, masalan,  $L_n$  ni ehtimoli  $P(L_n, t)$  ni topaylik.

$\hat{L}$  va  $\hat{H}$  - operatorlar o'zro kommutativ bo'lganligi uchun ular umumiy bo'lgan  $\Psi_n$  - xususiy funksiyaga ega, ya'ni

$$\hat{L} \psi_n = L_n \psi_n, \quad (14.34)$$

$$\hat{H} \psi_n = E \psi_n. \quad (14.35)$$

Erkli holatni ifodalovchi  $\psi(x, t)$  funksiyani  $\Psi_n$  - xususiy funksiya-lar bo'yicha qatorga yoyamiz:

$$\psi(x, t) = \sum_n c_n \psi_n(x) e^{-\frac{i}{\hbar} E_n t} \quad (14.36)$$

yoki

$$\psi(x, t) = \sum_n c_n \psi_n(x). \quad (14.37)$$

Bunda

$$c_n(t) = c_n e^{-\frac{i}{\hbar} E_n t} = c_n(0) e^{-\frac{i}{\hbar} E_n t} \quad (14.38)$$

(14.34) yoyilma  $\hat{L}$  operatorni  $\psi(x, t)$  ning xususiy funksiyalari bo'yicha yoyilmasidir.

Shuning uchun,

$$P(L_n, t) = |c_n(t)|^2 = |c_n(0)|^2 = \text{const}. \quad (14.39)$$

Harakat integralining ko'rinishi, zarra harakat qilayotgan kuch maydonining turiga bog'liq. Agar potensial maydon  $U(x, y, z, t) = 0$  bo'lsa, u holda zarra erkin harakatda bo'ladi va bu holda gamiltonian faqat kinetik energiya operatoriga bog'liq:

$$\hat{H} = \hat{K} = \frac{1}{2m} \left( \hat{p}_x^2 + \hat{p}_y^2 + \hat{p}_z^2 \right). \quad (14.40)$$

Bu holda klassik mexanikadagi kabi kvant mexanikada harakat integrali sifatida impuls rol o'ynaydi. Impulsning saqlanishi

$$\left[ \hat{H}, \hat{p}_x \right] = \left[ \hat{H}, \hat{p}_y \right] = \left[ \hat{H}, \hat{p}_z \right] = 0. \quad (14.41)$$

Puasson qavslarini nolga teng bo'lishi bilan ifodalanadi. (14.42) tenglikdan

$$\frac{d \hat{p}_x}{dt} = 0, \quad \frac{d \hat{p}_y}{dt} = 0, \quad \frac{d \hat{p}_z}{dt} = 0. \quad (14.43)$$

munosabatlarni hosil qilamiz. Impuls operatorini vaqt bo'yicha hosila nolga teng, ya'ni vaqt o'tishi bilan impuls operatori saqlanadi. Markaziy kuchlar maydonida yuzalar qonuni o'rinaldi bo'ladi va bunda

harakat integrali vazifasini harakat miqdori momentining operatori  $\hat{L}$  bo'lmaydi. Potensial energiya ( $U=U(r)$ ) faqat  $\vec{r}$  radius-vektorga

bog'liq bo'lgani uchun gamiltonianni quyidagicha yozish mumkin:

$$\hat{H} = \hat{K} + \frac{\hat{L}^2}{2mr^2} + U(r). \quad (14.44)$$

(14.43) tenglamada harakat miqdori momenti operatorining kvadrati  $\hat{L}^2$  va uning proeksiyalari  $\hat{L}_x, \hat{L}_y, \hat{L}_z$  - radius-vektor  $\vec{r}$  ga bog'liq emas, balki faqat  $\theta$  (qutbiy) va  $\phi$  (azimutal) burchaklarga bog'liq. Shu bilan birga  $\hat{L}^2$  - operator  $\hat{L}_x, \hat{L}_y, \hat{L}_z$  operatorlar bilan kommutativ.

Shuning uchun ham to'rttala operator ham  $\hat{H}$  - operator bilan kommutativ bo'ladi, ya'ni

$$\begin{aligned} [\hat{H}, \hat{L}^2] &= 0, & [\hat{H}, \hat{L}_y] &= 0, \\ [\hat{H}, \hat{L}_x] &= 0, & [\hat{H}, \hat{L}_z] &= 0. \end{aligned} \quad (14.45)$$

Bulardan

$$\frac{d\hat{L}^2}{dt} = 0, \quad \frac{d\hat{L}_x}{dt} = 0, \quad \frac{d\hat{L}_y}{dt} = 0, \quad \frac{d\hat{L}_z}{dt} = 0 \quad (14.46)$$

ekanligi kelib chiqadi. (14.45) ifodadagi tenglamalardan ko'rib turib-sizki, markaziy kuchlar maydonida impuls momenti harakat integralidir. Harakat miqdori momenti vaqt o'tishi bilan saqlanadi.

Xuddi shuningdek,

$$\langle L(t) \rangle = \int \psi \hat{L} \psi dx$$

kvant mexikanikaning asosiy formulasidagi  $\hat{L} = \hat{H}$  deb

$$\frac{d\hat{H}}{dt} = \frac{\partial \hat{H}}{\partial t} + [\hat{K}, \hat{H}] = \frac{\partial \hat{H}}{\partial t} \quad (14.47)$$

formulani yozamiz. Agar gamiltonian vaqtga bog'liq bo'lmasa,

$$\frac{d}{dt} \hat{H} = 0. \quad (14.48)$$

Kuch maydonida to'la energiya harakat integrali bo'ladi. Bu holda gamiltonian to'la energiya operatori bilan mos tushadi. Shunday qilib, (14.47) tenglama kvant mexanikada energiyaning saqlanish qonunini ifodalaydi.

#### **14.5. Kvant harakat tenglamalaridan klassik tenglamalarga o'tish**

Klassik fizikaning harakat tenglamasi

$$m \frac{d^2 \mathbf{x}}{dt^2} = \mathbf{F}_x \quad (14.49)$$

ni kvant mexanikaning harakat tenglamasi

$$m \frac{d^2}{dx^2} \langle \mathbf{x} \rangle = - \left\langle \frac{\partial U}{\partial x} \right\rangle = \langle \mathbf{F}_x \rangle \quad (14.50)$$

bilan taqqoslaylik.

(14.48) va (14.49) tenglamalarni taqqoslashdan ko'ramizki, klassik mexanikadagi  $x$  - koordinatasi o'rniiga kvant nazariyada  $\langle \mathbf{x} \rangle$  - o'rtacha koordinata rol o'yndaydi.

Agar (14.49) ni o'miga

$$\left\langle \frac{d^2 \mathbf{x}}{dx^2} \right\rangle = \mathbf{F}(\langle \mathbf{x} \rangle) \quad (14.51)$$

tenglik o'rini bo'lganda, kvant tenglama klassik tenglama bilan mos tushadi. Boshqacha aytganda, klassik munosabatdagi kuch va koordinatalardagi  $x$  ni o'miga  $\langle \mathbf{x} \rangle$  ni qo'ysak, hammasi joyida bo'lardi. Biroq Erenfest tenglamalariga binoan kvant mexanikada o'rtacha qiymat si-fatida kuchning o'zi, ya'ni  $\langle \mathbf{F}(\mathbf{x}) \rangle$  rol o'yndaydi. Shuning uchun kvant harakat tenglamalaridan klassik harakat tenglamalariga o'tish uchun avval  $\langle \mathbf{F}(\mathbf{x}) \rangle$  bilan  $\hat{\mathbf{F}}(\langle \mathbf{x} \rangle)$  orasidagi bog'lanishni topish kerak bo'ladi.

Buning uchun kuch operatori  $\hat{\mathbf{F}}(\mathbf{x})$  ni

$$\hat{\mathbf{F}}(\mathbf{x}) = \hat{\mathbf{F}}(\langle \mathbf{x} \rangle + \Delta \mathbf{x}) \quad (14.52)$$

ko'rinishda yozib olamiz, bunda  $\Delta \mathbf{x} = \mathbf{x} - \langle \mathbf{x} \rangle$ .

So'ng  $\hat{\mathbf{F}}(\mathbf{x})$  ni  $\mathbf{x} = \langle \mathbf{x} \rangle$  nuqta atrofida Teylor qatoriga yoyamiz:

$$\mathbf{F}(\mathbf{x}) = \mathbf{F}(\langle \mathbf{x} \rangle) + (\Delta \mathbf{x}) \mathbf{F}'(\langle \mathbf{x} \rangle) + \frac{(\Delta \mathbf{x})^2}{2} \mathbf{F}''(\langle \mathbf{x} \rangle) +$$

Kvant mexanikaning asosiy tenglamasi

$$\langle L \rangle = \int \psi^*(\mathbf{x}) \hat{L} \psi(\mathbf{x}) d\mathbf{x}$$

ga binoan va  $\langle \Delta \mathbf{x} \rangle = \langle (\mathbf{x} - \langle \mathbf{x} \rangle) \rangle = 0$  ni e'tiborga olib,

$$\langle \mathbf{F}(\mathbf{x}) \rangle = \mathbf{F}(\langle \mathbf{x} \rangle) + \frac{\langle (\Delta \mathbf{x})^2 \rangle}{2} \mathbf{F}''(\langle \mathbf{x} \rangle) +$$

o'rtacha qiymatni yozamiz. U holda (14.49) ko'rinishdagi kvant teng-

lama

$$m \left\langle \frac{d^2x}{dt^2} \right\rangle = F(x) + \frac{\langle (\Delta x)^2 \rangle}{2} F''(\langle x \rangle) \quad (14.53)$$

ko'rinishga ega bo'ladi. Bu formuladagi  $\frac{\langle (\Delta x)^2 \rangle}{2} F''(\langle x \rangle)$  had Nyutonning klassik tenglamasiga tuzatish deyiladi.

Kvant harakat tenglamasidan klassik harakat tenglamasiga o'tish kriteriyasi sifatida

$$\langle (\Delta x)^2 \rangle \ll 2 \left| \frac{F(\langle x \rangle)}{F''(\langle x \rangle)} \right| \quad (14.54)$$

tengsizlik olinadi.

Bu bajarilishi bilan klassik qonunlarni hammasi ham mikrozaralarini harakatini tavsiflashga o'rinni degan natija kelib chiqadi.

Haqiqatan ham, kvant mexanikada kinetik energiyaning o'rtacha qiymati

$$\langle K(p_x) \rangle = \frac{\langle p_x^2 \rangle}{2m} \quad (14.55)$$

Klassik fizikada shunga o'xshash ifoda

$$K(\langle p_x \rangle) = \frac{\langle p_x \rangle^2}{2m} \quad (14.56)$$

Endi  $\langle K(p_x) \rangle$  ni klassik  $K(\langle p_x \rangle)$  orqali yozaylik. Buning uchun

$$K(p_x) = K(\langle p_x \rangle + \Delta p_x) = \frac{\langle (p_x) + \Delta p_x \rangle^2}{2m} \quad (14.57)$$

munosabatdan foydalanamiz. Bunda  $\Delta p_x = p_x - \langle p_x \rangle$ . Keyingi qavsnini cheksiz va o'rtacha qiymati

$$\langle \Delta p_x \rangle = \langle (p_x - \langle p_x \rangle) \rangle = 0$$

ekanligini inobatga olib,

$$\langle K(p_x) \rangle = K(\langle p_x^2 \rangle) + \frac{1}{2m} \langle (\Delta p_x)^2 \rangle \quad (14.58)$$

natijaga ega bo'lamiz. (14.57) dan foydalanib, kinetik energiya uchun kvant ifodadan klassik ifodaga o'tamiz:

$$\langle (\Delta p_x)^2 \rangle \ll \langle p_x \rangle^2 = 2mK(\langle p_x \rangle). \quad (14.59)$$

(14.58) tenglamani (14.48) tenglamaga ko'paytirsak, mikroolam uchun umumiy bo'lgan klassik yaqinlashishni hosil qilamiz:

$$\langle (\Delta x)^2 \rangle \langle (\Delta p_x)^2 \rangle \ll 4mK(\langle p_x \rangle) \left| \frac{F(\langle x \rangle)}{F''(\langle x \rangle)} \right| \quad (14.60)$$

va noaniqlik munosabatini e'tiborga olsak,

$$\langle (\Delta x)^2 \rangle \cdot \langle (\Delta p_x)^2 \rangle \geq \frac{\hbar^2}{4}. \quad (14.61)$$

Natijada

$$mK\langle \langle p_x \rangle \rangle \left| \frac{F(\langle x \rangle)}{F'(\langle x \rangle)} \right| \geq \frac{\hbar^2}{16} \quad (14.62)$$

oxirgi shartni hosil qilamiz. Buni vodorod atomiga tatbiq etaylik:

$$V = -\frac{e^2}{r}, K = -\frac{1}{2}V = -\frac{e^2}{2r}, F = -\frac{e^2}{r^2}$$

Bu ifodani (14.61) ga qo'yamiz. Natijada,

$$r \gg \frac{3 \hbar^2}{4 me^2} \quad (14.63)$$

tengsizlik hosil bo'ladi. (14.62) dagi  $\frac{\hbar^2}{me^2} = r_1$  Bor radiusi. Bilamizki,  $r = n_2 r_1$ . Bundan  $n \gg \sqrt{\frac{3}{4}}$  tengsizlik kelib chiqadi. Shunday qilib, katta kvant sonlari sxemasida kvant nazariya klassik nazariya bilan mos tushadi.

### SAVOLLAR

1. Klassik fizikada o'rtacha qiymat topish formulasi qanday yoziлади?
2. Kvant mexanikada o'rtacha qiymatni vaqt bo'yicha o'zgarishi formulasini yozing?
3. Puasson qavslarini yozing va tushuntiring.
4. Kvant Puasson qavslari klassik kvant qavslardan farqi nimada?
5. Kvant operatorlarni vaqt bo'yicha o'zgarishini Puasson qavslari yordamida ifodalang.
6. Gamiltonian ko'rinishini yozing.
7. Klassik fizikada Gamilton tenglamasini Puasson qavsi orqali yozing.
8. Kvant fizikada Gamiltonning kvant tenglamalarini Puasson kvant qavslari orqali yozing.
9. Gamiltonning kvant qavslarini yozing va tushuntiring.
10. Tezlik operatori impuls operatori orqali qanday ifodalanadi.
11. Impuls operatorining vaqt bo'yicha o'zgarishi nimaga teng?
12. Erenfest teoremlarini yozing.
13. Erenfest teoremlari ma'nosini tushuntiring.
14. Harakat integrali deganda, nimani tushunasiz?
15. Klassik fizikada va kvant mexanikada harakat integrali operatori nimani anglatadi?
16. Kvant mexanikada saqlanish qonunlari o'rinli bo'lishi uchun harakat integrali vazifasini qanday kattaliklar bajaradi?

17.  $\left[ \hat{H}, \hat{L} \right] = 0$  ifodaning ma'nosini tushuntiring.

18.  $\frac{d \hat{L}}{dt} = 0$  bo'lishi uchun  $\left[ \hat{H}, \hat{L} \right]$  qavs nimaga teng bo'lshshi

kerak?

19.  $\left[ \hat{H}, \hat{p}_x \right] = 0$  ifodaning ma'nosini tushuntiring.

20.  $\left[ \hat{H}, \hat{L}^2 \right] = 0$  ifodaning ma'nosini tushuntiring.

21.  $\left[ \hat{H}, \hat{L}_x \right] = 0$  ifodaning ma'nosini tushuntiring.

22.  $\frac{d}{dt} \hat{H} = 0$  ifodaning ma'nosini tushuntiring.

23. Kvant mexanikada to'la energiya qachon harakat integrali bo'ladi?

24. Kvant mexanikada impuls qachon harakat integrali bo'ladi?

25. Klassik fizikadagi harakat tenglamasining kvant fizikadagi harakat tenglamasi bilan taqqoslang va farqlarini tushuntiring.

26. Mikroolam uchun umuman o'rini bo'lgan klassik yaqinlashish tengsizligini yozing.

### MASALALAR

14.1. Erenfest teoremasiga binoan mexanik kattaliklarning o'rtacha qiymati klassik mexanikaning qonunlariga bo'ysunadi.  $U(x)$  potensial maydonda harakat qilayotgan zarra uchun  $\left\langle \frac{dx}{dt} \right\rangle = \frac{\langle p_x \rangle}{m}$  va

$$\left\langle \frac{dp_x}{dt} \right\rangle = - \left( \frac{\partial U}{\partial x} \right) \text{ ekanligini isbot qiling.}$$

14.2.  $U(x)$  potensial maydonda harakat qilayotgan zarra uchun quyidagi operator tengliklar o'rini ekanligini isbot qiling:

$$\frac{d}{dt}(x^2) = \frac{1}{m} \left( x \hat{p}_x + \hat{p}_x x \right)$$

$$\frac{d}{dt} \left( x \hat{p}_x \right) = \frac{\hat{p}_x^2}{m} - x \frac{\partial U}{\partial x}$$

$$\frac{d}{dt} \left( \hat{p}_x^2 \right) = - \left( \hat{p}_x \frac{\partial U}{\partial x} + \frac{\partial U}{\partial x} \hat{p}_x \right)$$

14.3.  $\hat{L}_x$  operatorordan vaqt bo'yicha olingan hosila tashqi kuch momenti proeksiyasining operatoriga teng ekanligini ko'rsating, ya'ni

$$\frac{d}{dt} \hat{L}_x = \hat{M}_x = -\left( y \frac{\partial U}{\partial z} - z \frac{\partial U}{\partial y} \right).$$

14.4. Zaranning holati  $\hat{L}$  operatori xususiy funksiyasi bilan tavsiflandi va vaqtga oshkor ravishda bog'liq emas. Agar  $\hat{L}$ -operator  $\hat{H}$ -operator bilan kommutativ bo'lsa, u holda shu operatorning xususiy qiymati vaqt o'tishi bilan saqlanishini ko'rsating.

14.5. Zarra harakat qilayotganda mexanik kattaliklardan qaysi biri ( $E$ -energiya, impuls proektsiyasi, impuls momenti kvadrati) saqlanadi:

a) maydon bo'limganda; b)  $U(z) = az$ , ( $a$ -doimiy son) - bir jinsli potensial maydonda; d)  $U(r)$  - markaziy simmetrik potensial maydonda. e)  $U(z,t) = a(t)z$  bir jinsli o'zgaruvchan potensial maydonlari uchun ko'raylik.

14.6. Zarra biror  $\psi(x,t)$  holatda bo'lsin va bu funksiya  $\hat{L}$ -operatorning xususiy funksiyasi bo'lmasin.  $\hat{L}$ -operator vaqtga oshkor ravishda bog'liq bo'lmasa va u  $\hat{H}$ -operator bilan kommutativ bo'lsa, u holda: a)  $L$  ning o'rtacha qiymati saqlanishini; b)  $L$  kattalikning muayyan qiymatlari ehtimolini vaqtga bog'liq emasligini ko'rsating.

14.7.  $\frac{d\hat{r}}{dt}$  va  $\frac{d\hat{p}}{dt}$  operatorlarni tuzing.

14.8.  $\hat{L}^2$ -harakat miqdori momenti kvadrati operatori va uni  $\hat{L}_z$  proeksiyasi qanday hollarda harakat integrallari bo'la oladi?

14.9.  $t = 0$  vaqt momentida erkin zarra to'lqin funksiyasi

a)  $\psi(x,0) = \sqrt{\frac{2}{\pi\hbar}} \sin\left(\frac{xp_0}{\hbar}\right)$  va b)  $\psi(x,0) = \sqrt{\frac{2}{\pi\hbar}} \exp\left(i \frac{xp_0}{\hbar}\right)$  ko'rinishga ega bo'lsa, keyingi vaqt momentlari uchun to'lqin funksiya ko'rinishlarini yozing.

14.10.  $\frac{d\hat{p}}{dt} = \hat{F}$  ekanligini isbotlang.

14.11.  $[\hat{H}, x] = -\frac{i\hbar}{m} \hat{p}_x, [\hat{H}, \hat{p}_x] = i\hbar \frac{\partial U}{\partial x}$  va  $[\hat{H}, \hat{p}^2] = 2i\hbar \frac{\partial U}{\partial x} \hat{p}_x + \hbar \frac{\partial U}{\partial x}$  tenglamalarni kommutativ qoidalar asosida tekshiring.

## XV BOB

### Mavzu: BIR O'LCHOVLI FAZODA-SHRYODINGER TENGLAMASINI YECHISH

Reja:

15.1. Potensial o'ra.

- 1) Cheksiz chuqurlikka ega bo'lgan bir o'lchovli potensial o'ra.
- 2) Cheksiz chuqurlikka ega bo'lgan ikki o'lchovli potensial o'ra.
- 3) Chekli chuqurlikka ega bo'lgan bir o'lchovli potensial o'ra.

15.2. Chiziqli garmonik ossillator.

- 1) Klassik mexanikada garmonik ossillator masalasi.
- 2) Kvant mexanikada garmonik ossillator masalasi.
- 3) Garmonik ossillatorning to'lqin funksiyasi va ehtimol zichligi.

15.3. Tunnel effekt (potensial to'siq).

### ADABIYOTLAR

1. Энрико Ферми. Квантовая механика (конспект лекций). М., 1965.
6. А.А.Соколов, Ю.М.Лоскутов, М.Ю.Тернов. Квантовая механика (конспект лекций). М., 1962.
7. Д.И.Блохинцев. Основы квантовой механики. М., 1961.
8. Л.Шифф. Квантовая механика. М., «Ил», 1957.
9. Л.Ландау, Е.Лифшиц. Квантовая механика. М., 1974.

**Masalaning qo'yilishi:** Bu bobni kiritishdan maqsad potensial o'ra, potensial to'siq va garmonik ossillator masalalarini yechish orqali Shryodinger tenglamasini yechish yo'llarini ko'rsatish va xususiy qiymat, xususiy funksiyalar tushunchalarini talaba ongiga singdirish hamda Shryodinger tenglamasini yechishda matematik apparatning nozik tomonlarini ko'rsatish, chegaraviy shartlarni qo'ya bilish, kompleks qo'shma funksiyalar va normallash sharlari bilan tanishtirishdir. Funksiya koefitsiyentlarini chegaraviy shartlar asosida topa bilish, umumiy yechimni topish, energetik sathlarni hisoblash, ehtimol zichligi haqida tasavvur hosil qilish, grafiklar orqali to'lqin funksiya ehtimol zichligi va energetik sathlarni tasvirlashni bilish bu bobning asosiy masalasidir. Bu bobning fizikaviy maqsadi Shryodinger tenglamasini, xususiy qiymatlar va xususiy funksiyalarining ma'nosini chuqur anglash, Borning moslik prinsipi asosida kvant tasavvurdan klassik tasavvurga o'tish mohiyatiga yetishdir. Falsafiy maqsad bu masalani va uning matematik yechimlari, fizik izohlari zamirida umumlashgan xulosalar chiqarishga talabalarni o'rgatishdir.

## XV bob. BIR O'LCHOVLI FAZODA-SHRYODINGER TENGLAMASINI YECHISHI

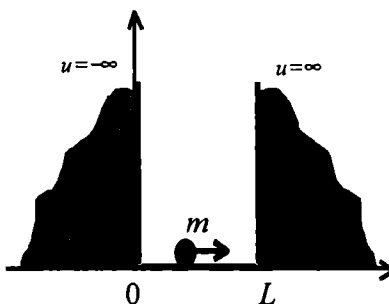
### 15.1. Potensial o'ra

#### 1) Cheksiz chuqurlikka ega bo'lgan bir o'lchovli potensial o'ra

Shryodinger tenglamasini bir necha oddiy masalalarни yechishiga qo'llaymiz. Bu xil oddiy masalalarni yechishdan maqsad Shryodinger tenglamasining matematik apparatini egallashdir.

Cheksiz potensial chuqurlikka ega bo'lgan potensial o'rada yotgan mikrozarra uchun Shryodingerning bir o'lchovli statsionar teglamasini tatbiq etaylik. Bu masalani yechishdan asosiy maqsad xususiy funksiyalar va xususiy qiymatlarni topishdir.

15.1-rasmda ikki tomoni cheksiz baland potensial devor bilan o'ralgan va  $X$  o'qida  $(0, L)$  soha bilan chegaralangan potensial o'ra tasvirlangan.



15.1-rasm. Cheksiz potensial o'rada zarra.

Zarraning potensial energiyasi  $x$  o'qining  $0 \leq x \leq L$  oralig'ida nolga,  $x < 0$  va  $x > L$  sohalarda cheksiz katta qiymatga ega.

Matematika nuqtayi nazaridan qaraganda, bir o'lchovli harakat uchun bu masalada potensial energiya quyidagi chegaraviy shartlarni qanoatlantirishi kerak:

$$U(x) = \begin{cases} \infty, \text{ agar } -\infty < x \leq 0 \text{ bo'lsa}, \\ 0, \text{ agar } 0 < x < L \text{ bo'lsa}, \\ \infty, \text{ agar } L \leq x < \infty \text{ bo'lsa}. \end{cases} \quad (15.1)$$

Potensialning bunday chegaralanishi o'z navbatida, to'lqin funksi-yani ham quyidagi shartlarni bajarishga majbur qiladi

$$\psi(x) = 0, \text{ agar } \begin{cases} x \leq 0 \\ x \geq L \end{cases} \text{ bo'lsa}$$

va

$$\int_0^L \psi(x)\psi(x)dx = 1, \quad 0 < x < L. \quad (15.2)$$

Zarra har bir vaqt momentida o'raning qayerda bo'lishini aniq bilmaymiz, shuning uchun Shryodingerning vaqtga bog'liq bo'lgan tenglamasini bu masalaga qo'llab bo'lmaydi, demak, Shryodingerning statcionar tenglamasini ishlatalamiz.

(15.1) shartdagi  $U(x) = 0$  ni e'tiborga olgan holda,

$$-\frac{\hbar^2}{2m} \frac{d^2}{dx^2} \psi(x) = E\psi(x) \text{ ni} \quad (15.3)$$

yozamiz va

$$\alpha^2 = \frac{2mE}{\hbar^2} \quad (15.4)$$

belgilash kiritib (15.3) ni quyidagicha yozamiz:

$$\frac{d^2\psi(x)}{dx^2} + \alpha^2\psi = 0. \quad (15.5)$$

(15.5) tenglama mikrozarraning o'ra ichidagi holatini ifodalaydi va bu tenglamaning yechimi umumiy holda

$$\psi(x) = Ae^{i\alpha x} + Be^{-i\alpha x} \quad (15.6)$$

ko'rinishga ega. Bu yechim o'ra ichida  $x$  o'qi bo'ylab bir-biriga qarama-qarshi yo'nalishda harakatlanayotgan to'lqinlarning superpozitsiyasini tasvirlaydi. O'raning devorlari mutlaq qattiq deb hisoblanganligi sababli o'ra ichida turg'un to'lqinlar hosil bo'ladi.

Zarraning to'la energiyasi  $\bar{E} \leq \bar{U}$  dan kichik bo'lganligi sababli u potensial o'radan tashqariga chiqib keta olmaydi. Shuning uchun potensial o'ra chekkasiga yetgan zarra potensial o'ra devoridan qaytadi, so'ngra, teskari yo'nalishda harakatlanadi, o'raning ikkinchi devoriga urilib yana orqaga qaytadi va h.k. Natijada, qarama-qarshi to'lqinlarning qo'shilushi tufayli (15.6) ko'rinishdagi turg'un to'lqin hosil bo'ladi.

Matematika nuqtayi nazaridan (15.6) funksiyani (15.5) Shryodinger tenglamasini haqiqatan yechimi ekanligini tekshirish foydalidir.

(15.6) tenglamadagi  $A$  va  $V$  doimiyliklarni aniqlash uchun (15.2) chegaraviy shartdan foydalanamiz.  $x=0$  hol uchun  $\psi(x) = 0$  va (15.6) tenglama,

$$0 = A + B$$

ko'rinishga keladi, bundan  $A=-V$ .

Demak,

$$\psi(x) = A(e^{i\alpha x} - e^{-i\alpha x}) \quad (15.7)$$

Eyler formulasi yordamida bu funksiyani

$$\psi(x) = 2iA \sin \alpha x \quad (15.8)$$

ko'rinishga keltiramiz.

Endi ikkinchi chegaraviy shartni qo'llaymiz, yangi  $x = L$  hol uchun  $\psi(x) = 0$  va

$$0 = 2iA \sin \alpha x \quad (15.9)$$

shartga ko'ra  $A \neq 0$ , u holda  $\sin \alpha L = 0$  bo'lishi kerak, bundan

$$\alpha L = \pi n \quad n = 1, 2, 3, \dots \quad (15.10)$$

ekanligi kelib chiqadi. (15.10) dan:

$$\alpha = \frac{\pi n}{L} \quad n = 1, 2, 3, \dots \quad (15.11)$$

(15.11) ni (15.4) ga qo'yib energiya uchun quyidagi formulani olamiz:

$$E_n = \frac{\hbar^2 \alpha^2}{2m} = \frac{\pi^2 \hbar^2}{2mL^2} n^2 \quad n = 1, 2, 3, \dots \quad (15.12)$$

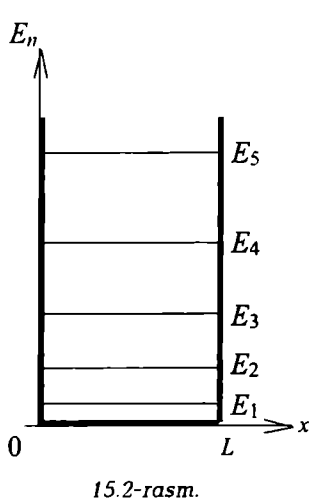
Agar mikrozarra potensial o'ta ichida yotgan bo'lsa, uning energiyasi (15.12) tenglamaning ma'lum diskret xususiy qiymatlarigagina teng bo'lgan qiymatlar qabul qila olar ekan. Bu vaziyatda energiya diskret qiymatlarga kvantlanadi va zarra bu diskret holatlardan birida yotishi mumkin. Zarra energiyasining bu qiymatlari *energetik sathlar* deb ataladi. Shuni qayd qilamizki, zarraning energiyasi nolga teng bo'lmaydi. (15.12) tenglamaga ko'ra, zarraning eng kichik energiyasini  $n=1$  da olamiz, ya'ni:

$$E_1 = \frac{\pi^2 \hbar^2}{2mL^2} \quad (15.13)$$

xuddi shuningdek,  $n = 2, 3, 4, \dots$  lar uchun  $4E_1, 9E_1, 16E_1, \dots$  larni mos ravishda olish mumkin.

(15.13) munosabat bilan topilgan energiya *nolinchisi energiya* deb ataladi. Boshqacha aytganda, zarraning energiyasi hech qachon nolga teng bo'lmaydi. Bu xulosa noaniqlik munosabatidan kelib chiqib, klassik mexanika qarashiga ziddir. Buni quyidagi mulohazadan ham bilish mumkin. Zarra potensiali chegarada cheksiz bo'lgan devor orasida joylashgani uchun, uning holati  $\Delta x \approx L$  noaniqlik bilan ma'lumdir. Geyzenbergning noaniqlik munosabatiga ko'ra impulsni aniqlashdagi noaniqlik  $\Delta p \geq \frac{\hbar}{L}$  ga bo'ysunadi. Shunday qilib, energiya hech qachon nolga teng bo'lmaydi, chunki u holda  $\Delta p = 0$  shart bajarish talab qilingan bo'lardi.

(15.12) munosabatdan impulsni ham kvantlanishi kelib chiqadi, ya'm:



15.2-rasm.

$$E_n = \frac{\pi^2 \hbar^2}{2mL^2} n^2 = \frac{p_n^2}{2m}$$

bundan

$$p_n = \frac{\pi \hbar}{L} n, \text{ bunda } n = 1, 2, 3, \dots \quad (15.14)$$

Shunday qilib zarra potensial o'rada «qamoqda» bo'lsa, Shryodringering statsionar tenglamasining yechimi diskret xususiy qiymatlarga ega bo'lar ekan va energiyaning xususiy qiymatlari (15.12) formula yordamida topiladi. (15.13) formula bilan hisoblangan energiya spektrini qiymatlari 15.1-jadvalda keltirilgan. Bu sathlar chizmasi esa 15.2-rasmida tasvirlangan. Qo'shni sathlar orasidagi masofani chamalaylik va uni masalaning  $m$  va  $L$  parametrlariga qanday bog'liq ekanligini tahlil qilamiz. Ikkii qo'shni sath orasidagi energiya farqi:

$$\Delta E_n = E_{n+1} - E_n = \frac{\pi^2 \hbar^2}{2mL^2} (2n + 1) \approx \frac{\pi^2 \hbar^2}{mL^2} n, \quad (n \gg 1 \text{ uchun}).$$

Olingen ushbu natijadan ko'ramizki, ikkita qo'shni energiya sati orasidagi masofa  $n$  ni ortishiga mos ravishda chiziqli o'sadi. Zarra massasini yoki o'raning kengligini ortishi qo'shni sathlar orasidagi masofani kichraytiradi (15.2-rasm).

Endi potensial o'ra ichida xususiy funksiyalar ko'rinishini izlaymiz. (15.8) to'lqin funksiyani quyidagi ko'rinishda yozib olamiz:

$$\psi = 2iA \sin\left(\frac{\pi n}{L} x\right) \quad (15.15)$$

(15.15) ga qo'shma funksiya

$$\psi' = -2iA \sin\left(\frac{\pi n}{L} x\right) \quad (15.16)$$

bo'ladi.

Ehtimol zinchligi

$$\psi' \psi = 4A^2 \sin^2\left(\frac{\pi n}{L} x\right) \quad (15.17)$$

formula bilan topiladi.

Potensial o'ra ichida zarrani qayd qilinishi aniq bo'lgani uchun normallash sharti (15.2) ga ko'ra

$$\int \psi(x)\psi(x)dx = \int 4A^2 \sin^2\left(\frac{\pi n}{L}x\right)dx = 1$$

Bu funksiyani integrallasak,

$$4A^2 \int_0^L \sin^2\left(\frac{\pi n}{L}x\right)dx = 2A^2 \left[ x - \frac{L}{2\pi n} \sin\left(\frac{2\pi n}{L}x\right) \right]_0^L = 2A^2 L,$$

bundan  $2A^2 L = 1$  yoki  $A = \frac{1}{\sqrt{2L}}$  ni olamiz.

Shunday qilib, normallangan to'lqin funksiyalar qo'yidagi ko'rnishga keladi:

$$\psi_n(x) = \frac{2i}{\sqrt{2L}} \sin\left(\frac{\pi n x}{L}\right) = i\sqrt{\frac{2}{L}} \sin\left(\frac{\pi n x}{L}\right) \quad (15.18)$$

bunda  $n = 1, 2, 3, \dots$ .

(15.18) funksiyalar xususiy funksiyalar deb ataladi, chunki  $n$  ning har bir qiymatiga mos ravishda yagona funksiya ko'rinishi to'g'ri keladi.

Endi cheksiz potensial o'ra ichida zarraning qayd qilinishi ehti-molini topamiz  $x_1 = a$  va  $x_2 = b$  interval bilan chegaralangan sohada zarrani o'rnini qayd qilinishi ehtimoli

$$\int_a^b \psi \cdot \psi dx = \int_a^b \frac{2}{L} \sin^2\left(\frac{\pi n}{L}x\right)dx \quad (15.19)$$

formula bilan aniqlanadi.

Cheksiz potensial o'ra ichida yotgan zarra uchun qo'yilgan ma-salaning yechimlari 15.1-jadvalda umumlashtirilgan.

### 15.1-jadval

$n$	Xususiy funksiya $\psi(x)$	Ehtimol zichligi $\psi^*(x)\psi(x)$	Energiyaning xususiy qiymatlari, $E_n$
1	$i\sqrt{\frac{2}{L}} \sin\frac{\pi x}{L}$	$\frac{2}{L} \sin^2\frac{\pi x}{L}$	$\frac{\pi^2 \hbar^2}{2mL^2}$
2	$i\sqrt{\frac{2}{L}} \sin\frac{2\pi x}{L}$	$\frac{2}{L} \sin^2\frac{2\pi x}{L}$	$\frac{4\pi^2 \hbar^2}{2mL^2}$
3	$i\sqrt{\frac{2}{L}} \sin\frac{3\pi x}{L}$	$\frac{2}{L} \sin^2\frac{3\pi x}{L}$	$\frac{9\pi^2 \hbar^2}{2mL^2}$
$\vdots$	$\vdots$	$\vdots$	$\vdots$
$p$	$i\sqrt{\frac{2}{L}} \sin\frac{\pi nx}{L}$	$\frac{2}{L} \sin^2\frac{\pi nx}{L}$	$\frac{\pi^2 \hbar^2}{2mL^2}$

$n = 1, 2, 3, \dots$  hollar uchun to'lqin funksiya va ehtimol zichligini taqsimlanishi 15.3-rasmida keltirilgan. Bu grafiklar  $p$  nomerli holatlarni fizik ma'nosini ochadi. 15.3-rasmdan ko'rinishdiki,  $n$  soni o'rada to'lqin funksiyalar ko'rinishini belgilaydi. Harakat cheklangan bo'lsa, sistemani hamma holatlarini va unga mos ravishda energetik sathlarni tartib bilan belgilab chiqish mumkin. ( $n-1$ ) son  $\Psi_n(x)$  to'lqin funksiyaning tugunlar sonini (nollarini) beradi. Potensial chuqurlik chegara-siga tegishli nollar bundan mustasno.

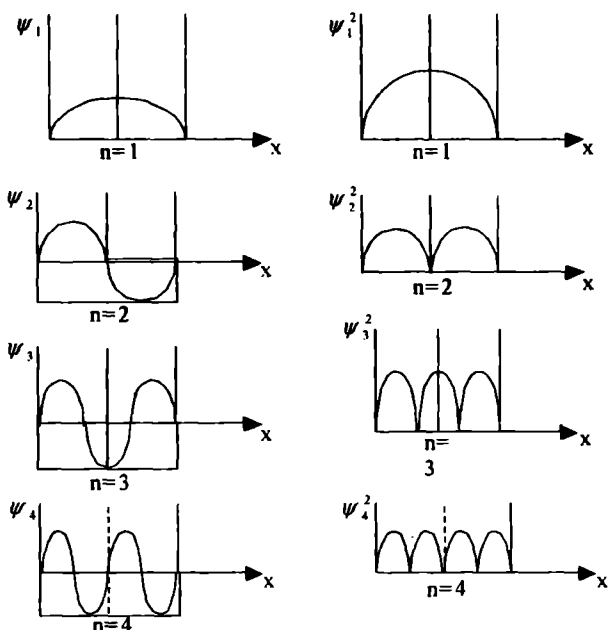
Zarraning har qanday nuqtada (o'ra ichida) qayd qilinish ehtimoli  $|\Psi|^2$  ga proporsional va 15.3b-rasmida  $n = 1, 2, 3, \dots$  uchun  $|\Psi|^2$  larning ko'rinishlari keltirilgan. Rasmdan ko'ramizki, asosiy energetik sathda, ya'ni  $n=1$  holda zarrani eng katta ehtimol bilan potensial o'ra o'rtaida  $\left( x = \frac{L}{2} \right)$  topamiz, potensial o'raning chekkalarida esa zarranining qayd qilish ehtimoli aksincha nolga teng.  $n=2$  uchun esa xususiy funksiyani ko'rinishi 15.3-rasmdagi kabi bo'lib,  $x = \frac{L}{2}$  nuqtada (ya'ni o'ra o'rtaida) zarraning qayd qilishi ehtimoli esa nolga teng.

Shunday qilib, zarraning energetik sathi  $E_2$  bo'lsa, u holda uni  $x = \frac{L}{4}$  nuqtada bo'lishi ehtimoli kattadir.

Demak, potensial o'ra ichida ma'lum nuqtalarda zarraning qayd qilishi ehtimoli  $n$  ning qiymatiga bog'liq bo'lib, uning o'zgarishi bilan ehtimol ham keskin o'zgaradi. 15.3-rasmdan ko'ramizki,  $p$  ning qiymati kattalashgan sari, ya'ni energiya kattalashgani bilan  $|\Psi_n|^2$  ning maksimumlari bir-biriga yaqinlashib boradi va  $n$  ning katta qiymatlarida  $|\Psi_n|^2$  taqsimoti klassik fizikaning taqsimoti bilan bir xil bo'lib qoladi. Boshqacha aytganda, Borning moslik prinsipi bu masala uchun ham o'rinnlidir. Shunday qilib, bu masalada ham to'lqin funksiyaning o'zi emas, balki modulining kvadrati fizik ma'noga egadir. Energetik sathlar orasidagi oraliq

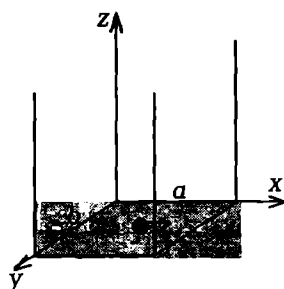
$$\frac{\Delta E_n}{E_n} = \frac{2\Delta n}{n+1}$$

ko'rinishga ega.



15.3-rasm. Cheksiz potensial o'rada zarranining to'lqin funksiyasi va ehtimollik zichligi.

## 2) Cheksiz chuqurlikka ega bo'lgan ikki o'lchovli potensial o'ra



15.4-rasm. Elektron  $a$ - $b$  tekislikda lokallashgan.

Cheksiz chuqur potensial o'ra ikki o'lchamli bo'lsin. Ikki o'lchamli cheksiz chuqur o'rada harakat qilayotgan elektron masalasini ko'raylik.  $a$  va  $b$  tomonlarga ega bo'lgan tekislikda harakat qilayotgan elektron 15.4-rasmida keltirilgan. Klassik fizikada ishlatiladigan matematik metodga o'xshab, bu holni ham elektronning harakatini bir-biriga bog'liq bo'lmasagan ikkita harakatga ajratish mumkin. Bu harakatlardan biri  $x$  o'qi, ikkinchisi esa  $u$  o'qi bo'yicha yo'nalgan bo'ladi. Bu holda elektronning energiyasi ikkita kvant soni  $n_x$  va  $n_y$  bilan aniqlanadi.

$$E_{n_x, n_y} = \frac{\pi^2 \hbar^2}{2ma^2} n_x^2 + \frac{\pi^2 \hbar^2}{2mb^2} n_y^2 \quad (15.20)$$

bunda  $n_x = 1, 2, \dots$ ;  $n_y = 1, 2, \dots$ .

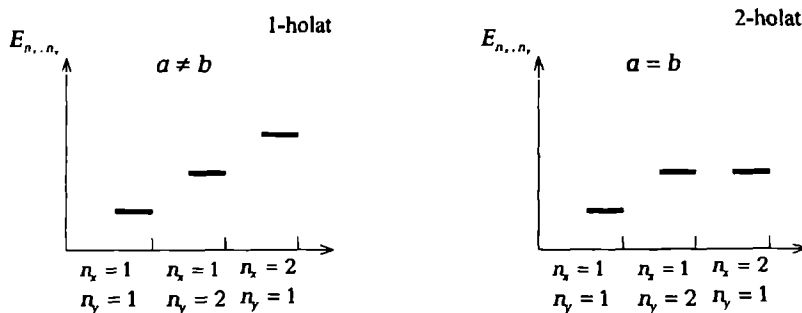
Sistemaning ikki holatini ko'ramiz:  $n_x = 1$ ,  $n_y = 2$  va  $n_x = 2$ ,  $n_y = 1$  bo'lsin. Agar  $a \neq b$  bo'lsa, har bir holat uchun o'zining enerjiya qiymati mavjud (15.2-jadal).

15.2-jadval

Holat	Energiya
$n_x = 1, n_y = 2$	$E_{1,2} = \frac{\pi^2 \hbar^2}{2m} \left( \frac{1^2}{a^2} + \frac{2^2}{b^2} \right)$
$n_x = 2, n_y = 1$	$E_{2,1} = \frac{\pi^2 \hbar^2}{2m} \left( \frac{2^2}{a^2} + \frac{1^2}{b^2} \right)$

15.2-jadvaldan ko'ramizki,  $E_{1,2} \neq E_{2,1}$ . Shuning uchun aynish sodir bo'lmaydi.

Maydon simmetriyasini o'zaro bog'lanishi, elektron harakat qilayotgan va energetik sathlarni aynish strukturasi  $a=b$  da sistemaning holati ikkala energiya uchun ham bir xil, ya'ni  $E_{1,2} = E_{2,1} = 5 \frac{\pi^2 \hbar^2}{2ma^2}$ . 15.5-rasmda  $a=b$  va  $a \neq b$  hollar uchun energetik sathlarning ko'rinishi keltirilgan.



15.5-rasm. Aynimagan va aynigan holatlar uchun energetik sath spektri.

Umuman olganda, ikki o'lchamli cheksiz potensial o'ra uchun energetik sath formulasi:

$$E_{n_x, n_y} = \frac{\pi^2 \hbar^2}{2ma^2} (n_x^2 + n_y^2) \quad (15.21)$$

ko'rinishga ega.

Shunday qilib,  $n_x$  va  $n_y$  kvant sonlarining barcha kombinatsiyasi uchun ( $n_x^2 + n_y^2$ ) yig'indi bitta qiymatga ega va bunga bitta energiya qiymati to'g'ri keladi. Bu hol uchun aynish o'rinni bo'ladi (15.5-rasm, 2-holat). Simmetriyaning ortishi (to'g'ri to'rtburchakdan kvadratga o'tish) ayrim holatlarni energiya bo'yicha aynishga olib keladi. Sistemning simmetriyasi bilan energetik sathlarning aynish strukturusi orasidagi bog'lanish kvant fizikaning chuqur bir g'oyalaridan birdir.

### 3) Chekli chuqurlikka ega bo'lgan bir o'lchovli potensial o'ra

Chekli chuqurlikka ega bo'lgan bir o'lchovli potensial o'ra 15.6-rasmida tasvirlangan.

$x < 0$  da potensial energiya cheksizga intiladi. Shuning uchun zarra  $x < 0$  sohaga kirolmaydi. Oqibatda to'lqin funksiya bu sohada nolga teng bo'ladi.  $x > 0$  da potensial energiya chekli qiymatga ega va to'lqin funksiyani I va II sohalarda bo'lishi ehtimoli mavjud. Potensialga qo'yilgan chegaraviy shart quyidagilardan iborat:

$$U(x) = \begin{cases} \infty, & \text{agar } -\infty < x < 0 \text{ bo'lsa}, \\ 0, & \text{agar } 0 < x < L \text{ bo'lsa}, \\ U_0, & \text{agar } L < x < \infty \text{ bo'lsa}. \end{cases} \quad (15.22)$$

Shryodinger tenglamasini I sohaga yozamiz:

$$\frac{d^2\psi_1}{dx^2} + \alpha^2\psi_1 = 0, \quad (0 < x < L), \quad (15.23)$$

bunda

$$\alpha^2 = \frac{2mE}{\hbar^2};$$

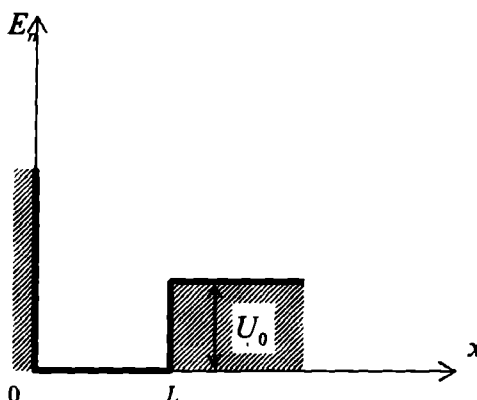
$$\text{II soha uchun } \frac{d^2\psi_2}{dx^2} + \frac{2m}{\hbar^2}(E - U_0)\psi_2 = 0, \quad (L < x < \infty) \quad (15.24)$$

$E > U_0$  holni ko'raylik. II soha uchun Shryodinger tenglamasi

$$\frac{d^2\psi}{dx^2} + \beta^2\psi = 0 \quad (15.25)$$

ko'rinishda bo'ladi (bunda  $\beta^2 = \frac{2m}{\hbar^2}(E - U_0) > 0$ ).

I soha uchun Shryodinger tenglamasi (15.24) ko'rinishda qoladi.



15.6-rasm. Chekli chugurlikka ega bo'lgan potensial o'ra.

Turli sistemalar uchun bu tenglamaning yechimini quyidagicha izlaymiz:

I soha uchun:

$$\begin{aligned}\psi_1 &= A_1 \sin(\alpha x) + B_1 \cos(\alpha x) \\ \psi_2 &= A_2 \sin[\beta(x - L)] + B_2 \cos[\beta(x - L)]\end{aligned}\quad (15.26)$$

To'lqin funksiyaga qo'yilgan shartlarga binoan  $\psi_1(0) = 0$  va de-mak,  $B_1 = 0$  Uzluksizlik shartiga ko'ra funksiya va uning hosilasi uchun

$$\psi_1(L) = \psi_2(L), \quad \frac{\partial \psi_1}{\partial x}(L) = \frac{\partial \psi_2}{\partial x}(L) \quad (15.27)$$

ifodani yozsa bo'ladi. U holda,  $A_2$  va  $V_2$  lar quyidagicha topiladi:

$$A_2 = \frac{\alpha A_1}{\beta} \cos(\alpha L), \quad B_2 = A_1 \sin(\alpha L). \quad (15.28)$$

Bu shartlar doimo o'rinni bo'ladi. Shuning uchun  $E > E_0$  da ener-giya spektri uzluksiz, o'zining harakati davomida zarra fazo-ning chekli sohasida lokallashmagan, ya'ni harakat *infinitiv* bo'ladi.

Endi  $E < U_0$  holni ko'ramiz. Bu holda II soha uchun Shryo-dinger tenglamasi quyidagicha yozilib:

$$\frac{d^2\psi}{dx^2} - k^2\psi_1 = 0 \quad (15.29)$$

ko'rinishda bo'ladi (bunda  $k^2 = \frac{2m}{\hbar^2} (U_0 - E) > 0$ ).

I soha uchun Shryodinger tenglamasi (15.24) ko'rinishda qoladi.

Tenglamaning yechimi I va II sohalar uchun quyidagi ko'rinishga ega:

$$\psi_1 = A_1 \sin(\alpha x) \quad (15.30 \text{ a})$$

$$\psi_2 = C_2 e^{-kx} + D_2 e^{kx} \quad (15.30 \text{ b})$$

to'lqin funksiya hamma yerda chekli bo'lishi talab qilinadi. Biroq  $x \rightarrow \infty$  da  $e^{kx}$  cheksiz o'sadi.

Shuning uchun (15.30 b) formuladagi  $D_2 = 0$  bo'ladi.

Tikish sharti bu hol uchun quyidagicha yoziladi:

$$\begin{aligned} A_1 \sin(\alpha L) &= C_2 \exp(-kL) \\ A_1 \alpha \cos(\alpha L) &= -kC_2 \exp(-kL) \end{aligned} \quad (15.31)$$

Bu sistemadagi ikkinchi tenglamani har bir hadini birinchi tenglamaning har bir hadiga bo'lsak,

$$\alpha \operatorname{ctg}(\alpha L) = -k \quad (15.32)$$

tenglama hosil bo'ladi. Bu tenglamani grafik usulda yechish qulay. Shuning uchun quyidagi almashtirishlarni bajaramiz:

$$\sin(\alpha L) = [1 + ctg^2 \alpha L]^{\frac{1}{2}} = \left[ 1 + \left( \frac{k}{\alpha} \right)^2 \right]^{\frac{1}{2}} = [1 + (U_0 - E)E]^{\frac{1}{2}} = \left( \frac{E}{E_0} \right)^{\frac{1}{2}}$$

Biroq

$$\sqrt{E} = \frac{\hbar \alpha}{\sqrt{2m}} \quad (15.33)$$

bo'lgani uchun (15.32) tenglamani quyidagi ko'rinishga keltirish mumkin:

$$\sin y = \frac{\hbar}{\sqrt{2mL^2 U_0}} y \quad (15.34)$$

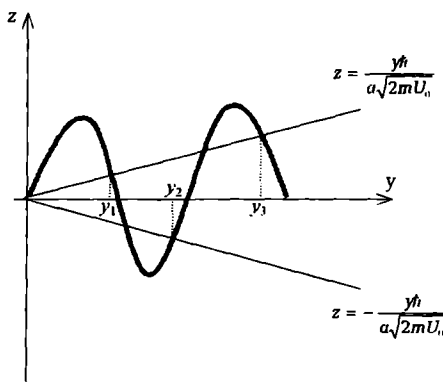
bunda  $y = (\alpha L)$ . Bu tenglamani grafik yechimi 15.7-rasmida keltirilgan.

(15.33) tenglamani yechimi sifatida  $z = \frac{y\hbar}{a\sqrt{2mU_0}}$  to'g'ri chiziq bilan

$z = \sin y$  sinusning kesishgan nuqtalari olinadi. Lekin hammasi ham emas. Balki (15.33) tenglamani qanoatlantiradigan yechimlar hisobga olinadi. Bu yechimlar juft choraklarda olingan nuqtalar uchun o'rinni.

$y_n$  ning chekli sondagi qiymatlariga energiyaning quyidagi qiymatlari to'g'ri keladi:

$$E_n = \frac{\hbar^2 y_n^2}{2nL^2} \quad (15.35)$$



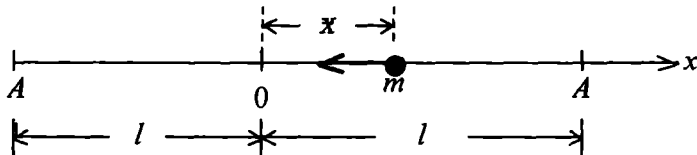
15.7-rasm.

Shunday qilib, chekli chuqurlikka ega bo'lgan potensial o'rada chekli sondagi energiyaning xususiy qiymatlari hosil bo'ladi. Agar  $U_0$  - potensial o'raning chuqurligi kichik bo'lsa, u holda birorta ham energiyaning xususiy qiymatlari bo'lmasligi mumkin.  $E < U_0$  da ( $x > L$  sohada) to'lqin funksiya  $\psi_2(x) = C_2 e^{-kx}$  ko'rinishga ega. Bundan chiqadiki, to'lqin funksiyani  $x > L$  sohaga kirish ehtimoli mavjud. Bu effekt mikro-zarranning potensial to'siqdan o'tish hodisasi degan qiziq yangi masalaga olib keladi.

## 15.2. Chiziqli garmonik ossillator

### 1) Klassik mexanikada garmonik ossillator masalasi.

Klassik mexanika bilan kvant mexanika orasidagi tafovutni yaxshi his qilish uchun garmonik ossillator masalasini ko'rganimiz ma'qul. Garmonik ossillator masalasini Shryodinger tenglamasi yordamida analitik usulda yechish mumkin. Bu masala natijalari fizikaning ko'p sohalarida, masalan, molekulaning tebranma energiyalarini hisoblashda qo'llash mumkin.



15.8-rasm.

Masalani mohiyatini yaxshi tushunish uchun avval biz klassik mexanikada garmonik ossillator masalasi yechimini izlaymiz.  $m$  massaga

ega bo'lgan zarra muvozanat holatiga nisbatan  $x$  masofaga siljib garmonik tebranayotgan bo'lsin. 15.8-rasmida keltirilgan chizmada zarraga ta'sir etayotgan Guk kuchi

$$F = -kx \quad (15.36)$$

ga teng. Unda  $k$ -bikirlik koefitsiyenti,  $F$ -kuch vektorining absolut qiymati va u doimo muvozanat nuqtaga yo'nalgan.

Nyutonning ikkinchi qonuniga binoan (15.36) formulani

$$m \frac{d^2x}{dt^2} = -kx \quad (15.37)$$

ko'rinishga keltiramiz. Bu ikkinchi tartibli differensial tenglamaga quyidagicha o'zgarish kiritamiz:

$$m \frac{dx}{dt} \frac{d^2x}{dt^2} \cdot d = -kx dx. \quad (15.38)$$

(15.38) ni integrallasak

$$\frac{1}{2} mv^2 + \frac{1}{2} kx^2 = F = \text{const}. \quad (15.39)$$

(15.39) formuladagi 1-had zarranning klassik energiyasi

$$K = \frac{1}{2} mv^2, \quad (15.40)$$

2-had esa uning potensial energiyasi

$$U = \frac{1}{2} kx^2 \quad (15.41)$$

ga teng.

Sistemaning to'la mexanik energiyasi

$$K + U = E = \text{const} \quad (15.42)$$

ga teng bo'ladi.

Energiyaning har qanday chekli qiymatida zarra  $A$  va  $A_1$  nuqtalar orasida tebranma harakat qiladi.  $E$ -energiyaning  $x$  ga bog'liq qiymati turli bo'lishi uchun  $E$  ning mumkin bo'lgan qiymati uzluksiz spektr hosil qiladi.

Agar

$$\omega^2 = \frac{k}{m} \quad (15.43)$$

belgi kirtsak, u holda (2) ni

$$\frac{d^2x}{dt^2} + \omega^2 x = 0 \quad (15.44)$$

ko'rinishda yozsa bo'ladi.

Bu tenglama chekli potensial chuqurda yotgan zarranning tenglamasiga o'xshab ketadi. Uning yechimini

$$x = Ae^{i\omega t} + Be^{-i\omega t} \quad (15.45)$$

ko'inishda ifodalash mumkin.

Zarrani boshlang'ich koordinatasi va boshlang'ich tezligi berilgan bo'lsa, (15.45) tenglamadagi A va V doimiyliklarni topish mumkin.

(15.45) ning yechimini Eyler formulasini qo'llagan holda

$$x = C \cos \omega t + D \sin \omega t \quad (15.46)$$

ko'inishga olib kelamiz. Bu tenglama zarra o'rnini vaqtga bog'liqlik harakat tenglamasini xarakterlaydi. Istalgan vaqtdagi zarra tezligi

$$v = \frac{dx}{dt} = -C\omega \sin \omega t + D\omega \cos \omega t \quad (15.47)$$

ga teng bo'ladi.

$t = 0$  paytda zarra  $x = l$  nuqtada bo'lsa, tezligi  $v = 0$ . U holda (15.46) va (15.47) tenglamalardan  $C = L$  va  $D = 0$  ekanligi kelib chiqadi. Bunday holda bu tenglamalarni

$$x(t) = l \cos \omega t \quad \text{va} \quad v(t) = -l\omega \sin \omega t \quad (15.48)$$

ko'inishda yozish mumkin.

To'la energiya

$$E = \frac{1}{2} m l^2 \omega^2 \sin^2 \omega t + \frac{1}{2} k l^2 \cos^2 \omega t \quad (15.49)$$

$x = 0$  nuqtada zarra muvozanat holatdan o'tayotgandagi tezligii maksimal, ya'ni  $V_{\max} = \omega l$  bo'ladi.

Agar zarra vaziyati  $A$  va  $A_1$  nuqtalarda bo'lsa, u holda uning kinetik energiyasi nol, ya'ni  $\omega = 0$ . Bu holda to'la energiya faqat potensial energiya bilan aniqlanadi:

$$E = \frac{1}{2} k x_{\max}^2 = \frac{1}{2} k l^2 \quad (15.50)$$

## 2) Kvant mexanikada garmonik ossillator masalasi.

Chiziqli ossillatorning potensial energiyasi

$$U(x) = \frac{1}{2} k x^2, \quad (15.51)$$

bunda  $\omega = \sqrt{\frac{k}{m}}$  bo'lgani uchun

$$U(x) = \frac{1}{2} m \omega^2 x^2, \quad (15.52)$$

$k$  - bikirlik koefitsiyenti,  $m$  - massa,  $\omega = 2\pi\nu$  burchak chastota. (15.52) ni Shryodingerning statsionar tenglamasiga qo'yamiz:

$$-\frac{\hbar^2}{2m} \frac{d^2\psi}{dx^2} + \left( E - \frac{m\omega^2 x^2}{2} \right) \psi(x) = 0 \quad (15.53)$$

(15.53) tenglamani yechish ancha murakkab, chunki ossillator devorlari orasidagi potensial energiya  $x$  ning barcha qiymatlarida doimiy qiymatga ega emas, balki parabolik qonun bo'yicha o'zgaradi. Shuning uchun ham de-Broyl to'lqin uzunlik ham turli qiymatlarda turlicha qiymat oladi, ya'ni

$$\lambda = \frac{\hbar}{\sqrt{2m(E - U)}}. \quad (15.54)$$

(15.53) differensial tenglama va uning yechimi matematiklarga yaxshi ma'lum va kvant mexanikaga oid kitoblarda ham u mufassal keltirilgan. Shuning uchun biz bu yerda uning yechimi haqida mufasal to'xtalib o'tirmaymiz, faqat kerakli joylariga to'xtalib o'tamiz.

(15.53) tenglamani o'chamsiz ko'rinishda yozib yechish qulay. Quyidagi belgilashlarni kiritamiz:

$$\alpha = \frac{2m_0 E}{\hbar^2}, \quad \beta = \frac{1}{x_0} = \sqrt{\frac{m_0 \omega}{\hbar}}, \quad \frac{\alpha}{\beta} = \frac{2E}{\hbar \omega}$$

va yangi o'zgaruvchi kiritamiz:

$$\xi = x\beta = \frac{x}{x_0} \quad (15.55)$$

Bu o'zgaruvchi o'ranga Shryodinger tenglamasini yozamiz:

$$\frac{d^2\psi}{d\xi^2} + (\lambda - \xi^2)\psi = 0. \quad (15.56)$$

(15.56) tenglamani chekli, uzlucksiz va bir qiymatli yechimlarini  $-\infty < \xi < +\infty$  oraliqda aniqlash kerak.

(15.56) ning bunday yechimlari  $\lambda$  ni quyidagi qiymatlari:

$$\lambda = 2n + 1, \quad n = 0, 1, 2, 3, \dots. \quad (15.57)$$

uchun mavjud.

Bundan energiya xususiy qiymati

$$E_n = \hbar \omega \left( n + \frac{1}{2} \right) \quad (15.58)$$

va xususiy funksiya

$$\psi_n(\xi) = e^{-\frac{\xi^2}{2}} H_n(\xi) \quad (15.59)$$

ni topamiz.

*Energiyaning xususiy qiymatlari.*

Parabolik shakldagi potensial o'ra uchun Shryodingerning statsionar to'lqin tenglamasidan energiyaning xususiy qiymati

$$E_n = \left( n + \frac{1}{2} \right) \hbar \omega = \left( n + \frac{1}{2} \right) \hbar \nu \quad (15.60)$$

formula bilan aniqlanadi (bunda  $\omega = 2\pi\nu$ ,  $n = 0, 1, 2, \dots$ ).

Energiyaning qiymatlari bu spektr uchun diskret bo'lib, klassik fizikadagi uzlusiz spektrdan tubdan farq qiladi. Energetik sathlar orasidagi farq bu spektrda  $\hbar\nu$  ga teng, shuning uchun *ekvidistant sathlar* deb ataladi.

Klassik mexanika kvant mexanikaning xususiy holi ekanligini garmonik ossillatorning quyidagi misolida ko'rsa ham bo'ladi:

Musiqa asboblari bo'lgan karnay, surnay, rubob va boshqa asboblarda hosil bo'ladigan tovush to'lqinlarining tebranish chastotasi 50 – 12000 Gs orasida bo'ladi. Bu tebranishlarning energiyasi esa birqancha tartibdagi Joullar atrofida. Bu asboblar uchun ham mumkin bo'lgan energetik sathlar orasidagi masofa  $\hbar\nu$  ga teng. Bunda  $\hbar = 6,626 \cdot 10^{-34} \text{ J} \cdot \text{s}$ , energetik sathlardagi farq tenglamasi  $\hbar\nu$  esa  $10^{-30} \text{ J}$  atrofida. Bu farqni to'la energiya bilan taqqoslasak, uning nechog'lik kichikligini ko'ramiz, amaliy jihatdan nolga teng. Shuning uchun ham mumkin bo'lgan tonlarning spektri amaliy jihatdan uzlusizdir.

Biroq atomlar va yadrolar dunyosida chastotalar juda yuqori bo'lib,  $10^{13} \text{ Gs}$  dan ham oshib ketadi, sistemasining energiyasi esa  $10^{-24} \text{ Joullar}$  atrofida. Bu hol uchun energiyalar orasidagi energetik farqni hisoblasak, u  $\hbar\nu = 6,626 \cdot 10^{-34} \cdot \text{Gs} = 6,626 \cdot 10^{-21} \text{ J}$  atrofida bo'ladi. Bu energiya to'la energiyadan juda katta emas, binobarin mumkin bo'lgan energetik sathlarning diskretligi deyarli sezilarli bo'ladi. Shunday qilib, bog'langan kvant sistemalarda, ya'ni kuch maydonlarida turgan zarralar energiyasi haqiqatan ham kvantlangan. Erkin zarra, ya'ni potensial maydonda yotgan zarralar energiyasi esa uzlusiz bo'ladi.

#### *Garmonik ossillatorning nolinchi energiyasi.*

Kvant mexanik ossillator masalasidan yana bir juda muhim «Ossillatorning energiyasi hech qachon nolga teng bo'lmaydi», degan natijaga kelamiz.

(15.60) tenglamadan kvant ossillatorning eng kichik qiymati noldan farqli, ya'ni  $n = 0$  da  $E_0 = \frac{\hbar\nu}{2}$ . Bu energiyaga nolinchi energiya deb ataladi. Mikrozarra parabolik potensial o'ranning tubiga joylasha olmaydi. Garmonik ossillatorning chekli nolinchi energiyasining mavjudligi zarraning to'lqin xusu iyatga ega ekanligini yaqqol namoyon qiladi. Bu jihatdan qaraganda nolinchi tebranishlarning mavjudligini eksperimental tasdiqlash kvant mexanikada juda katta ahamiyatga ega. Shuni ham eslatib o'tamizki, Shryodinger tenglama-sida nolinchi energiyaning paydo bo'lishi to'g'ridan-to'g'ri noaniqlik munosabati bilan bog'langan.

### 3) Garmonik ossillatorning to'lqin funksiyasi va ehtimol zichligi.

#### *Xususiy to'lqin funksiya.*

Normalangan xususiy to'lqin funksiya quyidagi ko'rinishga ega:

$$\Psi_n(x) = \left( \frac{1}{\sqrt{\pi} \cdot 2^n n! x_0} \right)^{\frac{1}{2}} e^{-\frac{1}{2}\left(\frac{x}{x_0}\right)^2} H_n\left(\frac{x}{x_0}\right) \quad (15.61)$$

bunda  $\frac{1}{x_0^2} = \beta^2 = \frac{m_0 \omega}{\hbar}$ ,  $\omega = 2\pi\nu$  bo'lgani uchun

$$\beta^2 = \frac{4\pi^2 m v}{\hbar} \quad (15.62)$$

ni yozish mumkin. (15.62) ni e'tiborga olgan holda (15.61) ni quyidagi ko'rinishga keltiramiz:

$$\Psi_n(x) = \left( \frac{\beta}{\sqrt{\pi} \cdot 2^n n!} \right)^{\frac{1}{2}} H_n(\beta x) e^{-\frac{\beta^2 x^2}{2}} \quad (15.63)$$

(15.63) ifodaga garmonik ossillatorning  $n$  bo'yicha normallangan xususiy funksiyalari formulasi deyiladi.

$n = 0, 1, 2, \dots$  uchun  $H_n(\beta x)$  ni hisoblash uchun ermitning rekurrent formulasidan foydalanamiz.

Rekkurent formula

$$H_{n+1} = 2(\beta x)H_n - 2nH_{n-1}, \quad (15.64)$$

Polonimlari

$$\begin{aligned} H_0 &= 1 \\ H_1 &= 2\beta x \\ H_2 &= 4\beta^2 x^2 - 2 \\ H_3 &= 8\beta^3 x^3 - 12\beta x \\ H_4 &= 16\beta^4 x^4 - 48\beta^2 x^2 + 12 \end{aligned} \quad (15.65)$$

$$H_n = (-1)^n e^{\beta^2 x^2} \frac{d^n}{d(\beta x)^n} e^{-\beta^2 x^2}$$

Bu rekurrent formula  $H_{n+1}, H_n, H_{n-1}$  larni o'zaro bog'laydi. Agar birinchi va ikkinchi polonimlar ma'lum bo'lsa, (15.64) rekurrent formula boshqa polonimlarni birin-ketin hisoblash imkonini beradi.

15.3-jadvalda kichik kvantlar sohasi uchun xususiy qiymatlarga mos kelgan normallangan xususiy funksiyalar va ehtimol zichliklari keltirilgan.

15.3-jadvaldag'i  $n = 1, 2, 3, \dots$  kvant sonlariga mos kelgan holatlar uchun ehtimollar zichligi  $|\Psi|^2$  ning chizmasi 15.9-rasmida keltirilgan.

Har qanday nuqtada zarrani qayd qilinishi ehtimoli  $\Psi$  ga proportional. Rasmdan ko'ramizki, asosiy energetik sathda, ya'ni  $n = 0$  bo'lgan holatda zarraning eng katta ehtimoli bilan ossillatorning o'rtaasida topamiz. Bu hol potensial o'ra holi kabi uyg'ongan holatlar uchun ham ehtimol zichligi 15.9-rasmida  $n = 1,2,3$  lar uchun tasvirlangan. Bu hollarda ham kvant ossillatorda zarraning qayd qlinishi ehtimolining katta qiymati to'lqin funksiyaning maksimumlar sohasiga to'g'ri keladi. Kvant soni  $n$  ning katta qiymatlarida ehtimollar zichligining egriligi klassik ossillatori egriligiga yaqinlashadi va bunda ham Borning moslik prinsipi bajariladi.

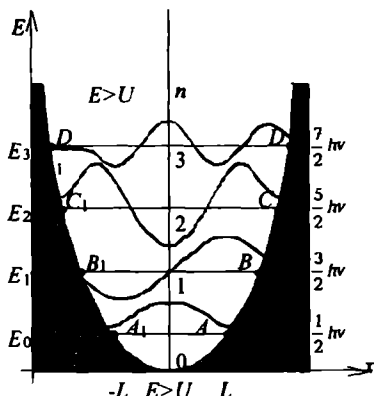
## 15.3-jadval

$n$	Xususiy energiya qiymati $E_n$	Normallangan xususiy to'lqin funksiya $\psi_n(x)$	Normallangan ehtimol zichligi $ \psi_n(x) ^2$
0	$E_0 = \frac{1}{2} \hbar\nu$	$\psi_0 = \left(\frac{\beta}{\sqrt{\pi}}\right)^{\frac{1}{2}} e^{-\frac{\beta^2 x^2}{2}}$	$ \psi_0 ^2 = \frac{\beta}{\sqrt{\pi}} e^{-\beta^2 x^2}$
1	$E_1 = \frac{3}{2} \hbar\nu$	$\psi_1 = \left(\frac{\beta}{2\sqrt{\pi}}\right)^{\frac{1}{2}} 2\beta x e^{-\frac{\beta^2 x^2}{2}}$	$ \psi_1 ^2 = \frac{\beta}{2\sqrt{\pi}} 4\beta^2 x^2 e^{-\beta^2 x^2}$
2	$E_2 = \frac{5}{2} \hbar\nu$	$\psi_2 = \left(\frac{\beta}{8\sqrt{\pi}}\right)^{\frac{1}{2}} (4\beta^2 x^2 - 2) e^{-\frac{\beta^2 x^2}{2}}$	$ \psi_2 ^2 = \frac{\beta}{8\sqrt{\pi}} (4\beta^2 x^2 - 2)^2 e^{-\beta^2 x^2}$
3	$E_3 = \frac{7}{2} \hbar\nu$	$\psi_3 = \left(\frac{\beta}{48\pi}\right)^{\frac{1}{2}} (8\beta^3 x^3 - 12\beta x) e^{-\frac{\beta^2 x^2}{2}}$	$ \psi_3 ^2 = \frac{\beta}{48\pi} (8\beta^3 x^3 - 12\beta x)^2 e^{-\beta^2 x^2}$
$\vdots$	$\vdots$	$\vdots$	$\vdots$
$n$	$E_n = \left(n + \frac{1}{2}\right) \hbar\nu$	$\psi_n = \left(\frac{\beta}{\sqrt{\pi}} \frac{1}{2^n n!}\right)^{\frac{1}{2}} H_n e^{-\frac{\beta^2 x^2}{2}}$	$ \psi_n ^2 = \frac{\beta}{\sqrt{\pi}} \frac{1}{2^n n!} H_n^2 (\beta x) e^{-\beta^2 x^2}$
Bunda $\beta = \frac{4\pi^2 m \nu}{h}$ , $H_{n+1} = 2\beta x H_n - 2nH_{n-1}$ .			

Xususiy to'lqin funksiya va ehtimol zichligining grafigi.

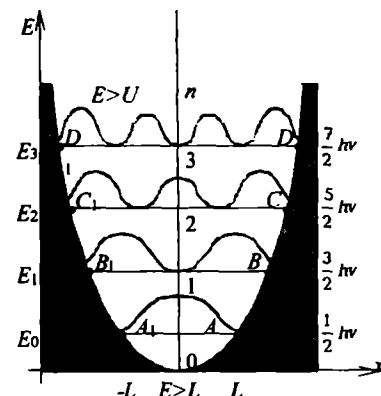
Chiziqli garmonik ossillator uchun  $U(x)$  potensial funksiyaning grafigi paraboladan iborat bo'lib, uning chizmasi 15.9- va 15.10-rasmlarda keltirilgan. 15.9-rasmida kvant soni  $n$  ning kichik qiymatlari (0,1,2,3) ga mos kelgan energetik sathlar va ularning xususiy funksiyalari keltirilgan. 15.10-rasmida esa shu kvant sonlari uchun ehtimol zichligini  $X$  o'qi bo'yicha egriligi keltirilgan. Birinchi qaraganda

parabolik potensial o'ra zarra ichidagi zarraning xatti-harakati deyarli potensial o'ra ichidagi zarra harakatidan farq qiladi.



-klassik fizika man etgan soha

**15.9-rasm.** Ossillator uchun potensial energiya va xususiy funksiyalar grafigi.



**15.10-rasm.** Ossillator uchun potensial energiya va ehtimol zichliklari.

Asosiy holatni ifodalovchi birinchi xususiy to'lqin funksiya  $n = 0$  ga to'g'ri keladi.  $x = \pm\infty$  dan boshqa hamma nuqtada bu to'lqin funksiyaning qiymati nolga teng emas. Boshqacha aytganda, o'ra ichida to'lqin funksiyaning tuguni yo'q. Bu holat uchun zarraning qayd qilinishi ehtimoli 15.10-rasmda ko'rsatilgan. Rasmdan ko'ramizki,  $n = 0$  holatda potensial o'ra ichida zarraning qayd qilinish ehtimoli hamma nuqtalarda mavjud, lekin eng katta ehtimol ossillatorning o'rtasi ( $x = 0$  ga to'g'ri keladi). Boshqa so'z bilan aytganda to'lqin funksiyaning maksimumi  $x = 0$  (15.9-rasm) ga to'g'ri keladi. Ikkinchini xususiy to'lqin funksiya  $n = 1$  ga to'g'ri keladi. Bu to'lqin funksiya o'ra ichida  $X$  o'qini 0 nuqtada kesadi. Bundan chiqadiki,  $\psi(x)$  funksiyaning bitta tuguni mavjud ( $\psi(x)$ ) funksiyaning nolga teng bo'lgan nuqtasi *tugun nuqta* deyiladi. Tugunlar soni to'lqin funksiyaning tartibi, ya'ni  $n$  ga teng .) ossillatorning o'rtasida, ya'ni  $x = 0$  da zarraning qayd qilinishi ehtimoli nolga teng va ehtimol maksimumi  $x = \frac{\pm L}{2}$  ga to'g'ri keladi.

Uchinchi xususiy to'lqin funksiya hosil qilgan tugunlar ikkita, ya'ni  $n = 2$ . Bu to'lqin funksiyaning eng katta qiymatlari

$x = \frac{\pm L}{4}$  ga to'g'ri keladi. Kvant soni  $n$  ning katta qiymatida kvant ossillatoridan bo'ladigan jarayon klassik ossillatorga o'xshab ketadi va bu hol uchun ham Borning moslik prinsipi bajariladi.

Endi asosiy e'tiborni parabolada olingan  $n = 0$  uchun  $A$  va  $A_1$  nuqtalar,  $n = 1$  uchun  $B$  va  $B_1$  va h.k. chekka nuqtalarga jalb qilamiz. 15.9-rasmdagi  $A$  va  $A_1$  nuqtada zarraning holatini ko'raylik. Bu hol uchun keltirilgan mulohaza boshqa chekka nuqtalar uchun ham o'rinli bo'ladi. Dastlab klassik fizika nuqtayi nazaridan mulohaza yuritamiz. Parabolaning  $A$  va  $A_1$  nuqtalarida turgan zarraning kinetik energiyasi nolgi teng. Chunki bu nuqtalarda tezlik nolga teng ( $A$  va  $A_1$  nuqtalar eng katta og'ishish nuqtalari). Shuning uchun bu nuqtalarda zarraning potensial energiyasi eng katta bo'ladi, ya'ni  $U = \frac{1}{2}kx_{\max}^2 = \frac{1}{2}kL^2$ . Bu holda zarraning to'la energiyasi  $E$  faqat potensial energiyaga teng bo'ladi va zarra  $A$  va  $A_1$  nuqtalardan *tashqariga* o'tib keta olmaydi. Klassik fizika nuqtayi nazaridan zarraning  $A$  nuqtadan tashqariga chiqishi man etilgan bo'lib, uni ossillator devori orqasida ko'rish ehtimoli nolga teng. Endi bu masalani kvant nazariya nuqtayi nazaridan ko'raylik. Kvant nazariyaga ko'ra, zarra to'lqin xususiyatga ega. Shuning uchun uning ossillator ichidagi xattiharakati Shryodinger tenglamasiga bo'ysunadi. Uning yechimi 15.9- va 15.10-rasmlarda keltirilgan. Rasmlarga diqqat bilan razm soling.  $A$  va  $A_1$  nuqtalarda to'lqin funksiyaning, shuningdek, ehtimol zichligining qiymati ham nolga teng emas, balki kichik bo'lsa ham biror chekli qiymatga ega. Esingizda bo'lsa, potensial o'ra masalasida bu nuqtalar uchun to'lqin funksiyaning qiymati nolga teng edi, ya'ni zarraning potensial devori nuqtalarida bo'lish ehtimoli nolga teng. Biz qarayotgan parabolik ossillatorda vaziyat boshqacha. Bunda zarranning to'lqin funksiyasi faqatgina chekka nuqtalardagina emas, shu bilan birga ossillator devorining orqa tomonida ham chekli qiymatga egadir. Bu degan so'z zarraning devor orqasiga o'tib qolishi mumkinligi kelib chiqadi. Demak, kvant ossillator masalasida zarrani potensial devori orqasida kuzatish ehtimoli mavjuddir. Bu natija potensial to'siq masalasini chuqur o'rganishga majbur qildi. Bu esa o'z navbatida, tunnel effekt degan hodisaning ochilishiga olib keldi. Quyida shu masala bilan chuqurroq tanishamiz.

**Kvant ossillator masalasining ahamiyati**

Kvant ossillator masalasidagi natija, ya'ni eng kichik holat uchun ( $n = 0$ ) nolinchi tebranishning mavjudligi va uning qiymati  $E = \frac{1}{2} \hbar v$  teng bo'lishini tajribada tasdiqlanishi kvant nazariya va uning rivojlanishi uchun juda katta ahamiyatga ega. Kvant ossillatorning bu ajoyib xususiyatini tajriba tasdiqladi. Qattiq jismda tovush tebranishlarini kvant ossillatorilarning majmuasidan iborat deb qarasak, u holda absolut temperaturada qattiq jismning atomlari qo'zg'almas degan (harakatda), ya'ni nolinchi tebranishlarga ega degan xulosaga kelamiz. Bu natija o'ta past temperaturalarda rentgen nurlarini kristall atomlarida sochilishi tajribalarida to'la tasdiqlangan. Xuddi shuningdek, bo'sh fazoda elektromagnit to'lqinlarini ham ossillatorlar majmuasi deb qarasak, u holda zarralar ham, kvantlar ham bo'limgan bo'shlidqa elektromagnit to'lqinlarining nolinchi tebranishlari mavjud degan yakunga kelamiz. Bu tebranishlar ham tajribada to'la kuzatilgan. Shunday qilib, kvant ossillatori klassik ossillatordan farq qilib, eng kichik energetik holatida ham harakat to'xtab qolmaydi. Ossillatorning koordinata va impulslarining o'rtacha qiymati nolga teng, ammo koordinata kvadratining o'rtacha qiymati va impuls kvadratining o'rtacha qiymati noldan farqli. Shu sababdan ham nolinchi tebranishlar mavjuddir.

Kvant ossillatorning muhim natijalari nazariy fizikaning yangi bo'limi, kvant elektrodinamikasi fanini paydo bo'lishiga olib keldi. Bu fan elektronlarning bir-biri bilan bo'ladigan va elektromagnit maydon bilan bo'ladigan o'zaro ta'sirini juda katta aniqlik bilan tavsiflab beradi. Bu sohada Dirak, Feynman, Tomonaga, Shvinger, Dayson kabi fiziklarning xizmati juda ham kattadir.

**15.3. Potensial to'siq. Tunell effekt**

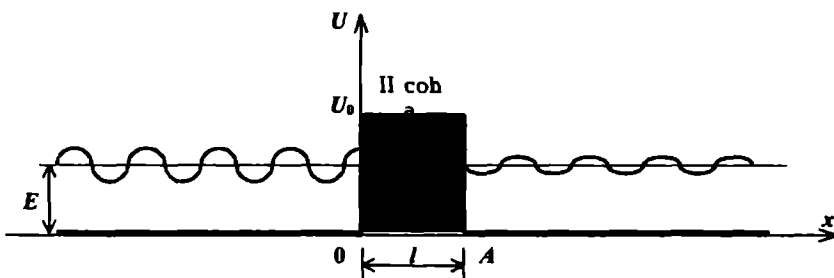
Zarranning bir o'lchovli harakatini muhim holidan yana biri uning potensial to'siqdan o'tishidir. Bu masala garmonik ossillator masalasining yechimidan bevosita kelib chiqadi. Yuqorida ko'rdikki, garmonik ossillator masalasida to'lqin funksiyaning qiymati potensial o'ra tashqarisida ham noldan farq qiladi. Bu degani klassik chegara tashqarisida, ya'ni potensial o'ra ortida ham zarrani qayd qilinish ehtimoli mavjud bo'lib, u chekli qiymatga ega. 15.9-rasmida to'lqin funksiya potensial devorning  $A$  va  $V$  nuqtalaridan ichkarisiga o'tib tezda nolga aylanishi tasvirlangan.  $A$  va  $V$  nuqtalarda to'lqin funksiya chekli qiymatga ega bo'lishi mumkin. Keyin nima bo'ladi? bu savolga javob topish uchun yupqa potensial devor - *potensial to'siqni ko'raylik*.

15.11-rasmida  $U > E$  uchun potensial to'siq tasvirlangan. Rasmdan ko'rindaniki, to'lqin funksiyaning birinchi sakrashi  $x = 0$  nuqtada, ikkinchisi esa  $X = a$  nuqtada ro'y beradi. Natijada,  $X$  o'qi uchta sohaga bo'linadi:

$$U(x) = \begin{cases} 0, & \text{agar } x < 0 \text{ bo'lsa} \\ U_0, & \text{agar } 0 < x < l \text{ bo'lsa} \\ 0, & \text{agar } x > l \text{ bo'lsa} \end{cases}$$

$$\begin{array}{ll} \text{I soha} & U_I=0 \\ \text{II soha} & U_{II}=U_0 \neq 0 \\ \text{III soha} & U_{III}=0 \end{array} \quad (15.66)$$

15.11-rasmda garmonik ossillatorning energetik sathlardan biri tasvirlangan.



15.11-rasm. Potensial to'siq.

Sathning to'la energiyasi, masalan,  $E_1$  to'siq balandligidan kichik bo'lsin. Bu sathda to'siqning maksimal potensial energiyasi zarranining to'la energiyasidan katta bo'lgan holda ham to'lqin funksiya bu sathda chekli qiymatga ega bo'ladi (15.9-rasm). Boshqacha aytganda zarranning qayd qilinishi mumkinligi kelib chiqadi. To'lqin funksiyaning chekli amplitudasi 15.11-rasmida III sohada tasvirlangan.

Bu masalani yechish uchun I, II, III sohalardagi to'lqin funksiyalarini  $\Psi_1, \Psi_2, \Psi_3$  deb belgilaymiz va har bir soha uchun Shryodingerning statsionar tenglamasini quyidagi ko'rinishda yozamiz:

$$\begin{aligned} -\frac{\hbar^2}{2m} \frac{d^2\Psi_1}{dx^2} &= E\Psi_1, & \text{chunki } U_I = 0 \quad \text{I soha}, \\ -\frac{\hbar^2}{2m} \frac{d^2\Psi_2}{dx^2} + U_0\Psi_2 &= E\Psi_2, & \text{chunki } U_{II} = U_0 \quad \text{II soha}, \\ -\frac{\hbar^2}{2m} \frac{d^2\Psi_3}{dx^2} &= E\Psi_3, & \text{chunki } U_{III} = 0 \quad \text{III soha}. \end{aligned} \quad (15.67)$$

Quyidagi belgilashlar kiritamiz

$$\alpha^2 = \frac{2m}{\hbar^2} E \text{ va } \beta^2 = \frac{2m(U_0 - E)}{\hbar^2} \quad (15.68)$$

va (15.67) ni quyidagi shaklga keltiramiz:

$$\begin{aligned} \frac{d^2\psi_1}{dx^2} + \alpha^2\psi_1 &= 0, & \text{I soha}, \\ \frac{d^2\psi_2}{dx^2} - \beta^2\psi_2 &= 0, & \text{II soha}, \\ \frac{d^2\psi_3}{dx^2} + \alpha^2\psi_3 &= 0, & \text{III soha}. \end{aligned} \quad (15.69)$$

Bu tengliklarning yechimlari quyidagi funksiyalar bo'ldi:

$$\begin{aligned} \Psi_1 &= Ae^{i\alpha x} + Be^{-i\alpha x} & \text{I soha}, \\ \Psi_2 &= Fe^{-\beta x} + Ge^{\beta x} & \text{II soha}, \\ \Psi_3 &= Ce^{i\alpha x} + De^{-i\alpha x} & \text{III soha}, \end{aligned} \quad (15.70)$$

bunda A,B,C,F,G - har bir to'lqinga mos keluvchi amplitudalar.

Bu amplitudalarni quyidagicha ta'riflash mumkin:

A - to'siqqa chap tomonidan tushayotgan to'lqin amplituda;

B - I sohadan qaytgan to'lqin amplitudasi;

F - II sohaga o'tgan to'lqin amplitudasi;

G - II sohada A nuqta sirtidan qaytgan to'lqin amplitudasi;

C - III sohaga o'tgan to'lqin amplitudasi;

D - III sohadan qaytgan to'lqin (mavjud bo'limgan) amplitudasi.

15.11-rasmda uchala sohada to'lqin funksiyani uzluksiz ko'rnishda chizdik, bundan chiqadiki, u  $X$  o'qining istalgan nuqtasida to'lqin funksiya uzluksiz va bir qiymatlidir. Bu shartlarni bajarish nati-jasida, tenglamani yechgan holda turli amplitudalarni zarraning ener-giyasi, to'siqning balandligi va qalinligi orqali bog'lash mumkin. To'lqin funksiya bilan bog'langan ehtimol zichligi ushbu funksiya am-plitudasining kvadratiga proporsional bo'lgani to'siq uchun o'tish koeffitsiyenti yoki to'siqning shaffofligini aniqlash mumkin.

$$D = \frac{|C|^2}{|A|^2} \quad (15.71)$$

$x = 0$  nuqtada to'siq sirtidan qaytish koeffitsiyent esa

$$R = \frac{|B|^2}{|A|^2} \quad (15.72)$$

formula bilan aniqlanadi.

$U > E$  hol uchun o'tish koeffitsiyenti

$$D \approx 16 \frac{E}{U_0} \left( 1 - \frac{E}{U_0} \right) \exp \left[ -\frac{2l}{\hbar} \sqrt{2m(U_0 - E)} \right], \quad (15.73)$$

$l$  - to'siqning fazoviy qaliligi.

(15.73) dan quyidagi xulosani chiqarish mumkin. To'la energiya  $E$  bo'lган mikrozarra yupqa energetik to'siqqa tushayotgan bo'lsa va to'siqning potensiali  $E$  dan katta bo'lsa ham zarraning to'siqdan o'tish ehtimoli mavjudligi kelib chiqadi. Zarraning potensial to'siqdan o'tishiga *tunell effekt* deyladi. Tunnel effekt hodisasi kvant hodisasi bo'lib, uning klassik mexanikada o'mni yo'qdir.

Ixtiyoriy shakldagi potensial to'siqdan o'tish koeffitsiyentini quyidagi ko'rinishda yozish mumkin:

$$D = \exp \left[ -\frac{2}{\hbar} \int_a^b \sqrt{2m(U(x) - E)} dx \right]. \quad (15.74)$$

Bu masalani yechishda zarra potensial to'siqdan o'tishida o'z energiyasini yo'qotmaydi deb hisoblaymiz va to'siqdan o'tishda vaqt o'tayotgan zarralarning soni kamayadi. Bu hodisaga tunnel effekt deb nom berilishiga sabab, zarra to'siqdan o'tishi uchun uning cho'qqisiga o'tmaydi, balki u to'siq orqali xuddi tunneldan o'tgan singari o'tadi.

Misol. Balandligi  $4 \text{ eV}$  ga teng bo'lган potensial to'siqdan energiyasi  $1 \text{ eV}$  bo'lган elektronning o'tish ehtimolini hisoblang. To'siqning kengligi  $2,0 \cdot 10^{-8} \text{ sm}$  deb hisoblang.

Yechish.

$$T = 16 \left( \frac{1.0 \text{ eV}}{4.0 \text{ eV}} \right) \left( 1 - \frac{1.0 \text{ eV}}{4.0 \text{ eV}} \right) \exp \left[ -\frac{2.0 \cdot 10^{-10} m}{1.05 \cdot 10^{-34} js} \sqrt{2 \cdot 9.1 \cdot 10^{-34}} \right] \\ \left[ \frac{\text{kg}}{\text{kg}(4-1) \cdot 1.6 \cdot 10^{-19} j} \right]$$

$1 \text{ eV}$  energiyaga ega bo'lган 100 ta elektronidan faqat 8 tasi to'siqdan o'ta oladi. Tunnel effekti yordamida yadroning  $\alpha$  yemirilishi 1928-yilda Gamov, 1929-yilda Kondon va Garnilar tushuntirib berishgan. Masalan, uran yadrosining nuklonlari neytron va protonlardan iborat. Bu zarralar yadro ichida klaster deb atalgan birkimalar hosil qildi. Bu klasterlar ikkita proton va ikkita neytrondan tashkil topgan bo'lib, yashash vaqtqi qisqa. Odatda, ularni  $\alpha$ -klaster deb atashadi. Tunnel effekt nazariyasi asosida hisoblashlar shuni ko'rsatadiki, yadro kuchlari tufayli hosil bo'lган potensial to'siq  $\alpha$ -zarrani ichkaridan tashqariga chiqish ehtimoli  $10^{38}$  zarralardan faqat bittasigagina bo'lishi mumkin. Zarraning yadrodan bu chiqishini  $\alpha$ -yemirilish deyiladi. Diametri  $10^{-14} m$  yadrodan o'tayotgan  $\alpha$ -zarraning tezligi  $10^7 \frac{m}{s}$

bo'lsa, u holda har sekundda to'siq bilan  $10^{21}$  to'qnashishlar sodir bo'lishi mumkin. Oddiy hisoblashlar shuni ko'rsatadiki,

$$\frac{10^{38}}{10^{21} S^{-1}} = 10^{17} S \approx 3 \cdot 10^9 \text{ yil}.$$

Bu degani yadrodan  $\alpha$ -zarrani chiqishi uchun  $3 \cdot 10^9$  yil kerak bo'ladi. shuning uchun ham uran yadrosining yarim yemirilish davri taxminan milliard yilga teng. Poloniy yadrosi uchun potensial to'siq balandligi urannikiga nisbatan kichik bo'lganligi sababli to'siq bilan  $10^{17}$  to'qnashishda bitta  $\alpha$ -zarraning chiqish ehtimoli mavjud. To'qnashishlar soni  $10^{21} s^{-1}$  desak, u holda har  $10^{-4} S$  da poloniydan bitta  $\alpha$ -zarra uchib chiqib ketadi.

### Savollar

1. Potensial o'ra deganda, nimani tushunasiz?
2. Potensial va to'lqin funksiya uchun chegaraviy shartlar qanday qo'yiladi?
3. Potensial o'ra uchun Shryodinger tenglamasi va uning yechimini yozing.
4. To'lqin funksiyaning normallash shartini ko'rsating.
5. Potensial o'ra uchun energiyaning xususiy qiymatlari qanday topiladi?
6. Energetik sathlar deganda, nimani tushunasiz?
7. Impulsning xususiy qiymatlari qanday topiladi? Bu holda noaniqlik prinsipi qanday o'rinn tutadi?
8. Normallangan xususiy funksiyalarni yozing.
9. Xususiy funksiyalar va qiymatlar jadvalini tuzing va ularning fizik ma'nosini tushuntiring.
10. Ehtimol zichligini  $n = 1, 2, 3$  hollar uchun tushuntiring.
11. Garmonik ossillator deganda, nimani tushunasiz?
12. Klassik garmonik ossillator bilan kvant garmonik ossillator orasidagi farq nimadan iborat?
13. Garmonik ossillator masalasida klassik mexanikani kvant mexanikaning xususiy xoli deb qarash mumkinmi?
14. Garmonik ossillator uchun potensial energiya qanday yoziladi?
15. Garmonik ossillator uchun Shryodinger tenglamasi qanday topiladi?
16. Garmonik ossillator uchun energiyaning xususiy qiymati qanday yoziladi?
17. Garmonik ossillator uchun xususiy funksiyalar qanday yoziladi?
18. Xususiy funksiyalarni aniqlashda qanday polinomlardan foydalaniladi?

19. To'lqin funksiyani potensial o'ra devori ortida yotishini qanday izohlaysiz?
20. Potensial o'ra uchun garmonik ossillator uchun yozilgan to'lqin funksiyalari bir-biridan qanday farqlanadi?
21. Garmonik ossillatori to'lqin funksiyasi qanday normallanadi?
22. 15.10-rasmidagi grafikdagi ehtimol zichligini  $n = 1,2,3$  hollar uchun tushuntiring?
23. Nolinchi energiya nima? Nolinchi tebranishlar-chi?
24. Kvant ossillator masalasidagi asosiy natija nima? Qanday tajribalarda kvant ossillator masalasining yechimlari tasdiqlandi?
25. Kvant ossillator masalasi nazariy fizika fanini o'rganishda qanday rol o'ynadi?
26. Garmonik ossillator haqida tasavvuringiz qanday?
27. Tunnel effekti masalasi qanday vujudga keldi?
28. Tunnel effektni ta'riflang?
29. Potensial to'siq masalasida potensial energiyaning bo'linish sohalarini ko'rsating.
30. Potensial to'siq masalasini yechishda nima uchun Shryodinger tenglamasini uch qismga ajratib so'ng yechishimiz kerak?
31. To'lqin funksiyalarni bir-biriga tikish deganda nimani tushunasiz va u qanday bajariladi?
32. To'lqin funksiyaga qanday talablar qo'yilganda tikish sharti bajariladi?
33. To'lqin funksiyani amplitudalari ko'rinishi ifodasini yozing.
34. O'tish (shaffoflik) koeffitsiyentini yozing va tushuntiring.
35. Tunnel effekt deganda, nimani tushunasiz?
36.  $\alpha$ -emirilishni tunnel effekti asosida tushuntiring.
37. Zarra (to'lqin funksiya) potensial to'siqdan o'tishida energiyasini yo'qotadimi yoki soninimi?
38. Tunnel effekti fizikada qanday rol o'ynaydi?

### Masalalar

- 15.1. Kengligi  $L = 3,6 \cdot 10^{-10} \text{ m}$  bo'lgan potensial qutida elektron joylashgan bo'lsin. Potensial o'ra mavzusidagi munosabatlardan foydalanim, quyidagilarni toping:
- elektronning olishi mumkin bo'lgan energiyaning eng kichik qiymatini  $E_1$  ni elektronovoltlarda;
  - $E_1$  va  $E_2$  energiyalar orasidagi  $\Delta E$  - energiya farqini;
  - $\Delta E$  energiyaga to'g'ri kelgan fotonning to'lqin uzunligi va chastotasini;
  - impulsning eng kichik qiymatini;
  - potensial o'ra ichida yotgan elektron impulsini aniqlashdagi noaniqlikni.

15.2. Massasi  $2 \cdot 10^{-7} \text{ kg}$  bo'lgan shakar zarrasi kengligi  $L = 2,0 \text{ mm}$  bo'lgan potensial o'rada joylashgan. Energiyaning eng kichik qiymati  $E_1$  ni,  $\Delta E = E_2 - E_1$  farqni toping. 15.1-masaladan olingan natijalar bilan bu masala natijalarini taqqoslang va o'z fikringizni aytинг.

15.3. Kengligi  $4,0 \cdot 10^{-10} \text{ m}$  bo'lgan potensial qutida harakat qilayotgan elektron tezligi  $v = 7,5 \cdot 10^6 \text{ m/s}$  ga teng. Massasi  $m = 5,3 \cdot 10^{-26} \text{ kg}$  ga teng bo'lgan molekula kengligi  $10^{-4} \text{ sm}$  bo'lgan qutida  $400 \text{ m/s}$  tezlik bilan harakat qilyapti. Shuningdek, massasi  $1,0 \cdot 10^{-6} \text{ kg}$  bo'lgan zarra kenligi  $0,1 \text{ sm}$  bo'lgan qutida  $0,0010 \text{ m/s}$  tezlik bilan harakat qilyapti. Elektron, molekula va zarra uchun  $n$  kvant sonining taxminiy qiymatlarini toping.

15.4. Massasi  $M$  ga teng bo'lgan zarra bir o'lchamli cheksiz chur to'g'ri burchakli potensial chuqurlikda yotibdi (15.1-rasm).

orra uchun Shryodinger tenglamasini ta'riflang va bu tenglamaning umumiy yechimini toping;

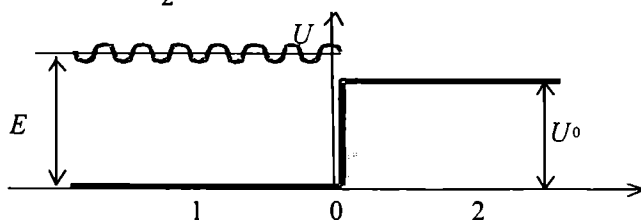
- chegaraviy shartlar yozing xususiy yechimlarni aniqlang;

xususiy to'lqin funksiyalar uchun normallash koefitsiyentini aniqlang va uni  $n$  ga bog'liq emasligini ko'rsating.

15.5. 15.4-masala shartidan foydalanib, Shryodinger tenglamasi va to'lqin funksiyalar yordamida cheksiz chuqur potensial o'ra uchun zarraning xususiy energiya spektri  $E_n$  ni aniqlang.

15.6. 15.4- va 15.5-masalalar shartidan foydalanib,  $n = 1,2,3$  lar uchun  $E_n$ ,  $\psi_n(x)$  va  $|\psi_n(x)|^2$  funksiyalarni grafigini chizing.  $\psi_n(x)$  funksiya bilan tugunlar soni  $n$  ni holat raqами bilan bog'lang.

15.7. 15.4-masala shartidan foydalanib,  $P_n$ - ehtimol zichligni ta'riflang.  $0 \leq x \leq \frac{L}{2}$  soha uchun ehtimol qanday bo'ladi?



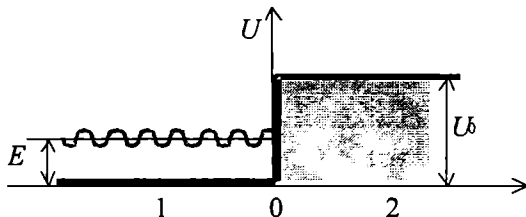
15.12-rasm.

15.8.  $m$  massaga ega bo'lgan  $E$  energiyadagi zarra rasmida chapda to'g'ri burchakli potensial to'siqqa kelib urildi. Potensial to'siqning balandligi  $U_0$ , tushayotgan zarraning to'lqin funksiyasi

$\Psi_{tush} = \exp\left(\frac{ipx}{\hbar}\right)$  (bunda  $p = \sqrt{2mE}$  zarraning impulsi). Masalaning to'la yechimida  $\psi_{qay} = B \exp\left(-\frac{ipx}{\hbar}\right)$  to'siqdan qaytgan to'lqin mavjud. To'siqdan o'tgan to'lqin funksiya  $\psi_{o'tgan} = C \exp\left(-\frac{ip_2 x}{\hbar}\right)$  (bunda  $p_2 = \left[2m(E - U_0)\right]^{\frac{1}{2}}$ ) zarraning II sohadagi klassik impuls).

$x = 0$  tekislikda chegaraviy shartlarni ta'riflab xususiy to'lqin funksiya yechimlarining  $B$  va  $C$  amplitudasini toping.

15.9. 15.8-masalaning natijalridan foydalanib: a) to'siqdan qaytgan zarra uchun  $R$  - qaytish koeffitsiyentini toping; b)  $D$  - o'tish koeffitsiyentini toping.  $R$  va  $D$  koeffitsiyentlar uchun olingan ifodalarini izohlang.



15.13-rasm.

15.10. 15.8-masalada zarra energiyasi  $E$  ni potensial to'siq balandligi  $U_0$  dan kichik bo'lgan hol uchun ko'ring (15.12-rasm). Bu hol uchun I sohada zarraning holati  $\psi_1 = A \exp(ikx) + B \exp(-ikx)$ , bunda  $k = \frac{\sqrt{2mE}}{\hbar}$  (tushayotgan va qaytayotgan to'lqinlar uchun), II sohada

$$\psi_2 = C \exp(-k_1 x), \quad \text{bunda} \quad k_1 = \frac{\sqrt{2m(U_0 - E)}}{\hbar}, \quad x = 0 \quad \text{tekislikda}$$

chegaraviy shartlarni ta'riflang va  $V$  va  $S$  amplitudalarni aniqlang.

15.11. 15.10-masaladan foydalanib,  $B$  qaytgan to'lqin funksiyaning to'lqin funksiyasini modulini toping. Olingan natijani fizikaviy izohlang.

15.12. 15.10-masalaning shartlaridan foydalanib, to'siqni  $x$  bilan  $x + dx$  oraliqida zarrani kuzatish ehtimoli  $dP(x)$  ni toping.

15.13. Agar elektron energiyasi 1eV, potensial to'siq balandligi 3eV bo'lsa, ushbu to'siqdan qancha elektron o'tadi? To'siq kengligi 2Å.

## XVI BOB

### Mavzu: **VODOROD ATOMINING KVANT MEXANIKA NAZARIYASI**

**Reja:**

- 16.1. Bor nazariyasining kamchiligi. Vodorod atomi uchun Shryodinger tenglamasi.
- 16.2. Shryodinger tenglamasini qismlarga ajratish.
- 16.3. Azimutal tenglama va uning yechimlari.
- 16.4. Qutbiy tenglama va uning yechimlari.
- 16.5. Radial tenglama to'la to'lqin funksiya.
- 16.6. To'la tenglama va to'la to'lqin funksiya.
- 16.7. Holatlarning to'la soni.

### **ADABIYOTLAR**

1. Энрико Ферми. Квантовая механика (конспект лекций). М., 1965.
2. А.А.Соколов, Ю.М.Лоскутов И.М.Тернов. Квантовая механика (конспект лекций). М., 1962.
3. Д.И.Блохинцев. Основы квантовой механики. М., 1961.
4. Л.Шифф. Квантовая механика. М., «Ил», 1957.
5. Л.Ландау, Е.Лифшиц. Квантовая механика. М., 1974.

**Masalaning qo'yilishi:** Bu bobda Shryodinger tenglamasi real masalaga nisbatan, ya'ni vodorod atomi uchun tuziladi va yechiladi. Talaba bu bobda Shryodinger tenglamasini uch o'lchovli fazoga qo'llanilishini o'rGANADI. Kvant mexanikada dekart koordinata sistemasi dan sferik koordinatalar sistemasiga o'tish, o'zga-ruvchilarga ajratish uslubiyotini o'rGANADILAR. Bu bobda oldingi bobda aytilgan ma'lum shartlar real maydonda qo'llanilib, uni yaxshi tushunishga yordam beradi. Sferik sistemaga yozilgan Shryodinger tenglamasini yechish orqali kvant mexanikaning qudrati ko'tariladi. Kvant mexanikaning matematik apparatini qo'llash orqali talaba o'zining matematik ilmiy qo'vvatini ham oshiradi.

## **XVI bob. VODOROD ATOMINING KVANT MEXANIK NAZARIYASI**

### **16.1. Bor nazariyasining kamchiligi. Vodorod atomi uchun Shryodinger tenglamasi**

Bor nazariysi yangi kvant qonuniyatlarni tushunishda katta qadam bo'ldi. U mikrodunyo fizikasi oldida paydo bo'lgan atom nurlanishi bilan bog'liq bo'lgan butun bir katta masalani yechdi va shu bilan birga klassik fizika qonuniyatlarini atom hodisalariga q'llash mumkin emasligini, atom hodisalarida kvant qonunlarning rolini ko'rsatdi. Lekin boshidanoq Bor nazariyasi jiddiy kamchiliklardan xoli emasligi ayon bo'ldi. U yarim klassik, yarim kvant nazariya edi.

Bor nazariyasining dastlabki yutuqlarini e'tiborga olgan holda, uning bir qator muammolarni hal qila olmaganligini aytib o'tish ham joizdir. Bor nazariyasi quyidagi muammolarni hal qila olmadи:

1. Nima uchun o'tishlar faqat berilgan energetik sathlar orasida bajariladi-yu, xohlaganida emas?

2. Nima uchun statsionar orbitada harakat qilayotgan elektronlar elektromagnit nurlanish chiqarmaydi va spiralsimon harakat qilib yadroga qulab tushmaydi?

3. Murakkab atomlar, xususan geliy va litiy spektrining tabiatini qanday?

Kvant mexanika va to'lqin funksiya tushunchalaridan foydalangan Ervin Shryodinger atom tuzilishi tugal nazariyasini yaratish imkoniga ega bo'ldi. Shryodinger nazariyاسini tushunish uchun eng oddiy strukturaga ega bo'lgan vodorod atomi misolida ko'rsatiz.

Kvant mexanika tarixidagi eng katta yutuqlar bu oddiy atomlar spektrini detallarigacha tushuntirib berishi va kimyoviy elementlarning davriyilagini ham tushuntirishi edi. Shu bilan birga kimyoviy elementlarning sirli hossadarining sifatiy tushuntirilishi kvant mexanikaning rivojlanishiga juda katta ijobiy ta'sir ko'rsatadi.

Bu masalani hal etish uchun atomda elektronning xatti-harakatini mufassal o'rGANAMIZ: birinchi navbatda uning fazoda taqsimlanishini hisoblaymiz.

Vodorod atomini to'la taysiflash uchun ikkala zarraning elektron va protonning ham harakatini e'tiborga olish zarur. Biroq masalani soddalash uchun protonni elektronga nisbatan juda og'ir zarra ( $1836 m_e$ ) deb uning harakatini hisobga olmaymiz va proton atomning markazida turibdi deb faraz qilamiz.

Ikkinchidan, elektronning spinini ham inobatga olmaymiz. Relativistik mexanika qonunlari orqali tasvirlangan elektron spin'i umuman moddalarga kam hissa qo'shadi, deb hisoblaymiz. Boshqacha aytganda Shryodingerning norelativistik tenglamalaridan foydalanamiz.

Yuqorida aytilgan taxminlar asosida atom fazosining u yoki bu nuqtasida elektronning qayd qilinishi (kuzatilishi) amplitudasi holat va vaqt funksiyasi sifatida qaraladi.

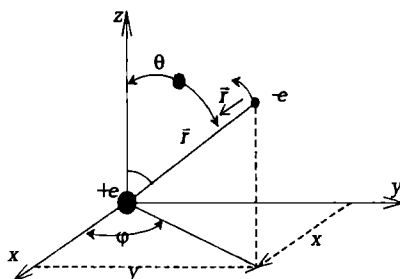
t-vaqt momentida x,y,z nuqtada elektronning qayd qilinish amplitudasi  $\psi(x,y,z,t)$  deb belgilaylik. Kvant mexanikaga ko'ra, bu amplitudaning vaqt bo'yicha o'zgarish tezligi, shu funksiyaga ta'sir etayotgan Gamilton operatorini beradi. Avvalgi bobdan bilamizki,

$$i\hbar \frac{\partial \psi}{\partial t} = \hat{H} \psi \quad (16.1)$$

bunda

$$\hat{H} = -\frac{\hbar^2}{2m} \nabla^2 + U(\vec{r}) \quad (16.2)$$

bu yerda,  $m$  – elektron massasi,  $U(\vec{r})$  – protonning elektrostatik maydonidagi elektronning potensial energiyasi.



16.1-rasm. Vodorod atomi.

16.1-rasmda vodorod atomi tasvirlangan (klassik tushuncha nuqtayi nazaridan) dekart koordinatalar sistemasini boshiga proton joylashtirilgan. Kulon kuchi ta'sirida  $r$ -radiusli orbita bo'ylab elektron harakat qilayotgan bo'lsin. 16.1-rasmda elektron markazda turgan protonga nisbatan aylanmoqda. Haqiqatda esa ikkala zarra ham ular uchun umumiy bo'lgan massa markazi atrofida aylanmoqda. Biz sod-dalashtirilgan model bilan, ya'ni protonni qo'zg'almas deb ish ko'ramiz. U holda Kulon maydonidagi elektronning potensial energiyasi

$$U(r) = -\frac{1}{4\pi\epsilon_0} \frac{e^2}{r} \quad (16.3)$$

Bunda  $e$ -elektron zaryadi va  $\epsilon_0 = 8,85 \cdot 10^{-12} \Phi \cdot m^{-1}$  elektr doimiysi.

Kvant mexanika nuqtayi nazaridan elektron to'lqinlar yig'indisi dan tashkil topgan sistema bo'lib, u (16.3) kulon maydonining potensial o'rasi bilan chegaralangan. Bu esa diskret energetik sathlarga va xususiy to'lqin funksiyalar yechimi masalasiga olib keladi. Bunday qarash, o'rada ruxsat etilgan to'lqinlar sistemasing to'plami mavjudligi va ulardan har biri energiyaning biror mumkin bo'lgan qiymatiga

mos keladi degan fikrni beradi. Bu holda to'lqin tenglamasini uch o'lchovli ko'rinishda yozishga to'g'ri keladi.

Bunday qarashda,  $\Psi$  to'lqin funksiya

$$i\hbar \frac{\partial \Psi}{\partial t} = -\frac{\hbar^2}{2m} \nabla^2 \Psi - \frac{1}{4\pi\epsilon_0} \frac{e^2}{r} \Psi \quad (16.4)$$

tenglikni qanoatlantirishi kerak.

Biz aniq energiyaga ega bo'lgan holatni izlaganimiz uchun yechimni

$$\Psi(\vec{r}) = \exp\left(-\frac{i}{\hbar} Et\right) \psi(\vec{r}) \quad (16.5)$$

ko'rinishda yozamiz. U holda  $\psi(\vec{r})$  funksiya

$$-\frac{\hbar^2}{2m} \nabla^2 \psi = \left(E + \frac{e^2}{r}\right) \psi \quad (16.6)$$

tenglamani yechimi bo'lishi kerak. Vodorod atomi statsionar holatda bo'lgani uchun Shryodingerning vaqtga bog'liq bo'lmagan tenglamasidan foydalanish ma'qul.

Tenglamadan ko'rinib turibdiki, Laplas operatori va psi funksiya  $x,y,z$  ga bog'liq, ammo potensial energiya  $V(r)$   $x,y,z$  ni emas, balki  $r$  masofaning funksiyasidir.

Potensial energiya faqat  $r$  ga bog'liq bo'lgani uchun (16.6) tenglamani qutbiy koordinatalar sistemasida yechgan ma'qul.

To'g'ri burchakli koordinatalar sistemasida laplasian

$$\nabla^2 = \frac{\partial}{\partial x^2} + \frac{\partial}{\partial y^2} + \frac{\partial}{\partial z^2}. \quad (16.7)$$

Masala simmetriyaga ega bo'lgani uchun, eng qulay koordinatalar sistemasi sferik sistemadir. Bunday sistema 16.1-rasmda tasvirlangan.

Bunda, sferik koordinatalar bo'lib  $\vec{r}$  radius vektor,  $\theta$  qutbiy burchak va  $\varphi$  azimutal burchak xizmat qiladi.

Sferik koordinatalar sistemasidan to'g'ri burchakli koordinatalarga o'tish formulasini

$$\begin{aligned} x &= r \sin\theta \cos\varphi, \\ y &= r \sin\theta \sin\varphi, \\ z &= r \cos\theta \end{aligned} \quad (16.8)$$

Elementar hajm

$$dv = dx dy dz = r^2 \sin\theta \sin\varphi d\theta d\varphi,$$

$$0 \leq r < \infty$$

$$0 \leq \theta \leq \pi$$

$$0 \leq \varphi \leq 2\pi$$

bunda  $r = \sqrt{x^2 + y^2 + z^2}$  koordinaté boshidan  $R$  nuqtaga o'tkazilgan

radius vektoring uzunligi.  $\theta = \arccos \frac{z}{\sqrt{x^2 + y^2 + z^2}}$  radius-vektor bilan z o'q tashkil qilgan (qutbiy) burchak.  $\varphi = \operatorname{arctg} \left( \frac{y}{x} \right)$  radius-vektorning (xy) tekisligiga proeksiyasining x o'qi bilan tashkil qilgan (azimuthal) burchagi.

Matematik almashtirishlar yordamida Laplas operatorini sferik koordinatalarda ifodalasak, u holda  $\psi(\vec{r}) = \psi(r, \theta, \varphi)$  funksiya uchun:

$$\nabla^2 \psi(r, \theta, \varphi) = \frac{1}{r} \frac{\partial^2}{\partial r^2} (r\psi) + \frac{1}{r^2} \left\{ \frac{1}{\sin \theta} \frac{\partial}{\partial \theta} \left( \sin \theta \frac{\partial \psi}{\partial \theta} \right) + \frac{1}{\sin^2 \theta} \frac{\partial^2 \psi}{\partial \varphi^2} \right\} \quad (16.9)$$

tenglikni yozish mumkin.

Bundan sferik koordinatalar sistemasida  $\psi(r, \theta, \varphi)$  funksiyani qanoatlantiruvchi statsionar Shryodinger tenglamasi

$$-\frac{\hbar^2}{2m} \left[ \frac{1}{r^2} \frac{\partial}{\partial r} \left( r^2 \frac{\partial \psi}{\partial r} \right) + \frac{1}{r^2 \sin \theta} \frac{\partial}{\partial \theta} \left( \sin \theta \frac{\partial \psi}{\partial \theta} \right) + \frac{1}{r^2 \sin^2 \theta} \frac{\partial^2 \psi}{\partial \varphi^2} \right] + \left( -\frac{e^2}{4\pi\epsilon_0 r} \psi \right) = E\psi \quad (16.10)$$

ko'rinishga ega. Shunday qilib, to'lqin funksiya endi r,  $\theta$  va  $\varphi$  ga bog'liq, ya'ni

$$\psi = \psi(r, \theta, \varphi). \quad (16.11)$$

## 16.2. Shryodinger tenglamasini qismlarga ajratish

Umuman olganda, to'lqin funksiya r va  $\theta$ ,  $\varphi$  burchaklarga bog'liq. To'lqin funksiya maxsus hollarda burchakka bog'liq bo'lmasligi mumkin. Agar to'lqin funksiya burchakka bog'liq bo'lmasa, amplituda koordinata sistemasi burilishiha bog'liq bo'lmaydi. Bu holda harakat miqdori momentining barcha komponentalari nolga teng bo'ladi. Nati-jadá, to'lqin funksiya to'la harakat miqdori momenti nolga teng bo'lgan holatni ifodalaydi va u S holat deyiladi.

(16.10) tenglamaning qulay tomoni uni uchta tenglik orqali yozish mumkinligidir. Buning uchun (16.10) ning yechimini uchta funksiya ko'paytmasi tarzida ifodalaymiz:

$$\psi(r, \theta, \varphi) = R(r)\Theta(\theta)\Phi(\varphi) \quad (16.12)$$

Bu yerda  $R(r)$  radial to'lqin funksiya bo'lib,  $\theta$  va  $\varphi$  burchaklarning o'zgarmas qiymatida u psi-funksiyaning radius vektori bo'yicha o'zgarishini ifodalaydi;  $\Theta(0)$  qutbiy funksiya bo'lib,  $r$  - vektor va  $\varphi$ -burchakning o'zgarmas qiymatida markziy maydon sferasi meridiani bo'ylab to'lqin funksiya  $\psi$  ning zenit (qutb) burchagi  $\theta$  ga

bog'liq o'zgarishini tasvirlaydi;  $F(\phi)$ -azimutal to'lqin funksiya bo'lib  $r$  va  $\theta$  ning o'zgarmas qiymatida  $\psi$  ning ushbu sfera paralleli bo'ylab o'zgaruvchi azimut burchagi  $\phi$  ga bog'liq o'zgarishini ifodalaydi. (16.12) ifodani (16.10) tenglamaga qo'yamiz va natijani  $\frac{2mr^2}{\hbar^2}$  ga ko'paytirib quyidagini hosil qilamiz.

$$\begin{aligned} \Theta \Phi \frac{d}{dr} \left( r^2 \frac{dR}{dr} \right) + \frac{R\Theta}{\sin^2 \theta} \frac{d^2\Phi}{d\phi^2} + \frac{\Phi R}{\sin \theta} \frac{d}{d\theta} \left( \sin \theta \frac{d\Theta}{d\theta} \right) + \\ + \frac{2mr^2}{\hbar^2} \left( E + \frac{e^2}{4\pi\epsilon_0 r} \right) R\Theta \Phi = 0 \end{aligned} \quad (16.13)$$

O'zgaruvchilarga ajratish usulidan foydalanib, (16.13) ni  $\psi=R\Theta\Phi$  ga bo'lib, faqat  $r$  ga, faqat  $\theta$  ga va faqat  $\phi$  ga bog'liq bo'lgan uchta alohida tenglamalarga ajratish mumkin. Natijada, faqat  $r$  ga bog'liq bo'lgan radial qism va faqat  $\theta$  va  $\phi$  ga bog'liq bo'lgan burchak qismini ajratish mumkin bo'ladi:

$$R \frac{d}{dr} \left( r^2 \frac{dR}{dr} \right) + \frac{\Phi}{\sin^2 \theta} \frac{d^2\Phi}{d\phi^2} + \frac{\Theta}{\sin \theta} \frac{d}{d\theta} \left( \sin \theta \frac{d\Theta}{d\theta} \right) + \frac{2mr^2}{\hbar^2} \left( E + \frac{e^2}{4\pi\epsilon_0 r} \right) = 0 \quad (16.14)$$

va  $R, (\theta, \Phi)$  funksiyali hadlarning har birini  $l(l+1)$  ko'rinishdagi doimiylikka tenglaylik:

$$\frac{d}{dr} \left( r^2 \frac{dR}{dr} \right) + \frac{2mr^2}{\hbar^2} \left( E + \frac{e^2}{4\pi\epsilon_0 r} \right) = l(l+1) R \quad (16.15)$$

va

$$\frac{1}{\Phi \sin^2 \theta} \frac{d^2\Phi}{d\phi^2} + \frac{1}{\Theta \sin \theta} \frac{d}{d\theta} \left( \sin \theta \frac{d\Theta}{d\theta} \right) = l(l+1) \quad (16.16)$$

ni hosil qilamiz.

Shuningdek, (16.16) ni ham ikkita bir-biriga bog'liq bo'lmagan tenglama ko'rinishida yozish mumkin. Buning uchun (16.16) ni chap va o'ng qismini  $\sin^2 \theta$  ga ko'paytirib, so'ng guruhlab quyidagi tenglik ko'rinishiga keltiramiz.

$$\frac{1}{\Phi} \frac{d^2\Phi}{d\phi^2} = l(l+1) \sin^2 \theta - \frac{\sin \theta}{\Theta} \frac{d}{d\theta} \left( \sin \theta \frac{d\Theta}{d\theta} \right)$$

Hosil bo'lgan tenglikni ikki tomonini har birini bir o'zgarmas  $m_l^2$  ga tenglash orqali quyidagi ikkita tenglamani hosil qilamiz:

$$\frac{m_l^2}{\sin^2 \theta} - \frac{1}{\Theta \sin \theta} \frac{d}{d\theta} \left( \sin \theta \frac{d\Theta}{d\theta} \right) = l(l+1) \quad (16.17)$$

va

$$\frac{d^2\Phi}{d\varphi^2} + m_l^2 \Phi = 0 \quad (16.18)$$

Shunday qilib, Shryodinger tenglamasini uchta oddiy differensial tenglamalarga ajratdik.

### 16.3. Azimutal tenglama va uning yechimlari

Yuqorida yozilgan tenglamalar ichida eng soddasи bu azimutal to'lqin tenglamасидir. Bu tenglama sistemaning z о'qi atrofida aylan-gandagi to'lqin funksiya holatini tasvirlaydi. Bu tenglama ikkita haqiqiy va bitta mavhum yechimga ega. Ikkinchи tartibli, lekin birinchi tartibli hosilasi bo'lмаган azimutal to'lqin tenglama

$$\frac{d^2\Phi}{d\varphi^2} + m_l^2 \Phi = 0$$

quyidagi yechimlarga ega.

$$\Phi = A \sin m_l \varphi$$

$$\Phi = A \cos m_l \varphi$$

$$\Phi = A \exp(im_l \varphi)$$

(16.19)

bunda,  $F$  – xususiy azimutal to'lqin funksiya,  $\varphi$  – azimutal burchak,  $tl$ -doimiy son,  $s$ -amplituda.

(16.19) dagi  $\Phi = Ae^{im_l \varphi}$  -yechim aylanadagi yигurma to'lqingga xos bo'lib, elektronning tekis aylanishini tavsiflaydi;  $\Phi = A \cos m_l \varphi$  yechim esa turg'un to'lqinlar bilan bog'langan bo'lib, elektronning biror yoy bo'ylab tebranishini tavsiflaydi.

Vodorod atomining yadrosi atrofida aylanayotgan elektron uchun  
 $\Phi = A \exp(im_l \varphi)$

ko'rinishdagi to'lqin funksiya olinadi.

Azimutal to'lqin funksiya bir qiymatlilik shartini qanoatlantirishi shart. Shuning uchun

$$\Phi(\varphi) = \Phi(\varphi + 2\pi),$$

bundan

$$e^{2i\pi m_l} = 1,$$

ya'ni

$$e^{i\frac{L_z}{\hbar}\varphi} = e^{i\frac{L_z}{\hbar}(\varphi+2\pi)}.$$

Bundan

$$e^{i\frac{L_z}{\hbar}2\pi} = 1$$

kelib chiqadi. Bu shart bajarilishi uchun  $\frac{L_z}{\hbar}$  butun son bo'lishi kerak, ya'ni  $\frac{L_z}{\hbar} = m_l \hbar$  Bunda

$$m_l = 0, \pm 1, \pm 2, \dots \quad (16.20)$$

Normallash shartiga ko'ra

$$\int_0^{2\pi} \Phi^*(\phi) \Phi(\phi) d\phi = 1. \quad (16.21)$$

(16.21) integraldagagi  $\Phi(\phi)$ ni aniq ko'rinishda qo'ysak,

$$A = \frac{1}{\sqrt{2\pi}} \quad (16.22)$$

bo'ladi.

Shunday qilib normallangan to'lqin funksiya

$$\Phi_{m_l}(\phi) = \frac{1}{\sqrt{2\pi}} e^{im_l \phi} \quad (16.23)$$

ga ega bo'lamiz (bunda  $m_l = 0, \pm 1, \pm 2, \dots$ ).

Agar atom z o'qi atrofida to'la aylansa, u holda F ning yechimi uning dastlabki qiymatiga teng bo'ladi, chunki  $\phi$ -burchak o'zining dastlabki holatiga o'tadi.  $m_l \phi$  kattalik  $2\pi$  ga karrali o'zgaradi (16.19). Funksiya bu shartni qanoatlantiradi.  $\phi$  radianlarda o'lchaniganligi uchun  $m_l$ -kattalik butun sonlar qabul qilishi lozim.  $m_l$ ni nolga tengligi va teskari tomonga aylanganligini ham hisobga olsak,  $m_l$  ni olishi mumkin bo'lgan qiymatlar  $m_l = 0, \pm 1, \pm 2, \dots$ .

Kvant mexanikada avval aytilgan ta'riflarga ko'ra (16.20) dagi  $m_l$  ni kvadrati xususiy qiymat bo'lib, (16.19) dagi funksiyalar esa xususiy funksiyalar deyiladi.  $m_l$ -doimiylik kvant mexanikada biz olgan birinchi kvant son bo'lib, ma'lum mulohazalarga ko'ra, uni *magnit kvant soni* deb ataladi.

#### **16.4. Qutbiy tenglama va uning yechimlari**

Qutbiy burchak  $\theta$  uchun yozilgan (16.17) differensial tenglama

$$\frac{m_l^2}{\sin^2 \theta} - \frac{1}{\theta \sin \theta} \frac{d}{d\theta} \left( \sin \theta \frac{d\theta}{d\theta} \right) = l(l+1)$$

tenglama murakkab yechimga ega. Shu sababli uning yechimi

$$\Theta(\theta) \sim c_{l,m_l} P_{l,m_l}(\cos \theta) \quad (16.24)$$

ko'rinishda ekanligini ko'rsatamiz.  $P_{l,m_l}(\cos \theta)$  Lejandrning bir-

lashtirilgan polinomi deyiladi va quyidagi ko'rinishga ega:

$$P_l'''(x) = (1-x^2)^m \frac{d^{l+m_l}}{dx^{l+m_l}} \left[ \frac{(x^2-1)^l}{2^l l!} \right], \quad (16.25)$$

bunda  $x = \cos\theta$ .

$c_{l,m_l}$  koeffitsiyentni topish uchun

$$\int_0^\pi \theta_{l,m_l}^m \sin\theta d\theta = 1 \quad (16.26)$$

normallash shartidan foydalanamiz.

(16.26) integralni hisoblamasdan to'g'ridan-to'g'ri javobini yozamiz.

$$c_{l,m_l} = \sqrt{\frac{(2l+1)(l-m_l)!}{2(l+m_l)!}} \quad (16.27)$$

va normallangan qutbiy to'lqin funksiya

$$\theta_{l,m_l} = \sqrt{\frac{(2l+1)(l-m_l)!}{2(l+m_l)!}} P_{l,m_l}(\cos\theta) \quad (16.28)$$

ko'rinishga ega bo'ladi.

Lejandr polinomini, odatda, rekurrent munosabatlardan topiladi:

$$P_l(x) = \frac{2l-1}{l} x P_{l-1}(x) - \frac{l-1}{2} P_{l-2}(x), \quad (16.29)$$

bunda  $x = \cos\theta$ .

Bu polinomlarni

$$P_l(x) = \frac{1}{2^l l!} \frac{d^l}{dx^l} (x^2 - 1)^l \quad (16.30)$$

differensial formulalar bilan aniqlaymiz.  $l$  ning kichik qiymatlar uchun polinomlarni oshkor ko'rinishini keltiramiz:

$$P_0(x) = 1,$$

$$P_1(x) = x,$$

$$P_2(x) = \frac{3}{2} x^2 - \frac{1}{2},$$

$$P_3(x) = \frac{5}{2} x^3 - \frac{3}{2} x,$$

$$P_4(x) = \frac{35}{8} x^4 - \frac{15}{4} x^2 + \frac{3}{8}, \quad (16.31)$$

$$P_5(x) = \frac{63}{8} x^5 - \frac{35}{4} x^3 + \frac{15}{8} x,$$

$$P_l(1) = 1.$$

Tanlash qoidasi

$$\Delta l = \pm 1,$$

$$\Delta m_l = 0, \pm 1.$$

Ushbu tanlash qoidasi yordamida o'tish jarayonidan hosil bo'lgan fotonning chachtotasi

$$v_{I,J\pm 1} = \frac{E_I - E_{I\pm 1}}{\hbar} \quad (16.33)$$

Borning chastotalar qoidasi orqali topiladi.

(16.30) polinom haqida ham to'xtalmasdan, faqat uni  $\cos(\theta)$ ,  $I$  va  $m_l$ , kabi ikkita doimiylikka bog'liq ekanligini aytamiz.  $m_l$ , kvant soni faqat musbat va manfiy butun qiymatlarga, shuningdek, nol qiymat olishi mumkinligi eslatilib, qutbiy burchakning 0 bilan  $\pi$  orasida o'zgarishini inobatga olib, shuningdek, Lejandr polinominining xossalardan foydalanib,  $I$  ni faqat butun sonlar qabul qilishini uqtiramiz. Natijada,  $I$  uchun quyidagi shart bajariladi:

$$\begin{aligned} I &= 0, 1, 2, 3, \dots \\ m_l &= 0, \pm 1, \pm 2, \dots \end{aligned} \quad (16.34)$$

$I$  ning qiymati  $m_l$  ning absolut qiymatiga teng yoki undan katta bo'lishi shart.  $I$  ni qiymati  $m_l$  ni qiymatiga teng yoki undan katta bo'lishi shartiga asosan, har bir berilgan  $I$  ni qiymat uchun  $(2I+1)$  ta mumkin bo'lgan yechimlar to'g'ri keladi. Bu shart  $I$ -sonini chegaralaydi. Odatda,  $I$  ni orbital kvant soni deb atashadi. Masalan,

agar  $I=0$  bo'lsa,  $m_l=0$ ;

agar  $I=1$  bo'lsa,  $m_l=0$  yoki  $\pm 1$ ;

agar  $I=2$  bo'lsa,  $m_l=0$  yoki  $\pm 1, \pm 2$  va hokazo bo'lishi mumkin.

Umuman olganda,  $I$  ni har bir berilgan qiymati uchun  $2I+1$  ta mumkin bo'lgan yechim mavjud. Bu holni shunday ta'riflash mumkin:

$I$  ning berilgan qiymatiga mos keluvchi holat  $m_l$  ga nisbatan  $(2I+1)$  karra aynigan.  $I$  ning berilgan qiymatiga mos kelgan  $(2I+1)$ , energiyaning xususiy qiymatlari o'zaro teng bo'lsa, bunday holat aynigan holat deyiladi.

Tashqi fizik hodisalar ta'sirida bu xususiy qiymat ajralsa, u holda aynish yo'qoladi va hosil bo'lgan holat aynimagan deyiladi. Agar vodorod atomini magnit maydonga joylasak,  $m_l$  ga nisbatan aynishni yo'qotish mumkin. Shu sababga ko'ra,  $m_l$  ni magnit kvant soni deb aytildi.

## 16.5. Radial tenglama va uning yechimi to'la to'lqin funksiya

To'lqin funksiyaning radiusga bog'liqligini tavsiflash uchun

$$\frac{d}{dr} \left( r^2 \frac{dR}{dr} \right) + \frac{2mr^2}{\hbar^2} \left( E + \frac{e^2}{4\pi\epsilon_0 r} \right) R = I(I+1)R \quad (16.35)$$

radial tenglamadan foydalanamiz.

Bu tenglamaning yechimi  $L_{n,l}(r)$  – Lagerr polinomlari ko'rinishida izlanadi. Mufassal matematik amallarni bajarib o'tirmasdan, biz (16.35) tenglamaning yechimi radial xususiy funksiyalarini quyidagi qo'rinishda yozamiz:

$$R_{n,l} = \exp(-nr) r^l L_{n,l}(r) \quad (16.36)$$

bunda,  $n$ -bosh kvant soni, noldan farqli istalgan butun son.  $l$ -orbital kvant son bo'lib boshqa tenglamalardan olinadi. Lager polinomlari xossalariiga asosan (16.35) ning yechimi  $n \geq l+1$  xollar uchun mavjud. Bunda bosh kvant soni  $n=1, 2, 3..$  qiymatlar qabul qiladi.

$k$ -tartibli Lejandr polinomining differensial formasi

$$L_k(x) = e^x \frac{d^k}{dx^k} (x^n e^{-x}) \quad (16.37)$$

ko'rinishda bo'ladi. Masalan,

$$L_0(x) = 1,$$

$$L_1(x) = 1 - x, \quad L_2(x) = 2 - 4x + x^2,$$

$$L_3(x) = 6 - 18x^2 + 9x^2 - x^2.$$

Shunday qilib, vodorod atomi uchun Shryodinger modelidan bir-biriga bog'langan uchta kvant soni kelib chiqadi:

Bosh kvant soni:  $n = 1, 2, 3,$

Orbital kvant soni:

$$l = 0, 1, 2, \dots, (n-1), \quad (16.38)$$

Magnit kvant soni:  $m_l = 0, \pm 1, \pm 2, \dots, \pm l.$

Vodorod atomi uchun Shryodinger tenglamasining bir-biriga bog'liq bo'lмаган yechimlar soni

$$\sum_{l=0}^{n-1} (2l+1) = n^2 \quad (16.39)$$

formula bilan ifodalanadi.

Yuqorida qayd qilingan Shryodinger modelida Kulon potensiali funksiyasi sof holda olindi, boshqacha aytganda elektron va protonning xususiy harakat miqdori momentlari hisobga olinmadi.

*Eslatma.* Radial tenglamalarga oid misollarni yechishda (16.36) formuladan quyidagi oshkor ko'rinishdagisi yechimdan foydalangan ma'qul.

$$R_{n,l}(P) = c_{n,l} e^{-\frac{P}{2}} P^l L_{n-l-1}^{2l+1}(P) \quad (16.40)$$

bunda,  $P = \frac{2z}{nr_0}$ ,  $r_0 = \frac{1}{4\pi\epsilon_0 me^2} = 0,529171 \cdot 10^{-10} m$  – Borning birinchi radiusi, z–atomning tartib raqami.

Normallash koeffitsiyenti

$$c_{n,l} = \left( \frac{z}{nr_0} \right)^{\frac{3}{2}} \sqrt{\frac{4}{n(n-l-1)(n+l)}} \quad (16.41)$$

Natijada, (16.40) ko'rinishdan to'lqin funksiya

$$R_{n,l}(r) = \left( \frac{z}{nr_0} \right)^{\frac{3}{2}} \sqrt{\frac{4}{n(n-l-1)(n+l)}} \left( \frac{2\pi r}{nr_0} \right)^l e^{\frac{-2\pi r}{nr}} L_{n-l-1}^{2l+1} \left( \frac{2\pi r}{nr_0} \right) \quad (16.42)$$

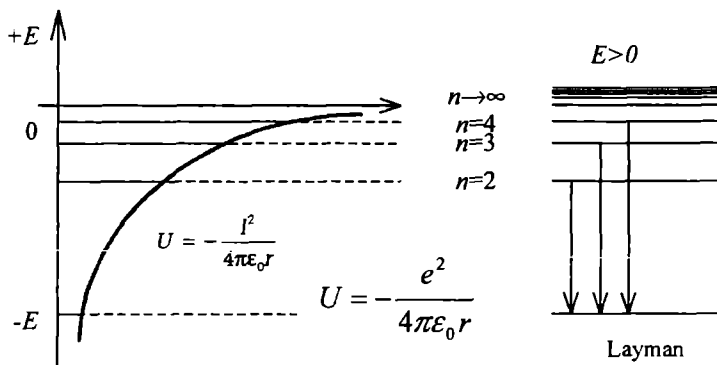
oshkor funksiya ko'rinishida yoziladi. Bunda kvant soni  $n$  uchun tanlash qoidasi

$$r_{nn'} = \int R_{nl} R_{n'l} dx dy dz = 0$$

matritsa hisoblanadi va u  $n$  va  $n'$  lari istalgan munosabatda nolga teng emas. Bunda bosh kvant soni uchun tanlash qoidasi quyidagi ko'rinishga keladi:  $\Delta n$  – istalgan son.

### 16.6. To'la tenglama va to'la to'lqin funksiya

Yuqorida biz uchta xususiy to'lqin tenglamani oldik va ularni tahlil qildik. Vodorod atomi uchun to'la to'lqin tenglamaning yechimlarini topish uchun, har bir olingan uchta tenglamani yechimlarini o'ziga mos chegaralarda normallab, so'ngra ularni bir-birlariga ko'paytirish kerak. Hosil bo'lgan to'la tenglama uning xususiy yechimlariga nisbatan yechiladi, natijada, ularning har biri amplitudasi o'zgaradigan funksiya bilan ifodalanadi. Koordinata boshi atrofidagi fazo tugun sirtlar bilan ajralgan bo'laklarga bo'linadi va har bir qo'shni ikki bo'lakdagi amplituda tebranish fazo bo'yicha qarama-qarshi. Tugun faza sirtlar soni  $n-1$  ta.



16.2-rasm.

Agar energiyaning xususiy qiymatlari ma'lum kvant sonlari bilan ifodalanuvchi sistema uchun hisoblangsana, shuni ko'ramizki, energiyaning xususiy qiymati faqat to'la soni  $n$  bog'liq bo'ladi. Bu sisitemaning aynig'glanligini ko'rsatadi. Diskret xususiy qiymatlarga ega bo'lishi uchun elektronning to'la energiyasi radiusning har bir qiymatiga nisbatan potensial energiyadan kichik bo'lishi kerak. Agar to'la

energiya potensial energiyadan katta bo'lsa, tenglama kontinium (uzluksiz) yechimlarga ega bo'ladi, ya'ni elektron istalgan energiyaga ega bo'ladi. Bu holda elektron sistemaga bog'lanmagan bo'lib ozod bo'ladi. Bog'langan holatlar uchun energiyaning xususiy qiymati

$$E_n = -\frac{me^4}{32\pi^2\epsilon_0^2\hbar^2} \frac{1}{n^2} = (-13.6) \frac{1}{n^2} eV, \quad n = 1, 2, 3, \dots$$

Bu formula Bor nazariyasiga to'g'i keladi.

16.2-rasmida vodorod atomi uchun Kulon potensial energiyasi va energetik spektri keltirilgan.

### 16.7. Holatlarning to'la soni

Atom holatini aniqlash uchun  $n$ ,  $l$  va  $m_e$  kvant sonlarning istalgan kombinatsiyasi yetarli.

Vodorod atomi uchun Shryodinger tenglamasining yechimi

$$\psi = R(r)\Theta(l,m_e)\Phi(\phi) \quad (16.43)$$

funksiyadan iborat, bunda radial funksiya

$$R(r) = e^{-nrl} r^l L_{n,l}(r), \quad (16.44)$$

qutbiy funksiya

$$\Theta(r) = P_{l,m_e}(\cos\theta), \quad (16.45)$$

azimuthal funksiya

$$\Phi(\phi) = Ae^{im_e\phi} \quad (16.46)$$

Bu funksiyalar  $n$ ,  $l$  va  $m_e$  kvant sonlariga bog'liq bo'lgani uchun har bir holatni ifodalovchi xususiy to'lqin funksiya ham  $\Phi_{n,l,m_e}$  ko'rinishda bo'lishi kerak.

Agar atom tashqi magnit maydon ta'sirida bo'lmasa, u holda energiyaning xususiy qiymati

$$E_n = -\frac{me^4}{32\pi^2\epsilon_0^2\hbar^2} \frac{1}{n^2} \quad (16.47)$$

bo'lib, bu energiya  $l$  va  $m_e$  ga bog'liq bo'lmaydi. Bu holda Shryodinger tenglamasi energiyaning bitta qiymatiga ikkita va undan ortiq yechim berishi mumkin. Bu holdagi yechimni *aynigan* deyiladi. Agar berilgan energiyaning xususiy qiymatiga bitta yechim to'g'ri kelsa, *aynimagan yechim* deyiladi.

Misol. Berilgan  $p$  – bosh kvant soniga  $p^2$  ta mumkin bo'lgan holatlar mavjud ekanligini ko'rsating.

*Yechish.* Berilgan  $p$  uchun orbital kvant soni  $l$  quyidagi  $p$ -qiymatlarni qabul qiladi.

$$l = 0, 1, 2, \dots, (p-1).$$

$l$  ning har bir qiymati uchun magnit kvant soni  $m_e$  quyidagi  $2l+1$  qiymatlarni qabul qiladi:

$$m_l = 0, \pm 1, \pm 2, \dots, \pm l.$$

Xususiy funksiyalarning umumiy soni yoki mumkin bo'lgan holatlar

$$N = \sum_{l=0}^{l=n-1} (2l + 1) = 1 + 3 + 5 + \dots + (2n - 1)$$

ga teng bo'lib, arifmetik progressiyani hosil qiladi.

Arifmetik progressiya hadlarining yig'indisi

$$S = \frac{a + b}{2} \cdot n \quad (16.48)$$

formula bilan topiladi,  $a$  – birinchi had,  $b$  – oxirgi had qiymati va  $n$  – progressiyada qatnashgan hadlarning umumiy soni.

(16.48) formula yordamida

$$N = \frac{1 + (2n - 1)}{2} \cdot n = n^2 \quad (16.49)$$

ni olamiz. Demak,  $N$  – xususiy funksiyalarning umumiy soni bosh kvant sonning kvadratiga proporsional.

Masalan,  $n=3$  hol uchun mumkin bo'lgan holatlar va xususiy funksiyalarni toping.

**16.1-jadval**

1	0	1	2
$m_e$	0	$0, \pm 1$	$0, \pm 1, \pm 2$

1-jadvalda mumkin bo'lgan kombinatsiyalar keltirilgan. Holatlarning umumiy soni (+) ga ko'ra

$$N = n^2 = 3^2 = 9 \text{ ta.}$$

Shunday qilib,  $n=3$  hol uchun energiyaning bitta qiymatiga 9 ta xususiy funksiya to'g'ri keladi. Shuning uchun bu yechim aynigan yechim deb ataladi. 16.2-jadvalda holatlar, xususiy funksiya va holatlar soni keltirilgan.

**16.2-jadval**

Holatlar			Xususiy funksiyalar $\Psi_{n,l,m_l}$	Holatlar soni N
$n$	$l$	$m_l$		
3	0	0	$\Psi_{3,0,0}$	
3	1	-1	$\Psi_{3,1,-1}$	
3	1	0	$\Psi_{3,1,0}$	3
3	1	+1	$\Psi_{3,1,+1}$	
3	2	-2	$\Psi_{3,2,-2}$	
3	2	-1	$\Psi_{3,2,-1}$	5

3	2	0	$\Psi_{3,2,0}$	
3	2	1	$\Psi_{3,2,1}$	
3	2	2	$\Psi_{3,2,2}$	
Umumiy soni				9

**Savollar**

1. Bor nazariyasining asosiy kamchiliklari nimadan iborat?
2. Shryodinger nazariyasini tushuntirish nima uchun vodorod atomi qulay?
3. Vodorod atomining strukturasini Shryodinger nazariyasi bilan tushuntirishda asosan nimalar e'tiborga olinadi?
4. Vodorod atomi uchun Shryodinger tenglamasini sferik koordinatada yozing.
5. O'zgaruvchilarga ajratish usulidan foydalanim, Shryodinger sferik tenglamasini oddiy tenglamalar ko'rinishida yozing.
6.  $\psi(x, y, z)$  funksiyani bir-biriga bog'liq bo'lмаган uchta funksiyaning ko'paytmasi tarzida yozish mumkinmi?
7. Azimutal tenglamani yozing va tushuntiring.
8. Qutbiy tenglamani yozing va tushuntiring.
9. Radial tenglamani yozing va tushuntiring.
10. Azimutal tenglamaning yechimi-to'lqin funksiya ko'rnishlarini yozing va tushuntiring.
11. Azimutal tenglamani xususiy qiymati qanday kvant soni bilan ifodalanadi?
12. Azimutal to'lqin funksiyani normallang.
13. Qutbiy tenglamaning yechimi-to'lqin funksiya ko'ri-nishlarini yozing va tushuntiring.
14. Qutbiy tenglamani xususiy qiymati qanday kvant soni bilan ifodalanadi?
15. Qutbiy to'lqin funksiyani normallang. Normallash koeffitsiyenti nimaga teng?
16. Lejandr polinomi ko'rinishlarini yozing.
17. Radial tenglamaning yechimi-to'lqin funksiya ko'rinishlarini yozing va tushuntiring.
18. Radial tenglamani xususiy qiymati qanday kvant soni bilan ifodalanadi?
19. Radial to'lqin funksiyani normallang. Normallash koeffitsiyenti nimaga teng?
20. Lagerr polinomi ko'rinishlarini yozing.
21. Shryodingerning vodorod atomi uchun umumiy tenglamasi nechta kvant soni bilan ifodalanadi?
22. Shryodingerning vodorod atomi uchun umumiy tenglamasini umumiy to'lqin funksiyasi ko'rinishini yozing.
23. Radial to'lqin tenglamaning xususiy qiymati – to'la energiyasining formulasini yozing.

24. Qutbiy to'lqin tenglamaning xususiy qiymati – harakat miqdori momenti formulasini yozing.

25. Azimutal to'lqin tenglamaning xususiy qiymati – harakat miqdori momentining proeksiyası formulasini yozing.

### Masalalar

16.1.  $U(r)$  – markaziy potensial maydonida yotgan to'la energiya operatori (gamiltonian)ni

$$\hat{H} = \hat{K}_r + \frac{\hat{L}^2}{2mr^2} + U(r)$$

ko'rinishiga ega ekanligini ko'rsating.  $\hat{K}_r$  – operatorning oshkor ko'rinishini yozing.

16.2. 16.1, 16.2-jadvallarda keltirilgan normallangan to'lqin funksiyalardan foydalanim vodorod atomida  $1s$ ,  $2s$  va  $3p$  holatda yotgan elektronlar uchun normallangan to'la to'lqin funksiyalarini yozing.

Vodorod atomida statsionar holatda yotgan elektron

$\Psi(r) = A(1+\alpha)e^{-\alpha r}$  ko'rinishidagi sferik – simmetrik to'lqin funksiya bilan tasvirlangan. Shryodinger tenglamasidan foydalanim,  $\alpha$  va  $A$

koeffitsiyentlarni va elektronning energiyasini toping. Elektron qanday holatda yotibdi?

16.3. Vodorod atomida yadro bilan  $1s$  – elektron orasidagi masofa uchun  $\langle r \rangle$ ,  $\langle r^2 \rangle$  va  $\langle \Delta r^2 \rangle$  – kattaliklarni hisoblang.

16.4. Vodorod atomida  $1s$ -holatda yotgan elektronning energiyasini o'rtacha qiymatini va o'rtacha kvadratik tezligini toping.

16.5. 16.1-jadvaldan foydalanim, vodorod atomida  $2r$ - va  $3d$ -holatdagi elektronlarning yadrodan eng ehtimolli masofalarini toping.

16.6.  $2r$ - va  $3d$  - elektronlarni to'lqin funksiyalarini normallang, so'ng yadrodan elektronlarning  $\langle r \rangle$  o'rtacha uzoqligi va o'rtacha kvadratik og'ishini  $\langle (\Delta r)^2 \rangle$  ni hisoblang.

16.8. Vodorod atomi markazida  $1s$ -elektronning hosil qilgan elektrostatik potensiallarni toping.

16.9. Vodorod atomining energetik sathi  $E = -\frac{me^4}{128\pi^2\varepsilon_0\hbar^2 n}$  ni  $n$

ga karraligini toping. Shu energiya uchun  $\psi_{n,l,m}(r,\theta,\varphi)$  to'lqin funksiyalarini yozing.

16.10. Lagerr polinomidan foydalanim,  $n=1, 2, 3$  lar uchun Lagerr funksiyalarining jadvallarini tuzing.

16.11-masaladagi Lagerr funksiyalaridan foydalanim,  $2s$  va  $3r$ -holatlar uchun normallangan radial to'lqin funksiyalarini ko'rinishlarini toping.

16.12.  $4s$  va  $4r$ -holatlar uchun umumlashgan Lagerr funksiyasini va radial to'lqin funksiyalarini yozing.

16.13.  $2s$ -holat uchun Shryodingerning radial tenglamasining xususiy qiymati  $E = -\frac{me^4}{128\pi^2\varepsilon^2_0\hbar^2}$  ga teng bo'lsa, tenglamaning yechimini toping.

16.14.  $n=2$ , va  $\ell=1$  kvant sonlari bilan ifodalangan holat uchun radial to'lqin funksiya  $R_{2,1} = \frac{1}{2\sqrt{6}} \left(\frac{1}{r_1}\right)^{3/2} \left(\frac{r}{r_1}\right) e^{-\frac{r}{3r_1}}$  Bunda  $r_1$  – Bor radiusi. Shu funksiya Shryodingerning radial tenglamasini qanoatlantirishini isbot qiling.

16.15.  $3s$ -holat uchun energiyaning xususiy qiymati  $E = -\frac{me^4}{288\pi^2\varepsilon^2_0\hbar^2}$  bo'lsa, radial tenglamaning yechimi  $R_{3,0} = c_3 \left(6 - \frac{4r}{r_1} + \frac{4r^2}{9r_1^2}\right) e^{-\frac{r}{3r_1}}$  ekanligini ko'rsating. Bunda  $c_3 = \frac{1}{9\sqrt{3}} \left(\frac{1}{r_1}\right)^{3/2}$

16.16. Quyida  $\Psi_{n,\ell,m_\ell}$  normallangan to'lqin funksiyalar ayrim holatlar uchun berilgan. Bu to'lqin funksiyalarini Shryodinger tenglamsiga qo'yib,  $E_{n,\ell,m_\ell}$  – xususiy qiymatlarni toping.

$$\Psi_{1,0,0} = \frac{1}{\sqrt{\pi}} \left(\frac{1}{r_1}\right)^{3/2} e^{-\frac{r}{r_1}}, \quad (1)$$

$$n=1, \ell=0, m_\ell=0,$$

$$\Psi_{2,0,0} = \frac{1}{2\sqrt{2\pi}} \left(\frac{1}{r_1}\right)^{3/2} \left(1 - \frac{r}{2r_1}\right) e^{-\frac{r}{2r_1}}, \quad (2)$$

$$n=2, \ell=0, m_\ell=0.$$

$$\Psi_{2,1,0} = \frac{1}{2\sqrt{2\pi}} \left(\frac{1}{r_1}\right)^{3/2} \frac{r}{2r_1} e^{-\frac{r}{2r_1}} \cdot \cos\Theta, \quad (3)$$

$$n=2, \ell=1, m_\ell=0.$$

bu yerda

$$r_1 = \frac{4\pi\varepsilon_0^2\hbar^2}{me^2} - \text{Bor radiasi.} \quad (4)$$

16.17.  $n=4$  uchun  $\ell$  va  $m_\ell$  larning mumkin bo'lgan qiymatlarini ko'rsating:

16.18.  $\Theta_{l,m_l} = \sqrt{\frac{5}{8}}(3\cos^2\theta - 1)$  bunda  $\ell = 2, m = 0$  va

$\Theta_{l,m_l} = \sqrt{\frac{15}{4}}(\sin\theta\cos\theta)$  bunda  $\ell = 2, m_l = \pm 1$  funksiyalar qutbiy tenglamaning yechimi ekanligini ko'rsating.

16.19. Xususiy energiya qiymati  $E_n = -\frac{me^4}{32\pi^2\epsilon_0^2\hbar^2}\frac{1}{n^2}, n=1,2,3$  bo'lsa radial tenglama yechimi:

$$1) R_{n,l} = \frac{1}{2\sqrt{2}}\left(\frac{1}{r_1}\right)^{\frac{3}{2}}\left(2 - \frac{r}{r_1}\right)e^{-\frac{r}{2r_1}}, \quad n=2, l=0;$$

$$2) R_{n,l} = \frac{1}{2\sqrt{6}}\left(\frac{1}{r_1}\right)^{\frac{3}{2}}\left(\frac{r}{r_1}\right)e^{-\frac{r}{2r_1}}, \quad n=2, l=1;$$

$$3) R_{n,l} = \frac{1}{9\sqrt{3}}\left(\frac{1}{r_1}\right)^{\frac{3}{2}}\left(6 - \frac{4r}{r_1} + \frac{4r^2}{r_1^2}\right)e^{-\frac{r}{3r_1}}, \quad n=3, l=0$$

ekanligini isbotlang. Bunda  $r_1 = \frac{4\pi\epsilon_0\hbar^2}{me^2}$  – Bor radiusi.

16.20. 16.18-masala yechimi  $\int_{\theta=0}^{0=\pi} \Theta^* \Theta \sin\theta d\theta = 1$  normallash shartini qanoatlantirishni ko'rsating.

16.21.  $\int_{\varphi=0}^{\varphi=2\pi} \Phi_{m_l}^* \cdot \Phi_{m_l} \partial\varphi = 1$  normallash shartidan foydalaniib,

$\Phi_{m_l} = Ae^{im_l\varphi}$  funksiyaning normallash koeffitsiyentini toping.

**MUNDARIJA**

<b>KIRISH .....</b>	<b>3</b>
<i>I bob. KVANT MEXANIKA YARATILGUNCHCHA BO'LGAN DAVRDAGI KLASSIK FIZIKANING ASOSIY NATIJALARI VA KAMCHILIKLARI.....</i>	<i>5</i>
<i>II bob. KVANT FIZIKANING VUJUDGA KELISHI (ISSIQLIK NURLANISHI) .....</i>	<i>24</i>
<i>III bob. YORUG'LIKNING KVANT NAZARISSI. EYNSHTEYNNING SAQLANISH QONUNLARI.....</i>	<i>52</i>
<i>IV bob. YORUG'LIK KVANTI – FOTONNING YUTILISHI. FOTOEFFEKT.....</i>	<i>71</i>
<i>V bob. YORUG'LIK KVANTI - FOTONNING MODDALARDA SOCHILISHI. KOMPTON EFFEKTI. RAMAN EFFEKTI.....</i>	<i>86</i>
<i>VI bob. SPEKTRIAL SERIYALAR VA ENERGETIK SATHLAR.....</i>	<i>111</i>
<i>VII bob. ATOMNING BARQARORLIGI. BOR MODELI VA UNING QO'LLANILISHI.....</i>	<i>136</i>
<i>VIII bob. VODORODSIMON ATOMLAR UCHUN BOR MODELI. BOR NAZARIYASINING EKSPEIMENTAL TASDIG'I.....</i>	<i>154</i>
<i>IX bob. ZARRALARING TO'LQIN Xossalari. DE-BROYL TO'LQINLARI.....</i>	<i>171</i>
<i>X bob. TO'LQIN PAKET. GEYZENBERGNING NOANIQLIK MUNOSABATI.....</i>	<i>188</i>
<i>XI bob. TO'LQIN FUNKSIYANING STATISTIK TALQINI VA EHTIMOLYAT .....</i>	<i>218</i>
<i>XII bob. KVANT FIZIKANING MATEMATIK APPARATI.....</i>	<i>242</i>
<i>XIII bob. VAQT BO'YICHA HOLATNING O'ZGARISHI .....</i>	<i>273</i>
<i>XIV bob. DINAMIK O'ZGARUVCHILARNING VAQT BO'YICHA O'ZGARISHI.....</i>	<i>299</i>

XV bob. BIR O'LCHOVLI FAZODA-SHRYODINGER TENGLAMASINI YECHISHI.....	314
XVI bob. VODOROD ATOMINING KVANT MEXANIKA NAZARIYASI.....	343

**Erkin RASULOV, Uzoqboy BEGIMQULOV**

## **KVANT FIZIKASI**

Toshkent – «Fan va texnologiya» – 2006

Muharrir: **S.Badalboyeva**  
Texnik muharrir: **A. Mo'yidinov**  
Musahhih: **M. Hayitova**  
Kompyuterda  
sahifalovchi: **A. Shoxamedov**

Bosishga ruxsat etildi: 12.12. 2006. Bichimi 60x84<sup>1/16</sup>.  
«Times Uz» garniturasi. Ofset usulida bosildi.  
Shartli bosma tabog'i 22,5. Nashr bosma tabog'i 22,0.  
Adadi 1000. Buyurtma №118.

«Fan va texnologiyalar Markazining  
bosmaxonasi»da chop etildi.  
700003, Toshkent shahri, Olmazor ko‘chasi, 171-uy.